МИНИСТЕРСТВО ПРИРОДНЫХ РЕСУРСОВ И ЭКОЛОГИИ
РОССИЙСКОЙ ФЕДЕРАЦИИ

ФЕДЕРАЛЬНОЕ АГЕНТСТВО ПО НЕДРОПОЛЬЗОВАНИЮ

ФЕДЕРАЛЬНОЕ ГОСУДАРСТВЕННОЕ БЮДЖЕТНОЕ УЧРЕЖДЕНИЕ
«ГИДРОСПЕЦГЕОЛОГИЯ»

ЦЕНТР ГОСУДАРСТВЕННОГО МОНИТОРИНГА СОСТОЯНИЯ НЕДР И РЕГИОНАЛЬНЫХ РАБОТ

ИНФОРМАЦИОННАЯ СВОДКА

О ПРОЯВЛЕНИЯХ ЭКЗОГЕННЫХ ГЕОЛОГИЧЕСКИХ ПРОЦЕССОВ НА ТЕРРИТОРИИ РОССИЙСКОЙ ФЕДЕРАЦИИ

3 КВАРТАЛ 2024



МОСКВА, 2024

МИНИСТЕРСТВО ПРИРОДНЫХ РЕСУРСОВ И ЭКОЛОГИИ РОССИЙСКОЙ ФЕДЕРАЦИИ

ФЕДЕРАЛЬНОЕ АГЕНТСТВО ПО НЕДРОПОЛЬЗОВАНИЮ

ФЕДЕРАЛЬНОЕ ГОСУДАРСТВЕННОЕ БЮДЖЕТНОЕ УЧРЕЖДЕНИЕ "ГИДРОСПЕЦГЕОЛОГИЯ"

УПРАВЛЕНИЕ ГОСУДАРСТВЕННОГО МОНИТОРИНГА СОСТОЯНИЯ НЕДР

ИНФОРМАЦИОННАЯ СВОДКА О ПРОЯВЛЕНИЯХ ЭКЗОГЕННЫХ ГЕОЛОГИЧЕСКИХ ПРОЦЕССОВ НА ТЕРРИТОРИИ РОССИЙСКОЙ ФЕДЕРАЦИИ ЗА III КВАРТАЛ 2024 Г.

Начальник Управления ГМСН **Н. В. Алексеева**

Заместитель начальника управления - начальник отдела мониторинга ЭГП Управления ГМСН **А. А. Вожик**

Москва, 2024

ОГЛАВЛЕНИЕ

ВВЕДЕНИЕ 3

1. Краткая методика составления информационных сводок о проявлениях опасных ЭГП на территории Российской Федерации 4

2. Краткая информация о случаях активизации экзогенных геологических процессов, зафиксированных в III квартале 2024 г. на территории Российской Федерации 5

2.1. Северо-западный федеральный округ 5

2.2. Центральный федеральный округ 6

2.3. Южный федеральный округ 6

2.4. Северо-Кавказский федеральный округ 7

2.5. Приволжский федеральный округ 7

2.6. Уральский федеральный округ 8

2.7. Сибирский федеральный округ 9

2.8. Дальневосточный федеральный округ 10

ЗАКЛЮЧЕНИЕ 12

ПРИЛОЖЕНИЕ 1 Карта активных проявлений опасных экзогенных геологических процессов, зафиксированных на территории Российской Федерации в III квартале 2024 г. 13

ПРИЛОЖЕНИЕ 2 Данные об активизациях экзогенных геологических процессов на территории российской федерации в III квартале 2024 г. 14

ПРИЛОЖЕНИЕ 3. Фотоматериалы 187

.

Сводка подготовлена в отделе мониторинга
экзогенных геологических процессов
Управления ГМСН ФГБУ «Гидроспецгеология».

Составители: Королев Е.Ю., Заботкин А.А

ВВЕДЕНИЕ

Обобщение и анализ информации об активных проявлениях опасных экзогенных геологических процессов (далее – ЭГП) и последствиях их воздействий на населенные пункты и хозяйственные объекты по территории Российской Федерации в III квартале 2024 г. выполнены Управлением государственного мониторинга состояния недр (далее – ГМСН) ФГБУ «Гидроспецгеология» на основании материалов и информационных сводок, представленных Северо-Западным, Центральным, Южным, Приволжским, Уральским, Сибирским и Дальневосточным региональными центрами ГМСН.

Информационной основой для составления сводки служат:

- результаты наблюдений на пунктах наблюдательной сети ГМСН;
- результаты плановых и оперативных инженерно-геологических обследований территорий и хозяйственных объектов, подверженных негативному воздействию опасных ЭГП;
- заверенные сведения из СМИ.

В текстовой части информационной сводки о проявлениях ЭГП на территории Российской Федерации за III квартал 2024 г. представлено краткое описание активных проявлений опасных ЭГП, факторов их развития и описание негативных воздействий на населенные пункты, хозяйственные объекты и объекты инфраструктуры, а также земли различного назначения. В приложении 2 к информационной сводке представлено подробное описание активных проявлений опасных ЭГП, их административная и координатная привязки, а также фотоматериалы. В приложении 3 представлены фотоматериалы в более наглядном формате.

Местоположение активных проявлений опасных ЭГП, зафиксированных на территории Российской Федерации в III квартале 2024 г. представлено в приложении 1. Кроме того, местоположение и описание активных проявлений опасных ЭГП отражено на интерактивной карте проявлений ЭГП, которая представлена на официальном сайте Управления ГМСН geomonitoring.ru – http://geomonitoring.ru:13159/.

1. Краткая методика составления информационных сводок о проявлениях опасных ЭГП на территории Российской Федерации

В информационной сводке приводится информация об активных проявлениях опасных ЭГП. Проявление считается активным если показатель активности за оцениваемый период составляет более 5 %. Для оценки активности проявления используется методика, представленная ниже.

Главный параметр режима опасных ЭГП – степень их активности, определяемая по величине изменения геологической среды в зоне развития опасных ЭГП. Количественными показателями активности опасных ЭГП могут служить: величины и скорости деформаций горных пород, изменения массы и объема, изменения площадей и линейных размеров проявлений опасных ЭГП, количество активизировавшихся или вновь возникших проявлений и т.д. По результатам наблюдений на площадном пункте определяется активность отдельных проявлений опасных ЭГП за определенный период времени.

Активность опасного ЭГП (на момент наблюдения) в пределах отдельного проявления оценивается в процентах и определяется как отношение суммарной площади активной части проявления опасного ЭГП к площади всего проявления опасного ЭГП (например, если на момент наблюдения всё проявление находится в активном состоянии, то присваивается значение 100 %; если на момент наблюдения в пределах проявления отсутствуют признаки активности, то присваивается значение 0 %; в остальных случаях активность опасного ЭГП составляет от 0 до 100 %). Дополнительно приводится суммарная площадь активной части проявления опасного ЭГП на момент наблюдения в м².

Для определения активности опасного ЭГП в пределах проявления за определенный период времени (например, за месяц, квартал или год) необходимо корректно определить площадь активной части проявления (Рисунок).

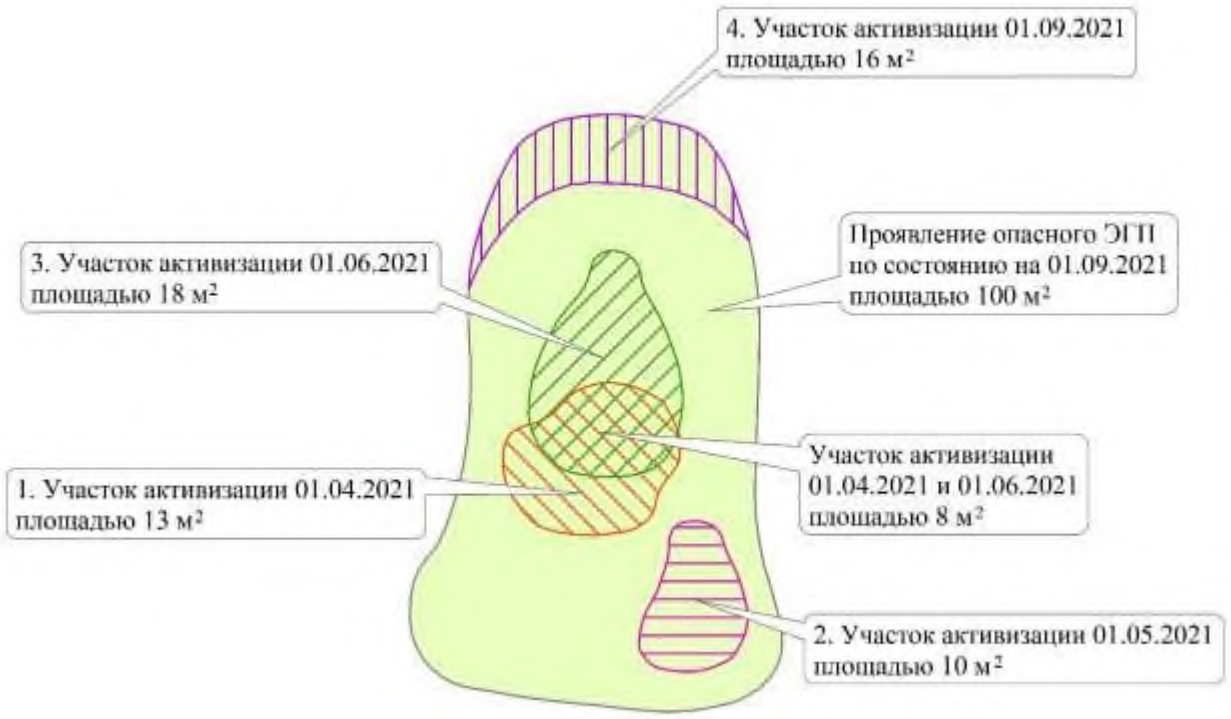

Рисунок – Пример определения активности опасного ЭГП в пределах проявления за определенный период времени

Из примера (Рисунок) видно, что в 2021 г. в пределах проявления фиксировалась активизация опасного ЭГП в различные периоды времени на 4-х участках. Участок активизации № 4 увеличил общую площадь проявления на 16 м², поэтому общая площадь определяется с учетом последней активизации и составляет 100 м². Участки активизации № 1 и № 3 пересекаются. Площадь активной части учитывается 1 раз для оцениваемого периода, т.е. площадь пересечения участков активизации № 1 и 3 вычитается из суммы площадей этих участков. Таким образом, активность опасного ЭГП в пределах проявления в оцениваемый период 2021 г. для данного примера составляет: (10 + 13 + 18 – 8 + 16) × 100 % / 100 = 49 %, а общая площадь активной части проявления опасного ЭГП за 2021 г. составляет: 10 + 13 + 18 – 8 + 16 = 49 м².

2. Краткая информация о случаях активизации экзогенных геологических процессов, зафиксированных в III квартале 2024 г. на территории Российской Федерации

В III квартале 2024 г. информация об активных проявлениях опасных ЭГП на территории РФ была получена преимущественно по результатам дежурных и плановых инженерно-геологических обследований. Всего был обследован 363 площадной пункт государственной опорной наблюдательной сети ГМСН. Также учитывалась заверенная специалистами ФГБУ «Гидроспецгеология» информация об активизациях опасных ЭГП из СМИ и официальнрых информационных ресурсов МЧС России, Росавтодора и др.

Ниже представлена информация об активных проявлениях опасных ЭГП в разрезе федеральных округов РФ.

2.1. Северо-западный федеральный округ

В целом в III квартале 2024 г. на территории Северо-Западного федерального округа было зафиксировано 27 активных проявления опасных ЭГП, в том числе: 10 – криогенной группы (деградация ММП и криогенное пучение), 3 – овражной эрозии, 6 – оползневого, 1 – осыпного и 5 – обвального процесса, 2 – карстово-суффозионного процесса. В основном активность опасных ЭГП наблюдалась в пределах низких значений, на отдельных участках в пределах средних значений. Всего отмечено 11 случаев активизации опасных ЭГП, сопровождавшихся воздействием на объекты различного назначения: земли ООПТ и водного фонда, дороги с твердым покрытием.

В 3-м квартале 2024 г. развитие процессов в основном происходило под влиянием природных (гидрогеологических, метеорологических, гидрологических), в отдельных случаях техногенных факторов.

Калининградская область. В III квартале 2024 г. на территории области зафиксировано 5 случаев активизации опасных ЭГП, в том числе 3 случая оползневого процесса, по 1 – обвального процесса и овражной эрозии. Все случаи активизации сопровождались воздействием на земли водного фонда или инженерные сооружения.

Ленинградская область. В III квартале на территории области было зафиксировано 4 проявления обвального процесса с признаками активизации. Все случаи активизации сопровождались воздействием на земли особо охраняемых природных территорий (ООПТ).

Мурманская область. В III квартале на территории области отмечал 4 случая активизации опасных ЭГП, из которых 2 – оползневого процесса, 1 – овражной эрозии и 1 – осыпного процесса.

Республика Коми. В III квартале преобладала активность процессов криогенной группы (деградация ММП, криогенное пучение) – 10, а также были зафиксированы единичные случаи активизации процесса овражной эрозии (1), оползневого (1) и карстово-суффозионного процессов (2). Негативные воздействия на линейные сооружения от активизации оползневого процесса и овражной эрозии были отмечены в г. Воркута.

2.2. Центральный федеральный округ

Всего в III квартале 2024 г. на территории ЦФО зафиксировано 26 активных проявлений опасных ЭГП, в том числе 15 – оползневого процесса, 3 – карстово-суффозионных процессов, 8 – овражной эрозии. По результатам обследования было зафиксировано 2 проявления, сопровождающихся воздействием на различные объекты хозяйственного назначения.

Брянская область. В III квартале 2024 г. на территории области зафиксировано 1 активное проявление процесса овражной эрозии в г. Брянске.

Владимирская область. В III квартале 2024 г. на территории области зафиксировано 2 активных проявления оползневого процесса в Суздальском районе и г. Владимир.

Ивановская область. В III квартале 2024 г. на территории области зафиксировано 4 активных проявления оползневого процесса в Пучежском районе.

Костромская область. В III квартале 2024 г. на территории области зафиксировано 1 активное проявление оползневого процесса в г. Кострома.

Липецкая область. В III квартале 2024 г. на территории области зафиксировано 8 активных проявления опасных ЭГП: 3- оползневого процесса, 3 - карстово-суффозионных и 2 – процесса овражной эрозии. Активизация наблюдалась в Данковском, Лебедянском, Добровском, Чаплыгинском и Липецком районах. В результате активизации проявления оползневого процесса отмечалось 1 воздействие на земли населённого пункта в Липецком районе (частное домовладение).

г. Москва. В III квартале 2024 г. на территории города зафиксировано 8 активных проявления опасных ЭГП: 4- оползневого процесса и 4 – процесса овражной эрозии. В результате активизации проявления 1 оползневого процесса отмечалось воздействие на линейное сооружение.

Смоленская область. В III квартале 2024 г. на территории области зафиксировано 2 активных проявления опасных ЭГП: 1 – оползневого процесса и 1 – процесса овражной эрозии в г. Смоленске.

2.3. Южный федеральный округ

На территории Южного федерального округа в III квартале 2024 г. было зафиксировано 132 активных проявления опасных ЭГП, в том числе 33 на территории Краснодарского края, 32 – Ростовской области, 29 – Волгоградской области, 20 – Республики Крым, 16 - Астраханской области и 2 - Республики Адыгея. В 46 случаях активность выявленных проявлений сопровождалась негативными воздействиями.

Астраханская область. В III квартале 2024 г. на территории области отмечалось 16 случаев активизации ЭГП, в том числе: 8 случаев активизации карстового процесса процесса, 4 случая – карстового и 4 случая обвального процессов. В 1 случае отмечалось негативное воздействие на земли сельскохояйственного назначения.

Волгоградская область. В III квартале 2024 г на территории области отмечалось 29 случаев активизации обвального процесса. В 5 случаях отмечалось негативное воздействие на земли сельскохояйственного назначения, а также в 1 случае на объекты инфраструктуры.

Республика Адыгея. В III квартале 2023 г. на территории республики отмечалось 2 случая активизации ЭГП, в том числе: 1 – оползневого процесса и 1 – обвального процесса.

Краснодарский край. В III квартале 2023 г. на территории края было отмечалось 33 случая активизации ЭГП, в том числе: 19 – обвального процесса и 14 – ползневого процесса. выявлено 33 активных проявления оползневого процесса. В 25 случая отмечалось негативное воздействие ЭГП на различные объекты инфраструктуры, а также на земли сельскохояйственного назначения.

Республика Крым. В III квартале 2023 г. выявлено 20 случаев активизации оползневого процесса, в 12 случаях отмечалось воздействие на автодороги с грунтовым и асфальтовым покрытием.

Ростовская область. В III квартале 2024 г. выявлено 32 случая активизации ЭГП, в том числе: 20 обвального процесса и 12 оползневого процесса. В 2-х случая отмечалось негативное воздействие на обеъекты инфраструктуры.

2.4. Северо-Кавказский федеральный округ

В целом по округу в III квартале 2024 г. выявлено 97 активных проявлений опасных ЭГП, в том числе 61 – оползневого, 22 – осыпного и 14 обвального. В 56 случаях активизация сопровождалась негативным воздействием.

Республика Дагестан. В III квартале 2024 г. зафиксировано 20 активных проявлений ЭГП, в том числе 14 обвального и 6 оползневого процессов. В 17 случаях отмечено негативное воздействие ЭГП на автодороги.

Республика Ингушетия. В III квартале 2024 г. зафиксировано 3 случая активизации ЭГП, в том числе: 2 – осыпного и 1 – оползневого процессов.

Кабардино-Балкарская Республика. В III квартале 2024 г. выявлено 7 активных проявлений оползневого процесса. В 4-х случаях отмечалось воздействие процессов опасных ЭГП на линейные объекты инфраструктуры (газопровод и автодороги).

Карачаево-Черкесская Республика. В III квартале 2023 г. выявлен 1 случай активизации оползневого процесса. В 1 случае отмечалось негативное воздействие на жилые дома.

Республика Северная Осетия – Алания. В течение III квартала 2024 года выявлен 31 случай активизации ЭГП (20 – осыпного и 11 – оползневого процессов). В 24 случаях отмечено негативное воздействие ЭГП на линейные объекты инфраструктуры (автодороги, ЛЭП)

Чеченская Республика. В III квартале 2024 г. выявлено 23 случая активизации оползневого процесса. В 10 случаях отмечалось негативное воздействие на объекты линейной инфраструктуры (автодороги).

Ставропольский край. Всего в III квартале 2024 г. выявлено 12 случаев активизации оползневого процесса.

2.5. Приволжский федеральный округ

Всего на территории Приволжского федерального округа было отмечено 76 случаев активизации опасных ЭГП, в том числе 43 случая активизации оползневого процесса, 32 - овражной эрозии, 5 - карстового процесса, 1 – суффозионного процесса, 2 - процесса оседания и обрушения поверхности над горными выработками и 1 - осыпного процесса. 28 случаев активизации ЭГП сопровождались воздействием на земли различного назачения и линейныее сооружения.

Республика Башкортостан. На территории Республики Башкортостан в III квартале 2024 г. было выявлено 8 случай активизации опасных ЭГП, в том числе 5 случаев – карстового процесса, 2 случая - овражной эрозии и 1 случай – оползневого процесса. Из них 2 случая активизации сопровождались негативным воздействием на приусадебный участок и автодорогу. Основные факторы активизации опасных ЭГП – обильные атмосферные осадки в летний период.

Республика Марий Эл. Всего на территории Республики Марий Эл в III квартале 2024 г. было отмечено 4 случая активизации процесса овражной эрозии. По фактам активизации процесса негативных воздействий не отмечалось.

Республика Мордовия. В Республике Мордовия в III квартале 2024 г. случаев активизации опасных ЭГП не зафиксировано.

Республика Татарстан. На территории Республики Татарстан в III квартале 2024 г. случаев активизации опасных ЭГП не зафиксировано.

Удмуртская Республика. В Удмуртской Республике в III квартале 2024 г. зафиксировано 17 случаев активизации опасных ЭГП, в том числе 10 случаев активизации оползневого процесса, 6 случаев активизации овражной эрозии и 1 случай - суффозионного

процесса. Случаев негативного воздействия опасных ЭГП на земли различного назначения и объекты инфраструктуры не отмечено.

Чувашская Республика. В Чувашской Республике в III квартале 2024 г. отмечалось 11 активных проявлений овражной эрозии. Случаев негативного воздействия опасного ЭГП на земли различного назначения и объекты инфраструктуры не отмечалось.

Пермский край. В Пермском крае в III квартале 2024 г. отмечено 2 случая активизации процесса оседания поверхности над горными выработками, сопровождавшихся воздействием на земли населенных пунктов городов Березники и Соликамск.

Кировская область. В Кировской области в III квартале 2024 г. отмечено 3 случая активизации опасных ЭГП, в том числе 2 - овражной эрозии, 1 - осыпного процесса. Основным фактором активизации ЭГП являются атмосферные осадки; реже отмечается техногенный фактор (неорганизованный сток талых и ливневых вод). Негативного воздействия опасных ЭГП на земли различного назначения и хозяйственные объекты не отмечено.

Нижегородская область. В Нижегородской области в III квартале 2024 г. случаев активизации опасных ЭГП не отмечалось.

Оренбургская область. Всего на территории Оренбургской области в III квартале 2024 г. было отмечено 3 случая активизации опасных ЭГП (овражной эрозии). Основной фактор активизации – атмосферные осадки. Негативного воздействия опасных ЭГП на земли различного назначения и хозяйственные объекты не отмечено.

Пензенская область. На территории Пензенской области в III квартале 2024 г. отмечено 3 случая активизации оползневого процесса, 2 случая из которых сопровождались негативным воздействием н территории населенных пунктов. Основной фактор активизации – метеорологический.

Самарская область. В Самарской области в III квартале 2024 г. случаев активизации опасных ЭГП не отмечалось.

Саратовская область. На территории Саратовской области в III квартале 2024 г. случаев активизации опасных ЭГП не отмечалось.

Ульяновская область. На территории Ульяновской области в III квартале 2024 г. зафиксировано 25 случаев активизации оползневого процесса, из них 22 случая сопровождались негативными воздействиями, в том числе 11 случаев – на земли населенных пунктов, 6 – на сельскохозяйственные земли, 5 – на земли лесного хозяйства. Основные факторы активизации – метрологический и гидрогеологический.

2.6. Уральский федеральный округ

В III квартале 2024 г. на территории Уральского федерального округа и входящих в него субъектов Российской Федерации зафиксировано 51 активных проявлений опасных ЭГП, в том числе 51 – овражной эрозии, 20 – оползневого процесса, 12 – карстово-суффозионного процесса, 10 – комплекса гравитационных процессов, 6 – термоэрозии, 3 – подтопления, 3 – осыпного процесса, 1 – пучения и 1 случай – оседания и обрушения поверхности над горными выработками. Негативные воздействия на инженерно-хозяйственные объекты отмечались в 10 случаях активизации опасынх ЭГП под влиянием, преимущественно, метеорологических, гидрогеологических, реже техногенных факторов.

На территории **Курганской области** в III квартале 2024 г. сведений об активизации опасных ЭГП и негативных воздействиях на инженерно-хозяйственные объекты не поступало.

На территории **Свердловской области** в III квартале 2024 г. зафиксировано 13 активных проявлений опасных ЭГП, в том числе 3 – овражной эрозии, 6 – оползневого процесса, 3 – карстово-суффозионного процесса и 1 случай оседания и обрушения поверхности над горными выработками. Активное развитие 4 проявлений опасных ЭГП сопровождалось негативными воздействиями, в основном на земли сельскохозяйственного назначения.

На территории **Тюменской области** в III квартале 2024 г. сведений об активизации опасных ЭГП и негативных воздействиях на инженерно-хозяйственные объекты не поступало.

На территории **Челябинской области** в III квартале 2024 г. обследовано 21 активных проявлений опасных ЭГП, в том числе 13 – овражной эрозии, 7 – оползневого процесса, 1 – карстово-суффозионного процесса. Основным фактором активизации опасных ЭГП за отчетный квартал послужили обильные ливневые осадки, выпавшие на территории области в июне-июле 2024 г. Отмечена техногенная активизация овражной эрозии на борту Копейского карьера, вследствие сброса в него сточных вод по канаве. Отмечено 3 случая активизации опаснфых ЭГП, сопровождавшихся воздействием на нженерные сооружения и земли различкого назначения.

На территории **ХМАО-Югры** в III квартале 2024 г. выявлено 3 активизации процесса подтопления. Во всех случаях было оказано воздействие на земли населенных пунктов. Основные факторы активности опасных ЭГП за отчетный квартал – метеорологические (ливневые дожди).

На территории **ЯНАО** в III квартале 2024 г. зафиксировано 14 активных проявления опасных ЭГП, в том числе 5 – оползневого процесса, 2 – осыпного процесса, 6 – термоэрозионного, 1 – процесса пучения. Случаев негативного воздействия опасных ЭГП на земли различного назначения и объекты инфраструктуры не отмечалось.

2.7. Сибирский федеральный округ

Всего на территории округа в III квартале 2024 г. было выявлено 271 случай активизации опасных ЭГП, в том числе 135 – процесса овражной эрозии, 46 – оползневого процесса, 27 – осыпного процесса, 26 – процесса подтопления, 17 – обвального процесса, 9 – карстового процесса, 4 - процесса эоловой аккумуляции, 3 – суффозионного процесса, и по 2 – процессов дефляции, оседания поверхности над горными выработками. Всего зафиксировано 150 случаев воздействия опасных ЭГП на объекты инфрастуктуры, жилые дома и земли различного назначения.

Республика Алтай. На территории Республики Алтай в III квартале 2024 г. зафиксировано 59 случаев активизации ЭГП, в том числе 24 случая активизации оползневого процесса, 20 случаев активизации осыпного процесса, 9 случаев активизации процесса овражной эрозии и 6 случаев активизации обвального процесса. В 40 случая отмечалось негативное воздействие ЭГП на различные объекты линейной инфраструктуры и земли сельскохозяйственного назначения.

Республика Тыва. На территории Республики Тыва было зафиксировано 19 случаев активизации опасных ЭГП, в том числе: 12 проявлений овражной эрозии, 4 проявления осыпного процесса, 3 проявления обвального процесса. В 5 случаях активизации отмечалось негативное воздействие на различные объекты инфраструктуры.

Республика Хакасия. На территории республики в III квартале 2024 г. зафиксировано 11 случаев активизации опасных ЭГП, в том числе: 6 случаев активизации оползневого процесса, 3 – процесса подтопления и 2 – процесса овражной эрозии. В 9 случаях отмечалось негативное воздействие опасных ЭГП на объекты линейной инфраструктуры, а также на жилые дома.

Красноярский край. На территории субъекта в III квартале 2024 г. зафиксировано 43 случая активизации опасных ЭГП, в том числе: 32 случая активизации процесса овражной эрозии, 4 – оползневого процесса, 4 – процесса подтопления, и 3 – суффозионного процесса. В 15 случая отмечалось негативное воздействие на земли сельскохозяйственного назначения, а также жилые дома.

Иркутская область. На территории Иркутской области в III квартале 2024 г. было зафиксировано 47 случаев активизации опасных ЭГП, в том числе: 22 случая активизации процесса овражной эрозии, 9 – карстового процесса, 7 – оползневого процесса, 6 – процессов эоловой аккумуляции и дефляции, 2 – процесса подтопления и 1 – обвального процесса. В 19 случаях отмечалось негативное воздействие на объекты линейной инфраструктуры и жилые дома.

Кемеровская область-Кузбасс. На территории Кемеровской области-Кузбасса в III квартале 2024 г. зафиксировано 15 случаев активизации опасных ЭГП, в том числе: 5 случаев активизации процесса подтопления, 4 – обвального процесса, 3 – осыпного процесса, 2 – процесса оседания и обрушения поверхности над горными выработками, 1 – оползневого процесса. В 9 случаях отмечалось негативное воздействие на жилые дома, различные здания и сооружения, земли лесного фонда.

Новосибирская область. в III квартале 2024 г. на территории области зафиксировано 45 случаев активизации опасных ЭГП, в том числе: 33 – процесса овражной эрозии, 11 случаев активизации процесса подтопления и 1 – обвального процесса. В 38 случаях отмечалось негативное воздействие на жилые дома, различные здания и сооружения, земли сельскохозяйственного назначения, а также земли лесного фонда.

Омская область. Всего на территории Омской области в III квартале 2024 г. было выявлено 25 случаев активизации опасных ЭГП, все из которых приходятся на процесс овражной эрозии. В 13 случаях отмечалось негативное воздействие на земли сельскохозяйсвтенного назначения.

Томская область. Всего на территории Томской области в III квартале 2024 г. отмечено 7 случаев активизации опасных ЭГП, в том числе: 4 случая активизации оползневого прцоесса, 2 – обвального процесса и 1 – процесс подтопления. В 2 случаях отмечалось негативное воздействие на жилые дома.

2.8. Дальневосточный федеральный округ

В III квартале 2024 г. на территории Дальневосточного федерального округа выявлено 58 случаев активизации опасных ЭГП, в том числе: 16 случаев активизации комплекса гравитационных процессов, 16 – оползневого процесса, 8 – осыпного процесса, 10 – процесса овражной эрозии, 4 – процесса криогенного пучения, 3 – процесса подтопления, и 1 случай – процесса оседания и обрушения поверхности над горными выработками. В 27 случаях активизации отмечались негативные воздействия на различные объекты инфраструктуры, жилые дома, а также земли сельскохозяйственного назначения.

На территории ***Республики Бурятия*** в III квартале 2024 г. зафиксировано 9 случаев активизаций опасных ЭГП: в том числе 6 случаев активизации процесса овражной эрозии и 3 случая – процесса подтопления. В 7 случаях отмечалось негативное воздействие на жилые дома, различные здания и сооружения, а также земли сельскохозяйсвтенного назначения.

Всего на территории ***Забайкальского края*** в III квартале 2024 г. было зафиксировано 6 случаев активизации опасных ЭГП, в том числе 3 случая активизации оползневого процесса, и по 1 случаю – процесса оседания и обрушения поверхности над горными выработками, процесса овражной эрозии, осыпного процесса. В 2 случаях отмечалось негатвиное воздействие на автодороги.

На территории Республики ***Саха (Якутия)*** выявлено 4 случая активизации комплекса гравитационных процессов.

На территории ***Приморского края*** выявлена 9 случаев активизации опасных ЭГП, в том числе: 7 – оползневого процесса и 2 – осыпного процесса. Во всех случаях отмечалось негативное воздействие на линейные объекты инфраструктуры.

На территории ***Амурской области*** отмечалось 3 случая активизации процесса овражной эрозии, во всех случаях отмечалось негативное воздействие на земели сельскохозяйственного назначения.

На территории ***Хабаровского края*** в III квартале 2024 г отмечалось 15 случаев активизации опасных ЭГП, в том числе: 12 – комплекса гравитационных процессов и 3 – оползневого процесса.

На территории ***Магаданской области*** зафиксировано 5 случаев активизации опасных ЭГП, в том числе: 3 – осыпного процесса и 2 – процесса криогенного пучения. Во всех случаях отмечалоь негативное воздействие на объекты инфраструктуры.

На территории ***Сахалинской области*** было зафиксирован 1 случай активизации оползневого процесса, который оказывал негативное воздействие на объекты линейной инфраструктуры (автодороги).

На территории ***Чукотского автономного округа*** в III квартале 2024 г зафиксировано 6 случаев активизации опасных ЭГП, в том числе: 2 случая осыпного процесса, 2 – оползневого процесса и 2 – процесса криогенного пучения.

ЗАКЛЮЧЕНИЕ

В III квартале 2024 г. при ведении государственного мониторинга за опасными ЭГП на территории Российской Федерации было зафиксировано активное развитие, преимущественно, оползневого процесса.

Всего выявлено 738 активных проявлений опасных ЭГП, из них:

- 271 – на территории Сибирского федерального округа;
- 132 – на территории Южного федерального округа;
- 97 – на территории Северо-Кавказского федерального округа;
- 76 – на территории Приволжского федерального округа;
- 58 – на территории Дальневосточного федерального округа.
- 51 – на территории Уральского федерального округа;
- 27 – на территории Северо-западного федерального округа.
- 26 – на территории Центрального федерального округа;

Наибольшее количество активных проявлений наблюдалось:

- оползневого процесса – 252;
- процесса овражной эрозии – 200;
- обвального процесса – 109.

Из 738 активных проявлений опасных ЭГП, выявленных на всей территории Российской Федерации в III квартале 2024 г., 330 негативно воздействовали на здания и сооружения, линейные объекты и земли различного назначения. Наибольшее количество случаев воздействия опасных ЭГП было зафиксировано на территории Сибирского (150), Северо-Кавказского (56) и Уральского (46) федеральных округов.

В III квартале 2024 г. случаев ввода режима ЧС, связанных с активизацией опасных ЭГП не зафиксировано.

ПРИЛОЖЕНИЕ 1

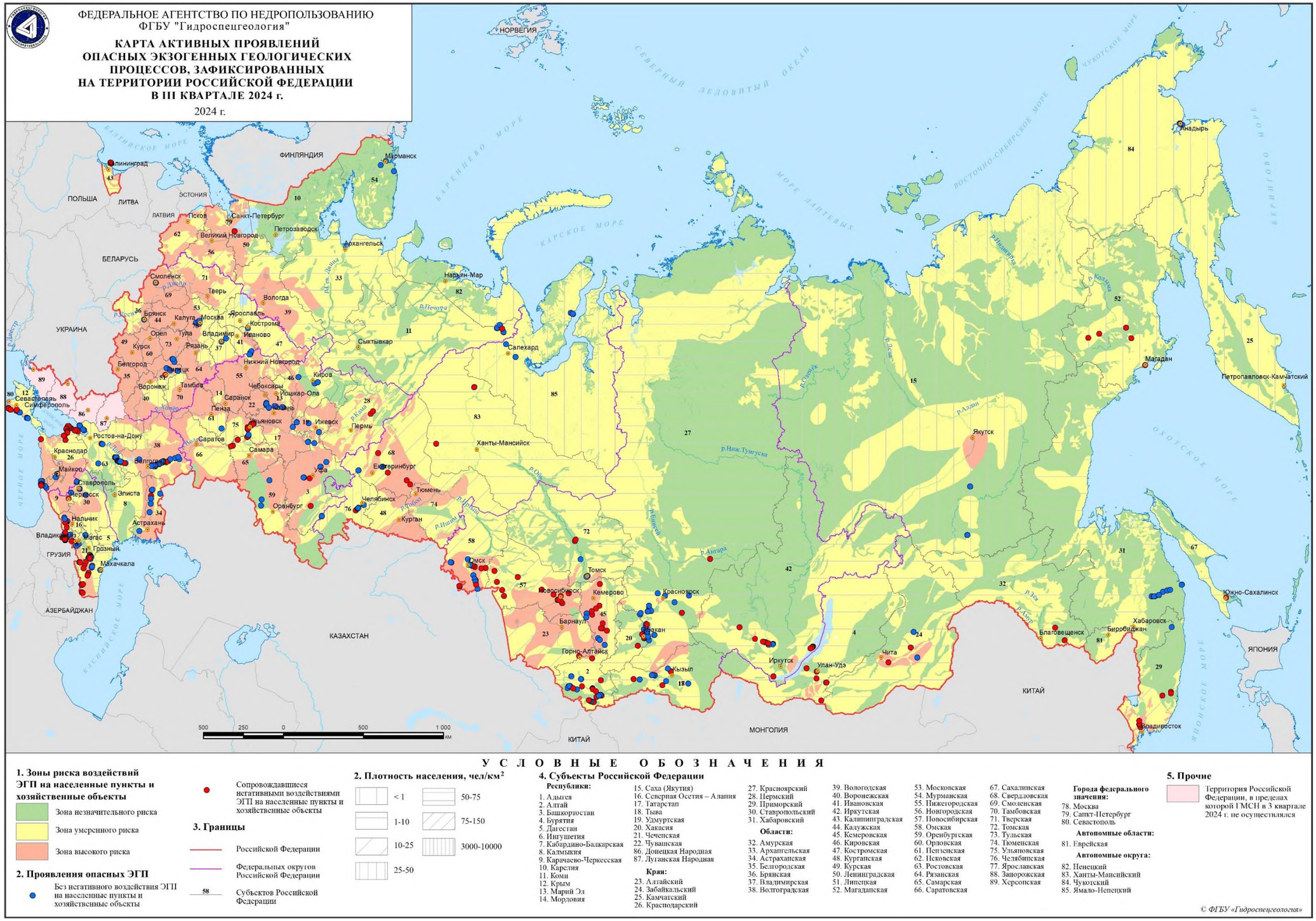

Карта активных проявлений опасных экзогенных геологических процессов, зафиксированных на территории Российской Федерации в III квартале 2024 г.

ПРИЛОЖЕНИЕ 2

ДАННЫЕ ОБ АКТИВИЗАЦИЯХ ЭКЗОГЕННЫХ ГЕОЛОГИЧЕСКИХ ПРОЦЕССОВ НА ТЕРРИТОРИИ РОССИЙСКОЙ ФЕДЕРАЦИИ В III КВАРТАЛЕ 2024 Г.

№ п/п	ФО РФ	СРФ	Административная привязка	Координаты (ГСК-2011)		Период активизации ЭГП		Генетический тип ЭГП	Основные факторы активизации ЭГП	Негативные воздействия ЭГП	Характеристика активного проявления/случая активизации	Фотоматериалы	Примечание
				широта	широта	начало	окончание						
39-11-0001	Северо-Западный	Калининградская область	Светлогорский городской округ пгт. Донское	54,93188	19,95357	00.06.24	Не завершилась	Оп	Атм.; Гидрогеол ;Гидрол.	Отмечалось	В Светлогорском городском округе в пгт. Донское береговой склон очень крутой, практически отвесный, высотой от 18 до 40 м, на всём протяжении (2,1 км) поражён оползневым процессом. Оползни блоковые, плоскости схода косые. Поверхность скольжения имеет на себе следы полировки и штриховки – зеркала скольжения. Склон, не задернован, растительность практически отсутствует. У подножия склона наблюдается аккумуляция свежего песка и супесчаного материала – делювиально-коллювиальных отложений. На склоне от временных водотоков присутствуют борозды размыва, рытвины, промоины. Отмечаются несколько глубоких овражных врезов с крутыми склонами и узким тальвегом. Комплексы горных пород, затронутых процессом: N2– la, QI рыхлые пески с небольшими прослоями супесчаных отложений. Базис развития: пляж, урез воды Балтийского моря. Воздействию подвержены спусковые лестницы и земли водного фонда.		
39-11-0002	Северо-Западный	Калининградская область	Светлогорский городской округ, п. Маяк	54,9529	19,9731	00.06.24	Не завершилась	Оп	Атм.; Гидрогеол .;Гидрол.	Отмечалось	В п. Маяк Светлогорского района береговой склон высотой до 30 м, практически отвесный, поражён активным оползневым процессом. Оползни блоковые, плоскости схода косые. Поверхность скольжения имеет на себе следы полировки и штриховки – зеркала скольжения. Надоползневой уступ не задернован, растительность местами практически отсутствует, наблюдается «пьяный лес» и поваленные деревья, что говорит о регулярной активности. Наблюдаются свежие коллювиально-делювиальные конусы выноса у подножья. Базисом развития процесса служит подножие склона. Общая протяжённость активной части проявления оползневого процесса достигает 1,6 км, ширина отдельных вторичных оползней по нижней части конуса выноса составляет 80 – 430 м, длина – от 30 до 57 м. Парагенетически оползневой процесс на данном участке сопровождается суффозией. Основное воздействие в настоящее время процесс оказывает на водоохранную зону (земли водного фонда). При воздействии сползает почвенный слой с дерниной, кустарником, деревьями, что вызывает значительные изменения в очертании береговых склонов, приводит к их разрушению. Дальнейшее развитие процесса может угрожать территории расположения Маяка Таран.		
39-11-0003	Северо-Западный	Калининградская область	Светлогорский городской округ, п. Филино	54,94692	20,05472	00.06.24	Не завершилась	Оп	Атм.; Гидрогеол .;Гидрол.	Отмечалось	На протяжении всей береговой линии от п. Филино до г. Светлогорска склон поражён оползневым и сопутствующими осыпным и обвальным процессами, о чем свидетельствуют делювиально-коллювиальные отложения, сплывы, оползания суглинистых прослоек и темно-серых глин, обвалы глыб песчаных (в т.ч. обломков конгломератов, торфа) пород у подножья склона. Также отмечаются следы парагенетически тесно связанных процессов дефляции и суффозионного процессов. В результате выдувания и вымывания песчаных отложений образуется нависание дернины, крен и падение деревьев. Фиксируется струйное осыпание разнозернистого сухого песка. Высота склона достигает 52 м. Базис развития процесса – пляж Балтийского моря. В результате активизации оползневого процесса обрушилась бетонная лестница, а также часть тропы, проложенной по верхней бровке берегового склона и металлические перила смотровой площадки.		

39-10-0001	Северо-Западный	Калининградская область	Светлогорский городской округ пгт. Донское	54,92910	19,94851	00.06.24	Не завершилась	Об	Атм.; Гидрогеол.;Гидрол.	Отмечалось	Крупная обвальная масса отмечается на береговом склоне в пгт. Донское. Обвал сложен валунами и глыбами с песчано-гравийо-галечниковым материалом. Размеры проявления: длина до 20 м, ширина 50 м, высота до 8 м. Обвальные продукты являются результатом разрушения прослоев конгломератов, спорадически присутствующих на оголённой части берегового склона. Неокатанные обломки представляют собой литифицированный супесчаный и суглинистый материал. Состав горных пород, затронутых проявлением: в массиве N2 – la Q I - конгломераты (в т.ч. валунные), продукты - от песка до валунов, глыбы. Базис развития: подошва склона, пляж Балтийского моря. Воздействие оказано на водоохранную зону (пляж).		
39-22-0001	Северо-Западный	Калининградская область	Светлогорский городской округ пгт. Донское	54,93188	19,95357	00.06.24	Не завершилась	Эо	Атм.; Гидрогеол.;Гидрол.	Отмечалось	В Светлогорском городском округе в пгт. Донское береговой склон поражён процессом овражной эрозии. Наблюдается крупный овражный врез по всей высоте от верхней бровки до подножья. По нижней части тальвега и устья отмечаются свежие делювиальные отложения, крупный конус выноса. Также отмечается редкий коллювий, представленный галечниками и валунами. Раскрытие бортов достигает 21 м, высота берега на проявлении достигает 30 м. Тальвег практически прямой, простирание ~335°. На момент обследования тальвег не обводнён, однако горные породы сильно увлажнённые. Комплексы горных пород, затронутые проявлением: N2 – la Q I рыхлые пески с небольшими прослоями супесчаных отложений. Базис: пляж, урез воды Балтийского моря. Воздействие отмечается на спусковую лестницу и водоохранную зону.		
47-10-0001	Северо-Западный	Ленинградская область	Кировский район,Назиевское городское поселение, вблизи д. Васильково	59,87882	31,58618	00.06.24	Не завершилась	Об	Атм.;Гидрогеол.; Гидрол.	Отмечалось	Обвальный процесс развивается на правом берегу р. Лава в пределах ООПТ Памятник природы «Каньон реки Лава». Высота склона до 15 м, площадь проявления до 408 м^2. Трещиноватые ордовикские известняки нависают над склоном, обваливаются и образуют коллювий у подножья склона – обломки известняков от дресвы и щебня до крупных глыб 0,5 м в поперечнике.		
47-10-0002	Северо-Западный	Ленинградская область	Кировский район,Назиевское городское поселение, вблизи д. Васильково	59,88046	31,58465	00.04.24	Не завершилась	Об	Атм.;Гидрогеол.; Гидрол.	Отмечалось	Обвальный процесс развивается на правом берегу р. Лава в пределах ООПТ Памятник природы «Каньон реки Лава». Высота склона до 15,2 м, площадь проявления до 278 м^2. Трещиноватые ордовикские известняки нависают над склоном, обваливаются и образуют коллювий у подножья склона – обломки известняков от дресвы до глыб.		

47-10-0003	Северо-Западный	Ленинградская область	Кировский район,Назиевское городское поселение, вблизи д. Васильково	59,88032	31,58300	00.04.24	Не завершилась	Об	Атм.;Гидрогеол.; Гидрол.	Отмечалось	Обвальный процесс развивается на правом берегу р. Лава в пределах ООПТ Памятник природы «Каньон реки Лава». Высота склона до 15 м, площадь проявления до 526 м^2. Трещиноватые ордовикские известняки нависают над склоном, обваливаются и образуют коллювий у подножья склона – обломки известняков от дресвы до глыб.	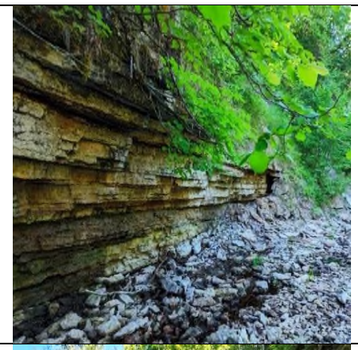	
47-10-0004	Северо-Западный	Ленинградская область	Кировский район,Назиевское городское поселение, вблизи д. Подолье	59,89495	31,59693	00.04.24	Не завершилась	Об	Атм.;Гидрогеол.; Гидрол.	Отмечалось	Правобережный склон р. Лава вблизи д. Подолье поражён обвально-осыпным процессом. Кембрийские глины в нижней части склона переувлажнены, песчаники трещиноваты, по их подошве отмечаются выходы подземных вод. У подножья склона (на пойме) отмечаются коллювиальные отложения и поваленные деревья. Воздействие на земли ООПТ – 198 м^2.		
51-11-0003	Северо-Западный	Мурманская область	Сельское поселение Пушной, Кольский район, ж/д ст. Лопарская	68,63364	33,22761	00.05.24	Не завершилась	Оп	Атм.;Гидрол.;Техн.	Не отмечалось	В посёлке возле ж/д станции Лопарская на правом берегу реки Кола наблюдается оползневой процесс. На активизацию оползневого процесса указывают обнажение корневой системы деревьев на склоне, оторванные от бровки и сползающие по склону куски дёрна. Состав пород, затронутых проявлением, благоприятен для развития оползневых процессов: гравийно-галечные отложения с песчаным заполнителем, с обломками коренных пород. Длина проявления 4 м, ширина 87 м, площадь 348 м^2.В непосредственной близости от бровки срыва построено здание церкви, что представляет опасность его обрушения или сползания при активизации процесса. Так же в зоне развития процесса находятся опора пешеходного моста через реку и столбы ЛЭП.		
51-12-0023	Северо-Западный	Мурманская область	Сельское поселение Пушной, Кольский район, ж/д ст. Лопарская	68,63615	33,22612	00.05.24	Не завершилась	Ос	Атм.;Гидрол.; Гидрогеол.; Техн.	Не отмечалось	Проявление осыпного процесса расположено в посёлке Лопарская на правом берегу реки Кола в 50 метрах ниже по течению от частного участка с постройками и в 50 метрах ниже по склону от грунтовой дороги. Осыпной склон в нижней части значительно задернован. Активизация происходит в центральной и верхней частях склона, где растительности нет или наблюдаются клочки дёрна, оторванные с бровки. Формируются свежие трещины и осыпные воронки. Состав пород, благоприятен для развития осыпных процессов (гравийно-галечные отложения с песчаным заполнителем и крупными окатанными валунами). Крутизна склона более 45°. Высота склона 5-6 м. Максимальная протяжённость осыпного склона составляет 15,3 м, перпендикулярно направлению смещения пород составляет 29 м, площадь активизации 144,5 кв^2. На развитие осыпного процесса оказывает существенное влияние уничтожение естественной растительности на поверхности склона туристами и местными жителями.		

51-11-0017	Северо-Западный	Мурманская область	г. Мурманск, Нижне-Ростинское шоссе, в 170 м от автобусной остановки «Контейнерная»	68,99035	33,06411	00.05.24	Не завершилась	Оп	Атм., Техн.	Не отмечалось	В г. Мурманск на придорожном склоне зафиксирована активизация оползневого процесса. Выше по склону проходит ул. Боровая и располагаются частный жилой дом и несколько заброшенных одноэтажных зданий. Проявление небольшое (площадь менее 2500 м^2), поверхностное (глубина захвата пород склона менее 2,5 м), 45 м в длину и 23 м в ширину. В 2023 году на площади проявления проведены работы по укреплению склона. Склон частично выровнен, сглажена стенка срыва и боковые бровки. Подошва склона укреплена крупно-гравийным материалом. Бетонная опора ЛЭП восстановлена. На момент обследования, не смотря на проведённые ранее восстановительные и укрепительные работы, на площади оползневого склона можно наблюдать элементы активизации процесса: свежие подтеки влажного песчано-гравийного грунта на теле оползня.		
51-22-0019	Северо-Западный	Мурманская область	Кольский район, пос. Териберка	69,12396	35,05729	00.05.24	Не завершилась	Эо	Атм., Техн.	Не отмечалось	Проявление процесса овражной эрозии расположено в 5 км от посёлка Териберка. На придорожном склоне под отвесной скалистой стенкой предположительно были проведены работы по прокладке кабеля. В результате работ (вырубка деревьев, повреждение дернового слоя) устойчивость природного склона была значительно снижена, что привело к развитию эрозионного процесса. Овраг развивается в направлении с запада на северо-восток. Общая площадь проявления составляет 630 м^2. Дно оврага широкое, влажное, грунт бугристый комковатый. Можно наблюдать сеть русел временных водотоков разной глубины (от 10 до 40 см). Боковые склоны пологие, частично заросшие травянистыми растениями. Ширина оврага в верхней части 6 м в нижней до 20 м.	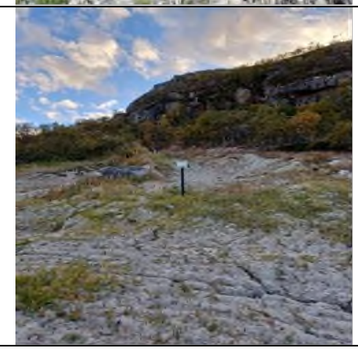	
11-32-0001	Северо-Западный	Республика Коми	МО ГО "Воркута", Воркутинский опорный мерзлотно-гидро-геологический полигон, участок детальных наблюденийМГП 1, 28,5 км на юго-запад от г. Воркута	67,4263	63,4184	00.00.1969	Не завершилась	КР	Атм.	Не отмечалось	Участок детальных наблюдений МГП 1 расположен в 28,5 км юго-западнее г. Воркута, в зоне прерывистого распространения голоценовых ММП. В состав пункта наблюдения входят: скв. ЗС-25; створ полуинструментальных измерений (скв. ВК-1615 – ЗС-12). В сентябре сняты показания температуры по стволам скважин на глубину до 20 м и до забоя, которая была в пределах значений прошлого года, и выше, теплее в сравнении со среднемноголетними её значениями. По результатам наблюдений за сентябрь 2024 г., прослеживается дальнейшая деградация ММП относительно её состояния на начало наблюдений. Состав пород, затронутых проявлением: торф, глины, суглинки; суглинки тяжёлые и средние с гравием и галькой, с прослойками гравелистого суглинка и валунов с галькой; песчано-гравийно-галечные отложения с суглинистым заполнителем, суглинки, супесь.		
11-32-0002	Северо-Западный	Республика Коми	МО ГО "Воркута", Воркутинский опорный мерзлотно-гидро-геологический полигон, участок детальных наблюденийМГП 2, 30,8 км юго-западнее г. Воркута	67,3939	63,3936	00.00.1975	Не завершилась	КР	Атм.;Техн.	Не отмечалось	Участок детальных наблюдений МГП 2 расположен в 30,8 км юго-западнее г. Воркута, в зоне прерывистого распространения голоценовых ММП. В состав пункта наблюдения входят: скв. ЗС-79; створ полуинструментальных измерений (скв. ЗС-124/124а – ДС-4/VI-74); площадка учётная – ПП-19. В сентябре сняты показания температуры по стволам скважин на глубину 20 м и ниже до забоя, которая была выше, теплее в сравнении со среднемноголетними её значениями. По данным нивелирования, полученным в 2024 г можно сделать вывод о том, что относительно данных 2023 г. преобладающим процессом было – термокарстовое проседание. По результатам наблюдений, прослеживается дальнейшая деградация ММП относительно её состояния на начало наблюдений. Состав пород, затронутых проявлением: торф, пески разнозернистые, суглинки, суглинки с гравием и галькой; торф, суглинки с растительными остатками, суглинки, глины, пески и суглинки с включениями грубообломочного материала до 10-20%; супесчано- суглинистые отложения.		
11-32-0003	Северо-Западный	Республика Коми	МО ГО "Воркута", Воркутинский опорный мерзлотно-гидро-геологический полигон, участок детальных наблюденийМГП 3, 28,5 км юго-	67,4263	63,4184	00.00.1969	Не завершилась	КР	Атм.	Не отмечалось	Участок детальных наблюдений МГП 3 расположен в зоне прерывистого распространения голоценовых ММП. В состав пункта наблюдения входят: скв. ЗС-16, ЗС-14/227; площадка учётная ПП-18. В сентябре сняты показания температуры по стволам скважин на глубинах годовых теплооборотов, которая была выше, теплее в сравнении со среднемноголетними её значениями (кроме скважины ЗС-16). По данным нивелирования, полученным в 2024 г. можно сделать вывод о том, что относительно данных 2023 г., преобладающим процессом было термокарстовое проседание. По результатам наблюдений, прослеживается дальнейшая деградация ММП относительно её состояния на начало наблюдений. Состав пород, затронутых проявлением: торф, суглинок		

			западнее г. Воркута							оторфованный, переслаивание суглинков средних и тяжёлых, а также гравелистых с гравием и галькой; глина, гравийно-галечные отложения с суглинистым заполнением.		
11-32-0004	Северо-Западный	Республика Коми	МО ГО "Воркута", Воркутинский опорный мерзлотно-гидро-геологический полигон, участок детальных наблюденийЛек-Воркутский 1, 32,5 км юго-западнее г. Воркута	67,3886	63,3486	00.00.1977	Не завершилась	КР	Атм.	Не отмечалось	Участок детальных наблюдений Лек-Воркутский 1 расположен в зоне прерывистого распространения голоценовых ММП. В состав пункта наблюдения входят: скв. ЗС-83а, ЗС-115; площадка учётная-КП-10, створ геодезических измерений. В сентябре сняты показания температуры по стволам скважин на глубинах 10 и 15 м, которая была в пределах значений прошлого года, и выше, теплее в сравнении со среднемноголетними её значениями. По данным нивелирования, полученным в 2024 г. можно сделать вывод о том, что относительно данных 2023 г. по площадке КП-10, преобладающим процессом было термокарстовое проседание (до 3,8 см). На пучиномерном створе фрагмент I-I в верхней его части отмечается криогенное пучение до 3,7 см, скорее всего связанное с меньшим перепадом абсолютных высот в верхней части приводораздельного склона. По пучиномерному створу фрагмент II-II фиксировалось криогенное пучение до 2,7 см на всем его протяжении. По результатам наблюдений, прослеживается дальнейшая деградация ММП относительно её состояния на начало наблюдений. Состав пород, затронутых проявлением: суглинок, суглинок с гравием и галькой; супесь, песок с галькой, супесь с гравием и галькой; торф, супесчано-суглинистые отложения.		
11-32-0005	Северо-Западный	Республика Коми	МО ГО "Воркута", Воркутинский опорный мерзлотно-гидро-геологический полигон, участок детальных наблюденийЛек-Воркутский 2, 31,7 км юго-западнее г. Воркута	67,3957	63,3653	00.00.1974	Не завершилась	КР	Атм.	Не отмечалось	Участок детальных наблюдений Лек-Воркутский 2 расположен в 31,7 км юго-западнее г. Воркута, в зоне прерывистого распространения голоценовых ММП. В состав пункта наблюдения входят: скв. ДС-3/VII-74; площадка учётная ПП-3. В сентябре сняты показания температуры по стволу скважины на всю глубину, которая была выше, теплее в сравнении со среднемноголетними её значениями. По данным нивелирования, полученным в сентябре 2024 г. можно сделать вывод о том, что относительно данных 2023 г. во всех точках наблюдения фиксировалось криогенное пучение от 0,1 до 18 см. По результатам наблюдений, прослеживается дальнейшая деградация ММП относительно её состояния на начало наблюдений. Состав пород, затронутых проявлением: суглинок, суглинок с гравием и галькой, гравийно-галечные отложения.		
11-32-0006	Северо-Западный	Республика Коми	МО ГО "Воркута", Воркутинский опорный мерзлотно-гидро-геологический полигон, участок детальных наблюдений Восточно-Воркутский	67,5040	64,0221	00.00.1977	Не завершилась	КР	Атм.	Не отмечалось	Участок детальных наблюдений Восточно-Воркутский расположен в 1,8 км на З, СЗ от г. Воркута на правом берегу реки Воркута, в верхней части склона в массиве ивняка с включениями ерника. В состав пункта наблюдения входят: скв. Я-3, Я-1бис. В сентябре 2024 г. были сняты показания температуры по стволу скважины на всю глубину. По результатам наблюдений, прослеживается дальнейшая деградация ММП относительно её состояния на начало наблюдений. Состав пород, затронутых проявлением: суглинки с гравием и галькой.		
11-32-0007	Северо-Западный	Республика Коми	МО ГО "Воркута", Воркутинский опорный мерзлотно-гидро-геологический полигон, участок детальных наблюдений Усинское водохранилище 1	67,4019	64,4621	00.00.1969	Не завершилась	КР	Атм.;Техн.	Не отмечалось	Участок детальных наблюдений Усинское водохранилище 1 расположен в 20,4 км юго-восточнее г. Воркута на правом берегу в прибортовой части долины реки Уса, в 180 м восточнее плотины. В состав пункта наблюдения входит скв. УП-33. В сентябре сняты показания температуры по всему стволу скважины на глубину до 159 метров (в ходе обследования зафиксировано уменьшение глубины скважины на 21 м - пробка), которая была выше значения пошлого года на глубине годовых теплооборотов на 0,15° С, и выше, теплее в сравнении со среднемноголетними ее значениями. По результатам наблюдений за 2024 г., прослеживается дальнейшая деградация ММП относительно её состояния на начало наблюдений. Состав пород, затронутых проявлением: суглинки с гравием и галькой, известняки, доломиты.		
11-31-0020	Северо-Западный	Республика Коми	МО ГО "Воркута", Воркутинский опорный мерзлотно-гидро-геологический полигон, участок детальных	67,39794	64,48555	00.00.2021	Не завершилась	КС	Атм.;Техн.	Не отмечалось	В пределах участка наблюдений Усинское водохранилище 1, раположенного в 20,4 км на ЮВ от г. Воркуты было зафиксировано карстовое проявление в виде карстово-суффозионной воронки, диаметром до 12-15 м и глубиной около 2 м. По результатам наблюдений в 2024 г., прослеживается активность карстового процесса в виде небольшой сдренированности линзы воды в центре воронки. Состав пород, затронутых проявлением: суглинки с гравием и галькой,		

			наблюдений Усинское водохранилище 1							известняки, доломиты. На территории массивно-островное распространение криогенной толщи.		
11-32-0008	Северо-Западный	Республика Коми	МО ГО "Воркута", Воркутинский опорный мерзлотно-гидро-геологический полигон, участок детальных наблюдений Усинское водохранилище 2	67,4040	64,4846	00.00.1970	Не завершилась	КР	Атм.	Не отмечалось	Участок детальных наблюдений Усинское водохранилище 2 расположен в 21 км Ю-В города Воркута, в 800 метрах северо-восточнее плотины на реке Уса в заболоченной нижней части склона. В состав пункта наблюдения входит скв. УП-35. В сентябре сняты показания температуры по стволу скважины на глубину до 20 метров через 1 и далее через 5 м до забоя (45 м), которая была на уровне значения прошлого года, и выше, теплее в сравнении со среднемноголетними её значениями. По результатам наблюдений в 2024 г., прослеживается дальнейшая деградация ММП относительно её состояния на начало наблюдений. Состав пород, затронутых проявлением: торф, суглинки мёрзлые, валунно-галечные отложения с прослоем песка, карбонатные породы.	
11-31-0022	Северо-Западный	Республика Коми	МО ГО "Воркута", Воркутинский опорный мерзлотно-гидро-геологический полигон, участок детальных наблюдений Усинское водохранилище 2	67,40340	64,48536	00.00.24	Не завершилась	КС	Атм.	Не отмечалось	В пределах участка наблюдений Усинское водохранилище 2 в 21 км на ЮВ от г. Воркуты было зафиксировано карстовое проявление в виде карстово-суффозионной воронки, диаметром 12 - 14 м и глубиной около 5 м с задернованными склонами и крупными обнажёнными валунами в нижней центральной части. Отмечается активность процесса в виде отрыва дернины в бортовой части воронки. Площадь проявления 133 м^2. Состав пород, затронутых проявлением: суглинки с гравием и галькой, известняки, доломиты. На территории массивно-островное распространение криогенной толщи.		
11-32-0009	Северо-Западный	Республика Коми	МО ГО "Воркута", Воркутинский опорный мерзлотно-гидрогеологический полигон, участок Воргашорский	67,6191	63,46849	00.00.24	Не завершилась	КР	Атм.	Не отмечалось	Данные замеров температур получены по результатам планового инженерно-геологического обследования на участке Воргашорский, расположенном 16,5 км от посёлка Воргашор на СЗ, в зоне прерывистого распространения голоценовых ММП с диапазоном температур на подошве слоя годовых теплооборотов от ±0 ºС до −0,4 ºС. В геологическом строении представлен пермскими и четвертичными отложениями. Сняты замеры температур по скважинам ВК-2903, ВК-2906, ВК-2919, ВК-2929, ВК-2930, ВК-2932 на глубинах от 7 м до 98,17 м. В результате термометрических наблюдений в 2024 г. на участке, как и в предыдущие годы, отмечено понижение кровли ММП в сравнении с первоначальным её положением в 1993 г. по скважине ВК-2906. Оно составило – 6 м. В скважине ВК-2932 кровля мерзлоты зафиксирована на глубине 20,2 м, что на 2,14 м ниже значений, фиксировавшихся в 1996 г. и на 42 см ниже значения прошлого года. Состав пород, затронутых проявлением: суглинки, супеси с галькой и гравием, редкими валунами.		
11-06-0014	Северо-Западный	Республика Коми	МО ГО "Воркута", Воркутинский опорный мерзлотно-гидрогеологический полигон, участок Воргашорский	67,6248	63,4371	00.00.24	Не завершилась	Пу	Атм.	Не отмечалось	Криогенное пучение было зафиксировано по результатам планового инженерно-геологического обследования на участке Воргашорский в 16,5 км от поселка Воргашор на СЗ 125 м от скв. ВК-2903. Параметры фиксируемого ЭГП на момент обследования составили: 120 м –длина и до 25 м- ширина. В раздерновках пятен медальонов супесчано-суглинистый материал с гравийно-галечными высыпаниями. Состав пород, затронутых проявлением: суглинки, супеси с галькой и гравием, редкими валунами.		

11-11-0026	Северо-Западный	Республика Коми	МО ГО Воркут, ул. Шахтёрская набережная	67,50775	64,03847	00.00.24	Не завершилась	Оп	Атм.; Техн.; Геол.	Отмечалось	На территории г. Воркута отмечалось увеличение трещин асфальтового покрытия на участке автодороги по ул. Шахтёрская набережная, субпараллельных бровке оползневого уступа по сравнению с аналогичным обследованием 2022 г.; смещение (завал) ограждающих бетонных блоков дальше в сторону тела оползня. Параметры оползня на момент обследования составили 60 м в длину, 475 м в ширину, площадь ~15000 м^2. Состав пород, затронутых проявлением: песчано-суглинистые грунты, полускальные терригенные породы пермских отложений.	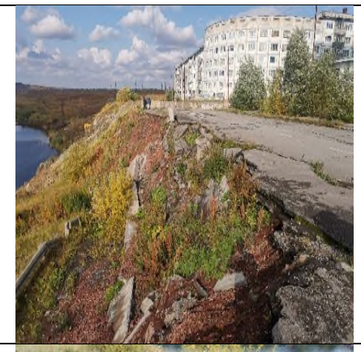	
11-22-0007	Северо-Западный	Республика Коми	МО ГО Воркута, ул. Шахтерская набережная	67,50994	64,03939	00.00.24	Не завершилась	Эо	Атм.; Техн.; Геол.	Отмечалось	На территории г. Воркута активность процесс овражной эрозии (техногенно-нарушенные условия) фиксировалась в правой части оползня – от дорожного полотна по ул. Шахтерская набережная до уреза р. Воркута. Общая протяжённость эрозионного вреза составила 81-85 м, ширина до 2 м. Отмечается обрушение старых коммуникаций, свежие оплывины. Основной из характеристик воздействия данного ЭГП на линейные сооружения является потеря их устойчивости. Состав пород, затронутых проявлением песчано-суглинистые грунты, полускальные терригенные породы пермских отложений.		
32-22-00004	Центральный	Брянская область	г. Брянск, Советский район, ООПТ «Верхний Судок», в 30 м северо-восточнее д. 8 по ул. Топальской	53,24716	34,36728	26.04.24	22.08.24	Эо	Атм., Техн.	Не отмечалось	В г. Брянск в Советском районе на ООПТ «Верхний Судок» в 30 м северо-восточнее д. 28 по ул. Топальской было отмечено увеличение поперечного размера отвершка в центральной его части на 4-5 м. Параметры активного отвершка: длина – 48,5 м, ширина – 9-15 м, глубина – до 6 м в самой глубокой части. Горные породы, затронутые проявлением представлены делювиальными суглинками pr, d II-III. Базис развития опасного ЭГП - тальвег оврага. Факторы активизации опасного ЭГП: метеорологический (атм. осадки), техногенный (неорганизованный ливневый сток). Парагенетическая связь процесса с оползневым и осыпным процессами. Воздействие опасного ЭГП на земли и хозяйственные объекты не отмечено. Развитие процесса может привести к дальнейшему разрушению дороги до подошвы склона, а также к деформации автомобильной дороги на бровке правого склона оврага.		
33-11-00151	Центральный	Владимирская область	г. Владимир, южная окраина парка им. Пушкина, под смотровой площадкой у памятника Князю Владимиру и святителю Федору	56,12577	40,40741	00.07.24	00.09.24	Оп	Атм.	Не отмечалось	В г. Владимир на южной окраине парка им. Пушкина, под смотровой площадкой у памятника Князю Владимиру и святителю Федору на крутом склоне образовался новый оползень шириной 3,0 м и длиной до 15,0 м. Базис развития опасного ЭГП - тальвег оврага. Горные породы, затронутые проявлением представлены суглинками четвертичного возраста. Мощность смещенных пород 0,5 м. Оползневое проявление представляет собой смещение грунта с дерном по крутой стенке срыва в верхней средней частях склона.Оползнеобразующим фактором наряду с климатическим является техногенный фактор.Негативные воздействия не отмечались, но существует вероятность воздействия процесса на смотровую площадку у памятника Князю Владимиру и святителю Федору. Водоотводящие ливневые лотки выведены вплотную к подпорной стенке смотровой площадки. Кроме того, на памятнике отошла часть бокового фрагмента, в связи с чем он стянут лентами крепления. Расстояние от бровки проявления до подпорной стенки смотровой площадки составляет около 3,0 м, крутизна склона 60°.Режим ЧС введен не был, восстановительные работы поврежденного участка не произведены. Сооружения инженерной защиты в пределах оползневой зоны отсутствуют. Локально вдоль смотровой площадки, в местах образования в брусчатке отдельных ям, установлены предупреждающие об опасности ограждения, однако, на участке над оползнем – они отсутствуют.		

33-11-00152	Центральный	Владимирская область	Суздальский район, с. Сельцо, правый склон р. Каменка, в районе улиц Красноармейская з/у №15 и 2-ая Красноармейская д.№22	56,42864	40,43014	00.07.24	00.09.24	Оп	Атм., Техн.	Не отмечалось	В Владимирской области в пределах с. Сельцо Суздальского района на правобережном склоне р. Каменка, в пределах улиц Красноармейская земельный участок №15 и 2-ая Красноармейская д. №22 образовался новый оползень шириной 50,0 м и длиной 15,0 м. Базис развития опасного ЭГП – р. Каменка. Горные породы, затронутые проявлением представлены суглинками четвертичного возраста. Мощность смещенных пород 10,0-12,0 м. Оползневое проявление представляет собой смещение грунта по всей высоте склона с дерном в верхней части склона и обрушением бровки по всей ширине оползня, а также в виде течения грунта по крутой стенке срыва в средней и нижней частях проявления. Отступ бровки составил 0,5 м, местами до 1,0 м. На момент обследования нависание бровки составляет 0,1 м, тело оползня – обнажено, основание – увлажнено, грунт – жидкий, отмечены мочажины. В пределах проявления также зафиксированы выходы подземных вод. Расстояние от основания оползня до р. Каменка менее 10 м. Оползнеобразующими факторами являются климатический и техногенный (утечка из водопроводящих коммуникаций).Негативные воздействия не отмечались, но существует вероятность воздействия процесса на приусадебную территорию земельного участка №15 по ул. Красноармейская, на отрезок асфальтированного полотна автодороги и опору действующего ЛЭП. Расстояние от бровки оползня до ограждения территории – 8,0 м, до опоры ЛЭП – 5,0 м, до асфальтированной дороги (отрезок в районе домов №22 и №24 по ул. 2-ая Красноармейская) – 4,0 м. Режим ЧС введен не был, произведены восстановительные работы поврежденного участка водопроводящих коммуникаций. Сооружения инженерной защиты в пределах оползневой зоны отсутствуют. На период обследования территория оползня не огорожена.		
37-11-00004	Центральный	Ивановская область	Пучежский район, северная окраина г. Пучеж, в 150-170 м на северо-восток от спортивной площадки «Воркаут», вдоль правобережного склона р. Волга (Горьковское вдхр.)	56,99062	43,16940	00.07.24	00.09.24	Оп	Атм.	Не отмечалось	В Ивановской области на северной окраине г. Пучеж (в пределах городского парка лесной зоны отдыха) на правобережном склоне р. Волга в пределах акватории Горьковского водохранилища активизировался оползень шириной 65,0 м и длиной 20,0 м. Наблюдается смещение грунта в верхней части склона по всей ширине проявления по обнаженной стенке срыва (крутизной до 70°) со следами течения, нависание бровки составляет 0,3 м. Наибольшая активизация процесса отмечается по правому борту, где мощность смещенных пород с дерном и молодым березняком достигла 1,5 м. Смещенный грунт по правому борту в языковой части оползня – влажный, зафиксированы выходы подземных вод. В основании оползня отмечается деформация деревьев в связи с давлением оползневых масс. Базис развития опасного ЭГП – р. Волга. Комплексы горных пород (пески, суглинки), затронутые проявлением относятся к четвертичным аллювиальным образованиям, подстилающиеся нижне-триасовыми-верхнепермскими коренными отложениями. Оползнеобразующим фактором является климатический фактор. Негативные воздействия не отмечались, но существует вероятность воздействия процесса на смотровые площадки в городском парке лесной зоны отдыха вдоль склона. Режим ЧС не введен. Сооружения инженерной защиты в пределах оползневой зоны отсутствуют.		
37-11-00007	Центральный	Ивановская область	Пучежский район, севернее д. Девкина Гора, вдоль правобережного склона р. Волга (Горьковское вдхр.)	57,00826	43,09572	00.07.24	00.09.24	Оп	Атм.	Не отмечалось	В Ивановской области севернее д. Девкина Гора Пучежского района на правобережном склоне р. Волга в пределах акватории Горьковского водохранилища активизировался левый борт оползня. Общие параметры проявления шириной 50 м и длиной 20,0 м. В верхней и средней части склона по левому борту проявления образовалось 2 ступени оседания на глубину 0,5-0,7 м и 0,3 м протяженностью 8,0 м и 6,0 м. Базис развития опасного ЭГП – р. Волга. Горные породы, затронутые проявлением представлены суглинками четвертичного возраста. Центральная часть оползня и его правый борт – стабильны с незначительным подсыпанием грунта и следами течения в верхней части склона. Также прослеживается проседание поверхности в прибровочной части с произрастающими на ней деревьями и кустарниками. Нависание бровки варьирует от 0,2-0,5 м до 1,0 м. Языковая часть оползня со следами течения, изрезанная поперечными и продольными трещинами, подвергалась волновой переработке. Оползнеобразующим фактором является климатический фактор.Негативные воздействия не отмечались. Ближайшие жилые дома д.Д евкина Гора расположены в 180-200 м от оползневой зоны. Режим ЧС не введен. Сооружения инженерной защиты в пределах оползневой зоны отсутствуют.		

37-11-00110	Центральный	Ивановская область	Пучежский район, северо-восточнее д. Юшково, правобережный склон р. Волга (Горьковское вдхр.)	57,12062	43,04789	00.07.24	00.09.24	Оп	Атм.	Не отмечалось	В Ивановской области северо-восточнее д. Юшково на правобережном склоне р. Волга в пределах акватории Горьковского водохранилища активизировался оползень шириной 90,0 м и длиной 7,0 м. Характер активизации поверхностный в виде осыпания грунта (часто со следами течения) по всей ширине проявления мощностью 0,5 м на всю высоту уступа по крутой обнаженной стенке срыва. Локально, где по трещинам закола в прибровочной части сместились блоки пород 0,5х1,5 м, мощность смещенных пород увеличилась до 1,5 м. Нависание бровки составляет 0,1-0,3 м, иногда достигает 1,0-1,5 м. Также прослеживается проседание поверхности в прибровочной части с произрастающим на ней молодым березняком, реже – с обрушением деревьев. Базис развития опасного ЭГП – р. Волга. Комплексы горных пород, затронутые проявлением и представленные песками, суглинками и глинами, относятся к четвертичным образованиям аллювиального генезиса, подстилающиеся нижне-триасовыми коренными отложениями.Оползнеобразующим фактором является климатический фактор.Негативные воздействия не отмечались. Ближайшие жилые дома д. Юшково №6 и №4 расположены в 140-230 м от оползневой зоны. Режим ЧС не введен. Сооружения инженерной защиты в пределах оползневой зоны отсутствуют.		
37-11-00118	Центральный	Ивановская область	Пучежский район, между д. Попереково и д. Хмелеватово, правобережный склон р. Волга (Горьковское вдхр.)	56,93088	43,18189	00.07.24	00.09.24	Оп	Атм.	Не отмечалось	В Ивановской области между д. Попереково и д. Хмелеватово на правобережном склоне р. Волга в пределах акватории Горьковского водохранилища активизировался левый борт оползня. Мощность смещенных пород увеличилась на 0,7 м. Общие параметры активного проявления шириной 70,0 м и длиной 18,0 м. Характер активизации поверхностный в виде осыпания грунта часто со следами течения в средней части склона по обнаженной стенке срыва крутизной 60°. В 20,0-25,0 м от левого борта зафиксирован, впадающий в р. Волга, ручей. Базис развития опасного ЭГП – р. Волга. Комплексы горных пород, затронутые проявлением и представленные песками и суглинками, относятся к четвертичным образованиям аллювиального генезиса, подстилающиеся нижнетриасовыми-верхнепермскими коренными отложениями.Оползнеобразующим фактором является климатический фактор.Негативные воздействия не отмечались. Ближайший жилой дом д. Хмелеватово №24 расположен в 200 м ССЗ от оползневой зоны. Режим ЧС не введен. Сооружения инженерной защиты в пределах оползневой зоны отсутствуют.		
44-11-00053	Центральный	Костромская область	южная окраина г. Кострома, у территории многоэтажного дома №6 по ул. Соловьиная, правый борт оврага	57,72703	41,00087	00.07.24	00.09.24	Оп	Атм., Техн.	Не отмечалось	В Костромской области на южной окраине г. Кострома, вблизи территории многоэтажного дома №6 по ул. Соловьиная на склоне оврага образовался новый оползень шириной от 18,0 м до 25,0 м и длиной до 23,0-25,0 м. Базис развития опасного ЭГП – р. Волга. Мощность смещенных пород четвертичного возраста, представленных суглинками, песками и глинами - 4,0-7,0 м. Нависание бровки оползня по левому борту составляет 0,1– 0,2 м.Оползнеобразующими факторами являются климатический и техногенный (нарушение функционирования водоотводящих коммуникаций - разрушение ливневой трубы). Негативные воздействия не отмечались, но существует вероятность воздействия оползневого процесса на территорию многоэтажного дома №6 по ул. Соловьиная, в пределах которой также расположены детская площадка и автостоянка. Расстояние от бровки оползня до жилого д. №6 – 25,0 м, до детской площадки 8,5-9,0 м, до автостоянки около 6,0 м. Ограждение придомовой территории, расположено менее чем в 1,0 м от бровки оползневого склона. В районе оползневого цирка зафиксирован наклон ограждения в сторону оврага. Кроме того, в 13,0 м севернее левого борта расположены опора ЛЭП, в 15,0 м восточнее – вышка связи. Режим ЧС не введен, восстановительные работы не произведены. Сооружения инженерной защиты в пределах оползневой зоны отсутствуют.		

48-11-00112	Центральный	Липецкая область	Чаплыгинский район, г. Чаплыгин, ул. Подгорная	53,23843	39,95619	19.04.24	19.04.24	Оп	Атм.	Не отмечалось	В Липецкой области Чаплыгинском районе, г. Чаплыгин по ул. Подгорная наблюдался отрыв и смещение оползневых блоков шириной 0,5-1,0 м на протяжении 10 м. Оползневой процесс находится в стадии развития. базис – урез р. Ягодная Ряса. Возраст проявления опасного ЭГП – современный. Комплексы горных пород, затронутых проявлением: суглинки четвертичного возраста. Параметры проявления опасного ЭГП: длина – 800 м, ширина – 10 м, площадь – 8000 м². Основным фактором активизации опасного ЭГП послужили интенсивные дожди в отчетный период, а также эрозионная деятельность реки.		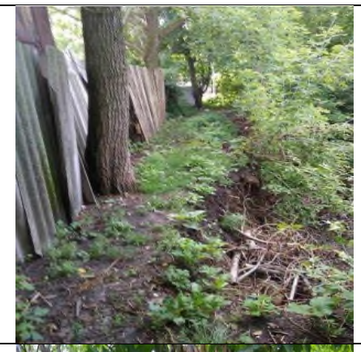	
48-11-000116	Центральный	Липецкая область	Чаплыгинский район, п. Рощинский, ул. Зеленая, д.3	53,26431	39,9973	00.04.24	00.04.24	Оп	Атм.	Не отмечалось	В Липецкой области, в Чаплыгинском районе в п. Рощинский по ул. Зеленая, д. 3 наблюдалось смещение оползневых блоков на 0,4-0,8 м вниз по склону, бровка склона отвесная, оголена. На оползневом склоне отмечено высачивание грунтовых вод. Оползневой процесс находится в стадии развития. базис – пойма р. Ряса. Возраст проявления опасного ЭГП – современный. Комплексы горных пород, затронутых проявлением: суглинки четвертичного возраста. Параметры проявления опасного ЭГП: длина – 80 м, ширина – 90 м, площадь – 7200 м². Основным фактором активизации опасного ЭГП послужили интенсивные дожди в отчетный период и эрозионная деятельность реки.		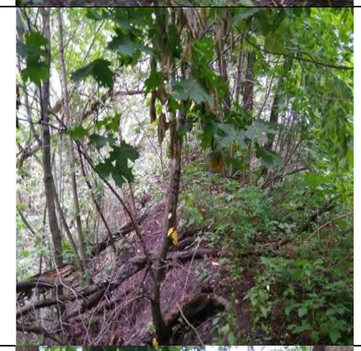	
48-11-00117	Центральный	Липецкая область	Липецкий район, с. Сырское, ул. Речная, д. 24, 25, 26, 27, 28	52,56338	39,54465	00.03.24	00.03.24	Оп	Атм., Техн., Гидрогеол	Отмечалось	В Липецкой области Липецком районе в с. Сырское по ул. Речная, д. 24, 25, 26, 27, 28 наблюдалось смещение грунта по ранее образовавшимся трещинам растяжения на 0,1-0,3 м, увеличение трещины отрыва от фундамента д.26 на 3-5 см (ширина до 75-80 см, видимая глубина -80 см). Отмечено увеличение трещин кладки водопроводного кольца на 2-4 см. Оползневой процесс находится в стадии развития. базис – урез р. Воронеж. Возраст проявления опасного ЭГП – современный. Комплексы и состав горных пород, затронутые проявлением представлены в основном суглинками, глинистыми песками четвертичного и верхне-неогенового возраста. Параметры проявления опасного ЭГП: длина – 130 м, ширина – 90 м, площадь – 11700 м², мощность – 8 м, объем - 93600 м³. Основным фактором активизации опасного ЭГП послужили интенсивное выпадение атмосферных осадков, увеличение водонасыщенности пород, разгрузка напорного неоген-четверичного водоносного горизонта.В результате активизации оползневого процесса происходит разрушение крыльца у д. 26, образовались трещины на домах 25, 27, 29 по ул. Речная, приусадебные участки разбиты оползневыми ступенями, возможно нарушение водопроводной сети, разрушен асфальтовый подъезд в домах №№ 25,26,27,28,29.		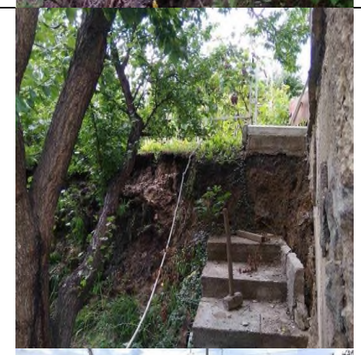 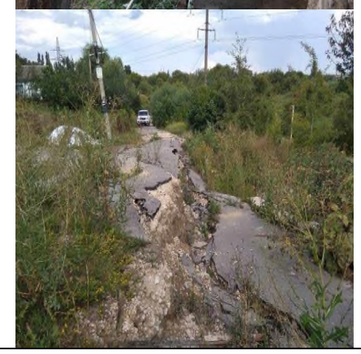	

48-22-00002	Центральный	Липецкая область	Добровский район, ур. Озерки, в 1,1 км западнее с. Екатериновка	52,941231	39,516667	00.04.24	00.04.24	Эо	Атм.	Не отмечалось	В Добровском районе в 1,1 км западнее с. Екатериновка отмечено увеличение ширины слепой балки до 1,2 м и длины на 8 м. Длина активного проявления 50 м, ширина – 12 м, глубина – до 3 м. Породы, затронутые активным процессом оврагообразования, представлены супесями и суглинками четвертичного возраста. Базисом развития процесса овражной эрозии является кровля трещиноватых известняков (а.о. 135-140 м). Факторами активизации процесса овражной эрозии являются интенсивные атмосферные осадки. В данном случае процесс овражной эрозии связан с карстово-суффозионными процессами.		
48-31-00749	Центральный	Липецкая область	Лебедянский район, в 6 км восточнее от с. Донские Избищи	52,82883	39,13656	00.05.24	00.05.24	КС	Атм.	Не отмечалось	В Липецкой области Лебедянском районе в 6 км восточнее от с. Донские Избищи в тальвеге оврага отмечалось увеличение параметров карстово-суффозионных воронок на 0,3-0,5 м в диаметре. Карстовый процесс находится в стадии развития, базис – кровля карбонатных пород – а.о. 115 м. Комплексы и состав горных пород, затронутых проявлением: глинистые породы четвертичного возраста, известняки верхнего девона. Параметры слепой балки с воронками: длина – 240 м, ширина – 4 м, площадь – 960 м². Основным фактором активизации опасного ЭГП послужило интенсивное выпадение атмосферных осадков. В 60 м проходит магистральный нефтепровод.		
48-31-00755	Центральный	Липецкая область	Данковский район, в 0,5-км юго-западнее д. Масловка, левый борт руч. Паники	53,379933	39,138117	00.05.24	00.05.24	Эо	Атм.	Не отмечалось	В Липецкой области Данковском районе 0,5 км на юго-запад от д. Масловка отмечалось увеличение ширины слепой балки на 2 м, размытие бортов. Процесс овражной эрозии находится в стадии развития, базис развития – кровля карстующихся известняков верхнего девона. Возраст проявления опасного ЭГП – современный. Комплексы и состав горных пород, затронутых проявлением: песчано-глинистые породы четвертичного возраста. Параметры проявления опасного ЭГП: длина – 60 м, ширина – 8 м, площадь – 480 м². Основным фактором активизации опасного ЭГП послужили интенсивное выпадение атмосферных осадков.		
48-31-00758	Центральный	Липецкая область	Данковский район, между д. Измайловка и с. Баловинки (у моста)	53,39110	38,82205	00.05.24	00.05.24	КС	Атм., Гидрогеол.	Не отмечалось	В Данковском районе между д. Измайловка и с. Баловинки в районе остановочного пункта Баловинки отмечено увеличение параметров карстово-суффозионной воронки до 5,5*2,5 м при глубине 1,5 м. Породы, затронутые процессом, представлены суглинками четвертичных отложений и известняками верхнедевонских отложений. Базисом развития процесса является кровля карстующихся известняков на а.о. 175-180 м. Основным фактором активизации опасного ЭГП послужило интенсивное выпадение атмосферных осадков. Активное проявление расположено в непосредственной близости от автомобильной дороги.		

48-31-00760	Центральный	Липецкая область	Данковский район, между с. Березовка и с. Баловинки	53,406933	38,845703	00.05.24	00.05.24	КС	Атм., Гидрогеол.	Не отмечалось	В Данковском районе между с. Березовка и с. Баловинки отмечено увеличение диаметра карстово-суффозионных воронок на 0,3-0,8 м, глубины на 0,2 м до 1,0 м. Общее количество зафиксированных проявлений - 13 Параметры карстового поля: длина - 600 м, ширина – 70 м, площадь – 42000 м². Базисом развития процесса является кровля карстующихся известняков на а.о. 175-180 м. Основными фактором активизации опасного ЭГП послужили интенсивное выпадение атмосферных осадков, а также гидрогеологические условия.	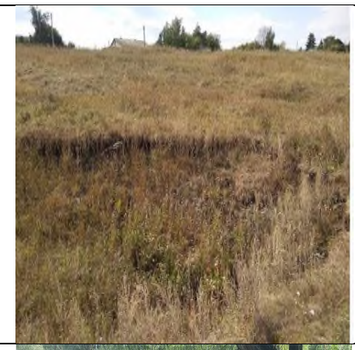	
77-11-00070	Центральный	г. Москва	г. Москва, п. Сосенки, д. Ларёво, ул. Зимёнковская, д. 40 А	55,56256	37,40715	28.08.24	28.08.24	Оп	Атм.	Не отмечалось	В г. Москве в п. Сосенки д. Ларево по ул. Зимёнковская, д. 40 А было зафиксировано смещение оползневого блока пород на теле оползня длиной 14 м, шириной 5 м. Оползневой процесс находится в стадии развития. Базис – урез р. Десна. Возраст проявления опасного ЭГП – современный. Состав горных пород, затронутых проявлением: супеси, суглинки. Комплекс горных пород, затронутых проявлением четвертичный возраст. Параметры проявления опасного ЭГП: длина – 300 м, ширина – 30 м, площадь – 9000 м². Основным фактором активизации опасного ЭГП послужили интенсивное выпадение атмосферных осадков.		
77-22-00002	Центральный	г. Москва	г. Москва, Западный административный округ, район Фили Давыдково, Большая Филёвская улица	55,74377	37,46755	06.09.24	06.09.24	Эо	Атм.	Не отмечалось	В г. Москве по ул. Большая Филевская, в парке Фили-Кунцево зафиксировано активное проявление процесса овражной эрозии, ширина активной части – 3 м, длина – 50 м. Процесс овражной эрозии находится в стадии развития. Базис – урез р. Москва Возраст проявления опасного ЭГП – современный. Состав горных пород, затронутых проявлением: супеси, суглинки. Комплекс горных пород, затронутых проявлением четвертичный возраст. Параметры проявления опасного ЭГП: длина – 50 м, ширина – 5 м, площадь – 250 м². Основным фактором активизации опасного ЭГП послужили интенсивное выпадение атмосферных осадков.		
77-11-00038	Центральный	г. Москва	г. Москва, Западный административный округ, Солдатёнковский парк	55,73929	37,44137	06.09.24	06.09.24	Оп	Атм.	Не отмечалось	В г. Москве в Солдатеновском парке было зафиксировано смещение оползневого блока пород на теле оползня длиной 7 м, шириной 4 м. Оползневой процесс находится в стадии развития. Базис – урез р. Москва. Возраст проявления опасного ЭГП – современный. Состав горных пород, затронутых проявлением: супеси, суглинки. Комплекс горных пород, затронутых проявлением четвертичный возраст. Параметры проявления опасного ЭГП: длина – 2500 м, ширина – 300 м, площадь – 750000 м². Основным фактором активизации опасного ЭГП послужили интенсивное выпадение атмосферных осадков.	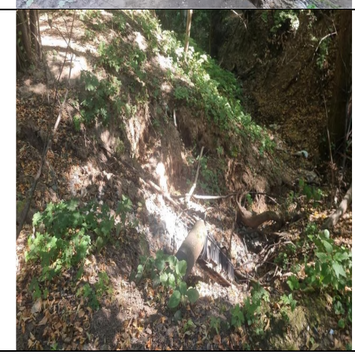	

77-11-00041	Центральный	г. Москва	г. Москва, Южный административный округ, вниз по Коломенскому ручью, по Голосову оврагу	55,66311	37,65958	29.08.24	29.08.24	Оп	Атм.	Не отмечалось	В г. Москве в парке Коломенское, вниз по Коломенскому ручью, по Голосовому оврагу было зафиксировано смещение оползневого блока пород длиной 5 м, шириной 2,5 м. Оползневой процесс находится в стадии развития. Базис – Коломенский ручей. Возраст проявления опасного ЭГП – современный. Состав горных пород, затронутых проявлением: супеси, суглинки. Комплекс горных пород, затронутых проявлением четвертичный возраст. Параметры проявления опасного ЭГП: длина – 1220 м, ширина – 90 м, площадь – 109800 м². Основным фактором активизации опасного ЭГП послужили интенсивное выпадение атмосферных осадков.	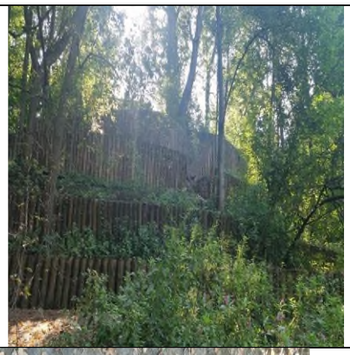	
77-22-00003	Центральный	г. Москва	г. Москва, Южный административный округ, 200 м на запад от Верхнего Коломенского пруда	55,66319	37,66041	29.08.24	29.08.24	Эо	Атм.	Не отмечалось	В г. Москве по ул. Большая Филевская, в парке Фили-Кунцево зафиксировано активное проявление процесса овражной эрозии, ширина активной части – 3 м, длина – 1,5 м. Процесс овражной эрозии находится в стадии развития. Базис – Коломенский ручей. Возраст проявления опасного ЭГП – современный. Состав горных пород, затронутых проявлением: супеси, суглинки. Комплекс горных пород, затронутых проявлением четвертичный возраст. Параметры проявления опасного ЭГП: длина – 1300 м, ширина – 150 м, площадь – 195000 м². Основным фактором активизации опасного ЭГП послужили интенсивное выпадение атмосферных осадков.		
77-11-00048	Центральный	г. Москва	г. Москва, район Хорошёво-Мнёвники от Карамышевской набережной, д. 57 до Троицкой церкви	55,77458	37,45688	02.09.24	02.09.24	Оп	Атм.	Отмечалось	В г. Москве в районе Хорошево-Мневники возле Троицкой Церкви было зафиксировано смещение оползневого блока пород длиной 1,5 м, шириной 25 м, в результате активизации отмечалось воздействие на асфальтированное дорожное покрытие на протяжении 25 м. Оползневой процесс находится в стадии развития. Базис – урез р. Москва. Возраст проявления опасного ЭГП – современный. Состав горных пород, затронутых проявлением: супеси, суглинки. Комплекс горных пород, затронутых проявлением четвертичный возраст. Параметры проявления опасного ЭГП: длина – 600 м, ширина – 87 м, площадь – 52200 м². Основным фактором активизации опасного ЭГП послужили интенсивное выпадение атмосферных осадков.		
77-22-00008	Центральный	г. Москва	г. Москва, район Хорошёво-Мнёвники, Карамышевская набережная д. 9	55,77683	37,45398	02.09.24	02.09.24	Эо	Атм.	Не отмечалось	В г. Москве в районе Хорошево-Мневники возле Троицкой Церкви зафиксировано активное проявление процесса овражной эрозии, ширина активной части – 1,5 м, длина – 20 м. Процесс овражной эрозии находится в стадии развития. Базис – урез р. Москва. Возраст проявления опасного ЭГП – современный. Состав горных пород, затронутых проявлением: супеси, суглинки. Комплекс горных пород, затронутых проявлением четвертичный возраст. Параметры проявления опасного ЭГП: длина – 20 м, ширина – 1,5 м, площадь – 30 м². Основным фактором активизации опасного ЭГП послужили интенсивное выпадение атмосферных осадков.		

77-22-00009	Центральный	г. Москва	г. Москва, район Хорошёво-Мнёвники,Карамышевская набережная д. 9	55,77675	37,45410	02.09.24	02.09.24	Эо	Атм.	Не отмечалось	В г. Москве в районе Хорошево-Мневники возле Троицкой Церкви зафиксировано активное проявление процесса овражной эрозии, ширина активной части – 1 м, длина – 15 м. Процесс овражной эрозии находится в стадии развития. Базис – р. Москва. Возраст проявления опасного ЭГП – современный. Состав горных пород, затронутых проявлением: супеси, суглинки. Комплекс горных пород, затронутых проявлением четвертичный возраст. Параметры проявления опасного ЭГП: длина – 15 м, ширина – 1 м, площадь – 15 м². Основным фактором активизации опасного ЭГП послужили интенсивное выпадение атмосферных осадков.			
67-11-00144	Центральный	Смоленская область	г. Смоленск, ул. Шевченко	54,77702	32,07705	02.04.24	19.08.24	Оп	Атм.	Не отмечалось	В Смоленской области г. Смоленске по ул. Шевченко зафиксировано смещение оползневого блока пород на теле оползня длиной 6 м, шириной 3,5 м. Оползневой процесс находится в стадии развития. Базис – урез р. Рачевка. Возраст проявления опасного ЭГП – современный. Состав горных пород, затронутых проявлением: супеси, суглинки. Комплекс горных пород, затронутых проявлением четвертичный возраст, Верхнемосковский ледниковый горизонт gIIms3. Параметры проявления опасного ЭГП: длина – 6 м, ширина – 3,8 м, площадь – 22,8 м². Основным фактором активизации опасного ЭГП послужили интенсивное выпадение атмосферных осадков.			
67-22-00002	Центральный	Смоленская область	г. Смоленск, ул. Шевченко	54,77351	32,06386	02.04.24	19.08.24	Эо	Атм.	Не отмечалось	В Смоленской области г. Смоленске по ул. Шевченко зафиксировано активное проявление процесса овражной эрозии, ширина активной части – 2 м, длина – 17 м. Процесс овражной эрозии находится в стадии развития. Базис – урез р. Рачевка. Возраст проявления опасного ЭГП – современный. Состав горных пород, затронутых проявлением: супеси, суглинки. Комплекс горных пород, затронутых проявлением четвертичный возраст, Верхнемосковский ледниковый горизонт gIIms3. Параметры проявления опасного ЭГП: длина – 17 м, ширина – 2 м, площадь – 34 м². Основным фактором активизации опасного ЭГП послужили интенсивное выпадение атмосферных осадков.	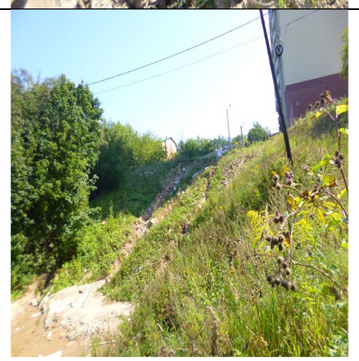		
01-11-00001	Южный	Республика Адыгея	Юго-западная окраина г. Майкоп, в 2 км к северу от пос. Краснооктябрьский	44,58766	40,08345	00.04.24	00.08.24	Оп	Атм.	Не отмечалось	На Юго-западной окраине г. Майкоп, в 2 км к северу от пос. Краснооктябрьский отмечалась активизация оползневого процесса. Базис развития р. Белая. Активность опасного ЭГП около 6%. Процесс находится в стадии развития. Продолжается переформирование тела оползня. Отмечается высачивание родников на границе контакта глин и песков с суглинками. На правом фланге активности нет. На левом фланге в устье балочного вреза продолжается развитие локального оползневого очага. Параметры активного очага: ширина 130 м, длина 140 м, площадь 18 200 м^2. Мощность зоны развития опасного ЭГП в пределах проявления - 3 м. Возраст проявления опасного ЭГП - современное. Оползающие породы представлены неогеновыми песками, аллювиальными суглинками. Факторы активизации - атмосферные осадки и боковая эрозия реки. Воздействия на земли и хозяйственные объекты - в настоящее время не выявлено. Сооружений инженерной защиты нет.			

01-10-00002	Южный	Республика Адыгея	Майкопский район, ст-ца Абадзехская, северо-западная окраина – мост через р. Белая, ул. Шоссейная, левобережный уступ	44,40885	40,20561	00.04.24	00.08.24	Об	Атм.	Не отмечалось	В ст-це Абадзехской отмечалась активизация обвального процесса на площади около 200 м^2. Отмечается обрушение аллювиальных суглинков и подстилающих майкопских глин. Базис развития - р. Белая. Процесс находится в стадии развития, активность 6,5%. Параметры активного очага ширина 30 м, длина 7 м. Комплексы горных пород, затронутые проявлением: аллювий террас, русел, пойм (aIII3, aH), глины майкопской серии (P_3hd+bt). Возраст проявления опасного ЭГП - современное. Основные факторы активизации - атмосферные осадки и боковая эрозия реки. Воздействие на хозяйственные объекты не выявлено. Инженерная защита отсутствует.		
23-11-00290	Южный	Краснодарский край	г. Анапа, северо-западная окраина	44,97159	37,28152	06.09.24	00.10.24	Оп	Атм., техн.	Отмечалось	По данным СМИ 6 сентября в г. Анапа, между ул. Верхняя дорога и ул. Семьи Пелипенко, в створе с ЖК Кавказ, активизировался оползневой процесс. В зоне потенциального негативного воздействия находятся жилые дома коттеджного поселка Вилла Соле. Сообщается, что оползень возник в результате подрезки склона при разработке карьера по добыче песка. Фактором активизации послужили атмосферные осадки. По состоянию на 17 сентября по информации местных жителей оползневой процесс продолжает развиваться, от бровки стенки срыва до ближайшего дома остается 3 м, Деформировано 20 м грунтовой автодороги по ул. Верхняя дорога.		
23-11-00002	Южный	Краснодарский край	Щербиновский район, Шабельское сельское поселение, х. Молчановка - 1,9 км к востоку	46,87130	38,63780	00.00.24	00.09.24	Оп	Атм., абр	Отмечалось	В 1,9 км к востоку от х. Молчановка выявлена активизация оползневого процесса на южном побережье Таганрогского залива. Оползень блоково-консистентный, в стадии затухания. На протяжении 700 м наблюдается, как первичная активность в головной части оползня, так и вторичные процессы переформирования деляпсивных накоплений в теле оползня. Четко оконтуривается локальный циркообразный очаг шириной 250-300 м с серией оползневых валов вниз по склону, с обновляющимися стенками срыва. Оползневой активностью охвачена площадь 42 тыс. м^2 (ширина -700 м, длина - 60 м). Вдоль бровки стенки срыва – трещины отпора на расстоянии до 1 м от бровки уступа с шириной раскрытия до 20 см. В оползание вовлечены плейстоценовые эолово-делювиальные лессовидные суглинки. Базис оползания - Таганрогский залив. Факторы активизации - атмосферные осадки и волновое воздействие моря. Отмечено воздействие на земли сельхозназначения - Деформировано около 0,00228 км^2.		
23-11-00004	Южный	Краснодарский край	Щербиновский район, северная окраина с. Глафировки	46,77817	38,40448	00.00.24	00.09.24	Оп	Атм., абр	Отмечалось	На северной окраине с. Глафировка наблюдалась активизация оползневого на уступе Таганрогского залива. Оползень блоковый. На протяжении 1,5 км отмечено слияние локальных оползневых очагов в единый оползневой массив с площадью активизации 28,8 тыс. м^2 (ширина 1,5 км, длина 18-20 м). Вдоль бровки стенки срыва – шириной до 50 см, формируются новые оползневые блоки. Деляпсий разрыхлен, не обводнен, языковая часть повсеместно размывается морем. В оползание вовлечены плейстоценовые эолово-делювиальные лессовидные суглинки. Базис оползания - Таганрогский залив. Факторы активизации - атмосферные осадки и волновое воздействие моря. Отмечено воздействие на земли сельхозназначения - Деформировано около 0,0024 км^2.		
23-10-00001	Южный	Краснодарский край	Щербиновский район, северная окраина с. Глафировки, в районе урочища Водяная Балка	46,79496	38,40947	00.00.24	00.09.24	Об	Атм., абр	Отмечалось	На северной окраине с. Глафировка наблюдалась активизация обвального процесса. Свежими коллювиальными отложениями полностью засыпано подножие уступа, обломки преимущественно мелкие, но около 10% имею размер до 40 см. Пляжевая полоса не перекрыта, длина обвалов до 5-6 м. Вдоль бровки отмечены трещины длиной 6-8 м, шириной до 0,5 м. Обвалы локализованы равномерно на протяжении около 2 км, суммарной площадью около 8000 м^2. В процесс вовлечены плейстоценовые эолово-делювиальные лессовидные суглинки. Базис развития процесса - Таганрогский залив. Факторы активизации - атмосферные осадки и волновое воздействие моря. Отмечено воздействие на земли сельхозназначения - Деформировано около 0,002 км^2.		

23-11-00005	Южный	Краснодарский край	Щербиновский район, Шабельское сельское поселение, в 3,5 км к юго-западу от с. Шабельское	46,82428	38,42286	00.00.24	00.09.24	Оп	Атм., абр	Отмечалось	В 3,5 км к юго-западу от с. Шабельское наблюдалась активизация оползневого процесса. Практически все оползни перекрывали пляжевую полосу и выдвигались в море на 15-25 м. На момент обследования языковые части многих оползневых очагов размыты морем с образованием в языковой части абразионного уступа. Вдоль бровки уступа большое количество трещин шириной до 0,5 м. На южном фланге проявления – локальный очаг шириной до 250 м и высотой стенки срыва около 4 м. В теле оползня отсевшая оползневая ступень, расколотая трещинами на отдельные блоки. По косвенным признакам, отступание бровки уступа здесь составило около 8 м (уничтожена 1 колея грунтовой дороги вдоль обрыва). В целом, на проявлении площадь активных оползней составила около 49 тыс. м^2. В процесс вовлечены плейстоценовые эолово-делювиальные лессовидные суглинки. Базис развития процесса - Таганрогский залив. Факторы активизации - атмосферные осадки и волновое воздействие моря. Отмечено воздействие на земли сельхозназначения - Деформировано около 0,0031 км^2.		
23-10-00002	Южный	Краснодарский край	Щербиновский район, Шабельское сельское поселение, юго-западная окраина с. Шабельское	46,84790	38,44522	00.00.24	00.09.24	Об	Атм., абр	Отмечалось	На юго-западной окраине с. Шабельское наблюдалась активизация обвального процесса. Свежие обвалы наблюдаются вдоль бровки уступа на протяжении 2 км, слившиеся по флангам обвалы имеют протяженность по 500-700 м. Суммарная площадь активных обвалов около 10 тыс. м^2. Размер обломков от 2-5 см до глыб размером 0,5×1,2 м. Пляжевая полоса шириной 10 м на отдельных участках перекрыта на 2/3 своей ширины. В процесс вовлечены плейстоценовые эолово-делювиальные лессовидные суглинки. Базис развития процесса - Таганрогский залив. Факторы активизации - атмосферные осадки и волновое воздействие моря. Отмечено воздействие на земли сельхозназначения - Деформировано около 0,0022 км^2.		
23-10-00039	Южный	Краснодарский край	Щербиновский район, с. Глафировка, юго-западная окраина	46,76149	38,39957	00.00.24	00.09.24	Об	Атм., абр	Отмечалось	На юго-западной окраине с. Глафировка вдоль уступа, примыкающего к Глафировской косе на протяжении 600 м, наблюдалась активизация обвального процесса. Отмечены повсеместные вывалы коллювия и его скопление вдоль подошвы уступа. Наиболее крупный из зафиксированных обвалов имел длину 20-30 м, ширину 30 м, объем около 1 тыс. м^3, размеры обломков до 1 м. Суммарная площадь активных обвалов около 6 тыс. м^2. Пляжевая полоса шириной 10 м на отдельных участках перекрыта на 2/3 своей ширины. В процесс вовлечены плейстоценовые эолово-делювиальные лессовидные суглинки. Базис развития процесса - Таганрогский залив. Факторы активизации - атмосферные осадки и волновое воздействие моря. Отмечено воздействие на земли сельхозназначения - Деформировано около 0,006 км^2.	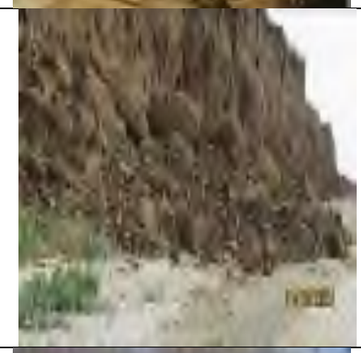	
23-11-00007	Южный	Краснодарский край	Ейское городское поселение, у северо-восточной окраины с. Воронцовка	46,67236	38,10334	00.00.24	00.09.24	Оп	Атм., абр	Отмечалось	У северо-восточной окраины с. Воронцовка отмечалась активизация оползневого процесса. На протяжении 600 м зафиксировано около 10 локальных оползневых очагов, суммарной площадью менее 1 тыс.м^2. Единичные трещины вдоль бровки уступа. В процесс вовлечены плейстоценовые эолово-делювиальные лессовидные суглинки. Базис развития процесса - Таганрогский залив. Факторы активизации - атмосферные осадки и волновое воздействие моря. Отмечено воздействие на земли сельхозназначения - Деформировано около 0,00018 км^2.		

23-10-00004	Южный	Краснодарский край	Ейский район, Кухаривское сельское поселение, с. Воронцовка, северо-западная окраина	46,66308	38,08846	00.00.24	00.09.24	Об	Атм., абр	Отмечалось	Вдоль северо-западной окраины с. Воронцовка вдоль берегового обрыва высотой 14 - 15 м зафиксирована активизация оползневого процесса. Уступ отвесный, оголенный, вдоль бровки отмечены трещины шириной до 20 см, на расстоянии до 0,6 м от края уступа. Степень активности – около 30%. Большое количество обособленных обвалов объемом 3-5 м^3. Крупные обвалы встречаются реже. Ширина пляжевой полосы 3-6 м, поэтому большинство обвалов перекрывают пляж и коллювий активно размывается. Суммарная площадь обвалов около 7 тыс. м^2, размеры обломков от 2-3 см до 20-40 см в поперечнике. В процесс вовлечены плейстоценовые эолово-делювиальные лессовидные суглинки. Базис развития процесса - Таганрогский залив. Факторы активизации - атмосферные осадки и волновое воздействие моря. Отмечено воздействие на земли сельхозназначения - Деформировано около 0,001 км^2.		
23-10-00005	Южный	Краснодарский край	Ейский район, Кухаривское сельское поселение, в 2-7 км к западу от с. Воронцовка	46,63657	38,01195	00.00.24	00.09.24	Об	Атм., абр	Отмечалось	В 2-7 км к западу от с. Воронцовка на отрезке берегового уступа субширотного простирания, высотой 13 м (в восточной части- до 19 м), отвесного, оголенного, зафиксирована активизация обвального процесса. Ориентировочно суммарная площадь активных обвалов 9 тыс. м^2. В процесс вовлечены плейстоценовые эолово-делювиальные лессовидные суглинки. Базис развития процесса - Таганрогский залив. Факторы активизации - атмосферные осадки и волновое воздействие моря. Отмечено воздействие на земли сельхозназначения - Деформировано около 0,00225 км^2.		
23-10-00006	Южный	Краснодарский край	Ейский район, Должанское сельское поселение, в 5 км к востоку от ст-цы Должанской	46,63287	37,93567	00.00.24	00.09.24	Об	Атм., абр	Отмечалось	В 6-12 км к востоку от ст-цы Должанской отмечалась активизация оползневого процесса на морском уступе, высотой 12-13 м, отвесном, оголенном. У подножия уступа отмечено отсутствие пляжевой полосы, в прибрежной части моря наблюдаются многочисленные глинистые остатки размытого морем коллювия, что позволяет сделать вывод развитой обвальной активности. Ориентировочно суммарная площадь активных обвалов 7,5 тыс. м^2. В процесс вовлечены плейстоценовые эолово-делювиальные лессовидные суглинки. Базис развития процесса - пляжевая полоса Таганрогского залива. Факторы активизации - атмосферные осадки и волновое воздействие моря. Отмечено воздействие на земли сельхозназначения - Деформировано около 0,0018 км^2.		
23-10-00007	Южный	Краснодарский край	Ейский район, Должанское сельское поселение, от 0 до 6 км к востоку от окраины ст-цы Должанской	46,63899	37,85965	00.00.24	00.09.24	Об	Атм., абр	Отмечалось	На протяжении 6 км к востоку от ст-цы Должанской отмечалась активизация обвального процесса на морском уступе субширотного простирания высотой 9-12 м, отвесном, оголенном. Пляжевая полоса отмечена в районе станицы Должанской, далее на восток отсутствует. Вдоль всего отрезка уступа протяженностью 6 км отмечено более 100 обвалов. В связи с почти полным отсутствием пляжевой полосы и быстрым размывом коллювия оценить площадь обвалов затруднительно. Приведены ориентировочные расчетные цифры. Максимальный зафиксированный объем единичного обвала 50 м^3, минимальных – 0,5-2 м^3. Суммарная площадь всех обвалов ориентировочно около 9 тыс. м^2. В процесс вовлечены плейстоценовые эолово-делювиальные лессовидные суглинки. Базис развития процесса - пляжевая полоса Таганрогского залива. Факторы активизации - атмосферные осадки и волновое воздействие моря. Отмечено воздействие на земли сельхозназначения - Деформировано около 0,0027 км^2.		

23-10-00008	Южный	Краснодарский край	Ейский район, южная окраина ст-цы Должанской	46,586 31	37,790 80	00.00.2 4	00.09.24	Об	Атм., абр	Отмечалось	На южной окраине ст-цы Должанской зафиксирована обвального процесса на береговом уступе протяженностью 2,9 км, высотой 6-9 м, отвесном, оголенном. Отмечено около 30 малообъемных обвалов, суммарной площадью около 3,5 тыс. м^2. Степень активности процесса – средняя. Размеры обломков – до 30 см. Ширина пляжевой полосы 12-10 м. В стенке срыва сформированы пластинчатые отдельности, а вдоль бровки уступа отмечены трещины отпора на расстоянии 30-50 см от бровки уступа. В процесс вовлечены плейстоценовые эолово-делювиальные лессовидные суглинки. Базис развития процесса - береговая полоса Азовского моря. Факторы активизации - атмосферные осадки и волновое воздействие моря. Отмечено воздействие на земли сельхозназначения - Деформировано около 0,0007 км^2.		
23-10-00010	Южный	Краснодарский край	Ейский район, в 7,5 км к северо-западу от ст-цы Камышеватской	46,463 28	37,863 46	00.00.2 4	00.09.24	Об	Атм., абр	Отмечалось	К северо-западу от ст-цы Камышеватской на отрезке уступа протяженностью 5,3 км наблюдалась активизация обвального процесса. Высота уступа повышается с севера на юг с 8 до 12 м, соответственно, высоте уступа усиливается степень активности с низкой на правом фланге до высокой на левом фланге. В целом, активность средней степени. На всем протяжении уступ оголенный, отвесный, трещиноватый с пластинчатыми отдельностями на поверхности клифа. Вдоль бровки уступа наблюдаются трещины отпора с шириной раскрытия 10-15 см. Ширина пляжевой полосы 8 м. Ориентировочно суммарная площадь активных обвалов 5,3 тыс. м^2. В процесс вовлечены плейстоценовые эолово-делювиальные лессовидные суглинки. Базис развития процесса - береговая полоса Азовского моря. Факторы активизации - атмосферные осадки и волновое воздействие моря. Отмечено воздействие на земли сельхозназначения - Деформировано около 0,0005 км^2.		
23-10-00011	Южный	Краснодарский край	Ейский район, к северо-западу от окраины ст-цы Камышеватской	46,424 44	37,896 85	00.00.2 4	00.09.24	Об	Атм., абр	Отмечалось	У северо-западной от ст-цы Камышеватской на отрезке уступа протяженностью 5,4 км наблюдалась активизация обвального процесса. Высота уступа 12 м. Уступ оголенный, вертикальный, очень сильно трещиноват. На отдельных участках линия бровки в плане крайне сильно изрезана. На расстоянии 1м от бровки уступа суглинки, слагающие поверхность уступа очень сильно выветрены и подвержены суффозии, отдельные обвалы зачастую сливаются по флангам и полностью перекрывают пляжевую полосу. Степень активности обвального процесса – высокая. Ориентировочно суммарная площадь активных обвалов 16,2 тыс. м^2. В процесс вовлечены плейстоценовые эолово-делювиальные лессовидные суглинки. Базис развития процесса - береговая полоса Азовского моря. Факторы активизации - атмосферные осадки и волновое воздействие моря. Отмечено воздействие на земли сельхозназначения - Деформировано около 0,0027км^2.		
23-10-00012	Южный	Краснодарский край	Ейский район, Камышеватское сельское поселение, в 6 км к юго-востоку от ст-цы Камышеватской	46,403 01	38,064 03	00.00.2 4	00.09.24	Об	Атм., абр	Отмечалось	Отмечалась активизация обвального процесса на уступе протяженностью 4,5 км высотой 17 м, оголенный, верхняя часть уступа отвесная, нижние 2/3 высоты уступа перекрыты коллювиальными отложениями. На всем протяжении уступа наблюдались массовые обвалы, полностью перекрывшие подножие уступа и пляжевую полосу. Частично коллювий размыт морем. Размеры обломков преимущественно до 20 см, максимальные до 40 см. В стенке срыва большое количество пластинчатых отдельностей. Степень активности процесса – очень высокая. Согласно отдельным замерам, отступание за год составило около 1,2 м. Суммарная площадь активных обвалов около 32 тыс.м^2. В процесс вовлечены плейстоценовые эолово-делювиальные лессовидные суглинки. Базис развития процесса - береговая полоса Ясенского залива Азовского моря. Факторы активизации - атмосферные осадки и волновое воздействие моря. Отмечено воздействие на земли сельхозназначения - Деформировано около 0,00432 км^2.		

23-10-00013	Южный	Краснодарский край	Ейский район, Ясенское сельское поселение, в 11 км к юго-востоку от ст-цы Камышеватской	46,38384	38,12746	00.00.24	00.09.24	Об	Атм., абр	Отмечалось	Отмечалась активизация обвального процесса на уступе протяженностью 6,8 км, отвесный, обнаженный, высотой 17 м. Оголенная поверхность стенки срыва подвержена процессам выветривания, в стенке срыва сформированы пластинчатые отдельности. Вдоль подножия уступа отмечено множество обвалов объемом не более 60 м^3 (преимущественно до 10 м^3). Вдоль бровки стенки уступа –трещины с шириной раскрытия до 0,3-0,5 м и длиной до 10 м. На всем протяжении присутствует пляжевая полоса шириной 2 -2,5 м. Коллювий активно размывается волнами моря. Суммарная площадь активных обвалов около 24,4 тыс. м^2. В процесс вовлечены плейстоценовые эолово-делювиальные лессовидные суглинки. Базис развития процесса - береговая полоса Ясенского залива Азовского моря. Факторы активизации - атмосферные осадки и волновое воздействие моря. Отмечено воздействие на земли сельхозназначения - Деформировано около 0,00272 км^2.		
23-10-00014	Южный	Краснодарский край	Ейский район, Ясенское сельское поселение к северо-западу от х.Шиловка	46,34653	38,18844	00.00.24	00.09.24	Об	Атм., абр	Отмечалось	Отмечалась активизация обвального процесса на уступе протяженностью 5,6 км, обнаженный, в верхней части – отвесный. На отрезке протяженностью 2 км на южном фланге проявления формируется угол естественного откоса. На северной окраине х. Шиловка подножие уступа задернованно. В целом активность на проявлении ниже, чем на остальных участках побережья Ясенского залива. От северного фланга к южному плотность обвалов сокращается как по количеству, так и по объемам отдельных очагов (средние объемы отдельных обвалов 1-3 м^3). Вдоль всего побережья присутствует пляжевая полоса шириной от 5 м (на севере до 10 м (на юге. Суммарная площадь обвалов около 11,7 тыс. м^2. В процесс вовлечены плейстоценовые эолово-делювиальные лессовидные суглинки. Базис развития процесса - береговая полоса Ясенского залива Азовского моря. Факторы активизации - атмосферные осадки и волновое воздействие моря. Отмечено воздействие на земли сельхозназначения - Деформировано около 0,00168 км^2.		
23-10-00018	Южный	Краснодарский край	Приморско-Ахтарский район, Бриньковское сельское поселение, в 2 км к северо-западу от ст-цы Бриньковской	46,04907	38,51590	00.00.24	00.09.24	Об	Атм., абр	Отмечалось	Отмечалась активизация обвального процесса на уступе высотой 5-6 м, уступ отвесный, обнаженный, на протяжении 2,8 км отмечены единичные обвалы объемом до 1 м^3. Пляжевая полоса отсутствует, в нижней части уступа обнажается бенч, сложенный плотными глинами, значительно замедляющими скорость разрушения нижней части уступа. Ориентировочно площадь активных обвалов -0,5 тыс. м^2. В процесс вовлечены плейстоценовые эолово-делювиальные лессовидные суглинки. Базис развития процесса - береговая полоса Бейсугского лимана. Факторы активизации - атмосферные осадки и волновое воздействие моря. Отмечено воздействие на земли сельхозназначения - Деформировано около 0,00011 км^2.		
23-10-00019	Южный	Краснодарский край	Приморско-Ахтарский район, Бриньковское сельское поселение, на юго-западной окраине х. Томаровского	46,05437	38,50998	00.00.24	00.09.24	Об	Атм., абр	Отмечалось	Отмечалась активизация обвального процесса на уступе высотой до 8 м, уступ отвесный, обнаженный. На протяжении 4,5 км на оголившемся бенче наблюдаются единичные обвалы объемом до 3 м^3. Пляжевая полоса шириной до 1м, присутствует фрагментарно. Ориентировочно, площадь активных обвалов - 2,1 тыс.м^2. В процесс вовлечены плейстоценовые эолово-делювиальные лессовидные суглинки. Базис развития процесса - береговая полоса Бейсугского лимана. Факторы активизации - атмосферные осадки и волновое воздействие моря. Отмечено воздействие на земли сельхозназначения - Деформировано около 0,00022 км^2.	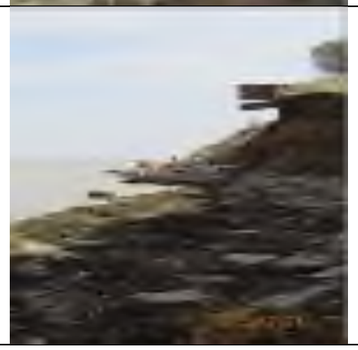	

23-10-00015	Южный	Краснодарский край	Приморско-Ахтарский район, в 1,0 км к юго-западу от х.Морозовского	46,13519	38,21360	00.00.24	00.09.24	Об	Атм., абр	Отмечалось	Отмечалась активизация обвального процесса на уступе высотой около 5 м на берегу Ясенского залива. На протяжении 600 м у подножия уступа отмечаются единичные малообъемные обвалы. Берег имеет фестончатое строение, глубина изрезанности от 1 до 3 м. В основании уступа залегают плотные глины, затрудняющие размыв. Вдоль бровки уступа отмечаются трещины. Ориентировочно, суммарная площадь обвалов составляет около 0,15 тыс. м^2. В процесс вовлечены плейстоценовые эолово-делювиальные лессовидные суглинки. Базис развития процесса - береговая полоса Ясенского залива Азовского моря. Факторы активизации - атмосферные осадки и волновое воздействие моря. Отмечено воздействие на земли сельхозназначения - Деформировано около 0,00004 км^2.		
23-10-00016	Южный	Краснодарский край	Приморско-Ахтарский район, в 2,5 км к юго-западу от х.Морозовского	46,12764	38,20070	00.00.24	00.09.24	Об	Атм., абр	Отмечалось	Отмечалась активизация обвального процесса на уступе около 7 м на берегу Ясенского залива. На протяжении 1,8 км у подножия уступа отмечаются единичные малообъемные обвалы. Берег имеет фестончатое строение, глубина изрезанности от 1 до 3 м. В основании уступа залегают плотные глины, затрудняющие размыв. Вдоль бровки уступа отмечаются трещины. Ориентировочно, суммарная площадь обвалов составляет около 0,43 тыс. м^2. В процесс вовлечены плейстоценовые эолово-делювиальные лессовидные суглинки. Базис развития процесса - береговая полоса Ясенского залива Азовского моря. Факторы активизации - атмосферные осадки и волновое воздействие моря. Отмечено воздействие на земли сельхозназначения - Деформировано около 0,0001 км^2.	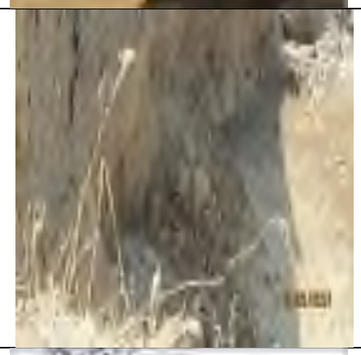	
23-10-00017	Южный	Краснодарский край	Приморско-Ахтарский район, 4,0 км к юго-западу от х.Морозовского	46,11460	38,18651	00.00.24	00.09.24	Об	Атм., абр	Отмечалось	Отмечалась активизация обвального процесса на уступе около 7 м на берегу Ясенского залива. На протяжении 1,9 км у подножия уступа отмечаются единичные малообъемные обвалы. Берег имеет фестончатое строение, глубина изрезанности от 1 до 3м. В основании уступа залегают плотные глины, затрудняющие размыв. Вдоль бровки уступа отмечаются трещины. Ориентировочно, суммарная площадь обвалов составляет около 0,46 тыс. м^2. В процесс вовлечены плейстоценовые эолово-делювиальные лессовидные суглинки. Базис развития процесса - береговая полоса Ясенского залива Азовского моря. Факторы активизации - атмосферные осадки и волновое воздействие моря. Отмечено воздействие на земли сельхозназначения - Деформировано около 0,0001 км^2.		
23-11-00592	Южный	Краснодарский край	МО город-курорт Сочи, Хостинский район, с. Пластунка, садовое товарищество Горизонт-3	43,69918	39,76120	00.07.24	00.09.24	Оп	Атм.	Не отмечалось	Отмечалась активизация оползневого процесса на левом берегу р. Сочи (базис развития). Оголено, слабоактивно. Задернованно на 5%. Оползают выветрелые аргиллиты и делювиальные суглинки. Залегание пород нарушенное. Активность на площади около 100 м^2. Мощность 0,5 м. Факторы активизации – атмосферные осадки. Парагенез с другими процессами – боковая эрозия реки. Период активизации – летний сезон. Сооружений инженерной защиты нет.		

23-11-00407	Южный	Краснодарский край	МО город-курорт Сочи, Центральный район, СТ Железнодорожник, пос. 73-й километр, ул. Ландышевая	43,63998	39,68164	00.07.24	00.09.24	Оп	Атм., техн.	Не отмечалось	Отмечалась активизация оползневого процесса по ул. Ландышева. Оползень продолжает оставаться слабоактивным. Языковая часть расчищена (ранее наползала на железную дорогу). В головной части высота стенки срыва около 1,5 м. Деформирована старая инженерная защита (бетонные сваи, подпорные стены). Оползень активен на площади около 200 м^2. Мощность зоны развития около 1 м. Факторы активизации – атмосферные осадки и жилое строительство. Базис развития оползневого процесса – пляжевая зона Черного моря.		
23-11-00331	Южный	Краснодарский край	МО город-курорт Сочи, Адлерский район, курорт Красная Поляна, в 0,3 км к юго-востоку от станции «Экстрим 1044», левый борт левобережного притока р. Мзымты	43,65496	40,33304	00.07.24	00.09.24	Оп	Атм.	Не отмечалось	Отмечалась активизация оползневого процесса в верхней части склона в районе тоннеля по ул. Альпийское шоссе. Базис развития – русло балочного вреза, притока р. Мзымта. Оползает делювиальный чехол и коренные аргиллиты. Параметры активной части проявления около 30×15 м^2. Мощность зоны развития около 0,5 м. В оползание вовлечены также стволы деревьев. Период активизации – летне-осенний сезон. Сооружений инженерной защиты нет. Факторы активизации – атмосферные осадки.		
23-11-00600	Южный	Краснодарский край	МО город-курорт Сочи, Адлерский район, курорт Красная Поляна, А-149, участок Адлер — курорт Альпика-Сервис, 35-36-й километр	43,65551	40,16886	00.07.24	00.09.24	Оп	Атм.	Не отмечалось	Отмечалась активизация оползневого процесса на 35-36 км дороги 146 на пос. Красная Поляна. Очаг активен на левом борту долины р. Мзымта в средней части склона. В оползание вовлечены стволы деревьев, покровные делювиальные суглинки, коренные аргиллиты. Длина активной части 50 м, ширина 30 м. Высота стенки срыва 2 м. Водопроявлений не отмечается. Основной поток прижат ближе к левому флангу. 37-й км. Инженерной защиты склона нет, воздействие на железную дорогу не отмечалось. Факторы активизации – атмосферные осадки. Период активизации – летне-осенний сезон.		
23-10-00107	Южный	Краснодарский край	МО город-курорт Сочи, Адлерский район, с. Галицыно, ул. Тернопольская	43,55420	39,97892	00.07.24	00.09.24	Оп	Атм.	Не отмечалось	Отмечалась активизация оползневого процесса в Адлерском районе Сочи (с. Галицыно, ул. Тернопольская). Проявление активно в низовом откосе дороги. Ширина около 20 м при длине 30 м. Размеры отсевших блоков на правом фланге 1,2×3,0 м. Базис развития – долина р. Псахо. На автодороге просадки, деформации, четкие оползневые контуры (деформации старые). Инженерной защиты склона нет, нового воздействия на местную автодорогу не отмечалось. Факторы активизации – атмосферные осадки. Период активизации – летне-осенний сезон.		

23-11-00602	Южный	Краснодарский край	МО город-курорт Сочи, Хостинский район, мкр. Малый Ахун, ул. Дорога на Большой Ахун	43,54785	39,83481	00.07.24	00.09.24	Об	Атм.	Не отмечалось	Отмечалась активизация обвального процесса в верховом откосе по ул. Дорога на Большой Ахун. Параметры обвала - ширина 3 м при длине 7 м. Мощность зоны развития – не более 0,5 м. Обрушаются коренные породы (известняки), делювиальные суглинки. Инженерной защиты склона нет, нового воздействия на местную автодорогу не отмечалось. Факторы активизации – атмосферные осадки. Период активизации – летне-осенний сезон. Базис развития – полка автодороги.		
23-11-00603	Южный	Краснодарский край	МО город-курорт Сочи, Адлерский район, ул. Володарского	43,52198	39,87707	00.07.24	00.09.24	Оп	Атм.	Не отмечалось	По ул. Володарского в МО город-курорт Сочи верховом откосе дороги отмечалась активизация оползневого процесса размером 6×10 м. Деляпсий перекрывал дорогу, на момент обследования расчищен. Грунт увлажнен. На автомобильной дороге отмечаются старые трещины и оползневые просадки. Оползают делювиальные суглинки с включениями глыб песчаника. Базис развития – полка автодороги. Факторы активизации – атмосферные осадки. Период активизации – летне-осенний сезон.		
23-11-00604	Южный	Краснодарский край	МО город-курорт Сочи, Адлерский район, участок дороги 03К-465 «Подъезд к с. Красная Воля»	43,54698	39,90120	00.07.24	00.09.24	Оп	Атм.	Не отмечалось	На автодроге к с. Красная Воля отмечалась активизация оползневого процесса в верховом откосе. В оползание вовлечены делювиальные суглинки, стволы деревьев. Оползневой очаг шириной 6-7 м, длина 4 м. Высота над полотном дороги 4-5 м. Высота стенки срыва 1 м. Факторы активизации – атмосферные осадки. Период активизации – летне-осенний сезон. Базис развития – полка автодороги. В низовом откосе установлены бетонные ограждающие блоки. Разрушений на автодороге нет.		
23-11-00567	Южный	Краснодарский край	МО город-курорт Сочи, Адлерский район, с. Каштаны, ул. Мичурина в районе дома №25а	43,52700	39,90076	00.07.24	00.09.24	Оп	Атм.	Отмечалось	Продолжается активизация оползня по ул. Мичурина в с. Каштаны. Первые признаки формирования оползня наблюдались 07.01. На территории домовладения образовалась серия оползневых ступеней, трещины шириной 0,1-0,3 м. Деформировано жилое строение, бетонные отмостки и забор. В оползание вовлечены плейстоцен-голоценовые суглинки с включением щебня, дресвы и глыб песчаника. Оползень развивается в северо-восточном направлении, базис оползания - правобережный склон р. Кудепсты. Отмечено высачивание грунтовых вод в подошвенной части оползня. Фактор активизации - переувлажнение грунта, техногенное воздействие (подрезка склона при планировании строительной площадки, с засыпкой естественного водотока). При обследовании в сентябре отмечается небольшая активность на площади около 10 м^2. Оползают делювиальные суглинки с включениями глыб песчаника в низовом откосе дороги, которая была деформирована ранее. Русло балочного вреза обводнено.		

23-11-00605	Южный	Краснодарский край	МО город-курорт Сочи, Хостинский район, с. Верхнениколаевское, ул. Веринская	43,50286	39,95175	29.07.24	00.09.24	Оп	Атм., техн.	Отмечалось	По информации СМИ 29 июля 2024 г дорога, соединяющая села Верхнениколаевское и Вардане-Верино (Хостинский район г. Сочи), обвалилась в результате активизации оползневого процесса. Предположительно, проезжая часть улиц Веринская и Кузнечная обвалилась из-за действий застройщика, ведущего работы ниже по склону. Базис развития – русловой врез бассейна р. Херота. Активизация произошла на площади около 200 м^2. Факторы активизации – атмосферные осадки и жилое строительство.		
30-11-00002	Южный	Астраханская область	Енотаевский р-н, с. Никольское	47,77239	46,38229	00.04.24	не заверишлась	Оп	Атм., Гидрол.	Отмечалось	Отмечалась активизация оползневого процесса в Енотаевском районе, с. Никольское. Оползневое проявление протяженностью 1810 м, расположено вдоль субвертикального берегового уступа высотой 15-18 м. Сложен уступ в верхней части (2-8 м) коричневыми глинами и суглинками, а ниже – песками с прослоями глин и суглинков верхнечетвертичного возраста (Q_{III}). Параметры активизации: протяженность вдоль берега 1810 м, длина по смещению от 0.6 до 10,7 м, мощность до 15-18 м. Вдоль уступа происходят оползания крупных блоков пород. Высокая скорость разрушения берега здесь объясняется боковой эрозией прижимного течения на излучине реки. Ежегодно накапливающиеся обвально-оползневые образования размываются паводковыми водами. Средняя ширина оползневого берега здесь составила 5,38 м (наибольшая - более 20 м). Активизация на площади 9740 м², объем 155800 м^3. Базис развития - основание берегового уступа реки. Активность на время обследования - 53%. Отмечалось воздействие на земли сельскохозяйственного использования Основные факторы активизации - боковая эрозия, атмосферные осадки.		
30-10-00007	Южный	Астраханская область	Енотаевский р-н, с. Копановка	47,46238	46,81927	00.04.24	не заверишлась	Об	Атм., Гидрол.	Не отмечалось	Отмечалась активизация обвального процесса протяженностью 1400 м расположено вдоль берегового уступа на правом берегу р. Волги, напротив с. Копановка Енотаевского района. Уступ высотой 15-17 м, сложен верхнечетвертичными ($Q_{III}hv_1$) коричневыми суглинками (2-8 м) подстилающимися песками. Вдоль бровки уступа, по образованным трещинам отрыва, происходят обвалы и наблюдается ряд отделяющихся блоков размером до 1×3,0 м. Ширина обвальной зоны берегового уступа составила 2 м. Базис развития - основание берегового уступа реки. Активизация на площади 23800 м², объем 47600 м^3. Основные факторы активизации - атмосферные осадки, боковая эрозия в паводковый период. Активность проявления на время обследования - 100 %.		
30-10-00011	Южный	Астраханская область	Енотаевский р-н, с. Косика	47,09692	47,21414	00.04.24	не заверишлась	Об	Атм., Гидрол.	Не отмечалось	Отмечалась активизация обвального процесса в Енотаевском районе, с. Косика. Обвальное проявление протяженностью 500 м расположено вдоль берегового уступа высотой 6-12 м. Уступ сложен верхнечетвертичными ($Q_{III}hv_1$) песками, перекрытыми красновато-коричневыми суглинками (2-3 м) с прослоями песков. Активизация наблюдалась на всем интервале проявления, где на склоне уступа видны мелкообломочные обвальные образования объемом до 1-2 м^3, по трещинам закола идет образование блоков. Ширина зоны обвалов берегового уступа составила 0,52 м. Базис развития - основание берегового уступа реки. Активизация на площади 3000 м², объем 1560 м^3. Основные факторы активизации - атмосферные осадки, боковая эрозия в паводковый период. Активность проявления на время обследования - 100 %.		

30-10-00015	Южный	Астраханская область	Икрянинский р-н, с. Сергиевка	45,97131	47,62680	00.04.24	не заверишлась	Об	Атм., Гидрол.	Не отмечалось	Отмечалась активизация обвального процесса в Икрянинском районе, с. Сергиевка. Обвальное проявление протяженностью 370 м расположено вдоль берегового уступа на правом берегу р. Бахтемир высотой 1-8 м. Уступ отвесный, сложен легкими суглинками и супесями (Q_{III}). Обвалы происходят по трещинам отрыва, образующимся вдоль бровки уступа. Активность процесса усиливается боковой эрозией прижимного течения на излучине реки. Юго-восточная часть села защищена берегозащитной дамбой. Средняя ширина обвальной зоны берега составила 1,5 м. Активизация на площади 1221 м^2, объем 1831 м^3. Активность на время обследования - 74 %. Основные факторы активизации - атмосферные осадки, боковая эрозия.		
30-10-00016	Южный	Астраханская область	Наримановский р-н, с. Петропавловка	46, 82871	47,77355	00.04.24	не заверишлась	Об	Атм., Гидрол.	Не отмечалось	Отмечалась активизация обвального процесса протяженностью 2400 м расположено вдоль берегового уступа на левом берегу р. Волги высотой 1,5-5,0 м, напротив с. Петропавловка. Уступ крутой, с двумя-тремя уступами-террасами шириной 3-5 м, сложен верхнечетвертичными аллювиальными суглинками (Q_{III}). Обвалы происходят по трещинам отрыва, образующимся вдоль бровки уступа. Обвальные образования полностью размыты. Активность процесса усиливается боковой эрозией прижимного течения на излучине реки. Средняя ширина обвальной зоны берега составила 0,90 м. Базис развития – р. Волга. Активизация на площади 7200 м², объем 6480 м^3. Основные факторы активизации - атмосферные осадки, боковая эрозия. Активность проявления на время обследования – 100 %. Вдоль берега сооружена дамба, защищающая село от затопления паводковыми водами.		
30-11-00005	Южный	Астраханская область	Енотаевский р-н, в 5 км южнее с. Пришиб	47,67292	46,54085	00.04.24	не заверишлась	Оп	Атм., Гидрол.	Не отмечалось	Отмечалась активизация оползневого процесса на правом берегу р. Волги расположенном в 5 км южнее с. Пришиб протяженностью 2,16 км. В верхней части берег сложен красновато-коричневыми суглинками (2-3 м), перекрывающими желтовато-серые пески (Q_{III}). Оползневая активность наблюдалась в западной и восточной частях оползневого участка берега, где образовались оползневые ступени с параметрами: на западном фланге проявления: ширина – 820 м, длина – 15,0 м; площадь – 12300 м^2; мощность 10 м, центр активизации - 47.67539°с.ш., 46.52757°в.д.; на восточном фланге проявления: ширина – 400 м, длина – 15,0 м: площадь – 6000 м^2; мощность 10 м. Центр активизации - 47.67201°с.ш., 46.54843°в.д. Общая площадь активизации проявления – 18300 м^2. Параметры всего проявления: длина – 40 м, ширина – 2160 м, мощность – 10, площадь – 86400 м^2. Активность оползневого проявления на время обследования - 21 %. Основные факторы активизации - атмосферные осадки, интенсивное снеготаяние, высокое половодье. Базис развития – р. Волга.	 	

30-11-00003	Южный	Астраханская область	Черноярский р-н, 6.5 км южнее с. Черный Яр	47,99694	46,11163	00.04.24	не заверишлась	Оп	Атм., Гидрол.	Не отмечалось	Наблюдается активизация оползневого процесса, наблюдавшегося с 2016 г. в Черноярском районе, 6.5 км южнее с. Черный Яр. на северном и южном участках вдоль берегового уступа высотой 15-18 м, сложенного песками, перекрытыми (2-3 м) коричневыми глинами и суглинками хвалынского возраста ($Q_{III}hv_1$), на северном фланге проявления происходит образование новых трещин отрыва и дробление оползневых ступеней с образованием блоков более высоких порядков и их смещений. Протяженность вдоль берега активной части оползневого участка – 200 м, площадь активизации 8000 м^2, объем – 80000 м^3. Центр активизации - 47.999156° с.ш. 46.11028° в.д.На втором участке активизации проявления зафиксирована на интервале в 600 м, где вдоль бровки берегового уступа происходит формирование и оседание оползневых блоков по трещинам отрыва. Площадь активизации 24000 м^2, объем – 240000 м^3. в.д.Общая площадь активной части оползня – 32000 м^2, объем 320000 м^3. Активность оползневого проявления на время обследования - 42 %.		
30-11-00001	Южный	Астраханская область	Черноярский р-н, с. Черный Яр	48,05031	46,11881	00.04.24	не заверишлась	Оп	Атм., Гидрол.	Не отмечалось	Активизация оползнвого процесса наблюдалась в Черноярском районе, с. Черный Яр в северной части оползня, на интервале в 100 м. В северном направлении, где амплитуда головного срыва исчезает, также произошло расширение трещин отрыва (до 1,5 м) и увеличение их длины. По некоторым из них появились вертикальные смещения с амплитудой до 0,15 м. Оползень обрывается к реке крутым уступом, не стабилизирован. Базис - основание берегового уступа реки. Активизация на площади 3000 м², объем 30000 м^3. Активность на время обследования – 31 %. Основные факторы активизации - атмосферные осадки и боковая эрозия.		
30-05-00001	Южный	Астраханская область	Ахтубинский район, в 1.32 км на северо-восток по Аз. 11° от п. Средний Баскунчак	48,21972	46,79286	00.04.24	не заверишлась	Ка	Атм.	Не отмечалось	Отмечалась активизация карстового процесса в Ахтубинском районе, в 1.32 км на северо-восток от п. Средний Баскунчак. Карстовое проявление расположено в вершине слепого оврага № 2 и представлено овальным провалом размером 5,0×1,5 м и глубиной 1,0 м. Вокруг него наблюдаются обломки разрушенных стенок, сложенных суглинками с обломками гипса (P_1k, $Q_{III}hv_1$). Провал имеет сужающуюся конусовидную форму. Активность низкая. Факторы активизации - атмосферные осадки, трещиноватость пород. Базис развития опасного ЭГП - подошва гипсовой толщи.		

30-05-00002	Южный	Астраханская область	Ахтубинский район, в 1.36 км на север-северо-восток по Аз. 8° от п. Средний Баскунчак	48,22014	46,79206	00.04.2023	не заверишлась	Ка	Атм.	Не отмечалось	Отмечалась активизация карстового процесса в Ахтубинском районе, в 1.36 км на север-северо-восток от п. Средний Баскунчак. Карстовое проявление расположено на склоне слепого оврага № 2 и представлено вытянутым воронкообразным провалом размером 5,0×3,0 м и глубиной 1,5 м. На стенках имеются выходы гипсов, а в основании щелевидный понор, по которому происходит сброс дождевых и талых вод в подземные карстовые полости. Вокруг отверстия идет постепенное разрушение пород. Комплексы горных пород, затронутые проявлением - P_1k, $Q_{III}hv_1$. Активность средняя. Факторы активизации - атмосферные осадки, трещиноватость пород. Базис развития опасного ЭГП - подошва гипсовой толщи.	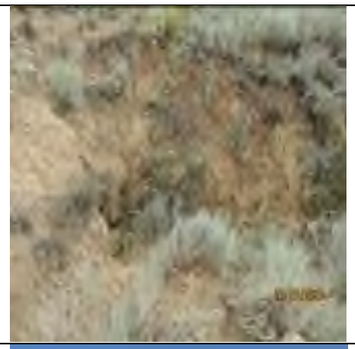	
30-05-00003	Южный	Астраханская область	Ахтубинский район, в 1.34 км на север-северо-восток по Аз. 5° от п. Средний Баскунчак	48,22006	46,79092	00.04.2023	не заверишлась	Ка	Атм.	Не отмечалось	Отмечалась активизация карстового процесса в Ахтубинском районе, в 1.34 км на север-северо-восток от п. Средний Баскунчак. Карстовое проявление расположено на дне слепого оврага №1 и представлено двумя воронкообразными формами диаметром 3,5 м и глубиной 1,2 м и диаметром 4,0 м и глубиной 2,0 м, соединенными перемычкой. Активна восточная, наиболее глубокая воронка, с крутых стенок которой происходит осыпание суглинков, а в основании имеется понор. Активность средняя. Факторы активизации - атмосферные осадки, трещиноватость пород. Базис развития опасного ЭГП - подошва гипсовой толщи. Комплексы горных пород, затронутые проявлением - P_1k, $Q_{III}hv_1$.		
30-05-00004	Южный	Астраханская область	Ахтубинский район, в 1.37 км на север-северо-восток по Аз. 4° от п. Средний Баскунчак	48,22035	46,79059	00.04.2023	не заверишлась	Ка	Атм.	Не отмечалось	Отмечалась активизация карстового процесса в Ахтубинском районе, в 1.37 км на север-северо-восток от п. Средний Баскунчак. Карстовое представлено группой воронок в слепом овраге № 1, на площади 40х25 м. В покровных суглинках, среди коренных выходов гипсов, выделяется 8 воронок и воронкообразных форм диаметром от 0,6-2 до 8 м и глубиной до 2.0 м. Среди них, одна воронка в суглинках, с ее бортов происходит осыпание пород. Активность средняя. Факторы активизации - атмосферные осадки, трещиноватость пород. Базис развития опасного ЭГП - подошва гипсовой толщи. Комплексы горных пород, затронутые проявлением - P_1k, $Q_{III}hv_1$.		
30-05-00006	Южный	Астраханская область	Ахтубинский район, в 1.58 км на северо-восток по Аз. 24° от п. Средний Баскунчак	48,22106	46,79817	00.04.24	не заверишлась	Ка	Атм.	Не отмечалось	Отмечалась активизация карстового процесса в Ахтубинском районе, в 1.58 км на северо-восток от п. Средний Баскунчак. Карстовое представлено расположено на равнине и представлено одиночной воронкой диаметром 16,0 м и глубиной 2,5 м. На стенках воронки развалы гипса, в основании конусовидное углубление с обломками гипса, возможно переходящее в понор. На момент обследования воронка активна, дно просадки завалено осыпаниями и оползаниями суглинков и гипсов.		

30-05-00019	Южный	Астраханская область	Ахтубинский район, в 1.17 км северо-восток по Аз. 24° от п. Средний Баскунчак	48,21911	46,79632	00.04.24	не заверишлась	Ка	Атм.	Не отмечалось	Отмечалась активизация карстового процесса в Ахтубинском районе, в 1.17 км на северо-восток от п. Средний Баскунчак. В южной части участка активная воронка в суглинках ($Q_{III}hv_1$) диаметром 12,0 м и глубиной около 3,0 м, по краям, которой имеются трещины закола, шириной до 0,5-1 см. С ее бортов происходит осыпание суглинков. Факторы активизации - атмосферные осадки, трещиноватость пород. Базис развития опасного ЭГП - подошва гипсовой толщи. Комплексы горных пород, затронутые проявлением - $Q_{III}hv_1$.		
30-05-00020	Южный	Астраханская область	Ахтубинский район, в 1.17 км северо-восток по Аз. 24° от п. Средний Баскунчак	48,21900	46,79580	00.04.24	не заверишлась	Ка	Атм.	Не отмечалось	Отмечалась активизация карстового процесса в Ахтубинском районе, в 1.17 км на северо-восток от п. Средний Баскунчак. В южной части участка активная воронка в суглинках ($Q_{III}hv_1$) диаметром 8,0 м и глубиной около 3,0 м, по краям, которой имеются трещины закола, шириной до 0,5-1 см. С ее бортов происходит осыпание суглинков. Активность слабая. Факторы активизации - атмосферные осадки, трещиноватость пород. Базис развития опасного ЭГП - подошва гипсовой толщи. Комплексы горных пород, затронутые проявлением - $Q_{III}hv_1$.		
30-05-00021	Южный	Астраханская область	Ахтубинский район, в 1.17 км северо-восток по Аз. 24° от п. Средний Баскунчак	48,21890	46,79593	00.04.24	не заверишлась	Ка	Атм.	Не отмечалось	Отмечалась активизация карстового процесса в Ахтубинском районе, в 1.17 км на северо-восток от п. Средний Баскунчак. В южной части участка активная воронка в суглинках ($Q_{III}hv_1$) диаметром 7,0 м и глубиной около 2,0 м, по краям, которой имеются трещины закола, шириной до 0,5-1 см. С ее бортов происходит осыпание суглинков. Факторы активизации - атмосферные осадки, трещиноватость пород. Базис развития опасного ЭГП - подошва гипсовой толщи. Комплексы горных пород, затронутые проявлением - $Q_{III}hv_1$. Активность слабая.		
34-10-00001	Южный	Волгоградская область	Среднеахтубинский район, с. Рахинка	49,01535	44,91423	00.04.24	не завершилась	Об	Атм., Гидрол.	Не отмечалось	Активизация обвального процесса отмечалась напротив с. Рахинка. Комплекс пород осадочный ($Q_{III}hv_1$). Уступ высотой 3-10 м, сложен верхнечетвертичными коричневыми слоистыми глинами и суглинками, а нижняя его часть - коричневато-желтыми песками. Вдоль бровки встречаются трещины закола шириной до 0,1 м и протяженностью 1,5-4 м, на склонах свежие обнажения и скопления обломочного материала. Длина проявления 4 м, ширина 2200 м. Средняя ширина обвальной зоны вдоль берегового уступа составила 1,32 м. Активизация на площади 8800 м^2, объем 11616 м^3. Активность проявления на время обследования - 100 %. Базис - основание берегового уступа водохранилища. Факторы активизации: атмосферные осадки, гидрологический (уровенный режим водохранилища), крутизна склонов берегового уступа.		

34-10-00002	Южный	Волгоградская область	Быковский район, п. Приморск	49,261 78	45,016 36	00.04.2 4	не завершилась	Об	Атм., Гидрол.	Не отмечалось	Отмечалась активизация обвального процесса протяженностью 1060 м, расположенного на левом берегу Волгоградского водохранилища, напротив центральной части п. Приморск. Комплекс пород осадочный (Q_{III} hv_1). Уступ высотой 8 м, сложен верхнечетвертичными коричневато-желтыми песками, в верхней части коричневыми суглинками. Вдоль бровки встречаются трещины закола шириной до 0,1 м и протяженностью 1,5-4 м. Активизация зафиксирована на Ю-З окраине поселка. Ширина обвальной зоны берега на интервале составило 0,6 м. Активизация на площади 800 м^2, объем 480 м^3. Активность проявления на время обследования – 9 %. Базис - основание берегового уступа водохранилища. Факторы активизации: атмосферные осадки, гидрологический.		
34-10-00003	Южный	Волгоградская область	Быковский район, с. Нижний Балыклей	49,496 26	45,138 83	00.04.2 4	не завершилась	Об	Атм., Гидрол.	Не отмечалось	Отмечалась активизация обвального процесса протяженностью 700 м, расположено вдоль берегового уступа на левом берегу Волгоградского водохранилища, напротив с. Нижний Балыклей. Уступ высотой 8 м, сложен верхнечетвертичными ($Q_{III}hv_1$) коричневыми глинами и суглинками. Под уступом вода омывает берег. Обвальные образования полностью размыты водой. Средняя ширина обвальной зоны составила 2 м. Активизация на площади 5600 м², объем 11200 м^3. Параметры активизации совпадают с параметрами проявления. Базис - основание берегового уступа водохранилища. Факторы активизации: атмосферные осадки, гидрологический. Отдельные жилые дома расположены в 20-30 м от берега.		
34-10-00004	Южный	Волгоградская область	п. Быково Быковского района	49,767 58	45,372 17	00.04.2 4	не завершилась	Об	Атм., Гидрол.	Не отмечалось	Отмечалась активизация обвального процесса протяженностью 3370 м, расположено вдоль берегового уступа на левом берегу Волгоградского водохранилища, напротив п. Быково. Высота уступа повышается в северном направлении от 0-4 до 8-10 м. Сложен верхнечетвертичными ($Q_{III}hv1$) желтовато-коричневыми песками перекрытыми коричневыми глинами и суглинками (0,5-1,5 м). Вдоль бровки уступа встречаются заколы в суглинках шириной до 0,1 м и глубиной раскрытия до 1,5 м. обвальные образования, почти полностью размытые водой, вдоль бровки уступа заколы в суглинках шириной до 0,1 м и глубиной раскрытия до 1,5 м, оплывины, Средняя ширина обвального уступа 0,96 м. Параметры активизации совпадают с параметрами проявления. Протяженность проявления составляет 4100 м, площадь – 32800 м^2, объем - 31488 м^3. Базис - основание берегового уступа водохранилища. Факторы активизации: атмосферные осадки, гидрологический. Край села расположен в 170-400 м от берега.		
34-10-00008	Южный	Волгоградская область	Николаевский р-н, в 2.4км к СВ от х. Рыбный	50,138 08	45,597 29	00.04.2 4	не завершилась	Об	Атм., Гидрол.	Не отмечалось	Отмечалась активизация обвального процесса протяженностью 500 м, расположено вдоль берегового уступа на левом берегу Волгоградского водохранилища, в районе х. Рыбный. Уступ высотой 9 м, вертикальный, сложен коричневыми глинами и суглинками. Бровка уступа нависающая, сильно эродирована, местами вдоль бровки видны трещины закола. Вода омывает основание берегового уступа. Ширина обвального берега составила 4,68 м. Протяженность активной части составляет более 500 м. Активизация на площади 4500 м², объем 21060 м^3. Активность проявления на время обследования - 100 %. Базис - основание берегового уступа водохранилища. Факторы активизации: атмосферные осадки, гидрологический.		

34-10-00005	Южный	Волгоградская область	Быковский район, с. Кислово	49,88637	45,37095	01.04.24	не завершилась	Об	Атм., Гидрол.	Не отмечалось	Отмечалась активизация обвального процесса протяженностью 600 м, расположено вдоль берегового уступа на левом берегу Волгоградского водохранилища, в южной части с. Кислово. Уступ высотой 5-6 м сложен песками ($Q_{III}hv_1$). Протяженность активной части берега составляет 200 м. Под уступом имеются следы свежих обвалов, но почти все они размыты водой. Ширина обвальной зоны берега составила 0,44 м. Протяженность активной части берега составляет 200 м. Активизация на площади 1000 м², объем 440 м³. Активность проявления на время обследования - 33 %. Базис - основание берегового уступа водохранилища. Факторы активизации: атмосферные осадки, гидрологический, уровенный режим водохранилища. Первая линия домов расположена в 70 м от берега.		
34-10-00006	Южный	Волгоградская область	Быковский район, с. Кислово	49,90390	45,38138	01.04.24	не завершилась	Об	Атм., Гидрол.	Не отмечалось	Отмечалась активизация обвального процесса протяженностью 1500 м, расположено вдоль берегового уступа на левом берегу Волгоградского водохранилища, напротив средней и северной частей с. Кислово. Уступ высотой 5-6 м сложен песками ($Q_{III}hv_1$). На берегу наблюдаются трещины отрыва; под уступом имеются обвальные образования, но почти все они размыты водой. Средняя ширина обвальной зоны берега на интервале составила 0,18 м. Протяженность активной части берега составляет 1500 м. Активизация на площади 7500 м², объем 1350 м³. Параметры активизации совпадают с параметрами проявления. Берег укреплен защитными бетонными блоками вдоль линии пляжа и на береговом уступе. Базис - основание берегового уступа водохранилища. Факторы активизации: атмосферные осадки, гидрологический. Отдельные жилые дома расположены в 20-30 м от берега.		
34-10-00007	Южный	Волгоградская область	Николаевский район, с. Бережновка	50,26827	45,90819	01.04.24	не завершилась	Об	Атм., Гидрол.	Не отмечалось	Отмечалась активизация обвального процесса протяженностью 1670 м расположено напротив С-В части с. Бережновка. Комплекс пород осадочный ($Q_{III}hv_1$). Береговой уступ вертикальный, повышается в СВ направлении от 2 до 8 м. Верхняя часть его (до 1,5 м) сложена коричневыми глинами, ниже залегают коричневато-желтые пески. Наблюдаются трещины закола вдоль берегового уступа, обвальные образования размыты водой. Средняя ширина обвального берега составила 1,27 м. Активизация на площади 8350 м², объем 10605 м³. Параметры активизации совпадают с параметрами проявления. Базис - основание берегового уступа водохранилища. Факторы активизации: атмосферные осадки, гидрологический.		
34-10-00026	Южный	Волгоградская область	Среднеахтубинский район, с. Верхнепогромное	48,95690	44,84990	01.04.24	не завершилась	Об	Атм., Гидрол.	Не отмечалось	Отмечалась активизация обвального процесса протяженностью 1700 м, расположено вдоль берегового уступа на левом берегу Волгоградского водохранилища. Комплекс пород осадочный ($Q_{III}hv_1$). Уступ высотой 5-6 м, сложен верхнечетвертичными коричневыми слоистыми глинами и суглинками (1-4 м), а нижняя его часть - коричневато-желтыми песками. Активизация отмечалась в северо-восточной части пункта наблюдения протяженностью 500 м. Бровка уступа извилистая с заливчиками, часто с нависающими краями. Под уступом свежие обвалы пород берега. Ширина обвальной зоны берега составила 0,42 м. Активность проявление на момент обследования 29%. Базис - основание берегового уступа водохранилища. Факторы активизации: атмосферные осадки, гидрологический.		

34-10-00027	Южный	Волгоградская область	Быковский район, ст-ца Степано-Разинская	49,44243	45,10897	01.04.24	не завершилась	Об	Атм., Гидрол.	Не отмечалось	Отмечалась активизация обвального процесса протяженностью 700 м, расположено вдоль берегового уступа на левом берегу Волгоградского водохранилища. Комплекс пород осадочный ($Q_{III}hv_1$). Уступ высотой 7-9 м, сложен верхнечетвертичными желтовато-коричневыми глинами и суглинками. Вдоль бровки встречаются трещины закола и обвалы пород. Средняя ширина обвальной зоны берега на интервале составила 0,65 м. Активизация на площади 4200 м^2, объем 2730 м^3. Параметры активизации совпадают с параметрами проявления. Базис - основание берегового уступа водохранилища. Факторы активизации: атмосферные осадки, гидрологический. Край села расположен в 130-200 м от берега.		
34-10-00009	Южный	Волгоградская область	напротив С-В части с. Нижняя Добринка Камышинского р-на	50,31637	45,70814	01.04.24	не завершилась	Об	Атм., Гидрол.	Не отмечалось	Отмечалась активизация обвального процесса протяженностью 900 м, расположено вдоль берегового уступа на правом берегу Волгоградского водохранилища. Комплекс пород осадочный ($Q_{III}hv_1$). Береговой уступ вертикальный, высотой 5-6 м, сложен коричневыми глинами и суглинками. Под уступом сплошная полоса свежих обвальных образований. Протяженность интервала активизации 100 м, высот уступа здесь около 3 м. Ширина обвального берега в среднем составила на интервале 0,26 м. Активизация на площади 300 м², объем 78 м^3. Активность проявления на время обследования – 6 %. Базис - основание берегового уступа водохранилища. Факторы активизации: атмосферные осадки, гидрологический.		
34-10-00010	Южный	Волгоградская область	Дубовский район, с. Горный Балыклей	49,55226	45,09963	01.04.24	не завершилась	Об	Атм., Гидрол.	Отмечалось	Отмечалась активизация обвального процесса протяженностью 750 м, расположено вдоль берегового уступа на правом берегу Волгоградского водохранилища, напротив северо-восточной части села. Уступ, высотой 13-15 м, крутой, до вертикального, сложен в верхней части коричневыми слоистыми глинами (до 2 м), ниже – песками, опоками и песчаниками палеогена ($Q_{III}hv_1$, ~~P_1~~). Средняя ширина обвальной части берега на интервале составила 3,5 м. Активизация на площади 11250 м², объем 39375 м^3. Активность проявления на время обследования - 100%. Базис - основание берегового уступа водохранилища. Факторы активизации: атмосферные осадки, гидрологический. Отмечалось воздействие на земли сельскохозяйственного использования 11250 м².		
34-10-00011	Южный	Волгоградская область	Дубовский район, с. Горный Балыклей	49,54908	45,09105	01.04.24	не завершилась	Об	Атм., Гидрол.	Отмечалось	Отмечалась активизация обвального процесса протяженностью 660 м, расположено на правом берегу Волгоградского водохранилища, напротив средней части села. Комплекс пород осадочный ($Q_{III}hv_1$, ~~P_1~~). Береговой уступ, высотой 7-8 м, вертикальный, сложен желтовато-коричневыми песками. Под уступом сплошная полоса свежих обвальных образований. Ширина зоны обвалов берега на интервале составила 6,34 м. Активизация на площади 5280 м², объем 33475 м^3. Активность проявления на время обследования - 100 %. Базис - основание берегового уступа водохранилища. Факторы активизации: атмосферные осадки, гидрологический. Жилые и хозяйственные строения находятся на расстоянии более 100 м. Отмечалось воздействие на земли сельскохозяйственного использования 5280 м².		

34-10-00012	Южный	Волгоградская область	Дубовский район, с. Горный Балыклей	49,54525	45,08273	01.04.2023	не завершилась	Об	Атм., Гидрол.	Отмечалось	Отмечалась активизация обвального процесса протяженностью 380 м, расположено вдоль берегового уступа на правом берегу Волгоградского водохранилища, напротив средней части села Горный Балыклей. Комплекс пород осадочный ($Q_{III}hv_1$, ~~P_1~~). Береговой уступ высотой 7 м, в верхней части вертикальный. Верхняя часть его сложена глинами, ниже обнажаются пески, песчаники палеогена. Под уступом сплошная полоса свежих обвальных образований. Ширина обвальной зоны на интервале составила 1.93 м, активизация на площади 2660 м², объем 5134 м³. Параметры активизации совпадают с параметрами проявления. Базис - основание берегового уступа водохранилища. Факторы активизации: атмосферные осадки, гидрологический. Край села находится в 70 м. Отмечалось воздействие на земли сельскохозяйственного использования 5134 м².		
34-10-00013	Южный	Волгоградская область	Дубовский район, с. Горный Балыклей	49,54308	45,07812	01.04.24	не завершилась	Об	Атм., Гидрол.	Отмечалось	Отмечалась активизация обвального процесса протяженностью 320 м, расположено вдоль берегового уступа на правом берегу Волгоградского водохранилища напротив южной части села. Комплекс пород осадочный (~~P_1~~, $Q_{III}hv_1$). Береговой уступ высотой 6-7 м, в верхней части сложен глинами, ниже обнажаются пески и опоковидные песчаники. Под уступом свежие обломочные обвальные образования, на уступе развиты трещины закола. Ширина зоны обвалов на интервале составила 0,65 м. Активизация на площади 2240 м², объем 1456 м³. Параметры активизации совпадают с параметрами проявления. Базис - основание берегового уступа водохранилища. Факторы активизации: атмосферные осадки, гидрологический. Сокращение земель сельскохозяйственного использования 1456 м².		
34-10-00028	Южный	Волгоградская область	Быковский район, п. Молодежный	49,62845	45,31343	01.04.24	не завершилась	Об	Атм., Гидрол.	Отмечалось	Отмечалась активизация обвального процесса протяженностью 720 м, расположено вдоль берегового уступа на левом берегу Волгоградского водохранилища напротив п. Молодежный. Комплекс пород осадочный ($Q_{III}hv_1$). Уступ высотой 3-6 м, сложен желтовато-коричневыми песками, перекрытыми бурыми суглинками. Вдоль него развиты небольшие осыпания и обвальные образования. Активизация наблюдалась на протяжении всего проявления. Ширина обвальной части уступа на интервале составила 0,53 м. Активизация на площади 3600 м², объем 1908 м³. Базис - основание берегового уступа водохранилища. Факторы активизации: атмосферные осадки, гидрологический. В 60 м от берега расположено кладбище. Сокращение земель сельскохозяйственного использования на площади 3600 м².		
34-10-00014	Южный	Волгоградская область	Дубовский район, ст-ца Суводская	49,48917	45,06110	01.04.24	не завершилась	Об	Атм., Гидрол.	Не отмечалось	Отмечалась активизация обвального процесса протяженностью 520 м расположено вдоль берегового уступа на правом берегу Волгоградского водохранилища, напротив северной части ст-цы Суводской. Комплекс пород осадочный (~~P~~, $Q_{III}hv_1$). Береговой уступ, высотой 8-9 м, сложен коричневыми суглинками с горизонтами обломочных опок. Вдоль береговой линии - трещины закола, по которых происходит отделения блоков пород. В его основании обвалы суглинков, галек опок. Средняя ширина обвального берега на проявлении составила 0,42 м. Активизация на площади 4680 м², объем 5242 м³. Активизация проявления на момент обследования составила 100%. Базис - основание берегового уступа водохранилища. Факторы активизации: атмосферные осадки, гидрологический.		

34-10-00015	Южный	Волгоградская область	Дубовский район, с. Горноводяное	49,252 74	44,949 21	01.04.2 4	не завершилась	Об	Атм., Гидрол.	Не отмечалось	Отмечалась активизация обвального процесса в Дубровском районе, с. Горноводяное. Береговой уступ высотой 10-13 м, вертикальный, сложен коричневыми суглинками с прослоями обломочных опок, ниже – песками и песчаниками палеогена ($Р_2$, $Q_{III}hv_1$). На уступе и вдоль его бровки встречаются трещины закола. Обвальные образования размыты водой. Ширина обвалов на всем проявлении составила 1,5 м. Параметры активизации совпадают с параметрами проявления. Факторы активизации: атмосферные осадки, гидрологический.		
34-10-00017	Южный	Волгоградская область	Дубовский район, с. Песковатка	49,114 22	44,870 88	01.04.2 4	не завершилась	Об	Атм., Гидрол.	Не отмечалось	Отмечалась активизация обвального процесса протяженностью 390 м вдоль вертикального берегового уступа высотой 18 м, сложенного песками, песчаниками и опоками палеогена, перекрытыми (1-2 м) хвалынскими суглинками ($Р_2$, $Q_{III}hv_1$). Бровка нависающая, с сильно изрезанными краями. Пляжа нет. Ширина обвального берега составила 0,2 м. Активизация на площади 7020 м², объем 1404 м^3. Базис - основание берегового уступа водохранилища. Параметры активизации совпадают с параметрами проявления. Факторы активизации: атмосферные осадки, гидрологический. Жилые дома расположены в 25-40 м от обрыва.		
34-10-00018	Южный	Волгоградская область	Дубовский район, г. Дубовка	49,045 07	44,825 86	01.04.2 4	не завершилась	Об	Атм., Гидрол.	Не отмечалось	Отмечалась активизация обвального процесса протяженностью 190 м расположено в г. Дубовка, на правом берегу Волгоградского водохранилища, вдоль берегового уступа южнее залива. Комплекс пород осадочный ($Р_2$, $Q_{III}hv_1$). Береговой уступ высотой 1-3 м, вертикальный, сложен коричневыми глинами, в основании которых просматриваются пески. Под уступом видны обвальные образования глин, песчаников, опок, мелкой ракушки. Ширина обвальной зоны берега на интервале составила 0,3 м. Активизация на площади 285 м², объем 85 м^3. Параметры активизации совпадают с параметрами проявления. Базис - основание берегового уступа водохранилища. Факторы активизации: атмосферный, гидрологический. Жилые дома расположены в 45 м от обрыва.		
34-10-00019	Южный	Волгоградская область	Дубовский район, г. Дубовка	49,037 91	44,820 47	01.04.2 4	не завершилась	Об	Атм., Гидрол.	Не отмечалось	Отмечалась активизация обвального процесса протяженностью 180 м расположено в г. Дубовка, напротив южного части города. Комплекс пород осадочный ($Р_2$, $Q_{III}hv_1$). Береговой уступ высотой 8-10 м, вертикальный, сложен коричневыми суглинками и глинами с обломками опок, в основании которых просматриваются пески. На пляже шириной до 4 м наблюдаются свежие обвальные образования. Ширина обвальной части берега составила 0,1 м. Активизация на площади 1800 м², объем 180 м^3. Параметры активизации совпадают с параметрами проявления. Базис - основание берегового уступа водохранилища. Факторы активизации: атмосферный, гидрологический. Жилые дома расположены в 45 м от обрыва.		

34-10-00016	Южный	Волгоградская область	Дубовский район, г. Дубовка	49,036 16	44,817 21	01.04.2 4	не завершилась	Об	Атм., Гидрол.	Не отмечалось	Отмечалась активизация обвального процесса протяженностью 200 м расположено в г. Дубовка напротив южного окончания города. Комплекс пород осадочный (P_2, $Q_{III}hv_1$). Береговой уступ высотой 8-10 м, вертикальный, сложен коричневыми суглинками и глинами с обломками опок, в основании которых просматриваются песчаники, пески. Обвальные образования наблюдаются по всему активному берегу (200 м). Ширина обвальной зоны берега на интервале составила 0,24 м. Активизация на площади 2000 м², объем 480 м³. Параметры активизации совпадают с параметрами проявления. Базис - основание берегового уступа водохранилища. Факторы активизации: атмосферный, гидрологический. Жилые дома расположены в 45 м от обрыва.		
34-10-00020	Южный	Волгоградская область	Дубовский район, с. Пичуга	48,980 01	44,723 10	01.04.2 4	не завершилась	Об	Атм., Гидрол.	Не отмечалось	Отмечалась активизация обвального процесса протяженностью 900 м. Комплекс пород осадочный (P_2, $Q_{III}hv_1$). Обвальные образования полностью размыты в половодье и под уступом видны только последние накопления. Береговой уступ высотой 2-14 м, вертикальный, в северной части сложен глинами и суглинками хвалынской аккумулятивной террасы, южней – коричневыми суглинками с прослоями обломочных опок, ниже – песками и песчаниками палеогена. Пляж песчаный и глинисто-песчаный, шириной 1-5 м. Средняя ширина обвальной зоны на интервале составила 0,55 м. В центральной части проявления наблюдаются обвалившиеся массы берега шириной 1,4 м на протяжении 70 м вдоль береговой линии. Активизация на площади 7200 м², объем 3960 м³. Параметры активизации совпадают с параметрами проявления. Факторы активизации: атмосферные осадки, гидрологический.		
34-10-00032	Южный	Волгоградская область	Городищенский район, с. Виновка	48,874 99	44,662 84	01.04.2 4	не завершилась	Об	Атм., Гидрол.	Не отмечалось	Отмечалась активизация обвального процесса протяженностью 100 м. Береговой уступ высотой 8-10 м, вертикальный, сложен песками с обломками опок и прослоями песчаников (P_2mč, N_2). Пляж шириною до 5 м усыпан обломками песчаников и опок. Ширина обвального берега на интервале составила 0,20 м. Активизация на площади 1000 м², объем 200 м³. Параметры активизации совпадают с параметрами проявления. Базис - основание берегового уступа водохранилища. Факторы активизации: атмосферный, гидрологический.		
34-10-00031	Южный	Волгоградская область	Городищенский район, с. Виновка	48,872 16	44,661 59	01.04.2 4	не завершилась	Об	Атм., Гидрол.	Не отмечалось	Отмечалась активизация обвального процесса протяженностью 50 м. Береговой уступ высотой 8-14 м, вертикальный, сложен серыми песками с обломками опок и прослоями песчаников (P_2mč, N_2), обломки которых устилают пляж, шириной около 1-2 м. Ширина обвального берега на интервале составила 0,2 м. Активизация на площади 700 м², объем 140 м³. Параметры активизации совпадают с параметрами проявления. Базис - основание берегового уступа водохранилища. Факторы активизации: атмосферный, гидрологический.		

34-10-00025	Южный	Волгоградская область	Котельниковский район, х. Красноярский	47,893 89	43,054 45	01.04.2 4	не завершилась	Об	Атм., Гидрол.	Не отмечалось	Отмечалась активизация обвального процесса вдоль кромки вертикального уступа высотой до 3,5 м, местами с отрицательным уклоном, сложенного хвалынскими коричневыми глинами, суглинками ($Q_{III}hv_1$). Пляж зачастую отсутствует в южной и центральной части проявления, завален остатками засохших деревьев. Бровка уступа извилистая, часто с нависающими краями. Под уступом встречаются зализанные блоки обвалившегося берега объемом до 0,5 м^3. Средняя ширина полосы обвальной части берегового уступа составила 0,50 м. Площадь активизации 2400 м^2, объем 1200 м^3. Факторы активизации: атмосферный, гидрологический (ливневые дожди, интенсивное снеготаяние, уровенный режим водохранилища и прибрежное волнение). Параметры активизации совпадают с параметрами проявления.		
34-10-00023	Южный	Волгоградская область	Котельниковский район, ст-ца Нагавская	47,768 44	42,818 84	01.04.2 4	не завершилась	Об	Атм., Гидрол.	Не отмечалось	Отмечалась активизация обвального процесса по всему береговому уступу протяженностью 1750 м. Высота субвертикального уступа, сложенного коричневыми глинами, суглинками, песками (N_2^3) составляет от 0 до 6 м. Пляж проявлен изредка местами, шириной до 0,5-2 м. Бровка уступа извилистая, с промоинами и заливчиками. Вдоль нее происходит образование трещин закола и обвалы отдельных блоков пород. Ширина зоны обвального уступа составило 3,24 м. Площадь активизации 5775 м^2, объем 18711 м^3. Базис - основание берегового уступа водохранилища. Основными факторами активизации являются атмосферные осадки и уровень водохранилища. Край станицы находится в 60-100 м от берега. Параметры активизации совпадают с параметрами проявления.		
34-10-00024	Южный	Волгоградская область	Котельниковский район, х. Веселый	47,840 83	42,985 86	01.04.2 4	не завершилась	Об	Атм., Гидрол.	Отмечалось	Отмечалась активизация обвального процесса на проятжении 1630 м. Уступ высотой 0 до 12 м, вертикальный, местами с отрицательным уклоном, сложен коричневыми суглинками, в основании – песками (N_2^3). Пляж зачастую отсутствует, иногда достигает 3 м. Бровка уступа извилистая, часто с нависающими краями. Вдоль нее происходит образование трещин закола и обвалы отдельных блоков пород. Ширина обвалов берегового уступа составила 2,54 м. Площадь активизации 9780 м^2, объем 24841 м^3. Основными факторами активизации являются атмосферные осадки и уровень водохранилища. В результате воздействия проявления Деформировано 100 м забора насосной станции.		
34-10-00036	Южный	Волгоградская область	Калачевский район, х. Колпачки	48,600 63	43,589 78	01.04.2 4	не завершилась	Об	Атм., Гидрол.	Не отмечалось	Отмечалась активизация обвального процесса протяженностью 70 м, расположено напротив юго-западной части х. Колпачки. Береговой уступ крутой, высотой 6-9 м, сложен коричневыми песками и суглинками. Пляжная часть шириной 10-15 м заросла деревьями. Наблюдается осыпание берегового уступа. Ширина зоны обвального берега на интервале составила 0.37 м. Активизация на площади 560 м^2, объем 207 м^3. Основными факторами активизации являются атмосферные осадки и уровень водохранилища. Активность опасного ЭГП на момент обследования 28%.		

61-10-0062	Южный	Ростовская область	Неклиновский район, с. Петрушино, 2й-3й переулки	47,185 84	38,872 28	00.04.2 4	00.07.24	Об	Атм., абраз.	Не отмечалось	В пределах берегового уступа Таганрогского залива отмечается активизация обвального процесса. Уступ отвесный, обнаженный, высотой около 7-8 м. Активизация локализована по флангам проявления. В верхней части уступа отмечаются свежие стенки срыва, отделившиеся блоки, готовые к обрушению. В подножии свежие коллювиальные накопления. Параметры активизации: ширина 70 м. длина 5 м, мощность 1 м, площадь активизации 350 м^2. Факторы активизации - атмосферные осадки и абразия берегов. Обрушающиеся породы представлены четвертичными лессовидными суглинками. Проявление находится в стадии развития, активность ЭГП 15%. Базис развития – побережье Таганрогского залива.		
61.10.0009	Южный	Ростовская область	Неклиновский район, с. Петрушино, 6-й переулок 30	47,180 40	38,869 18	00.04.2 4	00.07.24	Об	Атм.	Не отмечалось	Отмечалась активизация обвального процесса в пределах берегового уступа. Уступ отвесный, обнаженный, высотой до 12 м. В верхней части уступа отмечаются свежие стенки срыва. По поверхности уступа трещины закола, отделившиеся блоки. В подножии свежие коллювиальные накопления, достигают до ½ от высоты уступа. Ширина активной части 90 м, длина 10м, площадь 900 м^2. Фактор активизации - атмосферные осадки. В обвал вовлечены лессовидные суглинки четвертичного возраста. Проявление находится в стадии развития, активность ЭГП 7%. Базис развития – побережье Таганрогского залива.	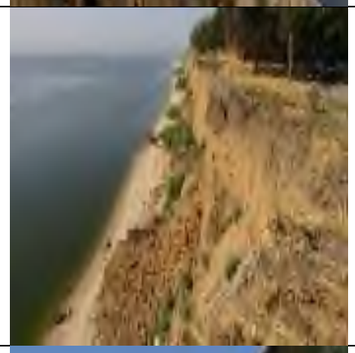	
61-10-0081	Южный	Ростовская область	Неклиновский район, 200 м на юго-запад от пос. Приазовский	47,137 54	38,388 49	00.03.2 4	00.07.24	Об	Атм., шторм.	Не отмечалось	Отмечалась активизация обвального процесса в пределах берегового уступа. В верхней части уступа отмечена отвесная, обнаженная стенка срыва, высотой до 2,5 м, в нижней части свежие коллювиальные накопления, достигающие ½ от высоты уступа. Параметры активного очага ширина 60 м, длина 10 м, площадь 600 м^2. Факторы активизации - атмосферные осадки, штормовые нагонные явления. В обвал вовлечены лессовидные суглинки четвертичного возраста. Проявление находится в стадии развития, активность ЭГП 5%. Базис развития – побережье Таганрогского залива.	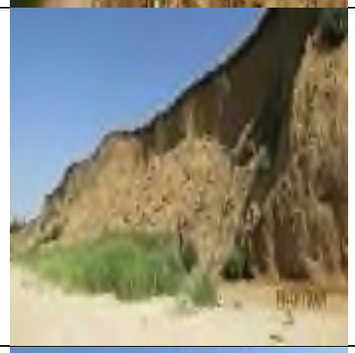	
61-10-0028	Южный	Ростовская область	Неклиновский район, юго-западная окраинах. Рожок, пер. Мира	47,138 88	38,406 8	00.03.2 4	00.07.24	Об	Атм., шторм.	Не отмечалось	Отмечалась активизация обвального процесса на северном побережье Таганрогского залива. Обвал развивается в пределах отвесного, обнаженного берегового уступа. Отмечаются свежие стенки срыва, преимущественно в средней части уступа. В подножии многочисленные вывалы грунта. Параметры активизации: ширина 150 м, длина 5 м, мощность 0,5 м, площадь 750 м^2. Факторы активизации - атмосферные осадки, штормовые нагонные явления. В обвал вовлечены лессовидные суглинки четвертичного возраста. Проявление находится в стадии развития, активность ЭГП 6%. Базис развития – побережье Таганрогского залива.		

61-10-0019	Южный	Ростовская область	Неклиновский район, с. Христофоровка	47,1585	38,71599	00.03.24	00.07.24	Об	Атм.	Не отмечалось	Отмечалась активизация обвального процесса в пределах берегового. Характер уступа отвесный, обнаженный, высота порядка 10 м. В верхней части уступа отмечается свежая стенка срыва высотой до 1,5 м. В подножии уступа свежие коллювиальные накопления достигают ½ от высоты уступа. Параметры активизации: ширина 80 м, длина 10 м, площадь 800 м^2, мощность 0,5 м. Фактор активизации - атмосферные осадки. В обвал вовлечены лессовидные суглинки четвертичного возраста. Проявление находится в стадии развития, активность ЭГП 60%. Базис развития – побережье Таганрогского залива.	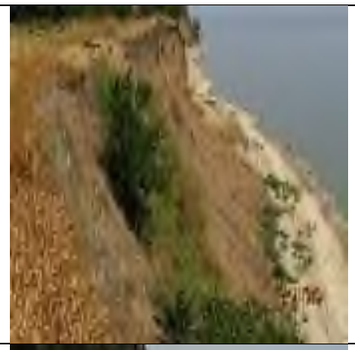	
61-10-0036	Южный	Ростовская область	Неклиновский район, южная окраина с. Весело-Вознесенка, от ул. Садовая до ул. Береговая	47,13786	38,33479	00.03.24	00.07.24	Об	Атм., шторм.	Не отмечалось	На южной окраине с. Весело-Вознесенка отмечается активизация обвального процесса. Активизация характеризуется низкой степенью активности (5%). Обвал развивается в пределах отвесного, обнажённого берегового уступа высотой до 10 м. Направление развития – юго-западное. Базис развития – пляжная зона Таганрогского залива. В обвал вовлечены лессовидные суглинки четвертичного возраста. Выделяется наличие свежих коллювиальных накоплений в подножии склона и отделившиеся блоки грунта, останцы, готовые к обрушению, расположившиеся вдоль поверхности уступа. Параметры активного очага: ширина 75 м, длина 5 м, площадь 375 м^2. Факторы активизации - атмосферные осадки, штормовые нагонные явления.	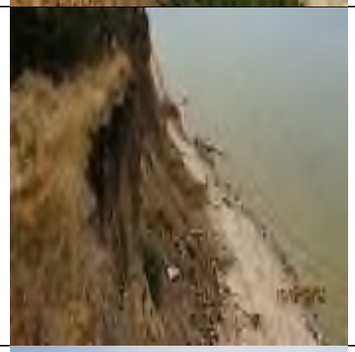	
61-10-0034	Южный	Ростовская область	Неклиновский район, юго-восточная окраина с. Весело-Вознесенка	47,1364	38,34512	00.03.24	00.07.24	Об	Атм., шторм.	Не отмечалось	На юго-восточной окраине с. Весело-Вознесенка отмечается активизация обвального процесса. Характер уступа в пределах проявления отвесный, обнаженный, высотой до 12 м. Отмечаются свежие стенки срыва высотой до 2,5 м, преимущественно в верхней части уступа. В подножии повсеместно распространены многочисленные вывалы грунта, представленные лессовидными суглинками. Параметры активного очага – ширина 150 м, длина 3 м, площадь 450 м^2. Факторы активизации - атмосферные осадки, штормовые нагонные явления. В обвал вовлечены лессовидные суглинки четвертичного возраста. Проявление находится в стадии развития, активность ЭГП 5%. Базис развития – побережье Таганрогского залива.	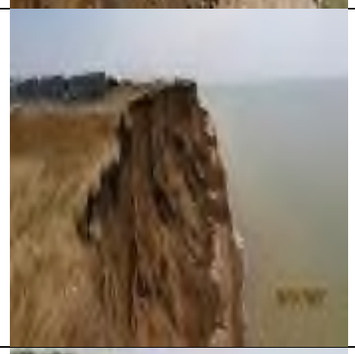	
61-10-0033	Южный	Ростовская область	Неклиновский район, юго-западная окраина пос. Приазовский между улицами Восточная и Милосердия	47,13682	38,35337	00.03.24	00.07.24	Об	Атм., шторм.	Не отмечалось	Отмечалась активизация обвального процесса в пределах берегового уступа северного побережья Таганрогского залива. Уступ в верхней части отвесный, к низу немного выполаживается за счет старых коллювиальных накоплений, полностью обнаженный, высотой до 12 м. В верхней части отмечаются свежие стенки отрыва высотой до 1,5 м. В средней части и в подножии, повсеместно распространены свежие коллювиальные накопления, вывалы грунта, частично перекрывающие пляжную зону. Параметры активного очага – ширина 110 м, длина 3 м, площадь 330 м^2. Факторы активизации – атмосферные осадки, штормовые нагонные явления. В обвал вовлечены лессовидные суглинки четвертичного возраста. Проявление находится в стадии развития, активность ЭГП 5%. Базис развития – побережье Таганрогского залива.	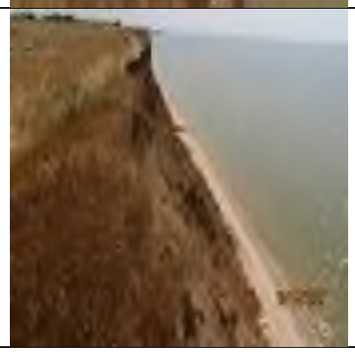	

61-10-0032	Южный	Ростовская область	Неклиновский район, 600 м на юго-восток от с. Весело-Вознесенка	47,1377	38,36049	00.03.24	00.07.24	Об	Атм., шторм.	Не отмечалось	Отмечалась активизация обвального процесса в пределах берегового уступа. Уступ высотой до 12 м, обнаженный, в верхней части отвесный, к низу частично выполаживается за счет старых коллювиальных накоплений. Отмечается свежая стенка срыва высотой до 2 м, по склону присутствуют отделившиеся блоки грунта. В подножии многочисленные вывалы грунта, представленные лессовидными суглинками, четвертичного возраста. Параметры активного очага – ширина 135 м, длина 5 м, площадь 675 м^2. Факторы активизации – атмосферные осадки, штормовые нагонные явления. Проявление находится в стадии развития, активность ЭГП 7%. Базис развития – побережье Таганрогского залива.	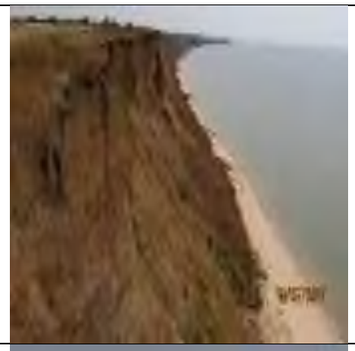	
61-10-0031	Южный	Ростовская область	Неклиновский район, южная окраина пос. Приазовскиймежду улицами Лесная и Молодежная	47,1385	38,36841	00.03.24	00.07.24	Об	Атм., шторм.	Не отмечалось	На южной окраине пос. Приазовский отмечается активизация обвального процесса. Активизация локализована в пределах берегового уступа Таганрогского залива. Среди признаков активизации выделяется наличие свежих вывалов грунта по поверхности и в подножии склона, а также отделившихся блоков грунта, готовых к обрушению, в верхней части склона. Береговой уступ подвержен эрозионному воздействию временных водотоков и абразионному воздействию моря. Обвал развивается в южном направлении, базис развития – пляжная зона Таганрогского залива. Параметры активного очага – ширина 200 м, длина 3 м, площадь 600 м^2. Факторы активизации – атмосферные осадки, штормовые нагонные явления. В обвал вовлечены лессовидные суглинки четвертичного возраста. Проявление находится в стадии развития, активность ЭГП 5%. Базис развития – побережье Таганрогского залива.	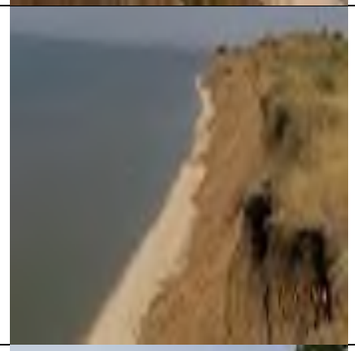	
61-10-0012	Южный	Ростовская область	Неклиновский район, с. Боцманово, ул. Приморская	47,17035	38,76402	00.03.24	00.07.24	Об	Атм., шторм.	Не отмечалось	Отмечалась активизация обвального процесса в пределах берегового уступа. Уступ высотой до 10 м, обнаженный, в верхней части отвесный, к низу выполаживается. Отмечается свежая стенка срыва высотой до 2 м. В верхней части уступа присутствуют отделившиеся блоки, готовые к обрушению. В подножии повсеместно распространены свежие коллювиальные накопления, вывалы грунта, представленные лессовидными суглинками. Параметры активизации: ширина 90 м, длина 5 м, площадь 450 м^2. Факторы активизации – атмосферные осадки, штормовые нагонные явления. В обвал вовлечены лессовидные суглинки четвертичного возраста. Проявление находится в стадии развития, активность ЭГП 20%. Базис развития – побережье Таганрогского залива.		
61-10-0011	Южный	Ростовская область	Неклиновский район, с. Александрова коса, ул. Набережная	47,16913	38,77789	00.03.24	00.07.24	Об	Атм.	Не отмечалось	Отмечалась активизация обвального процесса в пределах берегового уступа. Уступ высотой до 12 м, обнаженный, в верхней части отвесный, к низу немного выполаживается за счет коллювиальных накоплений. В верхней части уступа отмечается свежая стенка срыва высотой до 2 м. В подножии повсеместно распространены свежие коллювиальные накопления. Параметры активного очага: ширина 490 м, длина 3 м. площадь 1470 м^2. Факторы активизации – атмосферные осадки, штормовые нагонные явления. В обвал вовлечены лессовидные суглинки четвертичного возраста. Проявление находится в стадии развития, активность ЭГП 7%. Базис развития – побережье Таганрогского залива.	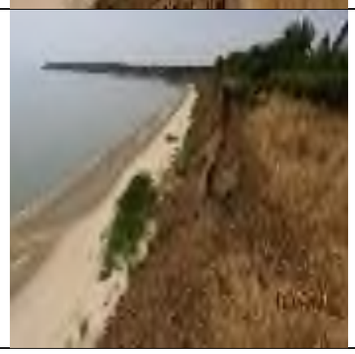	

61-11-0122	Южный	Ростовская область	Усть-Донецкий район, северная окраина хут. Пухляковский	47,516 91	40,577 75	00.03.2 4	00.07.24	Оп	Атм., техн.	Отмечалось	На северной окраине хут. Пухляковский отмечается активизация оползневого процесса. Оползень блокового типа, локализован в низовом откосе автодороги. Отмечается крупная отсевшая оползневая ступень, свежая стенка срыва, высотой до 30 см, множественные трещины с шириной раскрытия до 15 см и значительные оползневые деформации. Выше и ниже по склону оползневые деформации не просматриваются. Факторы активизации – атмосферные осадки, техногенная нагрузка при эксплуатации автодороги. В оползание вовлечены покровные лессовидные суглинки четвертичного возраста. Проявление находится в стадии развития, активность ЭГП 8%. Базис развития – долина р. Дон. В результате активизации была повреждена автодорога на протяжении 70 м Параметры активизации: ширина 80 м, длина 8 м, площадь 640 м^2.		
61-11-0121	Южный	Ростовская область	Усть-Донецкий район, северная окраина ст-цы Раздорская	47,551 86	40,662 25	00.03.2 4	00.07.24	Оп	Атм.	Не отмечалось	Активизация оползневого процесса на северной окраине ст-цы Раздорской. В активизации задействован весь склон, от головной части в приводораздельной зоне, до языковой части в подножии склона. Оползень блоково-консистентного типа, находится в стадии развития. Активность ЭГП на момент обследования 54%. Выделяется 2 оползневых ступени, разного порядка. В головной части отмечается свежая стенка срыва, высотой до 2,5 м, в языковой части отмечаются сместившиеся массы грунта, представленные как отдельными блоками, так и переформированными, консистентными массами. Параметры активизации: длина 100 м, ширина 120 м, площадь 12000 м^2, мощность до 3 м. В оползание вовлечены элювиально-делювиальные суглинки, глины, пески, четвертичного возраста. Базис развития – левый борт долины р. Дон. Фактор активизации – атмосферные осадки. Отмечается парагенетическая связь с процессами эрозии временных водотоков и физико-химическим выветриванием.	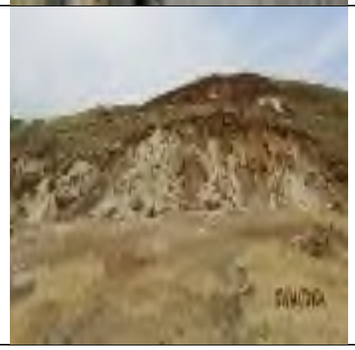	
61-11-0041	Южный	Ростовская область	Цимлянский район, восточная окраина г. Цимлянск	47,642 56	42,113 96	00.03.2 4	00.07.24	Оп	Атм.	Отмечалось	Отмечалась активизация оползневого процесса в пределах берегового уступа Цимлянского водохранилища. Оползень блоково-консистентного типа. В центральной части оползневого массива, отмечается активизация оползневого процесса. Активность ЭГП на момент обследования 12%. В головной части оползня отмечается свежая стенка срыва высотой до 2,5 м. По поверхности уступа сместившиеся оползневые блоки. В языковой части массы переформированного деляпсия перекрыли технологическую дорогу, разрушили защитную габионную стенку и достигли уреза воды. Параметры активизации: длина 30 м, ширина 100 м, мощность 2 м, площадь 3000 м^2. В оползание вовлечены лессовидные суглинки, пески, песчаники, ракушняк неоген-четвертичного возраста. Базис развития – пляжная зона Цимлянского водохранилища. Фактор активизации – атмосферные осадки. В результате активизации была Деформировано защитное сооружение в виде габионовой сетки протяженностью 10 м.		
61-11-0046	Южный	Ростовская область	Цимлянский район, 260 м на юго-восток от пос. Саркел	47,678 01	42,161 96	00.03.2 4	00.07.24	Оп	Атм., гидр.	Не отмечалось	Отмечалась активизация оползневого процесса в пределах берегового уступа Цимлянского водохранилища. Оползень консистентного типа. В языковой части основного оползневого массива отмечается активизация вторичного оползневого процесса, по ранее сошедшему оползневому блоку. Активность ЭГП на момент обследования 6%. Активизация локализована в нижней части уступа. Поверхность склона обнаженная, изрезана бороздами временных водотоков. Оползневые массы перекрывают пляжную зону и достигают уреза воды. Параметры активизации: ширина 120 м, длина 3 м, площадь 360 м^2. В оползание вовлечены лессовидные суглинки, пески неоген-четвертичного возраста. Базис развития – пляжная зона Цимлянского водохранилища. Факторы активизации – атмосферные осадки, гидродинамическое воздействие водохранилища.		

61-11-0047	Южный	Ростовская область	Цимлянский район, 350 м на северо-восток от пос. Саркел	47,679 55	42,164 24	00.03.2 4	00.07.24	Оп	Атм.	Не отмечалось	Отмечалась активизация оползневого процесса в пределах берегового уступа Цимлянского водохранилища. Оползень блокового типа. Активизация локализована преимущественно в центральной части и на левом фланге оползневого проявления. Активность ЭГП на момент обследования 51%. В головной части оползня отмечается свежая стенка срыва высотой до 2 м. в средней части склона присутствуют сместившиеся, запрокинутые оползневые блоки, максимальным размером 1,5х1,5 м. В языковой части отмечаются массы переформированного деляпсия, подверженные размыву. Параметры активизации: длина 40 м, ширина 120 м. площадь 4800 м^2. В оползание вовлечены пески, песчаники, известняки ракушечники Миоценового возраста. Базис развития – пляжная зона Цимлянского водохранилища. Фактор активизации – атмосферные осадки.		
61-11-0051	Южный	Ростовская область	Цимлянский район, юго-восточная окраина ст-цы Хорошевская	47,714 8	42,220 17	00.03.2 4	00.07.24	Оп	Атм.	Не отмечалось	Отмечалась активизация оползневого процесса на юго-восточной окраине ст-цы Хорошевской. Оползень блокового типа, имеет сложное 2х ступенчатое строение. Отмечаются отвесные, обнаженные стенки срыва, верхняя до 1,5 м высотой, нижняя до 2 м. По поверхности склона присутствуют сместившиеся массы грунта, представленные как цельными блоками, так и переформированным делляпсием. Визуально отмечается значительное отступание основной стенки срыва. Активность ЭГП на момент обследования 20%. Параметры активизации: длина 20 м ширина 145 м. площадь 2900 м^2. В оползание вовлечены лессовидные суглинки, пески неоген-четвертичного возраста. Базис развития – пляжная зона Цимлянского водохранилища. Фактор активизации – атмосферные осадки.	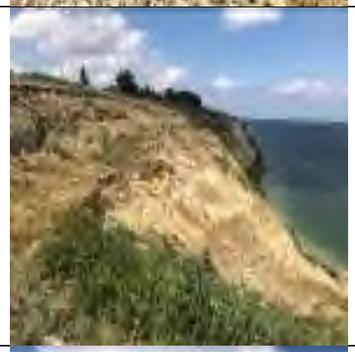	
61-10-0055	Южный	Ростовская область	Цимлянский район, 1,7 км на северо-восток от пос. Саркел	47,689 5	42,175 14	00.03.2 4	00.07.24	Об	Атм.	Не отмечалось	Отмечалась активизация обвального процесса в пределах берегового уступа Цимлянского водохранилища. Уступ отвесный, обнаженный, высотой до 10 м. В подножии, на правом фланге и в центральной части местами отсутствует растительность. Отмечаются свежие вывалы грунта, представленные суглинками. В нижней части уступа свежая стенка отрыва, высотой до 1,5 м. Активность ЭГП на момент обследования 7%. Параметры активизации: ширина 8 м, длина 3 м, площадь 240 м^2. В обвал вовлечены лессовидные суглинки четвертичного возраста. Базис развития – пляжная зона Цимлянского водохранилища. Фактор активизации – атмосферные осадки.		
61-11-0058	Южный	Ростовская область	Цимлянский район, 1,9 км на северо-восток от пос. Саркел	47,690 93	42,178 27	00.03.2 4	00.07.24	Оп	Атм., Гидрол.	Не отмечалось	Отмечалась активизация оползневого процесса в пределах берегового уступа Цимлянского водохранилища. Оползень блоково-консистентного типа. На момент обследования находился в стадии развития, активность ЭГП 14%. В верхней части уступа отмечается свежая стенка срыва высотой до 2,5 м. По поверхности уступа присутствуют массы переформированного деляпсия, изрезанные бороздами временных водотоков. На правом фланге преобладают вторичные процессы оползания по ранее сошедшем оползневым блокам. Параметры активизации: ширина 120 м, длина 20 м, площадь 2400 м^2. В оползание вовлечены лессовидные суглинки четвертичного возраста. Базис развития – пляжная зона Цимлянского водохранилища. Факторы активизации – атмосферные осадки, гидрологические условия.	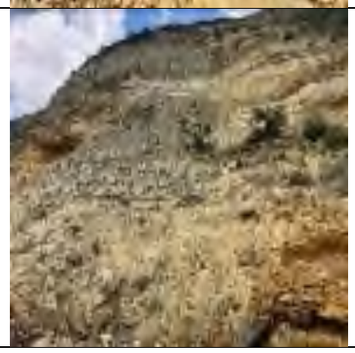	

61-10-0039	Южный	Ростовская область	Дубовский район, 800 м на северо-восток от х. Харсеев	47,6345	42,44121	00.03.24	00.07.24	Об	Атм.	Не отмечалось	В пределах берегового уступа Цимлянского водохранилища отмечалась активизация обвального процесса. ЭГП находится в стадии развития. Уступ отвесный, обнаженный, высотой до 8 м. По поверхности уступа отмечаются трещины закола, отделившиеся блоки готовые к обрушению. В подножии уступа свежие вывалы грунта. Параметры активизации: длина 3 м, ширина 30 м, площадь 90 м^2. В обвал вовлечены красно-бурые скифские глины, пески, лессовидные суглинки неоген-четвертичного возраста. Базис развития – побережье Цимлянского водохранилища. Фактор активизации – атмосферные осадки.		
61-11-0027	Южный	Ростовская область	Дубовский район, 670м на север от ст-цы Жуковская	47,63913	42,4948	00.03.24	00.07.24	Оп	Атм., волн.	Не отмечалось	Отмечалась активизация оползневого процесса развивается в пределах берегового уступа Цимлянского водохранилища. Оползень блоково-консистентного типа, находится в стадии развития. Активность опасного ЭГП на момент обследования 25%. На левом фланге проявления отмечается активизация оползневого процесса. По склону видны отделившиеся оползневые блоки, в языковой части – переформированный деляпсий. В головной части отмечается свежая стенка срыва высотой до 1,5 м. Параметры активизации: длина 15 м, ширина 60 м, площадь 900 м^2. В оползание вовлечены красно-бурые скифские глины верхний плиоцен - нижнечетвертичного возраста. Базис развития – пляжная зона Цимлянского водохранилища. Факторы активизации – атмосферные осадки, волноприбойная деятельность водохранилища.	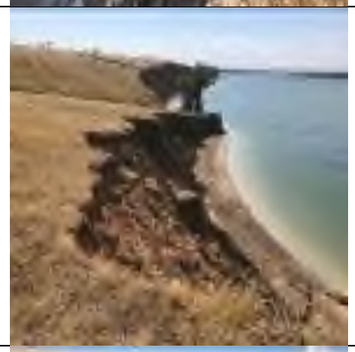	
61-10-0030	Южный	Ростовская область	Дубовский район, 2,2 км на северо-восток от ст-цы Жуковская	47,64168	42,52495	00.03.24	00.07.24	Об	Атм., волн.	Не отмечалось	Отмечалась активизация обвального процесса в пределах берегового уступа Цимлянского водохранилища. На момент обследования проявление находилось в стадии развития, активность ЭГП 15%. Уступ отвесный, полностью обнаженный, высотой до 15 м. В верхней части уступа отмечается свежая стенка срыва, в подножии повсеместно распространены свежие коллювиальные накопления. Вывалы грунта перекрывают пляжную полосу, достигают уреза воды и подвергаются размыву. Параметры активного очага – ширина 220 м, длина 5 м, площадь 1100 м^2. В оползание вовлечены красно-бурые скифские глины верхний плиоцен - нижнечетвертичного возраста. Базис развития – пляжная зона Цимлянского водохранилища. Факторы активизации – атмосферные осадки, волноприбойная деятельность водохранилища.		
61-10-0042	Южный	Ростовская область	Дубовский район, 3 км к северо-востоку от ст-цы Жуковская	47,64171	42,53042	00.03.24	00.07.24	Об	Атм., волн.	Не отмечалось	В пределах берегового уступа Цимлянского водохранилища зафиксирована активизация обвального процесса. Обвал развивается в пределах отвесного, обнаженного уступа, высотой 10-12 м. Активность ЭГП 5%. В подножии уступа повсеместно распространены свежие коллювиальные накопления. По поверхности уступа отмечается наличие трещин закола, отделившихся блоков. Уступ подвержен эрозионному воздействию временных водотоков. Параметры активного очага – ширина 225 м, длина 3 м, площадь 675 м^2. В оползание вовлечены красно-бурые скифские глины верхний плиоцен - нижнечетвертичного возраста. Базис развития – пляжная зона Цимлянского водохранилища. Факторы активизации – атмосферные осадки, волноприбойная деятельность водохранилища.	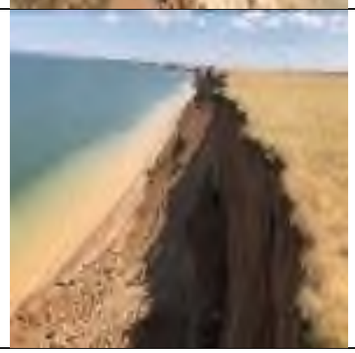	

61-11-0032	Южный	Ростовская область	Дубовский район, 3 км к северо-западу от ст-цы Баклановская	47,642 18	42,541 5	00.03.2 4	00.07.24	Оп	Атм., волн.	Не отмечалось	Отмечалась активизация оползневого процесса в пределах побережья Цимлянского водохранилища. На правом фланге и в центральной части проявления отмечается активизация оползневого процесса. Активность ЭГП на момент обследования 12%. Оползень, блоково-консистентного типа, развивается в пределах отвесного, обнаженного берегового уступа, высота варьируется от 7-8 до 10-12 м. Направление развития – северное. Повсеместно, в подножии уступа отмечается наличие свежего деляпсия представленного частицами различной размерности: от глыб до мелкодисперсных частиц. В прибровочной части развиты трещины закола, глинистые останцы, отделившиеся блоки, готовые к обрушению. Параметры активизации – ширина 225 м, длина 12м, площадь 2700 м^2. В оползание вовлечены красно-бурые скифские глины верхний плиоцен - нижнечетвертичного возраста. Базис развития – пляжная зона Цимлянского водохранилища. Факторы активизации – атмосферные осадки, волноприбойная деятельность водохранилища.		
61-11-0033	Южный	Ростовская область	Дубовский район, 2,6 км к северо-западу от ст-цы Баклановская	47,642 41	42,548 11	00.03.2 4	00.07.24	Оп	Атм., волн.	Не отмечалось	В пределах берегового уступа Цимлянского водохранилища зафиксирована активизация оползневого процесса. Оползень блоково-консистентного типа. Уступ отвесный, обнаженный, высота достигает 8-9 м. До ½ от высоты уступа достигают коллювиальные накопления. Свежие оползневые массы распространены на всем видимом протяжении, вдоль подножья уступа. По поверхности уступа отмечаются трещины закола, а также отделившиеся блоки, готовые к оползанию. Оползень развивается в северном направлении. Деляпсий представлен как отдельными целыми блоками размером до 0,5х0,5 м так и мелкодисперсным переформированным материалом. Активность ЭГП 7%. Параметры активного очага – ширина 75 м, длина 8 м, площадь 600 м^2. В оползание вовлечены красно-бурые скифские глины верхний плиоцен - нижнечетвертичного возраста. Базис развития – пляжная зона Цимлянского водохранилища. Факторы активизации – атмосферные осадки, волноприбойная деятельность водохранилища.	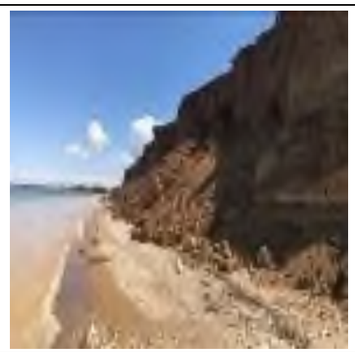	
61-10-0043	Южный	Ростовская область	Дубовский район, 2,1 км на северо-запад от ст-цы Баклановская	47,645 14	42,562 61	00.03.2 4	00.07.24	Об	Атм., волн.	Не отмечалось	В пределах берегового уступа Цимлянского водохранилища зафиксирована активизация обвального процесса. Обвал развивается в пределах отвесного, обнаженного берегового уступа высотой до 10-12 м. Повсеместно, вдоль подножья уступа развиты свежие коллювиальные накопления. Вывалы грунта перекрывают пляжную полосу и достигают уреза воды. По поверхности уступа отмечаются отделившиеся блоки грунта готовые к обрушению. Активность ЭГП 10%. Параметры активного очага – ширина 795 м, длина 6 м, площадь 4770 м^2. В обвал вовлечены красно-бурые скифские глины верхний плиоцен - нижнечетвертичного возраста. Базис развития – пляжная зона Цимлянского водохранилища. Факторы активизации – атмосферные осадки, волноприбойная деятельность водохранилища.	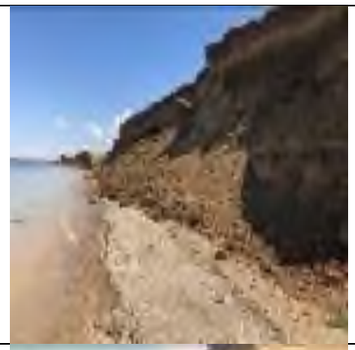	
61-11-0036	Южный	Ростовская область	Дубовский район, 0,7 км к северо-западу от хут. Алдабульский	47,664 71	42,612 13	00.03.2 4	00.07.24	Оп	Атм., волн.	Не отмечалось	В пределах уступа Цимлянского водохранилища отмечается активизация оползневого процесса. Оползень блоково-консистентного типа. Активность ЭГП 9%. Активизация локализована в центральной части проявления. Оползень развивается в пределах отвесного, обнаженного берегового уступа, высотой около 10 м, сложенного песками, красно-бурыми глинами, лессовидными суглинками. В прибровочной части склона отмечается большое количество трещин закола, отделившихся и сместившихся блоков грунта. В языковой части оползня массы свежего деляпсия перекрывают пляжную зону и достигают уреза воды. параметры активного очага ширина 70 м, длина 20 м, площадь 1400 м^2. В оползание вовлечены красно-бурые скифские глины, пески, лессовидные суглинки верхний плиоцен - нижнечетвертичного возраста. Базис развития – пляжная зона Цимлянского водохранилища. Факторы активизации – атмосферные осадки, волноприбойная деятельность водохранилища.		

61-11-0037	Южный	Ростовская область	Дубовский район, 0,6 км к северо-западу от хут. Алдабульский	47,67032	42,62014	00.03.24	00.07.24	Оп	Атм., волн.	Не отмечалось	В пределах берегового уступа Цимлянского водохранилища зафиксирована активизация оползневого процесса. Оползень блоково-консистентного типа. Активность ЭГП на момент обследования 7%. В головной части оползня отмечаются свежая стенка срыва до 1,5 м высотой, в теле оползня сместившиеся оползневые блоки, в языковой части переформированный деляпсий перекрывает пляжную зону. Параметры активного очага ширина 120 м, длина 10 м, площадь 1200 м^2. В оползание вовлечены красно-бурые скифские глины, пески, лессовидные суглинки верхний плиоцен - нижнечетвертичного возраста. Базис развития – пляжная зона Цимлянского водохранилища. Факторы активизации – атмосферные осадки, волноприбойная деятельность водохранилища.	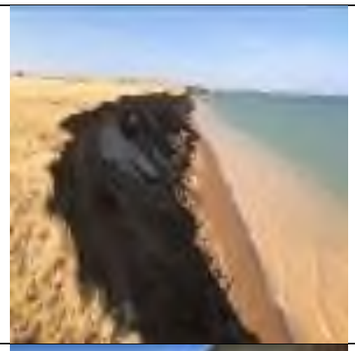	
61-10-0045	Южный	Ростовская область	Дубовский район, 1500 м на северо-восток от хут. Алдабульский	47,69533	42,63598	00.03.24	00.07.24	Об	Атм., абраз.	Не отмечалось	В пределах берегового уступа Цимлянского водохранилища зафиксирована активизация обвального процесса. Обвал характеризуется низкой степенью активности (5%). Повсеместно, в подножии уступа отмечаются свежие вывалы грунта, коллювиальные накопления. В верхней части уступа отмечаются свежие, отвесные стенки срыва, высотой до 2 м. По поверхности уступа отмечаются многочисленные трещины закола, отделившиеся блоки, готовые к обрушению. Параметры активного очага ширина 830м, длина 3 м, площадь 2490м^2. В обвал вовлечены красно-бурые скифские глины, пески, лессовидные суглинки верхний плиоцен - нижнечетвертичного возраста. Базис развития – пляжная зона Цимлянского водохранилища. Факторы активизации – атмосферные осадки, волноприбойная деятельность водохранилища.	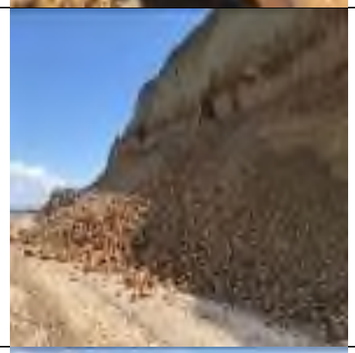	
61-10-0063	Южный	Ростовская область	Дубовский район, 1 км на запад от с. Малая Лучка	47,73491	42,65838	00.03.24	00.07.24	Об	Атм., волн.	Не отмечалось	Отмечалась активизация обвального процесса в пределах берегового уступа Цимлянского водохранилища. На правом фланге проявления отмечается очаг активизации обвального процесса. Активность ЭГП на момент обследования 9%. Отмечается свежая стенка срыва высотой до 2,5 м. По поверхности уступа отмечаются отделившиеся блоки готовые к обрушению. В подножии уступа значительные свежие коллювиальные накопления перекрывают пляжную зону. Визуально, отступание стенки срыва за год составило 3-4 м. Параметры активного очага ширина 80 м, длина 20 м, площадь 1600 м^2. В обвал вовлечены красно-бурые скифские глины, пески, лессовидные суглинки верхний плиоцен - нижнечетвертичного возраста. Базис развития – пляжевая зона Цимлянского водохранилища. Факторы активизации – атмосферные осадки, волноприбойная деятельность водохранилища.		
61-10-0068	Южный	Ростовская область	Сальский район, в 7,4 км на северо-запад от г. Пролетарск	46,7132	41,59228	00.03.24	00.07.24	Об	Атм., волн.	Не отмечалось	Отмечалась активизация обвального процесса в пределах левого борта Веселовского водохранилища. По флангам проявления отмечается активизация обвального процесса. Активность ЭГП 8%. В подножии уступа свежие вывалы грунта, представленные цельными блоками. Общая ширина активизации 30 м, при длине 1,5 м. Площадь активизации 45 м^2. В обвал вовлечены глины, суглинки, супеси. Базис развития – Веселовское водохранилище. Факторы активизации – атмосферные осадки, волноприбойная деятельность водохранилища.		

91-11-05201	Южный	Республика Крым	г.о. Алушта, п. Семидворье	44,69443	34,43535	00.00.24	не завершилась	Оп	Атм.	Отмечалось	Отмечалась активизация оползневого процесса в г.о. Алушта, п. Семидворье. Оползень циркообразной формы в плане. В нижней части оползня, в районе клифа оплывины и блоковые оседания грунта. На поверхности эрозионные промоины. В нижней части оползня, в районе клифа оплывины и блоковые оседания грунта. В результате отвалов насыпных грунтов (визуально до 8 м) и не закрепленных подрезок склона, в средней части сформировалась активная оползневая зона: длина – 125 м; ширина – 110 м; площадь – 13,7 тыс. м^2). Основные факторы активизации – атмосферные осадки. Разрушение грунтовой дороги, осыпание грунта в основании подпорных стен жилых домов на протяжении 125,0 м.		
91-11-05501	Южный	Республика Крым	г.о. Алушта, п. Солнечно-горское	44,75285	34,5499	00.00.24	не завершилась	Оп	Атм.	Отмечалось	Отмечалась активизация оползневого процесса в г.о. Алушта, п. Солнечно-горское. Блоковый абразионный оползень циркообразной формы в плане. Границы оползня хорошо просматриваются в рельефе. Поверхность ступенчатая. Высота клифа 3 – 25 м. Ширина пляжа 2 – 20 м. В нижней части оползня, в районе клифа, оплывины и блоковые оседания грунта. Активная зона: длина 40 м; ширина 165 м; площадь 6,6 тыс. м^2. Основные факторы активизации – атмосферные осадки. Деформация асфальтового покрытия автомобильной дороге 35 ОП РЗ 35К-005 «Алушта – Судак – Феодосия» на протяжении 165,0 м. Активность оползневого процесса – 7 %.		
91-11-05506	Южный	Республика Крым	г.о. Алушта, с. Рыбачье	44,76263	34,58638	00.00.24	не завершилась	Оп	Атм.	Отмечалось	Отмечалась активизация оползневого процесса в г.о. Алушта, с. Рыбачье. В верхней части и по бортам склона на асфальтовом покрытии а/д 35 ОП РЗ 35К-005 «Алушта – Судак – Феодосия» (км 27 – 28) деформации и трещины шириной 5 – 10 мм на протяжении 110,0 м. Активная зона длиной 20,0 м и шириной 110,0 м, площадь – 2,2 тыс. м^2. Основные факторы активизации – атмосферные осадки. Активность оползневого процесса 7 %.	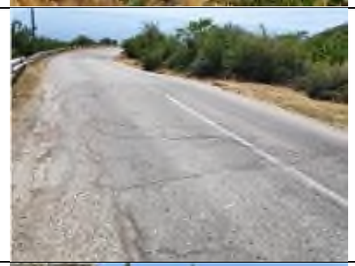	
91-11-05601	Южный	Республика Крым	г.о. Алушта, с. Приветное	44,79631	34,67896	00.00.24	не завершилась	Оп	Атм.	Не отмечалось	Отмечалась активизация оползневого процесса в г.о. Алушта, с. Приветное. Оползень блоковый, в нижней части оползня в районе клифа активная зона: оплывины и блоковые оседания. Активная зона длиной 55,0 м и шириной 420,0 м, площадь – 23,1 тыс. м^2. Обрушение части клифа на необорудованный пляж, наличие оплывин и блоковых оседаний в теле оползня в районе курортно-рекреационных комплексов «Афалина» и «Катран». Основные факторы активизации – атмосферные осадки. Трещины и деформации грунтового проезда на протяжении 260,0 м. Активность оползневого процесса составила 5 %.		
91-11-05701	Южный	Республика Крым	г.о. Алушта, с. Приветное	44,80579	34,70155	00.00.24	не завершилась	Оп	Атм., абр	Не отмечалось	Отмечалась активизация оползневого процесса в г.о. Алушта, с. Приветное. Абразионный оползень глетчеровидной формы в плане. Границы хорошо просматриваются в рельефе, признаки активизации на большей части оползня не просматриваются. На поверхности эрозионные промоины. В нижней части оползня, в районе клифа активная зона: оплывины и блоковые оседания. Активная зона длиной 20,0 м и шириной 325,0 м, площадь – 6,5 тыс. м^2. Основные факторы активизации – атмосферные осадки и абразия.		
91-11-05702	Южный	Республика Крым	г.о. Алушта, с. Приветное	44,80958	34,70914	00.00.24	не завершилась	Оп	Атм., абр	Не отмечалось	Отмечалась активизация оползневого процесса в г.о. Алушта, с. Приветное. Блоковый абразионный оползень сложной формы в плане, с очагами более высокого порядка. Границы хорошо просматриваются в рельефе, признаки активизации на большей части оползня не просматриваются. На поверхности эрозионные промоины, бессточные западины с густой растительностью. В нижней части оползня, в районе клифа активная зона: оплывины и блоковые оседания. Активная зона длиной 22,0 м и шириной 205,0 м, площадь –- 4,5 тыс. м^2. Основные факторы активизации – атмосферные осадки и абразия.		

91-11-06201	Южный	Республика Крым	г.о. Феодосия, пгт. Орджоникидзе	44,96844	35,34417	00.00.24	не завершилась	Оп	Атм.	Не отмечалось	Отмечалась активизация оползневого процесса в г.о. Феодосия, пгт. Орджоникидзе. Оползень сдвига, абразионный, глетчеровидной формы в плане. В верхней части оползень стабилен, задернован. Активная зона (длина 250,0 м и ширина 14,0 м, площадь – 3,5 тыс. м^2) наблюдается в базисной части: фиксируются свежие крупные обвалы скального и оползания глинистого грунта на территорию необорудованного пляжа. Основные факторы активизации – атмосферные осадки.		
91-11-06202	Южный	Республика Крым	г.о. Феодосия, пгт. Орджоникидзе	44,96812	35,3418	00.00.24	не завершилась	Оп	Атм.	Не отмечалось	Отмечалась активизация оползневого процесса в г.о. Феодосия, пгт. Орджоникидзе. Оползень сдвига, абразионный, глетчеровидной формы в плане. В верхней и средней части оползень стабилен, задернован. Активная зона (длина 9,0 м и ширина 156,0 м, площадь – 1,4 тыс. м^2) наблюдается в базисной части, фиксируются свежие обвалы глинистого и глыбового грунта на территорию необорудованного пляжа, относящегося к землям особо охраняемых территорий и объектов. Основные факторы активизации – атмосферные осадки.		
91-11-06402	Южный	Республика Крым	г.о. Феодосия, побережье мыса Святого Ильи	45,01161	35,42014	00.00.24	не завершилась	Оп	Атм., абр	Не отмечалось	Отмечалась активизация оползневого процесса в г.о. Феодосия, побережье мыса Святого Ильи. Оползень сдвига. Генезис: абразионный. Фронтальной формы в плане. В верхней восточной части эродированная земляная насыпь от выравнивания смотровой и строительной площадок. В абразионном клифе активная абразия с выработкой волноприбойных ниш, размывом оползневых отложений. На поверхности стенки срыва и абразионного клифа эрозионные промоины. Основные факторы активизации – атмосферные осадки и абразия.		
91-11-06403	Южный	Республика Крым	г.о. Феодосия, побережье мыса Святого Ильи	45,01245	35,42417	00.00.24	не завершилась	Оп	Атм., абр	Не отмечалось	Отмечалась активизация оползневого процесса в г.о. Феодосия, побережье мыса Святого Ильи. Оползень техногенно-абразионный, циркообразной формы в плане. При обследовании выделен активный очаг в западной части, связанный с оползанием бортов эрозионной ложбины в грунтовом проезде. Наблюдается обводнение оползневой террасы. Ширина оползня четко определяется по измененному контуру береговой линии. Основные факторы активизации – атмосферные осадки и абразия. Активность составила 7 %.		
91-11-01803	Южный	Республика Крым	г.о. Ялта, с. Оползневое	44,40893	33,93399	00.00.24	не завершилась	Оп	Атм.	Отмечалось	Отмечалась активизация оползневого процесса в г.о. Ялта, с. Оползневое. Оползень-поток глетчеровидной формы в плане. Признаки активизации - свежие обрушениея низового склона Севастопольского шоссе, приуроченные к правому борту оползневого очага: обрушение бровки дороги. Площадь - 540,0 м^2. Длина обрушенного участка 30,0 м, ширина 20,0 м. Основные факторы активизации – атмосферные осадки. Активность составила 5 %.	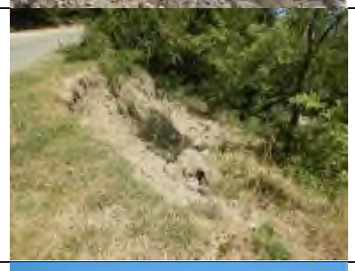	
91-11-01806	Южный	Республика Крым	г.о. Ялта, с. Оползневое	44,40893	33,93431	00.00.24	не завершилась	Оп	Атм.	Не отмечалось	Отмечалась активизация оползневого процесса в г.о. Ялта, с. Оползневое. Оползень-поток, глетчеровидной формы в плане. Признаки активизации - оплывина со стороны верховой подпорной стены Южнобережного шоссе, приуроченной к языковой части оползневого очага. Площадь - 250 м^2. Длина обрушенного участка 20,0 м, ширина 13,0 м. Основные факторы активизации – атмосферные осадки. Активность составила 5 %.		

91-11-01807	Южный	Республика Крым	г.о. Ялта, с. Оползневое	44,402 16	33,933 86	00.00.24	не завершилась	Оп	Атм.	Отмечалось	Отмечалась активизация оползневого процесса в г.о. Ялта, с. Оползневое. Оползень-поток глетчеровидной формы в плане. Признаки активизации - деформации асфальтового покрытия Южнобережного шоссе. Площадь - 300,0 м^2. Длина обрушенного участка 20,0 м, ширина 15,0 м. Основные факторы активизации – атмосферные осадки.		
91-11-01901	Южный	Республика Крым	г.о. Ялта, с. Оползневое	44,754 18	34,398 10	00.00.24	не завершилась	Оп	Атм.	Отмечалось	Отмечалась активизация оползневого процесса в г.о. Ялта, с. Оползневое. Оползень-поток, глетчеровидной формы в плане. Признаки активизации - деформации асфальтового покрытия Севастопольского шоссе. Площадь активной части составляет 4550 м^2. Длина составляет 70,0 м, ширина 65,0 м. Основные факторы активизации – атмосферные осадки.		
91-11-02304	Южный	Республика Крым	г.о. Ялта, пгт. Голубой залив	44,408 53	33,975 11	00.00.24	не завершилась	Оп	Атм.	Отмечалось	Отмечалась активизация оползневого процесса в г.о. Ялта, пгт. Голубой залив. Оползень-поток глетчеровидной формы в плане. Признаки активизации - деформации асфальта в районе правого борта. Площадь - 755,0 м^2, протяженность – 50,0 м, ширина – 15,0 м. Основные факторы активизации – атмосферные осадки.		
91-11-02306	Южный	Республика Крым	г.о. Ялта, пгт. Голубой залив	44,401 87	33,981 16	00.00.24	не завершилась	Оп	Атм.	Отмечалось	Отмечалась активизация оползневого процесса в г.о. Ялта, пгт. Голубой залив. Оползень-поток циркообразной формы в плане. Признаки активизации - деформации асфальта дорожного покрытия по ул. Советская в районе правого борта. Площадь - 2100,0 м^2, протяженность – 80,0 м, ширина – 26,0 м. Основные факторы активизации – атмосферные осадки.		
91-11-02307	Южный	Республика Крым	г.о. Ялта, пгт. Голубой залив	44,397 89	33,980 13	00.00.24	не завершилась	Оп	Атм.	Отмечалось	Отмечалась активизация оползневого процесса в г.о. Ялта, пгт. Голубой залив. Оползень-поток циркообразной формы в плане. Признаки активизации - еформации асфальта дорожного покрытия по ул. Академика Шулейкина в районе правого борта. Площадь - 735,0 м^2, протяженность – 70,0 м, ширина – 10,5 м. Основные факторы активизации – атмосферные осадки.		
91-11-03401	Южный	Республика Крым	г.о. Ялта, пгт. Ореанда	44,451 22	34,133 65	00.00.24	не завершилась	Оп	Атм.	Отмечалось	Отмечалась активизация оползневого процесса в г.о. Ялта, пгт. Ореанда. Оползневая система, сложная, глетчеровидной формы в плане, расширяющаяся в верхней части и сужающаяся в нижней. Площадь, активизации в головной части - 3443 м^2, деформации асфальтового покрытия Севастопольского шоссе протяженностью 10.0 м, ширина раскрытия менее 1 см. Площадь активизации в районе левого борта, 3985 м^2, деформации подпорной стены и дорожного полотна Алупкинского шоссе протяженностью 20,0 м. Деформации асфальтового покрытия (длина по 4,0 м, величина раскрытия 2,0 см) и низовой стены (на протяжении 50,0 см, величина раскрытия 1,0 см). Основные факторы активизации – атмосферные осадки.		

91-11-03402	Южный	Республика Крым	г.о. Ялта, пгт. Ореанда	44,44979	34,13397	00.00.24	не завершилась	Оп	Атм.	Отмечалось	Отмечалась активизация оползневого процесса в г.о. Ялта, пгт. Ореанда. Оползень глетчеровидной формы в плане. Активизации оползневого процесса наблюдаются в районе Алупкинского шоссе. Площадь активизации, в головной части – 970 м^2, отмечались деформации асфальтового покрытия Севастопольского шоссе без раскрытия протяженностью 20,0 м. Основные факторы активизации – атмосферные осадки.	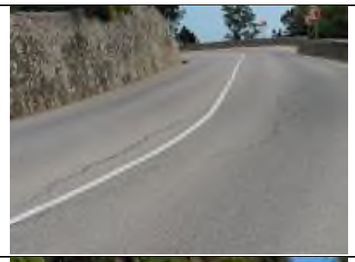	
91-11-03501	Южный	Республика Крым	г.о. Ялта, пгт. Ливадия	44,46383	34,14342	00.00.24	не завершилась	Оп	Атм.	Отмечалось	Отмечалась активизация оползневого процесса в г.о. Ялта, пгт. Ливадия. Оползневая система, сложная, расширяющаяся в нижней части. Отмечаются деформации и увеличение раскрытия ранее наблюдавшихся трещин на асфальтовом покрытии автодороги (протяженностью 170 м) головной части оползня. Площадь активизации в головной части – 5300 м^2. Основные факторы активизации – атмосферные осадки.	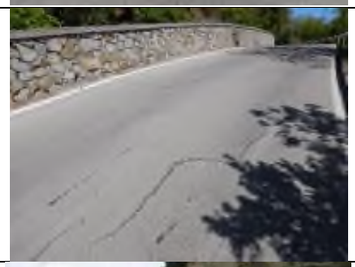	
05-10-00054	Северо-Кавказский	Республика Дагестан	Высокогорный Дагестан Ахвахский район автодорога «Карата - Лологонитль» км 14, в 846м СВ от с.Лологонитль	42,51703	46,33360	17.07.24	17.07.24.	Об	Атм.	Отмечалось	В Ахвахском районе на автодороге «Карата - Лологонитль» км 14, в 846 м СВ от с. Лологонитль отмечалась активизация обвального процесса. Обвал произошел в юрских отложениях. Отложения представлены доломитами, песчаниками, глинами и известняками. Признаки активизации: перекрытие дороги каменным материалом. Параметры активной части: длина – 10 м, ширина – 16 м, высота – 1,3м, площадь – 160 м^2, объем – 208 м^3. Основные факторы активизации: 1) гидрометеорологический (обильные атмосферные осадки). В результате активизации обвального процесса деформировано 16 м автодороги без твердого покрытия.		
05-10-00055	Северо-Кавказский	Республика Дагестан	Высокогорный Дагестан Цунтинский район автодорога «Агвали-Шаури-Кидеро» км 31, в 4,1км СВ от с.Сагада	42,39900	45,92348	21.07.24	21.07.24	Об	Атм.	Отмечалось	В Цунтинском районе на автодороге «Агвали-Шаури-Кидеро» км 31, в 4,1 км СВ от с. Сагада отмечалась активизация обвального процесса. Обвал произошел в юрских отложениях. Отложения представлены филлитами и песчаниками. Признаки активизации: перекрытие дороги каменным материалом. Параметры активной части: длина – 5 м, ширина – 8 м, высота – 0,7 м, площадь – 40 м^2, объем – 28 м^3. Основные факторы активизации: 1) гидрометеорологический (обильные атмосферные осадки). В результате активизации обвального процесса деформировано 8м автодороги без твердого покрытия.		
05-10-00056	Северо-Кавказский	Республика Дагестан	Высокогорный Дагестан Цумадинский район автодорога «Агвали-Шаури-Кидеро» км 30, в 5.2км СВ от с.Сагада	42,40180	45,93462	21.07.24	21.07.24	Об	Атм.	Отмечалось	В Цумадинском районе на автодороге «Агвали-Шаури-Кидеро» км 30, в 5.2 км СВ от с.Сагада отмечалась активизация обвального процесса. Обвал произошел в юрских отложениях. Отложения представлены филлитами и песчаниками. Признаки активизации: перекрытие дороги каменным материалом. Параметры активной части: длина – 8 м, ширина – 18 м, высота – 1 м, площадь – 144 м^2, объем – 144м^3. Основные факторы активизации: 1) гидрометеорологический (обильные атмосферные осадки). В результате активизации обвального процесса деформировано 18 м автодороги без твердого покрытия.		
05-10-00057	Северо-Кавказский	Республика Дагестан	Высокогорный Дагестан Цумадинский район автодорога «Агвали-Шаури-Кидеро» км 27, в 3,2км З от с.Хвайни	42,41167	45,95435	21.07.24	21.07.24	Об	Атм.	Отмечалось	В Цумадинском районе на автодороге «Агвали-Шаури-Кидеро» км 27, в 3,2 м З от с.Хвайни отмечалась активизация обвального процесса. Обвал произошел в юрских отложениях. Отложения представлены филлитами и песчаниками. Признаки активизации: перекрытие дороги каменным материалом. Параметры активной части: длина – 10 м, ширина – 14 м, высота – 0,8 м, площадь – 140^2 м, объем – 112^3 м. Основные факторы активизации: 1) гидрометеорологический (обильные атмосферные осадки). В результате активизации обвального процесса деформировано 14м автодороги без твердого покрытия.		

05-10-00058	Северо-Кавказский	Республика Дагестан	Высокогорный Дагестан Цумадинский район автодорога «Агвали-Шаури-Кидеро» км 25, в 4.1 км С от с.Хвайни	42,41967	45,96718	21.07.24	21.07.24	Об	Атм.	Отмечалось	В Цумадинском районе на автодороге «Агвали-Шаури-Кидеро» км 25, в 4.1 км С от с.Хвайни отмечалась активизация обвального процесса. Обвал произошел в юрских отложениях. Отложения представлены филлитами и песчаниками. Признаки активизации: перекрытие дороги каменным материалом. Параметры активной части: длина – 5 м, ширина – 20 м, высота – 0,5 м, площадь – 100 м^2, объем – 50 м^3. Основные факторы активизации: 1) гидрометеорологический (обильные атмосферные осадки). В результате активизации обвального процесса деформировано 20 м автодороги без твердого покрытия.		
05-11-00028	Северо-Кавказский	Республика Дагестан	Среднегорный Дагестан Ботлихский район автодорога «Грозный – Ботлих - Хунах» км 123+100, в 6,8км СВ от с.Ботлих	42,69392	46,25054	22.07.24	22.07.24	Оп	Атм.	Отмечалось	В Ботлихском районе на автодороге «Грозный – Ботлих - Хунах» км 123+100, в 6,8 км СВ от с.Ботлих отмечалась активизация оползневого процесса. Оползень произошел в юрских отложениях. Отложения представлены доломитами, песчаниками, глинами и известняками. Признаки активизации: перекрытие дороги каменным материалом. Параметры активной части: длина – 6 м, ширина – 80 м, высота – 1 м, площадь – 480 м^2, объем – 480 м^3. Основные факторы активизации: 1) гидрометеорологический (обильные атмосферные осадки). В результате активизации оползневого процесса деформировано 80 м автодороги без твердого покрытия.		
05-10-00059	Северо-Кавказский	Республика Дагестан	Среднегорный Дагестан Унцукульский район автодорога «Буйнакск - Ботлих» км 43 + 500, в 6,7км СВ от с.Ашильта	42,78391	46,79088	23.07.24	23.07.24.	Об	Атм.	Отмечалось	В Унцукульском районе на автодороге «Буйнакск - Ботлих» км 43 + 500, в 6,7 км СВ от с.Ашильта отмечалась активизация обвального процесса. Обвал произошел в юрских отложениях. Отложения представлены песчаниками и глинистыми сланцами. Признаки активизации: перекрытие дороги каменным материалом. Параметры активной части: длина – 15 м, ширина – 28 м, высота – 1 м, площадь – 420 м^2, объем – 420 м^3. Основные факторы активизации: 1) гидрометеорологический (обильные атмосферные осадки). В результате активизации обвального процесса деформировано 28 м автодороги без твердого покрытия.		
05-11-00029	Северо-Кавказский	Республика Дагестан	Среднегорный Дагестан Гунибский район автодорога «Гуниб-Ругуджа» км 4,4, в 3,9км СВ от с.Ругуджа	42,36751	46,933	02.08.24	02.08.24	Оп	Атм.	Отмечалось	В Гунибском районе на автодороге «Гуниб-Ругуджа» км 4,4, в 3,9 км СВ от с.Ругуджа отмечалась активизация оползневого процесса. Оползень произошел в юрских отложениях. Отложения представлены песчаниками и глинистыми сланцами. Признаки активизации: перекрытие дороги каменным материалом. Параметры активной части: длина – 10 м, ширина – 9 м, высота – 1,5 м, площадь – 945 м^2, объем – 1417,5 м^3. Основные факторы активизации: 1) гидрометеорологический (обильные атмосферные осадки). В результате активизации оползневого процесса деформировано 105 м автодороги без твердого покрытия.		
05-10-00060	Северо-Кавказский	Республика Дагестан	Среднегорный Дагестан Гунибский район автодорога «Гуниб-Кумух» км 22 в 2,9км ЮВ от с.Согратль	42,26815	47,00092	02.08.24	02.08.24	Об	Атм.	Отмечалось	В Гунибском районе на автодороге «Гуниб-Кумух» км 22 в 2,9 км ЮВ от с.Согратль отмечалась активизация обвального процесса. Обвал произошел в юрских отложениях. Отложения представлены песчаниками и глинистыми сланцами. Признаки активизации: перекрытие дороги каменным материалом. Параметры активной части: длина – 8 м, ширина – 20 м, высота – 0,5 м, площадь – 160 м^2, объем – 80 м^3. Основные факторы активизации: 1) гидрометеорологический (обильные атмосферные осадки). В результате активизации обвального процесса деформировано 20 м автодороги без твердого покрытия.		

05-11-00030	Северо-Кавказский	Республика Дагестан	Среднегорный Дагестан Гунибский район автодорога «Гуниб-Кумух» км 33 в 611м СВ от с.Муукар	42,21073	47,02448	02.08.24	02.08.24	Оп	Атм.	Отмечалось	В Гунибском районе на автодороге «Гуниб-Кумух» км 33 в 611 м СВ от с.Муукар отмечалась активизация оползневого процесса. Оползень произошел в юрских отложениях. Отложения представлены песчаниками и глинистыми сланцами. Признаки активизации: перекрытие дороги каменным материалом. Параметры активной части: длина – 12 м, ширина – 4 м, высота – 0,5 м, площадь – 48 м^2, объем – 24 м^3. Основные факторы активизации: 1) гидрометеорологический (обильные атмосферные осадки). В результате активизации оползневого процесса деформировано 12 м автодороги без твердого покрытия.		
05-10-00061	Северо-Кавказский	Республика Дагестан	Высокогорный Дагестан Ахтынский район автодорога «Куркал-Хнов», 21 км, в 7,1 км ЮВ с. Хнов	41,36056	47,51398	09.08.24	09.08.24	Об	Атм.	Отмечалось	В Ахтынском районе на автодороге «Куркал-Хнов», 21 км, 7,1 км ЮВ с. Хнов отмечалась активизация обвального процесса. Обвал произошел в юрских отложениях. Отложения представлены песчаниками и глинистыми сланцами. Признаки активизации: перекрытие дороги каменным материалом. Параметры активной части: длина – 6 м, ширина – 15 м, высота - 1,3 м, площадь – 90 м^2, объем – 117 м^3. Основные факторы активизации: 1) гидрометеорологический (обильные атмосферные осадки). В результате активизации обвального процесса деформировано 15 м автодороги без твердого покрытия.		
05-10-00062	Северо-Кавказский	Республика Дагестан	Высокогорный Дагестан Ахтынский район автодорога «Куркал-Хнов», 11 км, в 3,2 км ЮЗ с.Смугул	41,36711	47,60612	09.08.24	09.08.24	Об	Атм.	Отмечалось	В Ахтынском районе на автодороге «Куркал-Хнов», 11 км, 3,2 км ЮЗ с.Смугул произошел обвальный процесс. Обвал произошел в юрских отложениях. Отложения представлены песчаниками и глинистыми сланцами. Признаки активизации: перекрытие дороги каменным материалом. Параметры активной части: длина - 6м, ширина – 12 м, высота – 0,7 м, площадь – 72 м^2, объем – 50,4 м^3. Основные факторы активизации: 1) гидрометеорологический (обильные атмосферные осадки). В результате активизации обвального процесса деформировано 12 м автодороги без твердого покрытия.		
05-10-00063	Северо-Кавказский	Республика Дагестан	Высокогорный Дагестан Ахтынский район автодорога «Куркал-Хнов», 10 км, в 2,2 км ЮЗ с.Смугул	41,37275	47,61373	09.08.24	09.08.24	Об	Атм.	Отмечалось	В Ахтынском районе на автодороге «Куркал-Хнов», 10 км, 2,2 км ЮЗ с.Смугул отмечалась активизация обвального процесса. Обвал произошел в юрских отложениях. Отложения представлены песчаниками и глинистыми сланцами. Признаки активизации: перекрытие дороги каменным материалом. Параметры активной части: длина – 8 м, ширина – 10 м, высота – 0,5 м, площадь – 80 м^2, объем – 40 м^3. Основные факторы активизации: 1) гидрометеорологический (обильные атмосферные осадки). В результате активизации обвального процесса деформировано 10 м автодороги без твердого покрытия.		
05-10-00064	Северо-Кавказский	Республика Дагестан	Высокогорный Дагестан Рутульский район автодорога «Лучек - Мишлеш», 22 км, в 1,0 км СЗ с. Сюгут	41,64792	47,12280	11.08.24	11.08.24	Об	Атм.	Отмечалось	В Рутульском районе на автодороге «Лучек - Мишлеш», 22 км, 1,0 км СЗ с. Сюгут отмечалась активизация обвального процесса. Обвал произошел в юрских отложениях. Отложения представлены филлитами и плитчатыми песчаниками. Признаки активизации: перекрытие дороги каменным материалом. Параметры активной части: длина – 10 м, ширина – 20 м, высота – 0,7 м, площадь – 200 м^2, объем – 140 м^3. Основные факторы активизации: 1) гидрометеорологический (обильные атмосферные осадки). В результате активизации обвального процесса деформировано 20 м автодороги без твердого покрытия.		

05-10-00065	Северо-Кавказский	Республика Дагестан	Высокогорный Дагестан Рутульский район автодорога «Лучек - Мишлеш», 14 км, в 2.6 км ЮЗ с. Микик	41,63203	47,18450	11.08.24	11.08.24	Об	Атм.	Отмечалось	В Рутульском районе на автодороге «Лучек - Мишлеш», 14 км, 2.6 км ЮЗ с. Микик отмечалась активизация обвального процесса. Обвал произошел в юрских отложениях. Отложения представлены филлитами и плитчатыми песчаниками. Признаки активизации: перекрытие дороги каменным материалом. Параметры активной части: длина – 11 м, ширина – 25 м, высота – 0,6 м, площадь – 275 м^2, объем – 165 м^3. Основные факторы активизации: 1) гидрометеорологический (обильные атмосферные осадки). В результате активизации обвального процесса деформировано 25 м автодороги без твердого покрытия.		
05-10-00066	Северо-Кавказский	Республика Дагестан	Высокогорный Дагестан Рутульский район автодорога «Лучек - Аракул», 16 км, в 3,4 км СЗ с. Ихрек	41,72034	47,19805	11.08.24	11.08.24	Об	Атм.	Отмечалось	В Рутульском районе на автодороге «Лучек - Аракул», 16 км, 3,4 км СЗ с. Ихрек отмечалась активизация обвального процесса. Обвал произошел в четвертичных отложениях. Отложения представлены галечниками и конгломератами. Признаки активизации: перекрытие дороги каменным материалом. Параметры активной части: длина – 10 м, ширина – 30 м, высота – 0,8 м, площадь – 300 м^2, объем – 240 м^3. Основные факторы активизации: 1) гидрометеорологический (обильные атмосферные осадки). В результате активизации обвального процесса деформировано 30 м автодороги без твердого покрытия.		
05.10.00067	Северо-Кавказский	Республика Дагестан	Высокогорный Дагестан Шамильский район автодорога республиканского значения “Гунибское шоссе – Вантляшевский перевал” 69км, в 6,9 км ЮЗ с.Хебда	42,33794	46,45906	12.08.24	12.08.24	Об	Атм.	Отмечалось	В Шамильском районе на автодороге республиканского значения «Гунибское шоссе – Вантляшевский перевал» 69 км, в 6,9 км ЮЗ с.Хебда отмечалась активизация обвального процесса. Обвал произошел в нижнемеловых отложениях. Отложения представлены известняками, глинами, песчаниками и алевролитами. Признаки активизации: перекрытие дороги каменным материалом. Параметры активной части: длина – 4 м, ширина – 50 м, высота – 12 м, площадь – 200 м^2, объем – 2400 м^3. Основные факторы активизации: 1) гидрометеорологический (обильные атмосферные осадки). В результате активизации обвального процесса деформировано 50 м автодороги с твердым покрытием.		
05-11-00025	Северо-Кавказский	Республика Дагестан	Среднегорная область Унцукульский район Ирганайский участок «65» массив в 1,0км севернее пст.Шамилькала	42,69636	46,85181	06.08.2022	Не заверишлась	Оп	Гидрол	Не отмечалось	В Унцукульском районе в 1,0 км севернее пст. Шамилькала отмечалась активизация оползневого процесса. Причиной активизации послужили режим заполнения водохранилища и неотектоника. Оползневой процесс современный, в четвертичных делювиальных глинисто-суглинистых отложениях. В зоне воздействия оползневых процессов находится Ирганайский ГЭС и автодорога. Размеры активного оползня длина 300 м, ширина 200 м, высота стенки отрыва – 5 м, площадь-60000 м^2, объем 300000 м^3. Смещение реперов-0,015 м. Рекомендации: периодическое обследование оползневых участков с целью выявления опасных неустойчивых горных пород.		
05-11-00026	Северо-Кавказский	Республика Дагестан	Среднегорная область Унцукульский район Ирганайский участок «Станционный» массив Расстояние от с.Гимры до подножья массива 1,5км	42,74347	46,83622	06.08.2022	Не заверишлась	Оп	Гидрол	Не отмечалось	В Унцукульском районе в 1,5 от с. Гимры отмечалась активизация оползневого процесса. Причиной активизации послужили режим заполнения водохранилища и неотектоника. Оползневой процесс современный, в четвертичных делювиальных глинисто-суглинистых отложениях. В зоне воздействия оползневых процессов находится Ирганайский ГЭС. Размеры активного оползня длина 300 м, ширина 200 м, высота стенки отрыва – 3 м, площадь- 60000 м^2, объем 180000 м^3. Смещение реперов-0,014 м. Рекомендации: периодическое обследование оползневых участков с целью выявления опасных неустойчивых горных пород.		

05-11-00004	Северо-Кавказский	Республика Дагестан	Предгорный Дагестан Центральное Предгорье Карабудахкентский район, в 2км СВ от с. Агачуал Агачаульский участок детальных наблюдений 813км.	42,94087	47,42977	01.01.2023	На 15.04.24 не завершилась	Оп	Техн.	Не отмечалось	В Карабудахкентском районе, в 2 км СВ от с. Агачуал отмечалась активизация оползневого процесса. Причиной активизации послужили динамические нагрузки от движения транспорта, разработка карьера. Оползневой процесс развивается и произошел в четвертичных отложениях, представленных суглинками, глинами с включениями валунов и песчаников. В зоне риска находится ФАД Кавказ и лощина вдоль дороги. средняя величина смещения масс по реперам-0,018 м. Параметры активной части: длина – 600 м, ширина – 400 м, мощность – 11 м, площадь –240000 м^2, объем – 2640000 м^3.		
06-11-00055	Северо-Кавказский	Республика Ингушетия	Сунженский район, автодорога с.Галашки – с.Мужичи- 2,96 км справа от дороги	43,04472	44,98479	00.07.24	15.08.24	Оп	Атм.	Не отмечалось	В Сунженском районе на автодороге с. Галашки – с. Мужичи- 2,96 км отмечалась активизация оползневого процесса. Признаки активизации: обрушение стенки уступа. Параметры оползня- длина 40 м, ширина – 100 м, площадь 4000 м^2, объем 16000 м^3, мощность 4 м; параметры активной части- длина 12 м, ширина – 40 м, площадь 480 м^2, объем 960 м^3, мощность 2 м. Активность опасного ЭГП на момент обследования 12%. Комплексы и состав горных пород, затронутых проявлением: суглинки, глины Q_{IV}-N. Базис развития опасного ЭГП: пойма реки. Факторы активизации опасного ЭГП: атмосферные осадки.	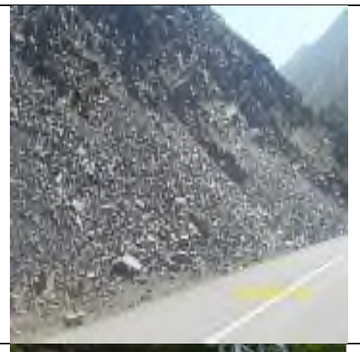	
06-12-00136	Северо-Кавказский	Республика Ингушетия	Сунженский район, автодорога с.Таргим – с.Нижний Алкун-17км	42,87509	44,92875	00.07.24	не завершилась	Ос	Атм.	Не отмечалось	В Сунженском районе на автодороге с. Таргим – с. Нижний Алкун-17 км отмечалась активизация осыпного процесса. Признаки активизации: осыпание стенки уступа, образование конуса осыпи. Параметры осыпи – длина-20 м, ширина-15 м, площадь 300 м^2, объем 300 м^3, мощность 1м. Активность опасного ЭГП на момент обследования 100%. Комплексы и состав горных пород, затронутых проявлением: гравийно-галечник, мергели, известняки К. Базис развития опасного ЭГП: пойма реки. Факторы активизации опасного ЭГП: атмосферные осадки.		
06-12-00138	Северо-Кавказский	Республика Ингушетия	Сунженский район, автодорога с.Таргим – с.Нижний Алкун-14,82км	42,88972	44,93919	00.08.24	не завершилась	Ос	Атм.	Не отмечалось	В Сунженском районе на автодороге с. Таргим – с. Нижний Алкун-14,82 км отмечалась активизация осыпного процесса. Признаки активизации: осыпание стенки уступа, образование конуса осыпи. Параметры осыпи – длина-25 м, ширина-15 м, площадь 375 м2, объем 375 м3, мощность 1 м. Активность опасного ЭГП на момент обследования 100%. Комплексы и состав горных пород, затронутых проявлением: глины с включением гальки и гравия К. Базис развития опасного ЭГП: пойма реки. Факторы активизации опасного ЭГП: атмосферные осадки.		
07.11.00092	Северо-Кавказский	Кабардино-Балкарская Республика	Эльбрусский муниципальный район, верховья р. Чатбаши, в 6 км к СЗ от г. Тырныауз	43,40721	42,84116	00.06.2019	не завершилась	Оп	Атм. Гидрогеол Техн.	Не отмечалось	В верховьях р. Чатбаши (ур. Сурьма) отмечалась активизация оползневого процесса на оползневом массиве (900×400 м), в верхней части подрезаемом грунтовой а/д. Активный уч-к р-ми 370×260 м на нижней части оползня. Подновление тр. отрыва, смещение – до 0,5-1 м верт. и горизонтальное. Площадь акт. уч-ка 70 тыс. м^2. Базисом оползня является дно долины р. Чатбаши. По состоянию на 26.08.2024г. активизация не завершена. В оползневой процесс вовлечены разновозрастные отложения - cdQ$_{IV}$,, C$_3$kr+gr, D$_2$ pl. Состав горных пород, затронутых проявлением: коллювиально-делювиальные отложения (щебень с суглинком и супесью), конгломераты, песчаники, гравелиты, алевролиты и андезитовые порфириты, туфы и туфопесчаники (C$_3$kr+gr), глинисто-алевритовые сланцы, песчаники, обломки порфиритов (D$_2$ pl).		

											Факторы активизации: 1) метеорологический (атмосферные осадки, таяние снега); 2) Гидрогеологический (обводненность склона - выходы ПВ, ручьи); 3) Техногенный (подрезка склона дорогой). Оползень является селевым очагом для селей по р. Чатбаши.		
07.11.00026	Северо-Кавказский	Кабардино-Балкарская Республика	Чегемский муниципальный район, правый борт р. Чегем, в 4,5 км выше с.Хуштосырт	43,39580	43,19279	00.07.2019	не завершилась	Оп	Атм. Гидрол.	Не отмечалось	На пр. борту р. Чегем, в 4,5 км выше с. Хуштосырт, продолжается активизация оползня (100×120м). Акт. уч-к размерами 100×100 м, пл. оползня достигает 10 тыс. м^2. Отступление бровки отрыва с 2023г. около 1 м, верт. амплитуда и горизонт. перемещения до 2 м. Базис - р. Чегем, русло поджало к левому берегу. Высота стенки отрыва от 5 м до 15 м (в центр. части), объем переместившихся масс около 90 тыс. м^3. Выше бровки отрыва отмечаются трещины закола, что позволяет прогнозировать продолжение подвижек. По состоянию на 28.08.2024г. активизация не завершена. В оползневой процесс вовлечены верхнечетвертичные аллювиальные отложения, верхнечетвертичные коллювиально -делювиальные. Состав горных пород, затронутых проявлением: валунно-галечник, глыбово-щебнистые с супесчаным и суглинистым заполнителем (интрузивные, метаморфические и осадочные породы). Факторы активизации: 1) метеорологический (атмосферные осадки); 2) гидрологический (подрезка склона р.Чегем).		
07.11.00027	Северо-Кавказский	Кабардино-Балкарская Республика	Чегемский муниципальный район, левый борт р. Чегем, в ~ 7,6 км ниже с. Эльтюбю	43,33423	43,15206	17.04.2020	не завершилась	Оп	Техн., Атм., Гидрол., Гидрогеол.	Отмечалось	На левом борту р. Чегем, в 7,6 км ниже с. Эльтюбю, продолжается активизация части крупного оползня (150×60м). В левом борту оползня произошла подвижка размерами активной части до 30×10 м, мощность сместившихся масс 2,5 м, объем 750 м^3. Смещения верт. и горизонт. около 1 м, в результате завалена грунтовая а/дорога Лечинкай-Булунгу на прот. 25 м (шириной до 1,5 м вдоль верх. откоса). Дорога расчищена. По состоянию на 30.08.2024г. активизация не завершена. Базис - р. Чегем. В оползневой процесс вовлечены коллювиально-делювиальные верхнечетвертичные отложения. Состав горных пород, затронутых проявлением: глыбово-щебнистые с супесчаным и суглинистым заполнителем (аргиллиты, сланцы). Факторы активизации: 1) техногенный (подрезка склона, дорожные работы, прокладка газопровода среднего давления); 2) метеорологический (атмосферные осадки); 3) Гидрологический (боковая эрозия р. Чегем); 4) Гидрогеологический (обводненность склона, выходы ПВ).		
07.11.00028	Северо-Кавказский	Кабардино-Балкарская Республика	Чегемский муниципальный район, левый борт р. Чегем, в ~ 7,5 км ниже с. Эльтюбю	43,33351	43,15162	00.07.2021	не завершилась	Оп	Техн., Гидрол., Атм., Гидрогеол.	Отмечалось	В левом борту р. Чегем, в 7,5 км ниже с. Эльтюбю напротив устья р. Быкмылгы (пр. приток р. Чегем), отмечена активизация части оп массива (220×150м). Подвижка прибл. в центре нижней части оползня, имеет размеры порядка 10×30 м, мощность 1,5 м, смещение до 0,5 м. Объем переместившихся масс составил 450 м^3. В 2024 г. было частично перекрыто около 30 м обочины грунтовой автодороги Лечинкай-Булунгу. Дорога расчищена. По состоянию на 30.08.2024г. активизация не завершена. Базис – р.Чегем. Склон частично задернован. В оп. процесс вовлечены коллювиально-делювиальные верхнечетвертичные отложения. Состав горных пород, затронутых проявлением: глыбово-щебнистые с супесчаным и суглинистым заполнителем (аргиллиты, сланцы). Факторы активизации: 1) техногенный (подрезка склона, дорожные работы, прокладка газопровода среднего давления); 2) Гидрологический (боковая эрозия р. Чегем); 3) метеорологический (атмосферные осадки); 4) Гидрогеологический (обводненность склона, выходы ПВ).		
07.11.00029	Северо-Кавказский	Кабардино-Балкарская Республика	Чегемский муниципальный район, правый борт р. Кардан, в ~ 1,8 км к востоку от с. Эльтюбю	43,26219	43,17450	00.07.2019	не завершилась	Оп	Атм. Гидрогеол. Техн. Гидрол.	Отмечалось	В правом борту р. Кардан отмечалась активизция оползневого процесса в нижней части крупного оползня (500×220), расположенного в районе развалин Думала. Размеры оползня 2-го порядка 220×80 м, размеры активного участка приблизительно 70×50 м, площадь 3500 м^2, объем ~9 тыс. м^3. Смещение вертикальное и горизонтальное – около 0,5 м. Деформировано 50 м грунтовой автодороги. Базисом оползня является р. Кардан. Склон частично задернован. По состоянию на 07.09.2024г. активизация не завершена. В оползневой процесс вовлечены средне-верхнечетвертичные коллювиально-делювиальные отложения. Состав горных пород, затронутых проявлением: глыбово-щебнистые с супесчаным и суглинистым заполнителем. Факторы активизации: 1) метеорологический (атмосферные осадки); 2) Гидрогеологический (обводненность склона, выходы ПВ); 3) техногенный (подрезка склона); 4) Гидрологический (боковая эрозия р. Кардан).		

07-11-00022	Северо-Кавказский	Кабардино-Балкарская Республика	Черекский муниципальный район, правый борт долины р. Черек Балкарский, в 1,5 км к СВ от с. Верхняя Балкария	43,16101	43,48390	00.08.2017	не завершилась	Оп	Атм. Техн. Гидрогеол. Гидрол.	Отмечалось	Отмечалась активизация оползневого процесса в правом борту р. Черек Балкарский. Параметры проявления - 210×130 м, пл. 27000 м^2, мощн. до 15 м, базис р. Черек Балкарский. Актив. уч-к р-ми 100×80 м, пл. 8 тыс. м^2, подновл. трещины отрыва вдоль обочины а/д А-154, и лев. бок. трещины Оп на ниж. откосе а/д (100 м). В пр. борту Оп смещение (0,3м), подновл. трещин. Объем подвижки 4 тыс. м^3. На нижнем откосе а/д продолжается деформация опор газопровода на участке протяженностью 100 м и а/д А-154 на участке 60 м. По сост. на 12.09.2024г. активизация не завершена. В Оп процесс вовлечены четвертичные и современные Оп отложения. Состав горных пород, затронутых проявлением: суглинки, глины с щебнем и глыбами известняков и песчаников. Факторы активизации: 1. Метеорологический (атм. осадки, снеготаяние); 2. Техногенный (подрезка склона, движение а/транспорта, обводнение склона из-за нарушения естественного стока грунтовых вод); 3. Гидрогеологический (выходы подземных вод – обводненность склона); 4. Гидрологический (ЭБ р. Черек Балкарский).		
07-11-00030	Северо-Кавказский	Кабардино-Балкарская Республика	Эльбрусский муниципальный район, правый борт р. Герхожансу, в 2,6 км выше г. Тырныауз.	43,37184	42,93789	00.07.2016	не завершилась	Оп	Сейсм. Атм. Гидрогеол. Гидрол.	Не отмечалось	Отмечалась активизация оползневого процесса в правом бору р. Герхожансу (базис – р. Герхожансу, размеры - 1050×650 м, площадь 249000 м^2, мощность до 30-60 м, объем до 11205000 м^3). Проявление относительно слабой активности, локализованной на правом борту оползневого массива выше бровки, от т.н.7 и выше на протяжении около 500 м при ср. ширине развития оп до 20 м (здесь площадь активных участков порядка 10 тыс. м^2), на левом борту оползня также на узком участке вдоль бровки длиной до 350 м (всего около 7 тыс. м^2), и на теле оползня, на останце старого рельефа ближе к левому борту, площадью около 5 тыс. м^2. Всего площадь активных участков на оползне Бузулган на 2024г. составляет 22 тыс. м^2. Смещения верт. и гор. от 0,5 до 1 м. По сост. на 20.09.2024 акт. не завершена. В целом, все подвижки носят унаследованный характер. В оползневой процесс вовлечены современные и верхнечетвертичные оползневые и делювиальные отложения, образования эльмезтюбинской и кызылкольской свит девона, верхнепротерозойские породы. Состав горных пород, затронутых проявлением: суглинки с глыбами и щебнем, туфы, туффиты, глинистые сланцы, кремни, лавы основного состава, мусковитовые, хлорит-мусковитовые кристаллические сланцы. Факторы активизации: 1. Тектонический; 2. Метеорологический (таяние снега, атмосферные осадки); 3. Гидрогеологический (выходы ПВ на теле ОП) 4. Гидрологический (подрезка языка ОП).		
09-11-00146	Северо-Кавказский	Карачаево-Черкесская Республика	Абазинский район, левый борт долины р.Кубань, северо-восточная окраина а. Псыж	44,25460	42,02528	14.08.24	15.08.24	Оп	Техн., геол.	Отмечалось	Активизация (59 %) оползня выраженная протяжённой стенкой срыва высотой от 1-2 м до 15 м. Ширина проявления – 160 м, средняя длина – 50 м. Площадь активизации ~ 8000 м^2. Ориентировочная мощность около 10 м. Отложения представлены аллювиальными супесями, суглинками с включением гальки, валунно-галечными отложениями, подстилаемые пепельно-серыми, серыми, темно-серыми глинами майкопской серии. Оказано воздействие на 4 одноэтажных домовладения (№№ 68,70,72,74) и хозяйственные постройки на участке домовладения № 70. Основные факторы активизации опасного ЭГП: 1. Техногенный, 2. Геологический, 3, Современная тектоническая активность		
15-12-00030	Северо-Кавказский	Республика Северная Осетия-Алания	Алагирский район, ТрансКАМ, пк 338 северная окраина пос.Бурон (уч. *Буронский I*)	42,80243	44,01256	00.07.24	на 01.07.24 не заверишлась	Ос	атм., техн.	Отмечалось	Наблюдается постоянное осыпание каменного материала по глубокому лотку, головная часть которого захватывает край технологической дороги газопровода. Обломки перелетают через защитную стенку на полотно ТрансКАМа, есть следы расчистки, каменный материал отсыпан на внешний край дорожной полки. Параметры активной части: длина 70 м, ширина 50 м, площадь 3500 м^2. Активность опасного ЭГП на момент обследования - 50%. Состав горных пород, затронутых проявлением - современные коллювиальные отложения (CoQ_{IV}) состоящие из обломков и щебня слюдистых сланцев, амфиболитов, гнейсов и кварцитов. Факторы активизации - метеорологический (осадки, снеготаяние); техногенный (подрезка неустойчивого крутого склона); частичное перекрытие дороги на интервале 50м (с т.п.). Сооружена противообвальная бетонная стенка, застеночное пространство периодически расчищается		

15-12-00067	Северо-Кавказский	Республика Северная Осетия-Алания	Алагирский район, ТрансКАМ, пк 341 (уч. *Буронский II*)	42,80440	44,01276	00.07.24	на 01.07.24 не заверишлась	Ос	техн., атм.	Отмечалось	Наблюдается осыпание каменного материала по широкому лотку с вылетом отдельных камней на дорожную полку со следами расчистки, материал отсыпан на внешний край дороги и в низовой откос, который подвержен боковой эрозии р.Ардон. Головная часть осыпи упирается в край технологической дороги газопровода. Параметры активной части: длина 70 , ширина 30 м, площадь 2100 м^2. Активность опасного ЭГП на момент обследования - 38%. Состав горных пород, затронутых проявлением - современные коллювиальные отложения (CoQ_{IV}) состоящие из обломков и щебня слюдистых сланцев, амфиболитов, гнейсов и кварцитов. Факторы активизации - метеорологический (осадки, снеготаяние); техногенный (подрезка неустойчивого крутого склона); Было частичное перекрытие дороги на интервале 30 м (с т.п.) с угрозой деформации технологической а/д по газопроводу. Сооружена противообвальная бетонная стенка, застеночное пространство расчищается.		
15-12-00031	Северо-Кавказский	Республика Северная Осетия-Алания	Алагирский район, ТрансКАМ, пк 347,5 (уч. *Лабагомский*)	42,80790	44,01924	00.07.24	на 01.07.24 не заверишлась	Ос	техн., атм.	Отмечалось	Наблюдается осыпание мелкообломочного материала в верховом откосе дороги. Есть следы расчистки на полотне ТрансКАМа, осыпной материал отсыпан на внешний край дорожной полки. Параметры активной части: длина 30 м, ширина 80 м, площадь 2400 м^2. Активность опасного ЭГП на момент обследования - 48%. Состав горных пород, затронутых проявлением - метаморфические породы буронской свиты (PZ_1br) состоящие из обломков и щебня ожелезнённых слюдистых сланцев, амфиболитов, гнейсов и кварцитов. Факторы активизации - метеорологический (осадки, снеготаяние); техногенный (подрезка неустойчивого крутого склона); Наблюдалось частичное перекрытие дороги на интервале 20 м (с т.п.). Сооружена противообвальная бетонная стенка, застеночное пространство переполнено (следы расчистки).		
15-12-00088	Северо-Кавказский	Республика Северная Осетия-Алания	Алагирский район, ТрансКАМ, пк 351 *(уч. Бадаштинский)*	42,81016	44,02269	00.07.24	на 01.07.24 не заверишлась	Ос	техн., атм.	Отмечалось	Наблюдаются следы осыпания среднеобломочного материала на внутренний край дорожной полки, где лежат многочисленные обломки. На интервале 50 м - следы расчистки с отсыпкой каменного материала вдоль внешнего края дороги, Параметры активной части: длина 30 м, ширина 100 м, площадь 3000 м^2. Активность опасного ЭГП на момент обследования - 100%. Состав горных пород, затронутых проявлением - метаморфические породы буронской свиты (PZ_1br) состоящие из обломков и щебня ожелезнённых слюдистых сланцев, амфиболитов, гнейсов и кварцитов. Факторы активизации - метеорологический (осадки, снеготаяние); техногенный (подрезка неустойчивого крутого склона); Наблюдалось частичное перекрытие дороги на интервале 50 м (с т.п.). Сооружена бетонная стенка на правом фланге (переполнена)		
15-12-00134	Северо-Кавказский	Республика Северная Осетия-Алания	Алагирский район, ТрансКАМ, пк 57.5	42,75125	43,98346	00.07.24	на 02.07.24 не заверишлась	Ос	техн., атм.	Отмечалось	Осыпной процесс развивается в верховом откосе ТрансКАМа, по разрушенным коренным породам. внутренняя часть дорожной полки завалена, на проезжей части – следы расчистки. Параметры активной части: длина 15 м, ширина 50 м, площадь 750 м^2. Активность опасного ЭГП на момент обследования - 100%. Состав горных пород, затронутых проявлением - метаморфические породы кассарского комплекса (PZ_2ks) состоящие из амфиболитов с прослоями слюд. сланцев и линзами кварцитов. Факторы активизации - метеорологический (осадки, снеготаяние); техногенный (подрезка неустойчивого крутого склона); Наблюдалось частичное перекрытие дороги на интервале 50м (с т.п.). Защитная металлическая сетка деформирована, местами прорвана.		

15-12-00027	Северо-Кавказский	Республика Северная Осетия-Алания	Алагирский район, автодорога Турбина-В.Згид, км 8,5 (Верхне-Згидский обвально-осыпной участок)	42,85756	43,96339	00.07.24	на 03.07.24 не заверишлась	Ос	техн., атм.	Отмечалось	Наблюдаются свежие участки осыпания в верховом откосе дороги, осыпные конусы и небольшие обвалы по лоткам, заполняющие внутренний край дорожной полки. На полотне дороги следы расчистки. Коренные породы сильно растресканы. Параметры активной части: длина 10 м, ширина 150 м, площадь 1,5 тыс.м^2. Базис развития проявления – дорожная полка автодороги Турбина - В.Згид (Н=1750 м). Процессом захвачены граниты палеозойского комплекса (μPZ_2), активность проявления - 30%. Факторы активизации: метеорологический (осадки и снеготаяние) и техногенный (подрезка трещиноватого скального склона). При активизации происходит частичное перекрытие дорожной полки на инт. 50 м (без т.п.). Сооружений инженерной защиты нет, проводится периодическая расчистка дорожной полки		
15-11-00133	Северо-Кавказский	Республика Северная Осетия-Алания	Алагирский район, автодорога Камунта- В.Згид км 13,5, в 5 км к северо-западу от с. В Згид.(*Перевальный оползень*)	42,89301	43,90383	00.07.24	на 03.07.24 не заверишлась	Оп	гидрогеол.	Не отмечалось	Оползень Перевальный расположен в пределах пологой ложбины и представляет собой пластичный оползень-поток. Грунты обводнены, местами растресканы, есть болотца. Четко прослеживаются боковые стенки высотой до 5 м и трещины скольжения. Местами наблюдаются вывалы камней. Пара-метры активной части: длина 250 м, ширина 70 м, площадь 17,5 тыс.м^2; параметры проявления ОЭГП: длина – 250 м, ширина – 70 м, площадь – 17,5 тыс.м^2, объём – до 260 тыс м^3, мощность – до 15 м. Базис развития проявления – балка по ручью, высотная отметка 2400 м. Процессом захвачены щеб-нисто-глинистые грунты с обломками карбонатных пород (dpQ_{IV}), активность проявления - 100%. Факторы активизации: гидрогеологический (выходы грунтовых вод в пределах оползня). Сооружений инженерной защиты нет.		
15-11-00134	Северо-Кавказский	Республика Северная Осетия-Алания	Алагирский район, автодорога Камунта- В.Згид, км 16,5, в 7км к северо-западу от с. В.Згид (*Серпантинный оползень*)	42,90313	43,90275	00.07.24	на 03.07.24 не заверишлась	Оп	техн., гидрогеол.	Отмечалось	Оползень Серпантинный образовался после реконструкции дороги, в результате глубокой подрезки древнего оползневого склона и нарушения естественного стока грунтовых вод. Обводнённый блок полностью перекрывал дорожную полку (на момент обследования расчищена). Тело оползня сильно растрескано, местами грунты разжижены, высота головной стенки до 6 м. В случае дополнительного обводнения склона осадками есть большая вероятность дальнейшего развития оползневого процесса и повторного перекрытия дороги. Параметры активной части: длина 150 м, ширина 120 м, площадь 18 тыс.м^2. параметры проявления ОЭГП: длина – 150 м, ширина – 120 м, площадь – 18 тыс.м^2, объём – до 360 тыс м^3, мощность – до 20 м. Базис оползания - дорожная полка автодороги В.Згид-Камунта (Н=2250 м). Активность ОЭГП на момент обследования 100%. Факторы активизации – техногенный (подрезка склона) и гидрогеологический (выходы грунтовых вод). Дорожная полка была перекрыта на инт. 120 м (без т.п.). Защитных (противооползневых) сооружений нет.		
15-12-00041	Северо-Кавказский	Республика Северная Осетия-Алания	Алагирский район, технологическая дорога газопровода Дзуарикау-Цхинвал, км 95,5	42,60355	43,79099	00.07.24	на 15.07.24 не завершилась	Ос	техн., атм.	Отмечалось	Осыпным каменным материалом частично перекрыты три серпантина дороги. Скатывание обломков идёт по крутому неустойчивому склон, имеет максимальную интенсивность во время снеготаяния, который обводнён, наблюдается образование растущих промоин в низовом откосе дороги, осовы. Параметры активной части: длина 30 м, ширина 200 м, площадь 6000 м^2. Базисом проявления является полка технологической дороги (Н=2740 м), активность процесса – 67%. Факторы активизации: техногенный (подрезка осыпного склона при прокладке газопровода), метеорологический (снеготаяние). Обвально-осыпным процессом затронуты осадочные породы нижнего мела (K_1sh) представленные песчаниками, алевролитами и мергелями и ледниковые (моренные) отложения (gQ_{IV}). Происходит перекрытие технологической дороги на интервале 200 м (без т.п.). Сооружена бетонная защитная стенка (переполнена), проводится периодическая расчистка полки		

15-11-00042	Северо-Кавказский	Республика Северная Осетия-Алания	Алагирский район, р .Кай-тиком км 1,2 (*Кайтикомский правобережный оползень*)	42,66056	43,86046	00.07.24	на 16.07.24 не завершилась	Оп	атм., гидрогеол.	Не отмечалось	Фронт оползня постоянно размывается р. Кайтиком, на фронтальном уступе отмечены свежие оплывины и отсевшие блоки обводнённых грунтов. На правом фланге грунты разжижены, развивается локальный оползень-поток. Параметры активной части: длина – 100 м, ширина – 75 м, мощность – до 10 м, площадь – 7,5 тыс. м^2; параметры проявления ОЭГП: длина 150м, ширина 100м, площадь 15000 м^2, объём до 150000 м^3, мощность до 10м. Активность процесса – 50%. Базис проявления – пойма р. Кайтиком (Н=2000 м). В оползневой процесс вовлечены современные оползневые отложения (dpQ$_{IV}$), представленные глинисто-щебнистыми грунтами с обломками мергелей и аргиллитов. Факторы активизации: метеорологический (осадки, снеготаяние), гидрогеологический (разгрузка грунтовых вод). Противооползневых сооружений нет.		
15-11-00121	Северо-Кавказский	Республика Северная Осетия-Алания	Алагирский район, в 0,5км к югу от с.Сатат, правый борт р. Мамисондон *(фронт Малого Даллагкауского оползня)*	42,68397	43,92165	00.07.24	на 16.07.24 не завершилась	Оп	ат м., гидролог.	Не отмечалось	Фронт оползня интенсивно размывается рекой, что провоцирует дальнейшее развитие процесса. Наблюдается отсадка ступеней вместе с травой и деревьями, образование трещин. Выше головной стенки оперяющие трещины увеличились в размере, что говорит о тенденции к дальнейшему развитию оползневого процесса. Размеры активной части: длина 100 м, ширина – 150 м, площадь 15 тыс.м^2; параметры проявления ОЭГП: длина 300 м, ширина 500 м, площадь 150 тыс.м^2, объём до 4 млн.м^3, мощность до 30м. Базис развития проявления – пойма р. Мамисондон (Н=1700 м). Активность – 10%. Процессом затронуты щебнисто-глинистые грунты с обломками осадочных пород. Фактор активизации: метеорологический (осадки, снеготаяние) и гидрологический (размыв рекой) Противооползневых мероприятий не проводилось, сооружений инженерной защиты нет		
15-12-00043	Северо-Кавказский	Республика Северная Осетия-Алания	Алагирский район, газопровод Дзуарикау-Цхинвал км 81 (*Северный фланг Тибского обвально-осыпного участка*)	42,67018	43,91680	00.07.24	на 16.07.24 не завершилась	Ос	те хн, атм.	Отмечалось	Наблюдается постоянное осыпание и скатывание каменного материала на дорожную полку, вынос более мелкой фракции в виде микроселей и конусов по растущим промоинам, перекрытие рыхлообломочным материалом технологической дороги газопровода. Параметры активной части: длина 50 м, ширина 100 м, площадь 5000 м^2. Базис развития проявления – пойма р. Мамисондон (Н=1700 м). Активность – 36%. Процессом затронуты осадочные породы верхней юры (J$_3$th), представленные известняками с прослоями мергелей и алевролитов. Факторы активизации: техногенный (нарушение рыхлообломочного склона при прокладке газопровода), метеорологический (осадки). Технологическая дорога газопровода полностью перекрывалась на интервале 100 м (без т.п.). Сооружений инженерной защиты нет, проводится периодическая расчистка дорожной полки.		
15-12-00044	Северо-Кавказский	Республика Северная Осетия-Алания	Алагирский район, газопровод Дзуарикау-Цхинвал км 81,5 (*Южный фланг Тибского обвально-осыпного участка*)	42,66776	43,90844	00.07.24	на 16.07.24 не завершилась	Ос	те хн, атм.	Отмечалось	Наблюдается постоянное осыпание и выкатывание крупнообломочного материала, вынос более мелкой фракции в виде микроселей по лоткам. На момент обследования технологическая дорога газопровода расчищена, но есть следы полного перекрытия полотна каменным материалом. Параметры активной части: длина 100 м, ширина 400 м, площадь 40 тыс. м^2, объем материала до 1500 м^3. Базис развития проявления– пойма р. Мамисондон (Н=1710 м). Активность – 71%. Процессом затронуты осадочные породы верхней юры (J$_3$th), представленные известняками с прослоями мергелей и алевролитов. Факторы активизации: техногенный (нарушение рыхлообломочного склона при прокладке газопровода), метеорологический (осадки, снеготаяние). Технологическая дорога газопровода полностью перекрывалась на интервале 400 м (без т.п.). Сооружений инженерной защиты нет, проводится периодическая расчистка техн. автодороги		

15-11-00040	Северо-Кавказский	Республика Северная Осетия-Алания	Алагирский район, автодорога Зарамаг-Мамисон, пк 48,5, в 1км к северо-востоку от с.Тиб (*оползень-поток*)	42,67635	43,91988	00.07.24	на 17.07.24 не завершилась	Оп	атм., гидрогеол.	Отмечалось	Активность наблюдается на правом фланге оползня, в пределах сформировавшегося несколько лет назад оползня-потока. Произошло сильное смещение оползневых масс, обрушение головного уступа и небольшое приращение площади в головной части, в результате чего полностью разрушен участок технологической дороги ЛЭП (50 м), а трещины подошли непосредственно к опоре. Тело оползня сильно обводнено, грунты разжижены, постоянно «стекают» на полотно дороги, переваливаясь через бетонную стенку, проезжая часть сужена до 2,5 м, полотно деформировано и постоянно расчищается. Также наблюдаются деформации и отсадка блоков в низовом откосе. Параметры активной части: длина 200 м, ширина 80 м, мощность до 15 м, площадь активной части 16 тыс.м^2. Базис развития проявления – дорога Зарамаг-Мамисон (Н=1900 м). Процессом затронуты оползневые отложения голоцена (dpQ$_{IV}$), представленные глинисто-щебнистыми грунтами с обломками песчаников и алевролитов. Активность процесса – 40%. Факторы активизации: метеорологический (снеготаяние, осадки), гидрогеологический (разгрузка грунтовых вод). Деформирована и перекрыта автодорога на инт. 70 м (с т.п.), деформирована технол. дорога ЛЭП на инт. 50 м (без т.п.) с угрозой обрушения опоры ЛЭП. Бетонная подпорная стенка не работает (застеночное пространство переполнено).		
15-12-00074	Северо-Кавказский	Республика Северная Осетия-Алания	Алагирский район, 0,8км к юго-западу от с.Тиб (*участок Опорный)*	42,66837	43,90098	00.07.24	на 17.07.24 не завершилась	Ос	атм., техн.	Отмечалось	Наблюдается осыпание со склона крупных и средних обломков коренных пород, сужение полотна дороги за счет увеличения шлейфа осыпи, частичное перекрытие дорожной полки. Параметры активной части: длина 20 м, ширина 150 м, площадь 3000 м^2. Проявлением затронуты верхнеюрские карбонатные отложения (J$_3$), сложенные песчаниками и мергелями. Базис развития проявления – дорожная полка (Н=1950 м). Активность процесса – 75%. Факторы активизации: метеорологический и техногенный (подрезка склона дорожной полкой). Частичное перекрытие обломочным материалом на интервале 150 м (без т.п.). Сооружений инженерной защиты нет, проводится периодическая расчистка дороги.		
15-11-00113	Северо-Кавказский	Республика Северная Осетия-Алания	Алагирский район, ТрансКАМ пк 151 (*оползень Цебойтинский*)	42,68570	44,00561	00.08.24	на 03.08.24 не завершилась	Оп	атм., гидрогеол.	Отмечалось	Головная стенка оползня находится под дорожной полкой, захватывает край асфальта и имеет высоту до 3м. В низовом откосе дороги образуются ступени отсадки, просматриваются боковые стенки блока, уходящие вниз по склону. Асфальтовое покрытие деформировано, блоки бетонного ограждения просели. В верховом откосе дороги отмечены выходы грунтовых вод (водопропуск отсутствует). Крутизна оползневого склона до 60º, аз. смещ. 190º. Параметры активной части: длина 70 м, ширина 120 м, площадь 8,4 тыс.м^2; объём до 80000 м^3, мощность до 10 м. Активность процесса – 70%. Базис - дорожная полка ТрансКАМа (Н=1760 м). Проявлением затронуты современные коллювиальные отложения (CoQ$_{IV}$), представленные глинисто-щебнистыми грунтами с обломками глинистых сланцев и песчаников. Факторы активизации: метеорологический (осадки), гидрогеологический (обводнение грунтовыми водами). При активизации деформирована дорожная полка на интервале 30 м (с т.п.). Защитных сооружений нет.		
15-11-00036	Северо-Кавказский	Республика Северная Осетия-Алания	Алагирский район, р.Бабиат, км 2,3 (*оползень Бабиатский*)	42,65746	44,04933	00.08.24	на 03.08.24 не завершилась	Оп	атм., гидрогеол.	Не отмечалось	Активизация отмечается на фронтальном уступе, который размывается рекой. Здесь наблюдается отсадка блоков с травой и деревьями, выкат камней, значительное сужение русла, ширина которого местами не превышает 1 м. Вдоль кромки уступа наблюдаются выходы грунтовых вод. Крутизна фронтального уступа до 40º, аз. смещ. 20º. Параметры проявления: длина 160м, ширина 400 м, площадь 64 тыс.м^2, объём 600 тыс.м^3, мощность до 10 м. Параметры активной части: длина 40 м, ширина 250 м, площадь 10 тыс.м^2; параметры проявления. Базис развития – пойма р. Бабиат (Н=2100 м). Активность опасного ЭГП на момент обследования – 16%. Проявлением затронуты современные оползневые отложения (dpQ$_{IV}$), представленные глинисто-щебнистыми грунтами с обломками песчаников, алевролитов и глинистых сланцев. Факторы активизации оползневого процесса: метеорологический (осадки), гидрогеологический (разгрузка грунтовых вод). Создаётся угроза перекрытия реки, с последующим селевым выбросом. Сооружений инженерной защиты нет.		

15-11-00135	Северо-Кавказский	Республика Северная Осетия-Алания	Алагирский район, автодорога к с.Тапанкау, км 2	42,68066	44,04789	00.08.24	на 03.08.24 не завершилась	Оп	атм.	Отмечалось	В верховом откосе автодороги к с.Тапанкау, в результате обводнения склона, образовался оползень-поток - разжиженные грунты оползли на полотно дороги, перекрыв её на интервале 40 м. На момент обследования произведена расчистка. Параметры проявления активного ОЭГП: длина 40 м, ширина 30м, площадь 1200 м^2, объём до 5000 м^3, мощность до 5 м. Активность опасного ЭГП на момент обследования - 100%. Базис развития – автодорога (Н=1830 м). Состав горных пород, затронутых проявлением - глинисто-щебнистые грунты с обломками осадочных пород в современных делювиальных отложениях (dQ_{IV}). Факторы активизации ОЭГП - метеорологический (осадки, снеготаяние). Перекрытие дороги на инт. 40 м (без т.п.). Сооружений инженерной защиты нет, проводится расчистка дороги.	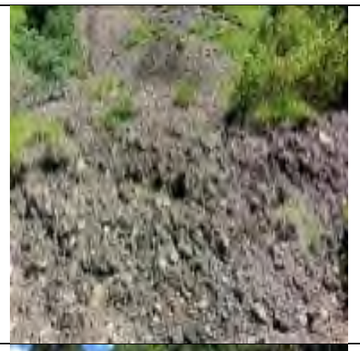		
15-12-00094	Северо-Кавказский	Республика Северная Осетия-Алания	Алагирский район, ТрансКАМ пк 108,5 (*участок Блоковый*)	42,70782	43,97809	00.08.24	на 03.08.24 не завершилась	Ос	атм., техн.	Отмечалось	Наблюдается обводнение склона, осыпание крупных и средних обломков, сужение полотна дороги за счет шлейфа осыпи, частичное перекрытие дорожной полки. Параметры активной части: длина 50 м, ширина 50 м, площадь 2500 м^2. Активность опасного ЭГП на момент обследования 100%. Базис развития проявления - дорожная полка ТрансКАМа (Н=1770 м). Факторы активизации: метеорологический (осадки), техногенный (подрезка трещиноватого крутого склона дорожной полкой). Процессом захвачены глинистые сланцы и алевролиты. При активизации в начале лета дорожное полотно перекрывалось обломочным материалом на интервале 50 м (с т.п.). Сооружения инженерной защиты отсутствуют, проводится периодическая расчистка дороги			
15-12-00124	Северо-Кавказский	Республика Северная Осетия-Алания	Алагирский район, ТрансКАМ пк 262	42,62954	44,07124	00.09.24	на 04.09.24 не завершилась	Ос	атм., техн.	Отмечалось	Наблюдаются лотки и осыпные конуса в верховом откосе дороги, следы расчистки на полотне ТрансКаМа, аккумуляция осыпавшегося материала на внутреннем крае дорожной полки. Параметры активной части: длина 30 м, ширина 250 м, площадь 7500 м^2. Активность опасного ЭГП на момент обследования 100%. Базис развития проявления - дорожная полка ТрансКАМа (Н=2000 м). Факторы активизации: метеорологический (осадки), техногенный (подрезка трещиноватого крутого склона дорожной полкой). Процессом захвачены карбонатные песчаники и мергели с прослоями алевролитов. Частичное перекрытие дороги на интервале 200 м (с т.п.). Защитная стенка переполнена, металлическая сетка на склоне деформирована, своих функций не выполняет. Сетка разорвана. Проводится периодическая расчистка дорожного полотна.			
15-12-00111	Северо-Кавказский	Республика Северная Осетия-Алания	Алагирский район, ТрансКАМ пк 235,5 (*участок Хур-Адагский*)	42,63745	44,04125	00.08.24	на 04.08.24 не завершилась	Ос	атм.	Отмечалось	Отмечалась активизация осыпного процесса в Алагирском районе, на автодороге ТрансКАМ пк 235,5. Осыпание идет, в основном, по двум крутым лоткам, в основании которых образовались крупные конуса. Также отмечен вылет отдельных обломков на дорогу, есть следы расчистки, внутренний край дорожной полки заполнен осыпным материалом. Параметры активной части: длина 50 м, ширина 100 м, площадь 5000 м^2. Активность опасного проявления 67%. Базис проявлений – дорожная полка ТрансКАМа (Н=1940 м). Проявлением затронуты верхнеюрские карбонатные отложения (J_3th) представленные песчаниками и мергелями. Факторы активизации: метеорологический (интенсивные осадки). В результате обвала дорожная полка была частично перекрыта на интервале 100 м (с т.п.). Есть камнеулавливающая бетонная стенка, однако пазуха уже переполнена, а стенка деформирована.			

15-12-00136	Северо-Кавказский	Республика Северная Осетия-Алания	Алагирский район, ТрансКАМ, пк 232	42,63633	44,03862	00.08.24	на 04.08.24 не завершилась	Ос	атм.	Отмечалось	Отмечалась активизация осыпного процесса в Алагирском районе, на автодороге ТрансКАМ пк 232. Наблюдаются лотки и осыпные конуса в верховом откосе дороги, следы расчистки на полотне ТрансКАМа, аккумуляция осыпавшегося материала на внутреннем крае дорожной полки. Параметры активной части: длина 30 м, ширина 100 м, площадь 3000 м^2. Активность опасного ЭГП на момент обследования - 100%. Состав горных пород, затронутых проявлением – осадочные песчаники, сланцы с кварцевыми прожилками [J_3th]. Факторы активизации - метеорологический (осадки, снеготаяние. Частичное перекрытие дороги на интервале 100 м (с т.п.) Сооружений инженерной защиты нет, по необходимости проводится расчистка дороги.	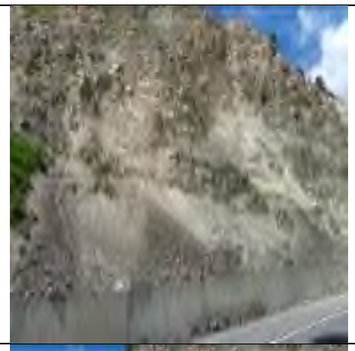	
15-12-00098	Северо-Кавказский	Республика Северная Осетия-Алания	Алагирский район, ТрансКАМ пк 212	42,64337	44,02009	00.08.24	на 04.08.24 не завершилась	Ос	атм., техн.	Отмечалось	В районе южного портала противолавинной галереи наблюдается активное осыпание обломочного материала в верховом откосе дороги. Лоток для воды заполнен обломками. Параметры активной части: длина 30 м, ширина 100 м, площадь 3000 м^2. Активность опасного проявления 67%. Базисом развития проявления является дорожная полка ТрансКАМа (Н=1850 м). Процессом затронуты верхнеюрские карбонатные отложения (J_3), представленные песчаниками и мергелями. Факторы активизации: метеорологический (осадки), техногенный (подрезка трещиноватого склона дорожной полкой). Дорога частично перекрывалась на интервале 100 м (с т.п.). Склон был закрыт защитной металлической сеткой, но она повреждена, местами прорвана; камнеулавливающая бетонная стенка переполнена и деформирована.		
15-12-00072	Северо-Кавказский	Республика Северная Осетия-Алания	Алагирский район, р.Зруг км 4,3 (автодорога на погранзаставу)	42,64802	43,99288	00.08.24	на 05.08.24 не завершилась	Ос	атм., техн.	Отмечалось	Наблюдается осыпание крупных и средних обломков, свежие осыпные конусы, сужение проезжей части и перекрытие дорожной полки обломочным материалом. Параметры активной части: длина 15 м, ширина 150 м, площадь 3000 м^2, активность процесса – 75%. Базис развития – полка дороги к погранзаставе «Зруг» (Н=1900 м). Процессом затронуты верхнеюрские карбонатные отложения (J_3) представленные песчаниками и мергелями. Факторы активизации обвально-осыпного процесса: метеорологический (осадки), техногенный (подрезка крутого рыхлообломочного склона дорожной полкой). Частичное перекрытие дороги на интервале 200м (без т.п.), есть следы расчистки. Сооружений инженерной защиты нет.		
15-12-00137	Северо-Кавказский	Республика Северная Осетия-Алания	Алагирский район, р.Зруг км 1,8 (автодорога на погранзаставу)	42,65753	44,00442	00.08.24	на 05.08.24 не завершилась	Ос	атм., техн.	Отмечалось	Отмечалась активизация осыпного процесса в Алагирском районе. Осыпной участок делится на две части: на правом фланге он представлен отложениями старой аллювиальной террасы, на левом фланге осыпание идет по трещиноватым коренным породам. Наблюдается скатывание средних и мелких обломков, сужение полотна дороги частичное перекрытие дорожной полки. Процесс осложняется боковой эрозией реки, разрушающей низовой откос, в результате чего дорогу приходится углублять в склон. Параметры активной части: длина 15 м, ширина 100 м, площадь 1500 м^2. Активность процесса – 100%. Базис развития – полка дороги к погранзаставе «Зруг» (Н=1820 м). Процессом затронуты современные аллювиальные отложения (aQ_{IV}) и верхнеюрские карбонатные отложения (J_3) представленные алевролитами, песчаниками и аргиллитами (окатанные валуны и галька) Факторы активизации: метеорологический (осадки), техногенный (подрезка крутого рыхлообломочного склона дорожной полкой). Частичное перекрытие дороги на интервале 100 м (без т.п.), есть следы расчистки. Сооружений инженерной защиты нет.		

15-12-00047	Северо-Кавказский	Республика Северная Осетия-Алания	Ирафский район, правый берег р.Караугом, км5 от устья (*участок Моренный*)	42,84632	43,70198	00.08.24	на 06.08.24 не завершилась	Ос	атм.	Не отмечалось	Отмечалась активизация осыпного процесса в Ирафском районе. В пределах пойменной террасы правого борта отмечены свежие вывалы обломков и глыб диаметром 1÷3 м, многие из которых расколоты, на крутом склоне четко видны рытвины и вмятины, оставленные скатившимися каменными обломкам. Прохода к леднику по туристской тропе нет. Параметры активной части: длина 50 м, ширина 100 м, площадь 5000 м^2. Базис развития – пойма р. Караугом (Н=1850 м). Процесс происходит в моренных (ледниковых) отложениях (fQ_{IV}, gQ_{IV}), представленных валунами и полуокатанными обломками кристаллических пород (граниты, диориты и др). Активность процесса - 100%. Факторы активизации: метеорологический (осадки и снеготаяние, деградация ледника). При паводках возникает угроза селевых выбросов с поражением ниже расположенных объектов (с.Дзинага, турбаза «Дзинага», погранзастава). Защитных сооружений нет, мероприятий не проводились		
15-11-00122	Северо-Кавказский	Республика Северная Осетия-Алания	Ирафский район, автодорога Мацута-Куссу. км 11,3 *(оползень Москинский)*	42,91529	43,69259	00.08.24	на 07.08.24 не завершилась	Оп	техн., гидрогеол.	Отмечалось	В верховом откосе дороги продолжает развиваться оползень-поток, сформировавшийся после техногенного воздействия на склон и нарушения стока грунтовых вод. Грунты сильно обводнены, отседают вместе с деревьями и кустарником, полужидкая масса во время дождей стекает на полотно дороги. На внешнем крае дорожной полки в результате расчистки отсыпано порядка 1000 м^3 грунта. Параметры активной части: длина 60 м, ширина 40 м, площадь 2400 м^2. Базис развития – автодорога Мацута-Куссу (Н=1415м). Процессом затронуты флювиогляциальные отложения голоцена (fQ_{IV}), представленные щебнисто-глинистыми грунтами с обломками метаморфических пород. Активность процесса – 100%. Факторы активизации: техногенный (подрезка трещиноватого скального склона) и гидрогеологический (обводнение склона грунтовыми водами). Частичное перекрытие дороги на инт. 50 м (с т.п.). Защитных сооружений нет, проводится расчистка дороги		
15-12-00123	Северо-Кавказский	Республика Северная Осетия-Алания	Ирафский район, автодорога Мацута-Куссу. км 11,5	42,91488	43,69189	00.08.24	на 07.08.24 не завершилась	Ос	техн., атм.	Отмечалось	Наблюдаются свежие участки осыпания в верховом откосе дороги, осыпные конусы и небольшие обвалы по лоткам, заполняющие внутренний край дорожной полки. На полотне дороги следы расчистки. Параметры активной части: длина 15 м, ширина 100 м, площадь 1,5 тыс.м^2. Базис развития – автодорога Мацута-Куссу (Н=1420м). Процессом затронуты метаморфические породы протерозоя [PR_2], представленные магматизированными сланцами, гнейсами и амфиболитами. Активность процесса – 100%. Факторы активизации: техногенный (подрезка трещиноватого скального склона) и метеорологический (осадки, снеготаяние). Частичное перекрытие дорожной полки на интервале 100 м (с т.п.). Защитных сооружений нет, проводится периодическая расчистка дорожной полки		
15-11-00114	Северо-Кавказский	Республика Северная Осетия-Алания	Пригородный район, в 1км к юго-западу от с. Кобан, а/д Гизель-Даргавс, км 19	42,90352	44,46268	00.08.24	на 29.08.24 не завершилась	Оп	техн., гидрогеол.	Не отмечалось	Наблюдается дальнейшее развитие процесса на оползне, образовавшемся в результате техногенной подрезки крутого неустойчивого склона при строительстве дороги Гизель-Даргавс, км 19. Склон обводнён, грунты местами разжижены, на правом фланге имеют характер оползня-потока. В центральной части защитная бетонная стенка переполнена, грунт начинает переваливаться на дорогу. Параметры активной части: длина 50 м, ширина 70 м, площадь 3,5 тыс.м^2. Активность - 100%. Базисом развития оползня является р.Гизельдон (Н=1050 м). Проявлением захвачены современные пролювиально-коллювиальные отложения (Q_{IV}), сложенные щебнисто-глинистыми грунтами с обломками карбонатных пород. Факторы активизации: техногенный (подрезка рыхлообломочного склона дорожной полкой), гидрогеологический (выходы грунтовых вод). Сооружена подпорная стенка (весной текущего годы была повалена).		

15-12-00059	Северо-Кавказский	Республика Северная Осетия-Алания	Пригородный район, в 2,5км к югу от с. Кобан, а/д Гизель-Даргавс, км 21,5 (*Кахтисарский участок*)	42,883 79	44,453 51	00.08.2 4	на 29.08.24 не завершилась	Ос	техн., атм.	Отмечалось	На нижних серпантинах дороги наблюдается осыпание среднеобломочного каменного материала с верхового откоса, отмечены свежие обвалы, дорога сильно заужена. Проводилась расчистка дороги, каменный материал свален по краям полки. На склоне местами развиваются растущие овраги, самый крупный из которых имеет глубину до 4 м и выходит на смотровую площадку. Параметры активной части: длина 30 м, ширина 150 м, площадь 4,5 тыс.м^2. Проявлением затронуты породы карбонатного комплекса верхней юры (J_3), представленные известняками, доломитами и песчаниками сильно раздробленными и трещиноватыми. Активность процесса – 75%. Базис развития проявления – пойма р.Гизельдон (Н=1220 м). Дорога перекрыта крупным каменным материалом на интервале около100 м (без т.п.). Противообвальных сооружений нет, проводится расчистка.		
15-11-00049	Северо-Кавказский	Республика Северная Осетия-Алания	Дигорский район, в 3 км к юго-западу от с.Кора (*Южный Савердонский оползень*)	43,048 64	44,050 30	00.09.2 4	на 15.09.24 не завершилась	Оп	атм., гидрогеол., гидрол.	Не отмечалось	На всём теле активного блока оползня наблюдается значительная активность. Фронтальный уступ оползня увеличился в размерах, отседает ступенями, повсеместно - свежие вывалы деревьев. В центральной части склон сильно деформирован, покрыт буграми и западинами, в результате чего наблюдается эффект «пьяного леса». В головной части отсел свежий блок, грунты сильно обводнены, местами разжижены, в углублениях стоит вода. Параметры активной части: длина 200 м, ширина 100 м, мощность до 10 м, площадь активной части 20 тыс. м^2, объем до 150 тыс.м^3. Проявлением затронуты старые оползневые накопления (dpQ_{IV}) коренные подстилающие породы – мергели палеогена (Pg). Рыхлые отложения, представленные суглинками и глинами с обломками карбонатных пород. Базис развития оползня – пойма р. Савердон (Н=600 м). Активность процесса – 20%. Факторы активизации: метеорологический (осадки), гидрологический (размыв фронта) и гидрогеологический (обводнение склона грунтовыми водами). Негативного воздействия на земли и хоз. объекты не отмечено.		
20-11-00564	Северо-Кавказский	Чеченская Республика	Веденский район, автодорога с.Ведено - с. Дарго, 7,0км	42,928 28	46,212 72	00.06.2 4	не завершилась	Оп	атм.	Не отмечалось	Отмечалась активизация оползневого процесса в Веденском районе, автодорога с.Ведено - с. Дарго, 7,0км. Признаки активизации: обрушение стенки уступа. Параметры оползня- длина 10 м, ширина – 4 м, площадь 40 м^2, объем 80 м^3, мощность 2м. Активность опасного ЭГП на момент обследования 100%. Комплексы и состав горных пород, затронутых проявлением: глины, алевролиты N. Базис развития опасного ЭГП: тальвег ложбины. Факторы активизации опасного ЭГП: атмосферные осадки.		
20-11-00536	Северо-Кавказский	Чеченская Республика	Веденский район, автодорога с.Ведено-с.Белгатой в 1,5 км к западу от с. Белгатой	42,981 62	46,204 97	00.06.2 4	не завершилась	Оп	атм.	Не отмечалось	Отмечалась активизация оползневого процесса в Веденском районе, автодорога с. Ведено-с. Белгатой в 1.5 км к западу от с. Белгатой. Признаки активизации: обрушение стенки уступа. Параметры оползня- длина 60 м, ширина – 10 м, площадь 600 м^2, объем 1800 м^3, мощность 3 м. Активность опасного ЭГП на момент обследования 20%. Комплексы и состав горных пород, затронутых проявлением: суглинки, глины, алевролиты Q_{IV}-N. Базис развития опасного ЭГП: тальвег ложбины. Факторы активизации опасного ЭГП: атмосферные осадки.		

20-11-00597	Северо-Кавказский	Чеченская Республика	Веденский район, автодорога с.Бас – Гордали - с.Белгатой в 4,3 км к западу от с. Бас - Гордали	43,013 00	46,206 55	00.06.2 4	не завершилась	Оп	атм.	Отмечалось	Отмечалась активизация оползневого процесса в Веденском районе, автодорога с.Бас – Гордали -с.Белгатой в 4,3 км к западу от с. Бас – Гордали. Признаки активизации: обрушение стенки уступа. Параметры оползня - длина 45 м, ширина 5 м, площадь 225 м^2, объем 113 м^3, мощность 0,5 м. Активность опасного ЭГП на момент обследования 100%. Комплексы и состав горных пород, затронутых проявлением: суглинки, глины, алевролиты Q_{IV}-N. Базис развития опасного ЭГП: тальвег ложбины. Факторы активизации опасного ЭГП: атмосферные осадки. Активизация оползня привела к разрушению полотна дороги с покрытием на участке длиной 45 м, шириной 1,5 м.		
20-11-00547	Северо-Кавказский	Чеченская Республика	Курчалоевский район, автодорога с.Джагларги - с.Регита 3,5 км	43,087 65	46,120 79	00.06.2 4	не завершилась	Оп	атм.	Отмечалось	Отмечалась активизация оползневого процесса в Курчалоевском районе, автодорога с.Джагларги - с.Регита 3,5 км. Признаки активизации: обрушение стенки уступа. Параметры оползня - длина 23 м, ширина – 8 м, площадь 184 м^2, объем 184 м^3, мощность 1м. Активность опасного ЭГП на момент обследования 34%. Комплексы и состав горных пород, затронутых проявлением: суглинки, глины, алевролиты Q_{III}-N. Базис развития опасного ЭГП: подножье склона. Факторы активизации опасного ЭГП: атмосферные осадки. Активизация оползня привела к разрушению дороги с покрытием на участке длиной 7 м, шириной 1 м.		
20-11-00386	Северо-Кавказский	Чеченская Республика	Надтеречный район, с.Братское, ул.Шаипова	43,656 68	44,881 47	00.06.2 4	не завершилась	Оп	атм.	Не отмечалось	Отмечалась активизация оползневого процесса в Надтеречном районе, с.Братское, ул.Шаипова. Признаки активизации: обрушение стенки уступа. Параметры оползня- длина 190 м, ширина – 100 м, площадь 19000 м^2, объем 152000 м^3, мощность 8 м; параметры активной части- длина 30 м, ширина – 40 м, площадь 1200м^2, объем 3600 м^3, мощность 3 м. Активность опасного ЭГП на момент обследования 6%. Комплексы и состав горных пород, затронутых проявлением: суглинки, глины Q_{III}-N. Базис развития опасного ЭГП: пойма реки. Факторы активизации опасного ЭГП: атмосферные осадки.		
20-11-00387	Северо-Кавказский	Чеченская Республика	Надтеречный район, с.Братское	43,654 51	44,873 04	00.06.2 4	не завершилась	Оп	атм.	Не отмечалось	Отмечалась активизация оползневого процесса в Надтеречном районе, с.Братское. Признаки активизации: обрушение стенки уступа. Параметры оползня- длина 100 м, ширина – 43 м, площадь 4300 м^2, объем 17200 м^3, мощность 4 м; параметры активной части- длина 30 м, ширина – 40 м, площадь 1200 м^2, объем 4800 м^3, мощность 4 м. Активность опасного ЭГП на момент обследования 3%. Комплексы и состав горных пород, затронутых проявлением: суглинки, глины Q_{III}-N. Базис развития опасного ЭГП: пойма реки. Факторы активизации опасного ЭГП: атмосферные осадки.		
20-11-00219	Северо-Кавказский	Чеченская Республика	Ножай - Юртовский район, автодорога с.Малые -Шуани - с.Бас-Гордали- 7,01км	43,068 29	46,226 69	00.06.2 4	не завершилась	Оп	атм.	Отмечалось	Отмечалась активизация оползневого процесса в Ножай - Юртовском районе, автодорога с.Малые - Шуани - с.Бас-Гордали- 7,01км. Признаки активизации: обрушение стенки уступа. Параметры оползня - длина 20 м, ширина – 30 м, площадь 600 м^2, объем 600 м^3, мощность 1 м. Активность опасного ЭГП на момент обследования 100%. Комплексы и состав горных пород, затронутых проявлением: суглинки, глины QIV-N. Базис развития опасного ЭГП: тальвег ложбины. Факторы активизации опасного ЭГП: атмосферные осадки. Активизация оползня привела к разрушению полотна дороги с покрытием на участке длиной 30 м, шириной 2 м.		

20-11-00593	Северо-Кавказский	Чеченская Республика	Ножай - Юртовский район, автодорога с.Ялхой-Мохк – с.Малые Шуани- 4,56 км	43,083 97	46,224 99	00.06.2 4	не завершилась	Оп	атм.	Отмечалось	Отмечалась активизация оползневого процесса в Ножай - Юртовском районе, автодорога с.Ялхой-Мохк – с. Малые Шуани- 4,56 км. Признаки активизации: обрушение стенки уступа, трещины закола на теле оползня Параметры оползня- длина 10 м, ширина – 25 м, площадь 250 м^2, объем 375 м^3, мощность 1,5 м. Активность опасного ЭГП на момент обследования 100%. Комплексы и состав горных пород, затронутых проявлением: суглинки, глины Q_{III}-N. Базис развития опасного ЭГП: тальвег ложбины. Факторы активизации опасного ЭГП: атмосферные осадки. Активизация оползня привела к разрушению полотна дороги с покрытием на участке длиной 4 м, шириной 0,5 м.		
20-11-00594	Северо-Кавказский	Чеченская Республика	Ножай - Юртовский район, автодорога с.Ялхой-Мохк – с.Малые Шуани - 4,61км	43,083 74	46,225 59	00.06.2 4	не завершилась	Оп	атм.	Отмечалось	Отмечалась активизация оползневого процесса в Ножай - Юртовском районе, автодорога с.Ялхой-Мохк – с. Малые Шуани- 4,61 км. Признаки активизации: обрыв стенки уступа, трещины закола на теле оползня. Параметры оползня - длина 8 м, ширина – 30 м, площадь 250 м^2, объем 375 м^3, мощность 1,5 м. Активность опасного ЭГП на момент обследования 100%. Комплексы и состав горных пород, затронутых проявлением: суглинки, глины Q_{III}-N. Базис развития опасного ЭГП: тальвег ложбины. Факторы активизации опасного ЭГП: атмосферные осадки. Активизация оползня привела к разрушению полотна дороги с покрытием на участке длиной 20 м, шириной 1 м. Деформировано ограждение дороги длиной 30 м.		
20-11-00595	Северо-Кавказский	Чеченская Республика	Ножай - Юртовский район, автодорога с.Шуани -с.Саясан 1,76км	43,069 18	46,256 52	00.06.2 4	не завершилась	Оп	атм.	Не отмечалось	Отмечалась активизация оползневого процесса в Ножай - Юртовском районе, автодорога с.Шуани -с.Саясан 1,76 км. Признаки активизации: смещение оползневых масс с образованием стенки уступа, трещины закола на теле оползня. Параметры оползня- длина 20 м, ширина – 50 м, площадь 1000 м^2, объем 2000 м^3, мощность 2 м. Активность опасного ЭГП на момент обследования 100%. Комплексы и состав горных пород, затронутых проявлением: суглинки, глины N. Базис развития опасного ЭГП: пойма реки. Факторы активизации опасного ЭГП: атмосферные осадки.		
20-11-00513	Северо-Кавказский	Чеченская Республика	Ножай - Юртовский район, автодорога с.Шуани – с.Саясан 2,43км	43,068 83	46,263 77	00.06.2 4	не завершилась	Оп	атм.	Отмечалось	Отмечалась активизация оползневого процесса в Ножай - Юртовском районе, автодорога с.Шуани -с.Саясан 2,43 км. Признаки активизации: обрушение стенки уступа, трещины закола на теле оползня. Параметры оползня - длина 110 м, ширина – 120 м, площадь 13200 м^2, объем 39600 м^3, мощность 3 м. Активность опасного ЭГП на момент обследования 100%. Комплексы и состав горных пород, затронутых проявлением: суглинки, глины N. Базис развития опасного ЭГП: пойма реки. Факторы активизации опасного ЭГП: атмосферные осадки. Активизация оползня привела к разрушению полотна дороги с покрытием длиной 10 м, шириной 2 м.		
20-11-00514	Северо-Кавказский	Чеченская Республика	Ножай - Юртовский район, автодорога с.Шуани – с.Саясан 2,53км	43,068 79	46,264 76	00.06.2 4	не завершилась	Оп	атм.	Не отмечалось	Отмечалась активизация оползневого процесса в Ножай - Юртовском районе, автодорога с.Шуани -с.Саясан 2,53 км. Признаки активизации: обрушение стенки уступа. Параметры оползня- длина 70 м, ширина – 80 м, площадь 5600 м^2, объем 28000 м^3, мощность 5 м; параметры активной части - длина 50 м, ширина – 20 м, площадь 1000 м^2, объем 5000 м^3, мощность 5 м. Активность опасного ЭГП на момент обследования 18%. Комплексы и состав горных пород, затронутых проявлением: суглинки, глины N. Базис развития опасного ЭГП: пойма реки. Факторы активизации опасного ЭГП: атмосферные осадки.		
20-11-00253	Северо-Кавказский	Чеченская Республика	Ножай - Юртовский район, автодорога с.Шуани – с.Саясан 2,77км	43,068 15	46,267 52	00.06.2 4	не завершилась	Оп	атм.	Не отмечалось	Отмечалась активизация оползневого процесса в Ножай - Юртовском районе, автодорога с.Шуани -с.Саясан 2,77 км. Признаки активизации: обрушение стенки уступа, трещины закола на теле оползня. Параметры оползня- длина 50 м, ширина – 85 м, площадь 4250 м^2, объем 12750 м^3, мощность 3 м. Активность опасного ЭГП на момент обследования 100%. Комплексы и состав горных пород, затронутых проявлением: алевролиты, глины N. Базис развития опасного ЭГП: пойма реки. Факторы активизации опасного ЭГП: атмосферные осадки.		

20-11-00254	Северо-Кавказский	Чеченская Республика	Ножай - Юртовский район, автодорога с.Шуани – с.Саясан 3,03км	43,06748	46,27017	00.06.24	не завершилась	Оп	атм.	Не отмечалось	Отмечалась активизация оползневого процесса в Ножай - Юртовском районе, автодорога с.Шуани -с.Саясан 3,03 км. Признаки активизации: обрыв стенки уступа, трещины на теле оползня. Параметры оползня- длина 120 м, ширина – 90 м, площадь 10800 м^2, объем 43200 м^3, мощность 4 м; параметры активной части- длина 120 м, ширина – 45 м, площадь 5400 м^2, объем 16200 м^3, мощность 3 м. Активность опасного ЭГП на момент обследования 50%. Комплексы и состав горных пород, затронутых проявлением: суглинки, глины Q_{III}-N. Базис развития опасного ЭГП: пойма реки. Факторы активизации опасного ЭГП: атмосферные осадки.		
20-11-00596	Северо-Кавказский	Чеченская Республика	Ножай - Юртовский район, автодорога с.Шуани – с.Саясан 2,88км	43,06754	46,26847	00.06.24	не завершилась	Оп	атм.	Не отмечалось	Отмечалась активизация оползневого процесса в Ножай - Юртовском районе, автодорога с.Шуани -с.Саясан 2,88 км. Признаки активизации: обрушение стенки уступа. Параметры оползня- длина 100 м, ширина – 25 м, площадь 2500 м^2, объем 7500 м^3, мощность 3 м. Активность опасного ЭГП на момент обследования 60%. Комплексы и состав горных пород, затронутых проявлением: суглинки, глины N. Базис развития опасного ЭГП: пойма реки. Факторы активизации опасного ЭГП: атмосферные осадки.		
20-11-00255	Северо-Кавказский	Чеченская Республика	Ножай - Юртовский район, автодорога с.Шуани – с.Саясан 3,30км	43,06705	46,27333	00.06.24	не завершилась	Оп	атм.	Отмечалось	Отмечалась активизация оползневого процесса в Ножай - Юртовском районе, автодорога с.Шуани -с.Саясан 3,30 км. Признаки активизации: обрыв стенки уступа. Параметры оползня длина 60 м, ширина 35 м, площадь 2100 м^2, объем 3150 м^3, мощность 3 м; параметры активной части - длина 15 м, ширина 10 м, площадь 150 м^2, объем 150 м^3, мощность 1 м. Активность опасного ЭГП на момент обследования 7%. Комплексы и состав горных пород, затронутых проявлением: суглинки, глины N. Базис развития опасного ЭГП: пойма реки. Факторы активизации опасного ЭГП: атмосферные осадки. Активизация оползня привела к разрушению обочины дороги с покрытием длиной 10 м, шириной 3 м.		
20-11-00572	Северо-Кавказский	Чеченская Республика	Ножай - Юртовский район, с.Энгеной	43,01772	46,29211	00.06.24	не завершилась	Оп	атм.	Не отмечалось	Отмечалась активизация оползневого процесса в Ножай - Юртовском районе, с.Энгеной. Признаки активизации: обрушение стенки уступа. Параметры оползня: длина 80 м, ширина – 70 м, площадь 5600 м^2, объем 16800 м^3, мощность 3 м; параметры активной части - длина 50 м, ширина 20 м, площадь 1000 м^2, объем 3000 м^3, мощность 3 м. Активность опасного ЭГП на момент обследования 54%. Комплексы и состав горных пород, затронутых проявлением: суглинки, глины Q_{IV}-N. Базис развития опасного ЭГП: пойма реки. Факторы активизации опасного ЭГП: атмосферные осадки.		
20-11-00158	Северо-Кавказский	Чеченская Республика	Ножай - Юртовский район, автодорога с.Беной – с.Айти-Мохк – 6,59	43,03159	46,2979	00.07.24	не завершилась	Оп	атм.	Отмечалось	Отмечалась активизация оползневого процесса в Ножай - Юртовском районе, автодорога с.Беной – с.Айти-Мохк – 6,59 км. Признаки активизации: обрушение стенки уступа. Параметры оползня - длина 15 м, ширина 80 м, площадь 1200 м^2, объем 1200 м^3, мощность 1 м. Активность опасного ЭГП на момент обследования 100%. Комплексы и состав горных пород, затронутых проявлением: суглинки, глины Q_{IV}-N. Базис развития опасного ЭГП: пойма реки. Факторы активизации опасного ЭГП: атмосферные осадки. Активизация оползня привела к разрушению обочины дороги с покрытием длиной 30 м, шириной 1 м.		
20-11-00588	Северо-Кавказский	Чеченская Республика	Ножай - Юртовский район, автодорога с.Беной – с.Айти-Мохк – 6,31	43,05937	46,30846	00.06.24	не завершилась	Оп	атм.	Не отмечалось	Отмечалась активизация оползневого процесса в Ножай - Юртовском районе, автодорога с.Беной – с.Айти-Мохк – 6,31 км. Признаки активизации: обрушение стенки уступа. Параметры оползня - длина 10 м, ширина 25 м, площадь 250 м^2, объем 750 м^3, мощность 3м. Активность опасного ЭГП на момент обследования 100%. Комплексы и состав горных пород, затронутых проявлением: суглинки, глины Q_{IV}-N. Базис развития опасного ЭГП: тальвег ложбины. Факторы активизации опасного ЭГП: атмосферные осадки.	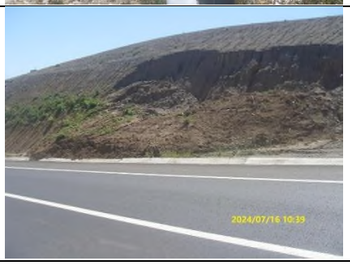	

20-11-00589	Северо-Кавказский	Чеченская Республика	Ножай - Юртовский район, автодорога с.Беной – с.Айти-Мохк – 5,51	43,02454	46,29548	00.06.24	не завершилась	Оп	атм.	Не отмечалось	Отмечалась активизация оползневого процесса в Ножай - Юртовском районе, автодорога с.Беной – с.Айти-Мохк – 5,51 км. Признаки активизации: образование уступа. Параметры оползня- длина 20 м, ширина 15 м, площадь 300 м^2, объем 600 м^3, мощность 2 м. Активность опасного ЭГП на момент обследования 100%. Комплексы и состав горных пород, затронутых проявлением: суглинки, глины Q_{IV}-N. Базис развития опасного ЭГП: полка дороги. Факторы активизации опасного ЭГП: атмосферные осадки.		
20-11-00591	Северо-Кавказский	Чеченская Республика	Ножай - Юртовский район, автодорога с.Булгат-Ирзу – с.Алхан-Хутор – 0,8км	42,97620	46,36043	00.06.24	не завершилась	Оп	атм.	Отмечалось	Отмечалась активизация оползневого процесса в Ножай - Юртовском районе, автодорога с.Булгат-Ирзу – с.Алхан-Хутор – 0,8км. Признаки активизации: образование уступа. Параметры оползня- длина 15 м, ширина 20 м, площадь 300 м^2, объем 300 м^3, мощность 1 м. Активность опасного ЭГП на момент обследования 100%. Комплексы и состав горных пород, затронутых проявлением: суглинки, глины N. Базис развития опасного ЭГП: полка дороги. Факторы активизации опасного ЭГП: атмосферные осадки. Активизация оползня привела к разрушению обочины дороги с покрытием длиной 20 м, шириной 3 м.		
20-11-00592	Северо-Кавказский	Чеченская Республика	Ножай - Юртовский район, автодорога с.Булгат-Ирзу – с.Алхан-Хутор – 0,39км	42,97542	46,36591	00.06.24	не завершилась	Оп	атм.	Не отмечалось	Отмечалась активизация оползневого процесса в Ножай - Юртовском районе, автодорога с.Булгат-Ирзу – с.Алхан-Хутор – 0,39км. Признаки активизации: образование уступа. Параметры оползня- длина 20 м, ширина 10 м, площадь 200 м^2, объем 200 м^3, мощность 1 м. Активность опасного ЭГП на момент обследования 100%. Комплексы и состав горных пород, затронутых проявлением: суглинки, глины N. Базис развития опасного ЭГП: пойма реки. Факторы активизации опасного ЭГП: атмосферные осадки.		
20-11-00590	Северо-Кавказский	Чеченская Республика	Ножай - Юртовский район, автодорога с.Беной	42,97178	46,28092	00.05.24	не завершилась	Оп	атм.	Отмечалось	Отмечалась активизация оползневого процесса в Ножай - Юртовском районе, автодорога с.Беной. Признаки активизации: образование уступа. Параметры оползня- длина 10 м, ширина 30 м, площадь 300 м^2, объем 300 м^3, мощность 1 м. Активность опасного ЭГП на момент обследования 100%. Комплексы и состав горных пород, затронутых проявлением: суглинки, глины N. Базис развития опасного ЭГП: тальвег ложбины. Факторы активизации опасного ЭГП: атмосферные осадки. Активизация оползня привела к разрушению обочины дороги с покрытием длиной 5 м, шириной 1 м.		
26-11-00039	Северо-Кавказский	Ставропольский край	ст. Каменнобродская Изобильнен-ского района, левый борт р. Егорлык	45,17136	41,52049	00.03.24	00.06.24	Оп	Атм, гидрогеол	Не отмечалось	Отмечалась активизация оползневого процесса в ст. Каменнобродская Изобильненского района. Смещения на локальном участке 10×20 м в правой части оползня. Параметры проявления: длина – 32 м, ширина – 158 м, площадь – 3465 м^2. Параметры активной части: длина – 10 м, ширина – 30 м, площадь – 200 м^2. Факторы активизации опасного ЭГП: 1. Атмосферные осадки; 2. Речная боковая эрозия. Стадия развития. Комплексы горных пород, затронутые проявлением: dpQ_4; aQ. Состав горных пород затронутые проявлением: Делювиально-пролювиальные четвертичные суглинки; аллювиальные континентальные отложения: пески, гравий суглинки, слоистые глины. Базис развития ОЭГП: Русло р. Егорлык. Мероприятий инженерной защиты не проводилось.		
26-11-00041	Северо-Кавказский	Ставропольский край	ст. Каменнобродская Изобильнен-ского района, правый борт р. Егорлык.	45,16145	41,52777	00.03.24	00.06.24	Оп	Атм, гидрогеол,	Не отмечалось	Отмечалась активизация оползневого процесса в ст. Каменнобродская Изобильненского района. Смещения на локальном участке активизации в правой части оползня. Параметры проявления: длина – 35 м, ширина – 220 м, площадь – 8600 м^2. Параметры активной части: длина - 10м, ширина – 30 м, площадь – 300 м^2. Факторы активизации опасного ЭГП: 1. Атмосферные осадки; 2. Речная боковая эрозия. Стадия развития. Комплексы горных пород, затронутые проявлением: dpQ4; aQ. Состав горных пород затронутые проявлением: Делювиально-пролювиальные четвертичные суглинки; аллювиальные континентальные отложения: пески, гравий суглинки, слоистые глины. Базис развития ОЭГП: Русло р. Егорлык. Мероприятий инженерной защиты не проводилось.		

26-11-00118	Северо-Кавказский	Ставропольский край	ст. Каменнобродская Изобильнен-ского района, правый борт р. Егорлык.	45,18220	41,52019	00.03.24	00.06.24	Оп	Атм, гидрогеол	Не отмечалось	Отмечалась активизация оползневого процесса в ст. Каменнобродская Изобильненского района. Смещения в правой части на участке 10×25м, в результате интенсивной речной эрозии в весенний период. Параметры проявления: длина – 30 м, ширина – 100 м, площадь – 1000 м^2. Параметры активной части: длина - 10м, ширина - 25м, площадь - 250м^2. Факторы активизации опасного ЭГП: 1. Атмосферные осадки; 2. Речная боковая эрозия. Стадия развития. Комплексы горных пород, затронутые проявлением: dpQ$_4$; aQ. Состав горных пород затронутые проявлением: Делювиально-пролювиальные четвертичные суглинки; аллювиальные континентальные отложения: пески, гравий суглинки, слоистые глины. Базис развития ОЭГП: Русло р. Егорлык. Мероприятий инженерной защиты не проводилось.			
26-11-000498	Северо-Кавказский	Ставропольский край	с. Надежда, Шпаковский муници-пальный округ, правый борт реки Мутнянка.	45,04846	42,07648	00.02.24	00.04.24	Оп	Атм, гидрол,	Не отмечалось	Отмечалась активизация оползневого процесса в с. Надежда, Шпаковского муниципального округа. Свежие смещения на уч. 10×20 м в правом борту реки Мутнянка, в результате интенсивной речной эрозии в весенний период. Параметры проявления ОЭГП: длина – 10 м, ширина – 20 м, площадь – 200 м^2. Параметры активной части: длина – 10 м, ширина – 20 м, площадь – 200 м^2. Факторы активизации: 1. Атмосферные осадки; 2. Речная боковая эрозия; Стадия развития. Комплексы горных пород, затронутые проявлением: dpQ$_4$; $N_1^3S_1$sd. Состав горных пород затронутые проявлением: Делювиально-пролювиальные четвертичные суглинки, глины синдесмиевой свиты. Базис развития опасного ЭГП: Русло р. Мутнянка. Мероприятий инженерной защиты не проводилось.			
26-11-00144	Северо-Кавказский	Ставропольский край	Ленинский район г. Ставрополя, правый борт реки Мутнянка.	45,04749	42,07083	00.02.24	00.05.24	Оп	Атм, гидрол.	Не отмечалось	Отмечалась активизация оползневого процесса в Ленинском районе г. Ставрополя. Смещения в левой части оп. на уч. 10×10м, свежие трещины. Язык оползня эродируется р. Мутнянка. Параметры проявления ОЭГП: длина – 20 м, ширина – 40 м, площадь – 420 м^2. Параметры активной части: длина – 10 м, ширина – 10 м, площадь – 100 м^2. Факторы активизации: 1. Атмосферные осадки; 2. Речная боковая эрозия; Стадия развития. Комплексы горных пород, затронутые проявлением: dpQ$_4$; $N_1^3S_1$sd. Состав горных пород затронутые проявлением: Делювиально-пролювиальные четвертичные суглинки, глины синдесмиевой свиты. Базис развития опасного ЭГП: Русло р. Мутнянка. Мероприятий инженер-ной защиты не проводилось.			
26-11-00023	Северо-Кавказский	Ставропольский край	Ленинский район г. Ставрополя, правый борт реки Мутнянка	45,04687	42,06947	00.02.24	00.05.24	Оп	Атм, гидрогеол, техн, гидрол.	Не отмечалось	Отмечалась активизация оползневого процесса в Ленинском районе г. Ставрополя. Смещения средней интенсивности в левой части оползня на локальном участке. Параметры проявления ОЭГП: длина – 50 м, ширина – 180 м, площадь – 9100 м^2. Параметры активной части: длина – 40 м, ширина – 40 м, площадь – 1600 м^2. Факторы активизации ОЭГП: 1. Атмосферные осадки; 2. Увлажнение оползневых отложений грунтовыми водами; 3. Боковая эрозия водотока, 4. Техногенный. Стадия развития. Комплексы горных пород, затронутые проявлением: dpQ$_4$; $N_1^3S_2$sd. Состав горных пород затронутые проявлением: Делювиально-пролювиальные четвертичные суглинки, глины синдесмиевой свиты. Базис развития ОЭГП: Русло р. Мутнянки. Защитные сооружения отсутствуют.			

26-11-00024	Северо-Кавказский	Ставропольский край	Ленинский район г. Ставрополя, правый борт реки Мутнянка	45,04718	42,06591	00.02.24	00.05.24	Оп	Атм, гидрол.	Не отмечалось	Отмечалась активизация оползневого процесса в Ленинском районе г. Ставрополя. Смещения в пределах оползня на площади около 30%. Параметры проявления ОЭГП: длина – 12 м, ширина – 50 м, площадь – 600 м^2. Параметры активной части: площадь – 180 м^2. Факторы активизации ОЭГП: 1. Атмосферные осадки; 2. Боковая эрозия водотока. Стадия развития. Комплексы горных пород, затронутые проявлением: dpQ_4; $N_1^3s_2sd$. Состав горных пород затронутые проявлением: Делювиально-пролювиальные четвертичные суглинки, глины синдесмиевой свиты. Базис развития ОЭГП: Русло р. Мутнянки. Защитные сооружения отсутствуют.			
26-11-00499	Северо-Кавказский	Ставропольский край	Ленинский р-н г. Ставрополя, правый борт реки Мутнянка	45,04718	42,06591	00.02.24	00.05.24	Оп	Атм, гидрогеол, гидрол.	Не отмечалось	Отмечалась активизация оползневого процесса в Ленинском районе г. Ставрополя. Смещения в правом береговом откосе на участке 10×20м в следствии береговой эрозии р.Мутнянка. Параметры проявления ОЭГП: длина – 10 м, ширина – 20 м, площадь – 200 м^2. Параметры активной части: площадь – 200 м^2. Факторы активизации ОЭГП: 1. Атмосферные осадки; 2. Увлажнение оползневых отложений грунтовыми водами; 3. Боковая эрозия водотока. Стадия развития. Комплексы горных пород, затронутые проявлением: dpQ_4; $N_1^3s_2sd$. Состав горных пород затронутые проявлением: Делювиально-пролювиальные четвертичные суглинки, глины синдесмиевой свиты. Базис развития ОЭГП: Русло р. Мутнянки. Защитные сооружения отсутствуют.			
26-11-00028	Северо-Кавказский	Ставропольский край	Ленинский район г. Ставрополя, левый борт реки Мутнянка	45,04635	42,05258	00.02.24	00.05.24	Оп	Атм, гидрол,	Не отмечалось	Отмечалась активизация оползневого процесса в Ленинском районе г. Ставрополя. Активизация средней интенсивности на участке активизации прошлых лет. Параметры проявления ОЭГП: длина – 35 м, ширина – 55 м, площадь – 1300 м^2. Параметры активной части: длина – 10 м, ширина – 25 м, площадь – 250 м^2. Факторы активизации ОЭГП: 1. Атмосферные осадки; 2. Боковая эрозия водотока. Стадия развития. Комплексы горных пород, затронутые проявлением: dpQ_4; $N_1^3s_2sd$. Состав горных пород затронутые проявлением: Делювиально-пролювиальные четвертичные суглинки, глины синдесмиевой свиты. Базис развития ОЭГП: Русло р. Мутнянки. Защитные сооружения отсутствуют.			
26-11-00030	Северо-Кавказский	Ставропольский край	Ленинский район г. Ставрополя, правый борт реки Мутнянка	45,04521	42,05101	00.02.24	00.05.24	Оп	Атм, гидрогеол, гидрол.	Не отмечалось	Отмечалась активизация оползневого процесса в Ленинском районе г. Ставрополя. Смещения средней интенсивности на локальном участке, в правой части оползня. Параметры проявления ОЭГП: длина – 50 м, ширина – 470 м, площадь – 27760 м^2. Параметры активной части: длина - 30м, ширина – 30 м, площадь – 900 м^2. Факторы активизации ОЭГП: 1. Атмосферные осадки; 2. Боковая эрозия водотока; 3. Увлажнение оползневых отложений грунтовыми водами. Стадия развития. Комплексы горных пород, затронутые проявлением: dpQ_4; $N_1^3s_2sd$; $N_1^3s_2sd$. Состав горных пород затронутые проявлением: Делювиально-пролювиальные четвертичные суглинки, известковистые породы мамайского горизонта, глины синдесмиевой свиты. Базис развития ОЭГП: Русло р. Мутнянки. Защитные сооружения отсутствуют.			

26-11-00043	Северо-Кавказский	Ставропольский край	с. Ивановское Кочубеевского района, левый берег р.Б.Зеленчук	44,54901	41,84037	00.04.24	00.07.24	Оп	Атм, гидрогеол, гидрол.	Не отмечалось	Отмечалась активизация оползневого процесса в с. Ивановское Кочубеевского района. Смещения низкой интенсивности на двух локальных участках в центральной и левой частях оползня. Параметры проявления ОЭГП: длина – 50 м, ширина – 250 м, площадь – 8440 м^2. Параметры активной части: общая площадь – 550 м^2. Факторы активизации ОЭГП: 1. Атмосферные осадки; 2. Увлажнение оползневых отложений грунтовыми водами; 3. Боковая эрозия водотока. Стадия развития. Комплексы горных пород, затронутые проявлением: dpQ_4; aQ; $N1^1mk$. Состав горных пород затронутые проявлением: Делювиально-пролювиальные четвертичные суглинки, аллювий террас р. Кубани (галечники, валуны, пески, гравий, суглинки), глины майкопской серии. Базис развития ОЭГП: русло р.Большой Зеленчук. Защитные сооружения отсутствуют.		
26-11-00467	Северо-Кавказский	Ставропольский край	в 5,8 км. восточнее от восточной окраины п.Новоспицевский Грачевского района Ставропольского края	45,10464	42,72757	00.02.24	00.08.24	Оп	Атм, гидрогеол, гидрол.	Не отмечалось	Отмечалась активизация оползневого процесса в 5,8 км. восточнее от восточной окраины п.Новоспицевский Грачевского района. Смещения средней интенсивности у основания откоса на двух локальных участках 10×25м, 10×20м в центральной и левой частях оползня Параметры проявления ОЭГП: длина – 20 м, Ширина – 210 м, площадь – 2900 м^2. Параметры активной части: общая площадь – 450 м^2. Факторы активизации опасного ЭГП: 1. Атмосферные осадки; 2. Речная боковая эрозия, 3. Увлажнение оползневых отложений грунтовыми водами. Стадия развития. Комплексы горных пород, затронутые проявлением: aQ; dpQ_4; $N_1^3s_2sr$. Состав горных пород затронутые проявлением: Делювиально-пролювиальные четвертичные суглинки; отложения криптомактровых слоев среднего сармата: глины с редкими прослоями мергелей, аллювиальные континентальные отложения: пески, гравий суглинки, глины слоистые. Базис развития опасного ЭГП: русло р.Калаус. Защитные сооружения отсутствуют.		
02-11-00005	Приволжский	Республика Башкортостан	Бурзянский район, на въезде в д. Мурадымово	53,3375	57,53278	03.08.24	04.08.24	Оп	Атм.	Отмечалось	По информации СМИ, поток горной массы сошел на автомобильную трассу на въезде в д. Мурадымово в Бурзянском районе. Параметры оползня-потока: ширина-7м, длина смещения 20-30м, площадь 175 м^2. Породы, затронутые проявлением, верхний слой горных пород - четвертичные суглинки (Q).Возраст проявления опасного ЭГП – современный. Основной фактор активизации - обильные атмосферные осадки. Оползневые массы перекрыли проезжую часть автомобильной трассы д. Мурадымово - с. Байназарово, движение было приостановлено. Режим ЧС введен не был.		
02-05-00200	Приволжский	Республика Башкортостан	Уфимский район, с.Булгаково ул. Школьная, д.6	54,4975	55,89333	30.07.24	01.08.24	Ка	Атм.;Гидрогеол.	Отмечалось	По информации СМИ, 30.07.24 г. в с. Булгаково по ул. Школьная, д,6 Уфимского района по правобережью надпойменной террасы долины р.Уршак, в 150 м от пересыхающего лога образовался карстовый провал диаметром 10 м и глубиной 7-8 м. Площадь провала – 80 м^2. Породы, затронутые проявлением - суглинки (aQ, N_2). Основным фактором активности карстового процесса послужили обильные осадки и повышение уровня подземных вод. Провал образовался в огороде, находится в 20 м от хозяйственных построек и в 50 м от жилых домов. Режим ЧС введен не был.		

02-05-00208	Приволжский	Республика Башкортостан	Мишкинский район, с. Янагушево	55,37383	56,04127	00.04.24	Не завершилась	Ка	Атм.;Гидрогеол.	Не отмечалось	Активное проявление карста по результатам обследования выявлено в Мишкинском района с. Янагушево, на пересечении улиц Блюхера и Гагарина. Карстовая воронка овальной формы длиной 19 м и шириной 13м. Глубина по активному борту (ЮЗ) - 6 м. Активность выражается в сползании бортов в ЮЗ направлении. Породы, затронутые проявлением, песчанистые суглинки (N). Основные факторы активизации – атмосферные осадки, интенсивное таяние снега, уровень подземных вод. На момент обследования активность низкая. Воронка в 1 м от опоры ЛЭП и в 5,10 м от электрического трансформатора.		
02-05-00213	Приволжский	Республика Башкортостан	Мишкинский район, с. Янагушево	55,36679	56,03927	00.04.24	Не завершилась	Ка	Атм.;Гидрогеол.	Не отмечалось	Карстовый процесс активен на ЮЗ окраине села Янагушево. Карстовая воронка овальной формы длиной 12,3 м и шириной 10 м, глубина по активному ЮЗ борту, приблизительно, 8 м. Активность выражается в сползании ЮЗ борта (борт не задернован, отвесный, осыпается). Процессы развиваются в нижнепермских отложениях. Породы, затронутые проявлением, песчанистые суглинки с включением щебня известняка (N). Основные факторы активизации – атмосферные осадки, интенсивное таяние снега, уровень подземных вод.Воронка в 2 м от грунтовой дороги. На момент обследования активность низкая.		
02-05-00216	Приволжский	Республика Башкортостан	Мишкинский район, с. Янагушево	55,36707	56,0371	00.05.24	Не завершилась	Ка	Атм.	Не отмечалось	Активизация карстового процесса выявлена в южной части села Янагушево в Мишкинском районе. Наблюдаются свежие срывы и сползание грунта по северному борту дочерней воронки древнего карстового образования. Параметры воронки – диаметр 8 м, глубина по СЗ борту 6 м. Процессы развиваются в нижнепермских отложениях. Литологический состав пород, затронутые проявлением, суглинки (N), известняк (P1u). Основные факторы активизации – метеорологические. На момент обследования активность низкая. Развитие процесса ведет к сокращению земель населенных пунктов.		
02-05-00237	Приволжский	Республика Башкортостан	Мишкинский район, с. Новотроицкое	55,77657	56,21334	00.08.24	Не завершилась	Ка	Атм.	Не отмечалось	Карстовый провал выявлен в лесном массиве в 2,5 км СВ от северной окраины с. Новотроицкое в Мишкинском районе. Провал обнаружен в августе 2023 г. На момент обследования параметры в плане 34 х 36 м. Отмечено сползание З и СЗ бортов вследствие интенсивных осадков в летний период текущего года. Вероятно, по СВ борту имеется понор, борт отвесный. Провал заполнен водой до глубины 3,8 м от поверхности земли. Литологический состав пород, затронутых проявлением – песчаник в переслаивании с известняком (P1u).Факторы активизации атмосферные осадки. Активность на момент обследования низкая. Негативных воздействий не отмечено.		

02-22-00208	Приволжский	Республика Башкортостан	Чишминский район, с. Теперишево	54,33002	55,41123	20.07.24	Не завершилась	Эо	Атм.	Не отмечалось	Эрозионный процесс активизировался на СЗ окраине с. Теперишево в Чишминском районе. Параметры эрозионной промоины по левому склону оврага – длина 5,45 м, ширина 3,35 м. Активность выразилась в росте вершины промоины на 0,45 м и ширины на 0,35 м. Эрозионный процесс размыл почвенно-растительный слой (Q_{IV}) и углубляется в алевролиты (P1u). Базис эрозии – днище основного оврага. Факторы активизации - атмосферные осадки. Негативных воздействий не отмечено. Эрозионная промоина в 42 м от изгороди огородов.		
02-22-00206	Приволжский	Республика Башкортостан	Чишминский район, с. Теперишево	54,31861	55,3825	20.07.24	Не завершилась	Эо	Атм.	Не отмечалось	Вблизи с. Теперишево Чишминского района активизировался овраг, расположенный на склоне долины р. Именкул. Длина оврага - 83 м, ширина - 7-11 м, глубина 5-6 м. Процесс развивается в песчаниках нижнепермских отложений (P1 ss). Базис эрозии – пойма реки. Признаки активности - свежие отрывы пород от бровки (длина активной части 15 м), обрушение отвесных стенок, промыв грунта под соломой в вершине оврага, углубление по тальвегу оврага, активность оврага средняя и составила 18%. Факторы активизации - атмосферные осадки. Развитие процесса ведет к сокращению земель целевого назначения.	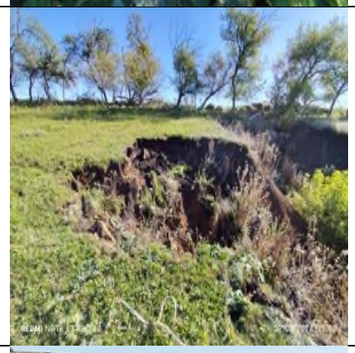	
12-22-00001	Приволжский	Республика Марий Эл	Волжский район, восточная окраина д. Курмузаково	56,14072	48,81706	00.05.24	Не завершилась	Эо	Атм.	Не отмечалось	В Волжском районе, в пределах ПН Сотнурско-Чодраяльский, на момент обследования 07.09.2024 г. у репера № 6 отмечена активизация процесса овражной эрозии по бортам оврага (свежие осыпи и сползшие блоки грунта размером до 1-2-х м, свежие следы от поверхностного водотока). Длина оврага около 50 м, глубина 10-12 м, ширина от 4-х м (в вершине) до 13 м. Фактор активизации – климатический (поверхностный сток и переувлажнение грунтов инфильтрационными водами). Литологический состав пород представлен четвертичными суглинками и пермскими глинами с прослойками известняка. Сохраняется потенциальная угроза застройке д. Курмузаково.		
12-22-00003	Приволжский	Республика Марий Эл	Волжский район, между населенными пунктами Петьял и Бол. Сосновка	56,10328	48,67788	00.05.24	Не завершилась	Эо	Атм.	Не отмечалось	В Волжском районе, между населенными пунктами Петьял и Бол. Сосновка у репера № 4, отмечена активизация процесса овражной эрозии по бортам (свежие осыпи грунта, в вершине проседание почвы, глубокая ниша до 1.5 м, обнажившиеся корни деревьев) Вершина оврага в виде цирка размером 4х4 м, глубиной 4,5 м, стенки отвесные. В зоне воздействия земли лесного фонда. Фактор активизации – климатический (поверхностный сток и переувлажнение грунтов инфильтрационными водами). Литологический состав пород представлен четвертичными суглинками и пермскими глинами с прослойками известняка.		

12-22-00006	Приволжский	Республика Марий Эл	Моркинский район, 0,2 км юго-западнее д. Ишли-Пичуш	56,39752	49,38592	00.05.24	Не завершилась	Эо	Атм.	Не отмечалось	В Моркинском районе, 0,2 км юго-западнее д. Ишли-Пичуш, у репера № 9. Отмечена незначительная активизация процесса овражной эрозии: сползание отколовшихся блоков грунта в вершине и по бортам оврага. Расстояние до вершины оврага 14,8 м. В зоне воздействия опора ЛЭП. Фактор активизации – климатический (поверхностный сток и переувлажнение грунтов инфильтрационными водами). Литологический состав пород представлен четвертичными суглинками. Сохраняется угроза дальнейшего обрушения вершины оврага в сторону опоры ЛЭП.		
12-22-00008	Приволжский	Республика Марий Эл	Моркинский район, 0,2 км северо-восточнее д. Макаркино	56,36507	49,30594	00.05.24	Не завершилась	Эо	Атм.	Не отмечалось	В Моркинском районе, 0,2 км северо-восточнее д. Макаркино, у репера № 22 отмечена незначительная активизация процесса овражной эрозии по вершине и по бортам (в вершине ниша глубиной 0,2 м, сильно нависшая бровка, свежие осыпи грунта, отколовшийся блок грунта 1,5х0.5 м) Расстояние до борта оврага 29,6 м. В зоне воздействия опора ЛЭП. Фактор активизации – климатический (поверхностный сток и переувлажнение грунтов инфильтрационными водами). Литологический состав пород представлен четвертичными суглинками. Пострадавших и разрушения в ходе активизации эрозии овражной нет.		
18-11-00028	Приволжский	Удмуртская Республика	Завьяловский район,с. Гольяны	56,76995	53,74787	00.04.24	Не завершилась	Оп	Атм.;Гидрогеол.	Не отмечалось	На стенке отрыва оползня течения – смещение блоков дерново-почвенного слоя мощностью 0,5-0,6 м и образование малых по объему оползней разжижения. Оползневой процесс развивается в склоновых средне-верхнечетвертичных делювиально-солифлюкционных суглинках перигляциальной формации. Мощность толщи около 15 м. Параметры проявления: длина 18,0 м, ширина 35,0 м, площадь - 630,0 м^2. Мощность 2,0 м, объем – около 1200 м^3. Базис развития опасного ЭГП - поверхность бечевника р. Камы – 67,0 м. Стадия развития – развитие.	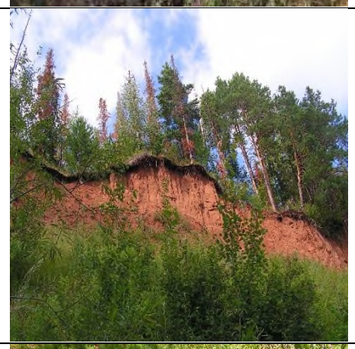	
18-11-00029	Приволжский	Удмуртская Республика	Завьяловский район,с. Гольяны	56,76983	53,74811	00.04.24	Не завершилась	Оп	Атм.;Гидрогеол.	Не отмечалось	У подножия правого склона долины р. Камы в с. Гольяны образован оползень разжижения объемом около 25 м^3. Оползанию подверглись делювиально-солифлюкционные суглинки перигляциальной формации. Параметры проявления: длина 8,5 м, ширина 5,0 м, площадь - 40,0 м^2. Базис развития опасного ЭГП - поверхность бечевника р. Камы – 67,0 м. Стадия развития – развитие.		

18-22-00014	Приволжский	Удмуртская Республика	Кизнерский район, в 1,2 км севернее д. Синяр-Бодья	56,34169	51,40886	00.04. 24	Не завершилась	Эо	Атм.;Техн.	Не отмечалось	В 1,2 км севернее д. Синяр-Бодья овраг находится в стадии развития выработанного продольного профиля протяженностью 1150,0 м, шириной до 170 м, с глубиной врезания 8,0-15,0 м. Овраг выработан в четвертичных коричневых лессовидных суглинках (ds Q_{II-III}) и в глинах, алевролитах и песчаниках верхнеказанского подъяруса средней перми (P_2 kz_2) и расчленяет поверхность выравнивания на абсолютных отметках 140,0-160,0 м. Признаки глубинной эрозии присутствуют в вершинной части оврага. Базис развития опасного ЭГП - водораздельная поверхность с абсолютной отметкой (а.о.) 186,0 м. Активность опасного ЭГП на момент обследования – 50%. Стадия развития –развитие.		
18-17-00004	Приволжский	Удмуртская Республика	Кизнерский район, в 1,2 км севернее д. Синяр-Бодья	56,34183	51,40853	00.04.24	Не завершилась	Су	Атм.;Гидрогеол.	Не отмечалось	В 1,2 км севернее д. Синяр-Бодья отмечена суффозионная западина размерами 19,0х13,0 м. Глубина просадки – 6,5м. Западина сформирована в средне-верхнечетвертичных делювиально-солифлюкционных суглинках перигляциальной формации. Суффозионный процесс активизируется ежегодно, во время интенсивного снеготаяния, когда поток грунтовых вод достигает определенных градиентов, при которых осуществляется вынос в тальвег оврага алевритовых частиц. О современной активности процесса суффозии говорит наличие двух свежих суффозионных провалов в центральной части западины. Стадия развития – развитие.		
18-22-00015	Приволжский	Удмуртская Республика	Кизнерский район, д. Синяр-Бодья	56,33380	51,41405	00.04.24	Не завершилась	Эо	Атм.	Не отмечалось	Овраг в стадии развития выработанного продольного профиля протяженностью 1328,0 м, шириной до 80 м, с глубиной врезания 8,0-15,0 м. Овраг выработан в четвертичных коричневых лессовидных суглинках (ds Q_{II-III}) и в глинах, алевролитах и песчаниках верхнеказанского подъяруса средней перми (P_2 kz_2) и расчленяет поверхность выравнивания на абсолютных отметках 140,0-160,0 м. Активность оврага связана с концентрированным стоком поверхностных вод, поступающих в его вершину по ложбине стока. Базис развития опасного ЭГП - водораздельная поверхность с абсолютной отметкой (а.о.) 188,0 м. Активность опасного ЭГП на момент обследования – 50%.		
18-11-00031	Приволжский	Удмуртская Республика	Кизнерский район,с. Крымская Слудка	56,00225	51,42189	00.04.24	Не завершилась	Оп	Атм.	Не отмечалось	В Кизнерском районе с. Крымская Слудка оползневая трещина растяжения, описанная в 2023 г., трансформировалась в трещину сдвига со смещением низового плеча до 1,4 м. Протяженность трещины составляет 48,0 м. Трещина ограничивает блок песчаных грунтов шириной 4,0-5,0 м. Состав горных пород: аллювий третьей надпойменной террасы – горизонтально-слоистые буровато-коричневые пески. Протяженность трещины – 48,0 м. Базис развития опасного ЭГП абс. отм. 75,0 м. Активность опасного ЭГП на момент обследования – 100%		

18-11-00032	Приволжский	Удмуртская Республика	Кизнерский район,с. Крымская Слудка	56,00261	51,42053	00.04.24	Не завершилась	Оп	Атм.;Гидрол.	Не отмечалось	В Кизнерском районе с. Крымская Слудка во время обследования обнаружено развитие многочисленных трещин сдвига и растяжения. Состав горных пород: аллювий третьей надпойменной террасы – горизонтально-слоистые буровато-коричневые пески. Параметры проявления: длина 320,0 м, ширина 68,0м, площадь -21000 м^2. Мощность до 10,0м, Объем – около 120000 м^3. Базис развития опасного ЭГП: абс. отм. 54,0м. Стадия развития – развитие. Активность опасного ЭГП на момент обследования – 80%		
18-22-00018	Приволжский	Удмуртская Республика	Кизнерский район,с. Крымская Слудка	56,00258	51,42180	00.04.24	Не завершилась	Эо	Атм.;Техн.	Не отмечалось	В Кизнерском районе с. Крымская Слудка овраг в стадии развития. Его образование связано с концентрацией жидких атмосферных осадков вдоль грунтовой автодороги, пересекающей третью надпойменную террасу. Длина оврага – 9,4 м, ширина – до 4,0 м, глубина врезания до 2,5 м. Состав горных пород: аллювий третьей надпойменной террасы – горизонтально-слоистые буровато-коричневые пески. В вершине оврага наблюдается развитие глубинной эрозии и образование малых по объему оползней течения. Активность опасного ЭГП на момент обследования – 100%. Рост вершины оврага составил 1,9 м/год.		
18-22-00019	Приволжский	Удмуртская Республика	Каракулинский район, с. Колесниково	55,96892	53,56286	00.04.24	Не завершилась	Эо	Атм.;Гидрол	Не отмечалось	В Каракулинском районе в с. Колесниково размыву подвержены склоновые средне-верхнечетвертичные делювиально-солифлюкционные отложения перигляциальной формации, представленные коричневыми лессовидными суглинками, пористыми, слабокарбонатными. Мощность толщи до 15 м. Параметры оврага: длина 143м, ширина до 27,5м, площадь – около 2000 м^2. Рост вершины оврага, кроме глубинной эрозии, связан также с процессами обваливания и осыпания. Базис развития опасного ЭГП: водораздельная поверхность – 103,0м. Стадия развития – развитие. Активность опасного ЭГП на момент обследования – 90%		
18-11-00037	Приволжский	Удмуртская Республика	Каракулинский район, с. Колесниково	55,96453	53,56069	00.04.24	Не завершилась	Оп	Атм.;Гидроге ол.	Не отмечалось	Оползень вязкопластического течения. Сформирован в склоновых средне-верхнечетвертичных делювиально-солифлюкционных коричневых суглинках. У стенок отрыва оползней происходило поверхностное смещение суглинистого грунта. Параметры проявления: длина 18,0 м, ширина 23,0 м, площадь - 400 м^2. Мощность 2,0-2,5м, объем – около 900 м^3. Базис развития - 105,0 м. Активность опасного ЭГП на момент обследования – 30%. Стадия развития – активное развитие.		

18-11-00038	Приволжский	Удмуртская Республика	Каракулинский район, с. Колесниково	55,96444	53,56108	00.04.24	Не завершилась	Оп	Атм.;Гидрогеол.	Не отмечалос	В Каракулинском районе в с. Колесниково оползень разжижения образован весной 2024 г в результате локального переувлажнения четвертичных суглинков. Протяженность оползневого тела – 28,0 м, объем – около 300 м^3. Сформирован в склоновых средне-верхнечетвертичных делювиально-солифлюкционных коричневых суглинках. Отмечены оползавния пород по бортам оврага. Базис развития - 105,0 м. Активность опасного ЭГП на момент обследования – 40%. Стадия развития – активное развитие.	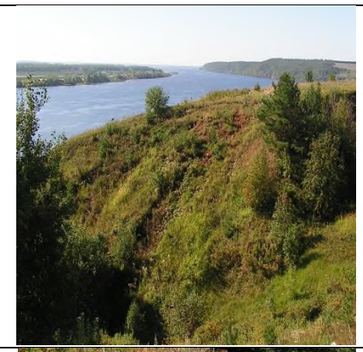	
18-11-00033	Приволжский	Удмуртская Республика	Каракулинский район, с. Чеганда	55,95936	53,54755	00.04.24	Не завершилась	Оп	Атм.	Не отмечалос	В Каракулинском районе в с. Чеганда отмечена оползневая трещина закола. Раскрытие суглинистых грунтов по трещине – до 0,1 м. Протяженность трещины – 8,6 м. Оползневой процесс развивается в склоновых средне-верхнечетвертичных делювиально-солифлюкционных суглинках перигляциальной формации. Мощность толщи около 10м. Базис развития опасного ЭГП - поверхность выравнивания – а.о. 90,0 м. Стадия развития – развитие.		
18-11-00034	Приволжский	Удмуртская Республика	Каракулинский район, с. Чеганда	55,95917	53,55086	00.04.24	Не завершилась	Оп	Атм.	Не отмечалос	В Каракулинском районе в с. Чеганда зафикисрована оползневая трещина закола. Раскрытие суглинистых грунтов по трещине – до 0,1 м. Протяженность трещины – 12,8 м. Оползневой процесс развивается в склоновых средне-верхнечетвертичных делювиально-солифлюкционных суглинках перигляциальной формации. Мощность толщи около 10м. Базис развития опасного ЭГП - поверхность с абс.отм. - 80,0 м. Стадия развития – развитие.		
18-11-00035	Приволжский	Удмуртская Республика	Каракулинский район, с. Чеганда	55,96010	53,55094	00.04.24	Не завершилась	Оп	Атм.	Не отмечалос	В Каракулинском районе в с. Чеганда на левом склоне оврага, расчленяющего правый склон долины р. Камы формируются оползни вязкопластического течения с глубиной захвата 0,8-1,0 м, объемом 5-10 м^3, которые образуют единый оползневой шлейф. Оползневой процесс развивается в склоновых средне-верхнечетвертичных делювиально-солифлюкционных суглинках перигляциальной формации. Протяженность фрагмента склона, подверженного оползанию – 47,0 м, объем оползневых масс около 1100 м^3. Базис развития - тальвег оврага. Стадия развития – развитие.		

18-22-00023	Приволжский	Удмуртская Республика	Каракулинский район, с. Галаново	56,14219	54,10250	00.04.24	Не завершилась	Эо	Атм.Гидрогел.	Не отмечалось	Овраг протяженностью 61,0 м, находящийся в стадии развития выработанного продольного профиля. В горизонтальном направлении в поверхность выравнивания овраг врезан на 32,5 м. Размыву подвержены коренные красноцветные глины с прослоями алевролитов и серых мергелей верхнеказанского подъяруса (P_2kz_2), перекрытые маломощным чехлом суглинков перигляциальной формации (ds Q_{III}) мощностью до 1,0 м. Глубина вертикального врезания – до 8,0 м. Базис развития - 123,0 м (водораздельная поверхность). Стадия развития –развитие.		
18-22-00024	Приволжский	Удмуртская Республика	Каракулинский район, с. Галаново	56,14181	54,09842	00.04.24	Не завершилась	Эо	Атм.Гидрогел.	Не отмечалось	Овраг с выработанным продольным профилем. Размыву подвержены коренные красноцветные глины и алевролиты верхнеказанского подъяруса средней перми. Протяженность оврага – 390,0 м, ширина – до 55,0 м, максимальная глубина врезания – 15,0 м. На левом борту оврага, на отрезке протяженностью 37,5 м наблюдается развитие процесса плоскостного смыва. Стадия развития – затухание.	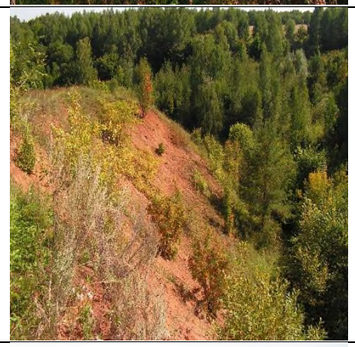	
18-11-00041	Приволжский	Удмуртская Республика	Увинский район,с. Нылга	56,75575	52,37386	00.04.24	Не завершилась	Оп	Атм.Гидрол.	Не отмечалось	В с. Нылга Увинского района во время весеннего половодья 2024 г. в аллювии высокой поймы был образован новый оползень вязкопластического течения. Состав горных пород: аллювиальные нижнеголоценовые серые супеси и суглинки видимой мощностью до 2,5 м. Размеры оползневого тела в плане – 10,5х9,7 м, глубина захвата – 2,5 м, объем около 250 $м^3$. Язык оползня погружен в речной поток, в настоящее время происходит размыв оползневых масс и медленное их смещение вниз по уступу. Базис развития опасного ЭГП: - 107,0м (урез р. Нылги). Стадия развития – развитие. Активность опасного ЭГП на момент обследования – 70%.		
21-22-00028	Приволжский	Чувашская Республика	Козловский мун. округ, восточная окраина д. Кугеево	55,85751	47,92623	10.07.24	Не завершилась	Эо	Гидрогеол.	Не отмечалось	Козловский мун. округ, восточная окраина д. Кугеево. Длина активной части оврага 20 м: происходит оплывание и осыпание бортов оврага. Обнажены породы четвертичных и пермских отложений, представленные песками, суглинками и известняками. Базис развития – русло р. Большой Аниш. Признаки активности – свежие отрывы пород от бровки. Овраг средней активности. Основной фактор активизации гидрогеологический.		

21-22-00031	Приволжский	Чувашская Республика	Козловский мун. округ, западнее д. Баланово	55,82615	47,99932	10.07.24	Не завершилась	Эо	Гидрогеол.	Не отмечалось	Козловский мун. округ, западнее д. Баланово. Длина активной части оврага 180 м. Обнажены породы четвертичных и пермских отложений, представлены песчаниками, суглинками, известняками. Базис развития: устье оврага. Признаки активности – активная вершина оврага, обнаженные оплывающие склоны оврага. Основной фактор активизации гидрогеологический.		
21-22-00032	Приволжский	Чувашская Республика	Козловский мун. округ, западнее д. Баланово	55,82457	48,00268	10.07.24	не завершилась	Эо	Гидрогеол.	Не отмечалось	Козловский мун. округ, западнее д. Баланово. Длина активной части оврага 30 м. Обнажены породы четвертичных и пермских отложений представлены песчаниками, суглинками, известняками. Базис развития – устье оврага. Признаки активности – растущая вершина оврага, обнаженные отвесные склоны оврага. Овраг низко активный. Основной фактор активизации гидрогеологический.	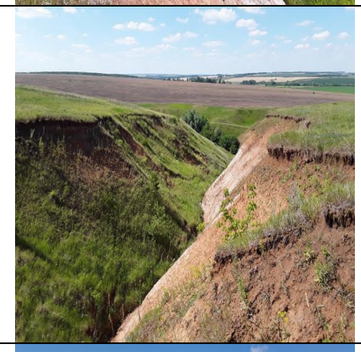	
21-22-00033	Приволжский	Чувашская Республика	Козловский мун. округ, восточная окраина д. Мал. Бишево	55,83823	48,01676	10.07.24	не завершилась	Эо	Гидрогеол.	Не отмечалось	Козловский мун. округ, восточная окраина д. Мал. Бишево. Длина активной части оврага 120 м. Обнажены породы четвертичных и пермских отложений представлены песками, суглинками, известняками. Базис развития: устье. Признаки активности – обнаженные склоны оврага. Овраг средне активный. Основной фактор активизации гидрогеологический.	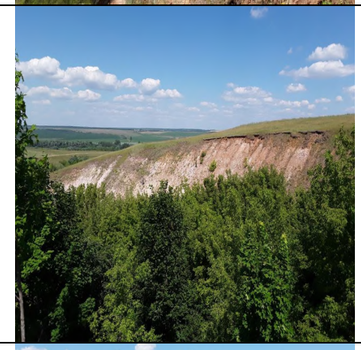	
21-22-00034	Приволжский	Чувашская Республика	Козловский мун. округ, восточная окраина д. Мал. Бишево	55,83637	48,01758	10.07.24	не завершилась	Эо	Гидрогеол.	Не отмечалось	Козловский мун. округ, восточная окраина д. Мал. Бишево. Длина активной части оврага 20 м. Обнажены породы четвертичных и пермских отложений, представлены песками, суглинками, известняками. Базис развития: устье. Признаки активности – обнаженные склоны оврага. Овраг слабо активный. Основной фактор активизации гидрогеологический.	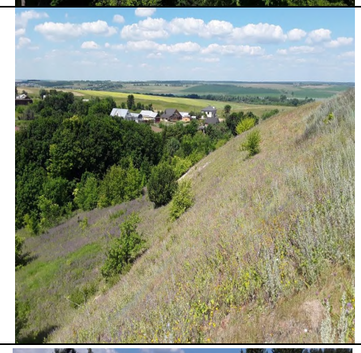	
21-22-00035	Приволжский	Чувашская Республика	Козловский мун. округ, восточная окраина д. Кугеево	55,87469	47,91860	10.07.24	не завершилась	Эо	Гидрогеол.	Не отмечалось	Козловский мун. округ, восточная окраина д. Кугеево. Длина активной части оврага 130 м. Обнажены породы четвертичных и пермских отложений, представленные песками, суглинками и известняками. Базис развития: устье оврага. Признаки активности – свежие отрывы пород от бровки. Овраг высокой активности. Основной фактор активизации гидрогеологический.		

21-22-00036	Приволжский	Чувашская Республика	Козловский мун. округ севернее д. Кужмары	55,90352	47,88817	10.07.24	не завершилась	Эо	Гидрогеол.	Не отмечалось	Козловский мун. округ, севернее д. Кужмары. Длина активной части оврага 20 м. Обнажены породы четвертичных и пермских отложений, представлены глинами, суглинками и известняками. Базис развития: устье оврага. Признаки активности – обнаженные склоны оврага. Овраг слабо активный. Основной фактор активизации гидрогеологический.		
21-22-00037	Приволжский	Чувашская Республика	Козловский мун. округ севернее д. Кужмары	55,90241	47,88719	10.07.24	не завершилась	Эо	Гидрогеол.	Не отмечалось	Козловский мун. округ, севернее д. Кужмары. Длина активной части оврага 86 м. Обнажены породы четвертичных и пермских отложений, представлены глинами, суглинками и известняками. Базис развития: устье оврага. Признаки активности – обнаженные склоны оврага. Овраг средне активный. Основной фактор активизации гидрогеологический.		
21-22-00039	Приволжский	Чувашская Республика	Козловский мун. восточнее д. Курочкино	55,81245	48,38859	10.07.24	не завершилась	Эо	Гидрогеол.	Не отмечалось	Козловский мун. округ, восточнее д. Курочкино. Длина оврага 360 м. Обнажены породы пермских отложений. Обнажены известняки и суглинки. Базис развития: устье оврага. Признаки активности – обнаженные склоны оврага. Овраг средне активный. Основной фактор активизации гидрогеологический.		
21-22-00041	Приволжский	Чувашская Республика	Козловский мун. округ западнее д. Курочкино	55,82189	48,37795	10.07.24	не завершилась	Эо	Гидрогеол.	Не отмечалось	Козловский мун. округ, западнее д. Курочкино. Длина оврага 160 м. Обнажены породы пермских отложений, представленные известняками и суглинками, и песчаниками. Базис развития: устье оврага. Признаки активности – обнаженные склоны оврага. Овраг средне активный. Основной фактор активизации гидрогеологический.		

21-22-00045	Приволжский	Чувашская Республика	Козловский мун. округ южнее д. Новое Байгулово	55,86220	47,96569	11.07.24	не завершилась	Эо	Гидрогеол.	Не отмечалось	Козловский мун. округ, южнее д. Новое Байгулово. Длина оврага 450 м. Обнажены породы пермских отложений, представленные суглинками и глинами. Базис развития: устье оврага. Признаки активности – обнаженные склоны оврага. Овраг средне активный. Основной фактор активизации гидрогеологический.		
59-26-00016	Приволжский	Пермский край	г. Березники, территория над затопленным рудником БКПРУ-1, пр. Ленина, №№ 3, 5, 8	59,39487	56,78339	00.07.24	Не завершилась	От	Техн., Гидрогеол., Сейсм.	Отмечалось	В г. Березники, на территории над затопленными горными выработками рудника БКПРУ-1, активизация процесса оседания земной поверхности отмечается в северной части расширенной площади «панелей переходного периода», где маркшейдерской службой ПАО «Уралкалий» установлен участок ускоренных оседаний в районе демонтированных домов №№ 3, 5, 8 по пр. Ленина. В отчётный период максимальная скорость оседаний поверхности зафиксирована в районе снесённых домов №№ 3, 5, 8 по пр. Ленина – 19-52 мм/мес. Во 2 квартале 2024 г. скорость оседания в этом районе составляла 16-59 мм/год. Суммарное оседание поверхности в пределах демонтированного дома № 8 по пр. Ленина достигло 4,70 м (сентябрь, 2024 г.).В пределах ограждённой опасной зоны «БШСУ» в отчётный период на юге и юго-востоке от провала № 2 в слабо консолидированных породах было зафиксировано 84 сейсмособытия с суммарной энергией 2584 Дж. Одно сейсмособытие энергией 320 Дж было зафиксировано на глубине горных выработок (230-270 м от земной поверхности). На юго-западе опасного участка «панели переходного периода» в зоне обрушения произошло 13 сейсмособытий с суммарной энергией 84 Дж.Факторы активизации: техногенный – нарушение водозащитной толщи рудника при ведении горных работ; гидрогеологический – проникновение в рудник подземных вод через нарушенную водозащитную толщу; сейсмический.Возраст и состав горных пород, затронутых проявлением: – пески, глины четвертичных отложений (aQ);– глины, песчаники, алевролиты пестроцветной толщи (P_1ss); – известняки, доломиты, мергели, аргиллиты терригенно-карбонатной толщи (P_1sk_2);– мергели, глины, гипсы, каменная соль соляно-мергельной толщи (P_1sk_1). Абсолютная отметка базиса развития опасного ЭГП (-161,7 м) – отметка подошвы нижнего промышленного пласта «Красный-2».		
59-26-00010	Приволжский	Пермский край	г. Соликамск, территория над рудником СКРУ-2, СНТ "Ключики"	59,59381	56,81039	00.07.24	не завершилась	От	Техн., Гидрогеол., Сейсм.	Отмечалось	В г. Соликамске, на аварийном участке рудника СКРУ-2 (СНТ "Ключики") в 3-м квартале 2024 г. объём водопритока в горные выработки рудника уменьшился по сравнению с 2-м кварталом. В среднем, за отчётный период водоприток составил 94 $м^3$/час. Во 2-м квартале 2024 г., в среднем, было 156 $м^3$/час.В 3 квартале 2024 г. среднее значение минерализации рассолов, поступающих в горные выработки, не изменилось – 361 г/л. В отчётный период на аварийном участке в границах опасной зоны не было зафиксировано ни одного сейсмособытия.По результатам аэрофотосъёмки, выполненной 25 августа 2024 г., размеры провала составили 173,4х141,0 м, глубина 0,1 метра.Факторы активизации: техногенный – нарушение водозащитной толщи рудника при ведении горных работ; гидрогеологический – проникновение в рудник подземных вод через нарушенную водозащитную толщу; сейсмический.Возраст и состав горных пород, затронутых проявлением:– глины, суглинки четвертичных отложений (aQ);– глины, алевролиты, аргиллиты, песчаники пестроцветной толщи (P_1ss);– глины, известняки, мергели терригенно-карбонатной толщи (P_1sk_2);– мергели, глины, гипсы, каменная соль соляно-мергельной толщи (P_1sk_1). Абсолютная отметка базиса развития опасного ЭГП (-152,4 м) - отметка подошвы нижнего промышленного пласта «Красный-2».		

43-10-00004	Приволжский	Кировская область	Котельничский район, дд. Рвачи, Ванюшенки	58,16153	48,34852	00.04.24	Не завершилась	Ос	Атм.	Не отмечалось	Наблюдаются вертикальные стенки срыва грунта в верхней и средней частях склона р. Вятка, скопление у подножия склона несортированного смещенного материала. Основные параметры проявления: длина 400 м, ширина 40 м, площадь 16000 м^2. Основные факторы активизации – атмосферные осадки. Стадия развития – развитие. Базис развития – основание склона долины р. Вятка. Возраст и литологический состав пород – P (глины, мергели, известняки).		
43-22-00007	Приволжский	Кировская область	Кирово-Чепецкий район, г. Кирово-Чепецк, ул. Вятская набережная, мемориал «Вечный огонь»	58,56157	50,03240	00.04.24	не завершилась	Эо	Атм., Техн.	Не отмечалось	В г. Кирово-Чепецк Кирово-Чепецкого района, около мемориала «Вечный огонь», отмечен рост оврага. Оврагом размыт тыловой шов и нижняя часть верхней террасы, вершина оврага поднялась вверх по склону на 2 м (до трубы, из которой происходит сток ливневых вод). Ширина оврага в устьевой части достигает 25 м, глубина до 12 м. Ширина оврага в вершине достигла 7,6 м, глубина – до 6,3 м. Борта оврага оголены, крутые (до 90^0 в вершине оврага и до 60^0 в нижней части оврага). В тальвеге отмечено несколько свежих сползших кустарников и деревьев. Развитие оврага происходит из-за стока талых и ливневых вод по поверхности склона р. Вятка.Отмечены промоины шириной до 2,5 м и глубиной до 1 м, вершины некоторых промоин выходят на бровку склона. На поверхность склона и в промоины производится сброс бытового мусора, ветвей деревьев, скошенной травы. Минимальное расстояние от вершин промоин до мемориального комплекса составляет 13 м, до пешеходной дорожки – 3 м.Основные факторы активизации – атмосферные осадки, техногенный (неорганизованный направленный сток талых и ливневых вод).Стадия развития – развитие. Базис развития – тальвег оврага. Возраст и литологический состав пород – P (глины, аргиллиты, мергели, известняки).		
43-22-00008	Приволжский	Кировская область	Слободской район, г. Слободской, ул. Подгорная, Екатерининская	58,73178	50,18565	00.04.24	не завершилась	Эо	Атм., Техн.	Не отмечалось	В районе парка «Аллея Славы» в г. Слободской обследован старый овраг, вершина оврага выходит на улицу Екатерининская г. Слободского. В вершине оврага отмечены срывы грунта длиной 8,6 м высотой до 1,2 м. В тальвеге оврага отмечена промоина шириной до 1 м.Основные параметры оврага: длина 140 м, ширина в устьевой части 30 м, максимальная глубина 20 м, площадь склонов оврага 2100 м^2.Основные факторы активизации – атмосферные осадки, техногенный фактор (неорганизованный сток талых и ливневых вод).Стадия развития – развитие. Базис развития – тальвег оврага. Возраст и литологический состав пород – P (глины, аргиллиты, мергели).		
56-22-00002	Приволжский	Оренбургская область	Грачевский район, 0,8 км севернее с. Верхнеигнашкино Правый склон долины реки Елховка.	52,96901	53,06889	27.07.24	не завершилась	Эо	Атм.	Не отмечалось	В 0,8 км севернее окраины с. Верхнеигнашкино рост вершины оврага составил 0,9 м. Признаки активизации опасного ЭГП - рост вершины наблюдаемого оврага (уменьшение расстояния от фактического верховья оврага до репера № 3). Параметры оврага: длина 220 м, ширина в среднем 10 м. Укрепительные мероприятия не производились. Основные факторы активизации: атмосферные осадки. В составе пород, затронутых проявлением, преобладает суглинок буро-коричневый с глиной красно-коричневой.	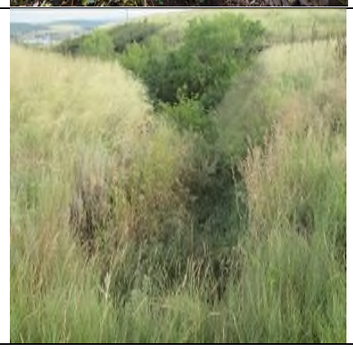	

56-22-00004	Приволжский	Оренбургская область	Илекский район, 0,5 км севернее с. Нижнеозерное. Правый склон долины реки Урал.	51,61536	53,92008	01.04.24	не завершилась	Эо	Атм.	Не отмечалось	На северо-восточной окраине с. Нижнеозерное Илекского района отмечена активность процесса овражной эрозии. Рост оврага происходит в северном направлении. На текущий момент его протяженность – 266,80 м. Ширина у вершины – 0,6 м, у основания – 6,0 м. Глубина оврага на всем его протяжении изменяется от 0,5 до 2,0 м, в среднем составляет 1,0 м. Рост оврага за 2024 г. составил 0,65 м. По дну оврага – локальная свалка бытовых и строительных отходов. Основные факторы активизации - атмосферные осадки. Развитие эрозионного процесса приводит к сокращению земель сельскохозяйственного назначения.В составе пород, затронутых проявлением, преобладает суглинок буро-коричневый с глиной красно-коричневой. Овраг находится в стадии развития.		
56-22-00005	Приволжский	Оренбургская область	Новосергиевский район, западная окраина с. Кулагино	51,88791	53,63338	00.04.24	Не завершилась	Эо	Атм.	Не отмечалось	Участок планового инженерно-геологического обследования расположен на западной окраине с.Кулагино, в 0,35 км западнее правого берега реки Кинделька (правого притока реки Кинделя).Овраг несет потенциальную угрозу для водоснабжения с. Кулагино, поскольку водозаборная скважина расположена в 2 м восточнее обрывистого борта оврага. Управление насосом находится в деревянном павильоне, находящемся на краю оврага. Дальнейшее расширение оврага приведет к разрушению пункта управления насосным оборудованием скважины. В непосредственной близости от скважины, глубина оврага составляет 1,8 м, ширина 3,5 м. Борта обрывистые, сложены глиной красновато-коричневой с прослоями светло-синей глины. По дну оврага обнаружены локальные свалки бытового и строительного мусора. Длина оврага составляет 210 м. Ширина изменяется от 2,5 до 20,0 м, глубина – от 1,5 до 4,5 м.Противоэрозионные мероприятия не производятся. Основные факторы активизации - атмосферные осадки. В составе пород преобладает суглинок светло-коричневый, глина красновато-коричневая с прослойками светло-синей. Овраг находится в стадии развития.		
58-11-00056	Приволжский	Пензенская область	г. Кузнецк, ул. 5-я Линия, д. 9	53,12772	46,60701	01.06.24	Не завершилась	Оп	Атм, Тех.	Отмечалось	В г. Кузнецк, ул. 5-я Линия, д. 9 отмечается деформация газовой трубы и столба электропередач. Активизация оползневого процесса была вызвана активным процессом снеготаяния, крутизной склона и высокой нагрузкой на склон. Общая площадь активизации оползня составляет около 1 м^2. Активизация отмечается на бровке срыва оползня. Литологический состав пород, затронутых проявлением – суглинки, мергели, щебень (dII-III). Оползень имеет размеры 3,5 х 4,3м, площадь 15м^2. Оползень находится в стадии развития.		
58-11-00058	Приволжский	Пензенская область	г. Кузнецк, ул. 4-я Линия, между д.1 и д. 2	53,12766	46,60751	01.06.24	Не завершилась	Оп	Атм	Отмечалось	В г. Кузнецк, ул. 4-я Линия, между д.1 и д. 2 отмечается сплывание маломощного слоя рыхлых пород по склону. Активизация процесса была вызвана активным процессом снеготаяния. Общая площадь активизации оползня составляет около 1 м^2. Активизация отмечается на бровке срыва оползня. Разрушению подверглась территория населенного пункта площадью около 1м^2. Базисом развития оползня является грунтовая дорога. Литологический состав пород, затронутых проявлением – суглинки, мергели, щебень (dII-III). Оползень имеет размеры 3,5 х 5м, площадь 17,5м^2. Оползень находится в стадии развития.	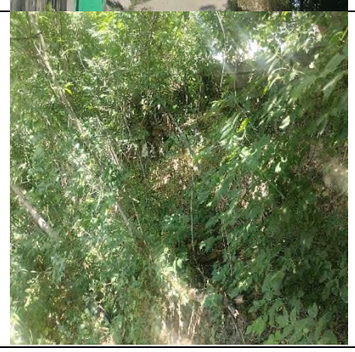	

58-11-00059	Приволжский	Пензенская область	г. Кузнецк, ул. 3-я Линия, д.16	53,1263	46,60835	01.06.24	Не завершилась	Оп	Атм	Не отмечалось	Активизация оползневого процесса на участке «Карпаты» произошла в июне 2024г. Отмечается осыпание стенки оползня. Активизация процесса была вызвана активным процессом снеготаяния, крутизной склона. Общая площадь активизации оползня составляет около 1 м^2. Базисом развития оползня является грунтовая дорога. Литологический состав пород, затронутых проявлением – суглинки, мергели, щебень (dII-III). Оползень имеет размеры 3,5 х 3м, площадь 10,5м^2. Оползень находится в стадии развития.		
73-11-00062	Приволжский	Ульяновская область	Сенгилеевский р-н, с. Буераки	53,92000	48,86907	00.06.24	Не завершилась	Оп	Гидрогеол	Отмечалось	В Сенгилеевском районе в с. Буераки отмечается отступание бровки оползня на 0,2-0,5 м, вспучивание и движение грунта в районе правого борта оползня, а также трещины вдоль всей бровки срыва. Активизация процесса была вызвана выходами и застоями грунтовых вод, которые отмечаются в подошвенной части оползня, что приводит к систематической активизации оползневого процесса.Общая площадь движения грунта составляет около 3000 м^2. Основная часть активности приходится на правый борт и бровку оползня. Отмечается разрушение земель лесного фонда около 50м^2 и грунтовой дороги, проходящей вдоль бровки срыва длинной около 5м. Базисом развития оползня является нижняя часть волжского склона. Литологический состав пород, затронутых проявлением – глины и известняки (K_1а). Оползень имеет размеры 180 х 380м (указаны максимальные размеры по каждому направлению), площадь около 38000м^2, мощность оползневого слоя до 2м. Оползень находится в стадии развития.		
73-11-00090	Приволжский	Ульяновская область	Ульяновский р-н. п. Сланцевый рудник	54,44326	48,39050	01.06.24	не завершилась	Оп	Гидрогеол	Отмечалось	В Ульяновском районе в п. Сланцевый рудник отмечается отступание бровки оползня на 0,1-0,2 м, вспучивание и движение грунта в средней и подошвенной части оползня. Активизация процесса была вызвана выходами и застоями грунтовых вод, которые отмечаются на протяжении всего тела оползня. Отмечается разрушение территории п. Сланцевый Рудник, приблизительно, площадью 30 м^2. Общая площадь активизации оползня составляет около 550 м^2. Активизация отмечается, в основном, в центральной и головной частях оползня. Базисом развития оползня является нижняя часть волжского склона. Литологический состав пород, затронутых проявлением – суглинки, супеси, щебень (dl Q_{III-IV}). Оползень имеет размеры 66 х 155м (указаны максимальные размеры по каждому направлению), площадь 7461м^2, мощность оползневого слоя до 2м. Оползень находится в стадии развития.		
73-11-00096	Приволжский	Ульяновская область	Сенгилеевский р-н, г. Сенгилей	53,95945	48,82437	01.06.24	не завершилась	Оп	Гидрогеол	Отмечалось	В Сенгилеевском районе в г. Сенгилей отмечается отступание бровки оползня до 0,1м, вспучивание и движение грунта в средней части оползня. Активизация процесса была вызвана выходами и застоями грунтовых вод, которые отмечаются на протяжении всего тела оползня, что приводит к систематической активизации оползневого процесса. Отмечается разрушение территории г. Сенгилей, приблизительно, площадью 40 м^2. Общая площадь активизации оползня составляет около 740 м^2. Активизация отмечается, в основном, в центральной и головной частях оползня. Базисом развития оползня является нижняя часть волжского склона. Литологический состав пород, затронутых проявлением – глины и известняки (K_1а). Оползень имеет размеры 47 х 115м (указаны максимальные размеры по каждому направлению), площадь около 4900м^2, мощность оползневого слоя до 2м. Оползень находится в стадии развития.		

73-11-00042	Приволжский	Ульяновская область	г. Ульяновск, ул. Уютная	53,36795	48,39151	01.06.24	не завершилась	Оп	Гидрогеол	Отмечалось	В г. Ульяновск по ул. Уютная отмечается отступание бровки оползневого уступа до 0,5м в центральной части, вспучивание и движение грунта. Активизация процесса была вызвана выходами и застоями грунтовых вод, которые отмечаются на участке активизации оползня, что приводит к систематической активизации оползневого процесса. Отмечается разрушение территории земель лесного хозяйства, расположенных в г. Ульяновск, приблизительно, площадью 150 м^2. Общая площадь активизации оползня составляет около 16300 м^2. Активизация отмечается в основном в центральной части оползня. Базисом развития оползня является нижняя часть волжского склона. Литологический состав пород, затронутых проявлением – суглинки, супеси, щебень (e, d Q_{I-III}). Оползень имеет размеры 475 х 370м (указаны максимальные размеры по каждому направлению), площадь около 163000м^2, мощность оползневого слоя до 2м. Оползень находится в стадии развития.		
73-11-00070	Приволжский	Ульяновская область	Радищевский р-н. с. Паньшино	52,94014	48,45759	01.06.24	не завершилась	Оп	Атм	Отмечалось	В Радищевском районе в. с. Паньшино отмечается движение грунта в центральной части оползня. Причиной активизации оползневого процесса стали атмосферные осадки. Отмечается разрушение территории с/х земель с. Паньшино, приблизительно, площадью 50 м^2. Общая площадь активизации оползня составляет около 6000 м^2. Активизация отмечается, в основном, в центральной части оползня. Базисом развития оползня является нижняя часть волжского склона. Литологический состав пород, затронутых проявлением – суглинки, супеси, щебень (ed Q_{I-III}). Оползень имеет размеры 533 х 255м (указаны максимальные размеры по каждому направлению), площадь около 120000м^2, мощность оползневого слоя до 2м. Оползень находится в стадии развития.	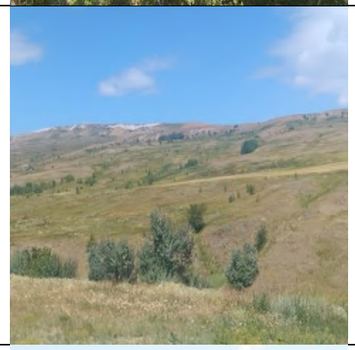	
73-11-00074	Приволжский	Ульяновская область	Радищевский р-н. с. Вязовка	52,83067	48,36463	01.06.24	не завершилась	Оп	Атм	Отмечалось	В Радищевском районе в с. Вязовка отмечается движение грунта в центральной части оползня. Причиной активизации оползневого процесса стали, скорее всего, атмосферные осадки. Отмечается разрушение территории с/х земель с. Вязовка, приблизительно, площадью 30 м^2. Общая площадь активизации оползня составляет около 100000 м^2. Активизация отмечается, в основном, в центральной части оползня. Базисом развития оползня является нижняя часть волжского склона. Литологический состав пород, затронутых проявлением – суглинки, супеси, щебень (ed Q_{I-III}). Оползень имеет размеры 588 х 2054м (указаны максимальные размеры по каждому направлению), площадь около 1000000м^2, мощность оползневого слоя до 2м. Оползень находится в стадии развития.	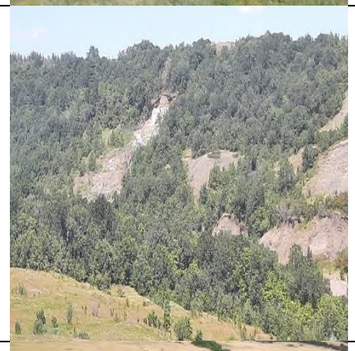	
73-11-00139	Приволжский	Ульяновская область	Ульяновский р-н. с. Максимовка, ул. Солнечная	54,50049	48,28969	01.06.24	не завершилась	Оп	Гидрогеол.	Отмечалось	В Ульяновском районе в с. Максимовка по ул. Солнечная отмечается отступание бровки оползня до 0,1м, а также разжижение подошвенной части оползня. Причиной активизации оползневого процесса являются выходы подземных вод. Отмечается разрушение территории с/х земель с. Максимовка, приблизительно, площадью 40 м^2. Общая площадь активизации оползня составляет около 2000 м^2. Активизация отмечается, в основном, на бровке оползня. Базисом развития оползня является дно оврага. Литологический состав пород, затронутых проявлением – суглинки, супеси, щебень (ed QI-III). Оползень имеет размеры 80 х 400м (указаны максимальные размеры по каждому направлению), площадь около 20200м^2, мощность оползневого слоя до 2м. Оползень находится в стадии развития.		

73-11-00127	Приволжский	Ульяновская область	Сенгилеевский р-н, с. Выростайкино	53,84550	48,86342	01.06.24	не завершилась	Оп	Атм., Гидрогеол.	Отмечалось	В Сенгилеевском районе в с. Выростайкино отмечается отступание бровки оползня до 0,3м, а также многочисленные осыпи грунта. Причиной активизации оползневого процесса стали обильные атмосферные осадки, в меньшей степени влияние оказали выходы подземных вод. Отмечается разрушение территории с/х земель с. Выростайкино приблизительно площадью 40 м^2. Общая площадь активизации оползня составляет около 410 м^2. Активизация отмечается, в основном, на бровке оползня. Базисом развития оползня является пойма р. Сирма. Литологический состав пород, затронутых проявлением – суглинки, супеси, щебень (dl QIII-IV). Оползень имеет размеры 104 х 111м (указаны максимальные размеры по каждому направлению), площадь около 8100м^2, мощность оползневого слоя до 2м. Оползень находится в стадии развития.			
73-11-00046	Приволжский	Ульяновская область	Ульяновский р-н, снт. Геолог	54,20460	48,35890	01.06.24	не завершилась	Оп	Гидрогеол.	Отмечалось	В Ульяновском районе в снт. Геолог отмечается отступание бровки оползня до 1м, многочисленные сплывы грунта в центральной части. Причиной активизации оползневого процесса стали выходы и застои подземных вод, которые присутствуют в центральной части оползня. Отмечается разрушение территории снт. Геолог, приблизительно, площадью 200 м^2. Расстояние от бровки оползня до ближайших садовых участков около 180м. Общая площадь активизации оползня составляет около 9500 м^2. Активизация отмечается, в основном, на бровке и центральной части оползня. Базисом развития оползня является нижняя часть волжского склона. Литологический состав пород, затронутых проявлением – суглинки, супеси, щебень (dl QIII-IV). Оползень имеет размеры 230 х 335м (указаны максимальные размеры по каждому направлению), площадь около 55745м^2, мощность оползневого слоя до 2м. Оползень находится в стадии развития		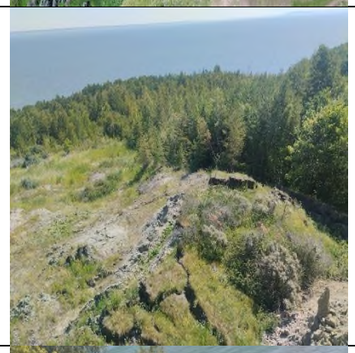	
73-11-00051	Приволжский	Ульяновская область	Ульяновский р-н, СТ. Родничок	54,17765	48,37682	01.06.24	не завершилась	Оп	Гидрогеол.	Не отмечалось	В Ульяновском районе, СТ Родничок отмечается отступание бровки оползня до 0,8м, многочисленные вспучивания грунта в центральной части. Причиной активизации оползневого процесса стали выходы подземных вод Расстояние от бровки оползня до ближайших садовых участков около 100м. Общая площадь активизации оползня составляет около 3600 м^2. Активизация отмечается, в основном, на бровке и центральной части оползня. Базисом развития оползня является нижняя часть волжского склона. Литологический состав пород, затронутых проявлением – суглинки, супеси, щебень (dl QIII-IV). Оползень имеет размеры 135 х 300м (указаны максимальные размеры по каждому направлению), площадь около 24425м^2, мощность оползневого слоя до 2м. Оползень находится в стадии развития.			
73-11-00032	Приволжский	Ульяновская область	Ульяновский р-н, п. им. Карамзина, ул. Береговая	54,22145	48,24128	01.04.24	не завершилась	Оп	Гидрогеол.	Отмечалось	В Ульяновском районе в п. им. Карамзина по ул. Береговая отмечаются многочисленные осыпи грунта в центральной части и на бровке оползня. Причиной активизации оползневого процесса стали выходы подземных вод. Расстояние от бровки оползня до ближайших садовых участков около 100м. Отмечается разрушение земель п. им. Карамзина 50м^2. Общая площадь активизации оползня составляет около 1800 м^2. Активизация отмечается, в основном, на бровке и центральной части оползня. Базисом развития оползня является нижняя часть волжского склона. Литологический состав пород, затронутых проявлением – суглинки, супеси, щебень (dl QI-III). Оползень имеет размеры 157 х 221м (указаны максимальные размеры по каждому направлению), площадь около 34759м^2, мощность оползневого слоя до 2м. Оползень находится в стадии развития.		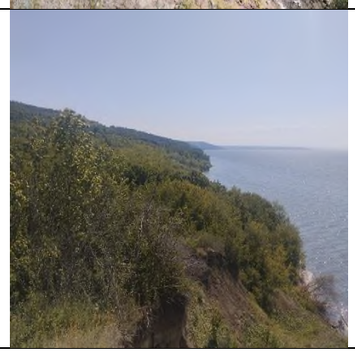	

73-11-00033	Приволжский	Ульяновская область	Ульяновский р-н, п. им. Карамзина, р-н кладбища	54,21823	48,35316	01.06.24	не завершилась	Оп	Гидрогеол.	Отмечалось	В Ульяновском районе в п. им. Карамзина, район кладбища, отмечается большое количество трещин вдоль всей бровки, осыпи и сплывы грунта в районе правого борта оползня. Причиной активизации оползневого процесса стали выходы подземных вод. Расстояние от бровки оползня до кладбища около 80м. Отмечается разрушение земель п. им. Карамзина 100м^2. Общая площадь активизации оползня составляет около 3700 м^2. Активизация отмечается в основном на правом борту оползня. Базисом развития оползня является нижняя часть волжского склона. Литологический состав пород, затронутых проявлением – суглинки, супеси, щебень (dl QI-III). Оползень имеет размеры 225 х 550м (указаны максимальные размеры по каждому направлению), площадь около 74847м^2, мощность оползневого слоя до 2м. Оползень находится в стадии развития.		
73-11-00083	Приволжский	Ульяновская область	Ульяновский р-н, п. Ундоры, ул. Малые Ундоры	54,59828	48,42782	01.06.24	не завершилась	Оп	Гидрогеол.	Отмечалось	В Ульяновском районе в п. Ундоры по ул. Малые Ундоры отмечается отступание бровки оползня до 0,5м, сплывы и осыпи грунта в центральной части оползня, а также трещины на теле и бровке оползня и наползание языка оползня на забитые береговые сваи. Причиной активизации оползневого процесса стали выходы подземных вод. Расстояние от бровки оползня до кемпинга Чайка менее 10м, до ДОЛ Волжанка около 30м. Отмечается разрушение земель п. Ундоры около 100м^2. Активизация данного оползня происходит регулярно. Общая площадь активизации оползня составляет около 1200 м^2. Активизация отмечается по всей площади оползня. Базисом развития оползня является нижняя часть волжского склона. Литологический состав пород, затронутых проявлением – суглинки, супеси, щебень (dl QI-III). Оползень имеет размеры 77 х 110м (указаны максимальные размеры по каждому направлению), площадь около 8200м^2, мощность оползневого слоя до 2м. Оползень находится в стадии развития.	о	
73-11-00111	Приволжский	Ульяновская область	Ульяновский р-н, п. Ундоры, санаторий им. Ленина,	54,59416	48,42305	01.06.24	не завершилась	Оп	Гидрогеол.	Отмечалось	Активизация оползневого процесса в п. Ундоры, санаторий им. Ленина, произошла в июне 2024г. Отмечаются отступание бровки оползня до 0,5м, сплывы и осыпи и разжижение грунта в центральной части оползня на бровке оползня, сваленные деревья и кустарники. Причиной активизации оползневого процесса стали выходы подземных вод. Оползень находится на территории санатория им. Ленина. Отмечается разрушение земель санатория около 50м^2. Активизация данного оползня происходит регулярно. Общая площадь активизации оползня составляет около 1200 м^2. Активизация отмечается по всей площади оползня. Базисом развития оползня является нижняя часть волжского склона. Литологический состав пород, затронутых проявлением – суглинки, супеси, щебень (dl QI-III). Оползень имеет размеры: 77 х 110м (указаны максимальные размеры по каждому направлению), площадь около 11800м^2, мощность оползневого слоя до 10м. Оползень находится в стадии развития.		
73-11-00141	Приволжский	Ульяновская область	Ульяновский р-н, п. Ундоры, ул. Молодежная	54,61998	48,39296	01.06.24	не завершилась	Оп	Гидрогеол.	Отмечалось	Активизация оползневого процесса на ПН (Ундоровский) произошла в июне 2024г. Отмечаются осыпание и сползание грунта с борта оврага. Причиной активизации оползневого процесса стали застои воды на дне оврага, на котором расположен оползень. Расстояние до ближайших садовых участков около 30м. Так же на борту оврага находятся опоры ЛЭП. Отмечается разрушение земель п. Ундоры около 20м^2. Общая площадь активизации оползня составляет около 150 м^2. Активизация отмечается по всей площади оползня. Базисом развития оползня является дно оврага. Литологический состав пород, затронутых проявлением – суглинки, супеси, пески (ed I-III). Оползень имеет размеры 88 х 36м (указаны максимальные размеры по каждому направлению), площадь около 3000м^2, мощность оползневого слоя до 2м. Оползень находится в стадии развития.		

73-11-00130	Приволжский	Ульяновская область	Ульяновский р-н, п. Городищи, Городищенский разрез	54,56444	48,41553	01.06.24	не завершилась	Оп	Гидрогеол.	Отмечалось	Активизация оползневого процесса в п. Городищи произошла в июне 2024г. Отмечаются сплывы грунта в центральной части. Причиной активизации оползневого процесса стали выходы подземных вод. Оползень является геологическим памятником «городищенский разрез». Отмечается разрушение земель лесного фонда около 50м^2. Общая площадь активизации оползня составляет около 2200 м^2. Активизация отмечается, в основном, на бровке оползня. Базисом развития оползня является нижняя часть волжского склона. Литологический состав пород, затронутых проявлением – суглинки, супеси, супеси (ed QI-III). Оползень имеет размеры 138 х 335м (указаны максимальные размеры по каждому направлению), площадь около 44422м^2, мощность оползневого слоя до 2м. Оползень находится в стадии развития.		
73-11-00135	Приволжский	Ульяновская область	г. Новоульяновск, ул Портовая	54,15300	48,40062	01.06.24	не завершилась	Оп	Гидрогеол.	Отмечалось	Активизация оползневого процесса в г. Новоульяновск произошла в июне 2024г. Отмечаются отступание бровки оползня до 0,4м, сплывы и осыпи в центральной части. Причиной активизации оползневого процесса стали выходы подземных вод, которые отмечаются повсеместно. Оползень находится на территории парка отдыха в г. Новоульяновск. Отмечается разрушение земель г. Новоульяновск около 200м^2, а так же грунтовых дорожек, идущих вдоль оползня. Общая площадь активизации оползня составляет около 2640 м^2. Южная часть оползня находится в 20 м от асфальтовой дороги Активизация отмечается, в основном, на бровке оползня и в центральной части. Базисом развития оползня является нижняя часть волжского склона. Литологический состав пород, затронутых проявлением – суглинки, супеси, супеси (ed QI-III). Оползень имеет размеры 321 х 50м (указаны максимальные размеры по каждому направлению), площадь около 13200м^2, мощность оползневого слоя до 2м. Оползень находится в стадии развития.		
73-11-00068	Приволжский	Ульяновская область	Сенгилеевский р-н, с. Буераки	53,90760	48,87603	01.06.24	не завершилась	Оп	Гидрогеол.	Отмечалось	В с. Буераки Сенгилеевского района активизация оползневого процесса на участке произошла в июне 2024г. Отмечается отступание бровки оползня на 0,1-0,2 м в районе правого борта оползня. Активизация процесса была вызвана выходами и застоями грунтовых вод, которые отмечаются в подошвенной части оползня, что приводит к систематической активизации оползневого процесса. Общая площадь движения грунта составляет около 33000 м^2. Основная часть активности приходится на правый борт. Отмечается разрушение земель лесного фонда около 7000м^2. Базисом развития оползня является нижняя часть волжского склона. Литологический состав пород, затронутых проявлением – глины и известняки (K_1a). Оползень имеет размеры 533 х 574м (указаны максимальные размеры по каждому направлению), площадь около 225000м^2, мощность оползневого слоя до 2м. Оползень находится в стадии развития.		
73-11-00089	Приволжский	Ульяновская область	Ульяновский р-н., п. Сланцевый рудник	54,44445	48,39090	01.06.24	Не завершилась	Оп	Гидрогеол.	Отмечалось	Активизация оползневого процесса на участке «Сланцевый Рудник» в поселке с одноименным навзванием произошла в июне 2024г. Отмечается отступание бровки оползня на 0,1 м, вспучивание и оплывапние грунта в средней и подошвенной части оползня. Активизация процесса была вызвана выходами и застоями грунтовых вод, которые отмечаются на протяжении всего тела оползня. Отмечается разрушение территории п. Сланцевый Рудник и б/о Михайловская, приблизительно площадью 15 м^2. Общая площадь активизации оползня составляет около 230 м^2. Активизация отмечается, в основном, в центральной и головной частях оползня. Базисом развития оползня является нижняя часть волжского склона. Литологический состав пород, затронутых проявлением – суглинки, супеси, щебень (dl Q_{III-IV}). Оползень имеет размеры 70 х 65м (указаны максимальные размеры по каждому направлению), площадь 7461м^2, мощность оползневого слоя до 2м. Оползень находится в стадии развития.		

73-11-00040	Приволжский	Ульяновская область	Ульяновский р-н. с. Максимовка.	54,48437	48,28648	01.06.24	не завершилась	Оп	Гидрогеол.	Отмечалось	Активизация оползневого процесса в с. Максимовка, ул. Солнечная произошла в июне 2024г. Отмечается отступание бровки оползня до 0,3м. Разрушение территории с/х земель около 20м^2. Причиной активизации оползневого процесса являются выходы подземных вод. Общая площадь активизации оползня составляет около 450 м^2. Активизация отмечается, в основном, на бровке оползня. Базисом развития оползня является дно оврага. Литологический состав пород, затронутых проявлением – суглинки, супеси, щебень (ed QI-III). Оползень имеет размеры 66 х 173м (указаны максимальные размеры по каждому направлению), площадь около 9000м^2, мощность оползневого слоя до 1,5м. Оползень находится в стадии развития.		
73-11-00037	Приволжский	Ульяновская область	Ульяновский р-н. с. Максимовка, ул. Солнечная	54,49150	48,29293	01.06.24	Не завершилась	Оп	Гидрогеол.	Отмечалось	Активизация оползневого процесса в с. Максимовка по ул. Солнечная произошла в июне 2024г. Отмечается отступание бровки оползня до 0,2м, а также разжижение подошвенной части оползня. Причиной активизации оползневого процесса являются выходы подземных вод. Отмечается разрушение территории с/х земель с. Максимовка, приблизительно, площадью 20 м^2. Общая площадь активизации оползня составляет около 1500 м^2. Активизация отмечается, в основном, на бровке оползня. Базисом развития оползня является дно оврага. Литологический состав пород, затронутых проявлением – суглинки, супеси, щебень (ed QI-III). Оползень имеет размеры 158 х 233м (указаны максимальные размеры по каждому направлению), площадь около 30000м^2, мощность оползневого слоя до 2 м. Оползень находится в стадии развития.		
73-11-00095	Приволжский	Ульяновская область	Сенгилеевский р-н. г. Сенгилей	53,97180	48,80149	01.06.24	Не завершилась	Оп	Гидрогеол.	Не отмечалось	На территории г. Сенгилей произошла отмечается осыпание грунта вдоль всей бровки оползня. Активизация процесса была вызвана выходами и застоями грунтовых вод, которые отмечаются на протяжении всего тела оползня, что приводит к систематической активизации оползневого процесса. Общая площадь активизации оползня составляет около 900 м^2. Активизация отмечается, в основном, в головной части оползня. Базисом развития оползня является нижняя часть волжского склона. Литологический состав пород, затронутых проявлением – щебень, суглинки и пески (*e,d QI-III*). Оползень имеет размеры 127 х 160м (указаны максимальные размеры по каждому направлению), площадь около 17800м^2, мощность оползневого слоя до 2м. Оползень находится в стадии развития.	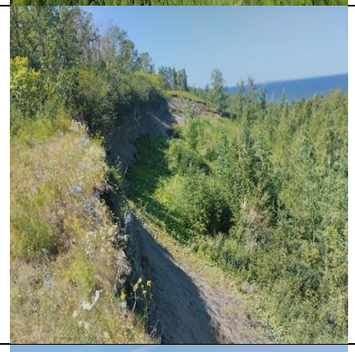	
73-11-00048	Приволжский	Ульяновская область	Ульяновский р-н, СТ Парус, 26	54,19867	48,36265	01.06.24	Не завершилась	Оп	Гидрогеол.	Отмечалось	Активизация оползневого процесса в Ульяновском районе, СТ Парус произошла в июне 2024г. Отмечается осыпание бровки оползня по всей длине. При активизации оползня было Деформировано около 20м^2 земель снт. Родничок. Причиной активизации оползневого процесса стали выходы подземных вод Расстояние от бровки оползня до ближайших садовых участков около 30м. Общая площадь активизации оползня составляет около 480 м^2. Активизация отмечается, в основном, на бровке. Базисом развития оползня является нижняя часть волжского склона. Литологический состав пород, затронутых проявлением – суглинки, супеси, щебень (dl QIII-IV). Оползень имеет размеры 53 х 257м (указаны максимальные размеры по каждому направлению), площадь около 9691м^2, мощность оползневого слоя до 2м. Оползень находится в стадии развития.	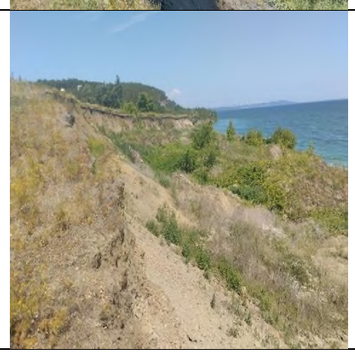	

73-11-00086	Приволжский	Ульяновская область	Ульяновский р-н, п. Городищи. Городищенский разрез	54,57339	48,40466	01.06.24	Не завершилась	Оп	Гидрогеол.	Не отмечалось	Активизация оползневого процесса в п. Городищи произошла в июне 2024г. Отмечается осыпание бровки. Причиной активизации оползневого процесса стали выходы подземных вод. Общая площадь активизации оползня составляет около 670 м^2. Активизация отмечается, в основном, на бровке оползня. Базисом развития оползня является нижняя часть волжского склона. Литологический состав пород, затронутых проявлением – суглинки, супеси, супеси (ed QI-III). Оползень имеет размеры 84 х 176м (указаны максимальные размеры по каждому направлению), площадь около 13394м^2, мощность оползневого слоя до 1,5м. Оползень находится в стадии развития.		
73-11-00142	Приволжский	Ульяновская область	Ульяновский р-н, п. Городищи, Городищенский разрез	54,56639	48,41608	01.06.24	Не завершилась	Оп	Гидрогеол.	Отмечалось	Активизация оползневого процесса в п. Городищи произошла в июне 2024 г. Отмечаются сплывы грунта в центральной части. Причиной активизации оползневого процесса стали выходы подземных вод. Оползень является геологическим памятником «Долина кристаллов». Отмечается разрушение земель лесного фонда около 40 м^2. Общая площадь активизации оползня составляет около 1000 м^2. Активизация отмечается, в основном, на бровке оползня и в центральной его части. Базисом развития оползня является нижняя часть волжского склона. Литологический состав пород, затронутых проявлением – суглинки, супеси, супеси (ed QI-III). Оползень имеет размеры 170 х 108 м (указаны максимальные размеры по каждому направлению), площадь около 19464 м^2, мощность оползневого слоя до 2 м. Оползень находится в стадии развития.		
66-31-00196	Уральский	Свердловская область	Нижнесергинский район, природный парк «Оленьи ручьи»	56,50171	59,30322	00.04.24	Не завершилась	КС	Атм.	Не отмечалось	Развитие карстово-суффозионного процесса в закарстованных известняках девонского возраста: воронка (ТН403). Форма в плане округлая, в разрезе - конус, на дне воронки закольматированный понор цилиндрической формы. Борта со следами свежих срывов, северный борт задернован. Диаметр воронки 5,6 м, глубина 2,5 м. Дно завалено мусором. Активность процесса средняя.		
66-31-00193	Уральский	Свердловская область	Нижнесергинский район, природный парк «Оленьи ручьи»	56,50064	59,30033	00.04.24	Не завершилась	КС	Атм.	Не отмечалось	Развитие карста. Проявление: карстовый провал, в плане 30×17 м (ТН400). Восточная стенка – скальная, остальные частично задернованы. Глубина до воды более 7 м. На дне провала вложенная воронка 9,4х7,2 м, полностью заполненная водой. Через скрытые водой поноры происходит поглощение поверхностного стока со скоростью более 1,5 м/с. Наблюдается опускание верхней оползневой ступени на глубину более 2 м и свежие срывы по борту воронки со стороны туристической тропы. Предупреждающий об опасности знак, расположенный ранее на верхней оползневой ступени, перенесен на тропу на борту воронки. Расстояние от бровки воронки до временных меток № 1 и №2 сократилось на 0,12 м и на 0,17 м соответственно. Активность процесса средняя.		
66-31-00461	Уральский	Свердловская область	Нижнесергинский район, природный парк «Оленьи ручьи»	56,49855	59,29495	00.04.24	Не завершилась	КС	Атм.	Не отмечалось	Воронка с понором у пещеры Дружба (ТН338-1). Размеры 4,9×5,13 м, глубина до упавших на дно деревьев 2,4 м. На южной стенке следы срывов грунта. Бровка четкая. Восточная стенка вертикальная, северная и южная - крутые, на западе русло временного потока. Зафиксирована смена уклона поверхностного стока. Создает опасность для туристов. Активность карстово- суффозионного процесса средняя.		
66-11-00310	Уральский	Свердловская область	Слободо-Туринский район, с. Усть-Ницинское	57,4701	64,52367	00.04.24	Не завершилась	Оп	Атм.	Отмечалось	Развитие оползания на юго-восточной окраине с. Усть-Ницинское на нерекультивированном участке. Уменьшается расстояние от бровки срыва до жилого дома по адресу ул. Садовая, дом № 11: от юго-западного угла дома до эрозионной бровки 7,20 м (в 2023 г. - 7,4 м); - расстояние от угла сарая до эрозионной бровки – 6,2 м (в 2023 г. - 7,0 м).		

66-11-00327	Уральский	Свердловская область	Байкаловский МР, Баженовское сельское поселение, д. Верхняя Иленка	57,56174	63,99664	00.04.24	Не завершилась	Оп	Атм.	Отмечалось	Развитие оползнеобразования в д. Верхняя Иленка протяженностью 190 м (08.06.2021 г. - 170 м), вдоль берегового эрозионного уступа, высота оползневого уступа до 2,0 м. Вдоль бровки отрыва на локальных участках наблюдаются свежие осыпания грунта. Минимальное расстояние от бровки отрыва оползня до угла нового забора дома № 17 составляет 2,0 м. Базис развития: р. Иленка. Горные породы: aQI-II. Суглинки, песок, супеси. Активность низкая.		
66-11-00309	Уральский	Свердловская область	Режевской район, окрестности с. Липовка	57,43388	61,10450	00.04.24	Не завершилась	Оп	Атм.	Не отмечалось	Развитие оползневого процесса на борту карьера залежей 3,4,5 (ТН68-1). Геоморфологическое положение: водораздел р. Липовка и р. Бобровка, притоков р. Реж. Характер границ проявления: стенка срыва резкая, со следами активности. Крутизна бортов более 450, язык оползня уходит под воду. Обрывы свежие, профиль вогнутый, вверху почти вертикальный, постепенно выполаживается. Высота до уровня воды 64 м, средняя крутизна около 400. Бровка четко выраженная, видимая амплитуда смещения 15-16 м. Раскрытие трещин на перемычке от 0,2 до 0,4 м, бугры выпирания выражены нечетко. Язык оползает перпендикулярно склону, нижняя часть находится под водой. Стенка срыва оползня раздвоенная, ширина северной части оползня до перемычки 39 м, после перемычки 33 м, ширина перемычки 18,2 м. Активность средняя		
66-22-00355	Уральский	Свердловская область	Режевской район, окрестности с. Липовка	57,42677	61,102764	00.04.24	Не завершилась	Эо	Атм.	Не отмечалось	Развитие процесса овражной эрозии на борту карьера залежи 3, 4, 5 (ТН68-2). Геоморфологическое положение: водораздел р. Липовка и р. Бобровка, притоков р. Реж.Форма склонов: крутые, 50-70°. Рост оврага вершиной. На дне и бортах осыпи. Бровка четкая. Сечение V-образное. Растительность в овраге отсутствует, рядом с оврагом – смешанный лес. Морфологический тип: линейный роющий. Максимальная протяжённость оврага по тальвегу 111 м, максимальная ширина оврага по бровке уступа 20,1 м. Глубина оврага в вершине 3,2 м. Средняя ширина оврага по бр вке уступа 3 м, площадь оврага 1476,3 м^2. Площадь склонов оврага 821 м^2. Средний уклон днища оврага 30°. Активность средняя		
66-11-00308	Уральский	Свердловская область	Режевской район, окрестности с. Липовка	57,44118	61,09580	00.04.24	Не завершилась	Оп	Атм.	Не отмечалось	Развитие оползневого процесса на юго-западной стенке карьера залежи 6 (ТНС68-3). Геоморфологическое положение: водораздел р. Липовка и р. Бобровка, притоков р. Реж.На бортах наблюдаются следы свежих срывов, склоны 48-50°. Бровки резкие, амплитуда смещения более 2 м. Язык оползня погружается в воду, бугров выпирания нет. Высота оползневого уступа 14,3 м, ширина более 100 м. Активность развития процесса средняя.		

66-11-00356	Уральский	Свердловская область	Режевской район, окрестности с. Липовка	57,44376	61,09897	00.04.24	Не завершилась	Оп	Атм.	Не отмечалось	Развитие оползневого процесса расположен на северном борту карьера залежи 6 (ТНС68-4). Геоморфологическое положение: водораздел р. Липовка и р. Бобровка, притоков р. Реж. Стенки срыва выветрелые, крутые до вертикальных, с резкими бровками. Бугров выпирания не наблюдается. Глубина захвата грунта 0,2 м. Общая длина уступов 120 м. Площадь 8760 м^2, площадь разрушенного участка 40 м^2. Активность средняя.		
66-22-00357	Уральский	Свердловская область	Режевской район, окрестности с. Липовка	57,44599	61,11638	00.04.24	Не завершилась	Эо	Атм.	Не отмечалось	Развития процесса овражной эрозии на обочине грунтовой дороги с захватом участка грунтовой дороги (ТНС68-6). Форма склонов: крутые. Рост оврага вершиной. На дне поваленные деревья (ель), на бортах оврага осыпи, бровка четкая. Сечение V-образное. Морфологический тип: линейный, роющий. Максимальная протяжённость оврага по тальвегу (длина) 53 м. Максимальная ширина оврага 11,2 м, глубина 5,5 м. Длина активной части оврага 26,5 м Средняя ширина оврага по бровке уступа 7,2 мПлощадь оврага 381 кв. м. Средний уклон днища оврага 30^0. Активность средняя.		
66-22-00553	Уральский	Свердловская область	Режевской район, окрестности с. Липовка	57,42651	61,09799	00.04.24	Не завершилась	Эо	Атм.	Не отмечалось	Развитие процесса овражной эрозии на борту карьера залежи 3, 4, 5 (ТН68-8). Геоморфологическое положение: водораздел р. Липовка и р. Бобровка, притоков р. Реж. Форма склонов: крутые, 60-70°. Рост оврага вершиной. На дне и бортах оврага осыпи. Бровка четкая. Сечение V-образное.Морфологический тип: линейный роющий, зигзагообразный. Максимальная протяжённость оврага по тальвегу 190 м. Ширина оврага в 20 м выше устья 40 м.Максимальная глубина оврага 16 м. Средний уклон днища оврага 30-40°, в 10 м от вершины формируется левый отвершек. Активность средняя		
66-11-00555	Уральский	Свердловская область	ГО Город Нижний Тагил	57,91091	59,92665	00.04.24	Не завершилась	Оп	Атм.	Отмечалось	На территории г. Нижний Тагил происходит оползание на северо-восточном борту провала над шахтой Магнетитовая (ТН83-1). Ширина оползневых ступеней около 500 м, длина 50 м, высота от 2 м на северо-востоке до 13 м на юге. Оборвалась и съехала вниз на 10 м отсыпанная дресвой тропа. Активность средняя.		

66-11-00556	Уральский	Свердловская область	Артемовский ГО	57,3357	61,9097	02.07.24	Не завершилась	От	Техн.	Отмечалось	Техногенное оседание над шахтным полем по ул. Разведчиков в г. Артемовский, в 100 м на запад от пересечения с ул. Предшахтной, представлено двумя рядом расположенными провалами размером 8,4 х 4,8 м глубиной 5,6 м, и 1,5 х2 м глубиной 4,8 м (общая длина 14,1 м).Территория г. Артемовский		
74-11-00172	Уральский	Челябинская область	Еманжелинский район, п. Красногорский	54,60277	61,27515	00.00.24	Не завершилась	Оп	Атм., Техн.	Отмечалось	Крупный оползень-поток на восточном борту затапливаемого угольного разреза, с размерами: длина 470 м, ширина 200 м. Площадь – 76 000 м^2 (ТН 2). Высота бровки отрыва около 20 м. Язык оползня выходит в затопленную часть карьера. На момент обследования расстояние от бровки отрыва оползня до основной электрифицированной железнодорожной линии Южно-Уральской ж/д (Челябинск - Троицк) составляет 50,5 м (в 2023 г. – 54,5 м), до не электрифицированного подъездного пути – 19,2 м (в 2023 г. - 22,25 м). Глубина разреза по данным интернет-источников достигает 150 м. Активность оползневого процесса высокая – 50%. Образованию оползневого процесса способствовал комплекс факторов, основными из которых являются: метеорологические (периоды выпадения ливневых или продолжительных дождевых осадков). Следует предположить, что триггерным фактором развития оползневого процесса на данном участке является разгрузка грунтовых вод, так как на теле оползня отмечаются обводненные участки.		
74-31-00001	Уральский	Челябинская область	Агаповский район, ж/д ст. Пещерная	53,24094	58,91597	00.04.24	00.07.24	КС	Атм.	Не отмечалось	Две карстово-суффозионные воронки в ТН 18. Длина большой воронки вдоль тальвега лога составила 31,5 м, ширина в крест тальвега лога 23,5 м. Максимальная глубина воронки 4,0 м до уреза воды на дне. Маленькая воронка по правому борту лога, в 2,3 м от основной воронки, имеет размеры в плане 5,2×5,5 м, глубина – 2,0 м. По результатам замеров отмечается рост плановых размеров и глубины большой воронки и рост плановых размеров маленькой воронки с уменьшением ее глубины. Активность процесса средняя – 25%, обусловлена интенсивным снеготаянием и выпадением осадков в теплый период года.		
74-22-00171	Уральский	Челябинская область	Агаповский район, ж/д ст. Пещерная	53,26493	58,91972	00.04.24	Не завершилась	Эо	Атм.	Отмечалось	Овражная эрозия на участке пересечения оврага и Магнитогорской кольцевой автодороги, вдоль ее кювета (ТН 4). Длина оврага 34,0 м, ширина в вершине 6,3 м, глубина 2,0 м. В середине оврага ширина 9,0 м, глубина 2,5-3,0 м. В устье овраг сужается до размеров кювета: ширина 1,9 м, глубина 0,85 м. Площадь – 160 м^2. Причиной развития овражной эрозии является поверхностный сток по кювету автодороги, разрушивший бетонный лоток. Процесс овражной эрозии разрушает обочину автодороги. Минимальное расстояние от борта оврага до края асфальта 4,1 м. Отмечается рост плановых размеров и глубины оврага. Активность процесса овражной эрозии средняя – 15%, обусловлена интенсивным снеготаянием и выпадением осадков в теплый период года		
74-22-00236	Уральский	Челябинская область	Агаповский район, ж/д ст. Пещерная	53,26497	58,91998	00.04.24	00.07.24	Эо	Атм.	Не отмечалось	Эрозионный уступ по левому борту оврага Большой Лог ниже водопропуска под автодорогой в ТН 4-1: протяженность 70,0 м, расстояние вдоль основания уступа по прямой – 47,0 м, высота до 5,0 м. Площадь – 200 м^2. Негативного влияния на автодорогу не оказывает. Активность процесса овражной эрозии низкая <10%, обусловлена интенсивным снеготаянием и выпадением осадков в теплый период года.		
74-22-00201	Уральский	Челябинская область	Агаповский район, ж/д ст. Пещерная	53,262 88	58,92094	00.04.24	00.07.24	Эо	Атм.	Не отмечалось	Участок развития овражной эрозии в ТН 4а. Ширина в вершине 4,7 м, глубина в вершине 1,5 м, длина по бровке 32,7 м. Площадь – 160 м^2. Отмечается рост плановых размеров оврага. Активность процесса овражной эрозии низкая <10%, обусловлена интенсивным снеготаянием и выпадением осадков в теплый период года		

74-22-00198	Уральский	Челябинская область	Агаповский район, ж/д ст. Пещерная	53,26052	58,92360	00.04.24	00.07.24	Эо	Атм.	Не отмечалось	Эрозионный врез по левому борту оврага Большой Лог в ТН 5: протяженность 66,7 м, с учетом формирующегося на южной окраине нового блока оползания (+28,8 м) – 95,5 м (в 2023 г – 90,8 м), стенка вертикальная, максимальной высотой 8,1 м. Площадь – 260 м^2. Эрозией вскрыт разрез неогеновых отложений – верхнего миоцена (N^3_1 Светлинская свита), представленных глинами каолиновыми, пестроцветными, с гравием и галькой кварца, образующими эрозионные скульптурные формы. На бровке отрыва формируется эрозионная промоина размерами: длина по правому борту 4,7 м, ширина в устье 6,2 м, глубина 4,3 м. Активность процесса овражной эрозии средняя – 15%, обусловлена интенсивным снеготаянием и выпадением осадков в теплый период года.		
74-22-00019	Уральский	Челябинская область	Агаповский район, ж/д ст. Пещерная	53,25342	58,92630	00.04.24	00.07.24	Эо	Атм.	Не отмечалось	Эрозионный уступ в тальвеге оврага Большой Лог в ТН 8. Минимальное расстояние от вершины уступа до марки М-7Я – 7,2 м (в 2023 г. - 8,9 м). Марка установлена в 2020 году на расстоянии 10 м от вершины уступа.Ширина в вершине уступа 17,8 м (в 2023 г. - 16,0 м). Глубина в вершине уступа до уреза воды составила 2,2 м (в 2023 г. – тоже). Скорость продвижения уступа в период 2023-2024 гг. составила: 1,7 м.Активность процесса обусловлена интенсивным снеготаянием и выпадением осадков в теплый период года		
74-22-00202	Уральский	Челябинская область	Агаповский район, ж/д ст. Пещерная	53,25286	58,9286	00.04.24	00.07.24	Эо	Атм.	Не отмечалось	Разветвленный овраг в ТН 9а с двумя вершинами общей максимальной длиной 57,0 м (в 2023 г. – 55,0 м). Ширина правой вершины 10,5 м (в 2023 г. - 10,1 м), длина 4,8 м, глубина до 1,5 м. Ширина левой вершины 4,2 м, длина 7,5 м, глубина до 1,5 м. Площадь оврага – 440 м^2. Тальвег сухой зарос травой, бровка четко выраженная, наблюдаются свежие срывы по бортам. Активность отвершка оврага средняя – 20%, обусловлена интенсивным снеготаянием и выпадением осадков в теплый период года.		
74-22-00176	Уральский	Челябинская область	Агаповский район, ж/д ст. Пещерна	53,25120	58,92865	00.04.24	00.07.24	Эо	Атм.	Не отмечалось	Эрозионный врез по левому борту оврага Большой Лог в ТН 9: протяженность по бровке отрыва по данным замеров рулеткой 117,0 м (в 2023 г. – 116,0), максимальная высота 9,0 м (в 2023 г. –7,97 м). Площадь эрозионного вреза – 700 м^2. Общая длина увеличилась незначительно, произошло углубление тальвега оврага и рост высоты эрозионного уступа. Бровка отрыва практически вертикальная, эрозионный склон крутой. Отмечаются новые трещины бортового отрыва длиной до 20 м, шириной до 0,3 м, глубиной до 0,5 м. Отмечено свежее обрушение грунта шириной по бровке 5 м и длиной 2 м. Активность процесса овражной эрозии средняя 10%, обусловлена интенсивным снеготаянием и выпадением осадков в теплый период года		
74-22-00013	Уральский	Челябинская область	Агаповский район, ж/д ст. Пещерная	53,24692	58,92616	00.04.24	00.07.24	Эо	Атм.	Не отмечалось	Отвершек оврага Большой Лог в ТН 15. Протяженность оврага 70,0 м. Расстояние от вершины оврага до марки М-3Я - 2,8 м. Ширина оврага в створе Р-9Я – М-10Я составила 9,6 м (в 2023 г. – 9,56 м), глубина 2,6 м. Ширина оврага в створе М-11Я – М-12Я - 18,0 м, глубина 4,6 м. В устье ширина оврага увеличилась до 23,0 м (в 2023 г. – 20,1 м), глубина оврага в устье 5,0 м. Площадь оврага 820 м^2. Следует предположить, что линейная форма отвершка обусловлена ослабленной трещиноватой зоной в карбонатном массиве. По результатам замеров активность процесса овражной эрозии оценивается как средняя – 10%, отмечается рост ширины в устье оврага. Активность процесса обусловлена интенсивным снеготаянием и выпадением осадков в теплый период года		
74-22-00199	Уральский	Челябинская область	Агаповский район, ж/д ст. Пещерная	53,25593	58,92277	00.04.24	00.07.24	Эо	Атм.	Не отмечалось	Два эрозионных уступа по правому борту оврага Большой Лог в ТН 6, 7. Уступ в ТН 6 – протяженность 28,0 м (в 2023 г. - 26,6 м), максимальная высота 5,7 м (не изменилась). Уступ в ТН 7 – протяженность 29,0 м (в 2023 г. - 27,7 м), максимальная высота 7,6 м (не изменилась). В тальвеге оврага эрозией вскрыты известняки. Общая протяженность эрозионных уступов по низу – 57,0 м. Площадь 400 м^2. Отмечается некоторое увеличение длины эрозионных врезов. Уступы разделены небольшим оврагом длиной 10,6 м, шириной в точке наблюдения 3,4 м, глубиной 1,6 м. В устье ширина 4,5 м, глубина 2,0 м; в вершине ширина 1,1 м, глубина 0,3 м, заросший травой. Активность процесса овражной эрозии средняя – 10%, обусловлена интенсивным снеготаянием и выпадением осадков в теплый период года		

74-11-00237	Уральский	Челябинская область	г. Копейск	55,10829	61,63126	28.07.24	00.08.24	Оп	Техн., Атм.	Отмечалось	Активизация оползневого процесса произошла в первой половине дня 28.07.2024 г. По результатам оперативного обследования 03.08.2024 на борту разреза Копейский зафиксирован оползень-поток максимальной шириной 83 м, длиной 143 м, общей площадью 10 690 м^2. Тело оползня разбито на многочисленные блоки с трещинами глубиной до 3,0 м, шириной до 2 м. Активизация оползневого процесса обусловлена интенсивным выпадением осадков в июне-июле месяце.Разрушены секции металлического ограждения завода на протяжении 18 м. На технологической дороге завода наблюдаются трещины		
74-11-00067	Уральский	Челябинская область	г. Копейск	55,11005	61,63742	00.04.24	00.08.24	Оп	Техн., Атм.	Не отмечалось	Оползание борта карьера на участке протяженностью 290 м в ТН 12. Зафиксирована активизация оползневого процесса: оползневой блок шириной от 10,6 до 16,3 м и значительной протяженностью вдоль борта - до 200 м, опустился на 2,0 – 10 м в сравнении с прошлым годом. При оперативном обследовании 03.08.2024 отмечено полное разрушение оползневой ступени. Причина активности оползневого процесса имеет техногенный характер: в створе данного участка, выше по потоку подземных вод расположен водоем, от которого в сторону карьера направлен поток грунтовых вод, происходит смачивание грунтов борта карьера и потеря их устойчивости. В ТН 12 имеется участок сброса воды в карьер с дебитом около 12 л/с, в результате которого также образовался водоем и произошло обрушение борта карьера. По результатам обследования зафиксирована активизация оползневого процесса, обусловлена интенсивным снеготаянием и выпадением осадков в теплый период года.		
74-11-00068	Уральский	Челябинская область	г. Копейск	55,11165	61,64543	23.07.24	00.08.24	Оп	Техн., Атм.	Не отмечалось	По информации АО «Копемаш» в ночь с 23 на 24 июля 2024 г. произошло обрушение на восточном борту карьера в районе свалки отходов строительного мусора. Оползневой блок опустился ориентировочно на 15 м. Участок активизации оползневого процесса. Активность обусловлена интенсивным выпадением осадков в теплый период года		
74-22-00022	Уральский	Челябинская область	г. Еманжелинск	54,74510	61,32493	00.04.24	00.08.24	Эо	Техн., Атм.	Не отмечалось	Овражная эрозия на западном борту карьера на восточной окраине г. Еманжелинска в ТН 1. По результатам замеров 28.06.2024 в точке наблюдений (пересечение оврага с грунтовой дорогой – средняя часть оврага) ширина оврага 12,0 м, глубина 6,0 м. По тальвегу оврага бежит ручей с визуально оцененным расходом 20 л/с. Ширина оврага в устье 20,0 м (в 2023 г. - 18,6 м), глубина 11,0 м (не изменилась). Протяженность оврага от вершины (окраина болотного массива) до устья (борт карьера) по данным космоснимков – 160 м. В овраг отводится поверхностный сток с болота. Активность процесса овражной эрозии в точке наблюдения средняя – 20%, обусловлена интенсивным снеготаянием и выпадением осадков в теплый период года		
74-22-00023	Уральский	Челябин-ская область	г. Еманжелинск	54,74608	61,34325	00.04.24	00.08.24	Эо	Техн., Атм.	Не отмечалось	Нерекультивированный участок оврага расположен на борту карьера и имеет протяженность до уреза воды около 400 м, шириной около 30 м и глубиной 15 м. В нерекультивированной части оврага по бортам развиваются процессы оползания и обрушения. Активность обусловлена интенсивным снеготаянием и выпадением осадков в теплый период года		
74-22-00025	Уральский	Челябинская область	г. Еманжелинск	54,77158	61,35950	00.04.24	00.08.24	Эо	Техн., Атм.	Не отмечалось	Овраг на южном борту среднего карьера № 2 в ТН 7. Ширина в вершине 14,0 м (в 2023 г. - 12,5 м), глубина 12,0 м (не изменилась), протяженность до уреза воды 165 м. В овраг по системе каналов отводится вода из п. Батуринский. На момент обследования сток по оврагу отсутствует. Активность процесса овражной эрозии средняя 25%, обусловлена интенсивным снеготаянием и выпадением осадков в теплый период года.		

74-22-00203	Уральский	Челябинская область	г. Еманжелинск, п. Проходная	54,80501	61,36192	00.04.24	00.08.24	Эо	Техн., Атм.	Не отмечалось	Растущий овраг в ТН 13а в п. Проходная, по ул. Линейная, д. 11, 13, 19 шириной 5,5 м (в 2023 г. - 4,8 м), глубиной 2,0 м, длиной 7,2 м (в 2023 г. - 5,4 м). Активность процесса овражной эрозии высокая 25%, обусловлена интенсивным снеготаянием и выпадением осадков в теплый период года.		
74-11-00063	Уральский	Челябинская область	г. Еманжелинск	54,74397	61,34119	00.04.24	00.08.24	Оп	Техн., Атм.	Не отмечалось	Оползень на восточном борту карьера № 3 в ТН 5: протяженность вдоль бровки отрыва по данным космоснимков около 300 м. Максимальная протяженность вдоль линии смещения 300 м. Высота бровки отрыва порядка 20 м. В основании бровки отрыва – высачивание грунтовых вод. Оползень-поток, тело оползня представлено грунтами текучей консистенции. На теле оползня на отдельных участках небольшие водоемы и ручьи. Свежие блоки оползания и трещины бортового отрыва. Развитие оползневого процесса провоцируется потоком грунтовых вод, фильтрующихся из водоотводного канала на борту карьера и смачивающих грунты. Активность гравитационного комплекса процессов (оползневого процесса) высокая – 40%, обусловлена интенсивным снеготаянием и выпадением осадков в теплый период года		
74-11-00061	Уральский	Челябинская область	Еманжелинский ГО	54,77086	61,35761	00.04.24	00.08.24	Оп	Техн., Атм.	Не отмечалось	Оползневой склон на южной окраине карьера № 2 в ТН 8, протяженностью по бровке отрыва 485 м. Максимальная протяженность от бровки отрыва до уреза воды в карьере 130 м. Высота бровки отрыва порядка 20 м. Вдоль бровки отрыва – свежие блоки оседания и трещины.Активность гравитационного комплекса процессов (оползневого процесса) высокая – 40%, обусловлена интенсивным снеготаянием и выпадением осадков в теплый период года.		
74-11-00059	Уральский	Челябинская область	Еманжелинский ГО, п. Батуринский	54,79166	61,36115	00.04.24	00.08.24	Оп	Техн., Атм.	Не отмечалось	Оползневой участок на южном борту карьера № 1, западная окраина п. Батуринский в ТН 11. Два развивающихся оползня-потока с общим устьем. Протяженность вдоль бровки отрыва 95+45=130 м, максимальная длина оползневого потока до 260 м. Отмечены свежие блоки оползания и трещины бортового отрыва. Высота бровки отрыва 15-20 м. Минимальное расстояние до угла забора хозяйственной территории 7,0 м. Расстояние от грунтовой марки № 1 до бровки отрыва оползня 1,45 м (в 2023 г. – 2,0 м). Расстояния от двух меток на дереве до бровки отрыва 4,7 и 7,2 м. Кратчайшее расстояние от репера до бровки 5,2 м. Оползневой участок представляет угрозу для хозяйственных построек на западной окраине п. Батуринский.Активность оползневого процесса в ТН 11 оценена как средняя 25%, обусловлена интенсивным снеготаянием и выпадением осадков в теплый период года		
86-13-00006	Уральский	ХМАО-Югра	п. БерезовоБерезовского района	63,94032	65,06129	00.05.24	00.08.24	Пт	Гидрол.	Отмечалось	В п. Березово по ул. Гидропорт 8а, в ТН 6. Участок подтопления расположен в пойме р. Северная Сосьва, вблизи уреза воды. Высота берегового уступа 1,5 м, территория частично отсыпается, ограждение участка – забор расположен на урезе воды. Активность процесса подтопления средняя >10%, обусловлена высоким уровнем воды в р. Северная Сосьва. Территория частного землевладения расположена непосредственно на урезе воды		
86-13-00013	Уральский	ХМАО-Югра	п. БерезовоБерезовского района	63,92846	65,05868	00.05.24	00.08.24	Пт	Гидрол.	Отмечалось	Подтопление частных землевладений в п. Березово по ул. Сосунова, дома № 36-44 в ТН13. Подтапливаются участки, расположенные в пойме р. Северная Сосьва, в основании левого борта долины. Активность процесса подтопления средняя 20%, обусловлена интенсивным снеготаянием в весенний период и ливневыми осадками.Подтопление частных землевладений по ул. Сосунова, дома № 36-44		

86-13-00035	Уральский	ХМАО-Югра	г. Урай	60,15508	64,68167	00.05.24	Не завершилась	Пт	Атм.	Отмечалось	В центральной части г. Урай расположен торфяной массив, по периметру которого пройдена кольцевая дренажная канава глубиной 2-3 м, для его осушения. На всю глубину канавой вскрыты отложения торфа. По данным замеров в колодцах пожарных гидрантов по ул. Кондинская, проходящей по южной окраине торфяного массива, уровни грунтовых вод залегают на глубине 0,5-0,67 м, что позволяет отнести данный участок застройки частного сектора к территории умеренного подтопления с глубиной залегания уровня подземных вод от 0,3 до 2,0 м от поверхности. Активность процесса подтопления средняя 25%, обусловлена весенним снеготаянием и ливневыми осадками.Расположение заторфованного обводненного массива площадью 0,45 км^2 в центре г. Урай затрудняет хозяйственное освоение территории		
89-06-00227	Уральский	ЯНАО	Ямальский район, с. Сёяха	70,16365	72,43416	Нет данных	Не завершилась	Пу	Атм.	Не отмечалось	Булгуннях – крупный многолетний бугор пучения, расположенный в 2,5 км западнее с. Сеяха. Размеры: длина 74,44 м, ширина 62,86 м, высота до 5,04 м. Вершина и склоны гидролакколита покрыты крупными заросшими трещинами шириной до 1,0 м и глубиной до 0,5 м. В 2024 г произошло увеличение глубины трещины до 0,5 м.Литологический состав горных пород: пески тонкозернистые, пылеватые (аллювий пойменных террас и русла) с включениями гравия, гальки и валунов – до 8 м (aH); байдарацкий эолий: пески и алевриты с песчаными клиньями и псевдоморфозами по повторно-жильным льдам – до 15 м (vIIIbd).Признаки и параметры активизации: изменение линейных размеров проявления, изменение абсолютной отметки. Активность оценена как низкая (10%). Факторы активизации: инженерно-хозяйственная деятельность; сезонная, среднегодовая и многолетняя температура воздуха, глобальное потепление; количество выпавших атмосферных осадков		
89-11-00228	Уральский	ЯНАО	Ямальский район, с. Сёяха	70,17151	72,55397	Нет данных	Не завершилась	Оп	Атм.	Не отмечалось	Участок активного развития оползневого процесса в парагенезисе с термоабразией и таянием многолетнемерзлых пород, в районе двух вышек связи. Протяженность участка вдоль берегового уступа (между ТН4-5) 250 м. Расстояние от бровки отрыва до вышки № 1 (по ходу маршрута от села) – до технологического контейнера – 41,3 м (в 2023 г - 42,0 м); до ограждения вышки № 2 – 60,5 м (в 2023 г – тоже, 2022 г – 65,0 м). Кратчайшее расстояние до столба в створе вышки №2 23,6 м (в 2023 г. - 27,2 м). Длина склона до пляжа – 70 м, угол наклона 600. Высота берегового уступа порядка 20 м. Вследствие таяния многолетнемерзлых грунтов отмечается их оползание в виде крупных блоков и участков течения грунта вниз по склону. На бровке склона – многочисленные трещины отрыва.Литологический состав горных пород: пески тонкозернистые, пылеватые (аллювий пойменных террас и русла) с включениями гравия, гальки и валунов – до 8 м (aH); байдарацкий эолий: пески и алевриты с песчаными клиньями и псевдоморфозами по повторно-жильным льдам – до 15 м (vIIIbd).Признаки и параметры активизации: изменение линейных размеров проявления, изменение абсолютной отметки. Активность процесса высокая (30%). Факторы активизации: инженерно-хозяйственная деятельность; сезонная, среднегодовая и многолетняя температура воздуха, глобальное потепление; количество выпавших атмосферных осадков; ветровой и волновой режим		
89-11-00229	Уральский	ЯНАО	Ямальский район, с. Сёяха	70,16857	72,56052	Нет данных	Не завершилась	Оп	Атм.	Не отмечалось	Участок активного развития гравитационного комплекса процессов в парагенезисе с термоабразионным процессом на высоком берегу восточного Ямала протяженностью вдоль берегового уступа 100 м, длиной до уреза воды 70 м, углом наклона 450. Наблюдаются свежие блоки оседания, оплывины, трещины отрыва шириной до 0,5 м. Литологический состав горных пород: пески тонкозернистые, пылеватые (аллювий пойменных террас и русла) с включениями гравия, гальки и валунов – до 8 м (aH); байдарацкий эолий: пески и алевриты с песчаными клиньями и псевдоморфозами по повторно-жильным льдам – до 15 м (vIIIbd).Признаки и параметры активизации: изменение линейных размеров проявления, изменение абсолютной отметки. Активность процесса высокая (30%). Факторы активизации: инженерно-хозяйственная деятельность; сезонная, среднегодовая и многолетняя температура воздуха, глобальное потепление; количество выпавших атмосферных осадков; ветровой и волновой режим		

89-11-00230	Уральский	ЯНАО	Ямальский район, с. Сёяха	70,16713	72,56352	Нет данных	Не завершилась	Оп	Атм.	Не отмечалось	Участок активного развития оползневого процесса в парагенезисе с термоабразионным процессом на высоком берегу восточного Ямала протяженностью вдоль берегового уступа 150 м, длиной до уреза воды 60 м, углом наклона 45-60 градусов. Продолжается оползание, обрушение и течение грунта на локальных участках.Литологический состав горных пород: пески тонкозернистые, пылеватые (аллювий пойменных террас и русла) с включениями гравия, гальки и валунов – до 8 м (aH); байдарацкий эолий: пески и алевриты с песчаными клиньями и псевдоморфозами по повторно-жильным льдам – до 15 м (vIIIbd). Признаки и параметры активизации: изменение линейных размеров проявления, изменение абсолютной отметки.Активность процесса высокая (30%). Факторы активизации: инженерно-хозяйственная деятельность; сезонная, среднегодовая и многолетняя температура воздуха, глобальное потепление; количество выпавших атмосферных осадков; ветровой и волновой режим		
89-11-00232	Уральский	ЯНАО	Ямальский район, с. Сёяха	70,16138	72,56753	Нет данных	Не завершилась	Оп	Атм.	Не отмечалось	Активный термоцирк на восточном высоком берегу Ямала протяженностью вдоль берега около 160 м. Максимальная высота берегового уступа до 20 м, угол наклона 45. Участок с многочисленными выходами подземных жильных льдов. В точке наблюдения отмечается интенсивное таяние многолетнемерзлых пород с выходами жильных льдов, вследствие чего грунты (супесь) берегового склона практически на всем протяжении участка «плывут» - находятся в текучем состоянии. Бровка отрыва продвинулась в створе грунтовых марок на 8 - 11 м. В створе репера на 9 м.Литологический состав горных пород: пески тонкозернистые, пылеватые (аллювий пойменных террас и русла) с включениями гравия, гальки и валунов – до 8 м (aH); байдарацкий эолий: пески и алевриты с песчаными клиньями и псевдоморфозами по повторно-жильным льдам – до 15 м (vIIIbd).Признаки и параметры активизации: изменение линейных размеров проявления, изменение абсолютной отметки. Активность процесса очень высокая (70%). Факторы активизации: инженерно-хозяйственная деятельность; сезонная, среднегодовая и многолетняя температура воздуха, глобальное потепление; количество выпавших атмосферных осадков; ветровой и волновой режим		
89-11-00233	Уральский	ЯНАО	Ямальский район, с. Сёяха	70,16549	72,49720	Нет данных	Не завершилась	Оп	Атм.	Не отмечалось	Активный оползневой процесс в районе причала в парагенезисе с термоабразией и таянием мгоголетнемерзлых грунтов. Размеры в плане: ширина вдоль берегового уступа – 13,8 м, длина до уреза воды – 17,6 м. Расстояние от бровки отрыва до столба с меткой 37,8 м. Новые блоки оползания грунта, высота берегового уступа до 6 м. На участке наблюдается сеть трещин шириной до 1,5 м глубиной до 2 м. Расстояние от грунтового репера до бровки 9,4 м, до трещины отрыва 8,6 м, до ближайшей к реперу трещины 1,2 м. Литологический состав горных пород: пески тонкозернистые, пылеватые (аллювий пойменных террас и русла) с включениями гравия, гальки и валунов – до 8 м (aH); байдарацкий эолий: пески и алевриты с песчаными клиньями и псевдоморфозами по повторно-жильным льдам – до 15 м (vIIIbd).Признаки и параметры активизации: изменение линейных размеров проявления, изменение абсолютной отметки. Активность процесса средняя (25%). Факторы активизации: инженерно-хозяйственная деятельность; сезонная, среднегодовая и многолетняя температура воздуха, глобальное потепление; количество выпавших атмосферных осадков; ветровой и волновой режим		
89-20-00010	Уральский	ЯНАО	Ямальский район, с. Сёяха	70,16537	72,16545	Нет данных	Не завершилась	Тэ	Атм.	Не отмечалось	Разветвлённый овраг на побережье р. Сеяха. Ширина в устье 8,6 м, максимальная ширина 16,9 м. Длина 33,0 м, высота бортов 1,3 м, уклон бортов от 70 до 90°. Расстояние от вершины до метки на вагоне 7,4 м (в 2023 г. - 7,55 м). Развивается новый отвершек: ширина 8 м, длина 6,3 м.Литологический состав горных пород: пески тонкозернистые, пылеватые (аллювий пойменных террас и русла) с включениями гравия, гальки и валунов – до 8 м (aH); байдарацкий эолий: пески и алевриты с песчаными клиньями и псевдоморфозами по повторно-жильным льдам – до 15 м (vIIIbd).Признаки и параметры активизации: изменение линейных размеров проявления, изменение абсолютной отметки.Активность процесса средняя (25%). Факторы активизации: инженерно-хозяйственная деятельность; сезонная, среднегодовая и многолетняя температура воздуха, глобальное потепление; количество выпавших атмосферных осадков		

89-20-00190	Уральский	ЯНАО	Ямальский район, с. Сёяха	70,16541	72,50136	00.00.24	Не завершилась	Тэ	Атм.	Не отмечалось	Разветвленный овраг, заваленный мусором и покрытый георешеткой. Протяженность 36,7 м (в 2023 г. 80 м, овраг рекультивирован, засыпан песком), ширина в устье 24-27 м, глубина до 6 м. Расстояние от вершины до метки на столбе 18,1 м (в 2023 г. - 19,7 м).Литологический состав горных пород: пески тонкозернистые, пылеватые (аллювий пойменных террас и русла) с включениями гравия, гальки и валунов – до 8 м (aH); байдарацкий эолий: пески и алевриты с песчаными клиньями и псевдоморфозами по повторно-жильным льдам – до 15 м (vIIIbd).Признаки и параметры активизации: изменение линейных размеров проявления, изменение абсолютной отметки.Активность процесса средняя (15%). Факторы активизации: инженерно-хозяйственная деятельность; сезонная, среднегодовая и многолетняя температура воздуха, глобальное потепление; количество выпавших атмосферных осадков		
89-20-00013	Уральский	ЯНАО	Ямальский район, с. Сёяха	70,16637	72,50627	00.00.24	Не завершилась	Тэ	Атм.	Не отмечалось	Овражная термоэрозия на участке строительства водозабора, по оврагу идет сток с улицы Береговая. Длина активной части оврага 30,3 м, глубина в вершине 1,8 м, в устье 3 м. Максимальная ширина оврага 7,75 м. Литологический состав горных пород: пески тонкозернистые, пылеватые (аллювий пойменных террас и русла) с включениями гравия, гальки и валунов – до 8 м (aH); байдарацкий эолий: пески и алевриты с песчаными клиньями и псевдоморфозами по повторно-жильным льдам – до 15 м (vIIIbd).Признаки и параметры активизации: изменение линейных размеров проявления, изменение абсолютной отметки.Активность процесса средняя (25%). Факторы активизации: инженерно-хозяйственная деятельность; сезонная, среднегодовая и многолетняя температура воздуха, глобальное потепление; количество выпавших атмосферных осадков		
89-20-00014	Уральский	ЯНАО	Ямальский район, с. Сёяха	70,16664	72,50618	00.00.24	Не завершилась	Тэ	Атм.	Не отмечалось	Небольшой термоцирк шириной вдоль берегового уступа 11,6 м и протяженностью в направлении уреза воды 15 м. Высота берегового уступа 5 м. На краю термоцирка – демонтированная ЛЭП. Расстояние до нежилого одноэтажного деревянного дома ул. Береговая д.11 – 4,56 м (в 2023 г. - 6,52 м).Литологический состав горных пород: пески тонкозернистые, пылеватые (аллювий пойменных террас и русла) с включениями гравия, гальки и валунов – до 8 м (aH); байдарацкий эолий: пески и алевриты с песчаными клиньями и псевдоморфозами по повторно-жильным льдам – до 15 м (vIIIbd).Признаки и параметры активизации: изменение линейных размеров проявления, изменение абсолютной отметки.Активность процесса высокая (35%). Факторы активизации: инженерно-хозяйственная деятельность; сезонная, среднегодовая и многолетняя температура воздуха, глобальное потепление; количество выпавших атмосферных осадков		
89-12-00001	Уральский	ЯНАО	Приураль-ский район, массив Рай-Из	66,89868	65,71070	00.00.24	Не завершилась	Ос	Атм.	Не отмечалось	Осыпь на склоне горного массива Рай-Из, в районе стоянки «Идолы». Общая протяженность склона от бровки отрыва до русла р. Собь – 1,0 км. По данным геологической карты масштаба 1:200 000 (лист О-41-XII, Харп), участок расположен в границах Райизско-Войкарского дунит-гарцбургитового комплекса пород, представленного дунитами, гарцбургитами и серпентинитами раннедевонского возраста.Размеры осыпи в плане: общая длина по направлению движения 700 м, ширина 100 м. Состоит из глыбово-щебенистого материала.На осыпи организован профиль протяженностью 450 м, состоящий из 17 точек привязки. Признаки и параметры активизации: свежие осыпи и обвалы. Активность осыпного процесса оценена на среднем уровне (25%). Факторы активизации: физическое выветривание, весеннее снеготаяние, ливневые и продолжительные дождевые осадки	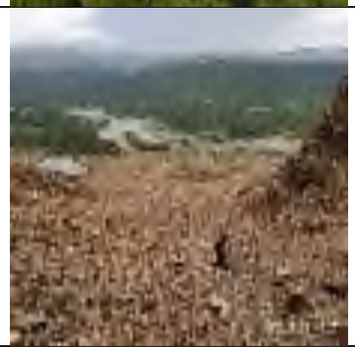	

89-12-00002	Уральский	ЯНАО	Приуральский район, массив Рай-Из	66,89976	65,70267	00.06.24	Не завершилась	Ос	Атм.	Не отмечалось	Подножье склона - основание осыпи. Абсолютные отметки поверхности рельефа 150-250 м. Незначительный уклон рельефа с углом наклона до 15. Конус выноса коллювиального, делювиально-коллювиального и элювиально-делювиального происхождения. Представлен грубо окатанными валунами (возможно ледникового происхождения) размером от 0,2 до 1,0 м. Находится в равновесном состоянии. Скорость продвижения вниз по склону низкая.Абсолютные отметки поверхности рельефа 250-400 м. Уклон рельефа до 25. Начало конус выноса коллювиального, делювиально-коллювиального и элювиально-делювиального происхождения. Представлен щебенисто-глыбовым грунтом с размером глыб от 0,2 до 2,0 м. Круглогодично происходит гравитационный снос материала со склонов массива. В период весеннего снеготаяния происходит вынос материала (пролювий) временными водотоками. Скорости перемещения материала средние.По данным геологической карты масштаба 1:200 000 (лист О-41-XII, Харп), участок расположен в границах Райизско-Войкарского дунит-гарцбургитового комплекса пород, представленного дунитами, гарцбургитами и серпентинитами раннедевонского возраста.Признаки и параметры активизации: свежие осыпи. Активность осыпного процесса оценена на среднем уровне (25%). Факторы активизации: физическое выветривание, весеннее снеготаяние, ливневые и продолжительные дождевые осадки.		
89-20-00001	Уральский	ЯНАО	Приуральский район, с. Аксарка	66,56131	67,79807	00.05.24	00.09.24	Тэ	Атм.	Не отмечалось	Активный процесс овражной термоэрозии в центре с. Аксарка. Разветвленный древовидный овраг. Высота бортов до 4 м, ширина 15 м, сток по тальвегу 1 л/с. По бортам наблюдаются свежие оползания. Литологический состав горных пород: am_4IIIkz – аллювиомариний третьего террасового уровня, Казанцевский горизонт. Глины однородные и тонкослоистые, суглинки, супеси, пески.Признаки и параметры активизации: рост размеров оврага в плане и на глубину, свежие срывы по бортам оврага.Активность процесса оценена на среднем уровне (25%). Факторы активизации: весенний паводок; атмосферные осадки; таяние многолетней мерзлоты в верхней части разреза.		
89-20-00003	Уральский	ЯНАО	Приуральский район, с. Аксарка	66,56242	67,80572	00.05.24	00.09.24	Тэ	Атм.	Не отмечалось	Участок овражной термоэрозии со стороны мемориала, рядом с лестницей. Ширина 5 м, длина 40 м, глубина в вершине до 2-х м. Деформирована георешетка. Тальвег сухой. Литологический состав горных пород: am_4IIIkz – аллювиомариний третьего террасового уровня, Казанцевский горизонт. Глины однородные и тонкослоистые, суглинки, супеси, пески. Признаки и параметры активизации: свежие осыпания грунта. Активность процесса средняя (15%). Факторы активизации: весенний паводок; атмосферные осадки; таяние многолетней мерзлоты в верхней части разреза.	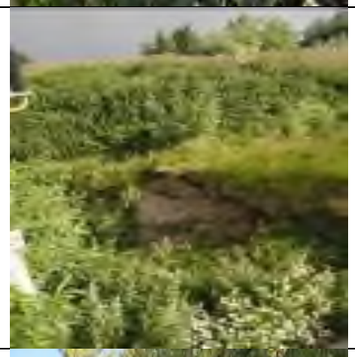	
04-11-00014	Сибирский	Республика Алтай	Кош-Агачский район, в 9,2 км к юго-западу от с. Бельтир	49,95636	88,07309	00.05.24	00.09.24	Оп	Атм., сейсм.	Отмечалось	В 9,2 км к юго-западу от с. Бельтир Кош-Агачского района (пункт наблюдений Арка-Узук) отмечалась активизация оползневого процесса на крупном сейсмогенном оползне блокового типа. Отступание надоползневого уступа составило 0,5-7,5 м, прирост площади оползня по уступу - 2775 м^2, площадь оползня на момент обследования – 651399 м^2. В уступе вскрыты многолетнемерзлые породы, образовались блоки отпора, оплывины, поваленные деревья. В результате активизации оползневого процесса негативному воздействию подверглись земли с/х назначения (пастбища) на площади 2775 м^2. Литологический состав горных пород, затронутых проявлением: валунно-галечный материал с супесчаным заполнителем (ледниковый комплекс); суглинки туерыкской свиты. Основные факторы активизации: метеорологический, сейсмический.	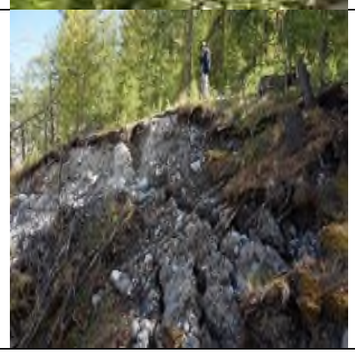	

04-11-00016	Сибирский	Республика Алтай	Кош-Агачский район, в 4,5 км к северу от с. Ортолык	50,11976	88,37653	00.05.24	00.09.24	Оп	Атм., сейсм.	Отмечалось	В 44,5 км к северу от с. Ортолык Кош-Агачского района (пункт наблюдений Чуйский) отмечалась активизация оползневого процесса на оползне II порядка № 2А. Оползень фронтального типа расширяется вверх и вниз по склону. Параметры проявления опасного ЭГП: длина – 256 м, ширина – 392,3 м, площадь – 100427 м^2. В результате активизации оползневого процесса негативному воздействию подверглись земли с/х назначения на площади 3239 м^2. Литологический состав горных пород, затронутых проявлением: супеси и суглинки с включением гравия и мелкой гальки. Основные факторы активизации: метеорологический, сейсмический.	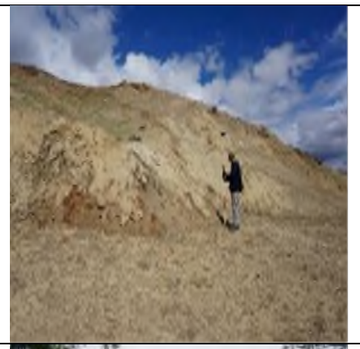	
04-11-00020	Сибирский	Республика Алтай	Кош-Агачский район, в 1,8 км к северу от с. Чаган-Узун	50,11964	88,37623	00.05.24	00.09.24	Оп	Атм., гидрогеол., сейсм.	Отмечалось	В 1,8 км к северу от с. Чаган-Узун Кош-Агачского района (пункт наблюдений Чуйский) отмечалась активизация оползневого процесса на оползне № 30. Оползень расширяется вверх по склону, выше надоползневого уступа развивается новая зона оползания по трещинам растяжения и сдвига. Параметры проявления опасного ЭГП: длина – 347 м, ширина – 22,45 м, площадь – 7792 м^2. При проведении обследования отмечалась повышенная обводненность в транзитной зоне оползня. В результате активизации оползневого процесса негативному воздействию подверглись земли с/х назначения на площади 34 м^2. Литологический состав горных пород, затронутых проявлением: супеси и суглинки с включением гравия и мелкой гальки. Основные факторы активизации: метеорологический, гидрогеологический, сейсмический.		
04-11-00021	Сибирский	Республика Алтай	Кош-Агачский район, в 2,15 км к северо-западу от с. Чаган-Узун	50,12044	88,38221	00.05.24	00.09.24	Оп	Атм., гидрогеол., сейсм.	Не отмечалось	В 2,15 км к северо-западу от с. Чаган-Узун Кош-Агачского района (пункт наблюдений Чуйский) отмечалась активизация оползневого процесса на оползне № 34. Параметры проявления опасного ЭГП: длина – 301 м, ширина – 38,1 м, площадь – 11460 м^2. При проведении обследования отмечалось наличие вертикальных уступов, высотой 1,0-1,5 м, а также обводненности в зоне транзита и надоползневого уступа; из-под языка зафиксирован малодебитный пластовый выход подземных вод. Негативное воздействие отсутствует. Литологический состав горных пород, затронутых проявлением: супеси и суглинки с включением гравия и мелкой гальки. Основные факторы активизации: метеорологический, гидрогеологический, сейсмический.		
04-11-00023	Сибирский	Республика Алтай	Кош-Агачский район, в 3,55 км к югу от с. Чаган-Узун	50,06715	88,36534	00.05.24	00.09.24	Оп	Атм., сейсм.	Отмечалось	В 3,55 км к югу от с. Чаган-Узун Кош-Агачского района (пункт наблюдений Чуйский) отмечалась активизация оползневого процесса на оползне № 55. Параметры проявления опасного ЭГП: длина – 116 м, ширина – 75,9 м, площадь – 8803 м^2. Язык оползня перекрывавший ручей, размыт. В результате активизации оползневого процесса негативному воздействию подверглись земли с/х назначения на площади 38 м^2. Литологический состав горных пород, затронутых проявлением: супеси и суглинки с включением гравия и мелкой гальки. Основные факторы активизации: метеорологический, сейсмический.		

04-11-00024	Сибирский	Республика Алтай	Кош-Агачский район, в 3,58 км к югу от с. Чаган-Узун	50,06621	88,35876	00.05.24	00.09.24	Оп	Атм., сейсм.	Отмечалось	В 3,58 км к югу от с. Чаган-Узун Кош-Агачского района (пункт наблюдений Чуйский) отмечалась активизация оползневого процесса на оползне № 71. Параметры проявления опасного ЭГП: длина – 304 м, ширина – 54,53 м, площадь – 16578 м^2. Высота надоползневого уступа 1,1-2,0 м, в подошве уступа многолетнемерзлые породы. В результате активизации оползневого процесса негативному воздействию подверглись земли с/х назначения на площади 174 м^2. Литологический состав горных пород, затронутых проявлением: супеси и суглинки с включением гравия, мелкой гальки и углистого вещества. Основные факторы активизации: метеорологический, сейсмический.		
04-11-00037	Сибирский	Республика Алтай	Кош-Агачский район, в 3,18 км к югу от с. Чаган-Узун	50,07045	88,36701	00.05.24	00.09.24	Оп	Атм., сейсм.	Не отмечалось	В 3,18 к югу от с. Чаган-Узун Кош-Агачского района (пункт наблюдений Чуйский) отмечалась активизация оползневого процесса на оползне № 106. Параметры проявления опасного ЭГП: длина – 292 м, ширина – 61 м, площадь – 14269 м^2. Смещение марок составило 0,3-0,6 м. При проведении обследования отмечалось образование трещин выше уступа. Негативное воздействие отсутствует. Литологический состав горных пород, затронутых проявлением: супеси и суглинки с включением гравия и мелкой гальки. Основные факторы активизации: метеорологический, сейсмический.		
04-11-00040	Сибирский	Республика Алтай	Кош-Агачский район, в 5,17 км к северу от с. Ортолык	50,08678	88,49239	00.05.24	00.09.24	Оп	Атм., сейсм.	Отмечалось	В 55,17 км к северу от с. Ортолык Кош-Агачского района (пункт наблюдений Чуйский) отмечалась активизация оползневого процесса на оползне № 109. Параметры проявления опасного ЭГП: длина – 248 м, ширина – 37-111 м (в среднем 64,2 м), площадь – 15928 м^2. Высота уступа – 10-12 м. В результате активизации оползневого процесса негативному воздействию подверглись земли с/х назначения на площади 2751 м^2. Литологический состав горных пород, затронутых проявлением: супеси и суглинки рыже-коричневые с включением гравия и гальки. Основные факторы активизации: метеорологический, сейсмический.		
04-11-00043	Сибирский	Республика Алтай	Кош-Агачский район, в 5,29 км к северу от с. Ортолык	50,08684	88,49136	00.05.24	00.09.24	Оп	Атм., сейсм.	Отмечалось	В 5,29 км к северу от с. Ортолык Кош-Агачского района (пункт наблюдений Чуйский) отмечалась активизация оползневого процесса на оползне № 112. Параметры проявления опасного ЭГП: длина – 136 м, ширина – 21-96 м (в среднем 54,12 м), площадь – 7360,32 м^2. Высота надоползневого уступа – 3-6 м. В результате активизации оползневого процесса негативному воздействию подверглись земли с/х назначения на площади 259 м^2. Литологический состав горных пород, затронутых проявлением: супеси и суглинки рыже-коричневые с включением гравия и гальки. Основные факторы активизации: метеорологический, сейсмический.		

04-11-00044	Сибирский	Республика Алтай	Кош-Агачский район, в 4,02 км к югу от с. Чаган-Узун	50,06457	88,35753	00.05.24	00.09.24	Оп	Атм., сейсм.	Отмечалось	В 4,02 км к югу от с. Чаган-Узун Кош-Агачского района (пункт наблюдений Чуйский) отмечалась активизация оползневого процесса на оползне № 113. Параметры проявления опасного ЭГП: длина – 265 м, ширина – 49-74 м (в среднем 62,4 м), площадь – 16544 м^2. Отступание в вершине оползня 0,5-2,06 м по замерам марок. В результате активизации оползневого процесса негативному воздействию подверглись земли с/х назначения на площади 141 м^2. Литологический состав горных пород, затронутых проявлением: супеси и суглинки с включением гравия и мелкой гальки. Основные факторы активизации: метеорологический, сейсмический.		
04-11-00047	Сибирский	Республика Алтай	Кош-Агачский район, в 1,86 км к северо-востоку от с. Чаган-Узун	50,11770	88,38568	00.05.24	00.09.24	Оп	Атм., сейсм.	Отмечалось	В 1,86 км к северо-востоку от с. Чаган-Узун Кош-Агачского района (пункт наблюдений Чуйский) отмечалась активизация оползневого процесса на крупном оползне № 115. Параметры проявления опасного ЭГП: длина – 551 м, ширина – 28-141 м (в среднем 79,7 м), площадь – 45770 м^2. Надоползневый уступ с 2 вершинами, ступенеобразный, высотой до 15 м. В результате активизации оползневого процесса негативному воздействию подверглись земли с/х назначения на площади 1855 м^2. Литологический состав горных пород, затронутых проявлением: супеси и суглинки с включением гравия, мелкой гальки, углистого вещества. Основные факторы активизации: метеорологический, сейсмический.		
04-11-00048	Сибирский	Республика Алтай	Кош-Агачский район, в 1,9 км к северу от с. Чаган-Узун	50,11970	88,37024	00.05.24	00.09.24	Оп	Атм., сейсм.	Не отмечалось	В 1,9 км к северу от с. Чаган-Узун Кош-Агачского района (пункт наблюдений Чуйский) отмечалась активизация оползневого процесса на мелком оползне 2-го порядка № 116. Параметры проявления опасного ЭГП: длина – 31 м, ширина – 28 м, площадь – 540 м^2. Высота уступа в вершине – 5 м, фронтальный вал языка наезжает на лиственницы. Негативное воздействие отсутствует. Литологический состав горных пород, затронутых проявлением: супеси и суглинки с включением углистого вещества. Основные факторы активизации: метеорологический, сейсмический.		
04-11-00022	Сибирский	Республика Алтай	Кош-Агачский район, в 0,17 км к северо-востоку от с. Чаган-Узун	50,10656	88,36936	00.05.24	00.09.24	Оп	Атм., гидрогеол., сейсм.	Не отмечалось	В 0,17 км к северо-востоку от с. Чаган-Узун Кош-Агачского района (пункт наблюдений Чуйский тракт) отмечалась активизация оползневого процесса на древнем оползне № 35. Параметры проявления опасного ЭГП: длина – 699 м, ширина – 131-332 м (средняя – 207,2 м), площадь – 144833 м^2. В границах оползня развивается оползень II порядка № 35-1. Негативное воздействие отсутствует. Литологический состав горных пород, затронутых проявлением: многолетнемерзлые супеси и суглинки с включением гравия и углистого вещества. Основные факторы активизации: метеорологический, гидрогеологический, сейсмический.		
04-11-00049	Сибирский	Республика Алтай	Кош-Агачский район, в 0,17 км к северо-востоку от с. Чаган-Узун	50,10512	88,36868	00.05.24	00.09.24	Оп	Атм., гидрогеол., сейсм.	Отмечалось	В 0,17 км к северо-востоку от с. Чаган-Узун Кош-Агачского района (пункт наблюдений Чуйский тракт) отмечалась активизация оползневого процесса на современном оползне 2-го порядка № 35-1. Параметры проявления опасного ЭГП: длина – 231 м, средняя ширина – 86,77 м, стенка отрыва высотой до 5-7 м, площадь – 20045 м^2. Выше оползня серия трещин растяжения с сдвига дугообразной формы. В результате активизации оползневого процесса негативному воздействию подверглись земли с/х назначения на площади 140 м^2. Литологический состав горных пород, затронутых проявлением: многолетнемерзлые супеси и суглинки с включением гравия и углистого вещества. Основные факторы активизации: метеорологический, гидрогеологический, сейсмический.		

04-11-00050	Сибирский	Республика Алтай	Кош-Агачский район, в 0,17 км к северо-востоку от с. Чаган-Узун	50,10354	88,37297	00.05.24	00.09.24	Оп	Атм., гидрогеол., сейсм.	Отмечалось	В 0,17 км к северо-востоку от с. Чаган-Узун Кош-Агачского района (пункт наблюдений Чуйский тракт) отмечалась активизация оползневого процесса на современном оползне 2-го порядка № 36-1. Параметры проявления опасного ЭГП: длина – 263 м, ширина – до 106 м, стенка отрыва высотой до 5 м, площадь – 10574 м^2. При проведении обследования отмечалось избыточное увлажнение горных пород в подошве уступа. В результате активизации оползневого процесса негативному воздействию подверглись земли с/х назначения на площади 869 м^2. В зоне возможного воздействия уч. а/дороги Р-256 на отрезке 95 м. Литологический состав горных пород, затронутых проявлением: многолетнемерзлые супеси и суглинки с включением гравия и углистого вещества. Основные факторы активизации: метеорологический, гидрогеологический, сейсмический.		
04-11-00051	Сибирский	Республика Алтай	Кош-Агачский район, в 0,3 км к северо-востоку от с. Чаган-Узун	50,10780	88,36601	00.05.24	00.09.24	Оп	Атм., сейсм.	Отмечалось	В 0,3 км 0,3 км к северо-востоку от с. Чаган-Узун Кош-Агачского района (пункт наблюдений Чуйский тракт) отмечалась активизация оползневого процесса на современном оползне № 97. Оползень структурный. При проведении обследования отмечался прирост ширины оползня. Параметры проявления опасного ЭГП: длина – 210 м, ширина – до 150 м, средняя – 99,01 м, площадь – 20792 м^2. В результате активизации оползневого процесса негативному воздействию подверглись земли с/х назначения на площади 182 м^2. В зоне возможного воздействия уч. а/дороги Р-256 на отрезке 75 м. Литологический состав горных пород, затронутых проявлением: супеси и суглинки с включением гравия и углистого вещества. Основные факторы активизации: метеорологический, сейсмический.		
04-11-00052	Сибирский	Республика Алтай	Кош-Агачский район, в 0,5 км к северо-востоку от с. Чаган-Узун	50,10288	88,37552	00.05.24	00.09.24	Оп	Атм., гидрогеол., сейсм.	Не отмечалось	В 0,5 км к северо-востоку от с. Чаган-Узун Кош-Агачского района (пункт наблюдений Чуйский тракт) отмечалась активизация оползневого процесса. Параметры проявления опасного ЭГП: длина – 60 м, ширина – 10-42 м, площадь – 1281 м^2. При проведении обследования в подошве уступа отмечались выходы подземных вод. Негативное воздействие отсутствует. Литологический состав горных пород, затронутых проявлением: супеси и суглинки с включением гравия и мелкой гальки. Основные факторы активизации: метеорологический, гидрогеологический, сейсмический.		
04-11-00057	Сибирский	Республика Алтай	Онгудайский район, участок автодороги в Алтайское подворье, 20,05 км	50,77968	86,47058	00.05.24	00.09.24	Оп	Техн.	Отмечалось	В Онгудайском районе на уч. автодороги в Алтайское подворье, 20,05 км (пункт наблюдений участок а/дороги в Алтайское подворье) отмечалась активизация оползневого процесса. Параметры проявления опасного ЭГП: длина – 193,6 м, ширина – 191 м площадь – 36974 м^2. Протяженность оползня по дороге – 195 м. При проведении обследования наблюдались трещины по флангам оползня, глубиной до 0,5 м, уступы – до 1,8 м. Смещение марок по латерали – 0,13-0,18 м, дорожное полотно опущено на 0,49 м относительно уровня 2023 г. В результате активизации оползневого процесса негативному воздействию повергся участок автодороги, длиной 195 м. Наблюдалось частичное разрушение дорожного полотна (проседание на 0,49 м), деформации габионов, подпорных стенок, отбойников. Литологический состав горных пород, затронутых проявлением: щебнисто-глыбовый материал с супесчаным заполнителем. Основной фактор активизации – техногенный (строительство и эксплуатация дороги).		

04-11-00058	Сибирский	Республика Алтай	Онгудайский район, участок автодороги в Алтайское подворье, 19,5 км	50,777 30	86,463 51	00.05.2 4	00.09.24	Оп	Техн.	Не отмечалось	В Онгудайском районе, выше по склону от участка автодороги в Алтайское подворье, 19,5 км (пункт наблюдений Подъезд к урочищу Урсул) отмечалась активизация оползневого процесса. Параметры проявления опасного ЭГП: длина – 168 м, ширина – 125 м, площадь – 19000 м^2. При проведении обследования наблюдались трещины и рвы глубиной 0,3-2,0 м, уступы – 1-5 м. Ширина рвов 1-10 м. Расширение трещин по маркам составило 0,07-0,95 м. Негативное воздействие отсутствует. Литологический состав горных пород, затронутых проявлением: щебнисто-глыбовый материал с супесчаным заполнителем. Основной фактор активизации – техногенный (строительство и эксплуатация дороги).		
04-11-00063	Сибирский	Республика Алтай	Онгудайский район, участок автодороги в Алтайское подворье, 19,5 км	50,775 77	86,458 75	00.05.2 4	00.09.24	Оп	Техн.	Не отмечалось	В Онгудайском районе, выше по склону от участка автодороги в Алтайское подворье, 19,5 км (пункт наблюдений Подъезд к урочищу Урсул) отмечалась активизация оползневого процесса на мелком оползне. Параметры проявления опасного ЭГП: длина – 87 м, ширина 25-66 м, средняя – 36,6 м, площадь оползня – 3180 м^2, высота стенки срыва – 2-8 м. Негативное воздействие отсутствует. Литологический состав горных пород, затронутых проявлением: щебнисто-глыбовый материал с супесчаным заполнителем. Основной фактор активизации – техногенный (строительство и эксплуатация дороги).		
04-11-00059	Сибирский	Республика Алтай	Кош-Агачский район, в 10 км к юго-западу от с. Чаган-Узун	50,042 92	88,256 46	00.05.2 4	00.09.24	Оп	Атм., сейсм.	Отмечалось	В 10 км к юго-западу от с. Чаган-Узун Кош-Агачского района (пункт наблюдений Кызыл-Чин) отмечалась активизация оползневого процесса на современном оползне № 118. Параметры проявления опасного ЭГП: длина – 418 м, ширина – 44-182 м, средняя – 87,9 м, высота надоползневого уступа – до 15 м, высота языка – 3-7 м, площадь – 36744 м^2. Язык частично перекрывает русло р. Кызыл-Чин и размывается рекой. В результате активизации оползневого процесса негативному воздействию подверглись земли с/х назначения на площади 1617 м^2. Литологический состав горных пород, затронутых проявлением: супеси и суглинки с включением гравия и углистого вещества. Основные факторы активизации: метеорологический, сейсмический.	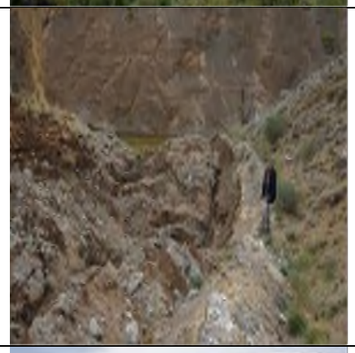	
04-11-00061	Сибирский	Республика Алтай	Кош-Агачский район, в 9 км к юго-западу от с. Чаган-Узун	50,045 09	88,266 00	00.05.2 4	00.09.24	Оп	Атм., сейсм.	Не отмечалось	В 9 км к юго-западу от с. Чаган-Узун Кош-Агачского района (пункт наблюдений Кызыл-Чин) отмечалась активизация оползневого процесса на современном оползне № 120. Параметры проявления опасного ЭГП: длина – 107 м, ширина – 20-36 м, в среднем – 22,75 м, высота надоползневого уступа – 1,5-7 м, площадь – 2434 м^2. Негативное воздействие отсутствует. Литологический состав горных пород, затронутых проявлением: супеси и суглинки с включением гравия и углистого вещества. Основные факторы активизации: метеорологический, сейсмический.		

04-22-00002	Сибирский	Республика Алтай	Кош-Агачский район, участок автодороги Кош-Агач - Джазатор, 99,72 км	49,64227	87,92759	00.05.24	00.09.24	Эо	Атм., техн.	Отмечалось	В Кош-Агачском районе на участке автодороги Кош-Агач – Джазатор, 99,72 км (пункт наблюдений Джазаторская трасса) отмечалась активизация процесса овражной эрозии на склоне вблизи дороги. Параметры проявления опасного ЭГП: длина – 62 м, ширина – 2-18 м, площадь – 553 м^2, вершина в откосах дорожного полотна на участке водовыпуска. В результате активизации процесса овражной эрозии негативному воздействию подверглись откосы автодороги, протяженностью 3 м. Литологический состав горных пород, затронутых проявлением: валунно-галечный материал с супесчаным заполнителем. Основные факторы активизации: метеорологический, техногенный (водовыпуск).			
04-12-00017	Сибирский	Республика Алтай	Кош-Агачский район, участок автодороги Кош-Агач - Джазатор, 101,26 км	49,63688	87,90768	00.05.24	00.09.24	Ос	Атм., гидрол.	Отмечалось	В Кош-Агачском районе на участке автодороги Кош-Агач – Джазатор, 101,2-101,33 км (пункт наблюдений Джазаторская трасса) отмечалась активизация осыпного процесса в уступе высокой террасы р. Жасатер на отрезке 108 м, высота уступов – 10 м. При проведении обследования отмечались обнаженные уступы, трещины отпора и рытвины в бровке осыпного уступа, а также осыпные шлейфы в подножии. В результате активизации осыпного процесса негативному воздействию подверглись откосы автодороги на отрезке 40 м. Литологический состав горных пород, затронутых проявлением: валунно-галечный материал с супесчаным заполнителем. Основные факторы активизации: метеорологический, гидрологический.			
04-22-00010	Сибирский	Республика Алтай	Кош-Агачский район, участок автодороги Кош-Агач - Джазатор, 118,0 км	49,64794	87,69309	00.05.24	00.09.24	Эо	Атм., техн.	Не отмечалось	В Кош-Агачском районе на участке автодороги Кош-Агач – Джазатор, 118,0 км (пункт наблюдений Джазаторская трасса) отмечалась активизация процесса овражной эрозии на склоне вблизи дороги. Параметры проявления опасного ЭГП: длина – 18 м, ширина – 5-12 м, глубина – до 3,5 м, площадь – 159 м^2. Вершина оврага в 4,5 м от дороги. Негативное воздействие отсутствует. Литологический состав горных пород, затронутых проявлением: валунно-галечный материал с мощными прослоями песков, супесей. Основные факторы активизации: метеорологический, техногенный.			
04-22-00003	Сибирский	Республика Алтай	Кош-Агачский район, участок автодороги Кош-Агач - Джазатор, 128,06 км	49,67336	87,57700	00.05.24	00.09.24	Эо	Атм.	Не отмечалось	В Кош-Агачском районе на участке автодороги Кош-Агач – Джазатор, 128,06 км (пункт наблюдений Джазаторская трасса) отмечалась активизация процесса овражной эрозии в склоне близ дороги. Параметры проявления опасного ЭГП: длина – 57 м, ширина – 2-17 м, площадь – 371 м^2. Негативное воздействие отсутствует. Литологический состав горных пород, затронутых проявлением: валунно-галечный материал с супесчаным заполнителем. Основной фактор активизации – метеорологический.		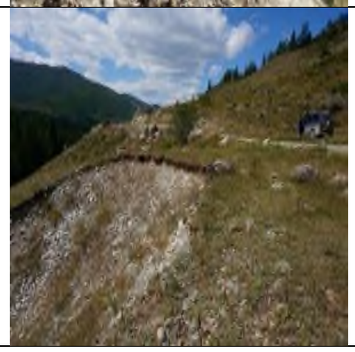	

04-11-00064	Сибирский	Республика Алтай	Кош-Агачский район, участок автодороги Кош-Агач – Джазатор, 135,41 км	49,69350	87,49420	00.05.24	00.09.24	Оп	Техн., гидрогеол., атм.	Отмечалось	В Кош-Агачском районе, на участке автодороги Кош-Агач - Джазатор, 135,41 км (пункт наблюдений Джазаторская трасса) отмечалась активизация оползневого процесса. Параметры проявления опасного ЭГП: длина – 60 м, ширина – 20-40 м, площадь оползня – 1885 м^2, высота стенки отрыва – 2-5 м, Вершина оползня достигает откосов дороги. В результате активизации оползневого процесса негативному воздействию подвергся участок автодороги, длиной 6 м. Литологический состав горных пород, затронутых проявлением: валунно-галечный материал с супесчаным заполнителем. Основные факторы активизации: метеорологический, техногенный (эксплуатация дороги), гидрогеологический.		
04-12-00018	Сибирский	Республика Алтай	Кош-Агачский район, участок автодороги Кош-Агач - Джазатор, 136,6 км	49,69160	87,47840	00.05.24	00.09.24	Ос	Атм., техн.	Отмечалось	В Кош-Агачском районе на участке автодороги Кош-Агач – Джазатор, 136,6-136,8 км (пункт наблюдений Джазаторская трасса) отмечалась активизация осыпного процесса в уступе высокой террасы в излучине р. Жасатер на отрезке 370 м, в т.ч. 228 м вдоль автодороги, высота уступов 7-15 м. При проведении обследования отмечалось наличие обнаженных уступов, трещин отпора, рытвин на бровке уступов, а также осыпных шлейфов в подножии склона. В результате активизации осыпного процесса негативному воздействию подвергся откос автодороги, длиной 43 м. Литологический состав горных пород, затронутых проявлением: валунно-галечный материал с песчаным заполнителем, с прослоями песков. Основные факторы активизации: метеорологический, гидрологический.		
04-12-00004	Сибирский	Республика Алтай	Улаганский район, участок автодороги Акташ – Улаган, 12,58-13,21 км, восточный борт	50,40116	87,60498	00.05.24	00.09.24	Ос	Техн., атм., гидрогеол.	Отмечалось	В Улаганском районе на участке автодороги Акташ-Улаган, 12,75-13,21 км (пункт наблюдений Чибитский каньон) отмечалась активизация осыпного процесса в восточном откосе на отрезке 460 м, высота обнаженных уступов до 12 м, транзитный путь в среднем 15 м. При проведении обследования зафиксированы маломощные осыпные шлейфы, мелкие камнепады, оползание блоков с деревьями, фрагментарно пластовые выходы подземных вод. В результате активизации осыпного процесса негативному воздействию подвергся участок обочины автодороги: частичное пересыпание осыпного материала на протяжении 185 м. Литологический состав горных пород, затронутых проявлением: глыбово-щебнистый материал с супесчано-дресвяным заполнителем. Основные факторы активизации: техногенный (строительство автодороги), метеорологический, гидрогеологический.		
04-12-00005	Сибирский	Республика Алтай	Улаганский район, участок автодороги Акташ – Улаган, 11,825-12,28 км, восточный борт	50,39547	87,61045	00.05.24	00.09.24	Ос	Техн., атм.	Отмечалось	В Улаганском районе на участке автодороги Акташ-Улаган, 11,83-12,27 км (пункт наблюдений Чибитский каньон) отмечалась активизация осыпного процесса в восточном откосе на отрезке 440 м, высота обнаженных уступов до 10 м, средний транзитный путь – 12 м. При проведении обследования зафиксированы маломощные осыпные шлейфы, мелкие камнепады, оплывины. В результате активизации осыпного процесса негативному воздействию подвергся участок обочины автодороги: частичное пересыпание осыпного материала на протяжении 220 м. Литологический состав горных пород, затронутых проявлением: глыбово-щебнистый материал с супесчано-дресвяным заполнителем. Основные факторы активизации: техногенный (строительство автодороги), метеорологический.	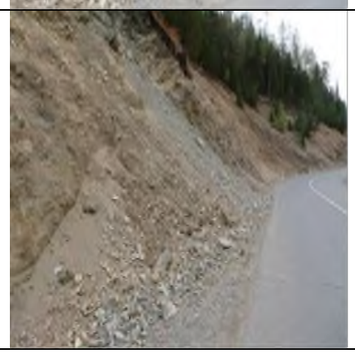	

04-12-00006	Сибирский	Республика Алтай	Улаганский район, участок автодороги Акташ – Улаган, 11,385-11,58 км, восточный борт	50,39106	87,61408	00.05.24	00.09.24	Ос	Техн., атм.	Отмечалось	В Улаганском районе на участке автодороги Акташ-Улаган, 11,15-11,6 км (пункт наблюдений Чибитский каньон) отмечалась активизация осыпного процесса в восточном откосе на отрезке 450 м, высота обнаженных уступов – 6-10 м, транзитный путь в среднем 8 м. При проведении обследования зафиксированы маломощные осыпные шлейфы, мелкие камнепады, оплывины. В результате активизации осыпного процесса негативному воздействию подвергся участок обочины автодороги: частичное пересыпание осыпного материала на протяжении 85 м. Литологический состав горных пород, затронутых проявлением: глыбово-щебнистый материал с супесчано-дресвяным заполнителем. Основные факторы активизации: техногенный (строительство автодороги), метеорологический.		
04-12-00007	Сибирский	Республика Алтай	Улаганский район, участок автодороги Акташ – Улаган, 8,75-9,11 км, восточный борт	50,37082	87,62716	00.05.24	00.09.24	Ос	Техн., атм.	Отмечалось	В Улаганском районе на участке автодороги Акташ-Улаган, 8,72-9,235 км (пункт наблюдений Чибитский каньон) отмечалась активизация осыпного процесса в восточном откосе на отрезке 515 м, высота обнаженных уступов – 4-8 м, средний транзитный путь – 8 м. При проведении обследования зафиксированы маломощные осыпные шлейфы, мелкие оплывины и блоки отпора. В результате активизации осыпного процесса негативному воздействию подвергся участок обочины автодороги: мелкое пересыпание осыпного материала на протяжении 225 м. Литологический состав горных пород, затронутых проявлением: глыбово-щебнистый материал с супесчано-дресвяным заполнителем. Основные факторы активизации: техногенный (строительство автодороги), метеорологический.		
04-11-00065	Сибирский	Республика Алтай	Улаганский район, участок автодороги Акташ – Улаган, 8,49-8,575 км	50,36832	87,63053	00.05.24	00.09.24	Оп	Техн., атм.	Отмечалось	На участке автодороги Акташ-Улаган, 8,5-8,585 км в Улаганском районе (пункт наблюдений Чибитский каньон) отмечалась активизация оползневого процесса. При проведении обследования в техногенных расчистках отмечалась серия мелких оползней и оплывин, стенки отрыва высотой до 1 м, длина оползней – 10-20 м, суммарная ширина – 85 м. Языки оползней и опылвин находились на обочине дороги. В результате активизации оползневого процесса негативному воздействию подвергся участок автодороги, длиной 60 м. Литологический состав горных пород, затронутых проявлением: глыбово-щебнистый материал с супесчаным заполнителем. Основные факторы активизации: техногенный (строительство автодороги), метеорологический.		
04-12-00002	Сибирский	Республика Алтай	Улаганский район, участок автодороги Акташ – Улаган, 8,05-8,135 км, восточный борт	50,36500	87,63400	00.05.24	00.09.24	Ос	Техн., атм.	Отмечалось	В Улаганском районе на участке автодороги Акташ-Улаган, 8,05-8,135 км (пункт наблюдений Чибитский каньон) отмечалась активизация осыпного процесса в восточном откосе на отрезке 85 м, осыпь высотой 80-100 м. При проведении обследования зафиксированы мелкие камнепады, мелкое пересыпание рыхлого материала на обочину автодороги, автомобильную стоянку, редкие поваленные деревья в транзитной части – осыпи. В результате активизации осыпного процесса негативному воздействию подверглись обочина автодороги и автомобильная стоянка на отрезке 85 м. Литологический состав горных пород, затронутых проявлением: глыбово-щебнистый материал. Основные факторы активизации: техногенный (строительство автодороги), метеорологический.		

04-12-00008	Сибирский	Республика Алтай	Улаганский район, участок автодороги Акташ – Улаган, 7,765-7,94 км, западный борт	50,36346	87,63212	00.05.24	00.09.24	Ос	Техн., атм.	Отмечалось	В Улаганском районе на участке автодороги Акташ-Улаган, 7,72-7,92 км (пункт наблюдений Чибитский каньон) отмечалась активизация осыпного процесса в западном откосе на отрезке 200 м, высота обнаженных уступов – до 30 м, средний транзитный путь – 15 м. При проведении обследования зафиксированы маломощные осыпные шлейфы, мелкие камнепады со скальных уступов коренных пород. В результате активизации осыпного процесса негативному воздействию подверглись обочина автодороги на протяжении 120 м. Литологический состав горных пород, затронутых проявлением: глыбово-щебнистый материал с супесчано-дресвяным заполнителем. Основные факторы активизации: техногенный (строительство автодороги), метеорологический.		
04-12-00009	Сибирский	Республика Алтай	Улаганский район, участок автодороги Акташ – Улаган, 6,955-7,31 км, западный борт	50,35792	87,635 67	00.05.24	00.09.24	Ос	Техн., атм.	Отмечалось	В Улаганском районе на участке автодороги Акташ-Улаган, 6,95-7,3 км (пункт наблюдений Чибитский каньон) отмечалась активизация осыпного процесса в западном откосе на отрезке 350 м, высота обнаженных уступов – до 10 м. При проведении обследования зафиксированы маломощные осыпные шлейфы, мелкое пересыпание, оплывины, трещины отседания. В результате активизации осыпного процесса негативному воздействию подверглись обочина автодороги на протяжении 175 м. Литологический состав горных пород, затронутых проявлением: глыбово-щебнистый материал с супесчано-дресвяным заполнителем. Основные факторы активизации: техногенный (строительство автодороги), метеорологический.		
04-12-00010	Сибирский	Республика Алтай	Улаганский район, участок автодороги Акташ – Улаган, 6,14-6,615 км, западный борт	50,35301	87,639 96	00.05.24	00.09.24	Ос	Техн., атм.	Отмечалось	В Улаганском районе на участке автодороги Акташ-Улаган, 6,11-6,79 км (пункт наблюдений Чибитский каньон) отмечалась активизация осыпного процесса в западном откосе на отрезке 680 м, высота обнаженных уступов – 6-10 м, средний транзитный путь – 8 м. При проведении обследования зафиксированы маломощные осыпные шлейфы, пересыпание, редко оплывины. В результате активизации осыпного процесса негативному воздействию подверглись обочина автодороги на протяжении 20 м. Литологический состав горных пород, затронутых проявлением: глыбово-щебнистый материал с супесчано-дресвяным заполнителем. Основные факторы активизации: техногенный (строительство автодороги), метеорологический.	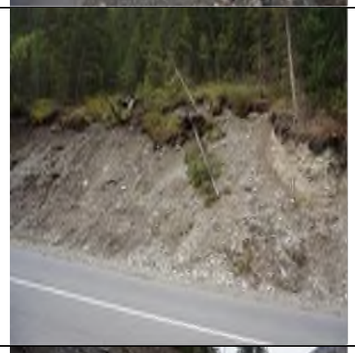	
04-12-00011	Сибирский	Республика Алтай	Улаганский район, участок автодороги Акташ – Улаган, 5,74-6,005 км, западный борт	50,34808	87,642 40	00.05.24	00.09.24	Ос	Техн., атм.	Отмечалось	В Улаганском районе на участке автодороги Акташ-Улаган, 5,85-6,03 км (пункт наблюдений Чибитский каньон) отмечалась активизация осыпного процесса в западном откосе на отрезке 170 м, высота обнаженных уступов – 6-10 м, транзитный путь – 15 м. При проведении обследования зафиксированы маломощные осыпные шлейфы, поваленные деревья, одиночные камнепады. В результате активизации осыпного процесса негативному воздействию подверглись обочина автодороги на протяжении 20 м. Литологический состав горных пород, затронутых проявлением: глыбово-щебнистый материал с супесчано-дресвяным заполнителем. Основные факторы активизации: техногенный (строительство автодороги), метеорологический.	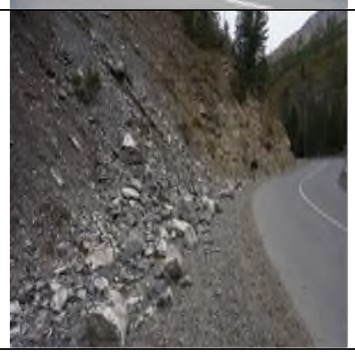	

04-12-00003	Сибирский	Республика Алтай	Улаганский район, участок автодороги Акташ – Улаган, 5,39-5,6 км, восточный борт	50,34509	87,64391	00.05.24	00.09.24	Ос	Техн., атм.	Отмечалось	В Улаганском районе на участке автодороги Акташ-Улаган, 5,33-5,55 км (пункт наблюдений Чибитский каньон) отмечалась активизация осыпного процесса в восточном откосе на отрезке 223 м, осыпь высотой 60-130 м, средний транзитный путь – 62 м, нижняя часть осыпи подрезана расчисткой. При проведении обследования зафиксировано мелкое пересыпание рыхлого материала в кюветы автодороги. В результате активизации осыпного процесса негативному воздействию подверглись обочина автодороги на протяжении 70 м. Литологический состав горных пород, затронутых проявлением: щебнисто-глыбовый материал. Основные факторы активизации: техногенный (строительство автодороги), метеорологический.		
04-12-00012	Сибирский	Республика Алтай	Улаганский район, уч. а/дороги Акташ – Улаган, 4,7-4,81 км, восточный борт	50,33899	87,64218	00.05.24	00.09.24	Ос	Техн., атм.	Отмечалось	В Улаганском районе на уч. а/дороги Акташ-Улаган, 4,68-4,8 км (пункт наблюдений Чибитский каньон) отмечена активизация осыпного процесса в восточном борту дороги на отрезке 118 м, высота обнаженных уступов 6-8 м, транзитный путь в среднем 10 м. Зафиксированы маломощные осыпные шлейфы, мелкое пересыпание. Негативное воздействие: мелкое пересыпание обочины а/дороги на отрезке 15 м. Литологический состав: глыбово-щебнистый материал с супесчано-дресвяным заполнителем. Факторы активизации: строительство а/дороги, режим увлажнения.	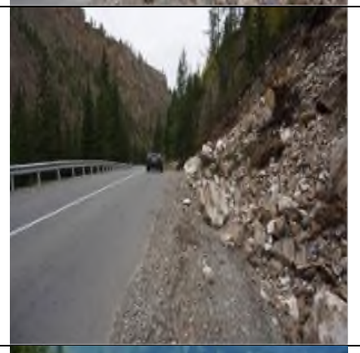	
04-10-00009	Сибирский	Республика Алтай	Усть-Коксинский район, с. Тюнгур	50,15663	86,28876	00.05.24	00.09.24	Об	Атм., гидрол.	Не отмечалось	На въезде в с. Тюнгур Усть-Коксинского района (пункт наблюдений Участок а/дороги в с. Тюнгур) отмечена активизация обвального процесса в уступе высокой террасы р. Катунь на отрезке 1459 м, разрушение уступа до 1,23 м/год, в среднем 0,18 м/год. Негативное воздействие отсутствует. Литологический состав: гравийно-галечный материал с песчаным заполнителем, с прослоями супесей, с включениями валунов. Факторы активизации: режим увлажнения, гидрологический режим р. Катунь.		
04-22-00005	Сибирский	Республика Алтай	Усть-Коксинский район, с. Тюнгур, уч. а/дороги на въезде в село, 58,7 км	50,15799	86,29045	00.05.24	00.09.24	Эо	Атм., техн.	Не отмечалось	В Усть-Коксинском районе на уч. а/дороги в с. Тюнгур, 58,7 км (пункт наблюдений Участок а/дороги в с. Тюнгур) отмечена активизация процесса овражной эрозии в уступе высокой террасы р. Катунь. Длина оврага № 1 48,38 м, средняя ширина 39,09 м, вершина в откосах дорожного полотна на участке водовыпуска. Негативное воздействие отсутствует. Литологический состав: гравийно-галечный материал с песчаным заполнителем, с прослоями супесей. Факторы активизации: режим увлажнения, техногенный фактор (водовыпуск).	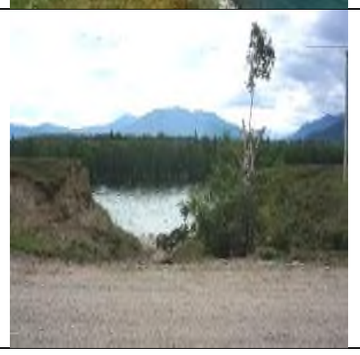	

04-22-00006	Сибирский	Республика Алтай	Усть-Коксинский район, с. Тюнгур, уч. а/дороги на въезде в село, 58,94 км	50,15937	86,29348	00.05.24	00.09.24	Эо	Атм., техн.	Не отмечалось	В Усть-Коксинском районе на уч. а/дороги в с. Тюнгур, 58,94 км (пункт наблюдений Участок а/дороги в с. Тюнгур) отмечена активизация процесса овражной эрозии в уступе высокой террасы р. Катунь. Длина оврага № 2 81,35 м, средняя ширина 19,59 м, вершина в откосах дорожного полотна на участке водовыпуска. Негативное воздействие отсутствует. Литологический состав: гравийно-галечный материал с песчаным заполнителем, с прослоями супесей. Факторы активизации: режим увлажнения, техногенный фактор (водовыпуск).		
04-12-00019	Сибирский	Республика Алтай	Онгудайский район, с. Кара-Кобы	50,81298	85,58044	00.05.24	00.09.24	Ос	Атм., гидрол.	Отмечалось	В с. Кара-Кобы Онгудайского района (пункт наблюдений Кара-Кобы) отмечена активизация осыпного процесса в уступе террасы р. Урсул высотой 7-15 м на отрезке 2147 м, разрушение уступа в среднем 0,11 м, площадь разрушения 219 м^2. Негативное воздействие: разрушение ограждений в 6 усадьбах по ул. Шоссейная, 11-19, 25. Литологический состав: супесчано-песчано-гравийный материал с включениями гальки, с прослоями супесей и песков в верху разреза. Факторы активизации: режим увлажнения, гидрологический режим р. Урсул.		
04-22-00007	Сибирский	Республика Алтай	Онгудайский район, с. Кара-Кобы, уч. а/дороги Туекта – Усть-Кан, 21,08 км	50,81017	85,57728	00.05.24	00.09.24	Эо	Атм., техн.	Не отмечалось	В с. Кара-Кобы Онгудайского района, на уч. а/дороги Туекта – Усть-Кан, 21,08 км (пункт наблюдений Кара-Кобы) отмечена активизация процесса овражной эрозии в уступе высокой террасы р. Урсул. Овраг № 1: длина 60,48 м, средняя ширина 15,78 м, площадь 954,4 м^2, вершина в откосах дорожного полотна на участке водовыпуска. Отмечается переуглубление тальвега оврага. Негативное воздействие отсутствует. Литологический состав: супесчано-песчано-гравийный материал с включениями гальки, с прослоями супесей. Факторы активизации: режим увлажнения, техногенный фактор (водовыпуск).		
04-22-00008	Сибирский	Республика Алтай	Онгудайский район, с. Кара-Кобы, уч. а/дороги Туекта – Усть-Кан, 20,5 км	50,81451	85,58160	00.05.24	00.09.24	Эо	Атм., техн.	Не отмечалось	В с. Кара-Кобы Онгудайского района, на уч. а/дороги Туекта – Усть-Кан, 20,5 км (пункт наблюдений Кара-Кобы) отмечена активизация процесса овражной эрозии в уступе высокой террасы р. Урсул. Овраг №3: длина 77,61 м, максимальная ширина 27,88 м, средняя – 19,32 м, площадь 1499,2 м^2, вершина в откосах дорожного полотна на участке водовыпуска. Отмечается переуглубление тальвега оврага. Негативное воздействие отсутствует. Литологический состав: супесчано-песчано-гравийный материал с включениями гальки, с прослоями супесей. Факторы активизации: режим увлажнения, техногенный фактор (водовыпуск).		

04-22-00009	Сибирский	Республика Алтай	Онгудайский район, с. Кара-Кобы, уч. а/дороги Туекта – Усть-Кан, 19,96 км	50,81743	85,58706	00.05.24	00.09.24	Эо	Атм., техн.	Не отмечалось	В с. Кара-Кобы Онгудайского района, на уч. а/дороги Туекта – Усть-Кан, 19,96 км (пункт наблюдений Кара-Кобы) отмечена активизация процесса овражной эрозии в уступе высокой террасы р. Урсул. Овраг № 4: длина 41,22 м, максимальная ширина 17,48 м, средняя – 11,29 м, площадь 461 м^2, вершина достигает дороги на отрезке 10 м на участке водовыпуска. Отмечается переуглубление тальвега оврага, обрушение в бортах оврага. Негативное воздействие отсутствует. Литологический состав: супесчано-песчано-гравийный материал с включениями гальки, с прослоями супесей. Факторы активизации, техногенный фактор (водовыпуск).		
04-12-00020	Сибирский	Республика Алтай	Онгудайский район, уч. а/дороги в с. Инегень, серпантин от моста через Катунь	50,38672	86,66862	00.05.24	00.09.24	Ос	Техн., атм., гидрол.	Отмечалось	В Онгудайском районе на уч. а/дороги в с. Инегень (пункт наблюдений Участок а/дороги в с. Инегень) отмечена активизация осыпного процесса на отрезке 307 м, транзитный путь осыпи 42,9 м, разрушение уступов до 2,63 м/год, в среднем 0,27 м/год, смещение на марках 0,02-0,48 м. Негативное воздействие: разрушение а/дороги на отрезке 55 м. Литологический состав: гравийно-мелкогалечный материал с песчаным заполнителем, с прослоями песков и гравия. Факторы активизации: строительство а/дороги, режим увлажнения, гидрологический.	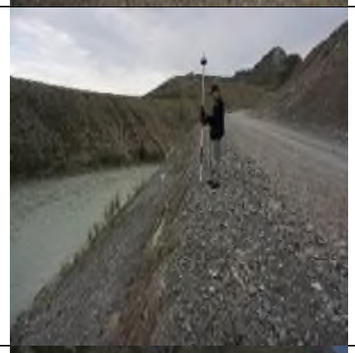	
04-22-00011	Сибирский	Республика Алтай	Онгудайский район, уч. а/дороги в с. Инегень	50,38686	86,66978	00.05.24	00.09.24	Эо	Техн., атм.	Отмечалось	В Онгудайском районе на серпантине а/дороги в с. Инегень (пункт наблюдений Участок а/дороги в с. Инегень) отмечена активизация процесса овражной эрозии. Овраг длиной 43,12 м, шириной 2-10 м, площадь 313,34 м^2, вершина оврага достигает дороги. Площадь оврага увеличилась за счет расширения вершины и транзитной части оврага. Негативное воздействие: на отрезке а/дороги длиной 10 м разрушены дорожное полотно и отбойники дороги. Литологический состав: гравийно-мелкогалечный материал с песчаным заполнителем. Факторы активизации: техногенный, режим увлажнения.		
04-12-00013	Сибирский	Республика Алтай	Майминский район, с. Майма	52,01634	85,89021	00.05.24	00.09.24	Ос	Атм., гидрол.	Отмечалось	В с. Майма Майминского района (пункт наблюдений Катунский водозабор) отмечена активизация осыпного процесса на уступе протяженностью 647 м, высота уступа 3,55 м. Разрушение уступа до 3,26 м/год, в среднем 0,57 м/год, площадь земель – 368,62 м^2. В зоне негативного воздействия территория ЗСО 1, 2, 3 поясов охраны водозабора, дамбы обвалования. Литологический состав: пески, валунно-галечный материал. Факторы активизации: режим увлажнения, гидрологический режим р. Катунь.	–	
04-10-00006	Сибирский	Республика Алтай	Усть-Коксинский район, с. Березовка	50,23666	85,53358	00.05.24	00.09.24	Об	Атм., гидрол.	Не отмечалось	В с. Березовка Усть-Коксинского района (пункт наблюдений Березовка) отмечена активизация обвального процесса протяженностью 710 м, высота уступа 3,0 м. Разрушение уступа до 4,84 м/год, в среднем 1,09 м/год, площадь 710 м^2. Негативное воздействие отсутствует. Литологический состав: валунно-галечный материал с гравийно-песчаным заполнителем. Факторы активизации: режим увлажнения, гидрологический режим р. Катунь.		

04-12-00014	Сибирский	Республика Алтай	Усть-Коксинский район, с. Усть-Кокса	50,267 43	85,633 22	00.05.2 4	00.09.24	Ос	Атм., гидрол.	Отмечалось	В с. Усть-Кокса Усть-Коксинского района (пункт наблюдений Усть-Кокса) отмечена активизация осыпного процесса на высокой террасе р. Катунь на отрезке 990 м, высота уступов до 15 м. Зафиксированы осыпные шлейфы по уступу, блоки отпора. Негативное воздействие: частичное разрушение огорода и ограждений усадьбы по ул. Набережная, 127А. Литологический состав: валунно-галечный материал с гравийно-супесчаным заполнителем, с прослоями песков, супесей. Факторы активизации: режим увлажнения, гидрологический режим р. Катунь.		
04-10-00007	Сибирский	Республика Алтай	Усть-Коксинский район, уч. а/дороги Усть-Кокса - Мараловодка, 21-22 км	50,124 26	85,468 52	00.05.2 4	00.09.24	Об	Атм., гидрол.	Не отмечалось	В Усть-Коксинском районе на уч. а/дороги Усть-Кокса – Мараловодка, 21-22 км (пункт наблюдений Участок а/дороги в Мараловодку) отмечена активизация обвального процесса на левобережной высокой террасе р. Катунь протяженностью 675 м, высота уступов 7 м. Разрушение уступа до 1,1 м/год, в среднем 0,29 м/год, площадь разрушения 193,7 м^2. Негативное воздействие отсутствует. Литологический состав: валунно-галечный материал с гравийно-супесчаным заполнителем. Факторы активизации: режим увлажнения, гидрологический режим р. Катунь.		
04-12-00015	Сибирский	Республика Алтай	Турочакский район, с. Верх-Бийск	52,036 34	87,087 86	00.05.2 4	00.09.24	Ос	Атм., гидрол.	Отмечалось	В с. Верх-Бийск Турочакского района на ул. Береговая (пункт наблюдений Верх-Бийск) отмечена активизация осыпного процесса в уступе высокой террасы на отрезке 854,3 м, скорость разрушения максимальная 2,07 м/год, средняя 0,48 м/год, площадь 405,99 м^2, высота уступа 8 м. Негативное воздействие: разрушение ограждений, огородов в 6 усадьбах по ул. Береговая, 4, 6, 8, 10, 16, 18, хозпостройки – в 1 усадьбе. Литологический состав: валунно-галечный материал с песчаным заполнителем, с прослоями песка и супесей. Факторы активизации: режим увлажнения, гидрологический режим р. Бия.		
04-10-00008	Сибирский	Республика Алтай	Усть-Коксинский район, с. Верх-Уймон	50,220 58	85,728 20	00.05.2 4	00.09.24	Об	Атм., гидрол.	Отмечалось	В с. Верх-Уймон Усть-Коксинского района (пункт наблюдений Уймонская протока) отмечена активизация обвального процесса протяженностью 359,4 м, высота уступа 3,9 м. Разрушение уступа до 9,71 м/год, в среднем 0,92 м/год, площадь разрушения 342,1 м^2. Негативное воздействие: разрушение огорода и ограждений усадьбы по ул. Набережная, 64. Литологический состав: валунно-галечный материал с гравийно-супесчаным заполнителем, с прослоями супесей. Факторы активизации: режим увлажнения, гидрологический режим р. Катунь.	–	
04-12-00016	Сибирский	Республика Алтай	Кош-Агачский район, в 3 км СВ с. Курай	50,265 52	87,953 69	00.05.2 4	00.09.24	Ос	Атм., гидрол.	Отмечалось	В 3 км СВ с. Курай Кош-Агачского района (пункт наблюдений Курайский) по правобережью р. Курайка отмечена активизация осыпного процесса на уступе высокой террасы протяженностью 1418 м, разрушение до 3,96 м/год, в среднем 1,17 м/год. Негативное воздействие: разрушение земель сельскохозяйственного назначения площадью 1663 м^2. Литологический состав: валунно-галечный материал с гравийно-супесчаным заполнителем. Факторы активизации: режим увлажнения, гидрологический режим р. Курайка.		

04-10-00010	Сибирский	Республика Алтай	Усть-Коксинский район, уч. а/дороги Усть-Кокса - Мараловод-ка, 2-3 км	50,25426	85,58281	00.05.24	00.09.24	Об	Атм., гидрол.	Не отмечалось	В Усть-Коксинском районе на уч. а/дороги Усть-Кокса – Мараловодка, 2-3 км (пункт наблюдений Подсолодка) отмечена активизация обвального процесса на уступе первой террасы длиной 808 м, высота уступов 3,4 м. Разрушение уступа – до 13,1 м/год, в среднем 2,2 м/год. Негативное воздействие отсутствует. В зоне возможного воздействия: уч. а/дороги в 1,5-3,97 м от бровки уступа. Литологический состав: валунно-галечный материал с гравийно-песчаным заполнителем. Факторы активизации: режим увлажнения, гидрологический режим р. Катунь.		
04-10-00011	Сибирский	Республика Алтай	Усть-Коксинский район, с. Мульта	50,16742	85,96078	00.05.24	00.09.24	Об	Атм., гидрол.	Отмечалось	В с. Мульта Усть-Коксинского района отмечена активизация обвального процесса на высокой террасе р. Мульта на отрезке 640 м, высота уступов до 7 м. Зафиксированы осыпные шлейфы по уступу, трещины и блоки отседания размером 0,5*0,8*1 м. Разрушение уступа в среднем 1 м за период 2020-2024 гг. Негативное воздействие: частичное разрушение ограждений 3 усадьб по ул. Центральная, 79, 85, 87. Литологический состав: галечный материал с прослоями песков, супесей. Факторы активизации: режим увлажнения, гидрологический режим р. Кокса.	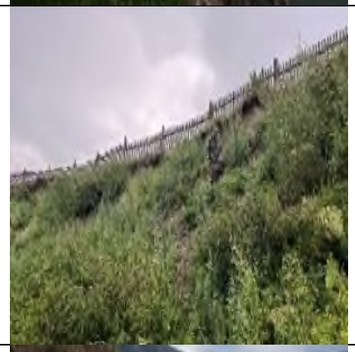	
04-12-00021	Сибирский	Республика Алтай	Улаганский район, уч. а/дороги Балыктуюль - Балыкча, 30-36,8 км	50,91882	88,19927	00.05.24	00.09.24	Ос	Атм.	Отмечалось	В Улаганском районе, в 70 км В с. Балыкча на участке автодороги Балыктуюль – Балыкча, 30-36,8 км отмечена активизация осыпного процесса на крутом аккумулятивно-денудационном склоне. Осыпные шлейфы и конуса в обнаженных уступах расчисток и полувыемок, проложенных в скальных выступах и аккумулятивном склоне на отрезке автодороги длиной 6650 м. Транзитный путь осыпного материала 2,7 км, ширина проявления 0,41 км. Негативное воздействие: частичное пересыпание на отрезках суммарной протяженностью 1,54 км. Литологический состав глыб: щебнисто-глыбовый материал с супесчано-дресвяным заполнителем. Факторы активизации: метеорологический, сейсмический.		
17-12-00008	Сибирский	Республика Тыва	Пий-Хемский район, уч. а/дороги Р-257 Енисей, 770-771 км (западный склон)	51,94304	94,31253	00.06.24	00.07.24	Ос	Атм.	Отмечалось	В Пий-Хемском районе на уч. а/дороги Р-257 Енисей, 770-771 км (западный склон) отмечена активизация осыпного процесса. Длина проявления 26 м, ширина 102 м. Наблюдаются свежие осыпи, скопление осыпных масс. На участке зафиксированы вывалы осыпного материала на водоотвоодный лоток, отдельные крупные валуны размером в пределах 0,3 м. Осыпные процессы имеют низкую активность. Литологический состав горных пород: гравийно-галечниковые отложения с включением песка. Фактор активизации: метеорологический. Негативное воздействие: скопление осыпного материала на водоотводном лотке длиной 0,102 км.	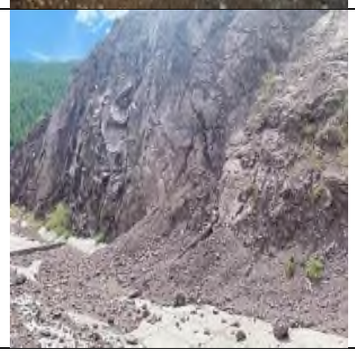	

17-12-00009	Сибирский	Республика Тыва	Пий-Хемский район, уч. а/дороги Р-257 Енисей, 770-771 км (восточный склон)	51,94406	94,31273	00.06.24	00.07.24	Ос	Атм.	Не отмечалось	В Пий-Хемском районе, на уч. а/дороги Р-257 Енисей, 770-771 км (восточный склон) отмечена активизация осыпного процесса. Длина проявления 24 м, ширина 83м. Осыпной процесс на восточном склоне имеет низкую активность. Осыпь снизу закреплена растительностью. Литологический состав горных пород: гравийно-галечниковые отложения с включением песка. Фактор активизации: метеорологический. Негативное воздействие отсутствует.			
17-12-00010	Сибирский	Республика Тыва	Пий-Хемский район, уч. а/дороги Р-257 Енисей, 770-772 км (западный склон)	51,93960	94,32076	00.06.24	00.07.24	Ос	Атм.	Отмечалось	В Пий-Хемском районе, на уч. а/дороги Р-257 Енисей, 770-772 км (западный склон) отмечена активизация осыпного процесса. Длина проявления 15 м, ширина 694 м. Максимальный размер осыпного материала 0,9*3.5*0.35 м. Литологический состав горных пород: гравийно-галечниковые отложения с включением песка. Фактор активизации: метеорологический. Негативное воздействие: Скопление осыпного материала на водоотводном лотке длиной 0,395 км.		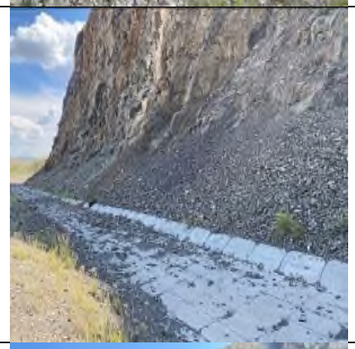	
17-12-00011	Сибирский	Республика Тыва	Пий-Хемский район, уч. а/дороги Р-257 Енисей, 772-773 км (западный склон)	51,93099	94,33443	00.06.24	00.07.24	Ос	Атм.	Отмечалось	В Пий-Хемском районе, на уч. а/дороги Р-257 Енисей, 772-773 км (западный склон) отмечена активизация осыпного процесса. Длина проявления 24 м, ширина 104 м. Осыпной процесс активный, осыпи скапливаются в основном у подножия склона. Средний размер осыпного материала 0,3 м, максимально зафиксированный – 0,9*3,5*0,35 м. Осыпной процесс имеет среднюю активность. Литологический состав горных пород: гравийно-галечниковые отложения с включением песка. Фактор активизации: метеорологический. Негативное воздействие: скопление осыпного материала на водотводном лотке длиной 0,057 км.		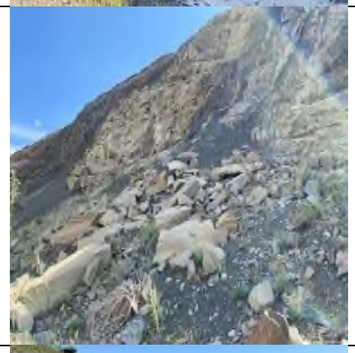	
17-10-00001	Сибирский	Республика Тыва	Чеди-Хольский район, с. Сайлыг	51,12082	93,67677	00.07.24	00.08.24	Об	Атм.	Отмечалось	В с. Сайлыг Чеди-Хольского района (пункт наблюдений Сайлыгский) из-за продолжительных осадков отмечалась активизация обвального процесса вдоль террасовидного уступа длиной 815 м, высотой 13 м. На отдельных участках зафиксированы обрушения, осыпания грунта, продвижение кромки бровки уступа от 0,11 до 0,48 м, средняя величина обрушения 0,25 м. Литологический состав горных пород: супеси, пески с дресвой, щебнем, с прослоями супеси, обломочного материла. Фактор активизации: продолжительные осадки. Разрушаются огороды, заборы приусадебных участков по ул. Горького, №№ 12, 14.			

17-10-00002	Сибирский	Республика Тыва	Дзун-Хемчикский район, с. Хорум-Даг	51,278 01	91,050 26	00.07.2 4	00.08.24	Об	Атм.	Отмечалось	В с. Хорум-Даг Дзун-Хемчикского района (пункт наблюдений Хорум-Дагский) отмечена активизация обвального процесса вдоль уступа 1-ой террасы р. Чыргакы. Высота уступа 3-4,3 м, длина 439 м. Зафиксированы свежие обвалы грунта на уступе на локальных участках, отседание блоков шириной до 2 м, величина разрушения уступа 0,5-3 м, средняя 1,5 м. Уступ сложен легко размываемыми аллювиальными песчаными и супесчаными отложениями с гравием и галькой, стенка обрывистая, часто с отрицательным уклоном. Фактор активизации: продолжительные осадки. Наблюдается обрушение приусадебных участков и разрушение ограждений по ул. Мира, №№ 1, 1 а, 3.		
17-10-00003	Сибирский	Республика Тыва	Чеди-Хольский район, с. Элегест	51,365 32	93,968 51	00.07.2 4	00.08.24	Об	Атм.	Не отмечалось	В с. Элегест Чеди-Хольского района (пункт наблюдений Элегестинский) отмечена активизация обвального процесса на уступе на излучине левой протоки р. Элегест. Длина проявления 106 м, высота уступа 3,5-5 м, трещины отпора, блоки отпора размером 0,5*04,5*0,7 м. Линия уступа осложнена двумя небольшими оврагами с активными обрушениями стенок и ростом вершин. Литологический состав: пески, супеси с прослоями галечно-гравийного материала. Фактор активизации: продолжительные осадки. Негативное воздействие отсутствует.	–	
17-22-00001	Сибирский	Республика Тыва	Пий-Хемский район, уч. а/дороги Р-257, 740 км, в районе с. Уюк	52,081 09	94,034 60	00.07.2 4	00.08.24	Эо	Атм.	Не отмечалось	Вдоль участка автодороги Р-257 в районе с. Уюк (пункт наблюдений Уюкский) наблюдалась активизации процесса овражной эрозии. Длина оврага 1501 м, глубина 0,9-2,5 м, ширина 9,4 м. Отмечаются свежие обрушения грунта по бортам оврага на локальных участках, трещины отрыва, стенки оврага с отрицательным уклоном, прирост оврага по ширине 0,2 м, прирост в длину по отвершкам 0-0,66 м, средняя ширина отвершков 4 м. Длина оврага со стороны устья сократилась на 64 м за счет засыпки оврага. Активность низкая. Литологический состав горных пород: суглинки с дресвой и щебнем до 20-30%, с прослоями дресвяно-щебнистых отложений. Фактор активизации: продолжительные осадки в июле. Негативное воздействие отсутствует.		
17-22-00006	Сибирский	Республика Тыва	Каа-Хемский район, с. Сизим	51,319 71	95,945 04	00.07.2 4	00.08.24	Эо	Атм.	Не отмечалось	В с. Сизим Каа-Хемского района (пункт наблюдений Сизимский) отмечена активизация процесса овражной эрозии. Длина оврага № 2 – 60,1 м, ширина 7,2 м, глубина 2,5 м. Зафиксирован прирост вершины отвершка оврага на 0,2 м, обрушения грунта по бортам, блоки отрыва размером до 0,1*0,1*0,1 м. Литологический состав горных пород: пески, супеси с прослоями гальки, гравия. Фактор активизации: продолжительные осадки. Негативное воздействие отсутствует.	–	
17-22-00008	Сибирский	Республика Тыва	Каа-Хемский район, с. Сизим	51,319 83	95,944 89	00.07.2 4	00.08.24	Эо	Атм.	Не отмечалось	В с. Сизим Каа-Хемского района (пункт наблюдений Сизимский) отмечена активизация процесса овражной эрозии. Длина оврага № 4 – 29,6 м, ширина 3 м, глубина 1,48 м. Зафиксированы обрушения грунта по бортам и в вершине. Прирост в вершине 0,1 м, по ширине - 0,1 м, продольный профиль ступенчатый, стенки оврага обрывистые. Литологический состав горных пород: пески, супеси с прослоями гальки, гравия. Фактор активизации: продолжительные осадки. Негативное воздействие отсутствует.		

17-22-00009	Сибирский	Республика Тыва	Каа-Хемский район, с. Сизим	51,32068	95,94402	00.07.24	00.08.24	Эо	Атм.	Не отмечалось	В с. Сизим Каа-Хемского района (пункт наблюдений Сизимский) отмечена активизация процесса овражной эрозии. Длина оврага № 5 – 26,2 м, ширина 6,2 м, глубина 2,6 м. Зафиксирован рост вершины на 0,5 м, в нижней части стенки с отрицательным уклоном, свежие обрушения, прирост по ширине оврага 0,2 м. Литологический состав горных пород: пески, супеси с прослоями гальки, гравия. Фактор активизации: продолжительные осадки. Негативное воздействие отсутствует.	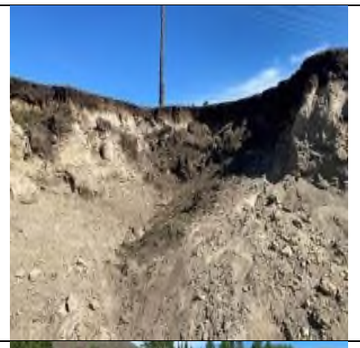	
17-22-00010	Сибирский	Республика Тыва	Каа-Хемский район, с. Сизим	51,32095	95,94406	00.07.24	00.08.24	Эо	Атм.	Не отмечалось	В с. Сизим Каа-Хемского района (пункт наблюдений Сизимский) отмечена активизация процесса овражной эрозии. Длина оврага № 6 – 62 м, ширина 5,8 м, глубина 2,5 м. Зафиксирован прирост вершины на 0,2 м, свежие обрушения по правому борту оврага, обрывистые стенки, есть стенки с отрицательным уклоном. Литологический состав горных пород: пески, супеси с прослоями гальки, гравия. Фактор активизации: продолжительные осадки. Негативное воздействие отсутствует.		
17-22-00011	Сибирский	Республика Тыва	Каа-Хемский район, с. Сизим	51,32054	95,94318	00.07.24	00.08.24	Эо	Атм.	Не отмечалось	В с. Сизим Каа-Хемского района (пункт наблюдений Сизимский) отмечена активизация процесса овражной эрозии. Длина оврага № 7 – 39,3 м, ширина 15,7 м, глубина 3,4 м. Зафиксирован прирост ширины на 0,1 м, обрушения по бортам. Литологический состав горных пород: пески, супеси с прослоями гальки, гравия. Фактор активизации: продолжительные осадки. Негативное воздействие отсутствует.	–	
17-22-00012	Сибирский	Республика Тыва	Улуг-Хемский район, уч. а/дороги Шагонар – Эйлиг-Хем, 10 км, в 16,13 км В с. Эйлиг-Хем	51,61839	92,91466	00.07.24	00.08.24	Эо	Атм.	Не отмечалось	Вдоль уч. а/дороги Шагонар – Эйлиг-Хем, 10 км (пункт наблюдений Эйлиг-Хемский) отмечена активизация процесса овражной эрозии. Длина оврага №1 составляет 112,4 м, ширина 4,9 м, глубина 1,2 м. Прирост в вершине составил 0,7 м, свежие обрушения грунта вдоль стенок, трещины отрыва, ниши в бортах глубиной 0,35-0,5 м. Литологический состав горных пород: дресвяно-щебенистые отложения с суглинком, с прослоями суглинков. Фактор активизации: продолжительные осадки. Негативное воздействие отсутствует.	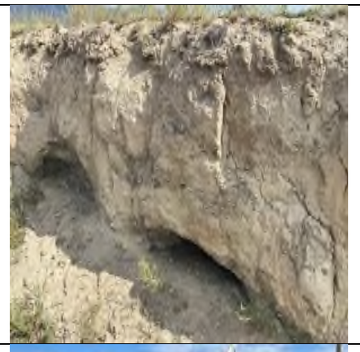	
17-22-00013	Сибирский	Республика Тыва	Улуг-Хемский район, уч. а/дороги Шагонар – Эйлиг-Хем, 10 км, в 15,94 км В с. Эйлиг-Хем	51,62538	92,91000	00.07.24	00.08.24	Эо	Атм.	Не отмечалось	Вдоль уч. а/дороги Шагонар – Эйлиг-Хем, 10 км (пункт наблюдений Эйлиг-Хемский) отмечена активизация процесса овражной эрозии. Длина оврага №2 составляет 169 м, ширина до 5,6 м, глубина 1,2 м. Отмечаются обрушения и обваливания грунта по стенкам, прирост ширины оврага составил 0,1 м, в отвершках – 0,18-0,2 м. прирост в вершинах оврага в среднем составил 0,23 м. Литологический состав горных пород: дресвяно-щебенистые отложения с суглинком, с прослоями суглинков. Фактор активизации: продолжительные осадки. Негативное воздействие отсутствует.		

17-22-00015	Сибирский	Республика Тыва	Улуг-Хемский район, уч. а/дороги Шагонар – Эйлиг-Хем, 21 км, в 10,3 км СВ с. Эйлиг-Хем	51,63972	92,79318	00.07.24	00.08.24	Эо	Атм.	Не отмечалось	Вдоль уч. а/дороги Шагонар – Эйлиг-Хем, 21 км (пункт наблюдений Эйлиг-Хемский) зафиксирована активизация процесса овражной эрозии. Длина оврага №4 составляет 620,5 м, средняя ширина 9,2 м, глубина до 1,2 м. Наблюдаются свежие обрушения грунта по стенкам оврага. Промоина по дну глубиной до 1,2 м, рост ширины на отдельных участках до 15 м. Литологический состав горных пород: дресвяно-щебенистые отложения с суглинком, с прослоями суглинков. Фактор активизации: продолжительные осадки. Негативное воздействие отсутствует.	–	
17-22-00016	Сибирский	Республика Тыва	Улуг-Хемский район, уч. а/дороги Шагонар – Эйлиг-Хем, 22 км, в 6,96 км СВ с. Эйлиг-Хем	51,63400	92,77473	00.07.24	00.08.24	Эо	Атм.	Не отмечалось	Вдоль уч. а/дороги Шагонар – Эйлиг-Хем, 22 км (пункт наблюдений Эйлиг-Хемский) отмечена активизация процесса овражной эрозии. Длина оврага №5 составляет 249,6 м, ширина 7 м, глубина 1,33 м. Отмечаются свежие обрушения грунта по стенкам оврага, блоки отседания шириной до 0,3 м. Литологический состав горных пород: дресвяно-щебенистые отложения с суглинком, с прослоями суглинков. Фактор активизации: продолжительные осадки. Негативное воздействие отсутствует.		
17-22-00017	Сибирский	Республика Тыва	Улуг-Хемский район, уч. а/дороги Шагонар – Эйлиг-Хем – Куйлуг-Хем, 32 км, в 1,46 км СЗ с. Эйлиг-Хем	51,61957	92,64848	00.07.24	00.08.24	Эо	Атм.	Не отмечалось	Вдоль уч. а/дороги Шагонар – Эйлиг-Хем – Куйлуг-Хем, 32 км (пункт наблюдений Эйлиг-Хемский) отмечена активизация процесса овражной эрозии. Длина оврага №6 составляет 130,8 м, ширина 5,3 м, глубина 1,9 м. Наблюдаются свежие обрушения грунта по стенкам оврага, прирост в вершине оврага до 0,8 м, в вершинах отвершков – 0,2-0,3 м, ширины - до 0,6 м. Литологический состав горных пород: дресвяно-щебенистые отложения с суглинком, с прослоями суглинков. Фактор активизации: продолжительные осадки. Негативное воздействие отсутствует.		
17-22-00018	Сибирский	Республика Тыва	Дзун-Хемчикский район, уч. а/дороги Р-257, 1018 км, восточная окраина г. Чадан	51,29356	91,60403	00.07.24	00.08.24	Эо	Атм.	Не отмечалось	Вдоль участка автодороги Р-257, 1018 км, в районе г. Чадан (пункт наблюдений Чаданский) отмечена активизация процесса овражной эрозии. Длина оврага №1 составляет 1162,7 м, ширина 14,7 м, глубина 5,5 м. Наблюдаются свежие обрушения грунта вдоль стенок, продвижение вершины оврага и отвершков, в среднем по оврагу 0,22 м. Литологический состав горных пород: пески, супеси с прослоями дресвяно-щебнистого материала. Фактор активизации: продолжительные осадки. Негативное воздействие отсутствует.		
19-13-00002	Сибирский	Республика Хакасия	г. Черногорск	53,82755	91,30448	00.01.24	Не завершилась	Пт	Атм., техн.	Отмечалось	В г. Черногорск (пункт наблюдений г. Черногорск) продолжается развитие процесса подтопления. Уровень, грунтовых вод составляет 1,5-2,7 м. Самый высокий уровень (1,5-1,6 м) отмечается только по адресам ул. Чернышевского, 17 и 21/2. В целом, активность процесса подтопления в отчетном году на уровне 2022-2023 г. Для глубоких погребов (более 2 м) подтопление отмечается практически в круглогодичном режиме. Для погребов глубиной меньше 2 м, в зимний период чаще всего подтопление не отмечается, но в марте появляется вода и в зависимости от водности года поднимается до 1,7-1,5 м. Негативному воздействию подвержены жилые дома по ул. Чернышевского, Белинского, Лермонтова. Площадь подтопления в 2024 г. составляет около 0,12 км2. На площади подтопления развиты аллювиальные гравийно-галечниковые отложения, пески и суглинки. Факторы активизации – осадки весенне-летнего периода, возможные утечки канализационных и водопроводных сетей.		

19-13-00005	Сибирский	Республика Хакасия	Бейский район, с. Новотроицкое	53,15644	91,05284	00.01.24	Не завершилась	Пт	Атм.	Отмечалось	В с. Новотроицкое Бейского района (пункт наблюдений с. Новотроицкое) зафиксирована активизация процесса подтопления. На момент обследования северная часть села частично подтоплена. В подвалах 2-х жилых домов по ул. Горького, 4, 6 УГВ составляет около 1,5 м. Со слов жильцов подтопление носит круглогодичный режим. По ул. Молодежная подтопление испытывают практически все дома. На момент обследования УГВ составляет 0,5-1,7 м. В весенний период и после интенсивных осадков уровни в подвалах поднимаются на 0,5-1 м. Негативному воздействию подвержены жилые дома по ул. Горького, Молодежная, зафиксирована деформации фундаментов и стен жилых домов. Площадь подтопления составляет около 0,9 м^2. На площади подтопления развиты глины, пески и суглинки четвертичного возраста. Фактор активизации – осадки весенне-летнего периода.		
19-13-00012	Сибирский	Республика Хакасия	Алтайский район, с. Краснополье	54,11637	91,43467	00.04.24	00.06.24	Пт	Атм.	Отмечалось	В с. Краснополье Алтайского района с апреля по июнь 2024 г. отмечалось подтопление. Со слов местных жителей подтопление погребов и подвалов в основном отмечалось весной и к июню вода ушла в большинстве случаев. Наиболее подвержены подтоплению дома по ул. Строителей, 1-10. Здесь УГВ достигают до 0,5-1 м. По данным жителя дома по ул. Строителей, 8 подъем грунтовых вод заметен в последние 5-6 лет, летом 2024 г. УГВ составлял 2-2,2 м. По ул. Мира (СВ окраине села) подтопление отмечалось в предыдущие годы (УГВ достигали 1-1,5 м), в 2024 г. воды в подвалах не было. По ул. Мира, 39, погреб подтоплен на момент обследования (УГВ 1,5 м, глубина погреба 2 м). Площадь подтопления не превышает 0,023 км^2. Негативному воздействию подвержены жилые дома по ул. Строителей, Мира. На площади подтопления развиты породы нижнекаменноугольного и верхнедевонского возраста (алевролиты, известняки, мергели) перекрытые сверху верхнечетвертичными делювиально-пролювиальными отложениями (суглинки, глины, местами пески). Фактор активизации – осадки весенне-летнего периода.		
19-11-00002	Сибирский	Республика Хакасия	Алтайский район, уч. а/дороги Р-257, 430 км, в районе моста «Братский»	53,62699	91,54768	00.04.24	00.07.24	Оп	Атм., гидрогеол., техн.	Отмечалось	В Алтайском районе, вдоль левого склона участка а/дороги Р-257 Абакан-Кызыл, 430 км (пункт наблюдений уч. а/дороги Р-257, Братский мост) наблюдалась активизация оползневого процесса. Зафиксировано отступание верхней стенки отрыва оползня вглубь склона на 1 м и увеличение протяженности оползня вдоль склона на 1-1,5 м. Негативное воздействие заключается в вывалах оползневых масс на полотно дороги на протяжении 74 м, для уборки которых привлекается тяжелая техника. Литологический состав горных пород на участке - аллювиальные пески, галечники и бурые глины нижнеплиоценового возраста (aN2). Факторы активизации – осадки весенне-летнего периода, УГВ техногенного водоносного горизонта, образованного при поливе дачного массива, расположенного на поверхности террасы р. Енисей и постоянные динамические нагрузки на полотно дороги.		
19-11-00003	Сибирский	Республика Хакасия	Алтайский район, уч. а/дороги Р-257, 430 км, в районе моста «Братский»	53,62598	91,54769	00.04.24	00.07.24	Оп	Атм., гидрогеол., техн.	Отмечалось	В Алтайском районе, вдоль правого склона участка а/дороги Р-257 Абакан-Кызыл, 430 км (пункт наблюдений уч. а/дороги Р-257, Братский мост) наблюдалась активизация оползневого процесса (оползень № 1). Отступание стенки отрыва ЮЗ блока протяженностью около 60 м составило около 2 м. Отступание стенки отрыва центрального блока на 50-метровом участке составило около 1,5-2 м. Негативное воздействие заключается в вывалах оползневых масс на полотно дороги на протяжении 190 м, для уборки которых привлекается тяжелая техника. Литологический состав горных пород на участке - аллювиальные пески, галечники и бурые глины нижнеплиоценового возраста (aN2). Факторы активизации - осадки весенне-летнего периода, УГВ техногенного водоносного горизонта, образованного при поливе дачного массива, расположенного на поверхности террасы р. Енисей и постоянные динамические нагрузки на полотно дороги.		
19-11-00004	Сибирский	Республика Хакасия	Алтайский район, уч. а/дороги Р-257, 430 км, в районе моста «Братский»	53,62456	91,54515	00.04.24	00.07.24	Оп	Атм., гидрогеол., техн.	Отмечалось	В Алтайском районе, вдоль правого склона участка а/дороги Р-257 Абакан-Кызыл, 430 км (пункт наблюдений уч. а/дороги Р-257, Братский мост) наблюдалась активизация оползневого процесса (оползень № 2). Отступание стенки отрыва вверх по склону составило около 6 м. Протяженность оползня вдоль бровки склона увеличилась на 10-11 м. Полевая дорога над бровкой склона деформирована. Произошло сливание подошв оползня 2 и 4. Негативное воздействие заключается в вывалах оползневых масс на полотно дороги на протяжении 120 м. Литологический состав горных пород на участке - аллювиальные пески, галечники и бурые глины нижнеплиоценового возраста (aN2). Факторы активизации - осадки весенне-летнего периода, УГВ		

											техногенного водоносного горизонта, образованного при поливе дачного массива, расположенного на поверхности террасы р. Енисей и постоянные динамические нагрузки на полотно дороги.		
19-11-00005	Сибирский	Республика Хакасия	Алтайский район, уч. а/дороги Р-257, 430 км, в районе моста «Братский»	53,623 86	91,543 67	00.04.2 4	00.07.24	Оп	Атм., гидрогеол., техн.	Отмечалось	В Алтайском районе, вдоль правого склона участка а/дороги Р-257 Абакан-Кызыл, 430 км (пункт наблюдений уч. а/дороги Р-257, Братский мост) наблюдалась активизация оползневого процесса (оползень № 3), заключавшаяся в смещении оползневых масс вниз по склону. Значительных изменений размеров оползня не зафиксировано. Негативное воздействие заключается в вывалах оползневых масс на полотно дороги на протяжении 35 м. Литологический состав горных пород на участке - аллювиальные пески, галечники и бурые глины нижнеплиоценового возраста (aN2). Факторы активизации - осадки весенне-летнего периода, УГВ техногенного водоносного горизонта, образованного при поливе дачного массива, расположенного на поверхности террасы р. Енисей и постоянные динамические нагрузки на полотно дороги.		
19-11-00006	Сибирский	Республика Хакасия	Алтайский район, уч. а/дороги Р-257, 430 км, в районе моста «Братский»	53,624 17	91,543 85	00.04.2 4	00.07.24	Оп	Атм., гидрогеол., техн.	Отмечалось	В Алтайском районе, вдоль правого склона участка а/дороги Р-257 Абакан-Кызыл, 430 км (пункт наблюдений уч. а/дороги Р-257, Братский мост) наблюдалась активизация оползневого процесса (оползень № 4), заключавшаяся в смещении оползневых масс вниз по склону. Значительных изменений размеров оползня не зафиксировано. Негативное воздействие заключается в вывалах оползневых масс на полотно дороги на протяжении 55 м. Литологический состав горных пород на участке - аллювиальные пески, галечники и бурые глины нижнеплиоценового возраста (aN2). Факторы активизации - осадки весенне-летнего периода, УГВ техногенного водоносного горизонта, образованного при поливе дачного массива, расположенного на поверхности террасы р. Енисей и постоянные динамические нагрузки на полотно дороги.		
19-22-00006	Сибирский	Республика Хакасия	Боградский район, северная окраина с. Советская Хакасия	54,114 84	91,426 97	00.04.2 4	00.07.24	Эо	Атм.	Не отмечалось	В Боградском районе, вдоль северной окраины с. Советская Хакасия, параллельно асфальтированной дороге развивается овраг (№ 1) Протяженность оврага 1430 м, глубина от 0,5 до 1,7 м, ширина от 1 до 5 м. В границах населенного пункта, овраг развивается по придорожному кювету и имеет несколько участков переуглубления русла, которые имеют глубину от 0,3 м до 1,6 м, ширину – от 1 до 3 м. Протяженность активных (не задернованных) участков русла от 5 до 15 м. Литологический состав горных пород на участке – делювиальные супеси и суглинки. Факторы активизации – интенсивность снеготаяния и осадки весенне-летнего периода.		
19-22-00007	Сибирский	Республика Хакасия	Боградский район, северная окраина с. Советская Хакасия	54,117 18	91,438 70	00.04.2 4	00.07.24	Эо	Атм.	Не отмечалось	В Боградском районе, вдоль северной окраины с. Советская Хакасия развивается овраг №2 (параллельно асфальтированной дороги и оврагу № 1). Протяженность оврага 1090 м, глубина от 0,5 до 5 м, ширина от 1,5 до 12,5 м. К вершине оврага ведет промоина (ложбина стока), протяженностью около 450 м (глубина 0,5-1,2 м, ширина от 1,5 до 5 м). После выхода в ложбину водоотводящей трубы из-под дороги начинается активный овраг протяженностью 650 м. По левому борту оврага отмечается несколько отвершков (извилистых, интенсивно задернованных), развивающихся по естественным ложбинам стока. Русло оврага имеет U-образный профиль, борта вертикальные, осыпающиеся, на отдельных участках, оползающие блоки (площадью от 2 до 3 м^2). Базис развития оврага Красноярское водохранилище. Литологический состав горных пород на участке – делювиальные супеси и суглинки. Факторы активизации – интенсивность снеготаяния и осадки весенне-летнего периода.		
19-11-00008	Сибирский	Республика Хакасия	Алтайский район, уч. а/дороги Абакан-Подсинее, 7,15-7,25 км	53,652 09	91,542 53	04.08.2 4	05.08.24	Оп	Атм., техн.	Отмечалось	В Алтайском районе, на участке а/дороги Абакан-Подсинее, 7,15-7,25 км, зафиксирована активизация оползневого процесса. На участке дороги произошло оползание земляного полотна, повреждение обочины, деформации элементов обустройства и возникновения угрозы пролома асфальтобетонного покрытия проезжей части автодороги. Негативное воздействие заключается в просадке и оползании обочины дороги на протяжении около 100 м. Литологический состав горных пород на участке - пески, глинистые пески, галечники, супеси верхнечетвертичного возраста (а III_{3-4}). Факторы активизации - интенсивные осадки летнего периода (июль-август) и постоянные динамические нагрузки на полотно дороги. Объявлен режим ЧС локального уровня (Приказ ГКУ РХ «Хакасавтодор» от 05.08.2024 № П/А-55).		

24-13-00001	Сибирский	Красноярский край	Минусинский район, г. Минусинск	53,70044	91,71870	00.01.24	Не завершилась	Пт	Гидрогеол.	Отмечалось	В г. Минусинске Минусинского района (пункт наблюдений Минусинск) продолжается развитие процесса подтопления. Подтопленными остаются жилые дома частного сектора, приусадебные участки (50 подворий) в мкр. Дружба (Цыганское болото) и мкр. Энергетик. Ориентировочная площадь подтопления остается около 0,4 км^2. На площади подтопления развиты четвертичные пески, супеси с низкими фильтрационными свойствами, подстилаемые водоупорными глинистыми отложениями. Основной фактор активизации: наличие водоупорных отложений.		
24-13-00002	Сибирский	Красноярский край	Балахтинский район, пгт. Балахта, северо-восточная часть	55,39214	91,63146	00.03.24	Не завершилась	Пт	Гидрогеол., атм.	Отмечалось	В пгт. Балахта Балахтинского района (пункт наблюдений Балахта) зафиксирована активизация процесса подтопления. Наиболее активно подтопление происходит в мкр. Молодежный (ул. Борисевича (УГВ 0,5-1 м), ул. Сибирская (УГВ -1,5 м), ул. Яновского (УГВ 1,5-2 м)), а также в мкр. Центральном (ул. Ленина (УГВ.2-2,5 м)). Погреба остаются подтопленными практически в круглогодичном режиме. Колебания уровня воды составляет от 1 м (в зимние месяцы) до 0,5 м в весенне-летние месяцы. Ориентировочная площадь подтопления около 0,12 км^2. На площади подтопления развиты четвертичные пески, супеси, суглинки (часто лессовидными), подстилаемые песчаниками, туфопесчаниками, аргиллитами и алевролитами нижнего карбона. Основные факторы активизации: наличие слабопроницаемых отложений и значительные осадки зимне-весеннего периода.	–	
24-13-00011	Сибирский	Красноярский край	Саянский район, с. Агинское	55,26324	94,91671	00.04.24	00.07.24	Пт	Атм.	Отмечалось	В с. Агинское Саянского района отмечаются процессы подтопления. Процесс подтопления отмечается в основном в северной части населенного пункта по ул. Зеленая (УГВ 0-0,5 м), 60 лет СССР (УГВ 0,5-1,5 м), Пионерская (УГВ 1,5-2 м). В основном подтопление связано с сезоном интенсивного снеготаяния (апрель-май), но в отдельных случаях грунтовые воды в погребах появляются и во время интенсивных и продолжительных осадков. Площадь подтопления около 0,16 км^2. На площади подтопления развиты четвертичные аллювиальные отложения, представленные суглинками, глинами, песками и галечниками. Основные факторы активизации: обильные осадки зимнего и весенне-летнего периода.	–	
24-22-00001	Сибирский	Красноярский край	Балахтинский район, юго-западная окраина п. Приморск	55,19524	91,87720	00.04.24	00.07.24	Эо	Атм.	Не отмечалось	В Новоселовском районе, на юго-западной окраине п. Приморск (пункт наблюдений Приморск) в правом борту залива развивается овраг №1 с тремя вершинами. Протяженность оврага 16,5 м, ширина от 6,5 до 20 м, глубина до 4,5 м. Средняя скорость отступания вершин оврага 0,67 м. Процесс овражной эрозии развивается в делювиально-пролювиальных лессовидных суглинках и супесях четвертичного возраста. Факторы активизации – атмосферные осадки, снеготаяние.		
24-22-00004	Сибирский	Красноярский край	Балахтинский район, юго-западная окраина п. Приморск	55,19867	91,87567	00.04.24	00.07.24	Эо	Атм.	Не отмечалось	В Новоселовском районе, на юго-западной окраине п. Приморск (пункт наблюдений Приморск) в правом борту залива развивается овраг №4, двойная вершина которого засыпана и спланирована. Протяженность оврага 95 м, ширина от 3 до 15,5 м, ориентировочная глубина оврага 11-12 м. По левому борту развивается отвершек I порядка. Активизация процесса произошла в обоих вершинах отвершка (правая отступила на 1,5 м, левая – на 2 м). На протяжении 30 м от вершин произошло расширение русла на 3 м. Средняя скорость развития процесса 1,17 м. Процесс овражной эрозии развивается в делювиально-пролювиальных лессовидных суглинках и супесях четвертичного возраста. Факторы активизации – атмосферные осадки, снеготаяние.	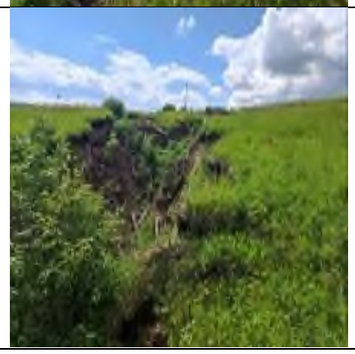	

24-22-00058	Сибирский	Красноярский край	Емельяновский район, уч. а/дороги Р-255, 29 км	56,134 91	93,103 57	00.04.2 4	00.07.24	Эо	Техн., атм.	Не отмечалось	В Емельяновском районе, вдоль трассы федерального значения Р-255 «Сибирь», на 29 км (пункт наблюдений уч. а/дороги Р-255, 29 км) зафиксирована активизация процесса овражной эрозии. Протяженность оврага 49 м, ширина от 3 до 7,6 м, глубина до 6,5 м. Отступание вершины около 1,5 м. В привершинной части оврага зафиксировано углубление русла до 4 м. Скорость развития процесса 1,5 м. Овраг развивается в аллювиальных отложениях II н.п. террасы (супеси и суглинки с щебнем и галькой). Факторы активизации: техногенный (концентрация стока талых и дождевых вод), метеорологический (осадки весенне-летнего периода).		
24-22-00027	Сибирский	Красноярский край	Краснотуранский район, в 0,25 км СВ окраины с. Краснотуранск	54,326 64	91,573 61	00.04.2 4	00.07.24	Эо	Атм.	Не отмечалось	В Краснотуранском районе в 0,25 км СВ с. Краснотуранск (пункт наблюдений Краснотуранск), по древнему логу развивается овраг. Зафиксировано отступание в вершине на 2 м. По правому борту (на протяжении 25-30 м) отмечаются незначительные осыпания. В днище оврага водобойный колодец диаметром около 2 м. Базисом эрозии является залив Сыда. Овражная эрозия развивается на площади распространения делювиально-пролювиальных лессовидных суглинков и супесей четвертичного возраста. Основным фактором активизации являются осадки весенне-летнего периода.	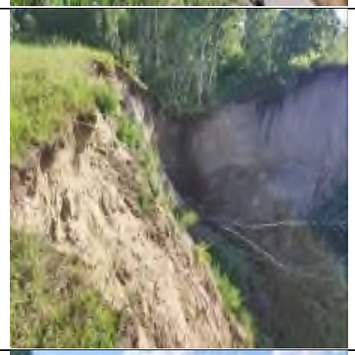	
24-22-00037	Сибирский	Красноярский край	Краснотуранский район, уч. а/дороги Минусинск-Беллык, 98 км, в 2 км З д. Уза	54,431 69	91,570 44	00.04.2 4	00.07.24	Эо	Техн., атм.	Отмечалось	В Краснотуранском районе, в 2 км З д. Уза (пункт наблюдений уч. а/дороги Минусинск – Беллык, 98 км), зафиксирована активизация процесса овражной эрозии. Развитие оврага «Левый» происходит за счет отступания вершины на 3 м. Протяженность оврага 422 м, ширина до 8 м, глубина до 4 м. Средняя скорость развития процесса для оврага 0,7 м. Базисом эрозии является русло оврага «Центральный». Процесс овражной эрозии развивается в делювиально-пролювиальных лессовидных суглинках и супесях четвертичного возраста Факторы активизации – концентрация стока талых и дождевых вод при прокладке водопропускной трубы под полотном дороги и осадки весенне-летнего периода. Негативное воздействие заключается в выводе из оборота с/х угодий площадью около 21 м^2.		
24-22-00039	Сибирский	Красноярский край	Краснотуранский район, уч. а/дороги Минусинск-Беллык, 98 км, в 2 км З д. Уза	54,433 55	91,584 60	00.04.2 4	00.07.24	Эо	Атм.	Отмечалось	В Краснотуранском районе, в 2 км З д. Уза (пункт наблюдений уч. а/дороги Минусинск – Беллык, 98 км), на землях с/х назначения по линии стока оврага «Центральный» развивается овраг «Основной». Протяженность оврага 1069 м, ширина до 20 м, глубина до 15 м. Отступание в вершине оврага составило 2 м, левого отвершка на 6 м. Средняя скорость процесса для оврага 4 м. Базисом эрозии является р. Камышта. Процесс овражной эрозии развивается в делювиально-пролювиальных лессовидных суглинках и супесях четвертичного возраста Факторы активизации - осадки весенне-летнего периода. Негативное воздействие заключается в выводе из оборота с/х угодий площадью около 48 м^2.		

24-22-00040	Сибирский	Красноярский край	Краснотуранский район, уч. а/дороги Минусинск-Беллык, 98 км, в 2 км З д. Уза	54,431 75	91,575 45	00.04.2 4	00.07.24	Эо	Атм.	Не отмечалось	В Краснотуранском районе, в 2 км З д. Уза (пункт наблюдений уч. а/дороги Минусинск – Беллык, 98 км), на землях с/х назначения развивается овраг «Центральный», образованный при слиянии 2-х оврагов, которые в свою очередь образовались при концентрации стока талых и ливневых вод из водопропускных труб под полотном дороги. Протяженность оврага 108,5 м, ширина до 9 м, глубина 3 м. Отступание в вершине оврага составило около 2 м, произошло расширение русла оврага в привершинной части на 1 м. Протяженность участка обрушений около 10 м. Средняя скорость развития процесса для оврага 1 м. Базисом эрозии является русло оврага «Основной». Процесс овражной эрозии развивается в делювиально-пролювиальных лессовидных суглинках и супесях четвертичного возраста Факторы активизации - осадки весенне-летнего периода.		
24-22-00041	Сибирский	Красноярский край	Краснотуранский район, вдоль а/дороги Минусинск – Беллык, 93 км, в 2,8 км СЗ д. Белоярск	54,412 70	91,659 57	00.04.2 4	00.07.24	Эо	Атм.	Отмечалось	В Краснотуранском районе, в 2,8 км СЗ д. Белоярск, на 93 км автодороги Минусинск-Беллык (пункт наблюдений уч. а/дороги Минусинск - Беллык, 93 км) от водопропускной трубы под полотном дороги развивается овраг. Вершина оврага укреплена крупноглыбовым материалом, и активизация процесса заключается в обрушении бортов оврага на 2-х участках (на 0,5-1 м), что ведет к увеличению площади оврага. Протяженность оврага 600 м, ширина до 19 м, глубина до 10 м. Базисом эрозии является залив Уза. Процессы овражной эрозии развиваются в делювиально-пролювиальных лессовидных суглинках и супесях четвертичного возраста. Факторы активизации - осадки весенне-летнего периода. Негативное воздействие заключается в выводе из оборота с/х угодий площадью около 10 м^2.		
24-22-00069	Сибирский	Красноярский край	Краснотуранский район, вдоль а/дороги на д. Листвягово, в 5,5 км СВ д. Листвягово	54,003 05	91,730 85	00.04.2 4	00.07.24	Эо	Атм.	Не отмечалось	В 5,5 км СВ д. Листвягово Краснотуранского района (пункт наблюдений с/х угодья Краснотуранского района), вдоль а/дороги на д. Листвягово, в овраге № 3 отмечена активизация овражной эрозии. Протяженность оврага составляет около 1107,5 м, ширина от 8 до 20 м, глубина до 6,5 м. Овраг имеет три вершины и отвершки. Отступание в вершинах составило 1-3,5 м, отступание вершины отвершка по левому борту 1 м. Средняя скорость развития процесса 0,65 м. Базисом эрозии является овраг, расположенный ниже по линии стока. Процесс овражной эрозии развивается в делювиально-пролювиальных лессовидных супесях и суглинках четвертичного возраста. Факторы активизации – осадки весенне-летнего периода.		
24-22-00091	Сибирский	Красноярский край	Курагинский район, в 2,2 км СВ с. Пойлово	53,881 66	92,475 25	00.04.2 4	00.07.24	Эо	Атм.	Отмечалось	В 2,2 км СВ с. Пойлово Курагинского района, на с/х угодьях ОПХ «Курагинское» зафиксировано развитие оврага №1. Овраг имеет 4 вершины и 2 участка переуглубления русла. Протяженность оврага 1250 м, ширина 1,4-18 м, глубина оврага от 0,3 до 4,6 м. Базисом развития процесса овражной эрозии является пойма р. Туба. Овраг развивается на площади распространения верхнечетвертичных- современных аллювиальных отложений, представленных супесями, местами суглинками с прослоями песка с галькой. Факторы активизации - осадки весенне-летнего периода. Негативному воздействию подвержены с/х угодья площадью 120 м^2.		

24-22-00092	Сибирский	Красноярский край	Курагинский район, в 2,5 км СВ с. Пойлово	53,880 24	92,472 53	00.04.2 4	00.07.24	Эо	Атм.	Отмечалось	В 2,5 км СВ с. Пойлово Курагинского района, на с/х угодьях ОПХ «Курагинское» зафиксировано развитие оврага №2. Овраг начинается с ложбины стока. Протяженность оврага 50 м, ширина 2-5,5 м, глубина оврага 1,5 м. Ложбина стока и устье оврага завалены соломой для гашения скорости потока. Базисом развития процесса овражной эрозии является пойма р. Туба. Овраг развивается на площади распространения верхнечетвертичных- современных аллювиальных отложений, представленных супесями, местами суглинками с прослоями песка с галькой. Факторы активизации - осадки весенне-летнего периода. Негативному воздействию подвержены с/х угодья площадью 10 м^2.		
24-22-00093	Сибирский	Красноярский край	Курагинский район, в 2,5 км СВ с. Пойлово	53,881 72	92,470 25	00.04.2 4	00.07.24	Эо	Атм.	Отмечалось	В 2,5 км СВ с. Пойлово Курагинского района, на с/х угодьях ОПХ «Курагинское» зафиксировано развитие оврага №3. Овраг начинается с ложбины стока. Овраг имеет две вершины шириной 0,5-1 м, глубиной 0,5-1,2 м. Вершины и русло частично завалены соломой. Далее идет ложбина стока и через 100-110 м начинается новый участок переуглубления русла, также имеющий 2 вершины. Правая вершина развивается интенсивнее, т.к. левая завалена соломой. Общая протяженность оврага 440 м, ширина 0,5-5 м, глубина 0,5-6,3 м. Базисом развития процесса овражной эрозии является пойма р. Туба. Овраг развивается на площади распространения верхнечетвертичных- современных аллювиальных отложений, представленных супесями, местами суглинками с прослоями песка с галькой. Факторы активизации - осадки весенне-летнего периода. Негативному воздействию подвержены с/х угодья площадью 100 м^2.		
24-22-00094	Сибирский	Красноярский край	Курагинский район, в 2,2 км СВ с. Пойлово	53,880 60	92,465 01	00.04.2 4	00.07.24	Эо	Атм.	Отмечалось	В 2,2 км СВ с. Пойлово Курагинского района, на с/х угодьях ОПХ «Курагинское» зафиксировано развитие оврага №4. Овраг начинается с ложбины стока. Имеет две вершины, в каждой из вершин образовались водобойные колодцы диаметром 2-4 м, глубиной 2,7 м. Вершины расположены в 10 м друг от друга. Борта оврага завалены соломой. Русло и ложбины стока по склону запаханы. Общая протяженность оврага 110 м, ширина 11-16 м, глубина 2,7 м. Базисом развития процесса овражной эрозии является пойма р. Туба. Овраг развивается на площади распространения верхнечетвертичных- современных аллювиальных отложений, представленных супесями, местами суглинками с прослоями песка с галькой. Факторы активизации - осадки весенне-летнего периода. Негативному воздействию подвержены с/х угодья площадью 20 м2.		
24-22-00096	Сибирский	Красноярский край	Курагинский район, в 2 км СВ с. Пойлово	53,879 21	92,462 67	00.04.2 4	00.07.24	Эо	Атм.	Отмечалось	В 2 км СВ с. Пойлово Курагинского района, на с/х угодьях ОПХ «Курагинское» зафиксировано развитие оврага №6. Вершина и борта оврага завалены соломой, но поверх соломы следы временных водотоков и свежий овражный пролювий. Ложбина стока, проходящая ниже по потоку запахана. Протяженность оврага 55 м, ширина 8-10 м, глубина 1,5-1,8 м. Базисом развития процесса овражной эрозии является пойма р. Туба. Овраг развивается на площади распространения верхнечетвертичных- современных аллювиальных отложений, представленных супесями, местами суглинками с прослоями песка с галькой. Факторы активизации - осадки весенне-летнего периода. Негативному воздействию подвержены с/х угодья площадью 20 м^2.		

24-22-00097	Сибирский	Красноярский край	Курагинский район, в 1,7 км СВ с. Пойлово	53,874 87	92,463 55	00.04.2 4	00.07.24	Эо	Атм.	Отмечалось	В 1,7 км СВ с. Пойлово Курагинского района, на с/х угодьях ОПХ «Курагинское» зафиксировано развитие оврага №7. В вершине оврага - водобойный колодец диаметром 1 м и глубиной 3,2 м. По левому борту развивается отвершек глубиной 4,1 м, шириной до 8 м. Овраг проходит через лесополосу и выходит в соседнее поле. Борта оврага частично завалены соломой. Протяженность оврага 234 м, ширина 1-8,5 м, глубина 3,2-4,1 м. Базисом развития процесса овражной эрозии является пойма р. Туба. Овраг развивается на площади распространения верхнечетвертичных- современных аллювиальных отложений, представленных супесями, местами суглинками с прослоями песка с галькой. Факторы активизации - осадки весенне-летнего периода. Негативному воздействию подвержены с/х угодья площадью 10 м^2.		
24-22-00098	Сибирский	Красноярский край	Курагинский район, в 1,5 км СВ с. Пойлово	53,873 16	92,463 89	00.04.2 4	00.07.24	Эо	Атм.	Отмечалось	В 1,5 км СВ с. Пойлово Курагинского района, на с/х угодьях ОПХ «Курагинское» зафиксировано развитие оврага №8. В вершине водобойный колодец диаметром 0,5-0,7 м, глубиной 0,5 м. В тальвеге русло временного водотока. В привершинной части, по всему руслу и в устье овраг завален тюками соломы. Протяженность оврага 95 м, ширина 0,7-3,5 м, глубина 0,5-1,2 м. Базисом развития процесса овражной эрозии является пойма р. Туба. Овраг развивается на площади распространения верхнечетвертичных- современных аллювиальных отложений, представленных супесями, местами суглинками с прослоями песка с галькой. Факторы активизации - осадки весенне-летнего периода. Негативному воздействию подвержены с/х угодья площадью 30 м^2.		
24-22-00099	Сибирский	Красноярский край	Курагинский район, в 2,5 км СВ с. Пойлово	53,877 11	92,481 08	00.04.2 4	00.07.24	Эо	Атм.	Не отмечалось	В 1,5 км СВ с. Пойлово Курагинского района, на с/х угодьях ОПХ «Курагинское» зафиксировано развитие оврага №9. Овраг имеет три вершины, сливающиеся в одно русло через 28-30 м. Наиболее активна вершина 1. Вершины 2 и 3 задернованы. Через 100 м русло оврага делает поворот на 90^0 и поворачивает на юг. В точке поворота развивается активный отвершек шириной около 10-10,5 м, глубиной около 5-6 м. Протяженность оврага 850 м, ширина 5-10 м, глубина 3-3,2 м. Базисом развития процесса овражной эрозии является пойма р. Туба. Овраг развивается на площади распространения верхнечетвертичных- современных аллювиальных отложений, представленных супесями, местами суглинками с прослоями песка с галькой. Факторы активизации - осадки весенне-летнего периода.		
24-22-00024	Сибирский	Красноярский край	Минусинский район, в 0,5 км ЮВ п. Пригородный	53,542 31	92,032 97	00.04.2 4	00.07.24	Эо	Атм.	Не отмечалось	В Минусинском районе, в 0,5 км ЮВ п. Пригородный (пункт наблюдений Пригородный) отмечена активизация процесса овражной эрозии. В овраге «Новый», развивающимся по траншее под оптоволокно, произошло незначительное расширение русла на 1 м за счет обрушений по левому борту. Протяженность оврага составляет 200,5 м, ширина до 9 м, глубина 2,5 м. Базисом развития процессов овражной эрозии на участке является р. Лугавка. Овраг развивается на площади распространения делювиальных лессовидных супесей и суглинков. Факторы активизации - осадки весенне-летнего периода.		

24-22-00025	Сибирский	Красноярский край	Минусинский район, восточная окраина п. Пригородный	53,54459	92,03138	00.04.24	00.07.24	Эо	Атм.	Не отмечалось	В Минусинском районе, вдоль восточной окраины п. Пригородный (пункт наблюдений Пригородный) отмечена активизация процесса овражной эрозии. Отступание вершины на 1 м, протяженность оврага Восточный увеличилась до 612,7 м, ширина 15-70 м, глубина – до 15 м. Средняя скорость развития процесса 0,33 м. Базисом развития процесса овражной эрозии на участке является р. Лугавка. Овраг развивается на площади распространения делювиальных лессовидных супесей и суглинков. Факторы активизации - осадки весенне-летнего периода.		
24-22-00021	Сибирский	Красноярский край	Минусинский район, п. Суходол	53,78123	91,78299	00.04.24	00.07.24	Эо	Атм.	Не отмечалось	Вдоль восточной окраины п. Суходол Минусинского района (пункт наблюдений Суходол) по руслу пересыхающего руч. Харасуг развивается современный овраг. Протяженность оврага составляет 1350,5 м, ширина до 60 м, глубина до 12 м. Активизация процесса происходит за счет роста вершин отвершков на 1-1,5 м. Средняя скорость развития процесса для оврага составила 0,38 м. Базисом развития процесса является р. Минусинка. В зоне потенциального воздействия опоры ЛЭП. Литологический состав горных пород на участке представлен делювиально-пролювиальными лессовидными суглинками, супесями. Факторы активизации - осадки весенне-летнего периода.		
24-22-00087	Сибирский	Красноярский край	Минусинский район, в 4,6 км СВ д. Быстрая	53,76704	91,62045	00.04.24	00.07.24	Эо	Атм.	Не отмечалось	В 4,6 км СВ д. Быстрая Минусинского района (пункт наблюдений Зубаревский) вдоль грунтовой дороги развивается овраг № 3. Протяженность оврага 148 м, ширина 0,5-2,1, глубина до 2 м. Активизация процесса происходит за счет интенсивных обрушений в средней части русла, на участке протяженностью 15 м. Базис эрозии не определен. Процесс развивается в аллювиальных глинистых песках и суглинках. Факторы активизации - осадки весенне-летнего периода.		
24-22-00026	Сибирский	Красноярский край	Минусинский район, с. Новотроицкое, южная окраина	53,85692	91,80239	00.04.24	00.07.24	Эо	Атм.	Не отмечалось	Вдоль южной окраины с. Новотроицкое Минусинского района (пункт наблюдений Новотроицкое) зафиксирована активизация процесса овражной эрозии в виде отступания вершины оврага на 1,5 м. Протяженность оврага составила831,2 м, ширина до 100 м, глубина до 15 м. Средняя скорость развития процесса 0,17 м. Базисом эрозии является р. Мокрая Бедра. Овраг развивается в делювиально-пролювиальных лессовидных супесях и суглинках. Факторы активизации - осадки весенне-летнего периода.	–	
24-22-00053	Сибирский	Красноярский край	Минусинский район, в 7 км В с. Мал. Минуса	53,74433	91,90345	00.04.24	00.07.24	Эо	Атм.	Отмечалось	В Минусинском районе, в 7 км В с. Мал. Минуса (пункт наблюдений Спартак), на частных с/х угодьях зафиксирована активизация оврага № 3. Протяженность оврага составила 97,7 м, ширина 1,6-10 м, глубина до 3 м. Отступание в вершине оврага составило около 7,5 м. Зафиксировано значительное увеличение ширины оврага в привершинной части на 2 м. Базисом эрозии является русло оврага, развивающегося ниже по линии стока. Овраг развивается в делювиально-пролювиальных лессовидных супесях и суглинках. Факторы активизации - осадки весенне-летнего периода. Негативное воздействие заключается в выводе из оборота с/х угодий площадью около 60 м^2.		

24-22-00054	Сибирский	Красноярский край	Минусинский район, в 7 км В с. Мал. Минуса	53,74387	91,90249	00.04.24	00.07.24	Эо	Атм.	Не отмечалось	В Минусинском районе, в 7 км В с. Мал. Минуса (пункт наблюдений Спартак), на частных с/х угодьях зафиксирована активизация оврага № 4. Протяженность оврага увеличилась до 21 м, ширина 1-8 м, глубина 1м. Отступание в вершине оврага составило около 1,5 м. Базисом эрозии является русло оврага, развивающегося ниже по линии стока. Овраг развивается в делювиально-пролювиальных лессовидных супесях и суглинках. Факторы активизации - осадки весенне-летнего периода.	–	
24-22-00056	Сибирский	Красноярский край	Минусинский район, в 7 км В с. Мал. Минуса	53,74385	91,90091	00.04.24	00.07.24	Эо	Атм.	Не отмечалось	В Минусинском районе, в 7 км В с. Мал. Минуса (пункт наблюдений Спартак), на частных с/х угодьях зафиксирована активизация оврага № 6. Протяженность оврага увеличилась до 86,5 м, ширина в вершине увеличилась до 19 м, глубина 2,5 м. Отступание в вершинах оврага составило 1 м (правая) и 1,5 м (левая). Обрушение бортов в привершинной части привело к увеличению ширина на 1 м. Базисом эрозии является русло оврага, развивающегося ниже по линии стока. Овраг развивается в делювиально-пролювиальных лессовидных супесях и суглинках. Факторы активизации - осадки весенне-летнего периода.	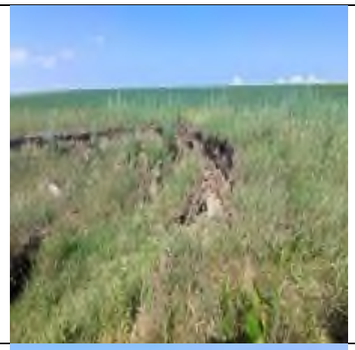	
24-22-00088	Сибирский	Красноярский край	Минусинский район, в 11,5 км севернее с. Городок	54,01898	91,77216	00.04.24	00.07.24	Эо	Атм.	Не отмечалось	В 11,5 км севернее с. Городок Минусинского района, на частных (заброшенных) с/х угодьях (пункт наблюдений с/х угодья Минусинского района) зафиксирована активизация оврага №1. Протяженность оврага увеличилась до 3454 м, ширина от 0,5 до 20 м, глубина от 0,5 до 5,5 м. Отступание вершины составило около 4 м, в вершине отвершка №1 – 1 м. Базисом эрозии является залив Туба. Овраг развивается в верхнечетвертичных делювиально-пролювиальных лессовидных супесях и суглинках. Факторы активизации - осадки весенне-летнего периода.		
24-17-00003	Сибирский	Красноярский край	Минусинский район, в 12,3 км севернее с. Городок	54,03556	91,77361	00.04.24	00.07.24	Су	Атм.	Не отмечалось	В 12,3 км севернее с. Городок Минусинского района, на частных (заброшенных) с/х угодьях (пункт наблюдений с/х угодья Минусинского района) развивается суффозионный процесс. Активизация процесса заключалась в увеличении глубины суффозионного провала в верхней части участка (с 1,5 м до 2,2 м). Далее, на всем протяжении участка произошли обрушения поверхности земли над суффозионными каналами. Из 10 зафиксированных в 2023 г. участков с подземными каналами в 2024 г. сохранилось всего 5. Протяженность всего участка проявления суффозии 420 м. Базисом эрозии является склон долины р. Туба. Суффозионный процесс развивается в верхнечетвертичных делювиально-пролювиальных лессовидных супесях и суглинках. Факторы активизации - осадки весенне-летнего периода.		
24-22 00066	Сибирский	Красноярский край	Новоселовский муниципальный район, п Аешка, восточная окраина	54,92293	90,85782	00.04.24	00.07.24	Эо	Атм.	Не отмечалось	В Новоселовском районе, на восточной окраине п. Аешка (пункт наблюдений Аешка) отмечена активизация оврага № 4. Зафиксировано отступание в вершине отвершка на 1,5 м. Вершина отвершка, как и вершина и левый борт оврага интенсивно завалены мусором, Протяженность оврага составляет 230 м, ширина до 10 м, глубина 7-10 м. Базис эрозии – р. Дальняя Речка. На площади развития процесса распространены делювиально-пролювиальные лессовидные супеси и суглинки. Факторы активизации - осадки весенне-летних месяцев.		
24-22-00005	Сибирский	Красноярский край	Новоселовский район, в 0,4 км ЮВ п. Куртак	55,14309	91,54677	00.04.24	00.07.24	Эо	Атм.	Не отмечалось	В Новоселовском районе, в 0,4 км ЮВ п. Куртак (пункт наблюдений Куртак), зафиксирована активизация оврага № 1. Протяженность оврага увеличилась до 24 м, ширина от 5,5 до 9 м, глубина 2-4,5 м. Отступание в вершине составило 1,2 м. Базис эрозии – Красноярское водохранилище. Уступ сложен делювиально-пролювиальными лессовидными суглинками, супесями. Факторы активизации - осадки весенне-летних месяцев.		
24-22-00006	Сибирский	Красноярский край	Новоселовский район, в 0,4 км ЮВ п. Куртак	55,14316	91,54698	00.04.24	00.07.24	Эо	Атм.	Не отмечалось	В Новоселовском районе, в 0,4 км ЮВ п. Куртак (пункт наблюдений Куртак), зафиксирована активизация оврага № 2. Протяженность оврага увеличилась до 16 м, ширина от 1,5 до 8 м, глубина 2,5-3,5 м. Отступание вершины на 1,5 м. В тальвеге суффозионный колодец диаметром 0,5-0,6 м. Базис эрозии – Красноярское водохранилище. Уступ сложен делювиально-пролювиальными		

											лессовидными суглинками, супесями. Факторы активизации - осадки весенне-летних месяцев.		
24-22-00015	Сибирский	Красноярский край	Новоселовский район, в 0,6 км ЮВ п. Куртак	55,14661	91,55533	00.04.24	00.07.24	Эо	Атм.	Не отмечалось	В Новоселовском районе, в 0,6 км ЮВ п. Куртак (пункт наблюдений Куртак, зафиксирована активизация оврага № 11. Протяженность оврага 6 м, ширина 6,5 м, глубина 5 м. Отступание вершины составило 0,5 м. Овраг развивается на участке уступа, в отседающем блоке. Базис эрозии – Красноярское водохранилище. Уступ сложен делювиально-пролювиальными лессовидными суглинками, супесями. Факторы активизации - осадки весенне-летних месяцев.		
24-22-00017	Сибирский	Красноярский край	Новоселовский район, в 1 км В п. Куртак	55,14957	91,56181	00.04.24	00.07.24	Эо	Атм.	Не отмечалось	В Новоселовском районе, в 1 км В п. Куртак (пункт наблюдений Куртак), зафиксирована активизация оврага №13. Протяженность оврага увеличилась до 28 м, ширина 7-8 м, глубина до 6 м. Активизация овражной эрозии проявилась в отступании вершины оврага на 3 м. Базис эрозии – Красноярское водохранилище. Уступ сложен делювиально-пролювиальными лессовидными суглинками, супесями. Факторы активизации - осадки весенне-летних месяцев.		
24-22-00029	Сибирский	Красноярский край	Новоселовский район, вдоль левой стороны а/дороги Р-257, 242 км, в 3,5 км З с. Новоселово	55,00810	90,90891	00.04.24	00.07.24	Эо	Атм.	Не отмечалось	В Новоселовском районе, в 3,5 км З с. Новоселово, вдоль левой стороны а/дороги Р-257 (пункт наблюдений уч. а/дороги Р-257, 242 км) развивается овраг «Левый» каскадного типа. Протяженность оврага 1075 м, ширина до 10 м, глубина до 4,5 м. Овраг имеет две вершины, отступание на 2,5 м зафиксировано только в одной вершине (левой). Базисом эрозии является лог Борозда. Литологический состав горных пород на участке представлен делювиально-пролювиальными лессовидными суглинками, супесями. Факторы активизации осадки весенне-летнего периода.		
24-11-00003	Сибирский	Красноярский край	Балахтинский район, правый склон долины р. Чулым, в 4,7 км ЮВ д. Малые Сыры	55,46910	91,61166	00.04.24	00.08.24	Оп	Атм., гидрол.	Не отмечалось	На правом склоне долины р. Чулым, в 4,7 км ЮВ д. Малые Сыры Балахтинского района (пункт наблюдений Малосырский) развивается оползневой процесс (оползень-поток). Зафиксированы вертикальные смещения оползневых реперов на +51--41 мм. Базисом эрозии является р. Чулым. Оползневой процесс развивается в четвертичных суглинках, супесях, иловатых песках, подстилаемых юрскими пластичными глинами. Факторы активизации - осадки весенне-летних месяцев и подъем уровня р. Чулым во время паводка, что привело к подмыву основания оползневого склона.		
24-11-00004	Сибирский	Красноярский край	Балахтинский район, правый склон долины р. Чулым, в 4,3 км ЮВ д. Малые Сыры	55,47382	91,61077	00.04.24	00.08.24	Оп	Атм., гидрол.	Не отмечалось	На правом склоне долины р. Чулым, в 4,3 км ЮВ д. Малые Сыры Балахтинского района (пункт наблюдений Малосырский) развивается оползневой процесс (оползень блоковый). Зафиксированы вертикальные смещения оползневых реперов на +23- -82 мм. Базисом эрозии является р. Чулым. Оползневой процесс развивается в четвертичных суглинках, супесях, иловатых песках, подстилаемых юрскими пластичными глинами. Факторы активизации - осадки весенне-летних месяцев и подъем уровня р. Чулым во время паводка, что привело к подмыву основания оползневого склона.	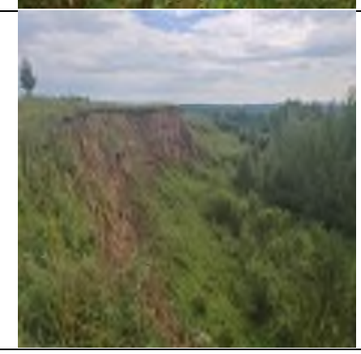	

24-11-00002	Сибирский	Красноярский край	Емельяновский район, СВ окраина п. 13-ти Борцов, левый борт р. Кача	56,222 38	92,333 81	00.04.2 4	00.09.24	Оп	Атм., гидрол.	Не отмечалось	В северо-восточной части п. Памяти 13 Борцов Емельяновского района (пункт наблюдений Стеклозавод), на левом берегу р. Кача развивается оползневой процесс. Наиболее активна приурезовая часть оползневого массива, где колебания смещения реперов составили от +65 до-58 мм. Юго-западная и западная часть чаще испытывала восходящие смещения. Смещение реперов здесь колебались +162 до -76 мм. Оползневой процесс развивается на древнеоползневом склоне, в суглинках и супесях с щебнем, галькой и дресвой нижнечетвертичного возраста подстилаемых корой выветривания среднеюрских отложений (глины, алевролиты, аргиллиты). Базисом эрозии является р. Кача. Факторами активизации являются обильные осадки весенне-летних месяцев и высокие уровни р. Кача, что привело к подмыву основания оползневого склона.		
24-17-00004	Сибирский	Красноярский край	Канский район, правый борт долины р. Кан, в 0,5 км З с. Анцирь	56,262 38	95,491 62	00.04.2 4	00.09.24	Су	Атм.	Не отмечалось	В 0,5 км З с. Анцирь Канского района (пункт наблюдений уч. а/дороги Анцирь-Хаерино) на втором (нижнем) уступе древнеоползневого склона правого борта р. Кан развивается суффозионный провал № 1 длиной 9 м, шириной 3,5 м, глубиной 1,5 м. В верхней и нижней частях провала - суффозионные каналы. Канал в нижней части провала направлен к вершине отвершка II порядка оврага 2. Комплексы горных пород, затронутые проявлением представлены современными аллювиальными песками, супесями и суглинками. Факторы активизации – осадки весенне-летних месяцев.		
24-17-00005	Сибирский	Красноярский край	Канский район, правый борт долины р. Кан, в 0,5 км З с. Анцирь	56,262 49	95,491 62	00.04.2 4	00.09.24	Су	Атм.	Не отмечалось	В 0,5 км З с. Анцирь Канского района (пункт наблюдений уч. а/дороги Анцирь-Хаерино) на втором (нижнем) уступе древнеоползневого склона правого борта р. Кан в 2024 г. образовался суффозионный провал № 2 длиной 6 м, шириной 5 м, глубиной 2,5 м. В бортах провала просматриваются суффозионные каналы диаметром около 1 м. Комплексы горных пород, затронутые проявлением представлены современными аллювиальными песками, супесями и суглинками. Факторы активизации – осадки весенне-летних месяцев.		
24-11-00007	Сибирский	Красноярский край	Уярский район, транссибирская ж.д. магистраль, ЮВ окраина п. Балайский Косогор	55,826 18	94,111 79	00.04.2 4	00.09.24	Оп	Гидрогеол., техн.	Не отмечалось	Вдоль юго-восточной окраины п. Балайский Косогор Уярского района (пункт наблюдений Балайский Косогор) развиваются оползневые процессы. В средней части оползневого склона проходит полотно Транссибирское ж.д. магистрали. По данным топоработ зафиксирована более высокая активность оползневого процесса, чем в 2023 г. Вертикальные смещения реперов составили +6- -50 мм. Оползневой склон сложен делювиально-пролювиальными лессовидными суглинками и супесями, подстилаемые корой выветривания нижнеюрских песчаников, алевролитов и аргиллитов. Юрские породы характеризуются сильной обводнённостью, что предопределило развитие на склоне глубинного оползня. Визуально оползневые деформации не фиксируются. Базисом эрозии является р. Балай. Факторами активизации являются – гидрогеологический (степень обводненности пород в подошве оползня) и техногенный (динамические нагрузки от проходящего транспорта).		
24-13-00011	Сибирский	Красноярский край	Богучанский район, с. Богучаны	58,383 91	97,482 74	00.05.2 4	Не завершилась	Пт	Атм., техн.	Отмечалось	В с. Богучаны Богучанского района продолжается активизация процесса подтопления. По данным сельской администрации, в III квартале подтопление погребов и подполий отмечается в центральной части (участок подтопления 2023 г. площадью 0,43 км^2) и в мкр. Восточный (85 домовладений). Суммарная площадь подтопления 0,57 км^2. На площади подтопления развиты средне-четвертичные аллювиальные отложения, представленные песками с линзами галечников и суглинков мощностью до 10-15 м. Основной фактор активизации метеорологический (обильные осадки июля-августа 2024 г.) и техногенный (снижение эффективности работы водопонизительных скважин).	–	

38-11-00002	Сибирский	Иркутская область	Ольхонский район, о. Ольхон, побережье залива Сарайский оз. Байкал, в 0,76 км СЗ д. Харанцы	53,21617	107,39215	00.05.24	00.09.24	Оп	Атм., сейсм.	Не отмечалось	В 0,76 км северо-западнее д. Харанцы Ольхонского района (пункт наблюдений Сарайский) с мая 2024 г. отмечалась активизация оползневого процесса. Длина оползня № 2 осталась без изменения и составила 31 м, ширина увеличилась до 114 м. Активные деформации наблюдаются в нижней части склона, сопровождаемые отседанием и отрывом небольших масс грунта. Прирост площади проявления составил 0,00186 км^2. Литологический состав пород представлен суглинками. Факторы активизации процесса – метеорологический (выпадение большого количества, относительно нормы, атмосферных осадков при значениях температуры воздуха около нормы), сейсмический (сейсмические события до 3 баллов).		
38-11-00003	Сибирский	Иркутская область	Ольхонский район, о. Ольхон, побережье залива Сарайский оз. Байкал, в 0,76 км СЗ д. Харанцы	53,21749	107,39301	00.05.24	00.09.24	Оп	Атм., сейсм.	Не отмечалось	В 0,76 км северо-западнее д. Харанцы Ольхонского района (пункт наблюдений Сарайский) с мая 2024 г. отмечалась активизация оползневого процесса. Оползень № 3 увеличился в размерах. Его длина составила 34 м, ширина - 75 м. Прирост площади проявления составил 0,000105 км^2. В средней и нижней частях проявления- террасовидные уступы и бугристость, по всей площади отмечаются свежие сплывы грунта. Литологический состав пород представлен суглинками. Факторы активизации процесса – метеорологический (выпадение большого количества, относительно нормы, атмосферных осадков при значениях температуры воздуха около нормы), сейсмический (сейсмические события до 3 баллов).		
38-11-00004	Сибирский	Иркутская область	Ольхонский район, о. Ольхон, побережье залива Сарайский оз. Байкал, в 0,73 км СЗ д. Харанцы	53,21687	107,39301	00.05.24	00.09.24	Оп	Атм., сейсм.	Не отмечалось	В 0,73 км северо-западнее д. Харанцы Ольхонского района (пункт наблюдений Сарайский) с мая 2024 г. отмечалась активизация оползневого процесса в виде смещения покровных суглинков по стенке срыва. Оползень № 4 имеет длину 32 м, ширину 65 м. Оползневое тело гладкое, деформированное оплывинами и блоками сползшего грунта в нижней части. Прирост площади проявления составил 0,000219 км^2. Литологический состав пород представлен суглинками. Факторы активизации процесса – метеорологический (выпадение большого количества, относительно нормы, атмосферных осадков при значениях температуры воздуха около нормы), сейсмический (сейсмические события до 3 баллов).		
38-11-00005	Сибирский	Иркутская область	Ольхонский район, о. Ольхон, побережье оз. Байкал, участок от мыса Харанцы до мыса Харалдой, в 0,5 км СЗ д. Харанцы	53,23153	107,41918	00.05.24	00.09.24	Оп	Атм., сейсм.	Не отмечалось	В 0,5 км северо-западнее д. Харанцы Ольхонского района (пункт наблюдений Харанцынский) с мая 2024 г. отмечалась активизация оползневого процесса. Размеры оползня № 1 остались без изменений, длина - 25 м, ширина - 170 м. Центральная и левая части склона характеризуются бугристым микрорельефом, где прослеживаются свежие эрозионные явления в виде выноса суглинка, фиксируются трещины отрыва. Литологический состав пород представлен суглинками. Факторы активизации процесса - метеорологический (выпадение большого количества, относительно нормы, атмосферных осадков при значениях температуры воздуха около нормы), сейсмический (сейсмические события до 3 баллов).		

38-11-00006	Сибирский	Иркутская область	Ольхонский район, о. Ольхон, побережье оз. Байкал, участок от мыса Харанцы до мыса Харалдой, в 0,1 км С д. Харанцы	53,22996	107,42538	00.05.24	00.09.24	Оп	Атм., сейсм.	Не отмечалось	В 0,1 км севернее д. Харанцы Ольхонского района (пункт наблюдений Харанцынский) с мая 2024 г. отмечалась активизация оползневого процесса. Оползень № 2 увеличился в размерах, достигая в длину 32 м, ширину - 370 м. Прирост площади проявления составил 0,00104 км^2. Правая часть склона террасирована в виде уступов, в левой и центральной частях прослеживалась бугристость, эрозионные явления в виде выноса суглинка, свежие сплывы грунта, сопровождаемые вывалами и осыпанием рыхлого материала. Литологический состав пород представлен суглинками. Факторы активизации процесса - метеорологический (выпадение большого количества, относительно нормы, атмосферных осадков при значениях температуры воздуха около нормы), сейсмический (сейсмические события до 3 баллов).		
38-11-00007	Сибирский	Иркутская область	Ольхонский район, о. Ольхон, побережье оз. Байкал, участок от мыса Харанцы до мыса Харалдой, в 0,9 км СВ д. Харанцы	53,23099	107,43995	00.05.24	00.09.24	Оп	Атм., сейсм.	Не отмечалось	В 0,9 км северо-восточнее д. Харанцы Ольхонского района (пункт наблюдений Харанцынский) с мая 2024 г. отмечалась активизация оползневого процесса. Оползень № 3 увеличился в размерах: длина составила 85 м, ширина - 150 м. Прирост площади проявления составил 0,01065 км^2. Тело оползня в виде бугристо-волнистого рельефа. Между буграми влажный грунт. Движение оползня прослеживается по смещению бугров (кочек) вниз на пляж. Литологический состав пород представлен суглинками. Факторы активизации процесса - метеорологический (выпадение большого количества, относительно нормы, атмосферных осадков при значениях температуры воздуха около нормы), сейсмический (сейсмические события до 3 баллов).	–	
38-11-00008	Сибирский	Иркутская область	Ольхонский район, о. Ольхон, побережье оз. Байкал, участок от мыса Харанцы до мыса Харалдой, в 0,83 км СВ д. Харанцы	53,23182	107,44247	00.05.24	00.09.24	Оп	Атм., сейсм.	Не отмечалось	В 0,83 км северо-восточнее д. Харанцы Ольхонского района (пункт наблюдений Харанцынский) с мая 2024 г. отмечалась активизация оползневого процесса. Оползень № 4 имеет длину 120 м, ширину - 180 м. Площадь проявления составила 0,0216 км^2. Тело оползня в виде бугристо-волнистого рельефа. Между буграми влажный грунт. У подножья склона прослеживаются единичные сползшие кочки. Литологический состав пород представлен суглинками. Факторы активизации процесса - метеорологический (выпадение большого количества, относительно нормы, атмосферных осадков при значениях температуры воздуха около нормы), сейсмический (сейсмические события до 3 баллов).	–	
38-21-00001	Сибирский	Иркутская область	Ольхонский район, о. Ольхон, д. Харанцы	53,22049	107,41797	00.05.24	00.09.24	Эа	Атм.	Отмечалось	На западном побережье о. Ольхон в д. Харанцы (пункт наблюдений Ольхон) с мая 2024 г. по ул. Намшеевой, Совхозной, Лесной, Байкальской отмечалось развитие эоловой аккумуляции. Свежие наносы песка наблюдались на открытых пространствах и вдоль обочин дорог небольшими островками в виде бугров на площади 0,01 км^2, включающей 19 приусадебных участков. Литологический состав пород представлен песками. Фактор активизации процесса – метеорологический (отсутствие атмосферных осадков при значениях температуры воздуха около нормы).		
38-21-00002	Сибирский	Иркутская область	Ольхонский район, о. Ольхон, д. Харанцы	53,22410	107,41402	00.05.24	00.09.24	Эа	Атм.	Отмечалось	На западном побережье о. Ольхон в д. Харанцы (пункт наблюдений Ольхон) по ул. Намшеевой, Песчаной с мая 2024 г. отмечалось развитие эоловой аккумуляции. Площадь проявления увеличилась за счет свежих наносов песка, охватила проезжие части улиц, территории 20-ти приусадебных участков и 1 базы отдыха, и составила 0,09512 км^2. Литологический состав пород представлен песками. Фактор активизации процесса – метеорологический (отсутствие атмосферных осадков при значениях температуры воздуха около нормы).		

38-21-00003	Сибирский	Иркутская область	Ольхонский район, о. Ольхон, п. Хужир	53,20056	107,35298	00.05.24	00.09.24	Эа	Атм.	Отмечалось	На западном побережье о. Ольхон в п. Хужир (пункт наблюдений Ольхон) по ул. Ворошилова, Северной, Сарайской и Солнечной с мая 2024 г. отмечалось развитие эоловой аккумуляции. Свежие наносы песка в виде ряби отмечаются на территориях 12-ти приусадебных участков и 4-х баз отдыха общей площадью 0,03944 км^2. Литологический состав пород представлен песками. Фактор активизации процесса – метеорологический (отсутствие атмосферных осадков при значениях температуры воздуха около нормы).		
38-03-00001	Сибирский	Иркутская область	Ольхонский район, о. Ольхон, п. Хужир	53,19086	107,33092	00.05.24	00.09.24	Де	Атм.	Отмечалось	На западном побережье о. Ольхон в п. Хужир (пункт наблюдений Ольхон) с мая 2024 г. отмечалось развитие дефляции и эоловой аккумуляции по ул. Береговой, Горького, Байкальской, Мира, Прибойной, Песчаной, 60 лет Победы, пер. Пионерский, Спортивный. Вынос и аккумуляция песка отмечались на территории 13-ти приусадебных участков и арт отеля «Порт Ольхон» общей площадью 0,05538 км^2. Литологический состав пород представлен песками. Фактор активизации процесса – метеорологический (отсутствие атмосферных осадков при значениях температуры воздуха около нормы).		
38-21-00004	Сибирский	Иркутская область	Ольхонский район, о. Ольхон, п. Хужир, дорога 25Н-055 Паром-Хужир	53,18478	107,31998	00.05.24	00.09.24	Эа	Атм.	Отмечалось	На западном побережье о. Ольхон в п. Хужир (пункт наблюдений Ольхон) по ул. Береговой, Сосновой, Энергетиков, Прибрежной с мая 2024 г. отмечалось развитие эоловой аккумуляции. Свежие и слабые следы наносов песка отмечались небольшими островками вдоль обочин в виде бугров и на территориях 27-ми приусадебных участков и 9 объектов отдыха общей площадью 0,217 км^2. Литологический состав пород представлен песками. Фактор активизации процесса – метеорологический (отсутствие атмосферных осадков при значениях температуры воздуха около нормы).		
38-03-00002	Сибирский	Иркутская область	Ольхонский район, о. Ольхон, в 0,15 км В д. Ялга	53,13871	107,19006	00.05.24	00.09.24	Де	Атм.	Отмечалось	На западном побережье о. Ольхон, в 0,15 км восточнее д. Ялга на землях с/х назначения с мая 2024 г. развивается процесс дефляции. Проявление отмечается в виде небольших отдельных участков с выдутым свежим песком на землях сельскохозяйственного назначения площадью 0,016 км^2. Литологический состав пород представлен песками. Фактор активизации процесса – метеорологический (отсутствие атмосферных осадков при значениях температуры воздуха около нормы).		

38-13-00002	Сибирский	Иркутская область	г. Тулун	54,56799	100,58147	00.05.24	Не завершилась	Пт	Атм., техн., гидрогеол.	Отмечалось	В г. Тулун (пункт наблюдений Тулун) с мая 2024 г. на территории жилой застройки по ул. Калинина, Тухачевского, Чернышевского, Сергея Лазо отмечалась активизация процесса подтопления. 48 приусадебных участков оказались в зоне подтопления. Факторы активизации процесса – метеорологический (выпадение интенсивных атмосферных осадков при значениях температуры воздуха около нормы), техногенный (отсутствие централизованной системы водоотведения), гидрогеологический (уровень грунтовых вод на глубине 0,43-0,73 м). Площадь территории подтопления составила 0,1188 км^2.			
38-13-00003	Сибирский	Иркутская область	г. Зима	53,89913	102,04020	00.05.24	Не завершилась	Пт	Атм.	Отмечалось	В г. Зима (пункт наблюдений Зима) с мая 2024 г. отмечалась активизация процесса подтопления на территории жилой застройки по ул. Бакинских Комиссаров, Солнечной, Депутатской, Фестивальной, Гоголя, Целинной, Дзержинского, Ульяны Громовой, Саянской, Спортивной, Труда. В зоне подтопления находились 121 приусадебный участок. Фактор активизации процесса – метеорологический (выпадение интенсивных атмосферных осадков при значениях температуры воздуха около нормы). Уровень грунтовых вод находится на глубине 0,63-2 м. Площадь территории подтопления составила 0,2858 км^2.			
38-22-00001	Сибирский	Иркутская область	Слюдянский район, уч. а/дороги А-146 Иркутск-Монды, 8 км, в 2,9 км СЗ п. Култук	51,73791	103,59537	00.05.24	Не завершилась	Эо	Атм., техн.	Не отмечалось	В 2,9 км северо-западнее п. Култук, на участке а/дороги А-146 Иркутск-Монды (пункт наблюдений Быстринский) на землях лесного фонда с мая 2024 г. отмечалась активизация овражной эрозии. Длина оврага №1 увеличилась до 51 м, глубина - 5 м Ширина оврага осталась без изменений - 11 м. Прирост вершины составил 0,6 м. Литологический состав пород представлен супесями, суглинками. Факторы активизации процесса – метеорологический (выпадение большого количества атмосферных осадков при значениях температуры воздуха около нормы), техногенный (нарушение стока атмосферных осадков). Прирост площади разрушенных земель лесного фонда был незначительным.			
38-22-00002	Сибирский	Иркутская область	Слюдянский район, уч. а/дороги А-146 Иркутск-Монды, 8 км, в 2,8 км СЗ п. Култук	51,73798	103,59549	00.05.24	Не завершилась	Эо	Атм., техн.	Не отмечалось	В 2,8 км северо-западнее п. Култук, на участке а/дороги А-146 Иркутск-Монды (пункт наблюдений Быстринский) на землях лесного фонда с мая 2024 г. отмечалась активизация овражной эрозии. Овраг № 2 имеет длину 11,3 м, ширину 3,5 м и глубину 1 м. Прирост по длине составил 0,5 м. Ширина и глубина остались без изменений. Литологический состав пород представлен супесями, суглинками. Факторы активизации процесса – метеорологический (выпадение большого количества атмосферных осадков при значениях температуры воздуха около нормы), техногенный (нарушение стока атмосферных осадков). Прирост площади разрушенных земель лесного фонда незначительный.			

38-22-00004	Сибирский	Иркутская область	Слюдянский район, уч. а/дороги А-146 Иркутск-Монды, 8 км, в 3 км СЗ п. Култук	51,738 30	103,59 413	00.05.2 4	Не завершилась	Эо	Атм., техн.	Отмечалось	В 3 км северо-западнее п. Култук, на участке а/дороги А-146 Иркутск-Монды (пункт наблюдений Быстринский) на землях лесного фонда с мая 2024 г. отмечалась активизация овражной эрозии. Овраг № 4 имеет длину 43 м, ширину 3,5 м и глубину 1,8 м. Прирост длины оврага за счет размыва грунта вниз по склону составил 10,2 м. Ширина оврага увеличилась на 0,05 м. Глубина осталась без изменения. Литологический состав пород представлен супесями, суглинками. Факторы активизации процесса – метеорологический (выпадение большого количества атмосферных осадков при значениях температуры воздуха около нормы), техногенный (нарушение стока атмосферных осадков). Прирост площади разрушенных земель лесного фонда составил 0,000037 км^2.			
38-22-00009	Сибирский	Иркутская область	Осинский район, в 0,615 км СВ с. Бильчир	53,565 59	103,73 385	00.05.2 4	Не завершилась	Эо	Атм.	Отмечалось	В 0,615 км северо-восточнее с. Бильчир Осинского района (пункт наблюдений Бильчир-2) с мая 2024 г. отмечалась активизация овражной эрозии. Овраг № 5 имеет длину 521,3 м, ширину 4 м и глубину 2,3 м. Прирост вершины оврага составил 0,3 м, ширина и глубина увеличились на 0,4 и 0,2 м соответственно. Литологический состав пород представлен суглинками и супесями. Фактор активизации процесса – метеорологический (выпадение большого количества атмосферных осадков при значениях температуры воздуха около нормы, интенсивный поверхностный сток в периоды ливней и весеннего снеготаяния). Площадь с/х земель, выведенных из оборота, составила 0,000209 км^2.			
38-22-00016	Сибирский	Иркутская область	Нукутский район, с. Закулей	53,689 13	103,02 843	00.05.2 4	Не завершилась	Эо	Атм.	Не отмечалось	В с. Закулей Нукутского района (пункт наблюдений Закулей) с мая 2024 г. отмечалась активизация овражной эрозии. Овраг №3 имеет длину 131 м, среднюю ширину 2,95 м и глубину 1-2,9 м. Ширина оврага увеличилась в среднем на 0,2 м. Длина и глубина остались без изменений. Литологический состав пород представлен суглинками, лессовидными суглинками, дресвой, щебнем, алевролитами, аргиллитами, гипсами. Фактор активизации процесса – метеорологический (выпадение большого количества атмосферных осадков при значениях температуры воздуха около нормы, интенсивный поверхностный сток в периоды ливней и весеннего снеготаяния).			
38-22-00017	Сибирский	Иркутская область	Нукутский район, ЮВ окраина с. Закулей	53,688 69	103,02 706	00.05.2 4	Не завершилась	Эо	Атм.	Не отмечалось	На юго-восточной окраине с. Закулей Нукутского района (пункт наблюдений Закулей) с мая 2024 г. отмечалась активизация овражной эрозии. Овраг №4 имеет длину 111 м, среднюю ширину 3,2 м и глубину 1-2,8 м. Ширина увеличилась в среднем на 0,2 м. Длина и глубина остались без изменений. Литологический состав пород представлен суглинками, лессовидными суглинками, дресвой, щебнем, алевролитами, аргиллитами, гипсами. Фактор активизации процесса – метеорологический (выпадение большого количества атмосферных осадков при значениях температуры воздуха около нормы, интенсивный поверхностный сток в периоды ливней и весеннего снеготаяния).		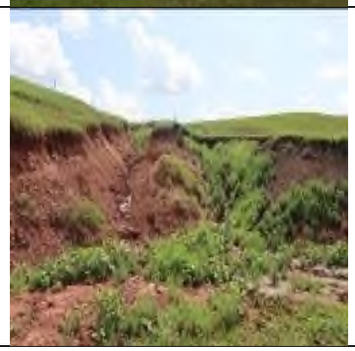	

38-22-00019	Сибирский	Иркутская область	Нукутский район, ЮЗ окраина с. Закулей	53,68644	103,02073	00.05.24	Не завершилась	Эо	Атм.	Не отмечалось	На юго-западной окраине с. Закулей Нукутского района (пункт наблюдений Закулей) с мая 2024 г. отмечалась активизация овражной эрозии. Овраг №6 имеет длину 128 м, среднюю ширину 2,25 м и глубину 0,5-1,4 м. Длина оврага за счет размыва и выноса грунта в нижней части увеличилась на 7,5 м, ширина и глубина – на 0,1 и 0,2 м соответственно. Литологический состав пород представлен суглинками, лессовидными суглинками, дресвой, щебнем, алевролитами, аргиллитами, гипсами. Фактор активизации процесса – метеорологический (выпадение большого количества атмосферных осадков при значениях температуры воздуха около нормы, интенсивный поверхностный сток в периоды ливней и весеннего снеготаяния).		
38-22-00020	Сибирский	Иркутская область	Нукутский район, ЮЗ окраина с. Закулей	53,68502	103,02113	00.05.24	Не завершилась	Эо	Атм.	Не отмечалось	На юго-западной окраине с. Закулей Нукутского района (пункт наблюдений Закулей) с мая 2024 г. отмечалась активизация овражной эрозии. Овраг №7 имеет длину 811 м, среднюю ширину 2,5 м и глубину 1-2,1 м. Изменения произошли по длине на 3 м за счет размыва и выноса материала в устьевой части, по ширине и глубине - на 0,2 м. Литологический состав пород представлен суглинками, лессовидными суглинками, дресвой, щебнем, алевролитами, аргиллитами, гипсами. Фактор активизации процесса – метеорологический (выпадение большого количества атмосферных осадков при значениях температуры воздуха около нормы, интенсивный поверхностный сток в периоды ливней и весеннего снеготаяния).		
38-22-00021	Сибирский	Иркутская область	Нукутский район, ЮЗ окраина с. Закулей	53,68563	103,01354	00.05.24	Не завершилась	Эо	Атм.	Отмечалось	На юго-западной окраине с. Закулей Нукутского района (пункт наблюдений Закулей) на сельскохозяйственных землях в мае 2024 г. отмечалась активизация овражной эрозии. Овраг №8 имеет длину 127 м, среднюю ширину 13,7 м и глубину 2-3 м. Его длина увеличилась на 2 м, ширина – на 0,5 м. Отвершек оврага характеризуется длиной 16,5 м и шириной 11 м. Литологический состав пород представлен суглинками, лессовидными суглинками, дресвой, щебнем, алевролитами, аргиллитами, гипсами. Фактор активизации процесса – метеорологический (выпадение большого количества атмосферных осадков при значениях температуры воздуха около нормы, интенсивный поверхностный сток в периоды ливней и весеннего снеготаяния). Площадь с/х земель, выведенных из оборота, составила 0,000090 км^2.		
38-22-00022	Сибирский	Иркутская область	Нукутский район, СЗ окраина с. Закулей	53,68783	103,00832	00.05.24	Не завершилась	Эо	Атм.	Отмечалось	На северо-западной окраине с. Закулей Нукутского района (пункт наблюдений Закулей) на сельскохозяйственных землях с мая 2024 г. отмечалась активизация овражной эрозии. Овраг №9 имеет длину 594 м, среднюю ширину 3,05 м и глубину 1-1,6 м. Вершина оврага продвинулась на 2 м, ширина увеличилась на 0,2 м, глубина осталась без изменения. Литологический состав пород представлен суглинками, лессовидными суглинками, дресвой, щебнем, алевролитами, аргиллитами, гипсами. Фактор активизации процесса – метеорологический (выпадение большого количества атмосферных осадков при значениях температуры воздуха около нормы, интенсивный поверхностный сток в периоды ливней и весеннего снеготаяния). Площадь с/х земель, выведенных из оборота, составила 0,000125 км^2.		

38-22-00023	Сибирский	Иркутская область	Нукутский район, СЗ окраина с. Закулей	53,69008	103,01175	00.05.24	Не завершилась	Эо	Атм.	Отмечалось	На северо-западной окраине с. Закулей Нукутского района (пункт наблюдений Закулей) на сельскохозяйственных землях с мая 2024 г. отмечалась активизация овражной эрозии. Овраг №10 имеет размеры: длина 305 м, средняя ширина 2,85 м и глубина 0,3-1,3 м. Изменения произошли по длине -увеличилась на 3 м, ширине - на 0,1 м. Литологический состав пород представлен суглинками, лессовидными суглинками, дресвой, щебнем, алевролитами, аргиллитами, гипсами. Фактор активизации процесса – метеорологический (выпадение большого количества атмосферных осадков при значениях температуры воздуха около нормы, интенсивный поверхностный сток в периоды ливней и весеннего снеготаяния). Площадь с/х земель, выведенных из оборота, составила 0,000039 км^2.		
38-22-00024	Сибирский	Иркутская область	Нукутский район, СЗ окраина с. Закулей	53,69176	103,01514	00.05.24	Не завершилась	Эо	Атм.	Отмечалось	На северо-западной окраине с. Закулей Нукутского района (пункт наблюдений Закулей) на сельскохозяйственных землях в мае 2024 г. отмечалась активизация овражной эрозии. Овраг №11 имеет размеры: длина 803 м, средняя ширина 4,45 м и глубина 1-2,2 м. По длине овраг увеличился на 1 м, ширине - на 0,1 м и глубине – на 0,2 м. Литологический состав пород представлен суглинками, лессовидными суглинками, дресвой, щебнем, алевролитами, аргиллитами, гипсами. Фактор активизации процесса – метеорологический (выпадение большого количества атмосферных осадков при значениях температуры воздуха около нормы, интенсивный поверхностный сток в периоды ливней и весеннего снеготаяния). Площадь с/х земель, выведенных из оборота, составила 0,000085 км^2.		
38-22-00026	Сибирский	Иркутская область	Нукутский район, в 0,22 км С с. Нукуты	53,72629	102,79526	00.05.24	Не завершилась	Эо	Атм.	Отмечалось	В 0,22 км севернее с. Нукуты Нукутского района (пункт наблюдений Нукуты) на сельскохозяйственных землях с мая 2024 г. отмечалась активизация овражной эрозии. Овраг № 2 характеризуется длиной 85,9 м, средней шириной 4,5 м и глубиной 0,3-3,6 м. Длина оврага увеличилась на 5,3 м, глубина и ширина – в среднем на 0,2 м. Отвершек имеет длину 18,8 м, ширину 5,6-6,8 м, глубину 1,31-4 м. Длина увеличилась на 2 м, ширина на 0,3 м. Средний прирост оврага составил 3,7 м. Литологический состав пород представлен суглинками, лессовидными суглинками, дресвой, щебнем, алевролитами, аргиллитами, гипсами. Фактор активизации процесса – метеорологический (выпадение большого количества атмосферных осадков при значениях температуры воздуха около нормы, интенсивный поверхностный сток в периоды ливней и весеннего снеготаяния). Площадь с/х земель, выведенных из оборота, составила 0,000055 км^2.		
38-22-00027	Сибирский	Иркутская область	Нукутский район, в 0,5 км СЗ с. Нукуты	53,72489	102,78832	00.05.24	Не завершилась	Эо	Атм.	Отмечалось	В 0,5 км северо-западнее с. Нукуты Нукутского района (пункт наблюдений Нукуты) на сельскохозяйственных землях с мая 2024 г. отмечалась активизация овражной эрозии. Овраг № 3 имеет длину 61,7 м, среднюю ширину 3,85 м и глубину 1-3,9 м. Длина оврага увеличилась на 1 м, ширина и глубина – на 0,2 и 0,3 м соответственно. Литологический состав пород представлен суглинками, лессовидными суглинками, дресвой, щебнем, алевролитами, аргиллитами, гипсами. Фактор активизации процесса – метеорологический (выпадение большого количества атмосферных осадков при значениях температуры воздуха около нормы, интенсивный поверхностный сток в периоды ливней и весеннего снеготаяния). Площадь с/х земель, выведенных из оборота, составила 0,000016 км^2.		

38-22-00028	Сибирский	Иркутская область	Нукутский район, в 0,78 км З с. Нукуты	53,722 14	102,78 341	00.05.2 4	Не завершилась	Эо	Атм.	Отмечалось	В 0,78 км западнее с. Нукуты Нукутского района (пункт наблюдений Нукуты) на сельскохозяйственных землях в мае 2024 г. отмечалась активизация овражной эрозии. Овраг №5 имеет размеры: длина 75 м, средняя ширина 2,15 м и глубина 1-1,9 м. По длине овраг, за счет врезания в склон и размыва в нижней части склона, увеличился на 5 м, по ширине и глубине изменений не отмечено. Литологический состав пород представлен суглинками, лессовидными суглинками, дресвой, щебнем, алевролитами, аргиллитами, гипсами. Фактор активизации процесса – метеорологический (выпадение большого количества атмосферных осадков при значениях температуры воздуха около нормы, интенсивный поверхностный сток в периоды ливней и весеннего снеготаяния). Площадь с/х земель, выведенных из оборота, составила 0,000011 км^2.	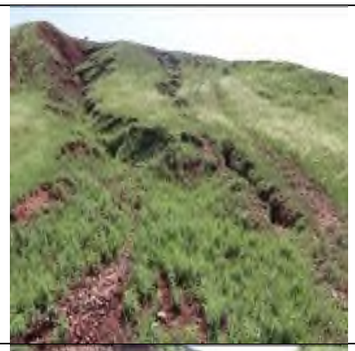	
38-22-00030	Сибирский	Иркутская область	Нукутский район, в 1,1 км З с. Нукуты	53,719 72	102,78 142	00.05.2 4	Не завершилась	Эо	Атм.	Отмечалось	В 1,1 км западнее с. Нукуты Нукутского района (пункт наблюдений Нукуты) на сельскохозяйственных землях с мая 2024 г. отмечалась активизация овражной эрозии. Овраг № 7 имеет длину 117 м, среднюю ширину 5,85 м и глубину 5-7,1 м. Длина оврага увеличилась на 5 м, ширина и глубина – в среднем на 0,2 и 0,3 м соответственно. Литологический состав пород представлен суглинками, лессовидными суглинками, дресвой, щебнем, алевролитами, аргиллитами, гипсами. Фактор активизации процесса – метеорологический (выпадение большого количества атмосферных осадков при значениях температуры воздуха около нормы, интенсивный поверхностный сток в периоды ливней и весеннего снеготаяния). Площадь с/х земель, выведенных из оборота, составила 0,000052 км^2.		
38-22-00032	Сибирский	Иркутская область	Осинский район, в 0,06 км З п. Жданово	53,548 81	103,69 474	00.05.2 4	Не завершилась	Эо	Атм.	Не отмечалось	В 0,06 км западнее п. Жданово Осинского района (пункт наблюдений Жданово) на побережье залива Оса Братского водохранилища с мая 2024 г. отмечалась активизация овражной эрозии. Овраг № 1 имеет длину 7,2 м, ширину 8,22 м и глубину 2,4 м. Прирост по длине составил 0,4 м. Ширина и глубина остались без изменений. Литологический состав пород представлен суглинками и супесями. Фактор активизации процесса – метеорологический (выпадение большого количества атмосферных осадков при значениях температуры воздуха около нормы).		
38-22-00031	Сибирский	Иркутская область	Осинский район, в 0,2 км СЗ п. Жданово	53,545 26	103,69 470	00.05.2 4	Не завершилась	Эо	Атм.	Не отмечалось	В 0,2 км северо-западнее п. Жданово Осинского района (пункт наблюдений Жданово) с мая 2024 г. отмечалась активизация овражной эрозии. Овраг № 6 имеет длину 2,1 м, ширину 3,2 м и глубину 1,3 м. Длина проявления уменьшилась в результате обрушения коренного уступа шириной 3,7 м. Литологический состав пород представлен суглинками и супесями. Фактор активизации процесса – метеорологический (выпадение большого количества атмосферных осадков при значениях температуры воздуха около нормы).		

38-22-00049	Сибирский	Иркутская область	Осинский район, в 0,4 км С п. Жданово	53,55145	103,69631	00.05.24	Не завершилась	Эо	Атм.	Не отмечалось	В 0,4 км севернее п. Жданово Осинского района (пункт наблюдений Жданово) с мая 2024 г. отмечалась активизация овражной эрозии. Овраг № 8 имеет длину 18,7 м, ширину 3,5-12,1 м и глубину 0,81-7,6 м. В результате обрушения коренного уступа длина оврага уменьшилась на 5,2 м. Литологический состав пород представлен суглинками и супесями. Фактор активизации процесса – метеорологический (выпадение большого количества атмосферных осадков при значениях температуры воздуха около нормы).		
38-22-00038	Сибирский	Иркутская область	Осинский район, в 0,53 км СЗ п. Жданово	53,55266	103,69699	00.05.24	Не завершилась	Эо	Атм.	Не отмечалось	В 0,53 км северо-западнее п. Жданово Осинского района (пункт наблюдений Жданово) с мая 2024 г. отмечалась активизация овражной эрозии. Овраг № 10 имеет длину 31,8 м, ширину 4,5-27 м и глубину 2,85-6,3 м. Длина оврага уменьшилась на 0,8 м в результате обрушения коренного уступа. Литологический состав пород представлен суглинками и супесями. Фактор активизации процесса – метеорологический (выпадение большого количества атмосферных осадков при значениях температуры воздуха около нормы).		
38-22-00039	Сибирский	Иркутская область	Осинский район, в 0,67 км СЗ п. Жданово	53,55409	103,69723	00.05.24	Не завершилась	Эо	Атм.	Не отмечалось	В 0,67 км северо-западнее п. Жданово Осинского района (пункт наблюдений Жданово) с мая 2024 г. отмечалась активизация овражной эрозии. Овраг № 11 имеет длину 22,8 м, ширину 5,5-7,6 м и глубину 4,06-8,5 м. Длина оврага уменьшилась на 2,6 м в результате обрушения коренного уступа. Литологический состав пород представлен суглинками и супесями. Фактор активизации процесса – метеорологический (выпадение большого количества атмосферных осадков при значениях температуры воздуха около нормы).		
38-22-00040	Сибирский	Иркутская область	Осинский район, в 0,76 км СЗ п. Жданово	53,55493	103,69720	00.05.24	Не завершилась	Эо	Атм.	Не отмечалось	В 0,76 км северо-западнее п. Жданово Осинского района (пункт наблюдений Жданово) с мая 2024 г. отмечалась активизация овражной эрозии. Овраг № 12 имеет длину 16,3 м, ширину 5-10,2 м и глубину 4,6-12,6 м. Длина оврага уменьшилась на 6,4 м в результате обрушения коренного уступа. Литологический состав пород представлен суглинками и супесями. Фактор активизации процесса – метеорологический (выпадение большого количества атмосферных осадков при значениях температуры воздуха около нормы).		

38-10-00007	Сибирский	Иркутская область	Осинский район, на западной окраине п. Жданово	53,55003	103,69580	00.05.24	Не завершилась	Об	Атм.	Не отмечалось	Вблизи п. Жданово Осинского района (пункт наблюдений Жданово) с мая 2024 г. отмечалась активизация обвального процесса на коренном склоне высотой до 20 м на протяжении 1345 м. У подножья склона фиксируется обвально-осыпной материал, в верхней и средней частях склон пронизан трещинами, отмечаются блоки отсевших пород. Средняя величина обрушения бровки составила 2,9 м. Литологический состав пород представлен суглинками и супесями. Фактор активизации процесса – метеорологический (выпадение большого количества (относительно нормы) атмосферных осадков при значениях температуры воздуха около нормы.			
38-05-00001	Сибирский	Иркутская область	Нукутский район, в 1,406 км ЮВ с. Хадахан	53,53762	103,31353	00.05.24	Не завершилась	Ка	Гидрол., гидрогеол., атм.	Не отмечалось	В 1,406 км юго-восточнее с. Хадахан Нукутского района с мая 2024 г. отмечалась активизация карстового процесса. Карстовая воронка глубиной 6 м и 10 м в диаметре. Дно конусообразное, свободное от растительности, влажное. Склоны крутые, задернованные, заросшие растительностью. Литологический состав пород представлен суглинками, доломитами, доломитами-ангидритами, глинистыми доломитами, известняками. Факторы активизации процесса – гидрологический (колебание уровня Братского водохранилища), гидрогеологический (движение и разгрузка подземных вод) и метеорологический (поверхностный сток, инфильтрация осадков, интенсивное снеготаяние).		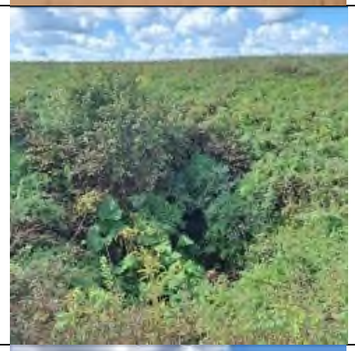	
38-05-00003	Сибирский	Иркутская область	Нукутский район, в 1,499 км ЮВ с. Хадахан	53,53697	103,31449	00.05.24	Не завершилась	Ка	Гидрол., гидрогеол., атм.	Не отмечалось	В 1,499 км юго-восточнее с. Хадахан Нукутского района с мая 2024 г. отмечалась активизация карстового процесса. Карстовая воронка глубиной 5 м и 15 м в диаметре. Имеет округлую форму, границы четкие. Склоны крутые свободные от растительности, дно конусовидное, заполненное рыхлым материалом. Просматривается понор в виде щелей. Литологический состав пород представлен суглинками, доломитами, доломитами-ангидритами, глинистыми доломитами, известняками. Факторы активизации процесса – гидрологический (колебание уровня Братского водохранилища), гидрогеологический (движение и разгрузка подземных вод) и метеорологический (поверхностный сток, инфильтрация осадков, интенсивное снеготаяние).			
38-05-00004	Сибирский	Иркутская область	Нукутский район, в 1,608 км ЮВ с. Хадахан	53,53687	103,31738	00.05.24	Не завершилась	Ка	Гидрол., гидрогеол., атм.	Не отмечалось	В 1,608 км юго-восточнее с. Хадахан Нукутского района с мая 2024 г. отмечалась активизация карстового процесса. Карстовая воронка глубиной 5 м и 8 м в диаметре. Имеет четкие границы. Склоны крутые свободные от растительности, дно конусовидное, наблюдается понор колодцеобразной формы диаметром 0,8 м. В бровке отсевшие блоки грунта. Литологический состав пород представлен суглинками, доломитами, доломитами-ангидритами, глинистыми доломитами, известняками. Факторы активизации процесса – гидрологический (колебание уровня Братского водохранилища), гидрогеологический (движение и разгрузка подземных вод) и метеорологический (поверхностный сток, инфильтрация осадков, интенсивное снеготаяние).			

38-05-00005	Сибирский	Иркутская область	Нукутский район, в 1,608 км ЮВ с. Хадахан	53,53686	103,31747	00.05.24	Не завершилась	Ка	Гидрол., гидрогеол., атм.	Не отмечалось	В 1,608 км юго-восточнее с. Хадахан Нукутского района с мая 2024 г. отмечалась активизация карстового процесса. Карстовая воронка глубиной 5 м и 8 м в диаметре. Имеет четкие симметричные границы. Склоны крутые свободные от растительности, дно конусовидное, наблюдается понор колодцеобразной формы диаметром 0,8 м. Небольшие блоки обвалившегося грунта на дне. Литологический состав пород представлен суглинками, доломитами, доломитами-ангидритами, глинистыми доломитами, известняками. Факторы активизации процесса – гидрологический (колебание уровня Братского водохранилища), гидрогеологический (движение и разгрузка подземных вод) и метеорологический (поверхностный сток, инфильтрация осадков, интенсивное снеготаяние).		
38-05-00006	Сибирский	Иркутская область	Нукутский район, в 1,644 км ЮВ с. Хадахан	53,53670	103,31803	00.05.24	Не завершилась	Ка	Гидрол., гидрогеол., атм.	Не отмечалось	В 1,644 км юго-восточнее с. Хадахан Нукутского района с мая 2024 г. отмечалась активизация карстового процесса. Карстовая воронка глубиной 4,1 м и 5 м в поперечнике. Имеет четкие асимметричные границы. Склоны крутые свободные от растительности. В них обнажены плитчатые доломиты светло-серого цвета. Дно заполнено рыхлым материалом, влажным, поглощающее отверстие не наблюдается. Литологический состав пород представлен суглинками, доломитами, доломитами-ангидритами, глинистыми доломитами, известняками. Факторы активизации процесса – гидрологический (колебание уровня Братского водохранилища), гидрогеологический (движение и разгрузка подземных вод) и метеорологический (поверхностный сток, инфильтрация осадков, интенсивное снеготаяние).		
38-05-00007	Сибирский	Иркутская область	Нукутский район, в 1,662 км ЮВ с. Хадахан	53,53648	103,31796	00.05.24	Не завершилась	Ка	Гидрол., гидрогеол., атм.	Не отмечалось	В 1,662 км юго-восточнее с. Хадахан Нукутского района с мая 2024 г. отмечалась активизация карстового процесса. Карстовая воронка симметричной формы глубиной 3 м и 4,7 м в диаметре. Границы ее не четкие. На дне наблюдаются блоки провалившегося грунта и понор щелеобразной формы. С восточной стороны борт зарос травой, намечается его отседание. Литологический состав пород представлен суглинками, доломитами, доломитами-ангидритами, глинистыми доломитами, известняками. Факторы активизации процесса – гидрологический (колебание уровня Братского водохранилища), гидрогеологический (движение и разгрузка подземных вод) и метеорологический (поверхностный сток, инфильтрация осадков, интенсивное снеготаяние).		
38-05-00008	Сибирский	Иркутская область	Нукутский район, в 1,651 км ЮВ с. Хадахан	53,53649	103,31769	00.05.24	Не завершилась	Ка	Гидрол., гидрогеол., атм.	Не отмечалось	В 1,651 км юго-восточнее с. Хадахан Нукутского района с мая 2024 г. отмечалась активизация карстового процесса. Карстовая воронка глубиной 1,7 м и 3,6 м в поперечнике. Границы ее четкие, ассиметричные. Дно заросло травой. В бортах мелкие эрозионные явления. Литологический состав пород представлен суглинками, доломитами, доломитами-ангидритами, глинистыми доломитами, известняками. Факторы активизации процесса – гидрологический (колебание уровня Братского водохранилища), гидрогеологический (движение и разгрузка подземных вод) и метеорологический (поверхностный сток, инфильтрация осадков, интенсивное снеготаяние).		

38-05-00009	Сибирский	Иркутская область	Нукутский район, в 1,65 км ЮВ с. Хадахан	53,53633	103,31723	00.05.24	Не завершилась	Ка	Гидрол., гидрогеол., атм.	Не отмечалось	В 1,65 км юго-восточнее с. Хадахан Нукутского района с мая 2024 г. отмечалась активизация карстового процесса. Карстовая воронка глубиной 2,5 и диаметром 25 м, заросшая травянистой растительностью. Границы ее не четкие, в бровке с северной стороны прослеживаются эрозионные явления в виде осыпавшегося грунта. В северо-восточном борту наблюдается провал колодцеобразной формы глубиной 3 м и 3,1 м в поперечнике. На дне присутствует обвалившийся грунт. Литологический состав пород представлен суглинками, доломитами, доломитами-ангидритами, глинистыми доломитами, известняками. Факторы активизации процесса – гидрологический (колебание уровня Братского водохранилища), гидрогеологический (движение и разгрузка подземных вод) и метеорологический (поверхностный сток, инфильтрация осадков, интенсивное снеготаяние).		
38-05-00011	Сибирский	Иркутская область	Нукутский район, в 4,6 км ЮВ д. Мельхитуй	53,61588	103,29911	19.09.24	19.09.24	Ка	Гидрол., гидрогеол., атм.	Отмечалось	В 4,6 км юго-восточнее д. Мельхитуй Нукутского района 19.09.2024 г. на сельскохозяйственных землях в процессе сбора урожая в образовавшуюся карстовую воронку провалился комбайн. Погиб 1 человек. Глубина проявления достигает 10 м, диаметр 11 м. Воронка имеет четкие границы, склоны крутые, обрывистые, дно колодцеобразной формы. На дне наблюдается масса обрушенных пород. Литологический состав пород представлен мергелями, алевролитами, загипсованными аргиллитами, доломитами, гипсами. Факторы активизации процесса – гидрологический (колебание уровня Братского водохранилища), гидрогеологический (движение и разгрузка подземных вод) и метеорологический (поверхностный сток, инфильтрация осадков, интенсивное снеготаяние). Вывод из оборота сельскохозяйственных земель составил 0,000135 км^2. Режим ЧС на территории не вводился.		
42-10-00001	Сибирский	Кемеровская область-Кузбасс	Новокузнецкий район, с. Боровково	53,79122	87,50499	00.04.24	Не завершилась	Об	Атм., гидрол.	Отмечалось	В с. Боровково Новокузнецкого района (пункт наблюдений Боровковский) с апреля 2024 г. отмечалась активизация обвального процесса. Процесс в стадии развития. Базис развития - р. Томь. Морфологические показатели: длина уступа 470 м, высота уступа 3-4 м. Разрушению подвержены верхнечетвертичные отложения. Возраст проявления ЭГП современный. Факторы активизации: метеорологический (атмосферные осадки, интенсивное снеготаяние), гидрологический. Активность процесса средняя. Максимальная величина разрушения уступа составила 4,25 м при среднем значении 0,83 м. Разрушаются приусадебные участки по ул. Береговая, 5, Школьная, 1, 3. Разрушается дом по ул. Школьная, 2.		
42-10-00002	Сибирский	Кемеровская область-Кузбасс	Гурьевский район, с. Новопестерёво	54,43996	85,74460	00.04.24	Не завершилась	Об	Атм., гидрол.	Не отмечалось	В с. Новопестерево Гурьевского района (пункт наблюдений Новопестеревский) с апреля 2024 г. отмечалась активизация обвального процесса. Процесс в стадии развития. Базис развития - р. Ур. Морфологические показатели: длина уступа 130 м, высота уступа 6-8 м. Разрушению подвержены верхнечетвертичные отложения. Возраст проявления ЭГП современный. Максимальная величина разрушения уступа составила 1,31 м, при среднем значении 0,41 м. Факторы активизации: метеорологический (атмосферные осадки, интенсивное снеготаяние), гидрологический. Активность процесса низкая. Негативное воздействие отсутствует.	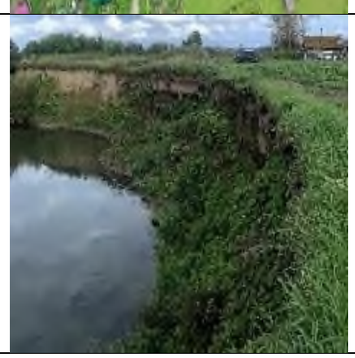	

42-10-00003	Сибирский	Кемеровская область-Кузбасс	Крапивинский район, пгт. Крапивинский	55,013 19	86,812 74	00.04.2 4	Не завершилась	Об	Атм., гидрол.	Отмечалось	В пгт. Крапивинский Крапивинского района (пункт наблюдений Крапивинский) с апреля 2024 г. отмечалась активизация обвального процесса. Процесс в стадии развития. Базис развития - р. Томь. Морфологические показатели: длина уступа 1790 м, высота уступа 20-22 м. Разрушению подвержены верхнечетвертичные отложения. Возраст проявления ЭГП современный. Факторы активизации: метеорологический (атмосферные осадки, интенсивное снеготаяние), гидрологический. Активность процесса низкая. Максимальная величина обрушения уступа составила 1,38 м, при среднем значении 0,27 м. Наиболее активно процесс развивается на 3-х участках. В зоне воздействия находятся огороды по ул. Совхозная, 40, 42, ул. Калинина, 25, 27, 29. Защитные сооружения отсутствуют.		
42-10-00004	Сибирский	Кемеровская область-Кузбасс	Гурьевский район, г. Салаир	54,230 34	85,790 45	00.04.2 4	Не завершилась	Об	Атм., техн., сейсм.	Не отмечалось	В западной части г. Салаир Гурьевского района с апреля 2024 г. отмечалась активизация обвального процесса. Процесс в стадии развития. Базис развития – уровень отработки Харитоновского карьера. Морфологические показатели: длина – 17 м, ширина – 213 м, площадь – 0,0036 км^2. Разрушению подвержены верхнечетвертичные отложения. Возраст проявления ЭГП современный. Факторы активизации: метеорологический (атмосферные осадки, интенсивное снеготаяние), техногенный, сейсмический. Процесс фиксируется на локальных участках по бортам карьера. У подножья и по склону отмечаются свежие скопления глыбового материала. Превалирующий размер глыбового материала варьируется в пределах от 1,0 м до 5,0 м. Негативное воздействие отсутствует.		
42-12-00003	Сибирский	Кемеровская область-Кузбасс	Гурьевский район, г. Салаир	54,230 33	85,791 92	00.04.2 4	Не завершилась	Ос	Атм., техн., сейсм.	Не отмечалось	В западной части г. Салаир Гурьевского района с апреля 2024 г. отмечалась активизация осыпного процесса. Процесс в стадии развития. Базис развития – уровень отработки Харитоновского карьера. Процесс развит в верхнечетвертичных отложениях. Возраст проявления ЭГП современный. Факторы активизации: метеорологический (атмосферные осадки, интенсивное снеготаяние), техногенный, сейсмический. Морфологические показатели: длина 16 м, ширина – 1354 м, площадь проявления – 0,0217 км^2. Осыпной процесс развивается на склоне, расположенном по бортам Харитоновского карьера. Склоны зоны осыпания не задернованы, видны конусы выноса обломочного материала, промоины и упавшие деревья. Негативное воздействие отсутствует.		
42-11-00001	Сибирский	Кемеровская область-Кузбасс	Новокузнецкий район, ЮЗ п. Ерунаково	54,076 39	87,451 38	00.04.2 4	Не завершилась	Оп	Атм.	Отмечалось	В Новокузнецком районе, ЮЗ п. Ерунаково (пункт наблюдений п. Ерунаково) отмечена активизация оползневого процесса с апреля 2024 г. Процесс в стадии развития. Базис развития - р. Томь. Длина тела оползня 250,75 м, ширина 351,79 м, площадь 0,08821 км^2. Обрушению подвержены верхнечетвертичные отложения. Возраст проявления ЭГП современный. Фактор активизации: метеорологический (атмосферные осадки, интенсивное снеготаяние). Активность процесса средняя. Оползень продолжает увеличиваться, максимальный прирост по ширине составил 0,88 м, продвижение стенки отрыва оползня вглубь на 0,11 м. В верхней части оползневого склона на поверхности оползневого блока площадь открытой воды в водоемах, сформированных в результате выхода грунтовых вод, увеличилась по сравнению с 2023 г. Развитие происходит за счет переувлажнения пород и последующего ослабления их устойчивости. Деформировано 0,000207 км^2 земель лесного фонда. Защитные сооружения отсутствуют, противооползневые мероприятия не проводятся.		

42-12-00001	Сибирский	Кемеровская область-Кузбасс	Таштагольский район, пгт. Мундыбаш, уч. а/дороги Кузедеево – Таштагол, 24-25 км	53,20966	87,26186	00.04.24	Не завершилась	Ос	Атм., техн.	Не отмечалось	В пгт. Мундыбаш Таштагольского района, на уч. а/дороги Кузедеево - Таштагол, 24-25 км (пункт наблюдений пгт. Мундыбаш) отмечалась активизация осыпного процесса с апреля 2024 г. Процесс в стадии развития. Базис развития - р. Кондома. Процесс развит в верхнечетвертичных отложениях и отложениях тамалинской свиты нижне-среднего девона. Возраст проявления ЭГП современный. Факторы активизации: метеорологический (атмосферные осадки, интенсивное снеготаяние), техногенный. Активность процесса высокая. Морфологические показатели осыпного склона: длина – 32 м, ширина – 367 м, площадь – 0,0117 км^2. Осыпной процесс развивается на склоне, расположенном вдоль участка а/дороги Кузедеево-Таштагол. Склоны зоны осыпания не задернованы, видны конусы выноса осыпного материала, промоины и упавшие деревья. Негативное воздействие отсутствует.		
42-12-00002	Сибирский	Кемеровская область-Кузбасс	Таштагольский район, пгт. Темиртау	53,13651	87,45943	00.04.24	Не завершилась	Ос	Атм., техн.	Не отмечалось	В пгт. Темиртау Таштагольского района (пункт наблюдений пгт. Темиртау) отмечалась активизация осыпного процесса с апреля 2024 г. Процесс в стадии развития. Базис развития – уровень отработки шахты Темиртауского рудника. Процесс развит в верхнечетвертичных отложениях. Возраст проявления ЭГП современный. Факторы активизации: метеорологический (атмосферные осадки, интенсивное снеготаяние), техногенный. Активность процесса средняя. Морфологические показатели: длина 23,57 м, ширина – 2108,68 м, площадь проявления – 0,0497 км^2. Склоны зоны осыпания не задернованы, видны конусы выноса осыпного материала и упавшие деревья. На локальных участках видны следы свежих обрушений, прослеживаются трещины отрыва. Негативное воздействие отсутствует.		
42-13-00006	Сибирский	Кемеровская область-Кузбасс	Крапивинский район, с. Борисово	54,81525	86,54697	00.04.24	Не завершилась	Пт	Гидрогеол., атм.	Отмечалось	В с. Борисово Крапивинского района (пункт наблюдений с. Борисово) отмечена активизация процесса подтопления с апреля 2024 г. Процесс в стадии развития. Процесс подтопления развит в верхнечетвертичных отложениях. Возраст проявления ЭГП современный. Факторы активизации: гидрогеологический, метеорологический (атмосферные осадки, интенсивное снеготаяние). Активность процесса низкая. В период активного снеготаяния появляется вода в погребах и подпольях жилых строений на ул. Молодежная и ул. Перспективная, наблюдается деформация строений. В дренажных канавах, сооруженных вдоль ул. Молодежная и ул. Перспективная, сток затруднен вследствие не выдержанной глубины, наличия мусора. В связи с выпадением аномального количества осадков, площадь подтопления увеличилась по сравнению с 2023 г. и составила 0,2399 км^2.		
42-13-00007	Сибирский	Кемеровская область-Кузбасс	Яйский район, пгт. Яя	56,21231	86,42171	00.04.24	Не завершилась	Пт	Атм., гидрогеол.	Отмечалось	В пгт. Яя Яйского района (пункт наблюдений пгт. Яя) отмечена активизация процесса подтопления с апреля 2024 г. Процесс подтопления развит в верхнечетвертичных отложениях. Возраст проявления ЭГП современный. Факторы активизации: метеорологический (атмосферные осадки, интенсивное снеготаяние), гидрогеологический. Активность процесса низкая. Площадь подтопления составляет 0,0383 м^2. Негативному воздействию подвержены здание центральной больницы по ул. Авиационная, 32, дома по пер. Дружбы, 1, 3, 5, 7 и гараж по ул. Дружбы, 10А. В подвальном помещении центральной больницы оборудован насос, вода откачивается и сбрасывается ниже по потоку. Увеличение активности процесса в период с конца июля по сентябрь, связанное с аномальным количеством выпавших атмосферных.		
42-13-00008	Сибирский	Кемеровская область-Кузбасс	г. Белово	54,43912	86,29151	00.04.24	Не завершилась	Пт	Атм., гидрогеол.	Отмечалось	В г. Белово (мкр. Совхозный) (пункт наблюдений г. Белово) отмечена активизация процесса подтопления с апреля 2024 г. Процесс в стадии развития. Процесс подтопления развит в верхнечетвертичных отложениях. Возраст проявления ЭГП современный. Факторы активизации: метеорологический (атмосферные осадки, интенсивное снеготаяние), гидрогеологический. Активность процесса низкая. Площадь подтопления составляет 0,6394 км^2. Практически на всей территории населенного пункта организован дренаж, службы ЖКХ периодически откачивают воду из смотровых колодцев. Часть дренажных систем требуют контроля их функционального состояния и своевременного ремонта.		

42-13-00009	Сибирский	Кемеровская область-Кузбасс	г. Новокузнецк	53,790 42	87,354 77	00.04.2 4	Не завершилась	Пт	Атм., гидрогеол.	Отмечалось	В г. Новокузнецке (пункт наблюдений г. Новокузнецк) отмечена активизация процесса подтопления с апреля 2024 г. Процесс в стадии развития. Базис развития - р. Томь. Процесс подтопления развит в верхнечетвертичных отложениях. Возраст проявления ЭГП современный. Факторы активизации: метеорологический (атмосферные осадки, интенсивное снеготаяние), гидрогеологический. Активность процесса низкая. Площадь подтопления составляет 1,194 км^2. За счет большего количества выпавших атмосферных осадков площадь подтопления в 2024 г. увеличилась по сравнению с 2023 г., активность процесса низкая. Для борьбы с процессом подтопления выполняются работы по расчистке и углублению русел рек (каналов) и дренажных канав, сооружению новых дренажных сооружений. На момент обследования работы выполнены частично. Выполненные работы позволили снизить степень негативного влияния опасного ЭГП.		
42-13-00010	Сибирский	Кемеровская область-Кузбасс	г. Междуреченск	53,716 87	87,971 79	00.04.2 4	Не завершилась	Пт	Гидрогеол., атм., техн.	Отмечалось	В г. Междуреченске (пункт наблюдений г. Междуреченск) отмечена активизация процесса подтопления с апреля 2024 г. Процесс в стадии развития. Базис развития - р. Томь. Процесс подтопления развит в верхнечетвертичных отложениях. Возраст проявления ЭГП современный. Факторы активизации: гидрогеологический, метеорологический (атмосферные осадки, интенсивное снеготаяние), техногенный. Активность процесса низкая. Площадь подтопления составляет 1,488 км^2. На подтапливаемой территории сооружены дренажные канавы, часть дренажей требует технического обслуживания. Подтоплены приусадебные участки по ул. Чебалсинская, Новоулусинская, Куйбышева, Проходчиков, Леонова, Льва Толстого, Гагарина, Геологов, Маяковского, Беляева, Зеленая, Новая, пер. Дорожный, Болотный.		
42-26-00001	Сибирский	Кемеровская область-Кузбасс	г. Ленинск-Кузнецкий	54,625 70	86,179 62	00.04.2 4	Не завершилась	От	Техн., атм.	Отмечалось	В г. Ленинск-Кузнецке (пункт наблюдений г. Ленинск-Кузнецкий) отмечена активизация процесса оседания и обрушения поверхности над горными выработками с апреля 2024 г. Процесс в стадии развития. Базис развития – подземные горные выработки. Процесс развит в верхнечетвертичных и пермских отложениях. Возраст проявления ЭГП современный. Факторы активизации – техногенный (подземные горные выработки), метеорологический. Активность процесса низкая. Площадь развития процесса опасного ЭГП увеличилась по сравнению с 2023 г. (0,162 км^2) и составила 0,204 км^2. Величина оседания, напротив, снизилась по сравнению с 2023 г. (0,0-0,42 м) и составила от 0,0 м до 0,16 м. Зафиксирована деформация зданий и сооружений на ул. Есенина, Сельская, Щербакова, Ивановка, пер. Щербакова.	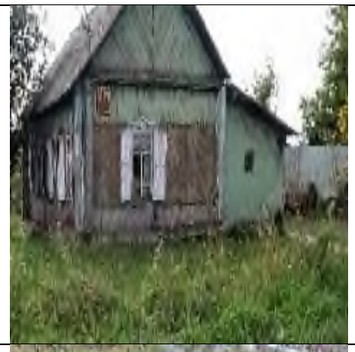	
42-26-00003	Сибирский	Кемеровская область-Кузбасс	Таштагольский район, пгт. Шерегеш	52,912 87	87,999 73	20.09.2 4	Не завершилась	От	Техн., сейсм., атм.	Не отмечалось	В пгт. Шерегеш Таштагольского района отмечена активизация процесса оседания и обрушения поверхности над горными выработками 20.09.2024 – увеличение провала в пределах земельного отвода шахты Шерегешская АО «ЕВРАЗ ЗСМК». Процесс в стадии развития. Базис развития – подземные горные выработки. Площадь проявления увеличилась приблизительно в 5 раз с 0,008 км^2 в 2023 г. до 0,038 км^2 на момент обследования (25.09.2024 г.). Ширина провала – 142,9 м и длина – 266,0 м. Процесс развит в верхнечетвертичных и девонских отложениях, представленных суглинками с включением щебня, гранитами, гранодиоритами, граносиенитами. Возраст проявления ЭГП современный. Фактор активизации: техногенный (подземные горные выработки), сейсмический, метеорологический (атмосферные осадки, интенсивное снеготаяние). Активность процесса высокая. Проводится мониторинг дальнейшего развития. Негативное воздействие отсутствует.		
54-13-00002	Сибирский	Новосибирская область	Татарский район, г. Татарск	55,222 15	75,983 34	16.02.2 4	Не завершилась	Пт	Атм., гидрогеол., техн.	Отмечалось	В г. Татарске Татарского района (пункт наблюдений Татарский) активизация подтопления отмечена с 16.02.2024 г. После весеннего подъёма к концу июля уровенная поверхность грунтовых вод снизилась в среднем на 0,62 м, а затем к 20 августа поднялась в среднем на 0,25 м и на таких отметках держалась в сентябре, залегая на глубине до 0,65 м. Уровни были выше предвесенних минимумов в среднем на 1,0 м и ниже весенних максимумов в среднем на 0,37 м. Подтоплены объекты жилой застройки и промышленного производства на площади 17,3 км^2. Литологический состав представлен илистыми суглинками ($saQ_{III}+N_2cn$) мощностью 2,4-7 м, сплошным чехлом покрывающими водоупорный горизонт павлодарских глин. Факторы активизации процесса – метеорологический (количество летних осадков -141 % нормы, в том числе в августе - 204 %), гидрогеологический (распространение слабо фильтрующих и		

											низко дренирующих грунтов чановской свиты, способных ухудшать свои фильтрационные свойства под воздействием строительства и эксплуатации зданий и сооружений, близкое залегание павлодарского водоупора), техногенный (насыпи автодорог, Транс-Сибирской ж. д. магистрали, засыпка естественных водоёмов, служивших местом сбора поверхностных вод с окружающей территории; отсутствие вертикальной планировки).		
54-13-00010	Сибирский	Новосибирская область	Коченёвский район, пгт. Коченёво	55,02067	82,20585	11.03.24	Не завершилась	Пт	Атм., гидрогеол., техн.	Отмечалось	В пгт. Коченёво Коченёвского района (пункт наблюдений Коченевский) с 11.03.2024 г. отмечалась активизация подтопления. В течение апреля-сентября уровенная поверхность находилась на близких отметках с отклонениями ±0,3-0,45 м. На преобладающей территории она находилась на глубине 1,5-2 м, в западной (улицы Фабричная, Трудовая, Аргунова, Толстого) и восточной (воинская часть, нефтебаза) - на глубине 0,5-1,5 м. Общая площадь подтопления – 6,732 км^2. Литологический состав представлен илистыми суглинками и глинами с невыдержанными прослоями супесей и тонко-мелкозернистых глинистых песков общей мощностью 15-35 м (saQ_{III}+ $saQ_{I-II}kd$). Факторы активизации – метеорологический (количество летних осадков превысило норму на 36%, в том числе в июле на 97%); гидрогеологический (слабо фильтрующие и низко дренирующие грунты краснодубровской свиты, способные ухудшать свои фильтрационные свойства под воздействием строительства и эксплуатации зданий и сооружений), техногенный (насыпи существующих автодорог и под Транс-Сибирскую железнодорожную магистраль, проложенные поперёк естественного уклона к р. Камышинка, препятствуют поверхностному стоку талых и дождевых вод; засыпка естественных водоёмов, служивших местом сбора поверхностных вод с окружающей территории; отсутствие вертикальной планировки при строительстве посёлка, а также отсутствие систем дренажа и ливневой канализации).		
54-13-00008	Сибирский	Новосибирская область	Чулымский район, г. Чулым	55,09199	80,96415	11.03.24	Не завершилась	Пт	Атм., гидрогеол., техн.	Отмечалось	В г. Чулыме Чулымского района (пункт наблюдений Чулымский) активизация подтопления отмечается с 11.03.2024 г. С апреля на территории площадью 10,565 км^2 уровни залегали на глубине 0,5-1 м. Снижение их в среднем на 0,38 м, наблюдавшееся с мая по 10 августа, сменилось подъёмом, достигшим в сентябре апрельских отметок. Наиболее напряжённая ситуация по-прежнему отмечается в центральной части города и на территории вдоль железной дороги по обе стороны. Литологический состав представлен илистыми суглинками с весьма слабыми фильтрационными свойствами мощностью 37-39 м, с линзами или пачками тонко-мелкозернистых песков мощностью 2,2-6,8 м, приуроченных к средней и нижней частям разреза ($laQ_{I-II}fd$). Факторы активизации процесса – метеорологический (количество летних осадков превысило норму на 162 %, в том числе в августе на 245 %), гидрогеологический (весьма слабые фильтрационные свойства суглинков федосовской свиты, близкое залегание глинистого водоупора), техногенный (утечки из водонесущих коммуникаций, засыпка оврагов при строительстве, планировки). Редкая сеть водосточных канав частично обеспечивает водоотвод с территории города в р. Чулым.		
54.-13-00012	Сибирский	Новосибирская область	Чистоозёрный район, пгт. Чистоозёрное	54,70735	76,58547	11.03.24	Не завершилась	Пт	Атм., гидрогеол., техн.	Отмечалось	В пгт. Чистоозёрное Чистоозёрного района (пункт наблюдений Чистоозёрненский) с 11.03.2024 г. отмечалась активизация подтопления. После максимальных уровней, зафиксированных 26 апреля и 10 июня, наблюдались их снижение до 20 августа на 0,93 м, сменившееся подъёмом амплитудой 0,74 м. В сентябре уровни были выше предвесенних минимумов на 1,77 м и ниже весенних максимумов на 0,19 м. Грунтовые воды на подтопляемой территории площадью 3,04 км^2 находились на глубине 0,5-1 м. Литологический состав представлен в кровле средними, реже лёгкими суглинками средней мощностью 2,1 м (saQ_{III}); ниже глинистыми тонкозернистыми песками средней мощностью 5,2 м (N_2cn). Факторы активизации процесса - метеорологический; гидрогеологический (весьма слабые фильтрационные свойства верхнечетвертичных субаэральных суглинков и глинистых песков чановской свиты, близкое залегание глинистого водоупора павлодарской свиты), техногенный (насыпи существующих автодорог, препятствующие поверхностному стоку талых и дождевых вод; утечка воды из водонесущих коммуникаций, канализационных ям; поливные воды зелёных насаждений и приусадебных участков; недостаточное количество систем дренажа и ливневой канализации).		

54-13-00013	Сибирский	Новосибирская область	Купинский район, г. Купино	54,37912	77,31134	11.03.24	Не завершилась	Пт	Атм., гидрогеол., техн.	Отмечалось	В г. Купино Купинского района (пункт наблюдения Купинский) с 11.03.2024 г. отмечалась активизация подтопления. На преобладающей территории уровни залегали на глубине 1,5-2 м. Подтоплены объекты жилой застройки на площади около 4,7 км^2. Более всего подвержена подтоплению грунтовыми водами северная часть города (улицы 1-я Вокзальная, 2-я Вокзальная, 6-Путь, Мичурина, Бельского, Розы Люксембург) и территория вокруг озёр Садовое и Маховое. Литологический состав представлен в кровле эоловыми в основном лёгкими суглинками и супесями мощностью от 1 до 4,2 м при средней 2,1 м (vQ_{III}); ниже преобладающими лёгкими супесями, реже глинистыми тонкозернистыми песками общей мощностью 1,2-5,2 м при средней 3,3 м ($Q_{II-III}kr$). Факторы активизации процесса - метеорологический (количество летних осадков – 109 % нормы); гидрогеологический (весьма слабые фильтрационные свойства верхнечетвертичных эоловых суглинков и глинистых песков карасуксой свиты, близкое залегание глинистого водоупора павлодарской свиты), техногенный (насыпи существующих автодорог, препятствующие поверхностному стоку талых и дождевых вод; утечка воды из водонесущих коммуникаций, канализационных ям; поливные воды зелёных насаждений и приусадебных участков; недостаточное количество систем дренажа и ливневой канализации).		
54-13-00001	Сибирский	Новосибирская область	Барабинский район, г. Барабинск	55,34908	78,34944	19.03.24	Не завершилась	Пт	Атм., гидрогеол., техн.	Отмечалось	В г. Барабинске Барабинского района (пункт наблюдений Барабинский) активизация подтопления зафиксирована с 19.03.2024 г. После апрельского максимума отметки уровней к 22-30 июля снизились в среднем на 0,85 м, а затем к середине сентября поднялась в среднем на 0,37 м и были выше предвесенних минимумов в среднем на 0,93 м и ниже весенних максимумов на 0,39 м. На преобладающей территории уровни залегали на глубине до 1 м. Отмечается подтопление территории площадью 18,22 км^2. Литологический состав представлен в кровле средними, реже лёгкими суглинками мощностью от 4,3 до 10 м при средней 6,4 м (saQ_{III}); ниже илистыми средними суглинками мощностью от 2,1 до 6,8 м при средней 3,7 м ($Q_{I-II}fd$); с глубины 7,6-13,8 м (средняя 10,1 м) плотные глины убинской свиты ($Q_{EI}ub$). Факторы активизации – метеорологический (количество летних осадков - 135 % нормы, в том числе в августе 237 %), гидрогеологический (наличие слабо фильтрующих и низко дренирующих грунтов федосовской свиты, способных ухудшать свои фильтрационные свойства под воздействием строительства и эксплуатации зданий и сооружений, близкое залегание глинистого водоупора убинской свиты), техногенный (насыпи автодорог, засыпка естественных водоёмов, служивших местом сбора поверхностных вод с окружающей территории; отсутствие вертикальной планировки).		
54-13-00007	Сибирский	Новосибирская область	Искитимский район, с. Лебедевка	54,66833	83,23148	19.03.24	Не завершилась	Пт	Атм., гидрогеол., техн.	Отмечалось	В с. Лебедевка Искитимского района (пункт наблюдений Лебедевский) с 19.03.2024 г. отмечалась активизация подтопления. После весеннего подъёма (20 апреля) уровни к 10 июня снизились в среднем на 0,31 м, потом к сентябрю поднялись до отметок, близких к апрельскому максимуму, и на площади, примыкающей к ул. Ленина, Мира, Логовая, пер. Строителей, залегали на преобладающей глубине 1-2 м. По скважинам по улицам Мира и Ленина, расположенными рядом с дренами, глубина уровня составляла 1,82-2,0 м. Литологический состав представлен сверху пылеватыми лёссовидными суглинками от средних до тяжёлых, подстилаемыми с глубины 2,2-3,0 м горизонтом погребенной почвы, состоящим из переслаивающихся тугопластичных тяжелых суглинков и глин и являющимся водоупорным слоем мощностью до 2,5 м ($saQ_{III}+saQ_{I-II}kd$). Факторы активизации – метеорологический (количество летних осадков -166 % нормы); гидрогеологический (слабо фильтрующие и низко дренирующие грунты краснодубровской свиты, подстилаемые с глубины 2,2-3,0 м горизонтом погребенной почвы, являющимся водоупором), техногенный (полив приусадебных участков, сброс бытовых вод, утечки из водопроводной сети; наличие в каждом дворе негерметичных выгребных ям; отсутствие вертикальной планировки села, а также недостаточное количество систем дренажа и ливневой канализации). С 2016 г. осушение ведётся с помощью дренажной системы; по огородам и улицам Мира, Ленина, Солнечная проложены 4 параллельных дрены на глубине 5-5,5 м. Отведение дренажных вод самотёком производится в оз. Цыганское по полиэтиленовым трубопроводам с 0,35-1,19 м^3/час.		

54-13-00005	Сибирский	Новосибирская область	г. Бердск	54,75183	83,07065	21.03.24	Не завершилась	Пт	Атм., гидрогеол., техн.	Отмечалось	В г. Бердске (пункт наблюдений Бердский) активизация подтопления зафиксирована с 21.03.2024 г. После весеннего максимума (20 апреля) уровни к 30 июня снизились в среднем на 0,31 м, потом в сентябре поднялись до отметок, превышающих апрельский максимум до 0,15 м, и залегали на преобладающей глубине до 1,0 м. По отношению к предвесенним минимумам они оказались выше в среднем на 1,11 м. Наиболее напряжённая обстановка наблюдается на пониженных участках улиц Октябрьская, Гагарина, Водосточная, Искитимская, Толбухина. Рабочая, Павлова, Красноармейская, Гагарина, Урицкого, Мира. Литологический состав до глубины 2-5 м представлен лессовидными супесями с линзами и прослоями суглинков (saQ_{III}); ниже лессовидными слабопроницаемыми суглинками и супесями ($saQ_{I-II}kd$) мощностью до 20 - 25 м, в толще которых прослеживаются почвенные горизонты мощностью до 0,5-1,5 м, обладающие повышенной водопрочностью. Осушение ведётся с помощью дренажной системы; сооружены 5 колодцев, из которых пробурено по 5-10 горизонтальных скважин длиной по 80 м, расположенных веером. Откачка воды ведётся из колодцев с дебитами от 3 до 8 $м^3$/час. Факторы активизации – метеорологический (количество летних осадков -184 % нормы), гидрогеологический (наличие водоупорных погребённых почв в толще краснодубровкой свиты), техногенный (утечки из водонесущих коммуникаций, засыпка оврагов при строительстве, планировке и асфальтировании).	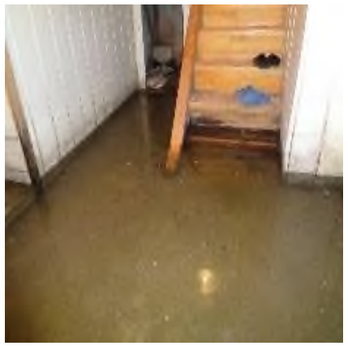	
54-13-00004	Сибирский	Новосибирская область	г. Новосибирск	55,04861	82,93166	22.03.24	Не завершилась	Пт	Атм., гидрогеол., техн.	Отмечалось	В г. Новосибирске (пункт наблюдений Новосибирский) с 22.03.2024 г. отмечалась активизация подтопления. Уровни после плавного снижения относительно апрельского подъёма в конце июня опять оказались на максимальных отметках. Их снижение к сентябрю составило в среднем 0,4 м. Относительно предвесенних минимумов они зафиксированы выше на 0,62 м. На преобладающей территории уровни залегают на глубине 1-3 м. Подтоплена значительная часть Дзержинского, Калининского, Кировского районов, жилмассивы Гусинобродский, Волочаевский, Кропоткинский, Линейный, Восточный, Плехановский Затулинский, Северо-Чемской, Паласса и др. на площади 49,7 $км^2$. Литологический состав представлен на левобережье аллювиальными суглинками с редкими не выдержанными прослоями песка и супеси (aQ_{IV}, a^1Q_{III} - a^3Q_{III}), на правобережье - плотными суглинками ($Q_{I-II}kd$). Факторы активизации процесса – метеорологический (количество летних осадков - 184 % нормы), гидрогеологический (широкое распространение слабофильтрующих лёссовых грунтов и лессовидных суглинков, способных ухудшать свои фильтрационные свойства под воздействием строительства и эксплуатации), техногенный (утечки из городских водонесущих коммуникаций, строительство подпорных стенок и набережных, перекрывающих выход грунтовых вод в естественные речные потоки; зарегулированность русел естественных дрен речек Каменка, Ельцовка-1 и др.; отсутствие соответствующей вертикальной планировки при строительстве города и системы дренажных и ливневых коллекторов; наличие железнодорожных насыпей и многочисленных автодорог, препятствующих естественному стоку).		
54-13-00006	Сибирский	Новосибирская область	Мошковский район, пгт. Мошково	55,30784	83,61242	27.03.24	Не завершилась	Пт	Атм., гидрогеол., техн.	Отмечалось	В пгт. Мошково Мошковского района (пункт наблюдений Мошковский) активизация подтопления отмечается с 27.03.2024 г. После весеннего подъёма (30 апреля) наблюдалось монотонное снижение уровней до 20 июля в среднем на 1,27 м, которое сменилось повышением, составившем к сентябрю в среднем 0,65 м. При этом уровни оказались выше предвесенних минимумов в среднем на 1,15 м и залегали на преобладающей глубине 0,5-1,5 м. Подтоплены объекты жилой застройки и промышленного производства на территории площадью 1,41 $км^2$, практически охватывающей весь центр посёлка. Наиболее напряженные участки находятся в пределах улиц Пионерская, Народная. Литологический состав представлен лёгкими и средними лёссовидными суглинками с прослоями и линзами супесей и тонкозернистых песков суммарной мощностью 38-49 м (saQ_{III}+$saQ_{I-II}kd$); маломощные горизонты погребённых почв (до 0,5-1,0 м), сложенные тяжёлыми суглинками и глинами разделяют эту толщу на 6 ритмопачек и служат локальными водоупорами. Факторы активизации – метеорологический (количество летних осадков -112 % нормы, в том числе в августе – 151 %); гидрогеологический (наличие погребённых почв в толще краснодубровской свиты, служащих локальными водоупорами, низкие фильтрационные свойства суглинков), техногенный (полив огородов, планировочные работы при строительстве, утечки из водонесущих коммуникаций, засыпка оврагов).		

54-13-00003	Сибирский	Новосибирская область	Баганский район, с. Баган	54,09711	77,67092	31.03.24	Не завершилась	Пт	Атм., гидрогеол., техн.	Отмечалось	В с. Баган Баганского района (пункт наблюдений Баганский) с 31.03.2024 г. отмечалась активизация подтопления. После апрельского максимума отмечено монотонное снижение уровней в среднем на 0,76 м. На преобладающей территории уровни к концу сентября на площади 4,65 км^2 залегали на глубине 0,7-1,8 м и были выше предвесенних минимумов в среднем на 0,51 м. Литологический состав представлен до глубины в среднем 1,1 м суглинками от лёгких до тяжёлых ($Q_{II-III}kr$), ниже глинистыми песками средней мощностью 2,9 м. Факторы активизации процесса – метеорологический (количество летних осадков – 159 % нормы), гидрогеологический (весьма слабые фильтрационные свойства суглинков карасукской свиты, близкое залегание глинистого водоупора павлодарской свиты), техногенный (утечки из водонесущих коммуникаций; засыпка оврагов при строительстве, планировке). Уровни воды в магистральных каналах находятся на тех же отметках, что и уровни грунтовых вод.		
54-10-00002	Сибирский	Новосибирская область	Новосибирский район, юго-западная окраина с. Ленинское	54,79685	82,76897	00.04.24	Не завершилась	Об	Атм., гидрол.	Отмечалось	В юго-западном направлении от с. Ленинское Новосибирского района на уступе Новосибирского водохранилища высотой 5-20 м на протяжении 7,945 км отмечалась активизация обвального процесса, выражавшаяся в осыпании, оползании, образовании свежих стенок отрыва, наклоне, искривлении и падении деревьев, нависании дернины, оголении корней, скоплении почво-грунта у подножья уступа. Параметры проявления опасного ЭГП: длина 8000 м; ширина 1,5 м, площадь 12000 м². Скорость разрушения уступа составила от 0,7 до 5 м/год, преобладающая – 2-3 м/год. Уровень активности средний. В разрезе уступа наблюдаются сухие лёссовидными супеси и суглинки третьей надпойменной террасы р. Оби (a^3Q_{III}). Факторы активизации – метеорологический (количество осадков в зимний период 2023-2024 гг. 124% нормы, в весенний -154 %, летний – 183%, в том числе количество осадков в июне около – 300 % нормы), гидрологический. Разрушены земли сельскохозяйственного назначения площадью 0,01184 км^2 и лесного фонда площадью 0,00628 км^2. Защитные мероприятия не проводятся.		
54-22-00044	Сибирский	Новосибирская область	Новосибирский район, 7,6 км ЮЗ с. Ленинское	54,77808	82,72307	00.04.24	Не завершилась	Эо	Атм., гидрол.	Отмечалось	В 7,6 км юго-западнее окраины с. Ленинское Новосибирского района развивается овраг № 26. Прирост вершинной части оврага по сравнению с 2020 г. составил 6 м или в среднем 1,5 м/год. Параметры проявления опасного ЭГП: длина 23 м, ширина у устья 19 м, в середине 13 м, у вершины 10 м, площадь 280 м², глубина 5 м. Профиль сечения – ящикообразный. Уровень активности средний. Геологический разрез представлен сухими лёссовидными супесями и суглинками третьей надпойменной террасы р. Оби (a^3Q_{III}). Факторы активизации – метеорологический (количество осадков в зимний период 2023-2024 гг. 124% нормы, в весенний - 154 %, летний – 183%, в том числе количество осадков в июне около – 300 % нормы), гидрологический. Разрушение земель сельскохозяйственного назначения за год составило 36 м^2. Защитные мероприятия не проводятся.		
54-22-00045	Сибирский	Новосибирская область	Новосибирский район, 7,3 км ЮЗ с. Ленинское	54,78222	82,72732	00.04.24	Не завершилась	Эо	Атм., гидрол.	Отмечалось	В 7,3 км юго-западнее окраины с. Ленинское Новосибирского района развивается овраг № 27. Прирост вершинной части оврага по сравнению с 2020 г. составил 6 м или в среднем 1,5 м/год. Параметры проявления опасного ЭГП: длина 9 м, ширина у устья 11 м, в середине 7,5 м, у вершины 2 м, площадь 58,5 м², глубина 6 м. Профиль сечения – v-образный. Уровень активности средний. Геологический разрез представлен сухими лёссовидными супесями и суглинками третьей надпойменной террасы р. Оби (a^3Q_{III}). Факторы активизации – метеорологический (количество осадков в зимний период 2023-2024 гг. 124% нормы, в весенний - 154 %, летний – 183%, в том числе количество осадков в июне около – 300 % нормы), гидрологический. Разрушение земель сельскохозяйственного назначения за год составило 16 м^2. Дно оврага выстелено резиновой тканью, правый борт выположен.		

54-22-00067	Сибирский	Новосибирская область	Новосибирский район, 7,19 км ЮЗ с. Ленинское	54,783 11	82,728 46	00.04.2 4	Не завершилась	Эо	Атм., гидрол.	Отмечалось	В 7,19 км юго-западнее окраины с. Ленинское Новосибирского района развивается овраг № 33, которого при обследовании 2020 г. не было, при длине оврага на момент обследования 5,6 м, его ежегодный прирост составляет в среднем 1,4 м/год. Параметры проявления опасного ЭГП: длина 5,6 м; ширина у устья 10 м, в середине 8 м, у вершины 5 м, площадь 46,5 м², глубина 6 м. Профиль сечения – ящикообразный. Уровень активности средний. Геологический разрез представлен сухими лёссовидными супесями и суглинками третьей надпойменной террасы р. Оби (a^3Q_{III}). Факторы активизации – метеорологический (количество осадков в зимний период 2023-2024 гг. 124% нормы, в весенний - 154 %, летний – 183%, в том числе количество осадков в июне около – 300 % нормы), гидрологический. Разрушение земель сельскохозяйственного назначения за год составило 12 м². Защитные мероприятия не проводятся.		
54-22-00068	Сибирский	Новосибирская область	Новосибирский район, 7,17 км ЮЗ с. Ленинское	54,783 39	82,728 71	00.04.2 4	Не завершилась	Эо	Атм., гидрол.	Отмечалось	В 7,17 км юго-западнее окраины с. Ленинское Новосибирского района развивается овраг № 34, которого при обследовании 2020 г. не было, при длине оврага на момент обследования 18 м, его ежегодный прирост составляет в среднем 4,5 м/год. Параметры проявления опасного ЭГП: длина 18 м, ширина у устья 33 м, в середине 20 м, у вершины 11,4 м, площадь 425 м², глубина 2,5-6 м. Профиль сечения – ящикообразный. У оврага один правый отвершек. Уровень активности высокий. Геологический разрез представлен сухими лёссовидными супесями и суглинками третьей надпойменной террасы р. Оби (a^3Q_{III}). Факторы активизации – метеорологический (количество осадков в зимний период 2023-2024 гг. 124% нормы, в весенний - 154 %, летний – 183%, в том числе количество осадков в июне около – 300 % нормы), гидрологический. Разрушение земель сельскохозяйственного назначения за год составило 106 м². Верхняя часть склона левого борта и вершина незначительно выположены местными жителями.		
54-22-00010	Сибирский	Новосибирская область	Новосибирский район, 6,7 км ЮЗ с. Ленинское	54,785 20	82,733 02	00.04.2 4	Не завершилась	Эо	Атм., гидрол.	Отмечалось	В 6,7 км юго-западнее окраины с. Ленинское Новосибирского района развивается овраг № 1. Прирост вершинной части оврага по сравнению с 2020 г. составил 7,8 м или в среднем 1,95 м/год. Параметры проявления опасного ЭГП: длина 4,5 м, ширина у устья 7,5 м, в середине 6 м, у вершины 3,5 м, площадь 25 м², глубина 4,8 м. Профиль сечения – ящикообразный. Уровень активности средний. Геологический разрез представлен сухими лёссовидными супесями и суглинками третьей надпойменной террасы р. Оби (a^3Q_{III}). Факторы активизации – метеорологический (количество осадков в зимний период 2023-2024 гг. 124% нормы, в весенний - 154 %, летний – 183%, в том числе количество осадков в июне около – 300 % нормы), гидрологический. Разрушение земель сельскохозяйственного назначения за год составило 14 м². Защитные мероприятия не проводятся.		
54-22-00011	Сибирский	Новосибирская область	Новосибирский район, 6,6 км ЮЗ с. Ленинское	54,785 40	82,734 09	00.04.2 4	Не завершилась	Эо	Атм., гидрол.	Отмечалось	В 6,6 км юго-западнее окраины с. Ленинское Новосибирского района развивается овраг № 2. Прирост вершинной части оврага по сравнению с 2020 г. составил 19 м или в среднем 4,8 м/год. Параметры проявления опасного ЭГП: длина 9,5 м, ширина у устья 12 м, в середине 10 м, у вершины 4 м, площадь 78 м², глубина 5-9 м. Профиль сечения – v-образный. Уровень активности высокий. Геологический разрез представлен сухими лёссовидными супесями и суглинками третьей надпойменной террасы р. Оби (a^3Q_{III}). Факторы активизации – метеорологический (количество осадков в зимний период 2023-2024 гг. 124% нормы, в весенний -154 %, летний – 183%, в том числе количество осадков в июне около – 300 % нормы), гидрологический. Разрушение земель сельскохозяйственного назначения за год составило 42 м². Защитные мероприятия не проводятся.		

54-22-00012	Сибирский	Новосибирская область	Новосибирский район, 6,15 км ЮЗ с. Ленинское	54,787 60	82,740 33	00.04.2 4	Не завершилась	Эо	Атм., гидрол.	Отмечалось	В 6,15 км юго-западнее окраины с. Ленинское Новосибирского района развивается овраг № 3. Прирост вершинной части оврага по сравнению с 2020 г. составил 12 м или в среднем 3 м/год. Параметры проявления опасного ЭГП: длина 7 м, ширина у устья 8 м, в середине 11,5 м, у вершины 4,5 м, площадь 56 м², глубина 6 м. Профиль сечения – ящикообразный. Уровень активности средний. Геологический разрез представлен сухими лёссовидными супесями и суглинками третьей надпойменной террасы р. Оби (a^3Q_{III}). Факторы активизации – метеорологический (количество осадков в зимний период 2023-2024 гг. 124% нормы, в весенний - 154 %, летний – 183%, в том числе количество осадков в июне около – 300 % нормы), гидрологический. Разрушение земель сельскохозяйственного назначения за год составило 28 м². Защитные мероприятия не проводятся.		
54-22-00013	Сибирский	Новосибирская область	Новосибирский район, 6 км ЮЗ с. Ленинское	54,788 30	82,742 15	00.04.2 4	Не завершилась	Эо	Атм., гидрол.	Отмечалось	В 6 км юго-западнее окраины с. Ленинское Новосибирского района развивается овраг № 4. Прирост вершинной части оврага по сравнению с 2020 г. составил 8 м или в среднем 2 м/год. Параметры проявления опасного ЭГП: длина 41 м, ширина у устья 29 м, в середине 15 м, у вершины 4 м, площадь 730 м², глубина 2,5-12 м. Профиль сечения – ящикообразный. Уровень активности средний. Геологический разрез представлен сухими лёссовидными супесями и суглинками третьей надпойменной террасы р. Оби (a^3Q_{III}). Факторы активизации – метеорологический (количество осадков в зимний период 2023-2024 гг. 124% нормы, в весенний - 154 %, летний – 183%, в том числе количество осадков в июне около – 300 % нормы), гидрологический. Разрушение земель сельскохозяйственного назначения за год составило 68 м². Защитные мероприятия не проводятся.		
54-22-00014	Сибирский	Новосибирская область	Новосибирский район, 5,82 км ЮЗ с. Ленинское	54,789 12	82,744 32	00.04.2 4	Не завершилась	Эо	Атм., гидрол.	Отмечалось	В 5,82 км юго-западнее окраины с. Ленинское Новосибирского района развивается овраг № 5. Прирост вершинной части оврага по сравнению с 2020 г. составил 9,5 м или в среднем 2,4 м/год. Параметры проявления опасного ЭГП: длина 79,5 м, ширина у устья 28 м, в середине 39 м, у вершины 8 м, площадь 2030 м², глубина 2-7 м. Профиль сечения – от v–образного до ящикообразного. У оврага один правый отвершек. Уровень активности средний. Геологический разрез представлен сухими лёссовидными супесями и суглинками третьей надпойменной террасы р. Оби (a^3Q_{III}). Факторы активизации – метеорологический (количество осадков в зимний период 2023-2024 гг. 124% нормы, в весенний - 154 %, летний – 183%, в том числе количество осадков в июне около – 300 % нормы), гидрологический. Разрушение земель сельскохозяйственного назначения за год составило 140 м². Защитные мероприятия не проводятся.		
54-22-00016	Сибирский	Новосибирская область	Новосибирский район, 5,4 км ЮЗ с. Ленинское	54,791 02	82,750 80	00.04.2 4	Не завершилась	Эо	Атм., гидрол.	Отмечалось	В 5,4 км юго-западнее окраины с. Ленинское Новосибирского района развивается овраг № 7. Прирост вершинной части оврага по сравнению с 2020 г. составил 6,4 м или в среднем 1,6 м/год. Параметры проявления опасного ЭГП: длина 50,6 м; ширина у устья 28 м, в середине 18 м, у вершины 5 м, площадь 880 м², глубина 2-10 м. Профиль сечения – от v–образного до ящикообразного. У оврага один правый отвершек. Уровень активности средний. Геологический разрез представлен сухими лёссовидными супесями и суглинками третьей надпойменной террасы р. Оби (a^3Q_{III}). Факторы активизации – метеорологический (количество осадков в зимний период 2023-2024 гг. 124% нормы, в весенний - 154 %, летний – 183%, в том числе количество осадков в июне около – 300 % нормы), гидрологический. Разрушение земель сельскохозяйственного назначения за год составило 71 м². Защитные мероприятия не проводятся.		

54-22-00018	Сибирский	Новосибирская область	Новосибирский район, 5,22 км ЮЗ с. Ленинское	54,79164	82,75301	00.04.24	Не завершилась	Эо	Атм., гидрол.	Отмечалось	В 5,22 км юго-западнее окраины с. Ленинское Новосибирского района развивается овраг № 9. Прирост вершинной части оврага по сравнению с 2020 г. составил 3 м или в среднем 0,75 м/год. Параметры проявления опасного ЭГП: длина 42 м, ширина у устья 23 м, в середине 27 м, у вершины 7 м, площадь 1052 м², глубина 1,5-10 м. Профиль сечения – ящикообразный. Уровень активности средний. Геологический разрез представлен сухими лёссовидными супесями и суглинками третьей надпойменной террасы р. Оби (a^3Q_{III}). Факторы активизации – метеорологический (количество осадков в зимний период 2023-2024 гг. 124% нормы, в весенний - 154 %, летний – 183%, в том числе количество осадков в июне около – 300 % нормы), гидрологический. Разрушение земель сельскохозяйственного назначения за год составило 38 м². Защитные мероприятия не проводятся.		
54-22-00019	Сибирский	Новосибирская область	Новосибирский район, 4,87 км ЮЗ с. Ленинское	54,79302	82,75792	00.04.24	Не завершилась	Эо	Атм., гидрол.	Отмечалось	В 4,87 км юго-западнее окраины с. Ленинское Новосибирского района развивается овраг № 10. Прирост вершинной части оврага по сравнению с 2020 г. составил 31 м или в среднем 7,8 м/год. Параметры проявления опасного ЭГП: длина 175 м, ширина у устья 45 м, в середине 37 м, у вершины 9 м, площадь 4990 м², глубина 2-10 м. Профиль сечения – от v–образного до ящикообразного. У оврага три правых отвершка, прирост вершины правого отвершка 1 составил 13 м или в среднем 3,3 м/год. Уровень активности высокий. Геологический разрез представлен сухими лёссовидными супесями и суглинками третьей надпойменной террасы р. Оби (a^3Q_{III}). Факторы активизации – метеорологический (количество осадков в зимний период 2023-2024 гг. 124% нормы, в весенний - 154 %, летний – 183%, в том числе количество осадков в июне около – 300 % нормы), гидрологический. Разрушение земель сельскохозяйственного назначения за год составило 330 м². Защитные мероприятия не проводятся.		
54-22-00020	Сибирский	Новосибирская область	Новосибирский район, 4,8 км ЮЗ с. Ленинское	54,79385	82,75852	00.04.24	Не завершилась	Эо	Атм., гидрол.	Отмечалось	В 4,8 км юго-западнее окраины с. Ленинское Новосибирского района развивается овраг № 11. Прирост вершинной части оврага по сравнению с 2020 г. составил 20 м или в среднем 5 м/год. Параметры проявления опасного ЭГП: длина 83 м, ширина у устья 72,5 м, в середине 29 м, у вершины 9,5 м, площадь 2900 м², глубина 2,5-10 м. Профиль сечения – от v–образного до ящикообразного. У оврага один правый отвершек. Уровень активности высокий. Геологический разрез представлен сухими лёссовидными супесями и суглинками третьей надпойменной террасы р. Оби (a^3Q_{III}). Факторы активизации – метеорологический (количество осадков в зимний период 2023-2024 гг. 124% нормы, в весенний - 154 %, летний – 183%, в том числе количество осадков в июне около – 300 % нормы), гидрологический. Разрушение земель сельскохозяйственного назначения за год составило 80 м². Защитные мероприятия не проводятся.		
54-22-00021	Сибирский	Новосибирская область	Новосибирский район, 4,75 км ЮЗ с. Ленинское	54,79409	82,75928	00.04.24	Не завершилась	Эо	Атм., гидрол.	Отмечалось	В 4,75 км юго-западнее окраины с. Ленинское Новосибирского района развивается овраг № 12. Прирост вершинной части оврага по сравнению с 2020 г. составил 41 м или в среднем 10,3 м/год. Параметры проявления опасного ЭГП: длина 126 м, ширина у устья 45 м, в середине 21 м, у вершины 4 м, площадь 2130 м², глубина 1,5-10 м. Профиль сечения – от v–образного до ящикообразного. Уровень активности высокий. Геологический разрез представлен сухими лёссовидными супесями и суглинками третьей надпойменной террасы р. Оби (a^3Q_{III}). Факторы активизации – метеорологический (количество осадков в зимний период 2023-2024 гг. 124% нормы, в весенний - 154 %, летний – 183%, в том числе количество осадков в июне около – 300 % нормы), гидрологический. Разрушение земель сельскохозяйственного назначения за год составило 90 м². Защитные мероприятия не проводятся.		

54-22-00046	Сибирский	Новосибирская область	Новосибирский район, 4,55 км ЮЗ с. Ленинское	54,79473	82,76203	00.04.24	Не завершилась	Эо	Атм., гидрол.	Отмечалось	В 4,55 км юго-западнее окраины с. Ленинское Новосибирского района развивается овраг № 28. Прирост вершинной части оврага по сравнению с 2020 г. составил 12 м или в среднем 3 м/год. Параметры проявления опасного ЭГП: длина 8,5 м, ширина у устья 10 м, в середине 9 м, у вершины 6 м, площадь 45 м², глубина 6 м. Профиль сечения – ящикообразный. Уровень активности средний. Геологический разрез представлен сухими лёссовидными супесями и суглинками третьей надпойменной террасы р. Оби (a^3Q_{III}). Факторы активизации – метеорологический (количество осадков в зимний период 2023-2024 гг. 124% нормы, в весенний - 154 %, летний – 183%, в том числе количество осадков в июне около – 300 % нормы), гидрологический. Разрушение земель сельскохозяйственного назначения за год составило 18 м². Защитные мероприятия не проводятся.		
54-22-00022	Сибирский	Новосибирская область	Новосибирский район, 4,4 км ЮЗ с. Ленинское	54,79553	82,76332	00.04.24	Не завершилась	Эо	Атм., гидрол.	Отмечалось	В 4,4 км юго-западнее окраины с. Ленинское Новосибирского района развивается овраг № 13. Прирост левого отвершка оврага по сравнению с 2020 г. составил 12 м или в среднем 3 м/год. Параметры проявления опасного ЭГП: длина 96 м, ширина у устья 37,5 м, в середине 67 м, у вершины 10 м, площадь 4800 м², глубина 1,5-10 м. Профиль сечения – от v–образного до ящикообразного. У оврага один левый отвершек. Уровень активности средний. Геологический разрез представлен сухими лёссовидными супесями и суглинками третьей надпойменной террасы р. Оби (a^3Q_{III}). Факторы активизации – метеорологический (количество осадков в зимний период 2023-2024 гг. 124% нормы, в весенний - 154 %, летний – 183%, в том числе количество осадков в июне около – 300 % нормы), гидрологический. Разрушение земель сельскохозяйственного назначения за год составило 290 м². Защитные мероприятия не проводятся.		
54-22-00023	Сибирский	Новосибирская область	Новосибирский район, 4,36 км ЮЗ с. Ленинское	54,79581	82,76454	00.04.24	Не завершилась	Эо	Атм., гидрол.	Отмечалось	В 4,36 км юго-западнее окраины с. Ленинское Новосибирского района развивается овраг № 14. Прирост вершинной части оврага по сравнению с 2020 г. составил 4 м или в среднем 1 м/год. Параметры проявления опасного ЭГП: длина 19 м, ширина у устья 15 м, в середине 9 м, у вершины 4 м, площадь 160 м², глубина 0,5-6 м. Профиль сечения – ящикообразный. Уровень активности низкий. Геологический разрез представлен сухими лёссовидными супесями и суглинками третьей надпойменной террасы р. Оби (a^3Q_{III}). Факторы активизации – метеорологический (количество осадков в зимний период 2023-2024 гг. 124% нормы, в весенний - 154 %, летний – 183%, в том числе количество осадков в июне около – 300 % нормы), гидрологический. Разрушение земель сельскохозяйственного назначения за год составило 12 м². Защитные мероприятия не проводятся.		
54-22-00069	Сибирский	Новосибирская область	Новосибирский район, 4,26 км ЮЗ с. Ленинское	54,79614	82,76641	00.04.24	Не завершилась	Эо	Атм., гидрол.	Отмечалось	В 4,26 км юго-западнее окраины с. Ленинское Новосибирского района развивается овраг № 35, которого при обследовании 2020 г. не было, при длине оврага на момент обследования 11 м, его ежегодный прирост составляет в среднем 2,8 м/год. Параметры проявления опасного ЭГП: длина 11 м, ширина у устья 14 м, в середине 10 м, у вершины 3 м, площадь 117 м², глубина 6 м. Профиль сечения – ящикообразный. Уровень активности средний. Геологический разрез представлен сухими лёссовидными супесями и суглинками третьей надпойменной террасы р. Оби (a^3Q_{III}). Факторы активизации – метеорологический (количество осадков в зимний период 2023-2024 гг. 124% нормы, в весенний - 154 %, летний – 183%, в том числе количество осадков в июне около – 300 % нормы), гидрологический. Разрушение земель сельскохозяйственного назначения за год составило 29 м². Защитные мероприятия не проводятся.		

54-22-00024	Сибирский	Новосибирская область	Новосибирский район, 4,2 км ЮЗ с. Ленинское	54,79669	82,76676	00.04.24	Не завершилась	Эо	Атм., гидрол.	Отмечалось	В 4,2 км юго-западнее окраины с. Ленинское Новосибирского района развивается овраг № 15. Прирост вершинной части оврага по сравнению с 2020 г. составил 22 м или в среднем 5,5 м/год. Параметры проявления опасного ЭГП: длина 83 м; ширина у устья 45 м, в середине 36 м, у вершины 10 м, площадь 2850 м², глубина 2-10 м. Профиль сечения – ящикообразный. У оврага два правых отвершка, прирост правого отвершка 1 - составил 7 м или в среднем 1,75 м/год, правого отвершка 2 длинной 7 м в 2020 г. не было - прирост в среднем 1,75 м в год. Уровень активности высокий. Геологический разрез представлен сухими лёссовидными супесями и суглинками третьей надпойменной террасы р. Оби (a^3Q_{III}). Факторы активизации – метеорологический (количество осадков в зимний период 2023-2024 гг. 124% нормы, в весенний - 154 %, летний – 183%, в том числе количество осадков в июне около – 300 % нормы), гидрологический. Разрушение земель сельскохозяйственного назначения за год составило 200 м². Защитные мероприятия не проводятся.		
54-22-00070	Сибирский	Новосибирская область	Новосибирский район, 4,19 км ЮЗ с. Ленинское	54,79650	82,76738	00.04.24	Не завершилась	Эо	Атм., гидрол.	Отмечалось	В 4,19 км юго-западнее окраины с. Ленинское Новосибирского района развивается овраг № 36, которого при обследовании 2020 г. не было, при длине оврага на момент обследования 11,5 м, его ежегодный прирост составляет в среднем 2,9 м/год. Параметры проявления опасного ЭГП: длина11,5 м, ширина у устья 7,7 м, в середине 6 м, у вершины 3,5 м, площадь 64 м², глубина 2-6 м. Профиль сечения – ящикообразный. Уровень активности средний. Геологический разрез представлен сухими лёссовидными супесями и суглинками третьей надпойменной террасы р. Оби (a^3Q_{III}). Факторы активизации – метеорологический (количество осадков в зимний период 2023-2024 гг. 124% нормы, в весенний - 154 %, летний – 183%, в том числе количество осадков в июне около – 300 % нормы), гидрологический. Разрушение земель сельскохозяйственного назначения за год составило 16 м². Защитные мероприятия не проводятся.		
54-22-00047	Сибирский	Новосибирская область	Новосибирский район, 4,1 км ЮЗ с. Ленинское	54,79656	82,76833	00.04.24	Не завершилась	Эо	Атм., гидрол.	Отмечалось	В 4,1 км юго-западнее окраины с. Ленинское Новосибирского района развивается овраг № 29. Прирост вершинной части оврага по сравнению с 2020 г. составил 6 м или в среднем 1,5 м/год. Параметры проявления опасного ЭГП: длина 24 м, ширина у устья 15 м, в середине 9 м, у вершины 6 м, площадь 225 м², глубина 4-8 м. Профиль сечения – ящикообразный. Уровень активности средний. Геологический разрез представлен сухими лёссовидными супесями и суглинками третьей надпойменной террасы р. Оби (a^3Q_{III}). Факторы активизации – метеорологический (количество осадков в зимний период 2023-2024 гг. 124% нормы, в весенний - 154 %, летний – 183%, в том числе количество осадков в июне около – 300 % нормы), гидрологический. Разрушение земель сельскохозяйственного назначения за год составило 45 м². Защитные мероприятия не проводятся.		
54-22-00026	Сибирский	Новосибирская область	Новосибирский район, 4 км ЮЗ с. Ленинское	54,79703	82,76873	00.04.24	Не завершилась	Эо	Атм., гидрол.	Отмечалось	В 4 км юго-западнее окраины с. Ленинское Новосибирского района развивается овраг № 17. Прирост вершинной части оврага по сравнению с 2020 г. составил 7 м или в среднем 1,75 м/год. Параметры проявления опасного ЭГП: длина 64 м, ширина у устья 38 м, в середине 24 м, у вершины 6 м, площадь 1370 м², глубина 2-10 м. Профиль сечения – ящикообразный. У оврага два правых и один левый отвершки. Правого отвершка 2 в 2020 г не было, в среднем прирост составляет 1 м/год, прирост вершинной части левого отвершка составляет 3,5 м или 0,9 м/год Уровень активности средний. Геологический разрез представлен сухими лёссовидными супесями и суглинками третьей надпойменной террасы р. Оби (a^3Q_{III}). Факторы активизации – метеорологический (количество осадков в зимний период 2023-2024 гг. 124% нормы, в весенний - 154 %, летний – 183%, в том числе количество осадков в июне около – 300 % нормы), гидрологический. Разрушение земель сельскохозяйственного назначения за год составило 138 м². Защитные мероприятия не проводятся.		

54-22-00028	Сибирский	Новосибирская область	Новосибирский район, 3,7 км ЮЗ с. Ленинское	54,798 36	82,773 68	00.04.2 4	Не завершилась	Эо	Атм., гидрол.	Отмечалось	В 3,7 км юго-западнее окраины с. Ленинское Новосибирского района развивается овраг № 19. Прирост вершинной части оврага по сравнению с 2020 г. составил 19 м или в среднем 4,75 м/год. Параметры проявления опасного ЭГП: длина 26 м, ширина у устья 20 м, в середине 23,5 м, у вершины 3 м, площадь 380 м², глубина 2-10 м. Профиль сечения – ящикообразный. У оврага один правый отвершек, которого не было в 2020 г., при его длине 3 м прирост в среднем 0,75 м/год Уровень активности средний. Геологический разрез представлен сухими лёссовидными супесями и суглинками третьей надпойменной террасы р. Оби (a^3Q_{III}). Факторы активизации – метеорологический (количество осадков в зимний период 2023-2024 гг. 124% нормы, в весенний - 154 %, летний – 183%, в том числе количество осадков в июне около – 300 % нормы), гидрологический. Разрушение земель сельскохозяйственного назначения за год составило 78 м². Защитные мероприятия не проводятся.			
54-22-00029	Сибирский	Новосибирская область	Новосибирский район, 3,6 км ЮЗ с. Ленинское	54,799 16	82,774 52	00.04.2 4	Не завершилась	Эо	Атм., гидрол.	Не отмечалось	В 3,6 км юго-западнее окраины с. Ленинское Новосибирского района развивается овраг № 20. Прирост вершинной части оврага по сравнению с 2020 г. составил 28 м или в среднем 7 м/год. Параметры проявления опасного ЭГП: длина 136 м, ширина у устья 33,5 м, в середине 25 м, у вершины 3 м, площадь 2907 м², глубина 2-10 м. Профиль сечения – ящикообразный. У оврага один правый отвершек, прирост правого отвершка - 24 м или в среднем 6 м в год. Уровень активности высокий. Геологический разрез представлен сухими лёссовидными супесями и суглинками третьей надпойменной террасы р. Оби (a^3Q_{III}). Факторы активизации – метеорологический (количество осадков в зимний период 2023-2024 гг. 124% нормы, в весенний - 154 %, летний – 183%, в том числе количество осадков в июне около – 300 % нормы), гидрологический. Защитные мероприятия не проводятся.			
54-22-00030	Сибирский	Новосибирская область	Новосибирский район, 3,35 км ЮЗ с. Ленинское	54,799 59	82,777 83	00.04.2 4	Не завершилась	Эо	Атм., гидрол.	Не отмечалось	В 3,35 км юго-западнее окраины с. Ленинское Новосибирского района развивается овраг № 21. Прирост вершинной части оврага по сравнению с 2020 г. составил 9 м или в среднем 2,25 м/год. Параметры проявления опасного ЭГП: длина 78 м, ширина у устья 44 м, в середине 20 м, у вершины 5 м, площадь 1450 м², глубина 2-10 м. Профиль сечения – ящикообразный. У оврага один правый отвершек, прирост правого отвершка – 7 м или в среднем 1,75 м/год Уровень активности средний. Геологический разрез представлен сухими лёссовидными супесями и суглинками третьей надпойменной террасы р. Оби (a^3Q_{III}). Факторы активизации – метеорологический (количество осадков в зимний период 2023-2024 гг. 124% нормы, в весенний - 154 %, летний – 183%, в том числе количество осадков в июне около – 300 % нормы), гидрологический. Защитные мероприятия не проводятся.			
54-22-00031	Сибирский	Новосибирская область	Новосибирский район, 3,17 км ЮЗ с. Ленинское	54,800 01	82,781 62	00.04.2 4	Не завершилась	Эо	Атм., гидрол.	Не отмечалось	В 3,17 км юго-западнее окраины с. Ленинское Новосибирского района развивается овраг № 22. Прирост вершинной части оврага по сравнению с 2020 г. составил 10 м или в среднем 2,5 м/год. Параметры проявления опасного ЭГП: длина 86 м, ширина у устья 44 м, в середине 27 м, у вершины 1 м, площадь 1880 м², глубина 1-10 м. Профиль сечения – ящикообразный. Уровень активности средний. Геологический разрез представлен сухими лёссовидными супесями и суглинками третьей надпойменной террасы р. Оби (a^3Q_{III}). Факторы активизации – метеорологический (количество осадков в зимний период 2023-2024 гг. 124% нормы, в весенний - 154 %, летний – 183%, в том числе количество осадков в июне около – 300 % нормы), гидрологический. Защитные мероприятия не проводятся.			

54-22-00032	Сибирский	Новосибирская область	Новосибирский район, 3 км ЮЗ с. Ленинское	54,80074	82,78424	00.04.24	Не завершилась	Эо	Атм., гидрол.	Не отмечалось	В 3 км юго-западнее окраины с. Ленинское Новосибирского района развивается овраг № 23. Прирост вершинной части оврага по сравнению с 2020 г. составил 18,5 м или в среднем 4,6 м/год. Параметры проявления опасного ЭГП: длина 88 м, ширина у устья 19 м, в середине 12 м, у вершины 6 м, площадь 1130 м², глубина 1,5-8 м. Профиль сечения – от v-образного до ящикообразного. Уровень активности высокий. Геологический разрез представлен сухими лёссовидными супесями и суглинками третьей надпойменной террасы р. Оби (a^3Q_{III}). Факторы активизации – метеорологический (количество осадков в зимний период 2023-2024 гг. 124% нормы, в весенний - 154 %, летний – 183%, в том числе количество осадков в июне около – 300 % нормы), гидрологический. Защитные мероприятия не проводятся.		
54-22-00033	Сибирский	Новосибирская область	Новосибирский район, 1,68 км ЮЗ с. Ленинское	54,80111	82,78876	00.04.24	Не завершилась	Эо	Атм., гидрол.	Не отмечалось	В 1,68 км юго-западнее окраины с. Ленинское Новосибирского района развивается овраг № 24. Прирост вершинной части оврага по сравнению с 2020 г. составил 57 м или в среднем 14,2 м/год. Параметры проявления опасного ЭГП: длина 179 м, ширина у устья 72 м, в середине 51 м, у вершины 4 м, площадь 7650 м², глубина 3-10 м. Профиль сечения – от v-образного до ящикообразного. У оврага два правых и один левый отвершки, прирост вершины левого отвершка составил 8 м или в среднем 2 м/год. В 2020 г. правых отвершков не было, при длине 81 м правого отвершка 2 его прирост в среднем составил 20,25 м в год. Уровень активности высокий. Геологический разрез представлен сухими лёссовидными супесями и суглинками третьей надпойменной террасы р. Оби (a^3Q_{III}). Факторы активизации – метеорологический (количество осадков в зимний период 2023-2024 гг. 124% нормы, в весенний - 154 %, летний – 183%, в том числе количество осадков в июне около – 300 % нормы), гидрологический. Защитные мероприятия не проводятся.		
54-22-00034	Сибирский	Новосибирская область	Новосибирский район, 1,62 км ЮЗ с. Ленинское	54,80178	82,79020	00.04.24	Не завершилась	Эо	Атм., гидрол.	Не отмечалось	В 1,62 км юго-западнее окраины с. Ленинское Новосибирского района развивается овраг № 25. Прирост вершинной части оврага по сравнению с 2020 г. составил 30 м или в среднем 7,5 м/год. Параметры проявления опасного ЭГП: длина 180 м, ширина у устья 40 м, в середине 23 м, у вершины 6 м, площадь 42802 м², глубина 1,5-10 м. Профиль сечения – v-образного до ящикообразного. У оврага один левый отвершек, в 2020 г. его не было, при длине 15,5 м его прирост в среднем составил 3,9 м в год. Уровень активности высокий. Геологический разрез представлен сухими лёссовидными супесями и суглинками третьей надпойменной террасы р. Оби (a3QIII). Факторы активизации – метеорологический (количество осадков в зимний период 2023-2024 гг. 124% нормы, в весенний - 154 %, летний – 183%, в том числе количество осадков в июне около – 300 % нормы), гидрологический. Защитные мероприятия не проводятся.		
54-22-00048	Сибирский	Новосибирская область	Новосибирский район, 1,33 км ЮЗ с. Ленинское	54,80156	82,79856	00.04.24	Не завершилась	Эо	Атм., гидрол.	Не отмечалось	В 1,33 км юго-западнее окраины с. Ленинское Новосибирского района развивается овраг № 30. Прирост вершинной части оврага по сравнению с 2020 г. составил 3 м или в среднем 0,75 м/год. Параметры проявления опасного ЭГП: длина 48 м, ширина у устья 13 м, в середине 17,5 м, у вершины 3 м, площадь 640 м², глубина 1-8 м. Профиль сечения – ящикообразный. Уровень активности низкий. Геологический разрез представлен сухими лёссовидными супесями и суглинками третьей надпойменной террасы р. Оби (a^3Q_{III}). Факторы активизации – метеорологический (количество осадков в зимний период 2023-2024 гг. 124% нормы, в весенний - 154 %, летний – 183%, в том числе количество осадков в июне около – 300 % нормы), гидрологический. Защитные мероприятия не проводятся.		

54-22-00049	Сибирский	Новосибирская область	Новосибирский район, 1,23 км ЮЗ с. Ленинское	54,80406	82,71135	00.04.24	Не завершилась	Эо	Атм., гидрол.	Отмечалось	В 1,23 км юго-западнее окраины с. Ленинское Новосибирского района развивается овраг № 31. Предположительно ежегодный прирост составляет в среднем 3,5 м/год. Параметры проявления опасного ЭГП: длина 3,5 м, ширина у устья 6 м, в середине 5 м, у вершины 3 м, площадь 16 м², глубина 6 м. Уровень активности высокий. Геологический разрез представлен сухими лёссовидными супесями и суглинками третьей надпойменной террасы р. Оби (a^3Q_{III}). Факторы активизации – метеорологический (количество осадков в зимний период 2023-2024 гг. 124% нормы, в весенний - 154 %, летний – 183%, в том числе количество осадков в июне около – 300 % нормы), гидрологический. Разрушение земель лесного фонда за год составило 16 м^2. Защитные мероприятия не проводятся.			
54-22-00071	Сибирский	Новосибирская область	Новосибирский район, 0,85 км ЮЗ с. Ленинское	54,80658	82,81657	00.04.24	Не завершилась	Эо	Атм., гидрол.	Отмечалось	В 0,85 км юго-западнее окраины с. Ленинское Новосибирского района развивается овраг № 37. Прирост вершинной части оврага по сравнению с 2020 г. составил 30 м или в среднем 7,5 м/год. Параметры проявления опасного ЭГП: длина 81 м, ширина у устья 34 м, в середине 18 м, у вершины 28,5 м, площадь 1490 м², глубина 4-6 м. Профиль сечения – ящикообразный. Уровень активности высокий. Геологический разрез представлен сухими лёссовидными супесями и суглинками третьей надпойменной террасы р. Оби (a^3Q_{III}). Факторы активизации – метеорологический (количество осадков в зимний период 2023-2024 гг. 124% нормы, в весенний - 154 %, летний – 183%, в том числе количество осадков в июне около – 300 % нормы), гидрологический. Разрушение земель лесного фонда за год составило 120 м^2. Защитные мероприятия не проводятся.			
54-22-00050	Сибирский	Новосибирская область	Новосибирский район, 0,3 км ЮЗ с. Ленинское	54,80867	82,82666	00.04.24	Не завершилась	Эо	Атм., гидрол.	Отмечалось	В 0,3 км юго-западнее окраины с. Ленинское Новосибирского района развивается овраг № 32. Прирост вершинной части оврага по сравнению с 2020 г. составил 13,5 м или в среднем 3,4 м/год. Параметры проявления опасного ЭГП: длина 11 м; ширина у устья 8 м, в середине 7 м, у вершины 2,5 м, площадь 68 м², глубина 5-6 м. Профиль сечения – ящикообразный. Уровень активности высокий. Геологический разрез представлен сухими лёссовидными супесями и суглинками третьей надпойменной террасы р. Оби (a^3Q_{III}). Факторы активизации – метеорологический (количество осадков в зимний период 2023-2024 гг. 124% нормы, в весенний - 154 %, летний – 183%, в том числе количество осадков в июне около – 300 % нормы), гидрологический. Разрушение земель лесного фонда за год составило 20 м^2. Защитные мероприятия не проводятся.		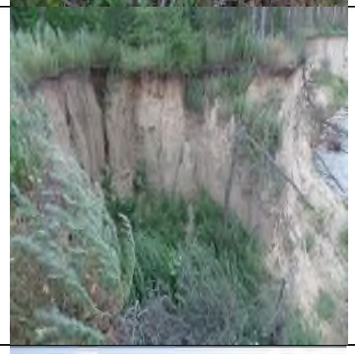	
55-22-00002	Сибирский	Омская область	Кормиловский район, в 1,2 км СВ с. Борки	55,04172	74,04240	00.04.24	00.09.24	Эо	Атм.	Отмечалось	В 1,2 км СВ с. Борки Кормиловского района (пункт наблюдений Нижнеомский) с апреля 2024 г. отмечена активизация овражной эрозии на овраге № 2-3 в виде роста вершины оврага, осыпания грунта в бортах оврага. Овраг извилистой формы, имеет один левый отвершек длиной 16,9 м, шириной 7,6 м. Морфометрические показатели оврага: длина – 210,3 м, ширина – 20,8 м, площадь – 4493,6 м^2, глубина до 3 м. В 2024 г. прирост в вершине оврага составил 0,7 м, в среднем – 0,35 м. Базис развития: русло р. Омь. Овраг развивается в высоком и крутом борту 2-ой надпойменной террасы р. Омь, сложенным переслаиванием суглинков и супесей. Фактор активизации – метеорологический (количество атмосферных осадков, интенсивное весеннее снеготаяние). Разрушены земли сельскохозяйственного назначения площадью 0,000015 км^2.			

55-22-00006	Сибирский	Омская область	Кормиловский район, в 1,6 км СЗ пгт. Кормиловка	55,037 06	74,068 27	00.04.2 4	00.09.24	Эо	Атм.	Отмечалось	В 1,6 км СЗ пгт. Кормиловка Кормиловского района (пункт наблюдений Нижнеомский) с апреля 2024 г. отмечена активизация овражной эрозии на овраге № 2-9 в виде роста вершин оврага и отвершка. Овраг извилистой формы, имеет один правый и два левых отвершка. Морфометрические показатели оврага: длина – 323,8 м, ширина – 24,3 м, площадь – 9714,1 м^2, глубина до 2 м. В 2024 г. прирост в вершине оврага составил 1,4 м, в среднем – 2,15 м. Базис развития: русло р. Омь. Овраг развивается в высоком и крутом борту 2-ой надпойменной террасы р. Омь, сложенным переслаиванием суглинков и глин. Фактор активизации – метеорологический (количество атмосферных осадков, интенсивное весеннее снеготаяние). Разрушены земли сельскохозяйственного назначения площадью 0,000065 км^2.		
55-22-00008	Сибирский	Омская область	Калачинский район, в 3 км В д. Старый Ревель	55,194 49	75,061 69	00.04.2 4	00.09.24	Эо	Атм.	Отмечалось	В 3 км В д. Старый Ревель Калачинского района (пункт наблюдений Нижнеомский) с апреля 2024 г. отмечена активизация овражной эрозии на овраге № 2-17 в виде роста вершины оврага и осыпания грунта в вершинах отвершков. Морфометрические показатели оврага: длина – 321,0 м, ширина – 22,7 м, площадь – 9179,3 м^2, глубина до 6 м. Овраг имеет крупные отвершки, из них 1 левый и 3 правых. В 2024 г. прирост оврага составил 0,8 м. Базис развития: русло р. Омь. Овраг развивается в высоком и крутом борту 2-ой надпойменной террасы р. Омь, сложенным переслаиванием суглинков и глин. Фактор активизации – метеорологический (количество атмосферных осадков, интенсивное весеннее снеготаяние). Разрушены земли сельскохозяйственного назначения площадью 0,000018 км^2.		
55-22-00010	Сибирский	Омская область	Калачинский район, в 1 км З с. Глуховка	55,083 39	74,686 63	00.04.2 4	00.09.24	Эо	Атм.	Отмечалось	В 1 км З с. Глуховка Калачинского района (пункт наблюдений Нижнеомский) с апреля 2024 г. отмечена активизация овражной эрозии на овраге № 2-19 в виде роста вершин оврага и отвершка, обрушения грунта в бортах оврага. Морфометрические показатели оврага: длина – 454,1 м, ширина – 19,5 м, площадь – 18965,9 м^2, глубина до 6 м. Овраг разветвленный, выделяется 3 вершины со множеством отвершков. В 2024 г. прирост в вершине оврага составил 2,3 м, в среднем – 1,27 м. Базис развития: русло р. Омь. Овраг развивается в высоком и крутом борту 2-ой надпойменной террасы р. Омь, сложенным суглинками. Фактор активизации – метеорологический (количество атмосферных осадков, интенсивное весеннее снеготаяние). Разрушены земли сельскохозяйственного назначения площадью 0,000066 км^2.		
55-22-00011	Сибирский	Омская область	Кормиловский район, в 0,8 км СЗ пгт. Кормиловка	55,021 92	74,075 30	00.04.2 4	00.09.24	Эо	Атм.	Отмечалось	В 0,8 км СЗ пгт. Кормиловка Кормиловского района (пункт наблюдений Нижнеомский) с апреля 2024 г. отмечена активизация овражной эрозии на овраге № 2-20 в виде роста вершин оврага и отвершка, обрушения грунта в бортах оврага. Овраг сложной формы с отвершками. Морфометрические показатели оврага: длина – 1404,6 м, ширина – 26,4 м, площадь – 38417,8 м^2, глубина до 8 м. В 2024 г. прирост в вершине оврага составил 0,6 м, в среднем – 0,27 м. Базис развития: русло р. Омь. Овраг развивается в высоком и крутом борту 2-ой надпойменной террасы р. Омь, сложенным суглинками. Фактор активизации – метеорологический (количество атмосферных осадков, интенсивное весеннее снеготаяние). Разрушены земли сельскохозяйственного назначения площадью 0,000018 км^2.		

55-22-00013	Сибирский	Омская область	Омский район, в 0,35 км ЮЗ д. Прудки (Урманское лесничество)	55,026 39	73,789 88	00.04.2 4	00.09.24	Эо	Атм.	Отмечалось	В 0,35 км ЮЗ д. Прудки Омского района (пункт наблюдений Нижнеомский) с апреля 2024 г. отмечена активизация овражной эрозии на овраге № 2-23 в виде роста вершин оврага и отвершка, обрушения грунта в бортах оврага. Овраг донный, местами отмечается выход грунтовых вод. Морфометрические показатели оврага: длина – 495,9 м, ширина – 11,7 м, площадь – 6223,2 м^2, глубина до 7 м. В 2024 г. прирост в вершине оврага составил 0,7 м, в среднем – 0,75 м. Базис развития: русло р. Омь. Овраг развивается в высоком и крутом борту 2-ой надпойменной террасы р. Омь, сложенным супесями. Фактор активизации – метеорологический (количество атмосферных осадков, интенсивное весеннее снеготаяние). Разрушены земли сельскохозяйственного назначения площадью 0,000015 км^2.		
55-22-00014	Сибирский	Омская область	Кормиловский район, в 1 км ЮЗ д. Сыропятская	55,030 81	73,839 22	00.04.2 4	00.09.24	Эо	Атм.	Отмечалось	В 1 км ЮЗ д. Сыропятская Кормиловского района (пункт наблюдений Нижнеомский) с апреля 2024 г. отмечена активизация овражной эрозии на овраге № 2-24 в виде роста вершины оврага, обрушения грунта в бортах оврага. Морфометрические показатели оврага: длина – 605,4 м, ширина – 32,3 м, площадь – 19554,4 м^2, глубина до 4 м. В 2024 г. прирост оврага составил 13 м. Базис развития: русло р. Омь. Овраг развивается в высоком и крутом борту 2-ой надпойменной террасы р. Омь, сложенным суглинками. Фактор активизации – метеорологический (количество атмосферных осадков, интенсивное весеннее снеготаяние). Разрушены земли сельскохозяйственного назначения площадью 0,000420 км^2.		
55-22-00015	Сибирский	Омская область	Омский район, в 0,6 км С с. Богословка	55,042 03	73,726 16	00.04.2 4	00.09.24	Эо	Атм.	Отмечалось	В 0,6 км С с. Богословка Омского района (пункт наблюдений Нижнеомский) с апреля 2024 г. отмечена активизация овражной эрозии на овраге № 2-26 в виде роста вершин оврага и отвершка. Овраг характеризуется крупным левым отвершком длиной 167,4 м, шириной 26,2 м и отвершком 2-го порядка и многочисленными отвершками с правой стороны оврага. Морфометрические показатели оврага: длина – 483,8 м, ширина –37,8 м, площадь – 24500,4 м^2, глубина до 15 м. В 2024 г. прирост оврага в среднем составил 0,2 м. Базис развития: русло р. Омь. Овраг развивается в высоком и крутом борту 2-ой надпойменной террасы р. Омь, сложенным переслаиванием суглинков и глин. Фактор активизации – метеорологический (количество атмосферных осадков, интенсивное весеннее снеготаяние). Разрушены земли сельскохозяйственного назначения площадью 0,000010 км^2.		
55-22-00016	Сибирский	Омская область	Омский район, в 0,8 км З п. Ростовка	55,025 92	73,533 39	00.04.2 4	00.09.24	Эо	Атм.	Не отмечалось	В 0,8 км З п. Ростовка Омского района (пункт наблюдений Нижнеомский) с апреля 2024 г. отмечена активизация овражной эрозии на овраге № 2-28 в виде роста вершин оврага и отвершка. Овраг разветвленный, выделяются 3 вершины. Правая вершина имеет один левый отвершек, центральная вершина оврага имеет один правый отвершек, вершины засыпаны грунтом. Левая вершина засыпана грунтом, имеет три левых отвершка. Вдоль оврага прослеживаются трещины, незначительные обрушения. Морфометрические показатели оврага: длина – 123,5 м, ширина – 22,6 м, площадь – 6450,2 м^2, глубина до 3 м. В 2024 г. прирост в вершине оврага составил 0,2 м, в среднем – 0,1 м. Базис развития: русло р. Омь. Овраг развивается в высоком и крутом борту 2-ой надпойменной террасы р. Омь, сложенным переслаиванием супесей и глин. Фактор активизации – метеорологический (количество атмосферных осадков, интенсивное весеннее снеготаяние).		

55-22-00023	Сибирский	Омская область	Черлакский район, в 2,7 км ЮВ д. Бердниково	54,399 29	74,476 94	00.04.2 4	00.09.24	Эо	Атм.	Отмечалось	В 2,7 км ЮВ д. Бердниково Черлакского района (пункт наблюдений Черлакский) с апреля 2024 г. отмечена активизация овражной эрозии на овраге № 1-7 – рост вершины оврага, обрушение грунта в бортах оврага. Борта оврага обрывистые. Морфометрические показатели оврага: длина – 320,7 м, ширина – 18,8 м, площадь – 6029,2 м^2, глубина до 4 м. В 2024 г. прирост оврага составил 7 м. Базис развития: русло р. Иртыш. Овраг развивается в высоком и крутом борту 2-ой надпойменной террасы р. Иртыш, сложенным переслаиванием суглинков и глин. Фактор активизации – метеорологический (количество атмосферных осадков, интенсивное весеннее снеготаяние). Разрушены земли сельскохозяйственного назначения площадью 0,000132 км^2.		
55-22-00024	Сибирский	Омская область	Черлакский район, в 1 км ЮВ с. Соляное	54,355 25	74,628 59	00.04.2 4	00.09.24	Эо	Атм.	Отмечалось	В 1 км ЮВ с. Соляное Черлакского района (пункт наблюдений Черлакский) с апреля 2024 г. отмечена активизация овражной эрозии на овраге № 1-8 – рост вершин оврага и отвершков. Овраг сложной формы, выделяются две вершины. Овраг имеет 4 левых отвершка длиной от 30 до 60,5 м. Левая вершина имеет один правый отвершек, правая вершина имеет два правых отвершка. Морфометрические показатели оврага: длина – 354,4 м, ширина – 19,8 м, площадь – 13101,5 м^2, глубина до 5 м. В 2024 г. прирост в вершине оврага составил 0,4 м, в среднем – 0,47 м. Базис развития: русло р. Иртыш. Овраг развивается в высоком и крутом борту 2-ой надпойменной террасы р. Иртыш, сложенным переслаиванием супесей, суглинков и песков. Фактор активизации – метеорологический (количество атмосферных осадков, интенсивное весеннее снеготаяние). Разрушены земли сельскохозяйственного назначения площадью 0,000011 км^2.		
55-22-00025	Сибирский	Омская область	Черлакский район, в 0,4 км ЮВ с. Татарка	53,948 44	75,075 18	00.04.2 4	00.09.24	Эо	Атм.	Не отмечалось	В 0,4 км ЮВ с. Татарка Черлакского района (пункт наблюдений Черлакский) с апреля 2024 г. отмечена активизация овражной эрозии на овраге № 1-11 – рост вершин отвершков оврага, осыпание грунта в бортах оврага. Овраг сложной формы, с 4-мя вершинами и множеством отвершков. Морфометрические показатели оврага: длина – 217 м, ширина – 30,9 м, площадь – 37900 м^2, глубина до 3 м. В 2024 г. прирост оврага в среднем составил 0,38 м. Базис развития: русло р. Иртыш. Овраг развивается в высоком и крутом борту 2-ой надпойменной террасы р. Иртыш, сложенным переслаиванием супесей и песков. Фактор активизации – метеорологический (количество атмосферных осадков, интенсивное весеннее снеготаяние).		
55-22-00026	Сибирский	Омская область	Черлакский район, в 1 км СЗ с. Елизаветинка	54,272 23	74,658 61	00.04.2 4	00.09.24	Эо	Атм.	Не отмечалось	В 1 км СЗ с. Елизаветинка Черлакского района (пункт наблюдений Черлакский) с апреля 2024 г. отмечена активизация овражной эрозии на овраге № 1-14 – рост вершины оврага. Овраг имеет 2 вершины, русла которых соединены в средней части. Морфометрические показатели оврага: длина – 117,5 м, ширина – 11,2 м, площадь – 1890,4 м^2, глубина до 6 м. В 2024 г. прирост оврага в среднем составил 0,1 м. Базис развития: русло р. Иртыш. Овраг развивается в высоком и крутом борту 2-ой надпойменной террасы р. Иртыш, сложенным переслаиванием супесей и суглинков. Фактор активизации – метеорологический (количество атмосферных осадков, интенсивное весеннее снеготаяние).		

55-22-00029	Сибирский	Омская область	Омский район, в 4 км В д. Покрово-Иртышское	54,560 79	74,229 71	00.04.2 4	00.09.24	Эо	Атм.	Не отмечалось	В 4 км В д. Покрово-Иртышское Омского района (пункт наблюдений Черлакский) с апреля 2024 г. отмечена активизация овражной эрозии на овраге № 1-20 в виде роста вершины оврага и обрушения грунта в бортах оврага. Морфометрические показатели оврага: длина – 26,9 м, ширина – 8,2 м, площадь – 220,5 м^2, глубина до 5 м. В 2024 г. прирост оврага составил 5,7 м. Базис развития: русло р. Иртыш. Овраг развивается в высоком и крутом борту 2-ой надпойменной террасы р. Иртыш, сложенным переслаиванием супесей и суглинков. Фактор активизации – метеорологический (количество атмосферных осадков, интенсивное весеннее снеготаяние).		
55-22-00031	Сибирский	Омская область	Черлакский район, в 1,5 км ЮВ д. Бердниково	54,403 62	74,462 98	00.04.2 4	00.09.24	Эо	Атм.	Не отмечалось	В 1,5 км ЮВ д. Бердниково Черлакского района (пункт наблюдений Черлакский) с апреля 2024 г. отмечена активизация овражной эрозии на овраге № 1-22 – рост вершины оврага, обрушение грунта в бортах оврага. Овраг извилистой формы, с двумя левыми отвершками длиной 28,2 и 63,6 м, шириной 6,2 и 11,4 м и отвершком 2-го порядка длиной 20,2 м, шириной 11,4 м. Морфометрические показатели оврага: длина – 243,8 м, ширина – 12,5 м, площадь – 4512,8 м^2, глубина до 8 м. В 2024 г. прирост оврага составил 0,7 м. Базис развития: русло р. Иртыш. Овраг развивается в высоком и крутом борту 2-ой надпойменной террасы р. Иртыш, сложенным переслаиванием супесей, песков и суглинков. Фактор активизации – метеорологический (количество атмосферных осадков, интенсивное весеннее снеготаяние).		
55-22-00032	Сибирский	Омская область	Черлакский район, в 1 км СЗ с. Елизаветинка	54,274 21	74,654 26	00.04.2 4	00.09.24	Эо	Атм.	Не отмечалось	В 1 км СЗ с. Елизаветинка Черлакского района (пункт наблюдений Черлакский) с апреля 2024 г. отмечена активизация овражной эрозии на овраге № 1-24 – рост вершины отвершка, обрушение грунта в бортах оврага. Овраг сложной формы. Морфометрические показатели оврага: длина – 144,7 м, ширина – 20,4 м, площадь – 3405,4 м^2, глубина до 5,5 м. В 2024 г. прирост оврага в среднем составил 0,5 м. Базис развития: русло р. Иртыш. Овраг развивается в высоком и крутом борту 2-ой надпойменной террасы р. Иртыш, сложенным переслаиванием супесей и суглинков. Фактор активизации – метеорологический (количество атмосферных осадков, интенсивное весеннее снеготаяние).		
55-22-00033	Сибирский	Омская область	Черлакский район, в 1 км СЗ с. Елизаветинка	54,271 70	74,658 51	00.04.2 4	00.09.24	Эо	Атм.	Не отмечалось	В 1 км СЗ с. Елизаветинка Черлакского района (пункт наблюдений Черлакский) с апреля 2024 г. отмечена активизация овражной эрозии на овраге № 1-25 в виде роста вершины оврага. Овраг сложной формы, разветвленный, имеет 4 русла длиной от 71,3 м до 155,4 м. Морфометрические показатели оврага: длина – 155,4 м, ширина – 17,2 м, площадь – 6872,7 м^2, глубина до 7 м. В 2024 г. прирост оврага в среднем составил 0,1 м. Базис развития: русло р. Иртыш. Овраг развивается в высоком и крутом борту 2-ой надпойменной террасы р. Иртыш, сложенным переслаиванием супесей и суглинков. Фактор активизации – метеорологический (количество атмосферных осадков, интенсивное весеннее снеготаяние).		

55-22-00035	Сибирский	Омская область	Черлакский район, в 1,8 км ЮВ пгт. Черлак	54,12969	74,82134	00.04.24	00.09.24	Эо	Атм.	Отмечалось	В 1,8 км ЮВ пгт. Черлак Черлакского района (пункт наблюдений Черлакский) с апреля 2024 г. отмечена активизация овражной эрозии на овраге № 1-27 – рост вершин оврага и отвершка. Овраг извилистой формы, выделяются две вершины. Морфометрические показатели оврага: длина – 134,6 м, ширина – 14,8 м, площадь – 3316,7 м^2, глубина до 2 м. В 2024 г. прирост в вершине оврага составил 0,7 м, в среднем – 0,2 м. Базис развития: русло р. Иртыш. Овраг развивается в высоком и крутом борту 2-ой надпойменной террасы р. Иртыш, сложенным переслаиванием суглинков и глин. Фактор активизации – метеорологический (количество атмосферных осадков, интенсивное весеннее снеготаяние). Разрушены земли сельскохозяйственного назначения площадью 0,000012 км^2.	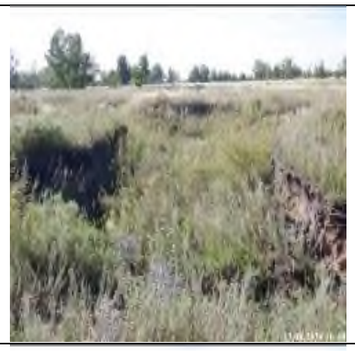	
55-22-00048	Сибирский	Омская область	Русско-Полянский район, в 10 км СВ с. Калинино	53,70196	73,42667	00.04.24	00.09.24	Эо	Атм.	Не отмечалось	В 10 км СВ с. Калинино Русско-Полянского района (пункт наблюдений Калининский) с апреля 2024 г. отмечена активизация овражной эрозии на овраге № 5-1 в виде роста вершины оврага. Овраг линейной извилистой формы. Морфометрические показатели оврага: длина – 48,4 м, ширина – 8,5 м, площадь – 411,4 м^2, глубина до 2 м. В 2024 г. прирост оврага составил 0,5 м. Базис развития: р. Тлеусай. Овраг развивается на склонах крутизной 30-70 град прилегающих к логу Тлеусай, сложенных суглинками и глинами. Фактор активизации – метеорологический (количество атмосферных осадков, интенсивное весеннее снеготаяние).		
55-22-00049	Сибирский	Омская область	Русско-Полянский район, в 9 км СВ с. Калинино	53,71214	73,38084	00.04.24	00.09.24	Эо	Атм.	Не отмечалось	В 9 км СВ с. Калинино Русско-Полянского района (пункт наблюдений Калининский) с апреля 2024 г. отмечена активизация овражной эрозии на овраге № 5-2 в виде роста вершины оврага. Русло оврага имеет извилистую форму со множеством отвершков. Морфометрические показатели оврага: длина – 57,8 м, ширина – 12,5 м, площадь – 860,7 м^2, глубина до 5 м. В 2024 г. прирост оврага составил 0,2 м. Базис развития: р. Тлеусай. Овраг развивается на склонах крутизной 30-70 град. прилегающих к логу Тлеусай, сложенных суглинками и глинами. Фактор активизации – метеорологический (количество атмосферных осадков, интенсивное весеннее снеготаяние).		
55-22-00050	Сибирский	Омская область	Русско-Полянский район, в 10,3 км СВ с. Калинино	53,70145	73,40007	00.04.24	00.09.24	Эо	Атм.	Отмечалось	В 10,3 км СВ с. Калинино Русско-Полянского района (пункт наблюдений Калининский) с апреля 2024 г. отмечена активизация овражной эрозии на овраге № 5-4 в виде роста вершин оврага и отвершка, обрушений грунта по бортам оврага. Овраг линейной извилистой формы. Морфометрические показатели оврага: длина – 470,8 м, ширина – 17,0 м, площадь – 8051,7 м^2, глубина до 3 м. В 2024 г. прирост в вершине оврага составил 0,7 м, в среднем – 0,5 м. Базис развития: р. Тлеусай. Овраг развивается на склонах крутизной 30-70 град. прилегающих к логу Тлеусай, сложенных суглинками и глинами. Фактор активизации – метеорологический (количество атмосферных осадков, интенсивное весеннее снеготаяние). Разрушены земли сельскохозяйственного назначения площадью 0,000013 км^2.		

55-22-00051	Сибирский	Омская область	Русско-Полянский район, в 10,6 км СВ с. Калинино	53,714 61	73,376 91	00.04.2 4	00.09.24	Эо	Атм.	Отмечалось	В 10,6 км СВ с. Калинино Русско-Полянского района (пункт наблюдений Калининский) с апреля 2024 г. отмечена активизация овражной эрозии на овраге № 5-5 – рост вершины оврага. Вытянутый овраг извилистой формы. Морфометрические показатели оврага: длина – 512,5 м, ширина – 17,6 м, площадь – 9020 м^2, глубина до 5 м. В 2024 г. прирост оврага составил 1,4 м. Базис развития: р. Тлеусай. Овраг развивается на склонах крутизной 30-70 град. прилегающих к логу Тлеусай, сложенных суглинками и глинами. Фактор активизации – метеорологический (количество атмосферных осадков, интенсивное весеннее снеготаяние). Разрушены земли сельскохозяйственного назначения площадью 0,000025 км^2.		
55-22-00052	Сибирский	Омская область	Москаленский район, в 3,9 км З аула Кзыл-Агаш	54,723 76	71,790 33	00.04.2 4	00.09.24	Эо	Атм.	Не отмечалось	В 3,9 км З от аула Кзыл-Агаш Москаленского района (пункт наблюдений оз. Эбейты) с апреля 2024 г. отмечена активизация овражной эрозии на овраге № 8-1 – обрушение грунта в бортах оврага. Овраг линейной формы. В средней части оврага под дорогой проложена водопропускная труба по руслу оврага. Морфометрические показатели оврага: длина – 1498 м, ширина – 3,9 м, площадь – 5842,2 м^2, глубина до 2 м. Прирост в вершине оврага не зафиксирован. Базис развития: оз. Эбейты. Овраг развивается на пологонаклонной слаборасчлененной озерной равнине оз. Эбейты, сложенной супесями, суглинками и глинами. Фактор активизации – метеорологический (количество атмосферных осадков, интенсивное весеннее снеготаяние).		
55-22-00054	Сибирский	Омская область	Москаленский район, в 2,3 км ЮЗ аула Тумба	54,714 75	71,708 05	00.04.2 4	00.09.24	Эо	Атм.	Не отмечалось	В 2,3 км ЮЗ аула Тумба Москаленского района (пункт наблюдений оз. Эбейты) с апреля 2024 г. отмечена активизация овражной эрозии на овраге № 8-3 – рост вершины оврага. Овраг линейной формы. Морфометрические показатели оврага: длина – 383,6 м, ширина – 6,1 м, площадь – 2340 м^2, глубина до 1,5 м. В 2024 г. прирост оврага составил 1,4 м. Базис развития: оз. Эбейты. Овраг развивается на пологонаклонной слаборасчлененной озерной равнине оз. Эбейты, сложенной супесями, суглинками и глинами. Фактор активизации – метеорологический (количество атмосферных осадков, интенсивное весеннее снеготаяние).		
55-22-00062	Сибирский	Омская область	Омский район, с. Новотроицкое	55,263 75	73,129 10	00.04.2 4	00.09.24	Эо	Атм.	Не отмечалось	В с. Новотроицкое Омского района с апреля 2024 г. отмечена активизация овражной эрозии в виде роста вершины оврага, осыпания грунта в бортах оврага. Овраг линейной формы. Морфометрические показатели оврага: длина – 128,2 м, ширина – 13,9 м, площадь – 1785 м^2, глубина до 6,5 м. Базис развития: р. Иртыш. Овраг развивается в высоком и крутом борту 2-ой надпойменной террасы р. Иртыш, сложенным переслаиванием песков, супесей, суглинков и глин. Фактор активизации – метеорологический (количество атмосферных осадков, интенсивное весеннее снеготаяние).		

70-13-00001	Сибирский	Томская область	Колпашевский район, с. Озёрное	58,22679	82,89238	00.04.24	00.08.24	Пт	Атм., гидрол.	Отмечалось	В с. Озерное Колпашевского района, (пункт наблюдений с. Озерное) с апреля 2024 г. отмечается процесс подтопления на территории села. Процесс в стадии развития. Уровень грунтовых вод в дренажных канавах преимущественно установился на отметках 0,5-1,0 м. Отложения поймы р. Обь, представленные переслаиванием песчано-глинистых пород. Возраст проявления – четвертичный. Активность процесса средняя. Факторы активизации: метеорологический (количество атмосферных осадков), гидрологический. Подтопление развивается на площади 0,542 км^2. Подтоплены приусадебные участки по ул. Луговая, Зеленая, Молодежная, Рабочая, Почтовая, Совхозная, Трактовая. Всего 44 приусадебных участков.		
70-10-00003	Сибирский	Томская область	Кривошеинский район, с. Кривошеино	57,32606	83,93977	00.04.24	Не завершилась	Об	Атм., гидрол.	Не отмечалось	В с. Кривошеино Кривошеинского района (пункт наблюдений Кривошеино) с апреля 2024 г. отмечалась активизация обвального процесса. Процесс в стадии развития. Базис развития – бечевник р. Обь. Морфологические показатели: длина уступа 0,6 км, высота уступа 28-34 м. Отложения 3 надпойменной террасы р. Обь, представленные переслаиванием песчано-глинистых пород. Возраст проявления – четвертичный, активизация в бесснежный период (апрель-октябрь). Активность процесса средняя. Обрушения имеют локальный характер, поверхность склона частично заросла травой. По ул. Колхозной уступ находится преимущественно в стабильном состоянии, у дома 37 зафиксировано обрушение в виде полуцирка шириной 2,5-3,5 м. Скорость разрушения уступа составила от 0 до 1,83 м/год, в среднем 0,34 м/год. Факторы активизации: метеорологический (количество атмосферных осадков), гидрологический. Воздействие отсутствует.		
70-11-00026	Сибирский	Томская область	г. Томск, мкр. Солнечный	56,50694	85,03610	00.04.24	Не завершилась	Оп	Атм., гидрогеол	Не отмечалось	В г. Томске, в мкр. Солнечный (пункт наблюдений мкр. Солнечный) с апреля 2024 г. отмечалась активизация оползневого процесса. Базис развития – пойма р. Ларинка. Морфологические показатели: оползень выдавливания 1 порядка № 1, длиной 80 м, шириной – 35 м, площадь – 0,0028 км^2, мощность – 8 м. Зафиксированные смещения – от 1 до 19 мм. В целом, в 2024 г. смещения составили от 8 до 36 мм Палеоген-четвертичные отложения представлены переслаиванием песчано-глинистых пород. Возраст проявления – четвертичный, активизация в бесснежный период (апрель-октябрь). Активность процессов средняя, поверхность оползневых тел разбита трещинами растяжения и сброса, оползневые тела зарастают травой и древесной растительностью. Факторы активизации: метеорологический, гидрогеологический. Негативное воздействие отсутствует.		
70-10-00001	Сибирский	Томская область	Колпашевский район, г. Колпашево	58,31403	82,93646	00.05.24	Не завершилась	Об	Атм., гидрол.	Отмечалось	В г. Колпашево Колпашевского района (пункт наблюдений Колпашево) с мая 2024 г. отмечалась активизация обвального процесса. Процесс в стадии развития. Базис развития – бечевник р. Оби. Морфологические показатели: длина уступа 3,5 км, высота до 20 м. Отложения 3 надпойменной террасы р. Оби, представлены переслаиванием песчано-глинистых пород. Возраст проявления – четвертичный, активизация в бесснежный период (май-октябрь). Активность процесса высокая. На поверхности равнины, примыкающей к склону, участках прослеживаются трещины отрыва длиной 2,0-3,5 и до 7,0 м, ширина формирующихся блоков достигает 1,5-2,0 м. Скорость разрушения уступа составила от 0,1 до 14,74 м/год, в среднем – 3,87 м/год. Факторы активизации: метеорологический (количество атмосферных осадков), гидрологический. Негативному воздействию подвержены жилые дома по ул. Октябрьская 23, Панова 38.		
70-11-00001	Сибирский	Томская область	г. Томск, Лагерный сад	56,45206	84,94466	00.08.24	Не завершилась	Оп	Атм., гидрогеол.	Не отмечалось	В г. Томске, в Лагерном саду (пункт наблюдений Лагерный сад) с августа 2024 г. наблюдалась активизация оползневого процесса. Оползень-поток 1 порядка № 1 имеет длину 65 м, ширину - 33 м, площадь – 0,002145 км^2, мощность - 5 м. Зафиксированные смещения – от 10 до 60 мм. В целом, в 2024 г. смещения составили от 10 до 40 мм. Палеоген-четвертичные отложения представлены переслаиванием песчано-глинистых пород. Возраст проявления – четвертичный, активизация в бесснежный период (апрель-октябрь). Активность процесса низкая, поверхность оползневого тела разбита трещинами растяжения и сброса, уровень подземных вод находится выше поверхности скольжения, оползневые тела зарастают травой и древесной растительностью. Факторы активизации: метеорологический, гидрогеологический. Проведено уполаживание		

											(террасирование склона), построены дренажные сооружения), включающие дренажную горную выработку (ДГВ), дренажные прорези, присклоновые дренажи), контрбанкет. Необходимо полное завершение строительства противооползневых сооружений, в соответствии с проектом.		
70-11-00017	Сибирский	Томская область	г. Томск, Лагерный сад	56,44603	84,96688	00.08.24	Не завершилась	Оп	Атм., гидрогеол.	Не отмечалось	В г. Томске, в Лагерном саду (пункт наблюдений Лагерный сад) с августа 2024 г. наблюдалась активизация оползневого процесса. Оползень скольжения 1 порядка № 16 имеет длину 180 м, ширину – 85 м, площадь – 0,0153 км^2, мощность – 16 м. Зафиксированные смещения – от 7 до 16 мм. В целом, в 2024 г. смещения составили от 20 до 40 мм Палеоген-четвертичные отложения представлены переслаиванием песчано-глинистых пород. Возраст проявления – четвертичный, активизация в бесснежный период (апрель-октябрь). Активность процесса низкая, поверхность оползневого тела разбита трещинами растяжения и сброса, уровень подземных вод находится выше поверхности скольжения, оползневые тела зарастают травой и древесной растительностью. Факторы активизации: метеорологический, гидрогеологический. Проведено уполаживание (террасирование склона), построены дренажные сооружения), включающие дренажную горную выработку (ДГВ), дренажные прорези, присклоновые дренажи), контрбанкет. Необходимо полное завершение строительства противооползневых сооружений, в соответствии с проектом.		
70-11-00018	Сибирский	Томская область	г. Томск, Лагерный сад	56,44603	84,96688	00.08.24	Не завершилась	Оп	Атм., гидрогеол.	Не отмечалось	В г. Томске, в Лагерном саду (пункт наблюдений Лагерный сад) с августа 2024 г. наблюдалась активизация оползневого процесса. Оползень скольжения 2 порядка № 16а имеет длину 60 м, ширину – 35 м, площадь – 0,0021 м^2, мощность – 3 м. Зафиксированные смещения – от 20 до 40 мм. В целом, в 2024 г. смещения составили от 10 до 90 мм Палеоген-четвертичные отложения представлены переслаиванием песчано-глинистых пород. Возраст проявления – четвертичный, активизация в бесснежный период (апрель-октябрь). Активность процесса низкая, поверхность оползневых тел разбита трещинами растяжения и сброса, уровень подземных вод находится выше поверхности скольжения, оползневое тело зарастает травой и древесной растительностью. Факторы активизации: метеорологический, гидрогеологический. Проведено уполаживание (террасирование склона), построены дренажные сооружения), включающие дренажную горную выработку (ДГВ), дренажные прорези, присклоновые дренажи), контрбанкет. Необходимо полное завершение строительства противооползневых сооружений, в соответствии с проектом.		
03-22-00006	Дальневосточный	Республика Бурятия	Мухоршибирский район, с Хонхолой	51,13556	108,25519	00.07.24	00.09.24	Эо	Атм.	Не отмечалось	В с. Хонхолой Мухоршибирского района (пункт наблюдений с. Хонхолой), овраг №1 развивается в сторону а/дороги республиканского значения. Овраг имеет длину 352 м, ширину 13 м, площадь 4576 м^2, глубину от 1 до 12 м. Вершина оврага ограничена водопропуском под полотном федеральной дороги, где она укреплена габионным сооружением. Стенки оврага почти на всем протяжении вертикальные, ближе к устьевой части выполаживаются. По бортам оврага наблюдаются трещины отрыва, осыпания и обвалы грунта. Значительная часть тальвега переработана. На овраге насчитываются около 6 плохо выраженных отвершков. Активность низкая. Базис развития: тальвег оврага. Литологический состав горных пород представлен супесями, суглинками, песками. Фактор активизации: метеорологический (выпадение атмосферных осадков). Негативное воздействие отсутствует.		
03-22-00007	Дальневосточный	Республика Бурятия	Мухоршибирский район, с Хонхолой	51,13614	108,26919	00.07.24	00.09.24	Эо	Атм.	Отмечалось	В с. Хонхолой Мухоршибирского района (пункт наблюдений с. Хонхолой) в овраге №2 прирост в вершине составил 89 м. Длина оврага составляет 920 м, ширина 31 м, площадь 28520 м², глубина 1-12 м. Рост оврага наблюдается в вершине, в его стенках наблюдаются вывалы, осыпания грунта. Склоны оврага в его верхней трети практически вертикальные, далее их уклон становится менее крутым, и ближе к устью выполаживаются. Выделяются два хорошо выраженных отвершка, которые не получили развития в 2024 г. Активность высокая. Базис развития: тальвег оврага. Литологический состав горных пород представлен супесями, суглинками, песками. Фактор активизации: метеорологический (выпадение атмосферных осадков). Разрушение пахотных земель площадью около 0,002956 км².		

03-22-00008	Дальневосточный	Республика Бурятия	Мухоршибирский район, в 0,34 км С с. Хонхолой	51,140 25	108,24 284	00.07.2 4	00.09.24	Эо	Атм.	Отмечалось	В 0,34 км С с. Хонхолой Мухоршибирского района (пункт наблюдений с. Хонхолой) в овраге №3 прирост в вершине составил 28 м. Длина оврага 453 м, ширина от 3 до 12 м, глубина от 1 до 3 м, площадь оврага 5436 м². Рост оврага наблюдается в вершине. Стенки оврага в его верхней трети вертикальные, наблюдаются вывалы, осыпания грунта. Далее стенки выполаживаются, зарастают степной растительностью. Активность высокая. Базис развития: тальвег оврага Литологический состав горных пород представлен песками, супесями, суглинками (aQ_{III}). Фактор активизации: метеорологический (выпадение атмосферных осадков). Разрушение пахотных земель площадью около 0,000336 км².	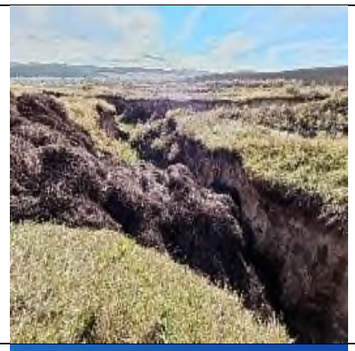	
03-22-00009	Дальневосточный	Республика Бурятия	Мухоршибирский район, в 1,1 км В с. Хонхолой	51,133 48	108,28 615	00.07.2 4	00.09.24	Эо	Атм.	Отмечалось	В 1,1 км В с. Хонхолой Мухоршибирского района (пункт наблюдений с. Хонхолой) в овраге №4 прирост в вершине составил 9 м. Длина оврага 1419 м, ширина 10 м, глубина от 1 до 5 м, площадь 14295 м². Зафиксирован рост вершин его отвершков до 22 и 83 м. Наблюдаются оползания и осыпи грунта в стенках оврага, без значительного изменения положения бровки. Стенки оврага практически на всем его протяжении вертикальные, крутые. Активность высокая. Базис развития: руч. Сангутайка. Литологический состав горных пород представлен песками, супесями, суглинками (aQ_{III}). Фактор активизации: метеорологический (выпадение атмосферных осадков). Разрушение пахотных земель площадью около 0,000195 км².	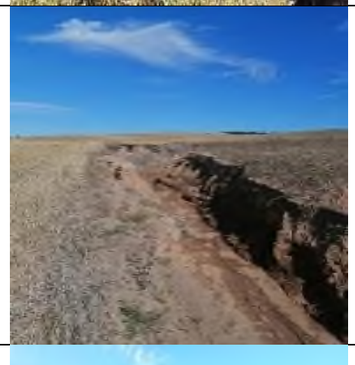	
03-22-00013	Дальневосточный	Республика Бурятия	Тарбагатайский район, с. Десятниково	51,423 37	107,43 972	00.07.2 4	00.09.24	Эо	Атм.	Не отмечалось	В с. Десятниково Тарбагатайского района (пункт наблюдений с. Десятниково) в овраге №1 прирост в вершине составил 6 м. Длина оврага 380 м, ширина 15, глубина 10 м, площадь 5700 м². Активность овражной эрозии проявляется в осыпании, обвала грунта в стенках оврага. Активность высокая. Базис развития: р. Тарбагатайка. Литологический состав горных пород - супеси, суглинки, пески. Фактор активизации: атмосферные осадки. Негативное воздействие отсутствует.	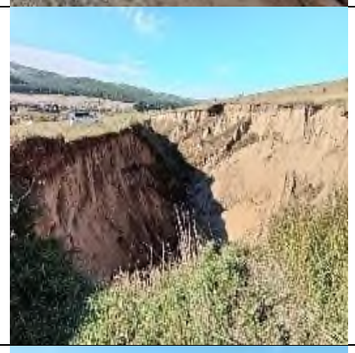	
03-22-00014	Дальневосточный	Республика Бурятия	Тарбагатайский район, с. Десятниково	51,425 77	107,44 980	00.07.2 4	00.09.24	Эо	Атм.	Отмечалось	В с. Десятниково Тарбагатайского района (пункт наблюдений с. Десятниково) в овраге №2 прирост в вершине составил 12 м, отвершке 11 м. Длина оврага 1590, ширина 32 м, глубина 12 м, площадь 48960 м². Активность овражной эрозии проявляется в росте вершины оврага и отвершка - 4 и 5 м. Основные процессы оврагообразования наблюдаются в верхней его трети. Здесь довольно крутые стены оврага, практически вертикальные с осыпанием и оползанием грунта. Наблюдается участок значительного оползания блока грунта (длина трещины отрыва до 30 м). Далее стенки оврага выполаживаются. Устье оврага спланировано в водопропускную трубу под автомобильной дорогой федерального значения. Базис развития: р. Тарбагатайка. Литологический состав горных пород - супеси, суглинки, пески. Фактор активизации: атмосферные осадки. Разрушение пахотных земель площадью около 0,000384 км².		
03-13-00001	Дальневосточный	Республика Бурятия	Кяхтинский район, с. Уладый	50,173 27	107,64 102	00.08.2 4	00.09.24	Пт	Атм.	Отмечалось	В с. Уладый Кяхтинского района (пункт наблюдений с. Уладый) в марте и августе-сентябре 2024 г. выступила вода в подпольях 4 домов по ул. Верховская. Период активизации март, август-сентябрь 2024 г. Общая площадь подтопления составила 0,015 км². На момент обследования в 4-х домах по ул. Верховская в подпольных помещениях наблюдалось повышенное увлажнение грунтов, уровень подземных вод здесь был менее 2,0 м. Наибольшая интенсивность подтопления отмечается в середине весеннего периода, когда грунтовые воды практически выходят на поверхность. Подтопление, наблюдаемое в весенний период обусловлено ростом гидростатического давления вследствие сезонного		

											промораживания грунтов. В летне-осенний период подтопление связано с выпадением атмосферных осадков. Литологический состав горных пород в пределах проявления представлен песками (aQ_{III}). Процесс носит сезонный характер. Активность низкая. Фактор активизации: метеорологический (выпадение осадков в летний период). Мероприятия инженерной защиты не проводятся.		
03-13-00004	Дальневосточный	Республика Бурятия	Иволгинский район, с. Поселье	51,80654	107,53273	00.08.24	00.09.24	Пт	Атм.	Отмечалось	В с. Поселье Иволгинского района в августе-сентябре 2024 г. произошла активизация процесса подтопления. Площадь подтопления составляет 1,365 км². Процесс связан с летне-осенним паводковым периодом на р. Селенга. Сезонный подъём уровня р. Селенга обусловлен интенсивными и продолжительными атмосферными осадками, приходящимися на летне-осенний период. Умеренному подтоплению (УПВ 0,3-2,0 м) подверглось около 65% территории, и 35% площади испытывает слабое подтопление (УПВ 2-3 м). Литологический состав горных пород: гравий, галька, пески, супеси, суглинки, глины. Процесс носит сезонный характер. Активность низкая. Фактор активизации: метеорологический (выпадение осадков в летне-осенний период). В результате подъёма уровня грунтовых вод происходит подтопление подвальных помещений, приводит к деформациям построек. Как одна из возможных мер борьбы с подтоплением – переселение населения с территорий сильного подтопления.		
03-13-00005	Дальневосточный	Республика Бурятия	Кабанский район, с. Кабанск	52,05170	106,65446	00.08.24	00.09.24	Пт	Атм.	Отмечалось	Процесс связан с летне-осенним паводковым периодом на р. Селенга. Сезонный подъём уровня р. Селенга обусловлен интенсивными и продолжительными атмосферными осадками, приходящимися на летне-осенний период. Умеренному подтоплению (УПВ 0,3-2,0 м) подверглось около 85% территории, и 15% площади испытывает слабое подтопление (УПВ 2-3 м). Процесс носит сезонный характер. Активность низкая. Фактор активизации: метеорологический (выпадение осадков в летне-осенний период). Литологический состав горных пород: гравий, галька, пески, супеси, суглинки, глины. В результате подъёма уровня грунтовых вод происходит подтопление подвальных помещений, приводит к деформациям построек. Как одна из возможных мер борьбы с подтоплением – переселение населения с территорий сильного подтопления.		
14-27-001-	Дальневосточный	Республика Саха Якутия	Нерюнгринский район, ав/д А-360	57,20328	124,81113	00.06.24	07.09.24	ГР	Техн., атм.	Не отмечалось	В Нерюнгринском районе на 449 км ав/д А-360 отмечалась активизация осыпного процесса на придорожных склонах, длиной 155 м в виде осыпания мелкой и крупной глыб выветрелых пород нижне-среднеюрского возраста из песчаников, алевролитов по склону в придорожный кювет. Основные факторы активизации: атмосферные осадки и техногенное воздействие. Защитные сооружения отсутствуют.		
14-27-002	Дальневосточный	Республика Саха Якутия	Нерюнгринский район, ав/д А-360	57,2024	124,814453	00.06.24	07.09.24	ГР	Техн., атм.	Не отмечалось	В Нерюнгринском районе на 449 км ав/д А-360 отмечалась активизация осыпного процесса на придорожных склонах, длиной 135 м в виде осыпания мелкой и крупной глыб выветрелых пород нижне-среднеюрского возраста из песчаников, алевролитов по склонув придорожный кювет по склону. Основные факторы активизации: атмосферные осадки и техногенное воздействие. Защитные сооружения отсутствуют.		

14-27-003	Дальневосточный	Республика Саха Якутия	Алданский улус 823 км А 360	59,638448	127,094097	00.06.24	04.09.24	ГР	Техн., атм.	Не отмечалось	В Алданском улусе на 823 км ав/д А-360 отмечалась активизация осыпного процесса на придорожных склонах, длиной 90 м в виде осыпания мелкой и крупной глыб из выветрелых нижнекембрийских осадочных пород (доломиты, мергели) по склону. Основные факторы активизации: атмосферные осадки и техногенное воздействие. Защитные сооружения отсутствуют.		
14-27-004	Дальневосточный	Республика Саха Якутия	Алданский улус 823 км А-360	59,637518	127,095675	00.06.24	04.09.24	ГР	Техн., атм.	Не отмечалось	В Алданском улусе на 823 км ав/д А-360 проявление осыпных процессов на придорожных склонах длиной 40 м в виде осыпания мелкой и крупной глыб из выветрелых нижнекембрийских осадочных пород (доломиты, мергели) по склону. Основные факторы активизации атмосферные осадки и техногенное воздействие. Защитные сооружения отсутствуют.		
25-11- 0001	Дальневосточный	Приморский край	Надеждинский муниципальный район, п. Раздольное	43,421538	131,944483	00.05.24	30.09.24	Оп	Техн., атм.	Отмечалось	В Надеждинском муниципальном районе, п. Раздольное отмечалась активизация оползневого процесса. Точка наблюдения расположена на участке 717,35 км автодороги А-370 «Уссури», происходят деформации придорожной склоновой поверхности в результате активизации оползневого процесса. Степень активности – высокая. Ширина оползневого тела 47,0 м, длиной – 24,5 м с образованием стенок отрыва до 1,8-2,0 м, уклон поверхности склона -40,5°. В парагенезе с оползневым наблюдается развитие эрозионного процесса. Основные факторы активизации атмосферные осадки и техногенное воздействие.		
25-11- 0002	Дальневосточный	Приморский край	Надеждинский муниципальный район, п. Раздольное	43,579436	131,958641	00.06.24	30.09.24	Оп	Техн., атм.	Отмечалось	В Надеждинском муниципальном районе, п. Раздольное отмечалась активизация оползневого процесса. Точка наблюдения расположена в 0,375 км от начала объездной дороги от 689,75 км автодороги А-370 «Уссури», придорожная склоновая поверхность. Активизация оползневого процесса блочно-поточного подтипа. В результате активизации оползневого процесса происходят деформации придорожной склоновой поверхности. Степень активности –высокая. Ширина оползневого тел 63,0 м, длина – 25,0 м с образованием стенок отрыва до 2,5-3,0 м, уклон поверхности склона - 27-30°. Основные факторы активизации атмосферные осадки и техногенное воздействие.		

25-11- 0003	Дальневосточный	Приморский край	Надеждинский муниципальный район, п. Раздольное	43,578216	131,958402	00.06.24	30.09.24	Оп	Техн., атм.	Отмечалось	В Надеждинском муниципальном районе, п. Раздольное отмечалась активизация оползневого процесса. Точка наблюдения расположена в 0,498 км от начала объездной дороги от 689,75 км автодороги А-370 «Уссури», придорожная склоновая поверхность. Активизация оползневого процесса блочно-поточного подтипа. Степень активности – высокая. В результате активизации оползневого процесса происходят деформации придорожной склоновой поверхности. Ширина оползневого тел 63,0 м, длина –25,0 м с образованием стенок отрыва до 2,5-3,0 м, уклон поверхности склона -27-30°. Основные факторы активизации атмосферные осадки и техногенное воздействие.		
25-11- 0004	Дальневосточный	Приморский край	Надеждинский муниципальный район, п. Раздольное	43,598661	131,985177	00.05.24	30.09.24	Оп	Техн., атм.	Отмечалось	В Надеждинском муниципальном районе, п. Раздольное отмечалась активизация оползневого процесса. На участке 686, 8 км автодороги А-370 "Уссури" Хабаровск-Владивосток в результате активизации оползневого процесса происходят деформации придорожной склоновой поверхности длиной до 74,0 м, длина оползня ~ 23,0 м, в головной части сформированы бугры выдавливания. Основные факторы активизации атмосферные осадки и техногенное воздействие.		
25-11-0005	Дальневосточный	Приморский край	Уссурийский городской округ	43,761000	132,082863	00.05.24	30.09.24	Оп	Атм.	Отмечалось	В Уссурийском городском округе на участке 665,03 км автодороги А-370 "Уссури" Хабаровск-Владивосток наблюдалась активизация оползневого процесса, в результате оползания грунтовых масс деформировано придорожное леерное ограждение длиной 229 м. Основные факторы активизации - атмосферные осадки.		
25-12-0006	Дальневосточный	Приморский край	Чугуевский муниципальный округ	44,373889	134,508389	00.05.24	27.08.24	Ос	Техн., атм.	Отмечалось	В Чугуевском городском округе на участке 244,3 км автодороги Осиновка-Р. Пристань отмечалась активизация осыпного процесса с высыпанием катакластического материала на дорожное полотно шириной до 119,0 м, при длине осыпного шлейфа -33,4 м, в результате активизации осыпного процесса происходит деформация придорожного склона. Основные факторы активизации - атмосферные осадки.		

25-11-0007	Дальневосточный	Приморский край	Кавалеровский муниципальный округ	44,312083	135,226444	00.08.24	28.08.24	Оп	Атм.	Отмечалось	В Кавалеровском муниципальном округе на участке 314,5 км автодороги Осиновка-Р. Пристань отмечалась активизация оползневого процесса. В результате смещения происходит деформация придорожного склона и перекрытие автодороги. Параметры проявления: ширина – 10,0 м; длина ~ 8,0 м. Основные факторы активизации - атмосферные осадки.		
25-11-0008	Дальневосточный	Приморский край	Кавалеровский муниципальный округ	44,246194	135,175222	00.08.24	28.08.24	Оп	Атм.	Отмечалось	В Кавалеровском муниципальном округе на участке 404,2 км автодороги Находка-Ольга-Кавалерово отмечалась активизация оползневого процесса. В результате смещения происходит деформация придорожного склона и перекрытие автодороги. Параметры проявления: ширина – 12,0 м; длина ~ 42,0 м. Основные факторы активизации - атмосферные осадки.	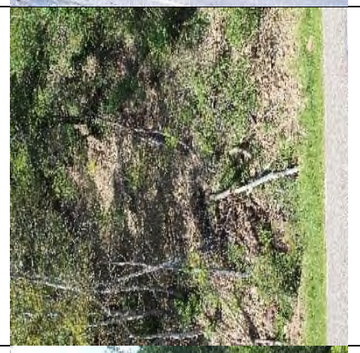	
25-12-0009	Дальневосточный	Приморский край	Кавалеровский муниципальный округ	44,246527	135,176250	00.08.24	30.09.24	Ос	Техн., атм.	Отмечалось	В Кавалеровском муниципальном округе на участке 404,1 км автодороги Находка-Ольга-Кавалерово отмечалась активизация осыпного процесса. В результате смещения происходит деформация придорожного склона и перекрытие автодороги. Параметры проявления: ширина – 65,0 м; длина ~ 46,7 м. Основные факторы активизации атмосферные осадки и техногенное воздействие.		
27-27-007	Дальневосточный	Хабаровский край	Нанайский район, 68 км ав/дороги А-376	49,38384	137,68639	00.07.24	00.09.24	ГР	Техн., атм.	Не отмечалось	На участке 68 км автодороги А-376 у подножья придорожного склона высотой до 10м с уклоном до 60°, сложенном выветрелыми гравелистыми печаниками на участке 50 м периодически происходит осыпание с образованием шлейфа у подножья склона и выносом осыпного материала на полотно автодороги.. Проявление современное, его активность связана с подрезкой склона при строительстве автодороги и климатическими факторами, приводящими к переувлажнению грунтов. Защитные сооружения отсутствуют. Во избежание негативных последствий рекомендуется агросолесомелиорация склона, устройство специальных удерживающих устройств. В момент обследования негативного воздействия не отмечено.		

27-27-008	Дальневосточный	Хабаровский край	Нанайский район, 69 км ав/дороги А-376	49,396 10	137,67 424	00.07.2 4	00.09.24	ГР	Техн., атм.	Не отмечалось	На участке 69 км автодороги А-376 у подножья придорожного склона высотой до 10м с уклоном до 60º, сложенном выветрелыми гравелистыми печаниками на участке 50 м периодически происходит осыпание с откоса в виде шлейфа у подножья склона и выносом осыпного материала на полотно автодороги. Проявление современное, его активность связана с подрезкой склона при строительстве автодороги и климатическими факторами, приводящими к переувлажнению грунтов. Защитные сооружения отсутствуют. Во избежание негативных последствий рекомендуется агросолесомелиорация склона, устройство специальных удерживающих устройств. В момент обследования негативного воздействия не отмечено.		
27-27-009	Дальневосточный	Хабаровский край	Хабаровский край, Нанайский район, участок автодороги А376, 76 км от Лидоги, слева по ходу (руч. Незаметный)	47,355 29	137,79 477	00.07.2 4	00.09.24	ГР	Техн., атм.	Не отмечалось	На участке 76 км автодороги А-376 у подножья склона высотой до 10м с уклоном до 60º, сложенном выветрелыми гравелистыми печаниками образован осыпной шлейф из песчаных пород длиной 50 м выносом осыпного материала на полотно автодороги. Осыпной материал с полотна автодороги периодически устраняются дорожными службами. Проявление современное, его активность связана с подрезкой склона при строительстве автодороги и климатическими факторами, приводящими к переувлажнению грунтов. Защитные сооружения отсутствуют. Во избежание негативных последствий рекомендуется агросолесомелиорация склона, устройство специальных удерживающих устройств. В момент обследования негативного воздействия не отмечено.	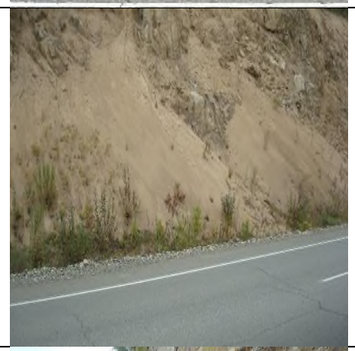	
27-27-010	Дальневосточный	Хабаровский край	Нанайский район, 81 км автодороги Лидога-Ванино	49,335 63	137,82 433	00.07.2 4	00.09.24	ГР	Техн., атм.	Не отмечалось	На участке 81 км от Лидоги, 297км от Хабаровска автодороги А-376 в Нанайском районе у подножья придорожного склона высотой до 47м с углом уклона до 90º - обвально-осыпное накопление разрушенных пород протяженностью до 33,0 м высотой до 12,0м. Проявление современное, степень активности низкая, связана с подрезкой и зачисткой склона при строительстве автодороги и климатическими факторами, приводящими к переувлажнению грунтов. Защитные и укрепляющие сооружения отсутствуют. Рекомендуется устройство удерживающих сооружений и конструкций.		
27-27-012	Дальневосточный	Хабаровский край	Нанайский район, 85 км автодороги Лидога-Ванино	49,305 19	137,89 920	00.07.2 4	00.09.24	ГР	Техн., атм.	Не отмечалось	На участке 85км от Лидоги, 301-302 км от Хабаровска, в Нанайском районе у подножья придорожного склона высотой до 24м с углом уклона до 90º - обвально-осыпной шлейф песчано-гравийных пород протяженностью до 33,0 м высотой до 12,0м. Проявление современное, степень активности низкая, связана с подрезкой и зачисткой склона при строительстве автодороги и климатическими факторами, приводящими к переувлажнению грунтов. Защитные и укрепляющие сооружения отсутствуют. Рекомендуется устройство удерживающих сооружений и конструкций.	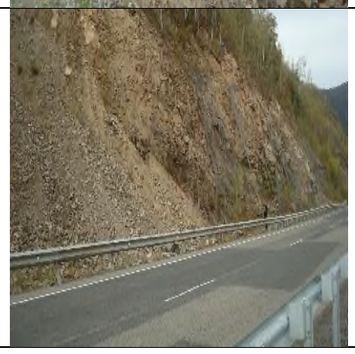	

27-27-013	Дальневосточный	Хабаровский край	Нанайский район, 86км автодороги Лидога-Ванино	49,321 37	137,85 031	00.07.2 4	00.09.24	ГР	Техн., атм.	Не отмечалось	В Нанайском районе на участке 85-86 км автодороги А-376 у подножья придорожногосклона сложенного трещиноватыми породами юрско-мелового возраста (пегматиты, диориты) высотой до 20м с уклоном до 60º осыпное проявление в виде конуса длиной у подножья до 7м, высотой до 15м. Наблюдается постоянное осыпание и выкатывание крупного обломочного материала, вынос более мелкой фракции по лоткам. Выносы осыпного материала на полотно автодороги периодически устраняются дорожными службами. Проявление современное, его активность связана с подрезкой склона при строительстве автодороги и климатическими факторами, приводящими к переувлажнению грунтов. Защитные сооружения отсутствуют. Во избежание негативных последствий рекомендуется зачистка склона, устройство специальных удерживающих устройств. В момент обследования негативного воздействия не отмечено.		
27-27-014	Дальневосточный	Хабаровский край	Нанайский район, 127 км автодороги Лидога-Ванино	49,229 93	138,26 413	00.07.2 4	00.09.24	ГР	Техн., атм.	Не отмечалось	В Нанайском районе на участке 127 км автодороги А-376 у подножья придорожного склона высотой до 20 м с уклоном до 60º, сложенном породами юрско-мелового возраста осыпные проявления в виде шлейфа высотой до 1,5 м на участке 100 м. Выносы обвально-осыпного материала на полотно автодороги периодически устраняются дорожными службами. Проявление современное, его активность связана с подрезкой и зачисткой склона при строительстве автодороги и климатическими факторами, приводящими к переувлажнению грунтов. Защитные сооружения отсутствуют. Во избежание негативных последствий рекомендуется рельефа склона, агросолесомелиорация, устройство специальных удерживающих устройств. В момент обследования негативного воздействия не отмечено.		
27-27-015	Дальневосточный	Хабаровский край	Нанайский район, 128 км автодороги Лидога-Ванино	49,232 10	138,27 0445	00.07.2 4	00.09.24	ГР	Техн., атм.	Не отмечалось	В Нанайском районе на участке 136 км автодороги А-376 у подножья придорожного склона высотой до 20 м с уклоном до 60º, сложенном породами юрско-мелового возраста - осыпной шлейф высотой до 1,5 м длиной 55 м. Выносы обвально-осыпного материала на полотно автодороги периодически устраняются дорожными службами. Проявление современное, его активность связана с подрезкой и зачисткой склона при строительстве автодороги и климатическими факторами, приводящими к переувлажнению грунтов. Защитные сооружения отсутствуют. Во избежание негативных последствий рекомендуется рельефа склона, агросолесомелиорация, устройство специальных удерживающих устройств. В момент обследования негативного воздействия не отмечено		
27-27-016	Дальневосточный	Хабаровский край	Нанайский район, 173 км автодороги Лидога-Ванино	49,255 175	138,70 7621	00.07.2 4	00.09.24	ГР	Техн., атм.	Не отмечалось	В Нанайском районе на участке 173 км автодороги А-376 у подножья левого придорожного склона высотой 20 м с уклоном до 60º, сложенном породами юрско-мелового возраста конус выноса высотой до 12 м диной до 22м. Выносы обвально-осыпного материала на полотно автодороги периодически устраняются дорожными службами. Проявление современное, его активность связана с подрезкой и зачисткой склона при строительстве автодороги и климатическими факторами, приводящими к переувлажнению грунтов. Защитные сооружения отсутствуют. Во избежание негативных последствий рекомендуется рельефа склона, агросолесомелиорация, устройство специальных удерживающих устройств. В момент обследования негативного воздействия не отмечено.		

27-27-017	Дальневосточный	Хабаровский край	Ванинский район, 220 км автодороги Лидога-Ванино	49,18264	139,07092	00.07.24	00.09.24	ГР	Техн., атм.	Не отмечалось	На участке 213 км (по старому отчету 220км) автодороги А-376 на левом придорожном склоне высотой до 10-15м сложенном породами мезозойского возраста - обвально-осыпной шлейф. На участке 100 м периодически происходят осыпания к подножья склона и выносом осыпного материала на полотно автодороги. Выносы осыпного материала на полотно автодороги периодически устраняются дорожными службами. Проявление современное, его активность связана с подрезкой склона при строительстве автодороги и климатическими факторами, приводящими к переувлажнению грунтов. Защитные сооружения отсутствуют. Во избежание негативных последствий рекомендуется изменение рельефа склона, устройство специальных удерживающих устройств. В момент обследования негативного воздействия не отмечено.		
27-27-018	Дальневосточный	Хабаровский край	Ванинский район, 220 км автодороги Лидога-Ванино	49,18264	139,07092	00.07.24	00.09.24	ГР	Техн., атм.	Не отмечалось	На участке 213 км автодороги А-376 на правом придорожном склоне высотой до 10-15м сложенном породами мезозойского возраста на участке 100 м - высыпание с образованием шлейфа у подножья склона и выносом осыпного материала на полотно автодороги. Выносы осыпного материала на полотно автодороги периодически устраняются дорожными службами. Проявление современное, его активность связана с подрезкой склона при строительстве автодороги и климатическими факторами, приводящими к переувлажнению грунтов. Защитные сооружения отсутствуют. Во избежание негативных последствий рекомендуется изменение рельефа склона, устройство специальных удерживающих устройств. В момент обследования негативного воздействия не отмечено.	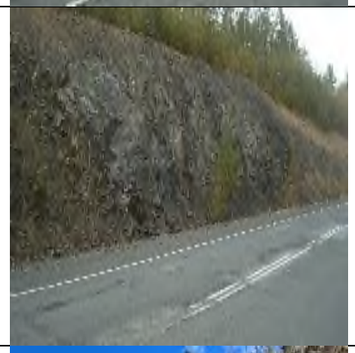	
27-27-019	Дальневосточный	Хабаровский край	Советско-Гаванский район участок автодороги Лидога-Ванино 253 км	49,12240	139,30013	00.07.24	00.09.24	ГР	Техн., атм.	Не отмечалось	На участке 253 км от Лидоги у подножья левого склона с уклоном 60-80 ^{0}, высотой до 30м сложенного из выветрелых трещиноватых базальтов плиоцен-нижнечетвертичного возраста (N_2-Q_1)- обвально-осыпной шлейф из песчано-гравийного состава с супесчаным заполнителем, протяженностью 50м, высотой и шириной по 5м. Выносы осыпного материала на полотно автодороги периодически устраняются дорожными службами. Проявление современное, его активность связана с подрезкой склона при строительстве автодороги и климатическими факторами, приводящими к переувлажнению грунтов. Защитные сооружения отсутствуют. Во избежание негативных последствий рекомендуется изменение рельефа склона, устройство специальных удерживающих устройств. В момент обследования негативного воздействия не отмечено.		
27-11-001	Дальневосточный	Хабаровский край	Советско-Гаванский район Татарский пролив, залив Сетуан	48,990345	140,374684	00.07.24	00.09.24	Оп	Атм.	Не отмечалось	В Советско-Гаванском районе на крутом склоне высотой до 20 м отмечается активизация оползневого процесса. Очаг находится в стадии развития. На протяжении 30 м отмечено оползание блоков покрывающего покрова. Базис развития опасного ЭГП – подножье склона. В оползание вовлечены делювиальные суглинки и подстилающие коренные породы (глины с прослоями песков, песчаников, базальтов). Факторы активизации - атмосферные осадки.	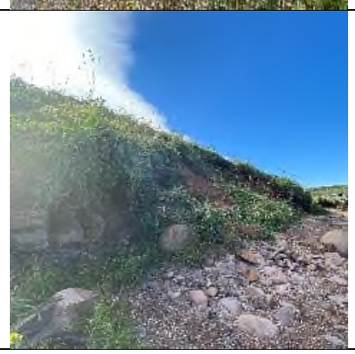	

27-11-022	Дальневосточный	Хабаровский край	Советско-Гаванский район Татарский пролив, залив Сетуан	48,991 306	140,36 514	00.07.2 4	00.09.24	Оп	Атм.	Не отмечалось	В Советско-Гаванском районе на крутом склоне высотой до 30 м отмечается активизация оползневого процесса. Очаг находится в стадии развития. На протяжении 30 м отмечено оползание блоков покрывающего покрова. Базис развития опасного ЭГП – подножье склона. В оползание вовлечены делювиальные суглинки и подстилающие коренные породы (глины с прослоями песков, песчаников, базальтов). Факторы активизации - атмосферные осадки.			
27-11--003	Дальневосточный	Хабаровский край	Советско-Гаванский район Татарский пролив, залив Сетуан	48,990 813	140,35 2001	00.07.2 4	00.09.24	ОП	Атм.	Не отмечалось	В Советско-Гаванском районе на крутом склоне высотой до 15-20 м отмечается активизация оползневого процесса. Очаг находится в стадии развития. На протяжении 50 м отмечено оползание блоков покрывающего покрова. Базис развития опасного ЭГП – подножье склона. В оползание вовлечены делювиальные суглинки и подстилающие коренные породы (глины с прослоями песков, песчаников, базальтов). Факторы активизации - атмосферные осадки.		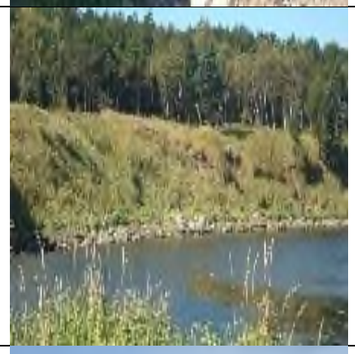	
28-22-001-01	Дальневосточный	Амурская область	Октябрьский район автодорога Р-297	50,488 28	129,07 561	00.07.2 4	00.09.24	Эо	Техн., атм.	Отмечалось	В Октябрьском районе на 1517 км ав/д Р -297 в 3,2 км восточнее с.Король, в период с июля до середины сентября отмечалась активизация процесса овражной эрозии на территориях сельскохозяйственных полей. Овраг протяженностью 133 м и шириной от 1 до 6,5 м в рыхлых аллювиальных песчано-глинистых отложениях. Вдоль всего оврага и его отвершков наблюдаются следы интенсивного осыпания стенок и небольшие вывалы, на 10 м от начала один отвершек 25 м длиной и через 70 м второй, более длинный отвершек 32 м. Основной фактор активизации атмосферные осадки. Второстепенное значение- техногенный фактор (распахивание земель). Активный рост и развитие оврага происходило в июле –августе. В центральной части оврага, ранее были предприняты попытки по укреплению днища и стенок оврага. Защитное насыпное сооружение представляет собой дамбу (площадку)-каменный материал (гравий, щебень) зашитый в металлическую сетку.		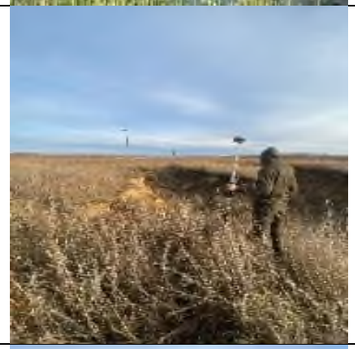	
28-22-001-02	Дальневосточный	Амурская область	Октябрьский район Автодорога Р-297	50,489 71	129,07 466	00.07.2 4	00.09.24	Эо	Техн., атм.	Отмечалось	В Октябрьском районе на 1517 км ав/д Р -297 в 3,2 км восточнее с.Король активизация овражной эрозии на сельскохозяйственных полях. Овраг протяженностью 201м и шириной до 15 м в рыхлых аллювиальных песчано-глинистых отложениях. Активный рост и развитие оврага происходило в июле - августе за счет размыва вершины и обрушения боковых стенок, сложенных рыхлыми отложениями. Обильные осадки, уклон поверхности, рыхлые отложения без растительности (распаханное поле со всходами сои) спровоцировали активный рос оврага. Защитные сооружения отсутствуют.		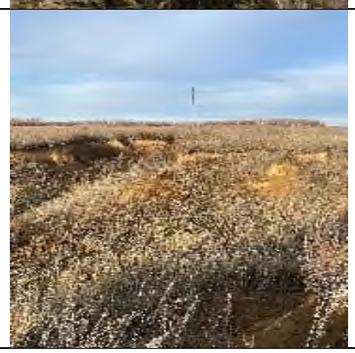	

28-00-003	Дальневосточный	Амурская область	Бурейский район, с.Виноградовка	49,626194	129,371333	00.07.24	00.09.24	Эо	Техн., атм.	Отмечалось	В окрестностях с. Виноградовка Бурейского района на территории принадлежащей Виноградовскому с/с, на сельскохозяйственных полях, активизация овражной эрозии. Овраг протяженностью 920 м и шириной от 1 до до 9 м в рыхлых аллювиальных песчано-глинистых отложениях. Активный рост и развитие оврага происходило в июле -августе за счет размыва вершины и обрушения боковых стенок, сложенных рыхлыми отложениями. Обильные осадки, уклон поверхности, рыхлые отложения без растительности (распаханное поле со всходами сои) спровоцировали активный рос оврага. Защитные сооружения отсутствуют.		
49-12-0001	Дальневосточный	Магаданская область	Магаданский городской округ, г. Магадан	59,552402	150,784366	00.08.24	30.09.24	Ос	Техн., атм.	Отмечалось	Отмечалсь активизация осыпного процесса в Магаданском городском округе, г. Магадан, Портовое шоссе, строение 209. Степень активности – высокая. Ширина осыпного шлейфа - 187 м, длинна – до 210,0 м уклон поверхности склона -32,8°. В резульате активизации осыпного процесса происходит деформация придорожеого склона с перекрытием дорожного полотна. Основные факторы активизации атмосферные осадки и техногенное воздействие.	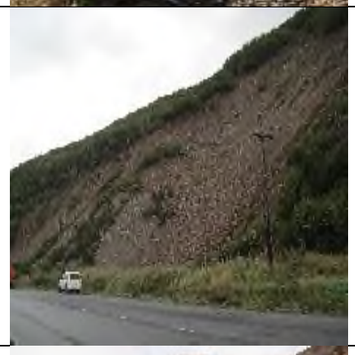	
49-12-0002	Дальневосточный	Магаданская область	Хасынский муниципальный округ, севернее 30,28 км от п. Атка	61,113305	151,839777	00.08.24	30.09.24	Ос	Атм., техн.	Отмечалось	Отмечалсь активизация осыпного процесса на участке 1792, 0 км автодороги Р-504 «Колыма», придорожная склоновая поверхность с уклоном 27,4°, шириной 837,0 м и длиной до 509,0 м. В резульате активизации осыпного процесса происходит деформация придорожеого склона с перекрытием дорожного полотна. Основные факторы активизации атмосферные осадки и техногенное воздействие.	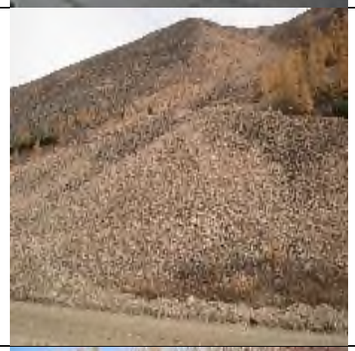	
49-12-0003	Дальневосточный	Магаданская область	Сусуманский муниципальный округ, г. Сусуман	62,830327	148,225611	00.08.24	30.09.24	Ос	Атм., техн	Отмечалось	Отмечалсь активизация осыпного процесса на участке 1405,5 км автодороги Р504 «Колыма». Параметры проявления ширина - 260, 0 м, длинна – 42,0 м. В резульате активизации осыпного процесса происходит деформация придорожеого склона с перекрытием дорожного полотна. Основные факторы активизации атмосферные осадки и техногенное воздействие.		

49-6-0004	Дальневосточный	Магаданская область	Хасынский муниципальный округ, п. Стрелка	61,722777	152,312333	00.08.24	30.09.24	Пу	Атм., техн	Отмечалось	Отмечалась активизация процесса пучения на участке 1713, 3 км автодороги Р-504 «Колыма», шириной до 14,0 м, длина до 40,0 м. В результате активизации процесса пучения происходит деформация дорожного полотна. Основные факторы активизации атмосферные осадки и техногенное воздействие.	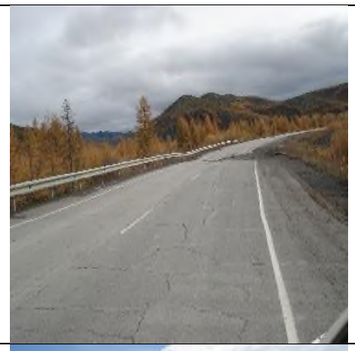	
49-06-0005	Дальневосточный	Магаданская область	Сусуманский муниципальный округ, г. Сусуман	62,568166	149,523166	00.08.24	30.09.24	Пу	Атм., техн	Отмечалось	Отмечалась активизация процесса пучения на участке 1495,25, 3 км автодороги Р-504 «Колыма», шириной до 12,0 м, длина до 65,0 м. В результате активизации процесса пучения происходит деформация дорожного полотна. Основные факторы активизации атмосферные осадки и техногенное воздействие.		
65-11-00013	Дальневосточный	Сахалинская область	Город Южно-Сахалинск. Горнолыжный комплекс «Горный воздух».	46,959 00	142,77 600	06.07.24	06.07.24	Оп	Атм.	Отмечалось	В г. Южно-Сахалинск на автодороге к горнолыжному комплексу «Горный воздух» отмечалась активизация оползневого процесса. Признаки активизации: трещины растяжения на асфальтовом покрытии, трещины глубокие (от нескольким сантиметров до нескольких метров) и протяженные (отдельные до 14 метров), с участками поднятий и проседаний. В результате активизации оползневого процесса происходит деформация дорожного полотна. Факторы активизации - атмосферные осадки.		
75-11-00003	Дальневосточный	Забайкальский край	Карымский район, уч. а/дороги Чита-Хабаровск, 70 км (правая сторона дороги)	51,656 94	114,04 471	00.04.24	00.09.24	Оп	Техн., атм.	Не отмечалось	В Карымском районе, в 3,5 км восточнее пгт. Дарасун, на 70-ом км а/дороги Чита-Хабаровск (пункт наблюдений Уч. а/дороги Чита-Хабаровск), в апреле 2024 г. отмечена активизация оползневого процесса на откосе выемки южнее и севернее закрепленного в 2017 г. участка. Южная часть блокового оползня у автодороги А-167 на 70-ом км шириной около 121 м. Стенка отрыва извилистая, лишена растительности. Смещение блоков грунта по ней до 1,5 м. Они поросли разнотравьем и хорошо выделяются на фоне незадернованных участков. У бровки уступа трещины бортового отпора шириной до 25 см. По сравнению с 2023 г. смещение блоков грунта по стенке отрыва от 0,1 м до 0,4 м. Северная часть оползня шириной 31 м. Смещение блоков грунта по стенке отрыва от 0,2 до 0,3 м. Оползневые процессы частично развиваются и на закрепленном армированной сеткой участке склона на площади около 60 м². Ведущий фактор активизации опасного ЭГП – техногенный (подрезка склона), второстепенное значение имеет метеорологический (атмосферные осадки). Защитные мероприятия на участках, где активно развиваются оползневые процессы отсутствуют.		

75-11-00004	Дальневосточный	Забайкальский край	Карымский район, уч. а/дороги Чита-Хабаровск, 70 км (левая сторона дороги)	51,65750	114,04610	00.04.24	00.09.24	Оп	Техн., атм.	Отмечалось	В Карымском районе, в 3,5 км восточнее пгт. Дарасун, на 70-ом км а/дороги Чита –Хабаровск (левая сторона дороги) (пункт наблюдений Уч. а/дороги Чита-Хабаровск), продолжают развиваться оползневые процессы. Стенка отрыва оползня высотой от 0,6 до 1,3 м и углом наклона от 70 до 90º проходит по склону почти от его подошвенной линии до бровки. На не закрепленном растительностью склоне, а также стенке отрыва и теле оползня развивается струйчатая эрозия. Склон с поверхности сложен делювиальными суглинками с включение дресвы и щебня гранитов. Смещение грунта по стенке отрыва изменяется от 0,2 м до 0,5 м, Ширина оползня увеличилась с 84 м в 2023 г. до 97 м в 2024 г. Длина оползня составляет 8 м, площадь 776 м². Фронтальная часть оползня покрыта трещинами растяжения. Ведущий фактор активизации опасного ЭГП – техногенный (подрезка склона), второстепенный - метеорологический. Периодически расчищают кювет и обочину дороги длиной до 90 м. Защитных сооружений нет, после выполаживания склона, он не был закреплен армированной сеткой.		
75-26-00001	Дальневосточный	Забайкальский край	Балейский район, г. Балей, мкр. п. Тасеево, Тасеевский карьер	51,55611	116,65666	00.04.24	00.09.24	От	Техн., атм.	Не отмечалось	В Балейском районе, в 0,6 км Ю г. Балей, мкр. Тасеево (пункт наблюдений Тасеевское шахтное поле) обследован провал в пределах шахтного поля, который образовался над старым шурфом в 2018 г. Провал округлой формы, наблюдаются трещины бортового отпора, по которым отделяются блоки грунта и смещаются в шурф, в результате чего глубина провала в 2024 г. уменьшилась с 3,2 м до 2,4 м, а площадь, наоборот, увеличилась до 62,4 м² Крутизна бортов в верхней части до 90º, ближе к основанию уменьшается до 50-55º за счет формирования осыпного шлейфа. Растительность в бортах отсутствует. Провал расположен на площадке III надпойменной террасы р. Унда. Терраса с поверхности сложена четвертичными отложениями (песком с включением гравия, гальки), которые подстилаются юрскими песчаниками и конгломератами. Базис развития опасного ЭГП определяется глубиной заложения подземных горных выработок. Ведущий фактор активизации процесса – техногенный, второстепенный – метеорологический (деградация СМС, атмосферные осадки). Защитные сооружения отсутствуют.		
75-22-00011	Дальневосточный	Забайкальский край	Нерчинский район, с. Знаменка, В окраина	52,18017	116,29844	00.04.24	00.09.24	Эо	Атм.	Отмечалось	В Нерчинском районе, на В окраине с. Знаменка (пункт наблюдений с. Знаменка) на асфальтированной площадке зернотока развивается овраг с трапециевидным поперечным профилем. Овраг № 1 длиной 23,4 м, шириной 4,2 м, глубиной 1,8 м. В плане овраг имеет Г-образную форму, развивается параллельно грунтовой дороги. Овраг расположен на площадке III надпойменной террасы р. Нерчи, сложенной песком с включением гравия и гальки. Дно оврага песчаное, на поверхности обломки асфальта, галька изверженных пород хорошей степени окатанности, глыбы песчаника. Вершина оврага отвесная, на дне водобойная яма. Борта крутизной до 85-90º, с эрозионными бороздами. Растительность на бортах и дне оврага отсутствует. В 2024 г. рост в вершине оврага состаил 2,4 м. Базис эрозии оврага – грунтовая дорога, которая проходит по дну временного водотока, врезанного в площадку террасы на глубину до 3 м. Фактор активизации – метеорологический (атмосферные осадки). В результате овражной эрозии деформирована асфальтированная площадка зернотока площадью 7 м². Защитные сооружения отсутствуют – открытая водоотводная канава, предназначенная для отвода дождевых вод, которая проходит по периметру зернотока, частично деформирована овражной эрозией и дождевые воды по ней стекают непосредственно в овраг, что способствует его росту.		
75-12-00007	Дальневосточный	Забайкальский край	Чернышевский район, З окраина пгт. Букачача	52,99326	116,90512	00.04.24	00.09.24	Ос	Техн., атм.	Не отмечалось	В Чернышевском районе, на З окраине пгт. Букачача, (правобережье р. Агита), на южном борту каменноугольного разреза Букачачинский у основания уступа первой технологической бермы отмечена активизация осыпного процесса в виде осыпного шлейфа шириной до 32 м и площадью 54 м², состоящий из ряда сливающихся осыпных конусов. Сложен супесью с обломками угля, песчаника, алевролита. Фактор активизации опасного ЭГП – техногенный и в меньшей степени метеорологический (сезонное промерзание-оттаивание пород и атмосферные осадки). Защитное сооружение –земляная защитная дамба вокруг карьера.	–	

75-11-00016	Дальневосточный	Забайкальский край	Чернышевский район, З окраина пгт. Букачача	52,99679	116,90746	00.04.24	00.09.24	Оп	Техн., атм.	Не отмечалось	В Чернышевском районе, на З окраине пгт. Букачача, (правобережье р. Агита), на второй технологической берме каменноугольного разреза Букачачинский зафиксирован блоковый оползень шириной до 8 м, длиной до 13 м и мощностью до 1 м. Оползень образовался из-за пригрузки первой бермы отвалом вскрышных пород. Стенка отрыва высотой до 0,7 м, вертикальная. На тыловой части оползня, у стенки отрыва образуются осыпи. Тело оползня бугристое, наблюдаются трещины растяжения шириной до 10 см. У бровки разрезной траншеи по трещине бортового отпора шириной до 0,8 м формируется новая стенка отрыва оползня. Фактор активизации опасного ЭГП – техногенный и в меньшей степени метеорологический (сезонное промерзание-оттаивание пород и атмосферные осадки). Защитное сооружение –земляная защитная дамба вокруг карьера.		
87-12-001-	Дальневосточный	Чукотский АО	ГО Анадырь	64,741111	177,497944	00.06.24	03.08.08.24	Ос	Техн., атм.	Не отмечалось	В ГО Анадырь, на правом берегу Анадырского залива в северо-западной части г.Анадырь отмечалась активизация осыпного процесса. Осыпной конус выноса выветрелых пород из супесчано-суглинистого материала с включением дресвы, щебня разного размера по эрозионному лотку. Длина у подножья 20-25 м. Основные факторы активизации атмосферные осадки и техногенное воздействие.	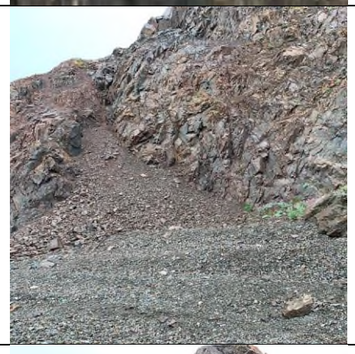	
87-12-002	Дальневосточный	Чукотский АО	ГО Анадырь	64,741306	177,495667	00.06.24	03.08.24	Ос	Техн., атм.	Не отмечалось	В ГО Анадырь, на правом берегу Анадырского залива в северо-западной части г.Анадырь, 350 м с СЗ от морского порта отмечалась активизация осыпного процесса. Осыпной конус выноса со склона высотой 5-10 м, длиной в 80 м в результате оттаивания супесчано-суглинистого грунта с включением дресвы, реже базальтов, андезитов эоцен-олигоценовового (P_{2-3}) и четвертичного (Q) возраста. Основные факторы активизации атмосферные осадки и техногенное воздействие.		
87-27-001	Дальневосточный	Чукотский АО	ГО Анадырь	64,741306	177,495383	00.06.24	03 .08.24	Оп	Техн., атм.	Не отмечалось	В ГО Анадырь, на правом берегу Анадырского залива в северо-западной части г.Анадырь, 350 м с СЗ от морского порта отмечалась активизация оползневого процесса. Отмечается растрескивание, отрыв, обрушение и оползание поверхностного рыхлого слоя со склона высотой 5-10 м, длиной 20 м в результате оттаивания супесчано-суглинистого грунта с включением дресвы, реже базальтов, андезитов эоцен-олигоценовового (P_{2-3}) и четвертичного (Q) возраста. Основные факторы активизации атмосферные осадки и техногенное воздействие.		

87-16-001	Дальневосточный	Чукотский АО	ГО Анадырь	64,740 266	177,49 5563	00.06.2 4	03.08.24	Оп	Техн., атм.	Не отмечалось	В ГО Анадырь, на правом берегу Анадырского залива в северо-западной части г.Анадырь в 100м севернее городских построек отмечалась активизация оползневого процесса. Оползневой склон высотой 10-20 м, длиной в 80 м в результате оттаивания супесчано-суглинистого грунта пермского возраста. Видны трещины отрыва. Основные факторы активизации атмосферные осадки и техногенное воздействие.		
87-06-001	Дальневосточный	Чукотский АО	Анадырская низменность в 16 км южнее г. Анадыря	64,594 953	177,40 9966	00.06.2 4	22.09.24	Пу	Атм.	Не отмечалось	В 16 км южнее г. Анадыря отмечалась активизация процесса криогенного пучения. Криогенное пучение распространено в естественных условиях, приуроченное к озерно-болотной низине морской террасы. Отмечаются пучинистые медальоны округлой формы диаметром 0,5 до 3,0 м. Мощность СТС на берегу озера до 0,6 м. Происходит заболачивание территории. Основные факторы активизации - атмосферные осадки.		
87-06-002	Дальневосточный	Чукотский АО	Анадырская низменность в 5 км южнее г. Анадыря	64,721 245	177,44 1173	00.06.2 4	23.09.24	Пу	Атм.	Не отмечалось	В Чукотском автономном округе на юго-восточной окраине г. Анадыря, в районе вертодрома "Окружной" отмечалась активизация процесса криогенного пучения. Деградация бугра пучения длиной 98 м, шириной от 3 до 25 м, перекрытого поверхностным слоем толщиной до 1,0-1,5 м, высотой до 2,5-3,0 м, с образованием ниш вытаивания. Пучинистый поверхностный слой состоит из почвенно-растительного слоя из песков, супесей с включением гальки и линзами иловатых песков современного возраста. Основные факторы активизации - атмосферные осадки.	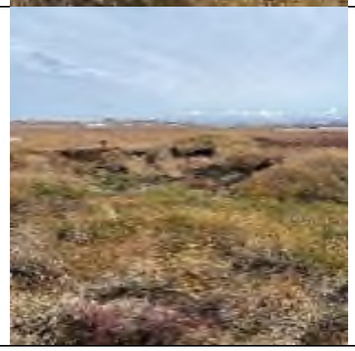	

ПРИЛОЖЕНИЕ 3

ФОТОМАТЕРИАЛЫ

СЕВЕРО-ЗАПАДНЫЙ ФЕДЕРАЛЬНЫЙ ОКРУГ

Калининградская область



а)



б)

Фото 39-11-00001. Активный оползнеыой склон в пгт. Донское: свежие оползневые массы у подножия склна (а); деформированная спусковая лестница (б). Светлогорский ГО.



Фото 39-11-00002. Оголённый оползневой склон с «пьяным лесом». п. Маяк, Светлогорский ГО



Фото 39-11-00003. Общий вид оползневого склона в п. Филино, Светлогорский ГО



Фото 39-22-00001. Активно развивающийся овраг в пгт. Донское, Светлогорский ГО

Ленинградская область



Фото 47-10-00001. Продукты обвального процесса у р. Лава вблизи д. Васильково, Кировский район



Фото 47-10-00002. Общий вид на проявление обвального процесса на береговом слоне р. Лава вблизи д. Васильково, Кировский район



Фото 47-10-00003. Обвальные массы известняков на береговом склоне р. Лава. Вблизи д. Васильково, Кировский район



Фото 48-10-00004. Обвал у подножья правобережного склона р. Лава вблизи д. Подолье, Кировсктй район

Мурманская область



Фото 51-11-00003. Оползневой склон, правый берег р. Кола у моста, пос. Лопарская, Кольский район



Фото 51-12-00023. Незадернованный осыпной склон. Кольский р-он, пос. Лопарская, правый берег р. Кола



Фото 51-11-00017. Оползневой склон. Нижне-Ростинское шоссе, 200 м от автобусной остановки «Контейнерная», г. Мурманск



Фото 51-22-00019. Дно оврага с сетью русел временных водотоков, дорога на Териберку 47К-051, 5 км от пос. Териберка, Кольский район

Республика Коми



Фото 11-32-0002. Площадка учётная, МО ГО "Воркута" (ПП-19), Воркутинский опорный мерзлотно-гидрогеологический полигон, участок детальных наблюдений МГП 2



Фото 11-32-00004. Площадка учётная, МО ГО "Воркута" (КП-10), Воркутинский опорный мерз-лотно-гидрогеологический полигон, участок детальных наблюдений Лек-Воркутский 1



Фото 11-32-00005. Площадка учётная, МО ГО "Воркута" (ПП-3), Воркутинский опорный мерз-лотно-гидрогеологический полигон, участок детальных наблюдений Лек-Воркутский 2



Фото 11-31-00020. Развитие карстово-суффозионного процесса диаметром 12-15 м и глубиной до 2 м в пределах Воркутинского опорного мерзлотно-гидрогеологического полигона (участок детальных наблюдений Усинское водохранилище 1, МО ГО "Воркута")



Фото 11-32-00008. Карстово-суффозионная воронка диаметром 12-14 м и глубиной до 5 м, МО ГО "Воркута", Воркутинский опорный мерзлотно-гидрогеологический полигон, участок детальных наблюдений Усинское водохранилище 2



Фото 11-06-00014. Криогенное пучение, пятна медальоны, общие размеры проявления 120 м –длина и до 25 м- ширина, МО ГО "Воркута", участок Воргашорский



Фото 11-11-00026. Общий вид на оползневой процесс, МО ГО "Воркута", Участок Шахтёрская набережная



Фото 11-11-0026. Оползневой склон, ул. Шахтерская набережная, г. Воркута



Фото 11-22-00007. Эрозионный врез, ул. Шахтёрская набережная, г. Воркута

ЦЕНТРАЛЬНЫЙ ФЕДЕРАЛЬНЫЙ ОКРУГ



Фото 32-22-00004. Центральная часть отвершка оврага Верхний Судок. г. Брянск, ул. Топальская, 28, Брянская область



Фото 33-11-00138. Оползень в г. Владимире, южная окраина парка им. Пушкина, под смотровой площадкой у памятника Князю Владимиру и святителю Федору, Владимирская область



Фото 33-11-00139. Оползень в Суздальском районе, в с. Сельцо, в пределах улиц Красноармейская з/у №15 и 2-ая Красноармейская д.№22, правый склон долины р. Каменка, Владимирская область



Фото 37-11-00004. Оползень в Пучежском районе, северная окраина г. Пучеж, северо-восточнее спортивной площадки «Воркаут», вдоль правобережного склона р. Волга (Горьковское вдхр.), Ивановская область



Фото 37-11-00007. Оползень в Пучежском районе, севернее д. Девкина Гора, вдоль правобережного склона р. Волга (Горьковское вдхр.), Ивановская область



Фото 37-11-00110. Оползень в Пучежском районе, северо-восточнее д. Юшково, вдоль правобережного склона р. Волга (Горьковское вдхр.), Ивановская область



Фото 37-11-00118. Оползень в Пучежском районе, между д. Попереково и д. Хмелеватово,
вдоль правобережного склона р. Волга (Горьковское вдхр.), Ивановская область



Фото 44-11-00053. Оползень в Костромском районе, на южной окраине г. Кострома,
у территории жилого многоэтажного дома №6 по ул. Соловьиная,
правый борт оврага, Костромская область



Фото 48-11-00112. Оползень в Чаплыгинском районе, г. Чаплыгин, ул. Подгорная, Липецкая область



Фото 48-11-00116. Оползень в Чаплыгинском районе, п. Рощинский, ул. Зеленая, д.3, Липецкая область



Фото 48-11-00117. Оползень в Липецком районе, с. Сырское, ул. Речная, д. 24, 25, 26, 27, 28, Липецкая область



Фото 48-11-00117. Оползень в Липецком районе, с. Сырское, ул. Речная, д. 24, 25, 26, 27, 28, Липецкая область



Фото 48-22-00002. Процесс овражной эрозии в Добровском районе, ур. Озерки, в 1,1 км западнее с. Екатериновка, Липецкая область



Фото 48-31-00749. Карстово-суффозионный процесс в Лебедянском районе, в 6 км восточнее от с. Донские Избищи, Липецкая область



Фото 48-31-00755. Карстово-суффозионный процесс в Данковском районе, в 0,5-км юго-западнее д. Масловка, левый борт руч. Паники, Липецкая область



Фото 48-31-00758. Карстово-суффозионный процесс в Данковском районе, между д. Измайловка и с. Баловинки (у моста), Липецкая область



Фото 48-31-00760. Карстово-суффозионный процесс в Данковском районе, между с. Березовка и с. Баловинки, Липецкая область



Фото 77-11-00070. Активный оползень по ул. Зимёнковская, д. Ларёво, г. Москва



Фото 77-22-00002. Процесс овражной эрозии в г. Москве по ул. Большая Филевская, в парке Фили-Кунцево



Фото 77-11-00038. Активный оползень в г. Москве в Солдатеновском парке



Фото 77-22-00003. Активный овраг в г. Москве в Коломенском парке, Голосовском ручье



Фото 77-11-00048. Активный оползень в г. Москве в районе Хорошево-Мневники возле Троицкой Церкви



Фото 77-22-00008. Активный овраг в г. Москве в районе Хорошево-Мневники возле Троицкой Церкви



Фото 77-22-00009. Активный овраг в г. Москве в районе Хорошево-Мневники возле Троицкой Церкви



Фото 67-11-00144. Оползень по ул. Шевченко, г. Смоленск, Смоленская область



Фото 67-22-00002. Активный процесс овражной эрозии по ул. Шевченко, г. Смоленск, Смоленская область

ЮЖНЫЙ ФЕДЕРАЛЬНЫЙ ОКРУГ

Республика Адыгея



Фото 01-11-00117. Активизация оползневого процесса на Краснооктябрьском оползне. Юго-западная окраина г. Майкоп, в 2 км к северу от пос. Краснооктябрьский.



Фото 01-10-00002. Эрозионно-обвальный участок в активном состоянии. Майкопский район, ст-ца Абадзехская, северо-западная окраина – мост через р. Белая, ул. Шоссейная.



Фото 01-11-00080. Оползневой массив в верховьях р. Мутный Тепляк. Майкопский район, в 12 км к западу – юго-западу от пос. Гузерипль

Краснодарский край



Фото 23-11-00002. Активный циркообразный оползневой очаг в 1,2 км к востоку от х.Молчановка.



Фото 23.11.00004. Активный оползневой уступ на северной окраине с.Глафировка.



Фото 23.10.00001. Очень высокая степень активности на обвальном уступе на северной окраине с. Глафировка



Фото 23-11-00005. Активный оползневой процесс на северной окраине с. Глафировка



Фото 23.10.00002. Активные обвалы в 1 км к юго-западу от с.Шабельское



Фото 23-10-00039. Активный обвальный уступ на западной окраине с.Глафировка



Фото 23-11-00007. Оползневой отрезок побережья Азовского моря в 0,6 км к северо-востоку от с. Воронцовка



Фото 23-10-00004. Участок активного обвального уступа на северной окраине с.Воронцовка



Фото 23-10-00005. Активный обвальный уступ в 2,7 км к западу от с.Воронцовка



Фото 23-10-00006. Активный обвальный уступ в 5 км к востоку от ст-цы Должанской



Фото 23-11-00007. Обвалы на северо-восточной окраине ст-цы Должанской

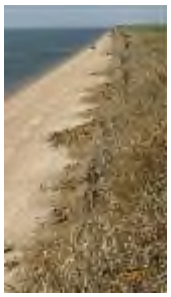

Фото 23-10-00008. Активный обвальный уступ на южной окраине ст-цы Должанской



Фото 23-10-00010. Обвальный уступ средней степени активности в 7 км к северо-западу от ст-цы Камышеватской



Фото 23-10-00011. Активный обвальный уступа в 4,5 км к северо-западу от ст-цы



Фото 23-10-00012. Активный обвальный уступ в 6 км к юго-востоку от ст-цы Камышеватской



Фото 23-10-00013. Активный обвальный уступ в 6 км к северо-западу от х. Шиловка



Фото 23-10-00014. Активный обвальный уступ в 4 км к северо-западу от х.Шиловка



Фото 23-10-00018. Фрагмент обвального уступа на южном берегу Бейсугского залива в 3 км к западу от ст-цы Бриньковской



Фото 23-10-00019. Разрушение обвального берегового уступа на восточной окраине х.Томаровского



Фото 23-10-00015. Слабоактивный обвальный уступ в 2,5 км к юго-западу от х. Морозовского



Фото 23-10-00016. Малообъемный обвал на береговом уступе в 3 км к юго-западу от х. Морозовского



Фото 23-10-00017. Обвальный отрезок уступа в 4,5 км к юго-западу от х. Морозовского



Фото 23-11-00592. Активизация оползневого процесса на левом борту р. Сочи. Дата 18.09.2024. МО город-курорт Сочи, Хостинский район, с. Пластунка, садовое товарищество Горизонт-3.



Фото 23-11-00407. Головная часть активного оползневого проявления. Дата 18.09.2024. МО город-курорт Сочи, Центральный район, СТ Железнодорожник. пос. 73-й километр, ул. Ландышевая



Фото 23-11-00331. Слабоактивное оползневое проявление на левом борту левобережного притока р. Мзымта. Дата 19.09.2024. МО город-курорт Сочи, Адлерский район, курорт Красная Поляна, в 0,3 км к юго-востоку от станции «Экстрим 1044».



Фото 23-11-00600. Активизация оползневого процесса на левом борту долины р. Мзымта. Дата 19.09.2024. МО город-курорт Сочи, Адлерский район, курорт Красная Поляна, А-149, участок Адлер — курорт Альпика-Сервис, 35-36-й километр.



Фото 23-10-00107. Активизация оползневого процесса в низовом откосе дороги. Дата 19.09.2024. МО город-курорт Сочи, Адлерский район, с. Галицыно, ул. Тернопольская.



Фото 23-11-00602. Активный обвальный очаг в верховом откосе дороги. Дата 20.09.2024. МО город-курорт Сочи, Хостинский район, мкр. Малый Ахун, ул. Дорога на Большой Ахун.



Фото 23-11-00603. Активизация оползневого процесса в верховом откосе дороги. Дата 23.09.2024. МО город-курорт Сочи, Адлерский район, ул. Володарского.

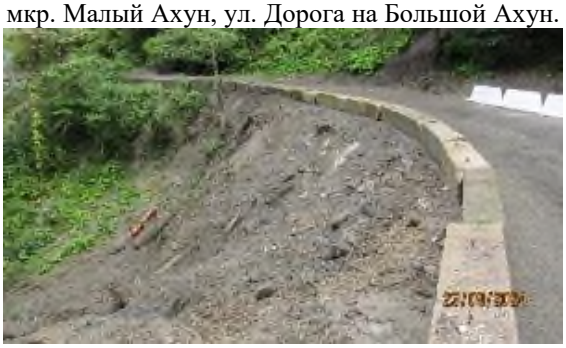

Фото 23-11-00604. Слабоактивное оползневое проявление в низовом откосе дороги. Дата 23.09.2024. МО город-курорт Сочи, Адлерский



Фото 23-11-00567. Активизация оползневого процесса в низовом откосе дороги. Дата 23.09.2024. МО город-курорт Сочи, Адлерский

район, участок дороги 03К-465 «Подъезд к с. Красная Воля».

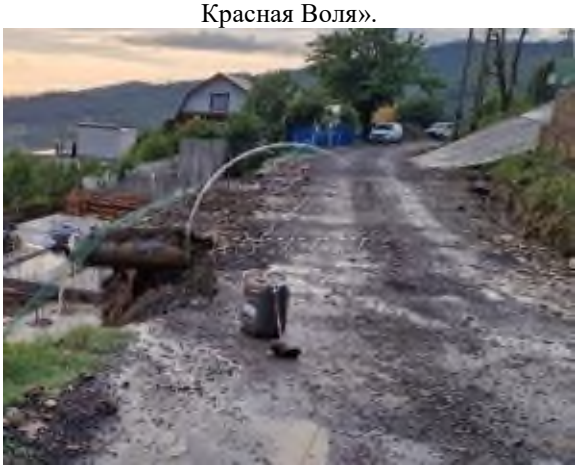

Фото 23-11-00605. Активизация оползневого процесс в низовом откосе дороги. Дата 29.07.2024. МО город-курорт Сочи, Хостинский район, с. Верхнениколаевское, ул. Веринская.

район, с. Каштаны, ул. Мичурина в районе дома №25а.

Астраханская область



Фото 30-11-00002. Оползневое проявление к западу от с. Никольское Енотаевского района. Ширина обвально-оползневой зоны 8,58 м.



Фото 30-11-00005. Разрушение оползневой ступени в западной части оползневого проявления Пришиб Енотаевского р-на.



Фото 30-10-00007. Обвальное проявление в с. Копановка Енотаевского района. По образованным трещинам отрыва происходят обвалы и наблюдается ряд отделяющихся блоков размером до 0,8 х 2,5 м. Ширина обвальной зоны берега составила 2,0 м.



Фото 30-10-00011. Обвальное проявление напротив с. Косика Енотаевского района. Под уступом видны свежие, преимущественно мелкообломочные обвальные образования объемом 1-1,5 м^3. Ширина зоны обвалов берегового уступа составила 0,52 м.



Фото 30-11-00003. Разрушение оползневой ступени старого оползня (2016 г.) с образованием и
смещением новых блоков на северном фланге оползневого проявления Природный парк Черноярского р-на.



Фото 30-11-00001. Трещины отрыва в теле оползня на южной окраине с. Черный Яр Черноярского р-на.



Фото 30-10-00015. Обвальное проявление на правом берегу р. Бахтемир, в с. Сергиевка Икрянинского района. Продолжается разрушение жилых домов вдоль кромки берегового уступа. Средняя ширина обвальной зоны берега составила 1.5 м.



Фото 30-10-00016. Обвальное проявление на левом берегу р. Волги, в с. Петропавловка Наримановского района. Средняя ширина обвальной зоны берега составила 0,9 м.



Фото 30-05-00001. Карстовое проявление в вершине отвершка слепого оврага №2 расположено в 1,32 км на северо-восток от п. Средний Баскунчак Ахтубинского района.



Фото 30-05-00002. Карстовое проявление расположено в 1,36 км на север-северо-восток от п. Средний Баскунчак Ахтубинского района. Вытянутый воронкообразный провал, на стенках имеются выходы гипсов, а в основании щелевидный понор.



Фото 30-05-00003. Карстовое проявление расположено в 1,34 км на север-северо-восток от п. Средний Баскунчак Ахтубинского района. Представлено двумя воронкообразными формами. Активна восточная, наиболее глубокая воронка, в основании которой имеется понор.



Фото 30-05-00004. Карстовое проявление расположено в 1,37 км на север-северо-восток от п. Средний Баскунчак Ахтубинского района. Группа воронок на дне слепого оврага №1. Активна одна воронка.



Фото 30-05-00006. Карстовое проявление расположено в 1,58 км на север-северо-восток от п. Средний Баскунчак Ахтубинского района. Активная одиночная воронка



Фото 30-05-000019. Карстовое проявление расположено в 1,17 км на север-северо-восток от п. Средний Баскунчак Ахтубинского района. Активная одиночная воронка со слабой активизацией



Фото 30-05-000020. Карстовое проявление расположено в 1,17 км на север-северо-восток от п. Средний Баскунчак Ахтубинского района. Активная одиночная воронка со слабой активизацией



Фото 30-05-000021. Карстовое проявление расположено в 1,17 км на север-северо-восток от п. Средний Баскунчак Ахтубинского района. Активная одиночная воронка со слабой активизацией



Фото 30-05-000028. Карстовое проявление расположено в 1,17 км на север-северо-восток от п. Средний Баскунчак Ахтубинского района. Активная воронка на склоне слепого оврага №1

Волгоградская область



Фото 34-10-00001. Образование трещин отрыва напротив южной части с. Рахинка Среднеахтубинского района. Средняя ширина обвальной зоны вдоль берегового уступа составила 1,32 м.



Фото 34-10-00002. Обвальный берег напротив южной части п. Приморск Быковского района. Ширина обвальной зоны берега составила 0,6 м.



Фото 34-10-00003. Обвальный берег напротив с. Нижний Балыклей Быковского района. Вдоль бровки уступа по трещинам закола образуются блоки отрыва. Средняя ширина обвальной зоны берега составила 2,0 м.



Фото 34-10-00004. Обвальный берег напротив южной части п. Быково Быковского района. Средняя ширина обвалов составила 0,96 м.



Фото 34-10-00008. Обвальное проявление в х. Рыбный Николаевского р-на. Вдоль бровки уступа видны трещины закола, по которым формируются блоки отрыва. Средняя ширина обвальной зоны берега составила 4,68 м.



Фото 34-10-00005. Обвальный берег напротив южной части с. Кислово Быковского района. Под уступом имеются следы свежих обвалов, но почти все они размыты водой. Ширина обвальной части берега составила 0,44 м.



Фото 34-10-00006. Обвальный берег напротив средней части с. Кислово. Быковского района. Берег укреплен защитными бетонными блоками. Средняя ширина обвальной части берега составила 0,18 м.



Фото 34-10-00007. Обвальный берег напротив центральной части с. Бережновка Николаевского района. Ширина обвального берега здесь составила 2,6 м.



Фото 34-10-00026. Обвальный берег напротив с. Верхнепогромное Среднеахтубинского района. Наблюдаются трещины закола вдоль берегового уступа. Ширина обвальной зоны берега составила 0,42 м



Фото 34-10-00027. Обвальный берег напротив ст-цы Степано-Разинской Быковского района. Вдоль бровки встречаются трещины закола и обвалы пород. Средняя ширина обвальной зоны берега составила 0,65 м.



Фото 34-10-00028. Обвальный берег напротив п. Молодежный Быковского района. Ширина обвального берега составила 0,53 м.



Фото 34-10-00009. Обвальный береговой уступ в северной части села с. Нижняя Добринка Камышинского р-на. Ширина обвальной зоны проявления в среднем составила 0,26 м.



Фото 34-10-00010. Обвальный берег напротив северо-восточной части с. Горный Балыклей убовского р-на. Средняя ширина обвальной части берега составила 3,5 м.



Фото 34-10-00011. Обвальное проявление напротив средней части с. Горный Балыклей Дубовского р-на. Ширина зоны обвалов составила 0,77 м.



Фото 34-10-00012. Обвальный берег напротив средней части с. Горный Балыклей Дубовского р-на. Под уступом сплошная полоса свежих обвальных образований. Ширина зоны обвалов составила 0,17 м.



Фото 34-10-00013. Обвальный берег напротив южной части с. Горный Балыклей Дубовского р-на. Ширина зоны обвалов составила 0,65 м.



Фото 34-10-00014. Обвальный берег напротив северной части ст-цы Суводской Дубовского р-на. На уступе развиты трещины закола. Средняя ширина обвальной зона берега составила 0,42 м. (Фото филиала ЮРЦ ГМСН ФГБУ «Гидроспецгеология»)



Фото 34-10-00015. Обвальное проявление вдоль берегового уступа в с. Горноводяное Дубовского р-на. Ширина обвалов на всем проявлении составила 1,5 м. (Фото филиала ЮРЦ ГМСН ФГБУ «Гидроспецгеология»)



Фото 34-10-00017. Обвальный берег напротив с. Песковатка Дубовского р-на, сложенный песчаниками и опоками палеогена, перекрытыми хвалынскими суглинками.
Ширина обвального берега составила 0,2 м.



Фото 34-10-00018. Обвальный вдоль берегового уступа южнее залива г. Дубовка Дубовского р-на. Под уступом видны обвальные образования. Ширина обвальной зоны берега на интервале составила 0,3 м.



Фото 34-10-00019. Обвальный вдоль берегового уступа Ю-В окончание г. Дубовка Дубовского р-на. Ширина обвальной зоны берега на интервале составила 0,1 м.



Фото 34-10-00016. Обвальный вдоль берегового уступа южнее г. Дубовка Дубовского р-на. Обвальные образования наблюдаются по всему активному берегу. Ширина обвальной зоны составила 0,24 м.



Фото 34-10-00020. Обвальное проявление вдоль берегового уступа напротив с. Пичуга Дубовского р-на. Обвальные образования наблюдаются по всему активному берегу. В центральной части проявления на протяжении 70 м ширина обвалившейся части берега составила 1,4 м.



Фото 34-10-00032. Обвальное проявление вдоль берегового уступа напротив с. Винновка Городищенского р-она. Пляж усыпан обломками песчаников и опок. Ширина обвального берега на составила 0,20 м.



Фото 34-10-00031. Обвальное проявление в напротив с. Виновка Городищенского р-она. Отступание берега на интервале составило 0,20 м.



Фото 34-10-00025. Береговой уступ в х. Красноярский Котельниковского р-она. Бровка уступа извилистая, часто с нависающими краями. Под уступом встречаются зализанные блоки обвалившегося берега. Средняя ширина полосы обвального берегового уступа составила 0,50 м.



Фото 34-10-00023. Обвальный берег напротив восточной части ст-цы Нагавской Котельниковского района. Ширина зоны обвального уступа составила 3,24 м.



Фото 34-10-00024. Обвальный берег х. Веселый Котельниковского района. Вдоль бровки уступа происходит образование трещин закола и обвалы отдельных блоков пород. Ширина обвалов берегового уступа составила 2,54 м.



Фото 34-10-00036. Обвальный берег в юго-западной части х. Колпачки Калачевского района. Ширина зоны обвального уступа составила 0,37 м.



Фото 61-10-0062. Активизация обвального процесса в пределах берегового уступа. В верхней части уступа отмечаются свежие стенки срыва. Дата 19.07.2024. Неклиновский район, с. Петрушино, 2й-3й переулки.



Фото 61-10-0009. Активный береговой уступ, пораженный обвальными процессами. Дата 19.07.2024. Неклиновский район, с. Петрушино, 6-й переулок 30.



Фото 61-10-0081. Очаг активизации обвального процесса. Дата 18.07.2024. Неклиновский район, 200 м на юго-запад от пос. Приазовский.



Фото 61-10-0028. Активный обвальный процесс в пределах берегового уступа. В пляжевой зоне значительные свежие коллювиальные накопления. Дата 18.07.2024. Неклиновский район, юго-западная окраина х. Рожок, пер. Мира.



Фото 61-10-0019. Активизация обвального процесса в пределах берегового уступа. В подножии свежие коллювиальные накопления. Дата 18.07.2024. Неклиновский район, с. Христофоровка.



Фото 61-10-0036. Центральная часть проявления. Активен обвальный процесс. В подножии уступа свежие скопления коллювиального материала. Дата 18.07.2024. Неклиновский район, южная окраина с. Весело-Вознесенка, от ул. Садовая до ул. Береговая.





Фото 61-10-0034. Правый фланг проявления. В подножии уступа свежие коллювиальные накопления. Дата 18.07.2024. Неклиновский район, юго-восточная окраина с. Весело-Вознесенка.



Фото 61-10-0033. Активизация обвального процесса в пределах берегового уступа. Дата 18.07.2024. Неклиновский район, юго-западная окраина пос. Приазовский между улицами Восточная и Милосердия.



Фото 61-10-0032. Активизация обвального процесса в пределах берегового уступа. Дата 18.07.2024. Неклиновский район, 600 м на юго-восток от с. Весело-Вознесенка.

Фото 61-10-0031 Центральная часть проявления. На всем видимом протяжении по поверхности уступа и в подножии свежие вывалы грунта. Дата 18.07.2024. Неклиновский район, южная окраина пос. Приазовский между улицами Лесная и Молодежная.



Фото 61-10-0012. Активизация обвального процесса в пределах берегового уступа. Дата 18.07.2024. Неклиновский район, с. Боцманово, ул. Приморская.



Фото 61-10-0011. Правый фланг проявления. Обвальный процесс находится в стадии активизации. Дата 18.07.2024. Неклиновский район, с. Александрова коса, ул. Набережная.



Фото 61-11-0122. Вид с левого фланга проявления. Активный оползневой очаг. Дата 23.07.2024 Усть-Донецкий район, северная окраина хут. Пухляковский.



Фото 61-11-0121. Активное оползневое проявление. Выделяется крупная оползневая ступень, разбитая на отдельные блоки. Дата 23.07.2024. Усть-Донецкий район, северная окраина ст-цы Раздорская.



Фото 61-11-0041. Активизация оползневого процесса в пределах берегового уступа. Крупный очаг активизации Дата 24.07.2024. Цимлянский район, восточная окраина г. Цимлянск.



Фото 61-11-0046. Левый фланг оползневого массива. Свежий очаг оползневой активизации. Дата 24.07.2024. Цимлянский район, 260 м на юго-восток от пос. Саркел.

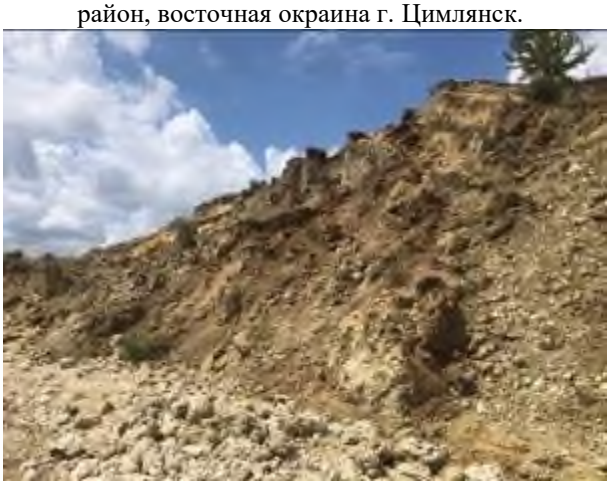

Фото 61-11-0047. Активизация оползневого процесса в пределах берегового уступа Цимлянского водохранилища. Дата 24.07.2024. Цимлянский район, 350 м на северо-восток от пос. Саркел.



Фото 61-11-0051. Активизация оползневого процесса, локализованная в центральной части проявления. Выделяется 2 оползневых ступени. Дата 24.07.2024. Цимлянский район, юго-восточная окраина ст-цы Хорошевская.



Фото 61-10-0055. Активизация обвального процесса в пределах берегового уступа. Дата 24.07.2024. Цимлянский район, 1,7 км на северо-восток от пос. Саркел.



Фото 61-11-0058. Правый фланг проявления. Активный оползневой очаг. Дата 24.07.2024 Цимлянский район, 1,9 км на северо-восток от пос. Саркел.



Фото 61-10-0039. Левый фланг проявления. Отмечается активизация обвального процесса. Дата 25.07.2024. Дубовский район, 800 м на северо-восток от х. Харсеев.



Фото 61-11-0027. Активный оползневой очаг на левом фланге проявления. В головной части свежая стенка срыв. Дата 25.07.2024 Дубовский район, 670м на север от ст-цы Жуковская.



Фото 61-10-0030. Активизация обвального процесса в пределах берегового уступа. Дата 25.07.2024. Дубовский район, 2,2 км на северо-восток от ст-цы Жуковская.

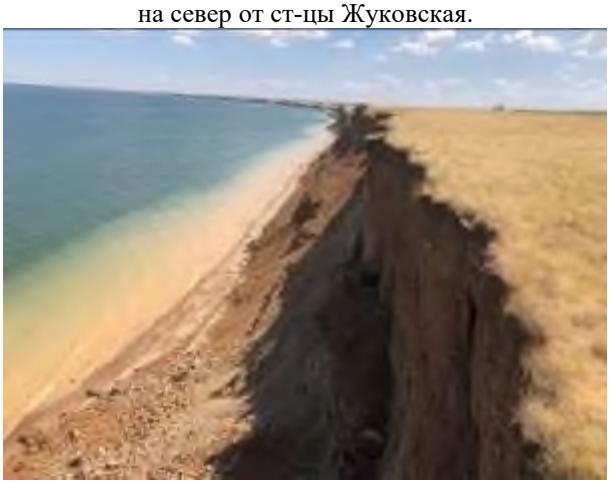

Фото 61-10-0042. Активизация обвального процесса в пределах берегового уступа Цимлянского водохранилища. Дата 25.07.2024. Дубовский район, 3 км к северо-востоку от ст-цы Жуковская.



Фото 61-11-0032. Активный оползневой очаг на правом фланге проявления. Дата 25.07.2024. Дубовский район, 3 км к северо-западу от ст-цы Баклановская.

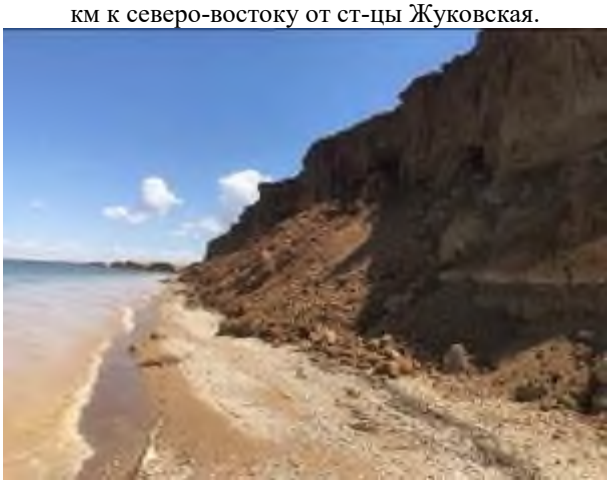

Фото 61-11-0033. Левый фланг проявления. Активен оползневой процесс. Дата 25.07.2024 Дубовский район, 2,6 км к северо-западу от ст-цы Баклановская.



Фото 61-10-0043. Левый фланг проявления. Активизация обвального процесса. Дата 25.07.2024. Дубовский район, 2,1 км на северо-запад от ст-цы Баклановская.



Фото 61-11-0036. Центральная часть проявления. Отмечается активный оползневой очаг. Дата 26.07.2024. Дубовский район, 0,7 км к северо-западу от хут. Алдабульский.



Фото 61-11-0037. Активный оползневой очаг. В головной части оползня отмечаются свежая стенка срыва. Дата 26.07.2024. Дубовский район, 0,6 км к северо-западу от хут. Алдабульский.



Фото 61-10-0045. Левый фланг проявления. В подножии уступа широко развиты свежие коллювиальные накопления. Дата 26.07.2024. Дубовский район, 1500 м на северо-восток от хут. Алдабульский.



Фото 61-10-0063. Правый фланг обвального проявления. Отмечается крупный очаг активизации. Дата 26.07.2024. Дубовский район, 1 км на запад от с. Малая Лучка.



Фото 61-10-0068. Активизация обвального процесса в пределах берегового уступа. В подножии свежие вывалы грунта. Дата 30.07.2024. Сальский район, в 7,4 км на северо-запад от г. Пролетарск.

Республика Крым



Фото № 91-11-05201. Оползень № 834, верхняя часть, левый борт..Трещина на асфальте а/д 35 ОП РЗ 35К-005.



Фото № 91-11-05201. Оползень № 834, средняя часть.
Отвалы насыпного грунта мощностью до ~4 м.



Фото № 91-11-05501. Оползень № 732, нижняя часть, левый борт. Трещины и деформации на а/д 35 ОП РЗ 35К-005.



Фото № 91-11-05501. Оползень № 732, языковая часть. Активная зона, в результате осенне-весенних штормов произошло блоковое обрушение шириной 30 м,
высотой до 10 м, глубиной захвата 5 м; объём 1,5 м3. Проявление опасного



Фото № 91-11-05506. Оползень № 736, верхняя часть. Деформации и трещины шириной 5-10 мм на асфальте, а/д 35 ОП РЗ 35К-005.



Фото № 91-11-05506. Оползень № 736, языковая часть. Трещины на анкерной подпорной стене.



Фото № 91-11-05601. Оползень № 746, нижняя часть. Зона активных оползневых проявлений. Борт локальных подвижек.



Фото № 91-11-05601. Оползень № 746, языковая часть. Зона активных оползневых проявлений. Обрушение части клифа.



Фото № 91-11-05701. Оползень № 750, головная часть, хорошо просматриваемая в рельефе, западный участок.



Фото № 91-11-05701. Оползень № 750, языковая часть подверженная морской абразии, активная зона ОЭГП. Вид со стороны пляжа, правый борт.



Фото № 91-11-05702. Оползень № 813, головная часть по правому борту, оползневой срыв.



Фото № 91-11-05702. Оползень № 813, языковая часть. Активная зона ОЭГП подверженная морской абразии. Субвертикальная оползневая плоскость скольжения.



Фото № 91-11-06201. Оползень № 636, свежие обвалы и оползание глинистого грунта в абразионном клифе.



Фото № 91-11-06201. Оползень № 636, обвал глинистого грунта в абразионном клифе.



Фото № 91-11-06202. Общий вид территории оползня № 637. Активная плоскостная и линейная эрозия конусов выноса в бортах оползня. Оплывины к тальвегу балки в левом борте оползня (увеличились).



Фото № 91-11-06202. Мочажины в основании абразионного клифа между территориями оползней 637 и 1850, осыпь щебенистого грунта.



Фото № 91-11-06402. Оползень б/н, нижняя восточная часть, валунно-галечный пляж, абразионный клиф. Обвал на месте останца, наблюдаемого в 2023 г.



Фото № 91-11-06402. Оползень б/н, нижняя восточная часть, валунно-галечный пляж, абразионный клиф. Разгрузка на пляже эрозионного вреза в восточной языковой части оползня. Вынос осыпного материала.



Фото № 91-11-06403. Оползень № 1836, нижняя западная часть. Разгрузка на пляж эрозионной промоины на низовом примыкании к грунтовому проезду. Инструментальный замер. Глубина оврага 1,49 м (не изменилась). Эрозионно-суффозионный размыв и оползание в месте разгрузки оврага на пляж.



Фото № 91-11-06403. Эрозия грунтового проезда, частично попадающего на территорию оползня № 1836. Визуально – углубление оврага.



Фото № 91-11-01803. Наклон столба электрического освещения со стороны верхового склона, приуроченные к левому борту оползневого очага.



Фото № 91-11-01803. Низовой склон в районе левого борта оползневого очага.



Фото № 91-11-01806. Языковая часть оползня со стороны
верхового склона Южнобережного шоссе.



Фото № 91-11-01806. Деформации асфальтового покрытия тротуара и верховой подпорной стены, приуроченные к правому борту локального очага.



Фото № 91-11-01901. Свежие деформации асфальтового покрытия в районе левого борта оползневого очага оползня №20 Восточно-Кикенеизский. Величина опускания 8,0 см.



Фото № 91-11-01901. Деформации на подпорных стенах в районе правого борта оползневого очага.



Фото № 91-11-02304. Деформации с частичным разрушение асфальта тротуара в районе правого борта оползня №146.



Фото № 91-11-02306. Деформации асфальтового покрытия в районе левого борта оползня №29. Ширина раскрытия 1 см.



Фото № 91-11-03401. Деформации на верховой подпорной стене Алупкинского шоссе, приуроченные к левому борту оползня. В нижней части стены величина раскрытия - 7 см, в средней части стены величина раскрытия - 4 см, фронтальное смещение 3 см.



Фото № 91-11-03401. Свежие деформации на асфальтовом покрытии Алупкинского шоссе, приуроченные к левому борту оползня. Величина раскрытия - 1 см



Фото № 91-11-03402. Деформации верховой стены, приуроченные к правому борту локального очага.



Фото № 91-11-03402. Деформации асфальтового покрытия, приуроченные к левому борту локального очаг.



Фото № 91-11-03501. Частичное разрушение верховой подпорной стены, выполненной габионами, приуроченное к правому борту оползня №54. .



Фото № 91-11-03501. Деформации на асфальтовом покрытии дороги, приуроченные к головной части оползневого очага.

СЕВЕРО-КАВКАЗСКИЙ ФЕДЕРАЛЬНЫЙ ОКРУГ

Республика Дагестан



Фото 05-10-00054
Активизация обвального процесса в Ахвахском районе на автодороге «Карата - Лологонитль» км 14, в 846м СВ от с.Лологонитль



Фото 05-10-00055
Активизация обвального процесса в Цунтинском районе на автодороге «Агвали-Шаури-Кидеро» км 31, в 4,1км СВ от с.Сагада



Фото 05-10-00056
Активизация обвального процесса в Цумадинском районе на автодороге «Агвали-Шаури-Кидеро» км 30, в 5.2км СВ от с.Сагада



Фото 05-10-00057
Активизация обвального процесса в Цумадинском районе на автодороге «Агвали-Шаури-Кидеро» км 27, в 3,2км З от с.Хвайни



Фото 05-10-00058
Активизация обвального процесса в Цумадинском районе на автодороги «Агвали-Шаури-Кидеро» км 25, в 4.1 км С от с.Хвайни



Фото 05-11-00028
Активизация оползневого процесса в Ботлихском районе на автодороге «Грозный – Ботлих - Хунах» км 123+100, в 6,8км СВ от с.Ботлих



Фото 05-10-00059
Активизация обвального процесса в Унцукульском районе на автодороге «Буйнакск - Ботлих» км 43 + 500, в 6,7км СВ от с.Ашильта



Фото 05-11-00029
Активизация оползневого процесса в Гунибском районе на автодороге «Гуниб-Ругуджа» км 4,4, в 3,9км СВ от с.Ругуджа



Фото 05-10-00060
Активизация обвального процесса в Гунибском районе на автодороге «Гуниб-Кумух» км 22 в 2,9км ЮВ от с.Согратль



Фото 05-11-00030
Активизация оползневого процесса в Гунибском районе на автодороге «Гуниб-Кумух» км 33 в 611м СВ от с.Муукар



Фото 05-10-00061
Активизация обвального процесса в Ахтынском районе на автодороге «Куркал-Хнов», 21 км, в 7,1 км ЮВ с. Хнов



Фото 05-10-00062
Активизация оползневого процесса в Ахтынском районе на автодороге «Куркал-Хнов», 11 км, в 3,2 км ЮЗ с.Смугул



Фото 05-10-00063
Активизация обвального процесса в Ахтынском районе на автодороге «Куркал-Хнов», 10 км, в 2,2 км ЮЗ с.Смугул



Фото 05-10-00064
Активизация обвального процесса в Рутульском районе на автодороге «Лучек - Мишлеш», 22 км, в 1,0 км СЗ с. Сюгут



Фото 05-10-00065
Активизация обвального процесса в Рутульском районе на автодороге «Лучек - Мишлеш», 14 км, в 2.6 км ЮЗ с. Микик



Фото 05-10-00066
Активизация обвального процесса в Рутульском районе на автодороге «Лучек - Аракул», 16 км, в 3,4 км СЗ с. Ихрек



Фото 05-10-00067
Активизация обвального процесса в Шамильском районе на автодороге “Гунибское шоссе – Вантляшевский перевал” 69км, в 6,9 км ЮЗ с.Хебда
Фото из открытых источников



Фото 05-11-00025
Активизация оползневого процесса в Унцукульском районе Ирганайский участок «65» массив в 1,0км севернее пст.Шамилькала



Фото 05-11-00026
Активизация оползневого процесса в Унцукульском районе Ирганайский участок «Станционный» массив Расстояние от с.Гимры до подножья массива 1,5км



Фото 05-11-00004
Активизация оползневого процесса в Карабудахкентском районе в 2км СВ от с. Агачуал Агачаульский участок детальных наблюдений

Республика Ингушетия



Фото 06-12-00055. 15.08.24. Республика Ингушетия. Сунженский район, автодорога с.Галашки – с.Мужичи – 2,96км.



Фото 06-11-00136. 16.08.24. Республика Ингушетия. Сунженский район, автодорога с.Таргим- с.Нижний Алкун – 17км.

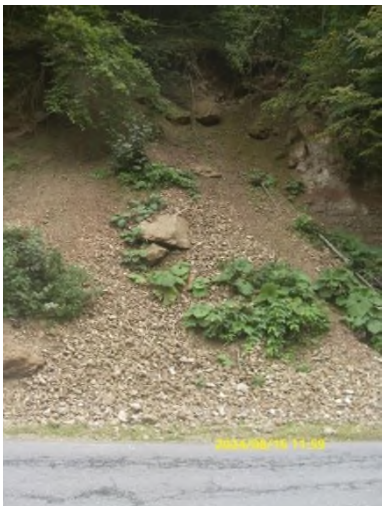

Фото 06-11-00138. 16.08.24. Республика Ингушетия. Сунженский район, автодорога с.Таргим-с.Нижний Алкун – 14,82км.

Кабардино-Балкарская Республика



Фото 07-11-00092 – Оползневой массив в урочище Сурьма (Эльбрусский район), верхняя часть активного участка (вид с правого борта)



Фото 07-11-00026 – Оползень в правом борту р. Чегем, в 4,5 км от с. Хуштосырт Чегемского района



Фото 07-11-00027 – активный участок оползня на верхнем откосе а/д Хуштосырт - Булунгу, в левом борту р. Чегем в 7,6 км ниже с. Эльтюбю Чегемского района



Фото 07-11-00028 – активный участок оползня на верхнем откосе а/д Хуштосырт - Булунгу, в левом борту р. Чегем в 7,6 км ниже с. Эльтюбю Чегемского района. Нижняя часть оползня подрезана при проведении работ по устройству берегозащитных и подпорных сооружений.



Фото 07-11-00029 – Оползень в правом борту долины р. Кардан (Чегемский район), пересекающий грун-товую автодорогу Эльтюбю – Безенги. В центре и слева - трещины на нижнем откосе дороге.



Фото 07-11-00022 – Активный участок оползня на нижнем откосе а/д Урвань-Уштулу в правом борту р. Черек Балкарский. Деформация автодороги и газопровода среднего давления.



Фото 07-11-00030 – язык оползня Бузулган (07-11-00030) в правом борту р. Герхожансу, в 2,6 км выше г. Тырныауз, Эльбрусский муниципальный район. По состоянию на 20.09.2024 активизация не завершена

Карачаево-Черкесская Республика



Фото 09-11-00146. Оползневое проявление на северо-восточной окраине а. Псыж



Фото 09-11-00146. Трещины закола вдоль бровки стенки срыва

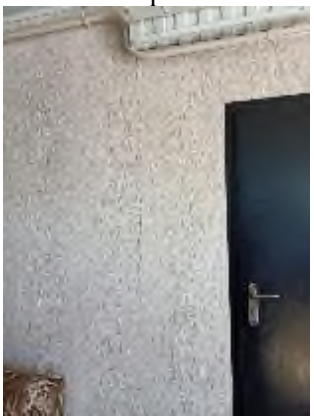

Фото 09-13-00146. Трещины в домовладении № 72

Республика Северная Осетия-Алания



15-12-00030. Осыпь в верховом откосе ТрансКАМа, пк 338



15-12-00061. Осыпь в верховом откосе ТрансКАМа, пк 341



15-12-00031. Осыпь в верховом откосе ТрансКАМа, пк 347,5



15-12-00088. Осыпь в верховом откосе ТрансКАМа, пк 351



15-12-00134. Осыпь в верховом откосе ТрансКАМа, пк 57,5



15-12-00027. Крупнообломочная осыпь на км 8,5 автодороги Турбина - В.Згид



15-11-00132. Оползень «Перевальный»



15-11-00133. Оползень «Серпантинный»



15-12-00041. Подвижная среднеобломочная осыпь на серпантинах технологической дороги газопровода Дзуарикау-Цхинвал, км 95,5



15-11-00042. Кайтикомский правобережный оползень



15-11-00121. Фронт Малого Даллагкауского оползня



15-12-00043. Северный фланг Тибского обвально-осыпного участка, км 81



15-12-00044 . Южный фланг Тибского обвально-осыпного участка, км 81,5



15-11-00040. Оползень-поток в районе пк 48,5 дороги на Мамисон



15-12-00074. Осыпь в верховом откосе технологической дороги ЛЭП, км 0,8



15-11-00113. Цебойтинский оползень



15-11-00036. Бабиатский оползень



15-11-00135. Оползень-поток в правом борту р.Льядон, км2



15-12-00094. Осыпь в верховом откосе ТрансКАМа, пк 108,5



15-12-00124. Осыпь в верховом откосе ТрансКАМа, пк 262



15-12-00111. Осыпь в верховом откосе ТрансКАМа, пк 235,5



15-12-00136. Осыпь в верховом откосе а/д к погранзаставе Зруг, км 1,8



15-12-00098. Осыпь в верховом откосе ТрансКАМа, пк 212



15-12-00072. Осыпь в верховом откосе автодороги на погранзаставу «Зруг», км 4,3



15-12-137. Осыпной участок на автодороге на погранзаставу Зруг, км 1,8



15-12-00047. Осыпной участок Моренный в верховьях р.Караугом



15-11-00122. Оползень в верховом откосе автодороги Мацута-Куссу, км 11,3



15-12-00123. Осыпь в верховом откосе автодороги Мацута-Куссу, км 11,5



15-11-00114. Оползень в верховом откосе автодороги Гизель-Даргавс, км 19



15-12-00059. Осыпь в верховом откосе автодороги Гизель-Даргавс, км 21,5



15-11-00049. Южный Савердонский оползень

Чеченская Республика



Фото 20-11-00597. 06.08.24. Чеченская Республика. Веденский район, автодорога с. Бас-Гордали - с. Белгатой, в 4,3км к западу от с.Бас-Гордали. Деформировано полотно дороги с покрытием на участке длиной 45м, шириной 1,5м.



Фото 20-11-00547. 03.07.24. Чеченская Республика. Курчалоевский район, автодорога с. Джагларги - с. Регита, 3,5км. Деформирована дорога с покрытием длиной 7м, шириной 1м



Фото 20-11-00591. 23.07.24. Чеченская Республика. Ножай-Юртовский район, автодорога с. Булгат-Ирзу - с. Алхан-Хутор, 0,8км. Деформировано полотно дороги без покрытия на участке длиной 20м, шириной 3м.



Фото 20-11-00219. 09.07.24. Чеченская Республика. Ножай-Юртовский район, автодорога с. Малые Шуани - с. Бас-Гордали 7,01км. Деформировано полотно дороги покрытием на участке длиной 30м, шириной 2м.



Фото 20-11-00594. 13.07.23. Чеченская Республика. Ножай-Юртовский район, автодорога с. Ялхой-Мохк – с. Малые Шуани – 4,61км. Разрушен участок дороги с покрытием на участке длиной 20м, шириной 1м. Деформировано ограждение длиной 30м.



Фото 20-11-00158. 16.07.24. Чеченская Республика. Ножай-Юртовский район, автодорога с. Беной – с. Айти-Мохк 6,59км. Деформирована обочина дороги с покрытием длиной 30м, шириной 1м.

Ставропольский край



Фото. 26-11-00116. Смещения средней интенсивности в головной части и з.т. (учтен в 1кв. по данным СМИ)



Фото. 26-11-00039. Смещения на локальном участке в правой части оползня



Фото. 26-11-00041. Смещения на локальном участоке в правой части оползня



Фото. 26-11-00118. Смещения в правой части в результате интенсивной речной эрозии в весенний период.



Фото. 26-11-000498. Новые смещения в правом береговом откосе р. Мутнянка на участке 10х20м.



Фото. 26-11-00144. Смещения в левой части оползня.



Фото. 26-11-00023. Смещения средней интенсивности в левой части оползня



Фото. 26-11-00024. Смещения центральной части оползня



Фото. 26-11-00499. Смещения в правом береговом откосе на участке 10х20 м, в следствии береговой эрозии р.Мутнянка.



Фото. 26-11-00028. Смещения средней интенсивности на участке активизации прошлых лет, восточнее сброса с очистных сооружений г.Ставрополя



Фото. 26-11-00030. Смещения средней интенсивности на локальном участке, в правой части оползня.



Фото. 26-11-00043. Смещения низкой интенсивности на локальных участках в центральной и левой частях оползня.



Фото. 26-11-00467. Смещения средней интенсивности у основания откоса на локальных участках в центральной и левой частях оползня

Кавказские Минеральные Воды



Фото 26-11-01055
Активизация оползневого процесса на северной окраине п. Новокисловодский (г. Кисловодск)

ПРИВОЛЖСКИЙ ФЕДЕРАЛЬНЫЙ ОКРУГ

Республика Башкортостан



Фото 02-11-00005. Оползень - поток на въезде в д. Мурадымово, Бурзянский район



Фото 02-05-00200 Карстовый провал в с.Булгаково, Уфимский район



Фото 02-05-00208 Активная карстовая воронка в с.Янагушево, Мишкинский район, Республика Башкортостан



Фото 02-05-00213 Активная карстовая воронка на ЮЗ окраине в с. Янагушево, Мишкинский район



Фото 02-05-00216. Карстовая воронка на южной окраине с. Янагушево, Мишкинский район



Фото 02-05-00237 Карстовый провал в лесном массиве в 2,5 км СВ с. Новотроицкое Мишкинский район



Фото 02-22-00208 Растущая промоина на северо-западной окраине с. Теперишево, Чишминский район



Фото 02-22-00206 Активный борт оврага на северо-восточной окраине с. Теперишево Чишминский район



Фото 12-22-00001. Развитие овражной эрозии на восточной окраине д. Курмузаково в Волжском районе



Фото 12-22-00003. Развитие овражной эрозии между населенными пунктами Петьял и Бол. Сосновка в Волжском районе. Республика Марий Эл



Фото 12-22-00006. Развитие овражной эрозии юго-западнее д. Ишли-Пичуш в Моркинском районе



Фото 12-22-00008. Развитие овражной эрозии восточнее д. Макаркино Моркинского района

Удмуртская Республика



Фото 18-11-00028. Стенка отрыва и вершинная часть оползня вязкопластического течения, с. Гольяны, Завьяловский район



Фото 18-11-00029. Оползень разжижения. с. Гольяны, Завьяловский район



Фото 18-22-00014. Вершина оврага в 1,2 км севернее д. Синяр-Бодья, Кизнерский район,



Фото 18-17-00004. Свежие суффозионные провалы в 1,2 км севернее д. Синяр-Бодья, Кизнерский район



Фото 18-22-00015. Вершина оврага, д. Синяр-Бодья, Кизнерский район



Фото 18-11-00031. Оползневая трещина растяжения. с. Крымская Слудка Кизнерский район



Фото 18-11-00032. Оползень скольжения, с. Крымская Слудка, Кизнерский район



Фото 18-22-00018. Вершина оврага. с. Крымская Слудка, Кизнерский район



Фото 18-22-00019. Микроручейковая эрозия на левом борту оврага. с. Колесниково, Каракулинский район



Фото 18-11-00038. Оползень разжижения с. Колесниково, Каракулинский район



Фото 18-11-00033. Оползневая трещина закола. с. Чеганда, Каракулинский район



Фото 18-11-00034. Оползневая трещина закола. с. Чеганда, Каракулинский район



Фото 18-11-00035. Фрагмент поверхностного оползня вязкопластического течения. с. Чеганда, Каракулинский район



Фото 18-22-00023. Левый борт оврага. с. Галаново, Каракулинский район



Фото 18-22-00024. Зона плоскостного смыва на левом борту оврага. с. Галаново, Каракулинский район



Фото 18-11-00041. Оползень вязкопластического течения, с. Нылга, Увинский район

Чувашская Республика



Фото 21-22-00028. Развитие овражной эрозии на восточной окраине д. Кугеево, Козловский мун. округ



Фото 21-22-00031. Растущий овраг западнее д. Баланово, Козловский мун. округ



Фото 21-22-00032. Активный овраг западнее д. Баланово, Козловский мун. округ



Фото 21-22-00033. Развитие овражной эрозии на восточной окраине д. Мал. Бишево, Козловский мун. округ



Фото 21-22-00034. Борт оврага на восточной окраине д. Мал. Бишево Козловский мун.

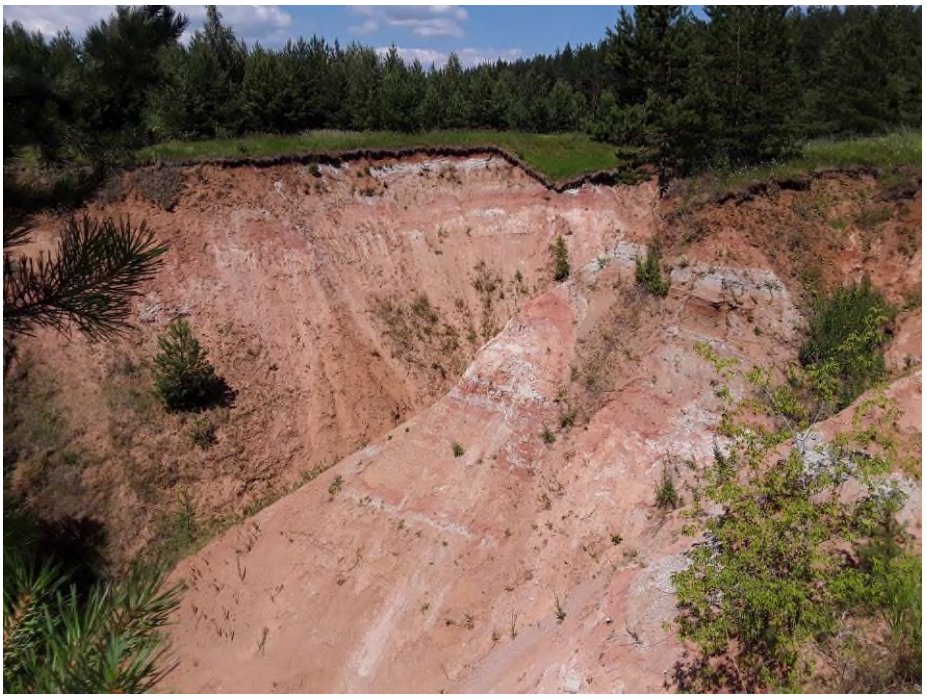

Фото 21-22-00035. Овражная эрозия на восточной окраине д. Кугеево, Козловский мун. округ



Фото. 21-22-00036. Овражная эрозия на северной окраине д. Кужмары, Козловский мун. округ



Фото. 21-22-00037. Отвершек оврага на северной окраине д. Кужмары, Козловский мун. округ



Фото. 21-22-00039. Овражная эрозия восточнее д. Курочкино, Козловский мун. округ



Фото. 21-22-00041. Овражная эрозия западнее д. Курочкино, Козловский мун. округ



Фото. 21-22-00045. Развитие овражной эрозии южнее д. Нов. Байгулово, Козловский мун. округ

Пермский край

Фото 59-26-00016. Совмещённый план поверхности и горных работ в районе «панелей переходного периода» с изолиниями скорости оседания (мм/мес), сентябрь 2024 г., пр. Ленина, г. Березники



Фото 59-26-00010. Провал на аварийном участке СКРУ-2, июнь 2022 г., СНТ «Ключики», г. Соликамск

Кировская область



Фото 43-10-00004. Осыпной склон в долине р. Вятка в районе д. Ванюшенки Котельничского района



Фото 43-22-00007. Растущий овраг на склоне долины р. Вятка в районе мемориала «Вечный огонь» г. Кирово-Чепецк Кирово-Чепецкого района



Фото 43-22-00008. Вершина оврага на склоне р. Вятка в районе парка «Аллея Славы» г. Слободской Слободского района

Оренбургская область



Фото 56-22-00002. Верховье наблюдаемого оврага. 0,8 км севернее с. Верхнеигнашкино, Грачевский район



Фото 56-22-00004. Верховье наблюдаемого оврага. 0,5 км севернее с. Нижнеозерное, Илекский район



Фото 56-22-00005. Скважина и будка управления насосом у активно развивающегося оврага. Западная окраина с. Кулагино, Новосергиевский район

Пензенская область



Фото 58-11-00056. Деформация газопровода и столба линий электропередач, ул. 5-я Линия, д. 9, г. Кузнецк



Фото 58-11-00058. Оползневой склон, ул. 4-я Линия, между д.1 и д. 2, г. Кузнецк



Фото 58-11-00059. Деформация подпорной стенки, ул. 3-я Линия, д.16, г. Кузнецк, Пензенская область

Ульяновская область



Фото 73-11-00062. Сплывы и осыпи грунта в районе правого борта оползня. Сенгилеевский р-н, с. Буераки



Фото 73-11-00090. Общий вид оползня, срывы и осыпи в районе бровки. Ульяновский р-н. п. Сланцевый рудник



Фото 73-11-00096. Общий вид на оползневой склон. Сенгилеевский район. г. Сенгилей



Фото 73-11-00042. Общий вид на оползневое смещение в центральной части. г. Ульяновск. Ул. Уютная



Фото 73-11-00070. Общий вид на оползневой склон. Радищевский р-н. с. Паньшино



Фото 73-11-00074. Активизация на правом боту оползня. Радищевский р-н. с. Вязовка



Фото 73-11-00139. Срывы грунта по бровке и застои грунтовых вод. Ульяновский р-н. с. Максимовка, ул. Солнечная



Фото 73-11-00127. Срывы и осыпи пород в районе бровки оползня. Сенгилеевский р-н, с. Выростайкино



Фото 73-11-00046. Срывы пород, оползневой блок. Ульяновский р-н, снт. Геолог



Фото 73-11-00051. Срывы, смещения грунта в районе левого борта оползня. Ульяновский р-н, снт. Родничок



Фото 73-11-00032. Оползневой склон. Ульяновский район, п. им. Карамзина, ул. Береговая



Фото 73-11-00033. Разжижение и сплывы грунта в центральной части. Ульяновский район, п. им. Карамзина, район кладбища



Фото 73-11-00083. Осыпание и оползание пород в центральной части оползня. Ульяновский район, п. Ундоры, ул. Малые Ундоры



Фото 73-11-00111. Поваленные деревья, бровка срыва оползня. Ульяновский район, п. Ундоры, санаторий им. Ленина



Фото 73-11-00141. Общий вид, срывы грунта по бровке оползня. Ульяновский район, п. Ундоры, ул. Молодежная



Фото 73-11-00130. Левый борт оползня, оплывание пород. Ульяновский район, п. Городищи. Городищенский разрез



Фото 73-11-00135. Срывы на бровке оползня. г. Новоульяновск, ул Портовая



Фото 73-11-00068. Оползень. Сенгилееский район, с. Буераки



Фото 73-11-00089. Оплывание грунта в центральной части оползня. п. Сланцевый Рудник



Фото 73-11-00040. Вид на оползневой склон. Ульяновский район. с. Максимовка



Фото 73-11-00037. Оползневой склон. Ульяновский р-н. с. Максимовка



Фото 73-11-00095. Бровка оползня. Сенгилеевский район., г. Сенгилей



Фото 73-11-00048. Осыпание бровки оползня. Ульяновский р-н, СТ Парус



Фото 73-11-00086. Панорама на оползневой склон. Ульяновский р-н, п. Городищи



Фото 73-11-00142. Правый борт оползня. Долина кристаллов. Ульяновский район, п. Городищи.

УРАЛЬСКИЙ ФЕДЕРАЛЬНЫЙ ОКРУГ

Свердловская область



Фото 66-31-00196. Активная карстово-суффозионная воронка с понором. Нижнесергинский район, природный парк «Оленьи ручьи»



Фото 66-31-00193. Карстовый провал с понором, поглощающим поверхностный сток. Нижнесергинский район, природный парк «Оленьи ручьи»



Фото 66-31-00461. Активная карстовая воронка с понором. Нижнесергинский район, природный парк «Оленьи ручьи»



Фото 66-11-00310. Общий вид рекультивированного оползневого участка в с. Усть-Ницинское, Слободо-Туринский район



Фото 66-11-00327. Осыпающаяся бровка отрыва оползня в д. Верхняя Иленка, Байкаловский МР, Баженовское сельское поселение



Фото 66-11-00309. Бровка отрыва оползня. Режевской район, окрестности с. Липовка



Фото-66-11-00308. Оползневой процесс на бортах карьера. Режевской район, окрестности с. Липовка



Фото 66-11-00555. Бровка отрыва оползневого блока на борту провала шахты Магнетитовая. ГО Нижний Тагил



Фото 66-11-00556. Провал над шахтным полем рядом с территорией КМЗ в г. Артемовский

Челябинская область



Фото 74-11-00172. Оползень, потенциально угрожающий железнодорожной линии. Еманжелинский район, п. Красногорский

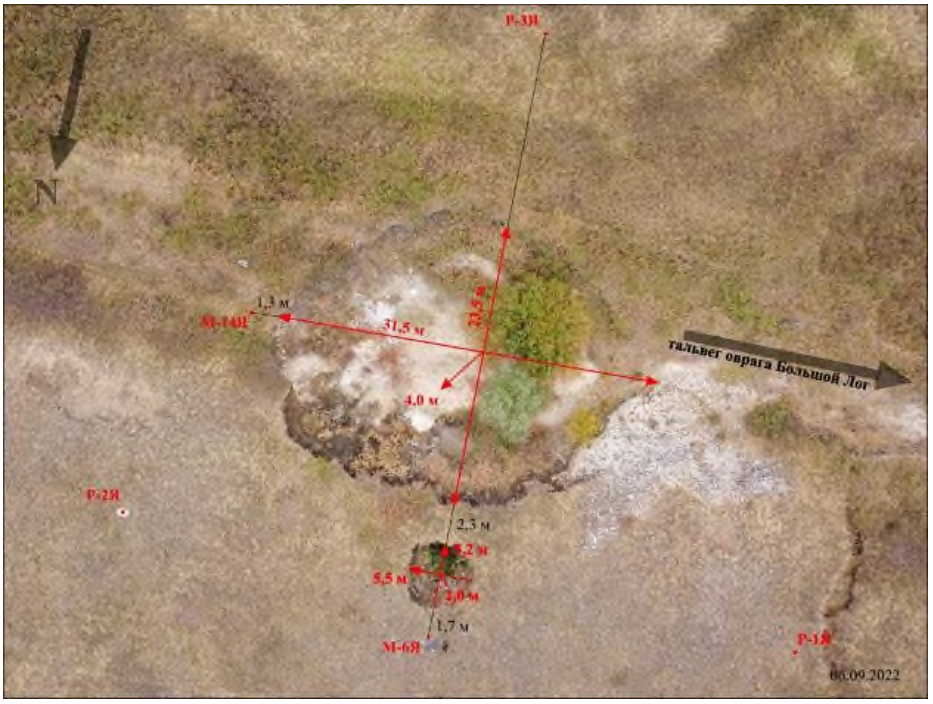

Фото 74-31-00001. Карстово-суффозионные воронки. Схема расположения реперов и марок в ТН 18 и результаты замеров. Агаповский район, ж/д ст. Пещерная

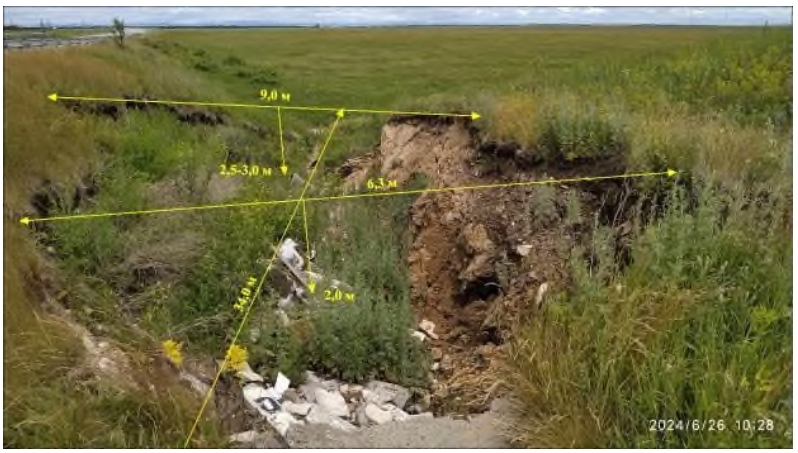

Фото 74-31-00171. Развитие прооцесса овражной эрозии вдоль кювета автодороги. Агаповский район, ж/д ст. Пещерная



Фото 74-31-00236. Эрозионный врез по левому борту оврага Большой Лог. Агаповский район, ж/д ст. Пещерная

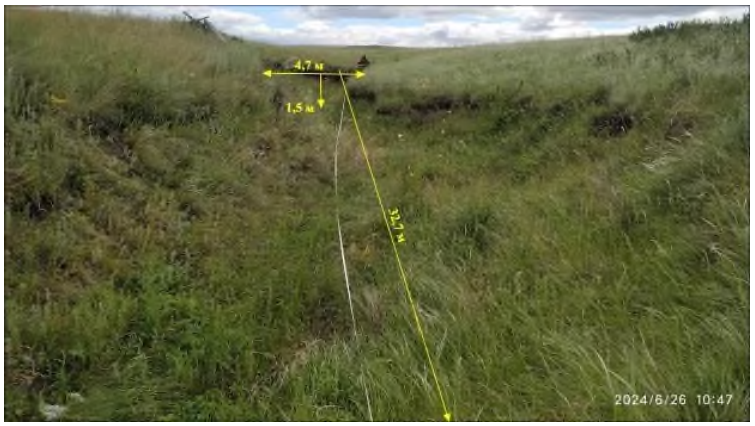

Фото 74-22-00201. Овраг. Агаповский район, ж/д ст. Пещерная

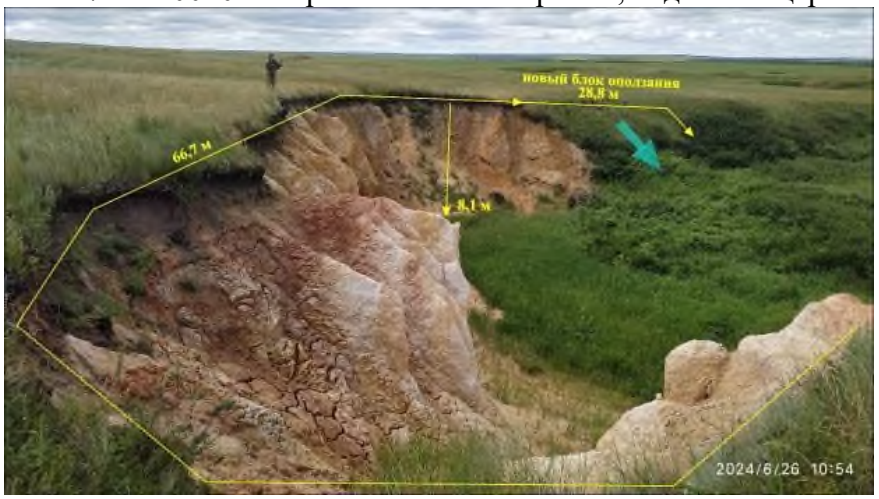

Фото 74-22-00198. Эрозионный врез по левому борту оврага большой Лог. Скульптурные формы в неогеновых отложениях). Агаповский район, ж/д ст. Пещерная

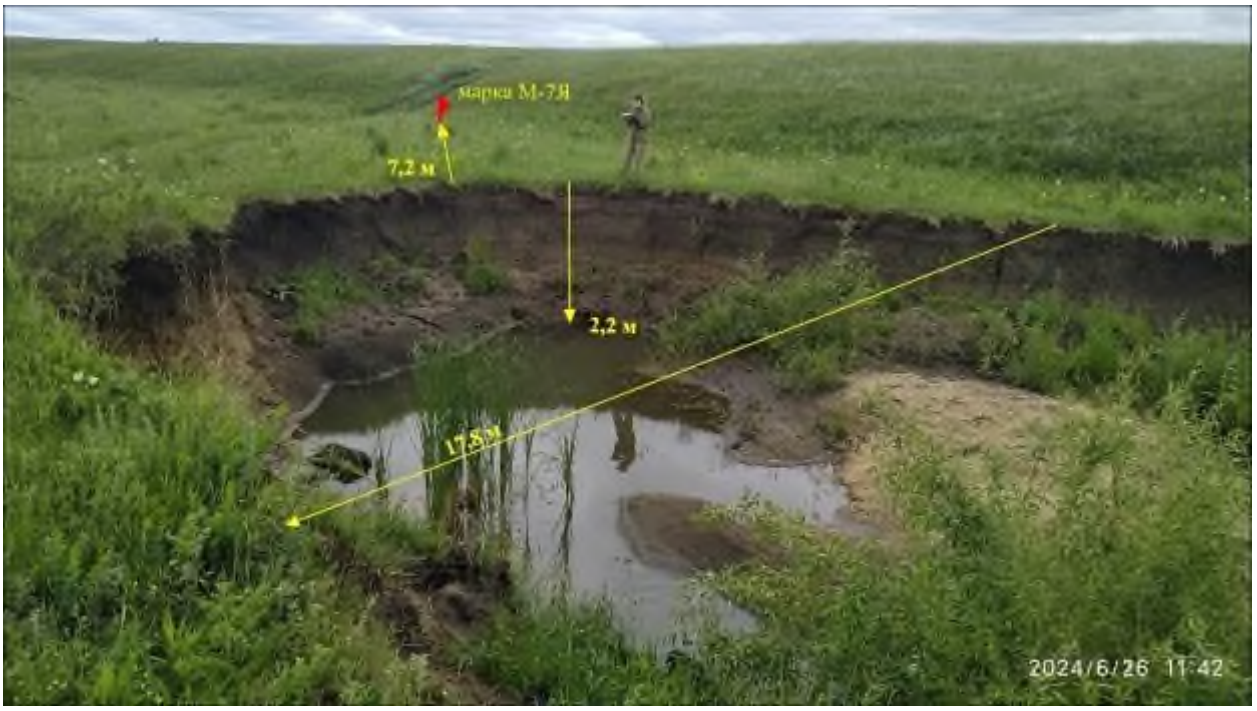

Фото 74-22-00019. Эрозионный уступ в тальвеге оврага Большой Лог. Агаповский район, ж/д ст. Пещерная

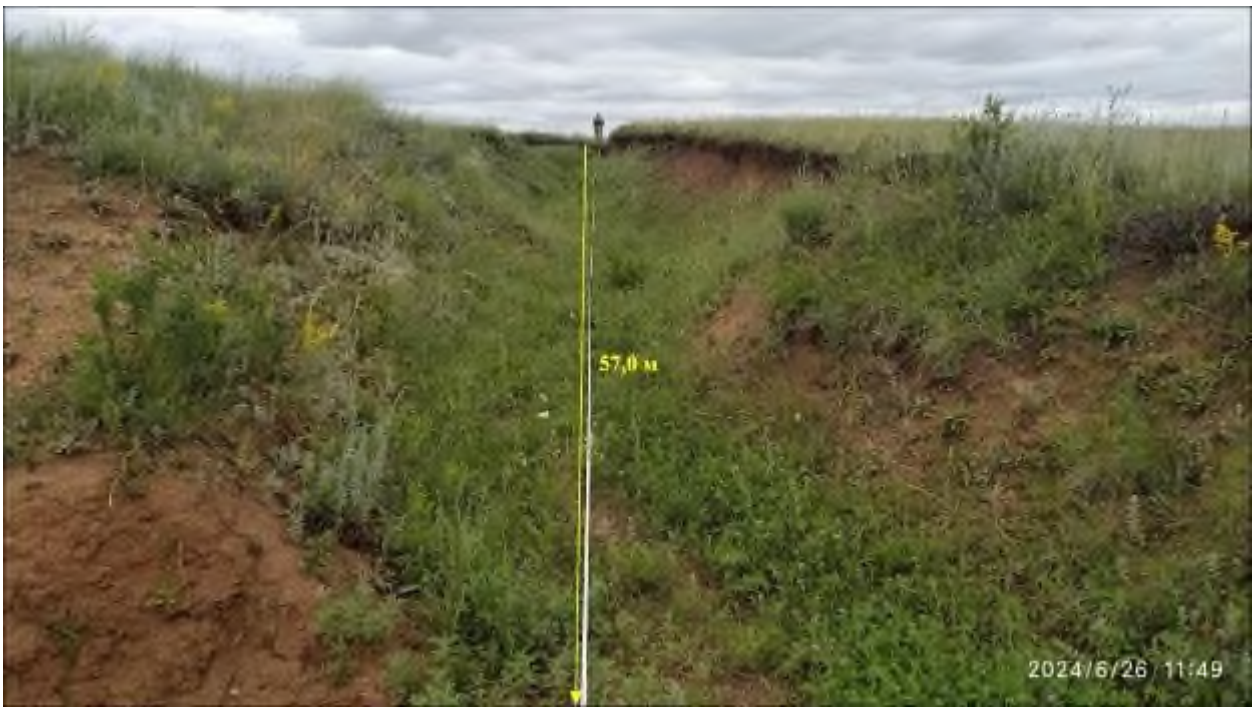

Фото 74-22-00202. Овраг. Агаповский район, ж/д ст. Пещерная

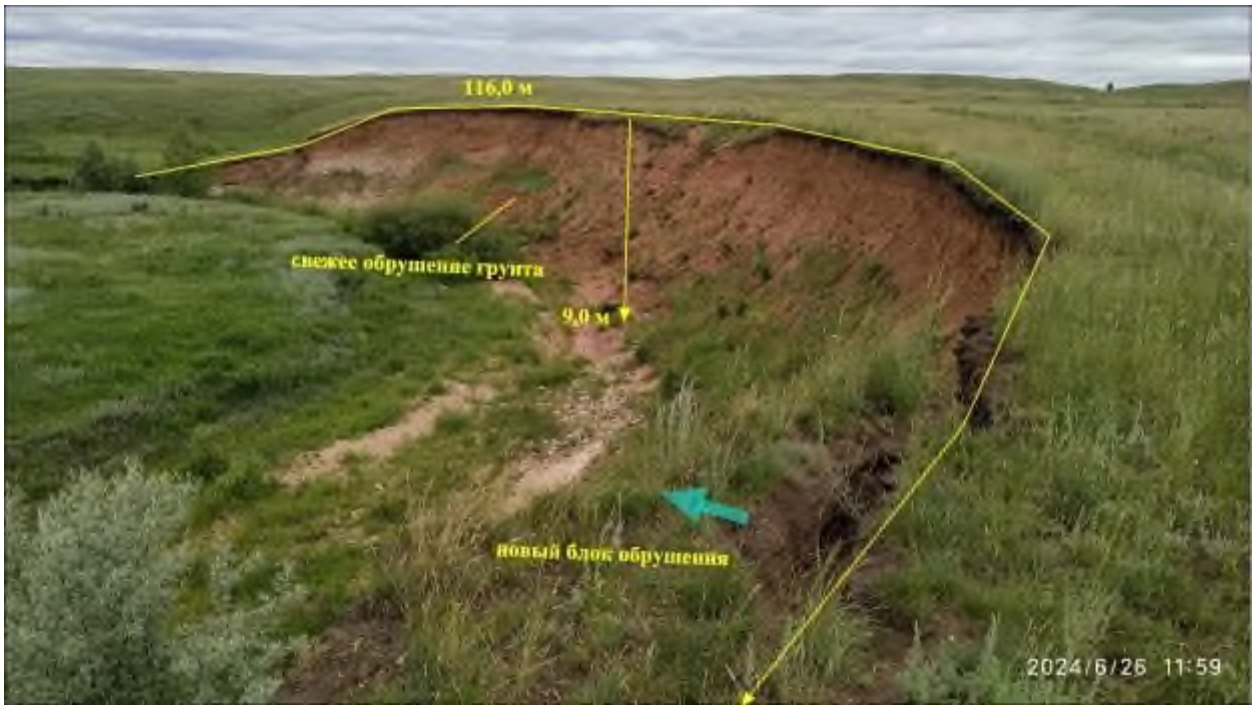

Фото 74-22-00176. Эрозионный врез по правому борту оврага большой Лог. Агаповский район, ж/д ст. Пещерная

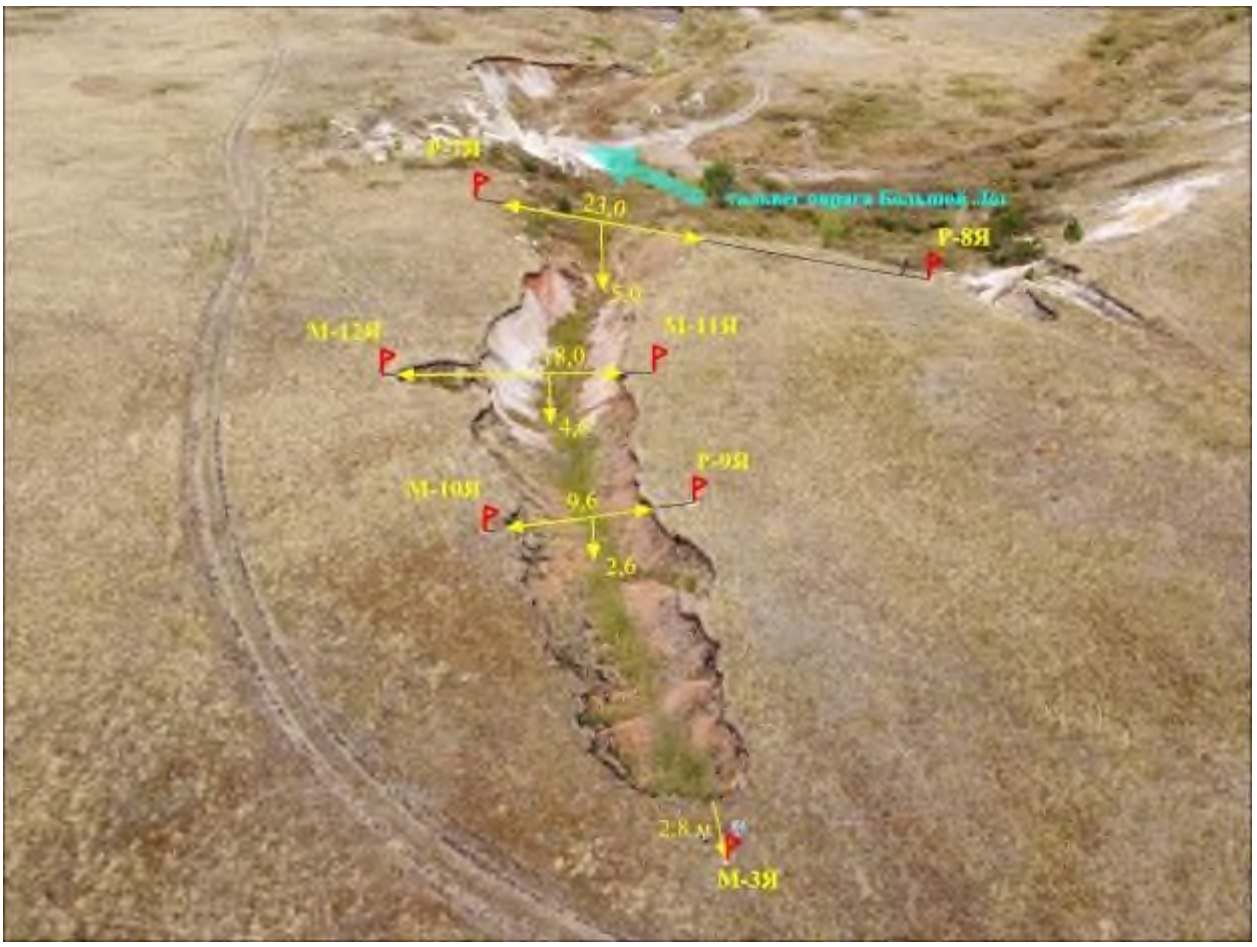

Фото 74-22-00013. Схема размещения реперов и грунтовых марок с результатами замеров. Агаповский район, ж/д ст. Пещерная



Фото 74-22-00199. Два эрозионных вреза и овраг между ними по правому борту оврага Большой Лог. Агаповский район, ж/д ст. Пещерная

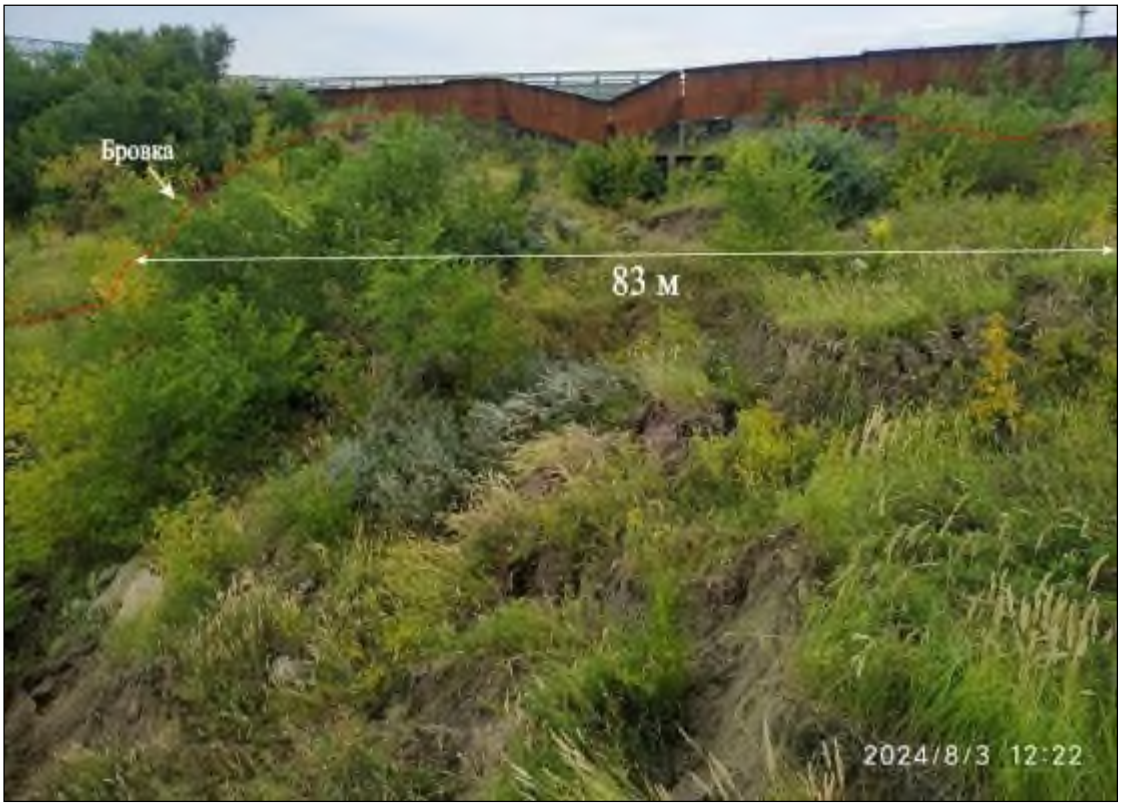

Фото 74-11-237. Оползневые смещения на борту Копейского разреза. г. Копейск



Фото 74-11-00067. Оползневая ступень. г. Копейск



Фото 74-11-00068. Техногенная активизация процесса овражной эрозии в результате сброса канализационных вод в карьер. г. Копейск

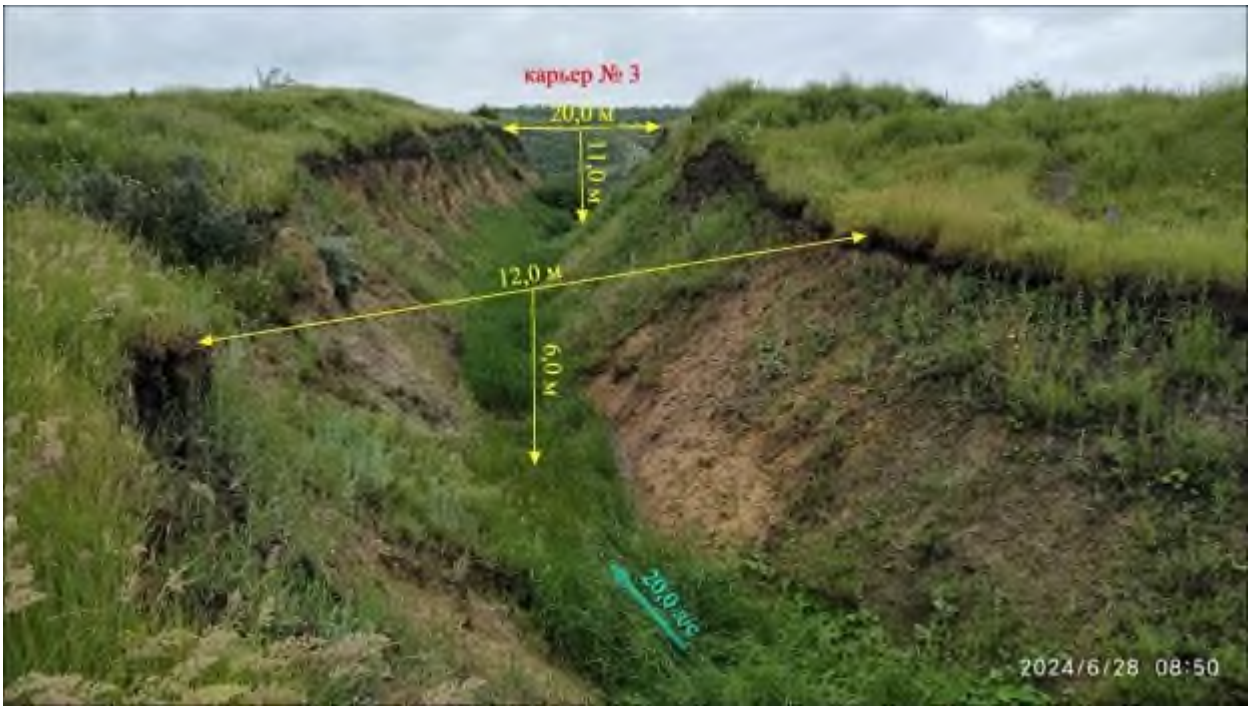

Фото 74-22-00022. Овражная эрозия на участке сброса поверхностных вод с болотного массива на окраине г. Еманжелинска



Фото 74-22-00023. Оползневые смещения по бортам оврага. г. Еманжелинск.

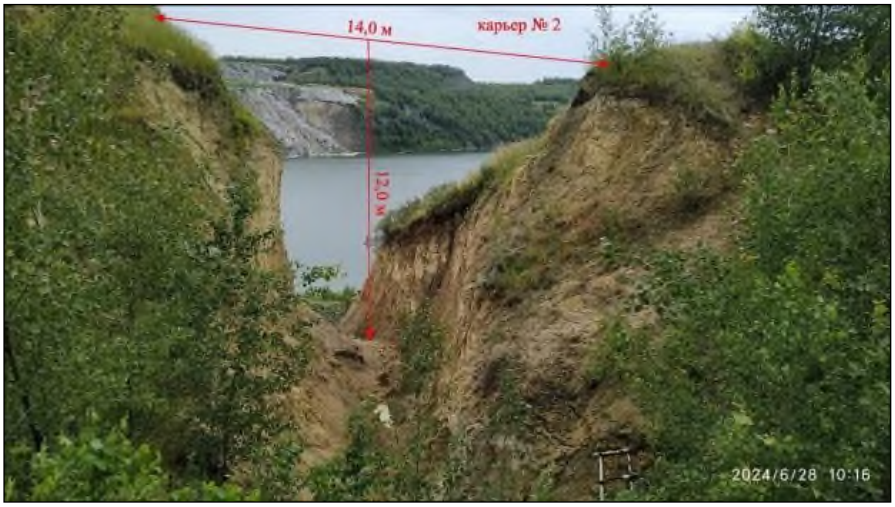

Фото 74-22-00025. Овраг на юго-восточном борту среднего карьера в г. Еманжелинск



Фото 74-22-00203. Овраг на борту карьера в п. Проходная. г. Еманжелинск, п. Проходная

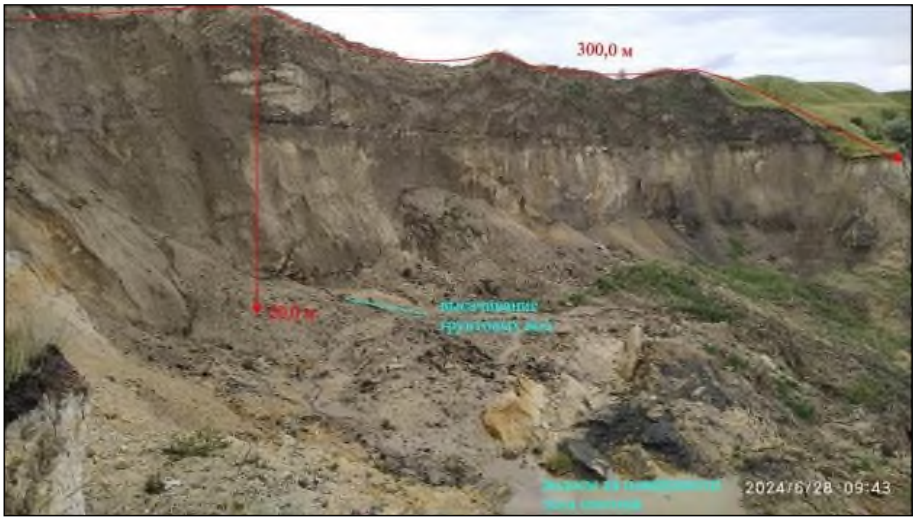

Фото 74-11-00063. Бровка отрыва оползня-потока, в ее основании – высачивание грунтовых вод. г. Еманжелинск



Фото 74-11-00061. Оползень на борту карьера № 2. Еманжелинский ГО



Фото 74-11-00059. Оползни-потоки с одним устьем в районе п. Батуринский. Еманжелинский ГО

ХМАО-Югра



Фото 86-13-00006. Подтопление территории на участке дома № 8а по ул. Гидропорт. п. Березово, Березовского района



Фото 86-13-00013. Подтопление частных землевладений по ул. Сосунова дома № 36-44. п. Березово, Березовского района



Фото 86-13-00035. Дренажная канава по периметру торфяного массива. г. Урай



Фото 89-06-00227. Булгуннях – крупный многолетний бугор пучения в 2,5 км западнее с. Сёяха Ямальский район



Фото 89-11-00228. Оползень на побережье Обской Губы в районе вышек связи. Ямальский район, с. Сёяха



Фото 89-11-00229. Участок обрушения берега с байджерахами. Ямальский район, с. Сёяха



Фото 89-11-00230. Оползневой процесс на высоком берегу Обской губы в ТН 7. Ямальский район, с. Сёяха



Фото 89-11-00232. Вытаивание жильных льдов на высоком берегу Обской губы и смещение вниз по склону. Ямальский район, с. Сёяха



Фото 89-11-00233. Оползневой процесс в районе причала в парагенезисе с термоабразией и таянием мгоголетнемерзлых грунтов. Ямальский район, с. Сёяха



Фото 89-20-00010. Оползание пород в парагенезисе с термоэрозионным процессом и термоабразией. Разветвленный овраг. Ямальский район, с. Сёяха



Фото 89-20-00190. Устье разветвленного оврага. Ямальский район, с. Сёяха



Фото 89-20-00013. Овражная термоэрозия на участке строительства водозабора. Ямальский район, с. Сёяха



Фото 89-20-00014. Термоцирк. Ямальский район, с. Сёяха



Фото 89-12-00001. Вид участка профиля для наблюдений за осыпным процессом в районе стоянки «Идолы». Приуральский район, массив Рай-Из



Фото 89-12-00002. Общий вид участка профиля для наблюдений за осыпным процессом. Приуральский район, массив Рай-Из



Фото 89-20-00001. Активный процесс овражной термоэрозии в центре с. Аксарка Приуральский район



Фото 89-20-00003. Участок термоэрозии со стороны мемориала в с. Аксарка, Приуральский район

СИБИРСКИЙ ФЕДЕРАЛЬНЫЙ ОКРУГ



Фото 04-11-00014. Трещины растяжения в надоползневом уступе по левому флангу оползня, в 9,2 км ЮЗ с. Бельтир, Кош-Агачский район, Республика Алтай, 31.08.2024

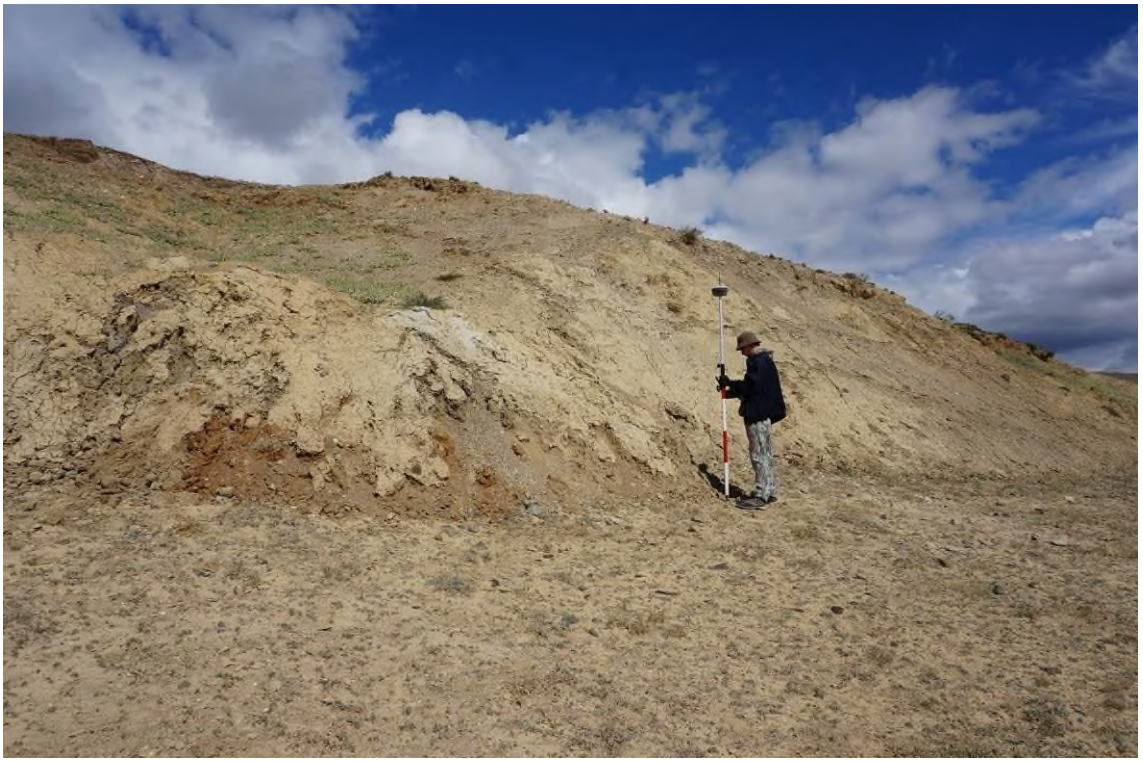

Оползень № 04-11-00016. Фронтальный уступ языка оползня со следами оползания, в 4,5 км севернее с. Ортолык, Кош-Агачский район, Республика Алтай, 02.09.2024



Фото 04-11-00020. Смещение оползневых масс в зоне надоползневого уступа, в 1,8 км С с. Чаган-Узун, Кош-Агачский район, Республика Алтай, 01.09.2024



Фото 04-11-00021. Транзитная часть оползня разбита трещинами на блоки, в 2,15 км СЗ с. Чаган-Узун, Кош-Агачский район, Республика Алтай, 01.09.2024



Фото 04-11-00023. Отступание надоползневого уступа вверх по склону, в 3,55 км Ю с. Чаган-Узун, Кош-Агачский район, Республика Алтай, 28.08.2024

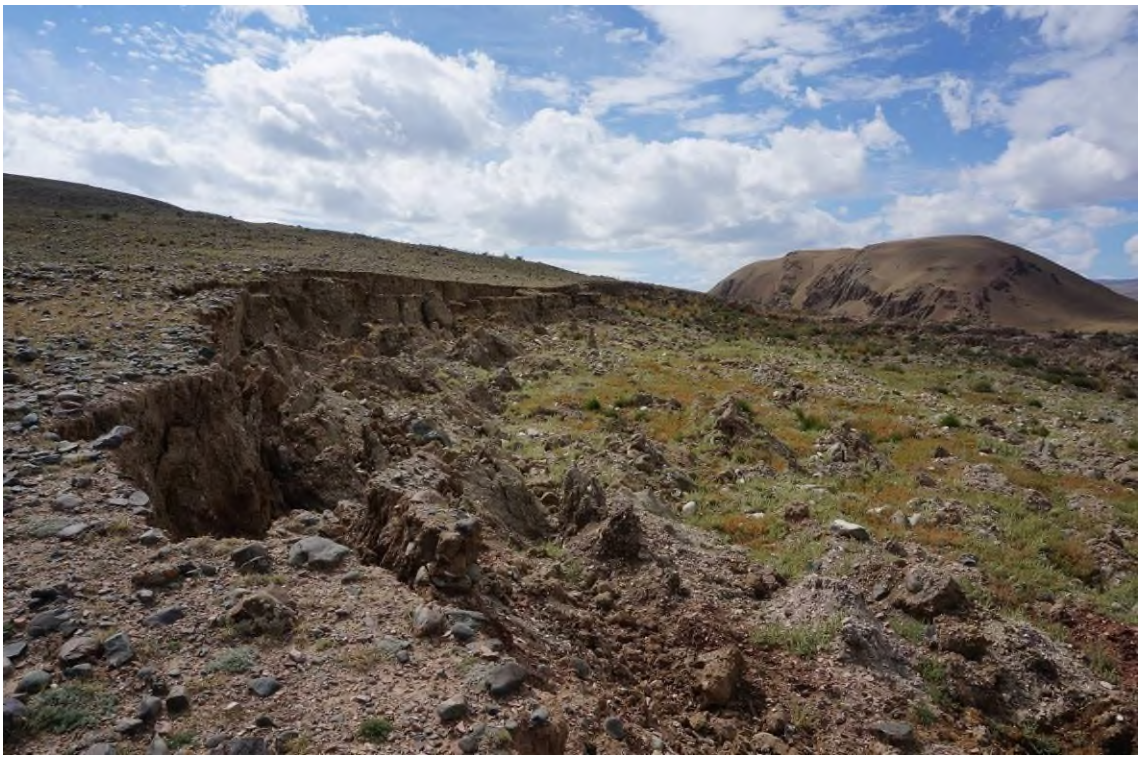

Фото 04-11-00024. Надоползневый уступ в вершине высотой до 2,5 м, в 3,58 км Ю с. Чаган-Узун, Кош-Агачский район, Республика Алтай, 28.08.2024



Фото 04-11-00037. Незначительная активность в зоне надополэневого уступа. На дальнем плане, в левом борту ручья оползень № 04-11-00023, в 3,18 км Ю с. Чаган-Узун, Кош-Агачский район, Республика Алтай, 28.08.2024



Фото 04-11-00040. Оползни № 04-11-00043 (слева) и № 04-11-00040 (справа). Общий вид оползней, в 5,17 км С с. Ортолык Кош-Агачский район, Республика Алтай, 31.08.2024



Фото 04-11-00043. Ступенеобразный надоползневый уступ, в 5,29 км С с. Ортолык, Кош-Агачский район, Республика Алтай, 31.08.2024



Фото 04-11-00044. Транзитная часть оползня с замытыми элементами оползневого рельефа, в 4,02 км Ю с. Чаган-Узун, Кош-Агачский район, Республика Алтай, 28.08.2024



Фото 04-11-00047. Разветвленный язык оползня, в 1,86 км СВ с. Чаган-Узун, Кош-Агачский район, Республика Алтай, 29.08.2024



Фото 04-11-00048. Язык блокового оползня наползает на лиственницы, в 1,9 км С с. Чаган-Узун, Кош-Агачский район, Республика Алтай, 01.09.2024



Фото 04-11-00022. Древний оползень, общий вид, в 0,18 км СВ с. Чаган-Узун, Кош-Агачский район, Республика Алтай, 01.09.2024



Фото 04-11-00049. Оползень II порядка № 04-11-00049 в языковой части оползня № 04-11-00022, в 0,17 км СВ с. Чаган-Узун, Кош-Агачский район, Республика Алтай, 01.09.2024



Фото 04-11-00050. Влажные грунты, в присклоновой западине - озерко, в 0,17 км СВ с. Чаган-Узун, Кош-Агачский район, Республика Алтай, 01.09.2024



Фото 04-11-00051. Фронтальный уступ языка с трещинами сдвига и растяжения на бровке цокольного уступа и выше его, в 0,5 км СВ с. Чаган-Узун, Кош-Агачский район, Республика Алтай, 01.09.2024



Фото 04-11-00052. Солифлюкционный язык оползня с валами выдавливания и поваленными кустарниками ивы, в 1,9 км С с. Чаган-Узун, Кош-Агачский район, Республика Алтай, 01.09.2024



Фото 04-11-00057. Границы оползня с наиболее активными участками движения по флангам выделяются на дороге плавными уступами и свежими темными пятнами асфальта, уч. а/дороги в Алтайское подворье, 20,05 км, Онгудайский район, Республика Алтай, 19.07.2024



Фото 04-11-00058. Грядово-западинный рельеф с трещинами и рвами в структурном элювии, уч. а/дороги в Алтайское подворье, 19,5 км, Онгудайский район, Республика Алтай, 19.07.2024



Фото 04-11-00063. Мелкий блоковый оползень с характерным грядовым рельефом и четко выраженными в рельефе границами в виде боковых уступов, уч. а/дороги в Алтайское подворье, 19,5 км, Республика Алтай, Онгудайский район, 19.07.2024



Фото 04-11-00059. Транзитная часть оползня № 04-11-00059 с элементами скольжения рыхлых пород перед фронтальной частью языка, в 10 км ЮЗ с. Чаган-Узун, Кош-Агачский район, Республика Алтай, 29.08.2024



Фото 04-11-00061. Зона проседания по трещинам растяжения с опусканием, развивающаяся выше оползня, в 10 км ЮЗ с. Чаган-Узун, Кош-Агачский район, Республика Алтай, 29.08.2024



Фото 04-22-00002. Развитие оврага на водовыпуске, уч. а/дороги Кош-Агач – Джазатор, 99,72 км, Кош-Агачский район, Республика Алтай, 30.08.2024



Фото 04-12-00017. Осыпание рыхлого материала и развитие рытвин метеогенного стока в уступе склона, уч. а/дороги Кош-Агач – Джазатор, 101,2 км, Республика Алтай, 30.08.2024



Фото 04-22-00010. Вершина оврага в 4,5 м от дороги, уч. а/дороги Кош-Агач – Джазатор, 118,0 км, Кош-Агачский район, Республика Алтай, 30.08.2024



Фото 04-22-00003. Вершина оврага в 5,8 м от дороги, уч. а/дороги Кош-Агач – Джазатор, 128,06 км, Кош-Агачский район, Республика Алтай, 30.08.2024



Фото 04-11-00064. Разрушение откосов автодороги на отрезке 6 м, уч. а/дороги Кош-Агач - Джазатор, 135,41 км, Кош-Агачский район, Республика Алтай, 30.08.2024



Фото 04-12-00018. Осыпные шлейфы и рытвины в уступе террасы, уч. а/дороги Кош-Агач – Джазатор, 136,6-136,84 км, Кош-Агачский район, Республика Алтай, 30.08.2024



Фото 04-12-00004. Осыпной конус перекрывает кюветы и обочину на уч. а/дороги Акташ – Улаган, 12,75-13,21 км, Улаганский район, Республика Алтай, 03.09.2024



Фото 04-12-00005. Осыпной шлейф перекрывает обочины и кюветы на уч. а/дороги Акташ – Улаган, 11,83-12,27 км, Улаганский район, Республика Алтай, 03.09.2024



Фото 04-12-00006. Осыпной шлейф на обочине а/дороги, уч. а/дороги Акташ – Улаган, 11,15-11,6 км, Улаганский район, Республика Алтай, 03.09.2024



Фото 04-12-00007. Пересыпание мелкими глыбами кювет а/дороги, уч. а/дороги Акташ – Улаган, 8,72-9,235 км, Улаганский район, Республика Алтай, 03.09.2024



Фото 04-11-00065. Фронтальное смещение глыбово-щебнистого материала, блоков ПРС с деревьями и кустарниками, уч. а/дороги Акташ - Улаган, 8,49-8,575 км, Улаганский район, Республика Алтай, Республика Алтай, 03.09.2024



Фото 04-12-00002. В подножии осыпи стоянка автомобилей для обзора памятника природы «Красные ворота», уч. а/дороги Акташ – Улаган, 8,05-8,135 км, Улаганский район, Республика Алтай, 03.09.2024



Фото 04-12-00008. Пересыпание кювет автодороги осыпными шлейфами, автодорога Акташ – Улаган, 7,72-7,92 км, Улаганский район, Республика Алтай, 03.09.2024



Фото 04-12-00009. Мелкое пересыпание кювет и обочины а/дороги глыбово-щебнистым материалом, уч. а/дороги Акташ – Улаган, 6,95-7,3 км, Улаганский район, Республика Алтай, 03.09.2024



Фото 04-12-00010. Осыпные шлейфы перекрывают обочины а/дороги Акташ – Улаган, 6,11-6,79 км, Улаганский район, Республика Алтай, 03.09.2024



Фото 04-12-00011. Кюветы и обочина автодороги частично перекрыты глыбово-щебнистым материалом осыпных шлейфов, уч. а/дороги Акташ – Улаган, 5,85-6,03 км, Улаганский район, Республика Алтай, 03.09.2024



Фото 04-12-00003. Осыпной конус перекрывает обочину а/дороги, уч. а/дороги Акташ – Улаган, 5,33-5,55 км, Улаганский район, Республика Алтай, 03.09.2024



Фото 04-12-00012. Кюветы и обочина автодороги перекрыты щебнисто-глыбовым материалом осыпного конуса, уч. а/дороги Акташ – Улаган, 4,68-4,8 км, Улаганский район, Республика Алтай, 03.09.2024



Фото 04-10-00009. В вертикальных уступах террасы р. Катунь - козырьки ПРС, блоки отпора, с. Тюнгур, Усть-Коксинский район, Республика Алтай, 22.07.2024



Фото 04-22-00005. Овраг № 1 на въезде в с. Тюнгур, вершина достигает откосов дорожного полотна, с. Тюнгур, Усть-Коксинский район, Республика Алтай, 22.07.2024



Фото 04-22-00006. В вершине оврага № 2 развит новый отвершек, с. Тюнгур, Усть-Коксинский район, Республика Алтай, 22.07.2024



Фото 04-12-00019. Хозпостройки и ограждения усадьбы по ул. Шоссейная, 17 разрушены, с. Кара-Кобы, Онгудайский район, Республика Алтай, 20.07.2024



Фото 04-22-00007. Вершина оврага № 1 достигает откосов дороги, уч. а/дороги Туекта – Усть-Кан, 21,08 км, с. Кара-Кобы, Онгудайский район, Республика Алтай, 20.07.2024



Фото 04-22-00008. Вершина оврага № 3 достигает откосов дороги, уч. а/дороги Туекта – Усть-Кан, 20,05 км, с. Кара-Кобы, Онгудайский район, Республика Алтай, 20.07.2024



Фото 04-22-00009. Вершина оврага № 4 достигает откосов дороги, уч. а/дороги Туекта – Усть-Кан, 19,96 км, с. Кара-Кобы, Онгудайский район, Республика Алтай, 20.07.2024



Фото 04-12-00020. Разрушение откосов автодороги осыпным процессом на автодороге в с. Инегень, Онгудайский район, Республика Алтай, 27.08.2024



Фото 04-22-00011. Разрушение дорожного полотна и откосов дороги в вершине оврага, а/дорога в с. Инегень, Онгудайский район, Республика Алтай, 27.08.2024



Фото 04-10-00006. Козырьки ПРС, блоки отпора размером до 0,5*0,5*1,5 м, с. Березовка, Усть-Коксинский район, Республика Алтай, 21.07.2024



Фото 04-12-00014. Пересыпание рыхлого материала в уступе высокой террасы, в зоне воздействия огород и ограждения усадьбы по ул. Набережная, 127А, с. Усть-Кокса, Усть-Коксинский район, Республика Алтай, 23.07.2024



Фото 04-10-00007. Блоки обрушения в подошве вертикального уступа террасы, уч. а/дороги Усть-Кокса – Мараловодка, 21-22 км, Усть-Коксинский район, Республика Алтай, 23.07.2024



Фото 04-12-00015. В бровке разрушаемого уступа расположены летняя кухня и баня, с. Верх-Бийск, Турочакский район, Республика Алтай, 18.07.2024



Фото 04-12-00016. Осыпные шлейфы и мелкое пересыпание в крутом уступе террасы, в 3 км СВ с. Курай, Кош-Агачский район, Республика Алтай, 03.09.2024



Фото 04-10-00010. Крупный блок оползания шириной до 3,5 м, с глубиной отседания 0,5-0,85 м, в 1,5 м от а/дороги Усть-Кокса – Мараловодка, 2-3 км, Усть-Коксинский район, Республика Алтай, 22.07.2024



Фото 04-10-00011. Угол усадьбы в 1,4 м от бровки уступа, с. Мульта, Усть-Коксинский район, Республика Алтай, 22.07.2024



Фото 04-12-00021. Осыпные шлейфы в подножии техногенных уступов с мелким пересыпанием а/дороги, уч. а/дороги Балыктуюль – Балыкча, 30-36,8 км, Улаганский район, Республика Алтай, 04.09.2024



Фото 17-12-00008. Осыпь у подножия западного склона, скопление осыпного материала на водоотводном лотке, уч. а/дороги Р-257 Енисей, 770 км,Пий-Хемский район, Республика Тыва, 31.07.2024



Фото 17-12-00009. Осыпной склон, уч. а/дороги Р-257 Енисей, 770 км, Пий-Хемский район, Республика Тыва, 31.07.2024



Фото 17-12-00010. Осыпной склон, уч. а/дороги Р-257 Енисей, 770-771 км, Пий-Хемский район, Республика Тыва, 31.07.2024



Фото 17-12-00011. Осыпной материал у подножия скалистого склона, уч. а/дороги Р-257 Енисей, 772-773 км, Пий-Хемский район, Республика Тыва, 31.07.2024



Фото 17-10-00001. Уступ в селе с. Сайлыг, Чеди-Хольский район, Республика Тыва, 05.08.2024



Фото 17-10-00002. Участок уступа с трещинами отседания и обрушения грунта, с. Хорум-Даг, Дзун-Хемчикский район, Республика Тыва, 10.08.2024



Фото 17-22-00001. Свежие обрушения в борту оврага, уч. а/дороги Р-257 в районе с. Уюк, Пий-Хемский район, Республика Тыва, 31.07.2024



Фото 17-22-00008. Вершина оврага №4, с. Сизим, Каа-Хемский район, Республика Тыва, 05.09.2024



Фото 17-22-00009. Вершина овраг № 5, с. Сизим, Каа-Хемский район, Республика Тыва, 05.09.2024



Фото 17-22-00010. Вершина оврага № 6, с. Сизим, Каа-Хемский район, Республика Тыва, 05.09.2024



Фото 17-22-00012. Трещина отседания и ниша по левому борту оврага №1, уч. а/дороги Шагонар–Эйлиг-Хем, 10 км, Улуг-Хемский район, Республика Тыва, 21.08.2024



Фото 17-22-00013. Отвершек оврага №2, уч. а/дороги Шагонар–Эйлиг-Хем, 10 км, Улуг-Хемский район, Республика Тыва, 21.08.2024



Фото 17-22-00016. Овраг №5, свежие обрушения, блоки отрыва левого борта, уч. а/дороги Шагонар – Эйлиг-Хем, 22 км, Улуг-Хемский район, Республика Тыва, 21.08.2024



Фото 17-22-00017. Овраг № 6, уч. а/дороги Шагонар – Эйлиг-Хем, Улуг-Хемский район, Республика Тыва, 21.08.2024



Фото 17-22-00018. Вершина оврага № 1, уч. а/дороги Р-257 у г. Чадан, Дзун-Хемчикский район, Республика Тыва, 23.08.2024



Фото 19-11-00002. Верхняя стенка отрыва оползня на левой стороне дороги на участке а/дороги Р-257, Братский мост, Алтайский район, Республика Хакасия, 19.07.2024



Фото 19-11-00003. Юго-западная окраина оползня 1 на участке а/дороги Р-257, Братский мост, Алтайский район, Республика Хакасия, 19.07.2024



Фото 19-11-00004. Центральная часть стенки отрыва оползня 2 на участке а/дороги Р-257, Братский мост, Алтайский район, Республика Хакасия, 19.07.2024



Фото 19-11-00005. Общий вид на оползень 3 на участке а/дороги Р-257, Братский мост, Алтайский район, Республика Хакасия, 19.07.2024



Фото 19-11-00006. Общий вид на оползень 4 на участке а/дороги Р-257, Братский мост, Алтайский район, Республика Хакасия, 19.07.2024



Фото 19-22-00006. Переуглубление русла оврага № 1, с. Советская Хакасия, Боградский район, Республика Хакасия, 22.07.2024



Фото 19-22-00007. Русло оврага 2 в привершинной части, с. Советская Хакасия, Боградский район, Республика Хакасия, 22.07.2024



Фото 19-11-00008. Оползание обочины на участке а/дороги Абакан-Подсинее, 7,15-7,25 км, Алтайский район, Республика Хакасия (https://19rusinfo.ru/obshchestvo/74438-podryadchik-pristupil-k-remontu-trassy-prosevshej-vozle-mosta-cherez-reku-enisej)



Фото 24-13-00001. Деформация дома по ул. Шушенская, 38. ПН Минусинск. г. Минусинск, Минусинский район, Красноярский край, 18.07.2024



Фото 24-22-00001. Вершина 2 оврага 1, ПН Приморск. п. Приморск, Балахтинский район, Красноярский край, 12.07.2024



Фото 24-22-00004. Активное обрушение бортов левого отвершка I порядка оврага 4, ПН Приморск. п. Приморск, Балахтинский район, Красноярский край, 12.07.2024



Фото 24-22-00058. Вершина оврага, ПН уч. а/дороги Р-255, 29 км, Емельяновский район, Красноярский край, 29.08.2024



Фото 24-22-00027. Вершина оврага на северо-восточной окраине с. Краснотуранск, ПН Краснотуранск. Краснотуранский район, Красноярский край, 13.07.2024



Фото 24-22-00037. Вершина оврага по линии стока оврага «Левый», ПН уч. а/дороги Минусинск-Беллык, 98 км, в 2 км З д. Уза, Краснотуранский район, Красноярский край, 13.07.2024



Фото 24-22-00039. Вершина отвершка по левому борту «Основного» оврага, ПН уч. а/дороги Минусинск-Беллык, 98 км, в 2 км З д. Уза, Краснотуранский район, Красноярский край, 13.07.2024



Фото 24-22-00040. Вершина оврага «Центральный», ПН уч. а/дороги Минусинск-Беллык, 98 км, в 2 км З д. Уза, Краснотуранский район, Красноярский край, 13.07.2024



Фото 24-22-00041. Участок с обрушениями по левому борту оврага, ПН уч. а/дороги Минусинск-Беллык, 93 км, 2,8 км СЗ д. Белоярск, Краснотуранский район, Красноярский край, 13.07.2024



Фото 24-22-00069. Вершина 3 (левая) оврага №3, ПН с/х угодья Краснотуранского района, в 5,5 км СВ д. Листвягово, Краснотуранский район, Красноярский край, 14.07.2024



Фото 24-22-00091. Вершина 1 оврага №1 на с/х угодья ОПХ «Курагинское», в 2,2 км СВ с. Пойлово, Курагинский район, Красноярский край, 16.07.2024



Фото 24-22-00092. Вершина оврага №2 на с/х угодья ОПХ «Курагинское», в 2,5 км СВ с. Пойлово, Курагинский район, Красноярский край, 16.07.2024



Фото 24-22-00093. Вершина 1 и 2 участка переуглубления оврага №3 на с/х угодья ОПХ «Курагинское», в 2,5 км СВ с. Пойлово, Курагинский район, Красноярский край, 16.07.2024



Фото 24-22-00094. Вершины 1 и 2 оврага №4 на с/х угодья ОПХ «Курагинское», в 2,2 км СВ с. Пойлово, Курагинский район, Красноярский край, 16.07.2024



Фото 24-22-00096. Вершина и русло оврага №6 на с/х угодья ОПХ «Курагинское», в 2 км СВ с. Пойлово, Курагинский район, Красноярский край, 16.07.2024



Фото 24-22-00097. Вершина оврага №7 на с/х угодья ОПХ «Курагинское», в 1,7 км СВ с. Пойлово, Курагинский район, Красноярский край, 16.07.2024



Фото 24-22-00098. Вершина оврага №8 на с/х угодья ОПХ «Курагинское», в 1,5 км СВ с. Пойлово, Курагинский район, Красноярский край, 16.07.2024



Фото 24-22-00099. Вершина 1 оврага №9 на с/х угодья ОПХ «Курагинское», в 2,5 км СВ с. Пойлово, Курагинский район, Красноярский край, 16.07.2024



Фото 24-22-00024. Участок свежих обрушений по левому борту оврага «Новый», ПН Пригородный. п. Пригородный, Минусинский район, Красноярский край, 17.07.2024



Фото 24-22-00025. Вершина оврага по логу Восточный, ПН Пригородный. п. Пригородный, Минусинский район, Красноярский край, 17.07.2024



Фото 24-22-00021. Вершина отвершка 9, ПН Суходол. п. Суходол, Минусинский район, Красноярский край, 19.07.2024



Фото 24-22-00087. Участок свежих обрушений в русле оврага №3, ПН Зубаревский, в 4,6 км СВ д. Быстрая, Минусинский район, Красноярский край, 17.07.2024



Фото 24-22-00053. Вершина оврага №3, ПН Спартак, в 7 км В с. Мал. Минуса, Минусинский район, Красноярский край, 15.07.2024



Фото 24-22-00056. Вершина (правая) оврага №6, ПН Спартак, в 7 км В с. Мал. Минуса, Минусинский район, Красноярский край, 15.07.2024



Фото 24-22-00088. Вершина оврага №1, ПН с/х угодья Минусинского района, в 11,5 км С с. Городок, Минусинский район, Красноярский край, 14.07.2024



Фото 24-17-00003. Суффозионный канал, ПН с/х угодья Минусинского района, в 12,3 км С с. Городок, Минусинский район, Красноярский край, 14.07.2024



Фото 24-22-00066. Вершина правого отвершка оврага №4, ПН Аешка, п. Аешка, Новоселовский район, Красноярский край, 22.07.2024



Фото 24-22-00005. Вершина оврага №1, ПН Куртак, в 0,4 км ЮВ п. Куртак, Новоселовский район, Красноярский край, 12.07.2024



Фото 24-22-00006. Вершина оврага №2, ПН Куртак, в 0,4 км ЮВ п. Куртак, Новоселовский район, Красноярский край, 12.07.2024



Фото 24-22-00015. Вершина оврага №11, ПН Куртак, в 0,6 км ЮВ п. Куртак, Новоселовский район, Красноярский край, 12.07.2024



Фото 24-22-00017. Вершина оврага №13, ПН Куртак, в 1 км ЮВ п. Куртак, Новоселовский район, Красноярский край, 12.07.2024



Фото 24-22-00029. Вершина (левая) оврага «Левый», ПН уч. а/дороги Р-257, 242 км, в 3,5 км западнее с. Новоселово, Новоселовский район, Красноярский край, 22.07.2024



Фото 24-11-00003. Правый борт оползня-потока, ПН Малосырский, в 4,7 км ЮВ д. Малые Сыры, Балахтинский район, Красноярский край, 26.08.2024



Фото 24-11-00004. Южная окраина участка блокового оползня, ПН Малосырский, в 4,3 км ЮВ д. Малые Сыры, Балахтинский район, Красноярский край, 26.08.2024



Фото 24-11-00002. Нижняя, приурезовая часть оползня в средней части оползневого участка, ПН Стеклозавод. пгт. Памяти 23 Борцов, Емельяновский район, Красноярский край, 02.09.2024



Фото 24-17-00004. Суффозионный провал №1, направленный к вершине отвершка, ПН уч. а/дороги Анцирь-Хаерино, в 0,5 км З с. Анцирь, Канский район, Красноярский край, 10.09.2024



Фото 24-17-00005. Суффозионный провал №2 с суффозионными каналами в борту, ПН уч. а/дороги Анцирь-Хаерино, в 0,5 км З с. Анцирь, Канский район, Красноярский край, 10.09.2024



Фото 24-11-00007. Центральная часть оползневого участка ниже полотна ж/дороги, ПН Балайский Косогор, СЗ окраина о.п. Балайский Косогор, Уярский район, Красноярский край, 09.09.2024



Фото 38-11-00002. Оползень №2, побережье залива Сарайский оз. Байкал, Ольхонский район, Иркутская область, 15.08.2024



Фото 38-11-00003. Оползень №3, побережье залива Сарайский оз. Байкал, Ольхонский район, Иркутская область, 15.08.2024



Фото 38-11-00004. Оползень №4, побережье залива Сарайский оз. Байкал, Ольхонский район, Иркутская область, 15.08.2024



Фото 38-11-00005. Оползень №1, участок от мыса Харанцы до мыса Харалдой оз. Байкал, Ольхонский район, Иркутская область, 15.08.2024



Фото 38-11-00006. Оползень №2, участок от мыса Харанцы до мыса Харалдой оз. Байкал, Ольхонский район, Иркутская область, 15.08.2024



Фото 38-21-00001. Проявление эоловой аккумуляции в д. Харанцы, Ольхонский район, Иркутская область, 15.08.2024



Фото 38-21-00002. Проявление эоловой аккумуляции в д. Харанцы по ул. Намшеевой, Ольхонский район, Иркутская область, 15.08.2024



Фото 38-21-00003. Проявление эоловой аккумуляции в п. Хужир, Ольхонский район, Иркутская область, 15.08.2024



Фото 38-03-00001. Проявление дефляции в п. Хужир, Ольхонский район, Иркутская область, 15.08.2024



Фото 38-21-00004. Проявление эоловой аккумуляции в п. Хужир, район ул. Береговая, 26, 28, Ольхонский район, Иркутская область, 15.08.2024



Фото 38-03-00002. Проявление ветровой дефляции на сельскохозяйственных угодьях в районе д. Ялга, Ольхонский район, Иркутская область, 15.08.2024



Фото 38-13-00002. Подтопленное подполье по ул. Калинина, 28. УГВ составляет 0,73 м от поверхности, г. Тулун, Иркутская область, 01.08.2024



Фото 38-13-00004. Подтопленное подполье по ул. Ульяны Громовой, 17. УГВ находится на 0,77 м от поверхности, г. Зима, Иркутская область, 28.07.2024



Фото 38-22-00001. Основной овраг №1, ПН Быстринский, уч. а/дороги А-146 Иркутск – Монды, Слюдянский район, Иркутская область, 25.07.2024



Фото 38-22-00002. Овраг №2, ПН Быстринский, уч. а/дороги А-146 Иркутск – Монды, Слюдянский район, Иркутская область, 25.07.2024



Фото 38-22-00004. Промоина в нижней части оврага №4, ПН Быстринский, уч. а/дороги А-146 Иркутск – Монды, Слюдянский район, Иркутская область, 25.07.2024



Фото 38-22-00009. Овраг №5, ПН Бильчир-2, п. Бильчир, Осинский район, Иркутская область, 12.08.2024



Фото 38-22-22-00016. Овраг № 3 ПН Закулей вблизи с. Закулей, Нукутский район, Иркутская область, 16.07.2024



Фото 38-22-00017. Овраг № 4 ПН Закулей вблизи с. Закулей, Нукутский район, Иркутская область, 16.07.2024



Фото 38-22-00019. Активный овраг № 6 ПН Закулей вблизи с. Закулей, Нукутский район, Иркутская область, 16.07.2024



Фото 38-22-00020. Овраг № 7 ПН Закулей вблизи с. Закулей, Нукутский район, Иркутская область, 16.07.2024



Фото 38-22-00021. Овраг № 8 ПН Закулей вблизи с. Закулей, Нукутский район, Иркутская область, 16.07.2024



Фото 38-22-00022. Овраг № 9 ПН Закулей вблизи с. Закулей, Нукутский район, Иркутская область, 16.07.2024



Фото 38-22-00023. Активный овраг № 10 ПН Закулей вблизи с. Закулей, Нукутский район, Иркутская область, 16.07.2024



Фото 38-22-00024. Овраг № 11 ПН Закулей вблизи с. Закулей, Нукутский район, Иркутская область, 16.07.2024



Фото 38-22-00026. Овраг №2 ПН Нукуты вблизи с. Нукуты, Нукутский район, Иркутская область, 16.07.2024



Фото 38-22-00027. Верховье активного оврага №3 ПН Нукуты вблизи с. Нукуты, Нукутский район, Иркутская область, 16.07.2024

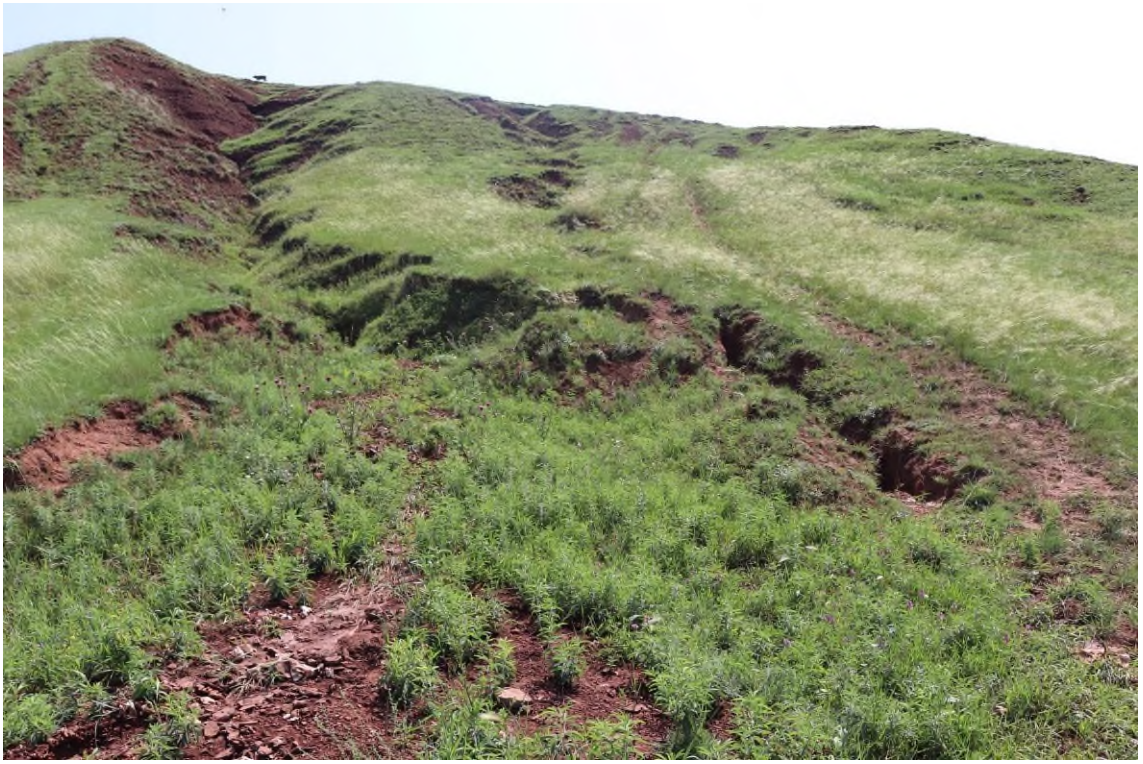

Фото 38-22-00028. Овраг №5 ПН Нукуты вблизи с. Нукуты, Нукутский район, Иркутская область, 16.07.2024



Фото 38-22-00030. Овраг №7 ПН Нукуты вблизи с. Нукуты, Нукутский район, Иркутская область, 16.07.2024



Фото 38-22-00032. Овраг №1 на коренном склоне залива Оса вблизи п. Жданово, ПН Жданово, Осинский район, Иркутская область, 12.08.2024



Фото 38-22-00031. Овраг №6 на коренном склоне залива Оса вблизи п. Жданово, ПН Жданово, Осинский район, Иркутская область, 12.08.2024



Фото 38-22-00049. Овраг №8 на коренном склоне залива Оса вблизи п. Жданово, ПН Жданово, Осинский район, Иркутская область, 12.08.2024



Фото 38-22-00038. Овраг №10 на коренном склоне залива Оса вблизи п. Жданово, ПН Жданово, Осинский район, Иркутская область, 12.08.2024



Фото 38-22-00039. Овраг №11 на коренном склоне залива Оса вблизи п. Жданово, ПН Жданово, Осинский район, Иркутская область, 12.08.2024



Фото 38-22-00040. Овраг №12 на коренном склоне залива Оса вблизи п. Жданово, ПН Жданово, Осинский район, Иркутская область, 12.08.2024



Фото 38-27-00001. Обвальный склон вблизи п. Жданово, ПН Жданово, Осинский район, Иркутская область, 12.08.2024



Фото 38-05-00001. Карстовая воронка юго-восточнее с. Хадахан, Нукутский район, Иркутская область, 30.08.2024



Фото 38-05-00003. Карстовая воронка юго-восточнее с. Хадахан, Нукутский район, Иркутская область, 30.08.2024



Фото 38-05-00004. Карстовая воронка юго-восточнее с. Хадахан, Нукутский район, Иркутская область, 30.08.2024



Фото 38-05-00005. Карстовая воронка юго-восточнее с. Хадахан, Нукутский район, Иркутская область, 30.08.2024



Фото 38-05-00006. Карстовая воронка юго-восточнее с. Хадахан, Нукутский район, Иркутская область, 30.08.2024



Фото 38-05-00007. Карстовая воронка юго-восточнее с. Хадахан, Нукутский район, Иркутская область, 30.08.2024



Фото 38-05-00008. Карстовая воронка юго-восточнее с. Хадахан, Нукутский район, Иркутская область, 30.08.2024



Фото 38-05-00009. Карстовая воронка юго-восточнее с. Хадахан, Нукутский район, Иркутская область, 30.08.2024



Фото 38-05-00011. Карстовая воронка юго-восточнее д. Мельхитуй, Нукутский район, Иркутская область, 19.09.2024



Фото 42-10-00001. Обвальный процесс, разрушение дома и строений по ул. Школьная, 2, с. Боровково, Новокузнецкий район, Кемеровская область-Кузбасс, 04.09.2024



Фото 42-10-00002. Обвальный процесс в с. Новопестерёво, Гурьевский район, Кемеровская область-Кузбасс, 02.09.2024



Фото 42-10-00003. Обвальный процесс, обрушение уступа в районе ул. Томская, 10, пгт. Крапивинский, Крапивинский район, Кемеровская область-Кузбасс, 07.09.2024



Фото 42-10-00004. Обвальный процесс, восточный борт, локальный участок обрушения, г. Салаир, Гурьевский район, Кемеровская область-Кузбасс, 02.09.2024



Фото 42-12-00003. Восточный борт, осыпной склон вблизи Петропавловской церкви, г. Салаир, Гурьевский район, Кемеровская область-Кузбасс, 02.09.2024



Фото 42-11-00001. Центральная часть надоползневого уступа, наиболее узкая часть коренного склона, юго-западная окраина п. Ерунаково, Новокузнецкий район, Кемеровская область-Кузбасс, 05.09.2024



Фото 42-12-00001. Общий вид на юго-восточную часть осыпного склона, по склону наблюдаются осыпные конусы, промоины, смещенные деревья, обнажены отдельные крупные валуны, уч. а/дороги Кузедеево - Таштагол, 24-25 км, пгт. Мундыбаш, Таштагольский район, Кемеровская область-Кузбасс, 03.09.2024



Фото 42-12-00002. Западный борт, обрушения, по склону наблюдаются осыпные конусы, поваленые деревье, водоем засыпан осыпным материалом, пгт. Темиртау, Таштагольский район, Кемеровская область-Кузбасс, 03.09.2024



Фото 42-13-00006. Деформация здания по ул. Перспективная, 24, с. Борисово, Крапивинский район, Кемеровская область-Кузбасс, 06.09.2024



Фото 42-13-00007. Деформация центрального здания больницы, на трещины установлены маячки, пгт. Яя, Яйский район, Кемеровская область-Кузбасс, 08.09.2024



Фото 42-13-00008. Деформация дома по ул. Сенная, 5, г. Белово, Кемеровская область-Кузбасс, 06.09.2024



Фото 42-13-00009. Деформация дома по ул. Анадырская, 34, г. Новокузнецк, Кемеровская область-Кузбасс, 05.09.2024



Фото 42-13-00010. Дренажная канава по ул. Леонова, 42, уровень воды 0,86 м, г. Междуреченск, Кемеровская область-Кузбасс, 04.09.2024



Фото 42-26-00001. Деформация дома по ул. Есенина, 25, г. Ленинск-Кузнецкий, Кемеровская область-Кузбасс, 02.09.2024



Фото 42-26-00002. Активизировавшийся провал вблизи ул. Веры Волошиной, пгт. Шерегеш, Таштагольский район, Кемеровская область-Кузбасс, 25.09.2024



Фото 54-13-00005. Вследствие активизации подтопления грунтовыми водами подтоплен цокольный этаж коттеджа по ул. Искитимская. г. Бердск, Новосибирская область, 03.09.2024



Фото 54-10-00002. Уступ высотой 12-15 м неустойчив, много столбчатых отслоений. У подножья свежий обвалившийся грунт. Повсеместно наблюдаются трещины отрыва с шириной раскрытия до 10-25 см, козырьки ПРС. с. Ленинское, Новосибирский район, Новосибирская область, 18.07.2024



Фото 54-22-00044. Общий вид оврага № 26. с. Ленинское, Новосибирский район, Новосибирская область, 18.07.2024



Фото 54-22-00045. Овраг № 27 устье-правый борт. Склоны правого борта выположены. Левый борт отвесный, с отслоением грунта в виде глыб столбчатой структуры. Днище выположено и выстелено резиновой тканью. с. Ленинское, Новосибирский район, Новосибирская область, 18.07.2024



Фото 54-22-00067. Овраг № 33, склоны вертикальные с отслоением грунта в виде глыб столбчатой структуры. Обнажены светло-коричневые лёссовидные суглинки. с. Ленинское, Новосибирский район, Новосибирская область, 18.07.2024



Фото 54-22-00068. Овраг № 34 общий вид. с. Ленинское, Новосибирский район, Новосибирская область, 18.07.2024



Фото 54-22-00010. Овраг № 1, вершина. с. Ленинское, Новосибирский район, Новосибирская область, 18.07.2024



Фото 54-22-00011. Овраг № 2 общий вид. с. Ленинское, Новосибирский район, Новосибирская область, 18.07.2024



Фото 54-22-00012. Овраг № 3, склоны левого борта вертикальные с отслоением грунта в виде глыб столбчатой структуры. с. Ленинское, Новосибирский район, Новосибирская область, 18.07.2024



Фото 54-22-00013. Овраг № 4 вершина. Округлая в плане, с отвесными, обнажёнными бортами в верхней части, глубиной 2,5 м. По всему периметру трещины отседания с шириной раскрытия до 50-70 см и обвалы почво-грунтов, в виде глыб диаметром 1,5-2 м с деревьями. с. Ленинское, Новосибирский район, Новосибирская область, 18.07.2024



Фото 55-22-00014. Овраг № 5 середина, общий вид. с. Ленинское, Новосибирский район, Новосибирская область, 18.07.2024



Фото 54-22-00016. Овраг № 7 общий вид. с. Ленинское, Новосибирский район, Новосибирская область, 18.07.2024



Фото 54-22-00018. Овраг № 9 вершин представляет собой водобойный колодец шириной 7 м глубиной 1,5-2 м. Видны свежие обвалившиеся куски почвенного покрова, козырьки ПРС. с. Ленинское, Новосибирский район, Новосибирская область, 18.07.2024



Фото 54-22-00019. Овраг № 10 устье-левый борт. Склоны левого борта вертикальные с отслоением грунта в виде глыб столбчатой структуры. Бровка борта выражена отчетливо. Обнажены светло-коричневые лёссовидные суглинки-супеси. с. Ленинское, Новосибирский район, Новосибирская область, 18.07.2024



Фото 54-22-00020. Овраг № 11 вершина представляют собой округлую воронку глубиной до 2-3 м, далее – постепенное углубление днища, которое завалено обрушенными почво-грунтом и деревьями. с. Ленинское, Новосибирский район, Новосибирская область, 18.07.2024



Фото 54-22-00021. Овраг № 12 общий вид. с. Ленинское, Новосибирский район, Новосибирская область, 18.07.2024



Фото 54-22-00046. Овраг № 28 общий вид. с. Ленинское, Новосибирский район, Новосибирская область, 18.07.2024



Фото 54-22-00022. Овраг № 13 устье-левый борт. Бровки бортов выражены отчетливо. Борта вверху обрывистые, 4-7 м. Склон их неустойчив, много столбчатых отслоений. Ниже – осыпи, оползни с уклоном 60-80º. с. Ленинское, Новосибирский район, Новосибирская область, 18.07.2024



Фото 54-22-00023. Овраг № 14 вершина представляет не выраженную воронку глубиной до 0,5-1,5 м, далее – постепенное углубление днища, которое завалено обрушенным почво-грунтом. Процесс оврагообразования затухает. с. Ленинское, Новосибирский район, Новосибирская область, 18.07.2024



Фото 54-22-00069. Овраг № 35 общий вид. с. Ленинское, Новосибирский район, Новосибирская область, 18.07.2024



Фото 54-22-00024. Овраг № 15 общий вид. с. Ленинское, Новосибирский район, Новосибирская область, 18.07.2024



Фото 54-22-00070. Овраг № 36 общий вид. с. Ленинское, Новосибирский район, Новосибирская область, 18.07.2024



Фото 54-22-00047. Овраг № 29 вершина представляет собой водобойный колодец глубиной 6,5 м. Борта отвесные, обнаженные. с. Ленинское, Новосибирский район, Новосибирская область, 18.07.2024



Фото 54-22-00026. Овраг № 17 вершина представляет собой изрезанную в плане воронку шириной 6 м и глубиной 2-3 м, далее – постепенное углубление днища, которое завалено обрушенными почво-грунтом и деревьями. с. Ленинское, Новосибирский район, Новосибирская область, 18.07.2024



Фото 54-22-00028. Овраг № 19 общий вид. с. Ленинское, Новосибирский район, Новосибирская область, 18.07.2024



Фото 54-22-00029. Овраг № 20 вершина представляет собой округлую в плане воронку шириной 3 м и глубиной около 4 м с водобойным колодцем, далее – постепенное углубление днища, которое завалено обрушенным почво-грунтом. с. Ленинское, Новосибирский район, Новосибирская область, 18.07.2024



Фото 54-22-00030. Овраг № 21 общий вид. с. Ленинское, Новосибирский район, Новосибирская область, 18.07.2024



Фото 54-22-00031. Овраг № 22 общий вид. с. Ленинское, Новосибирский район, Новосибирская область, 18.07.2024



Фото 54-22-00032. Овраг № 23 общий вид. с. Ленинское, Новосибирский район, Новосибирская область, 18.07.2024



Фото 54-22-00033. Овраг № 24 общий вид. с. Ленинское, Новосибирский район, Новосибирская область, 18.07.2024



Фото 54-22-00034. Овраг № 25 общий вид. с. Ленинское, Новосибирский район, Новосибирская область, 18.07.2024



Фото 54-22-00048. Овраг № 30 у устья много столбчатых отслоений, осыпаний, козырьки ПРС. с. Ленинское, Новосибирский район, Новосибирская область, 18.07.2024



Фото 54-22-00049. Овраг № 31 общий вид. с. Ленинское, Новосибирский район, Новосибирская область, 18.07.2024



Фото54-22-00071. Овраг № 37 общий вид. с. Ленинское, Новосибирский район, Новосибирская область, 18.07.2024



Фото 54-22-00050. Овраг № 32 общий вид. с. Ленинское, Новосибирский район, Новосибирская область, 18.07.2024



Фото 55-22-00001. Вершина оврага № 2-1 на ПН Нижнеомский, в 0,2 км северо-западнее д. Игнатьево, Кормиловский район, Омская область, 31.07.2024



Фото 55-22-00006. Вершина оврага № 2-9 на ПН Нижнеомский, в 1,6 км северо-западнее пгт. Кормиловка, Кормиловский район, Омская область, 31.07.2024



Фото 55-22-00008. Вершина оврага № 2-17 на ПН Нижнеомский, в 3 км восточнее д. Старый Ревель, Калачинский район, Омская область, 01.08.2024



Фото 55-22-00010. Правая вершина оврага № 2-19 на ПН Нижнеомский, в 1 км западнее с. Глуховка, Калачинский район, Омская область, 01.08.2024



Фото 55-22-00011. Вершина оврага № 2-20 на ПН Нижнеомский, в 0,8 км северо-западнее пгт. Кормиловка, Кормиловский район, Омская область, 01.08.2024



Фото 55-22-00013. Вершина оврага № 2-23 на ПН Нижнеомский, в 0,35 км юго-восточнее д. Прудки (Урманское лесничество), Омский район, Омская область, 02.08.2024



Фото 55-22-00014. Вершина оврага № 2-24 на ПН Нижнеомский, в 1 км юго-западнее д. Сыропятская, Кормиловский район, Омская область, 02.08.2024



Фото 55-22-00015. Вершина оврага № 2-26 на ПН Нижнеомский, в 0,06 км севернее с. Богословка, Омский район, Омская область, 31.07.2024



Фото 55-22-00016. Правая вершина оврага № 2-28 на ПН Нижнеомский, в 0,8 км западнее п. Ростовка, Омский район, Омская область, 31.07.2024



Фото 55-22-00023. Вершина оврага № 1-7 на ПН Черлакский, в 2,7 км юго-восточнее д. Бердниково, Черлакский район, Омская область, 14.08.2024



Фото 55-22-00024. Левая вершина оврага № 1-8 на ПН Черлакский, в 1 км юго-восточнее с. Соляное, Черлакский район, Омская область, 14.08.2024



Фото 55-22-00025. Вершина правого отвершка 1 вершины 1 оврага № 1-11 на ПН Черлакский, в 0,4 км юго-восточнее с. Татарка, Черлакский район, Омская область, 14.08.2024



Фото 55-22-00026. Левая вершина оврага № 1-14 на ПН Черлакский, в 1 км северо-западнее с. Елизаветинка, Черлакский район, Омская область, 13.08.2024



Фото 55-22-00029. Вершина оврага № 1-20 на ПН Черлакский, в 4 км восточнее д. Покрово-Иртышское, Омский район, Омская область, 12.08.2024



Фото 55-22-00031. Левый борт оврага № 1-22 на ПН Черлакский, в 1,5 км юго-восточнее д. Бердниково, Черлакский район, Омская область, 15.08.2024



Фото 55-22-00032. Вершина отвершка (правый) оврага № 1-24 на ПН Черлакский, в 1 км северо-западнее с. Елизаветинка, Черлакский район, Омская область, 13.08.2024



Фото 55-22-00033. Вершина 3 оврага № 1-25 на ПН Черлакский, в 1 км северо-западнее с. Елизаветинка, Черлакский район, Омская область, 13.08.2024



Фото 55-22-00035. Левая вершина оврага № 1-27 на ПН Черлакский, в 1,8 км юго-восточнее пгт. Черлак, Черлакский район, Омская область, 13.08.2024



Фото 55-22-00048. Вершина оврага № 5-1 на ПН Калининский, в 10 км северо-восточнее с. Калинино, Русско-Полянский район, Омская область, 22.08.2024



Фото 55-22-00049. Вершина оврага № 5-2 на ПН Калининский, в 9 км северо-восточнее с. Калинино, Русско-Полянский район, Омская область, 22.08.2024



Фото 55-22-00050. Вершина оврага № 5-4 на ПН Калининский, в 10,3 км северо-восточнее с. Калинино, Русско-Полянский район, Омская область, 22.08.2024



Фото 55-22-00051. Вершина оврага № 5-5 на ПН Калининский, в 10,6 км северо-восточнее с. Калинино, Русско-Полянский район, Омская область, 22.08.2024



Фото 55-22-00052. Вид на левый борт оврага № 8-1 на ПН оз. Эбейты, в 3,9 км западнее аула Кзыл-Агаш, Москаленский район, Омская область, 04.07.2024



Фото 55-22-00054. Вершина оврага № 8-3 на ПН оз. Эбейты, в 2,3 км юго-западнее аула Тумба, Москаленский район, Омская область, 04.07.2024



Фото 55-22-00054. Овраг на участке планового обследования с. Новотроицкое, Омский район, Омская область, 05.07.2024



Фото 70-13-00001. Процесс подтопления в с. Озёрное (дренажная канава по ул. Совхозная), Колпашевский район, Томская область, 09.07.2024



Фото 70-10-00003. Проявление обвального процесса в с. Кривошеино, Кривошеинский район, Томская область, 09.07.2024



Фото 70-10-00001. Проявление обвального процесса в районе пер. Мохового в г. Колпашево, Колпашевский район, Томская область, 11.07.2024

ДАЛЬНЕВОСТОЧНЫЙ ФЕДЕРАЛЬНЫЙ ОКРУГ



Фото 03-22-00006. Вид на стенку оврага №1. Осыпание грунта, с. Хонхолой, Мухоршибирский район, Республика Бурятия, 20.09.2024



Фото 03-22-00007. Вид на вершину оврага №2. Осыпание грунта, с. Хонхолой, Мухоршибирский район, Республика Бурятия, 20.09.2024



Фото 03-22-00008. Центральная часть оврага №3, с. Хонхолой, Мухоршибирский район, Республика Бурятия, 20.09.2024



Фото 03-22-00009. Вид на вершину отвершка оврага №4. Осыпание грунта, с. Хонхолой, Мухоршибирский район, Республика Бурятия, 20.09.2024



Фото 03-22-00013. Вид на вершину оврага №1, с. Десятниково, Тарбагайский район, Республика Бурятия, 20.09.2024



Фото 03-22-00014. Вид с вершины оврага. Оползание грунта, с. Десятниково, Тарбагайский район, Республика Бурятия, 20.09.2024



Фото 14-27-001 Активизация осыпного процесса на ТН-1 по состоянию на. 07.09.2024 г. Нерюнгринский район республика Саха (Якутия)



Фото 14-27-002 Активизация осыпного процесса на ТН-2 по состоянию на 07.09.2024 г. Нерюнгринский район республика Саха (Якутия)



Фото 14-27-003 Активизация осыпного процесса по состоянию на 05.09.2024 г. Алданский район республика Саха (Якутия)



Фото 14-27-04 Активизация осыпного процесса по состоянию на 04.09.2024 г. Алданский район республика Саха (Якутия)



Фото 25.11.0001. Активизация оползневого в парагенезе с эрозионным процессом на участке 717,35 км автодороги А-370 «Уссури» по состоянию на 26.08.2024 г



Фото 25.11.0002. Продолжение активизации оползневого процесса на участке 0,375 км от начала объездной дороги от 689,75 км автодороги А-370 «Уссури» по состоянию на 26.08.2024г



Фото 25.11.0003. Продолжение активизации оползневого процесса на участке 0,498 км от начала объездной дороги от 689,75 км автодороги А-370 «Уссури» по состоянию на 26.08.2024г

Б.



Фото 25.11.0004. Продолжение активизации оползневого процесса на участке 686, 8 км автодороги А-370 "Уссури" Хабаровск-Владивосток по состоянию на 26.08.2024 г



Фото 25.11.0005. Продолжение активизации оползневого процесса на участке 665, 03 км автодороги А-370 "Уссури" Хабаровск-Владивосток по состоянию на 26.08.2024 г



Фото 25.12.0006. Продолжение активизации осыпного процесса на участке 244,3 км автодороги Осиновка-Р. Пристань по состоянию на 27.08.2024 г



Фото 25.11.0007. Активизация оползневого процесса на участке 314,5 км автодороги Осиновка-Р. Пристань по состоянию на 28.08.2024 г



Фото 25.11.0008. Активизация оползневого процесса на участке 404,2 км автодороги Находка-Ольга-Кавалерово по состоянию на 28.08.2024 г



Фото 25.12.0009. Активизация оползневого процесса на участке 404,1 км автодороги Находка-Ольга-Кавалерово по состоянию на 28.08.2024 г



Фото 27-27-007, Обвально-осыпное проявление выноса, на участке 68 км А 376, Нанайский район Хабаровский край, 16.09.2024г.



Фото 27-27-008, Обвально-осыпной конус на участке 69 км А 376, Нанайский район Хабаровский край, 16.09.2024г.



Фото 27-27-009, Обвально-осыпной конус на участке 76 км А 376, Нанайский район Хабаровский край, 16.09.2024г.



Фото 27-27-010, Обвально-осыпное проявление на участке 81 км А 376, Нанайский район Хабаровский край, 16.09.2024г.



Фото 27-27-0012, Обвально-осыпной шлейф на участке 85 км А 376, Нанайский район Хабаровский край, 16.09.2024г.



Фото 27-27-0013, Обвально-осыпной шлейф на участке 86 км А 376, Нанайский район Хабаровский край, 16.09.2024г.



Фото 27-27-0014, Обвально-осыпной проявление, на участке 127 км А 376, Нанайский район Хабаровский край, 16.09.2024г.

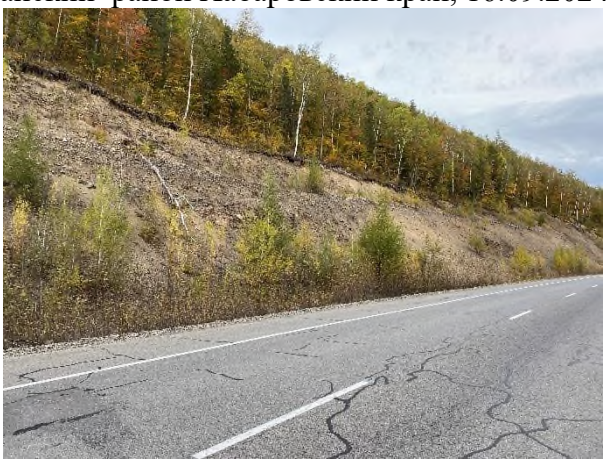

Фото 27-23-0015 Обвально-осыпной шлейф, на участке 136км А 376, Нанайский район Хабаровский край, 16.09.2024г.



Фото 27-23-0016 Проявления осыпного процесса на 173 км А 376 в Нанайском районе 16.09.2024г.



Фото 27-23-0017 Проявления осыпного процесса на 213 км А 376 (левая сторона), Ванинский район 16.09.2024г.



Фото 27-23-0018 Проявления осыпного процесса на 213 км А 376 (правая сторона), Ванинский район 16.09.2024г.



Фото 27-23-0019 Проявления осыпного процесса на 253 км А 376, Ванинский район 18.09.2024г.



Фото 27-11-001 Проявления оползневого процесса на Побережье, Советско-Гаванский 17.09.2024.г.



Фото 27-11-002 Проявления оползневого процесса на Побережье, Советско-Гаванский 17.09.2024.г.



Фото 27-11-003 Проявления оползневого процесса на Побережье, Советско-Гаванский 17.09.2024.г.



Фото 28-22-001-001.Овражная эрозия, 1517 км автодорога Р-297, Октябрьский район Амурская область.



Фото 28-22-001-002. Овражная эрозия, 1517 км автодорога Р-297, Октябрьский район Амурская область.



Фото 28-22-003. Овражная эрозия, Амурская область Бурейском район возле с.Виноградовка.



Фото 49.12.0001. Активизация осыпного процесса в г. Магадан, ул. Портовое шоссе, напротив строения 209 по состоянию на 01.09.2024 г



Фото 49.12.0002. Хасынский муниципальный округ, севернее 30,28 км от п. Атка. Активизация осыпного процесса на участке 1792, 0 км автодороги Р-504 «Колыма» по состоянию на 04.09.2024 г.



Фото 49.12.0003. Сусуманский муниципальный округ, г. Сусуман. Активизация осыпного процесса на участке 1405,5 км автодороги Р504 «Колыма» по состоянию на 05.09.2024 г. (фото Приморского отделения филиала «Дальневосточный региональный центр ГМСН»)



Фото 49.6.0004. Хасынский муниципальный округ, п. Стрелка. Активизация криогенеза (пучение) на участок 1713, 3 км автодороги Р-504 «Колыма» по состоянию на 05.09.2024 г.



Фото 49.6.0005. Сусуманский муниципальный округ, г. Сусуман. Активизация криогенеза (пучение) на участке 1495,25, 3 км автодороги Р-504 «Колыма» по состоянию на 05.09.2024 г



Фото 65-11-00013 Трещины и деформация дорожного полотна в результате подвижки оползня на склоне.



Фото 75-11-00003. Южная часть оползня у 70-го км на правом откосе а/дороги Чита-Хабаровск перед закрепленным участком склона, Карымский район, Забайкальский край,



Фото 75-11-00004. Оползень на выположенном в 2022 г. склоне а/дороги Чита-Хабаровск, 70 км (левая сторона), Карымский район, Забайкальский край



Фото 75-26-00001. Провал на Тасеевском шахтном поле, Балейский район, Забайкальский край



Фото 75-22-00011. Овраг на территории зернотока, с. Знаменка, Нерчинский район, Забайкальский край



Фото. 75-11-00016. Оползень на 2-ой технологической берме Букачачинского каменноугольного разреза на западной окраине пгт. Букачача. Чернышевский район, Забайкальский край



87-12-001 Осыпной конус. Чукотский автономный округ, правый склон Анадырского залива.



87-12-002 Осыпное проявление. .Чукотский автономный округ, правый склон Анадырского залива.



87-27-001, Обвально-оползневое проявление. Чукотский автономный округ, правый склон Анадырского залива.



87-16-001, Бугристая поверхность оползня. Чукотский автономный округ, правый склон Анадырского залива.



87-06-001, Чукотский автономный округ, Анадырская низменность в 16 км южнее г. Анадыря, Криогенное пучение, термокарстовое озеро



27-06-002, Чукотский автономный округ, Анадырская низменность в 16 км южнее г. Анадыря, бугор пучения.